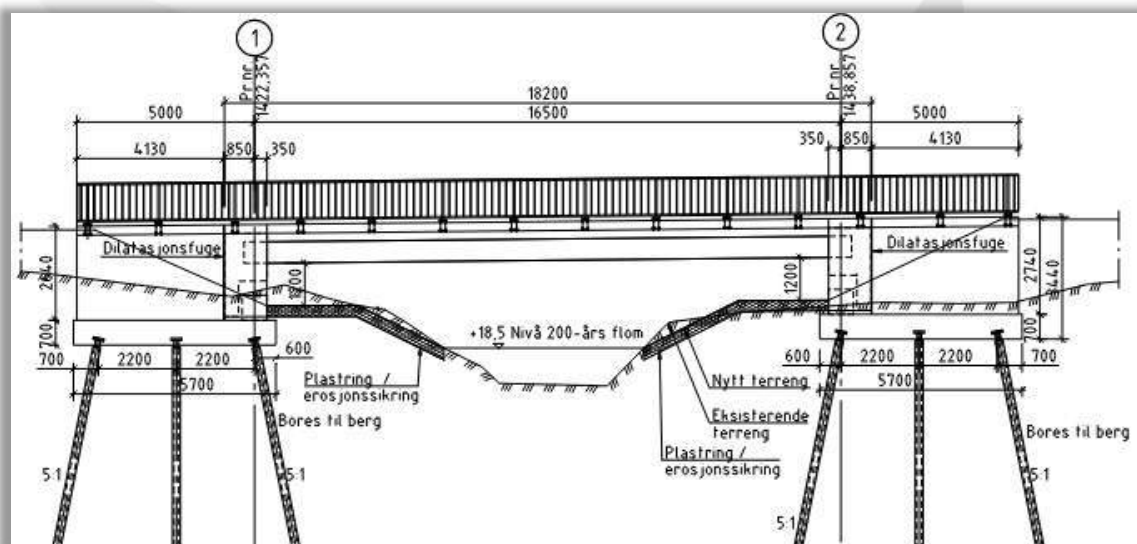


DILLING GS-BRU FORPROSJEKT



ADRESSE COWI AS
Karvesvingen 2
Postboks 6412 Etterstad
0605 Oslo
TLF +47 02694
WWW cowi.no

MARS-2024
ØSTFOLD FYLKESKOMMUNE

DILLING GS-BRU FORPROSJEKT

OPPDRAUGSNR. DOKUMENTNR.
A116326 RAP-KONST-001

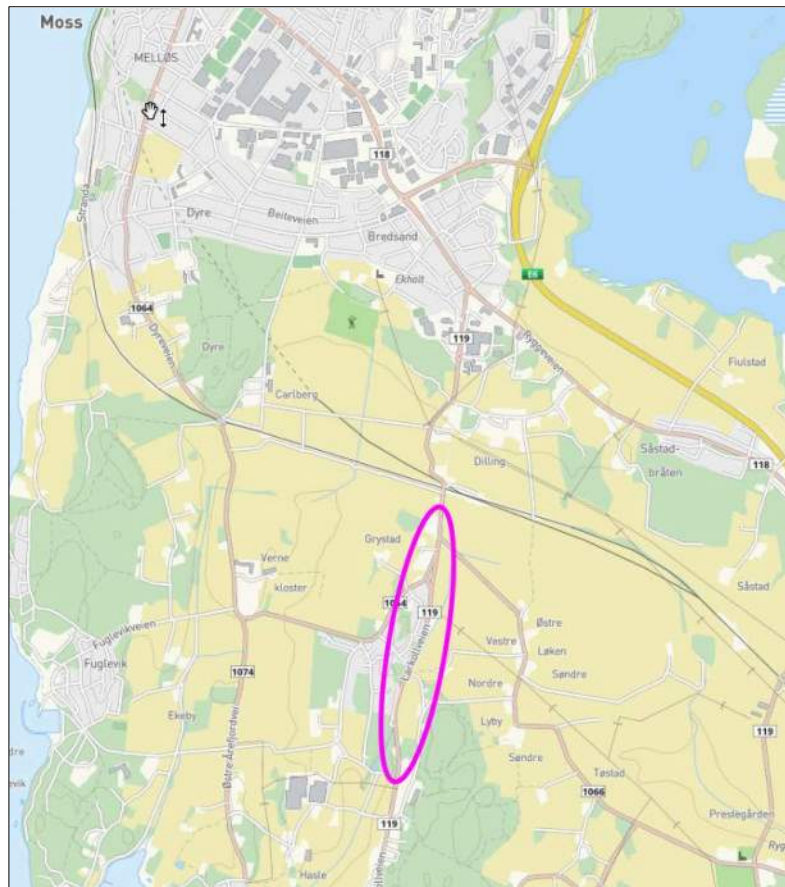
| VERSJON | UTGIVELSESDATO | BESKRIVELSE | UTARBEIDET | KONTROLLERT | GODKJENT |
|---------|----------------|-------------|------------|-------------|----------|
| 01 | 25.03.2024 | | MDLU/BW | BW/MDLU | BW |

INNHOLD

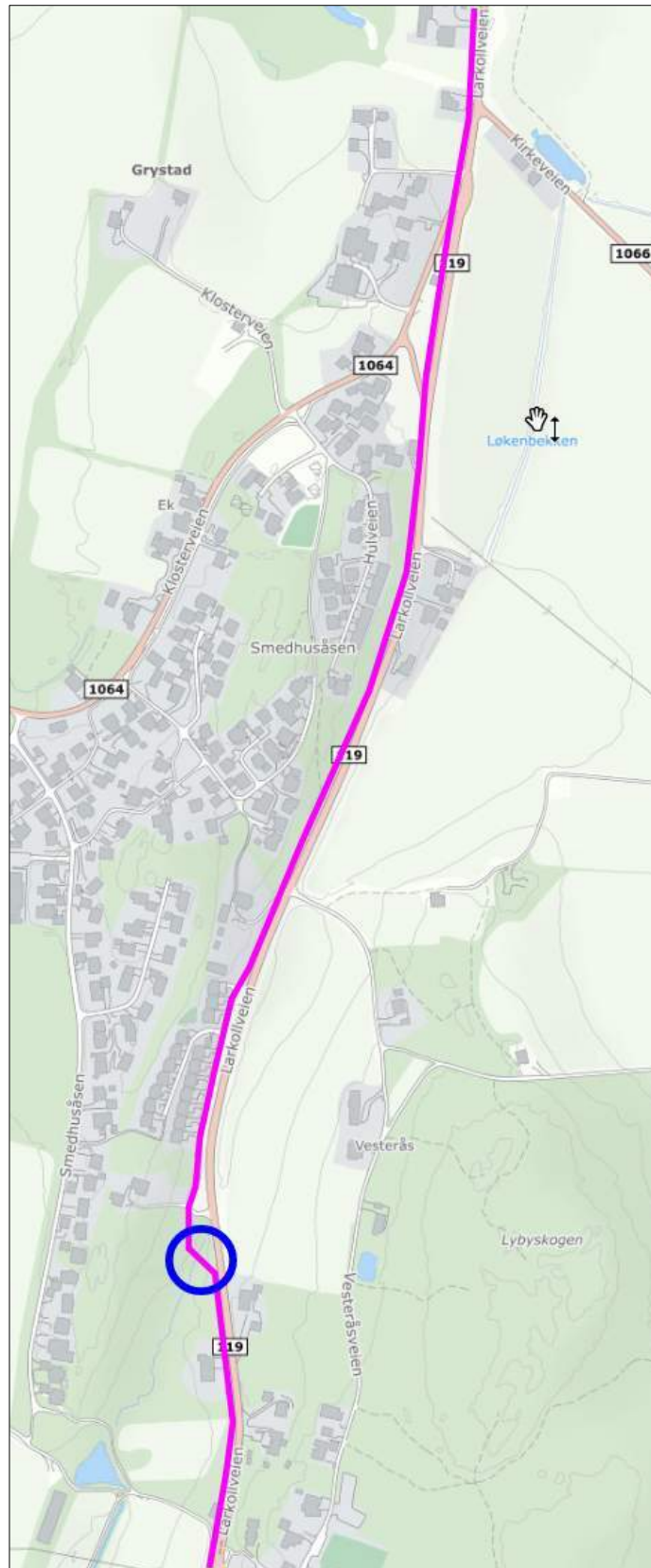
| | | |
|-----|---|----|
| 1 | Generelt | 6 |
| 2 | Bakgrunn | 9 |
| 3 | Forutsetninger | 10 |
| 3.1 | Føringer og valg for GS-bru | 10 |
| 3.2 | Stedlige forhold | 12 |
| 3.3 | Grunnforhold | 13 |
| 3.4 | Prosjekteringsgrunnlag | 15 |
| 4 | Geotekniske vurderinger | 16 |
| 5 | Ny GS-bru | 18 |
| 5.1 | Geometri | 18 |
| 5.2 | Underbygning | 19 |
| 5.3 | Overbygning | 20 |
| 5.4 | Utstyr | 21 |
| 5.5 | Byggetilstanden og anleggssituasjon | 22 |
| 6 | Bruløsning, innsigelse og ny regulering | 23 |
| 7 | Kostnadsvurdering | 24 |
| 8 | Vedlegg | 25 |

1 Generelt

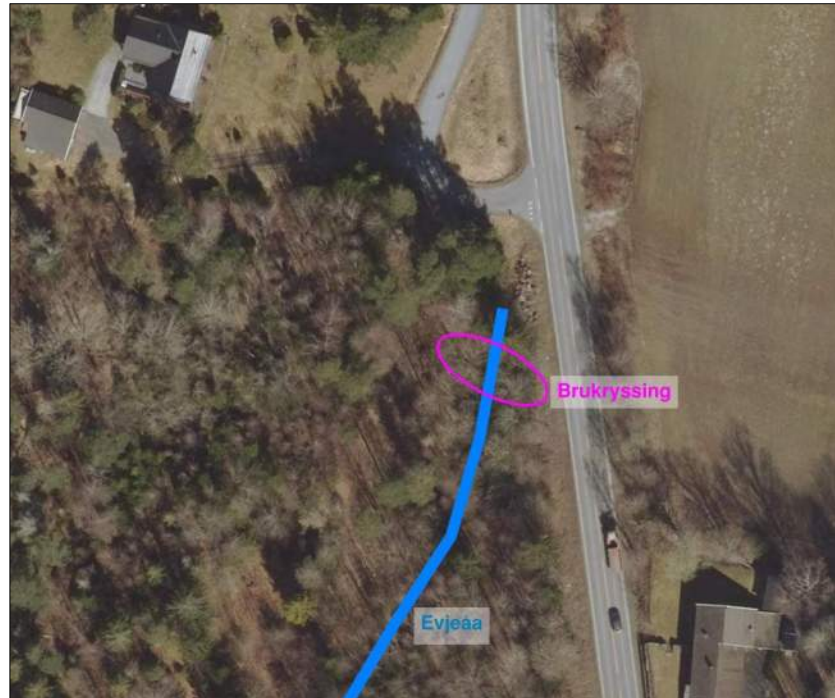
COWI AS utarbeider på oppdrag for Østfold fylkeskommune (ØFK) reguleringsplan for ca. 1,5 km GS-vei fra Dilling til Vang i Moss kommune. Foreliggende forprosjektrapport for GS-bru over ørretbekken Evjeåa er en del av disse arbeidene.



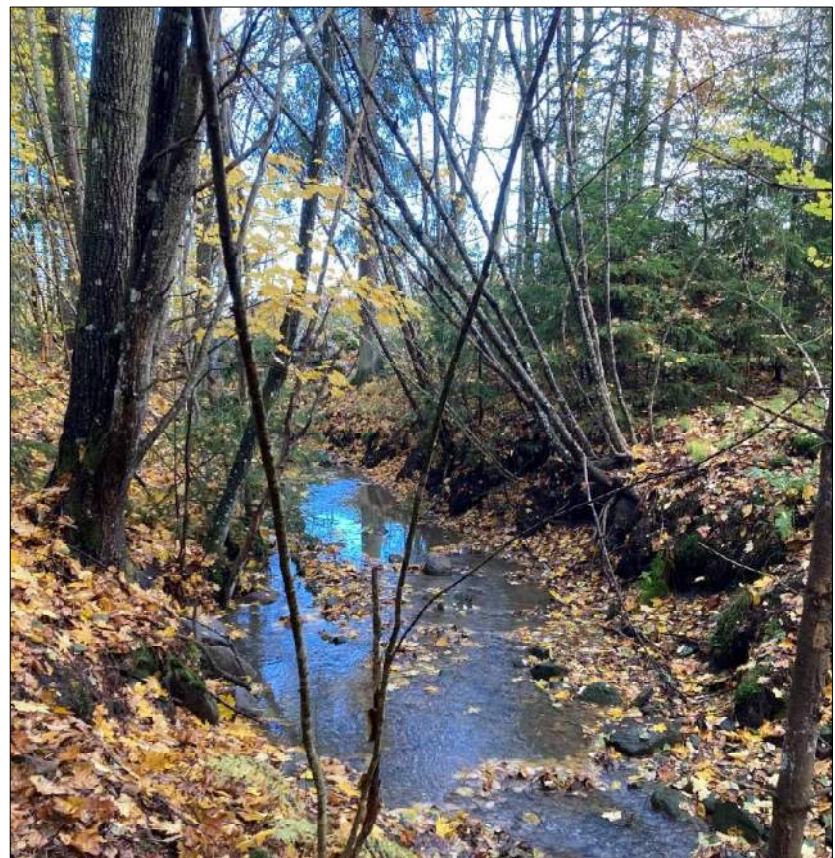
Figur 1 Oversiktskart – område for reguleringsplan (Kilde: Moss kommunens kartportal)



Figur 2 – Blå sirkel viser plassering av GS-bru, lilla strek viser GS-vei strekningen (Kilde: 1881.no)



Figur 3 - Flyfoto av eksisterende situasjon i området ved brukryssing. (Kilde: finn.no)



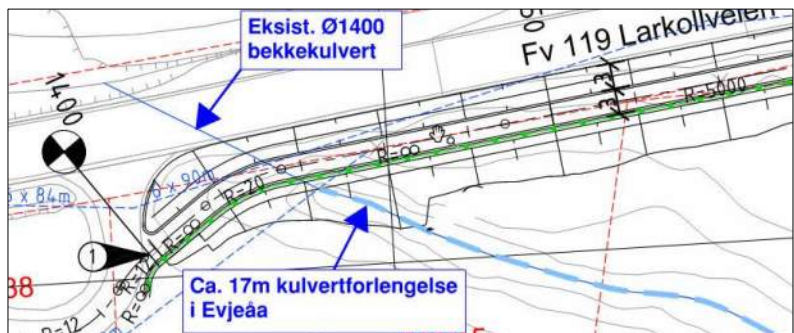
Figur 4 – Evjeåa omkring krysningspunktet. (Kilde: COWI)

2 Bakgrunn

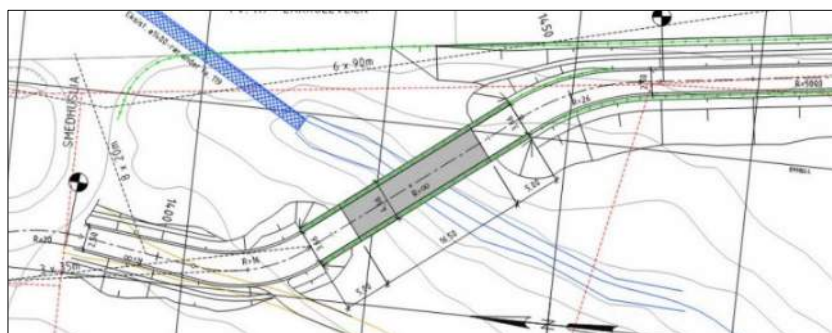
Ved offentlig ettersyn høsten 2022 ble det mottatt innsigelser fra Statsforvalter (SF) og NVE vedr. løsning der GS-vei går på fylling parallelt med fv. 119 nordover frem til Smedhuslia-krysset. Innsigelsene gjaldt påvirkning på naturmangfold ved fylling over ørretbekken og ca. 17m forlengelse av eksisterende Ø1400 bekkekulvert i gyteområde. Bruløsningen presentert i forprosjektet er et resultat av oppfølging av innsigelsene og dialog med SF og NVE – og ØFK.

Det er gjennomført tre dialogmøter med SF og NVE i prosessen med å finne løsninger som kan føre til at innsigelsene trekkes. I første møte stilte SF og NVE krav om en alternativ-vurdering av mulige traséer som ville minimere påvirkning på bekken/kantsonen/naturmangfold. Arbeidet resulterte i foreliggende GS-trasé med bru over Evjeåa. Traséen tilfredsstiller prosjektets overordnede føringer og kriterier for fremføring av GS-veien. SF og NVE anbefalte formelt i brev at prosjektet gikk videre med og bearbeidet løsningen med bru.

I siste dialogmøte 22.02.2024 ble en bearbeidet og endelig løsning for trasé med bru presentert, inklusive forslag til reguleringsformål og vegetasjonstiltak omkring bru og bekkens kantsone. Hoved-oppsummeringen fra møtet var at partene nå er omforente om løsninger og arealbruk/vegetasjonstiltak. Dette betyr at innsigelsessaken i prinsippet er løst med bruløsningen og tegningene som er presentert i foreliggende forprosjekt. Endelig avklaring, med formell tilbakemelding på at innsigelsene trekkes, vil for øvrig ikke oppnås før planforslaget er sendt på ny høring.



Figur 5 – Opprinnelig regulert GS-trasé (Kilde: COWI)



Figur 6 – Ny GS-trasé på bru etter innsigelse og alternativ-vurdering (Kilde: COWI)

3 Forutsetninger

3.1 Føringer og valg for GS-bru

Trasévalg og krysning av bekk med GS-bru har opprinnelse i tidligere gjennomført alternativ-vurdering – se også vedlegg 1.

Oppsummert hovedføringer, premisser og valg for bruløsning:

Innledende premisser fra bruvervaltning hos ØFK

- > Ikke aktuelt med trebru (nye/strengere regler på trappene, utfordrende drift, kreosot ulovlig, malt treverk ikke ønskelig)
- > Ingen prydbru/landemerke – enklest og rimeligst mulig estetisk/teknisk
- > Ingen føringer vedr. valg mellom monolittisk bru og bru med lager
- > Ved bru med lager gis det ikke fravik for minimum inspeksjonshøyde til terrenget (min. 1,2m)
- > Generelt ikke ønskelig å binde opp materiale for bru i reguleringsplaner, kun føringer for design/uttrykk for å unngå byggesøknad. Siden COWI også har byggeplanen, er det akseptabelt å likevel lande bruløsning inkl. materialvalg i reguleringsplanfasen.

Krysningspunkt

Valgt krysningspunkt er styrt av flere hensyn:

- > Bru / GS-vei bør krysse så langt nord og vinkelrett som mulig, fordi det vil gi kortere/mindre inngrep i bekvens kantsone/skog.
- > Bru / GS-vei bør krysse så langt nord som mulig, siden høydeforskjell mellom fv. 119 og skogssti/terrenget på vestsiden av bekken øker mot syd. Jo lengre syd, jo vanskeligere å tilfredsstille stigningskrav for GS-vei (maks. 5%) samtidig som behov for oppfyllingshøyde øker (dvs. større inngrepsarealer).
- > Fordel at bru ligger noe vekk fra eksisterende Ø1400-rør dersom røret i fremtiden må byttes ut.
- > Krysningspunktet må ha best mulig tilgang fra begge sider av bekken til anleggsmaskiner og oppstilling for rigger til pelearbeider - dvs. landkar bør plasseres der terrenget skråner minst.
- > Landkar bør av hensyn til bekvens kantsone plasseres så langt unna bekken som mulig, samtidig som bru ikke blir for lang (vekt av brubjelker vs. innheising vs. plassutfordringer for mobilkran + jo lengre bru, jo dyrere).

Brutype / utforming / materialbruk

Valg av brutype;bruløsning og materialbruk påvirkes av flere hensyn, bla. naturmiljø, anleggssituasjon/tilkomst, grunnforhold, drift og kostnad.

Mhp dårlige grunnforhold (kvikkleire) er det ikke ønskelig med en plassstøpt betongbru. Dette pga. behov for enten støtte til forskaling på terrenget / i bekken, eller behov for innheising av større, midlertidige stålbjelker/-fagverk, som av plashensyn vil være utfordrende å fjerne når brua er ferdigstøpt. Midlertidig understøttelse med stålbjelker/-fagverk innebærer også at brudekket ville endt høyere enn fv. 119 – og det er av estetiske hensyn ikke ønskelig.

Det betyr at løsning må baseres på innheising av prefabrikkerte betong- eller stålbjelker, som underlag for et plassstøpt betongdekke. Av driftshensyn og hensyn til naturmiljø er det ikke ønskelig med bærebjelker av stål (sandblåsing/maling) – av hensyn til estetikk er det ikke ønskelig med et brudekke som ligger høyere enn fv. 119.

Foreslått løsning er derfor basert på innheising av prefabrikkerte betongbjelker etter håndbok V426, hvor den plassstøpte bruplata understøttes av betongbjelkene.

Det er sammen med Nordic Crane utført befaringer og vurderinger mhp. aktuell type mobilkran vs. mulig plassering av kran for innheising vs. mulig lengde/vekt på bjelker vs geoteknisk stabilitet vs minimere behov for nedhogst omkring bekkens kantsone ved innheising/montering (Nordic Cranes vurdering er at det vil være mulig å løfte inn bjelkene parallelt med oppstillingsplassen til krana, og relativt nærmere kranføttene). Se også vedlegg 2.

For øvrig er en fabrikkmontert kompositbru, klar for innløfting, vurdert som fortung og kostbar – og for tidkrevende/usikker mhp. godkjenninger hos Vegdirektoratet.

Avklaring vedr. konsept med Vegdirektoratet

Vedr. evt. kontroll av konsept ved å bruke prefabrikkerte bjelker etter V426 til en GS-bru, og ikke til en bredere kjøreveg som de i utgangspunktet er beregnet for: COWI har vært i kontakt med Bodil Bratberg i VDIR, og det er ikke nødvendig med dialog eller bestilling av kontroll.

3.2 Stedlige forhold

Krysningsområdet generelt

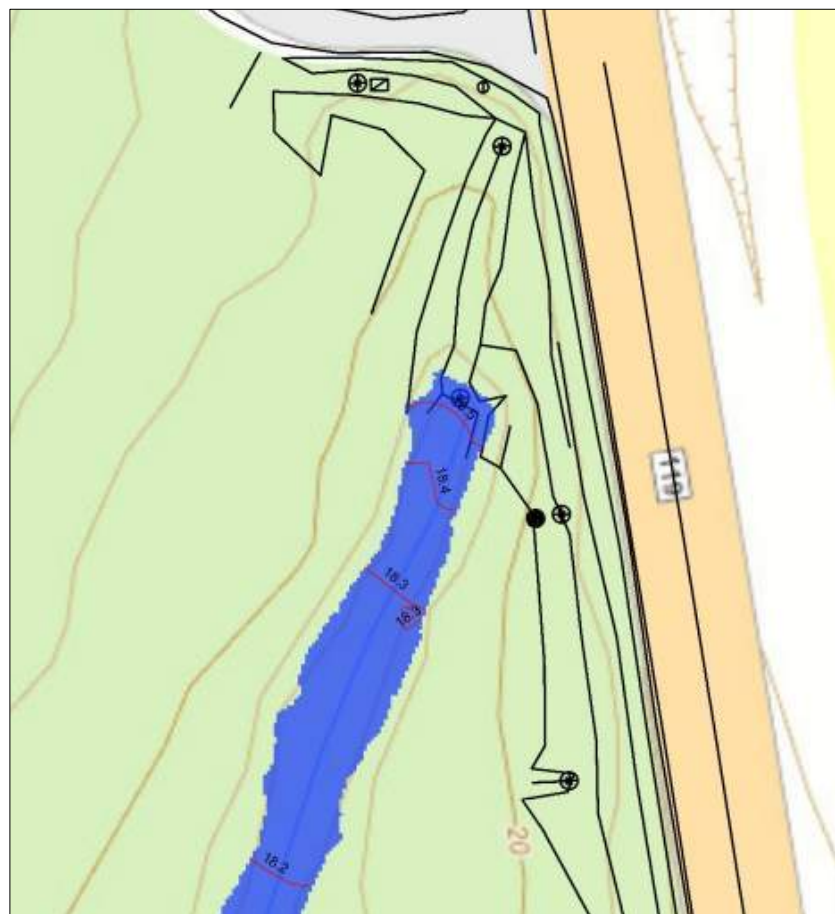
Høyde for ny bru og GS-vei må forholde seg til høyde på fv. 119 på østsiden av bekken, og høyde på eksisterende skogssti på vestsiden. Terrenghøydene ved krysningspunktet gir ingen utfordringer mhp. stigning/fall for bru og GS-vei.

Det er gjennomført en kartlegging av naturmangfoldet i området. Det er ikke registrert rødlistede naturtyper eller naturtyper med sentral økosystemfunksjon i tilknytning til bekkeløpet og kantsonen til bekken. Det er ingen store, grove trær av spesiell verdi i området. Det er ingen naturverdier tilknyttet bekken utover at kantsonen og bekken har verdi i seg selv. Bekken er gyteområde for ørret.

Det er ikke registrert kulturminner i området rundt traséen.

Flomsituasjon i bekken

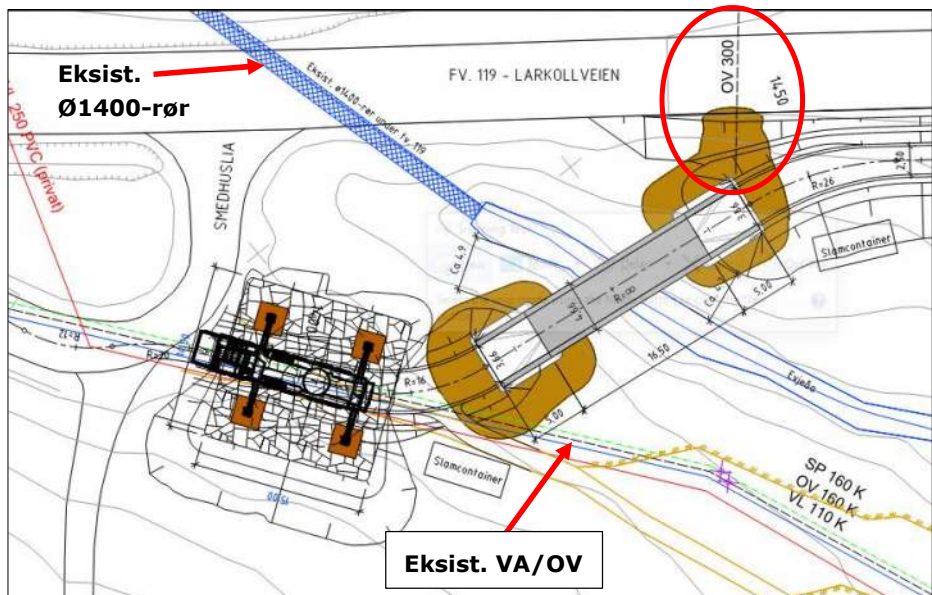
Det er utarbeidet en hydrologi-rapport med bla. flomberegninger. Rapporten viser at vannivået ved 200 års flom ligger på ca. kote +18,5 m ved utløpet av Ø1400-kulerten. Kapasiteten til røret begrenser flomnivået i bekken – eventuelle oversvømmelser oppstår oppstrøms innløpet.



Figur 7 – Utklipp fra hydrologirapport: Flomsone ved utløp av kulvert (Kilde: COWI)

Eksisterende kabler og ledninger:

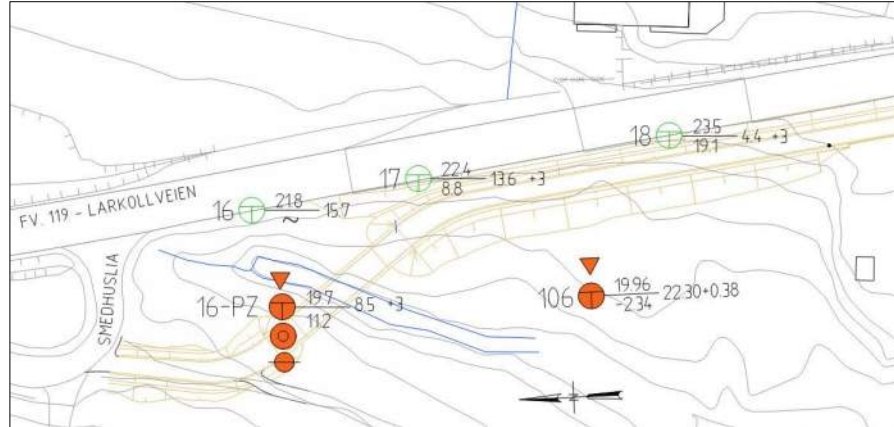
- Det er ingen kjente kabeltraséer i bruområdet
- Moss kommune har en ledningstrasé som går gjennom området ($\varnothing 160$ spillvann, $\varnothing 160$ overvann og $\varnothing 160$ vann). I omtrent samme trasé har Årefjorden Vanningslag en $\varnothing 250$ vannledning. Disse ledningene ligger under planlagt mobilkranplass og antakelig delvis over planlagt gravegrop for brufundament. Det er gjort befaring av kommunale ledninger/kummer med kommunen – ledningene ligger ca. 2m under terreng i dette området. Årefjorden Vanningslag bekrefter at deres ledning ligger i samme grøft som kommunen.
- Under fv. 119 ligger en $\varnothing 300$ overvannsledning med utløp i planlagt gravegrop / i konflikt med nytt landkar på østsiden av bekken. Denne må permanent tettes/settes ut av drift. Det må vurderes nærmere om man kan la vannet renne videre nordover til eksist. $\varnothing 1400$ -rør – hvis det ikke er mulig, må det bores nytt rør under vegen noe lenger syd.
- Eksisterende $\varnothing 1400$ -rør vil ikke være i konflikt med arbeidene



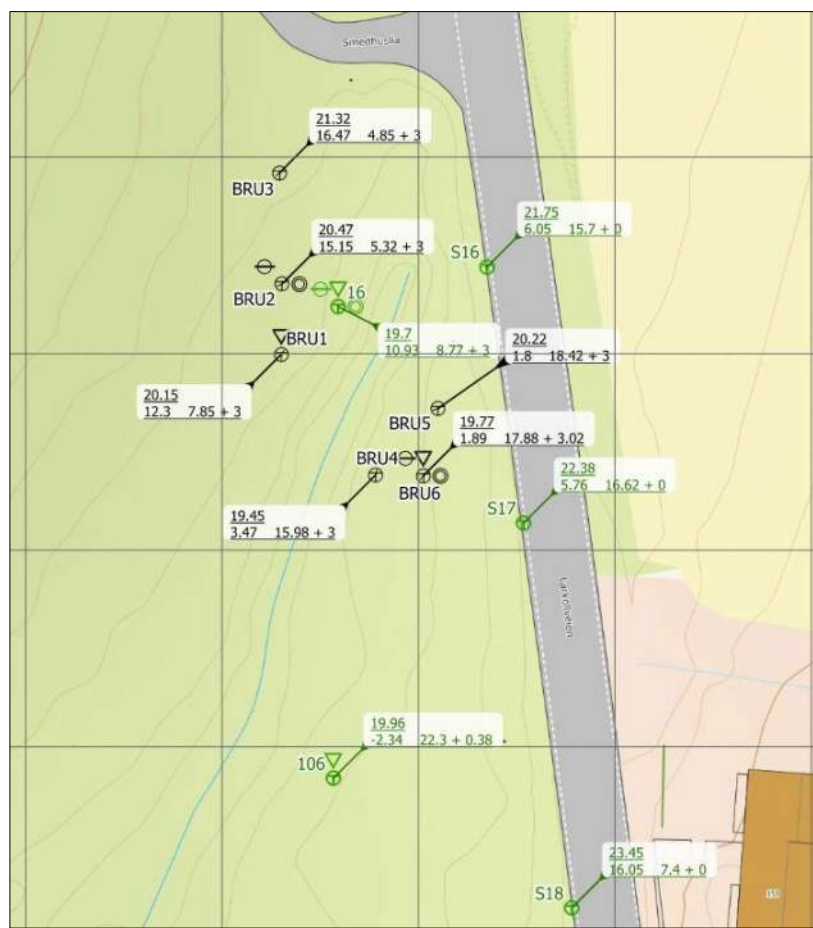
Figur 8 – Eksisterende ledninger og rør i bruområdet (Kilde: COWI)

3.3 Grunnforhold

Det er foretatt grunnundersøkelser i tre omganger i prosjektområdet. De to første rundene ble utført ifm. den opprinnelige traséen for GS-veien. Den siste ifm. planlegging av GS-bru:



Figur 9 – Borpunkter ifm. opprinnelig trasé for GS-vei – her er vist med ny trasé. Grønne punkter er utført av Statens vegvesen – oransje av COWI (Kilde: COWI)



Figur 10 – Svarte punkter (BRU1-6) utført ifm. bruplanlegging. Grønne punkter er de samme som vist i Figur 9 (Kilde: COWI)

Dybdenivåene til berg i sonderingene omkring planlagt bru varierer mellom ca. 5 – 11m på vestsiden av bekken, og ca. 16 – 19m på østsiden. Basert på NGU kart vurderes at berget i prosjektområdet er en granittisk gneis.

Grunnundersøkelsene viser leirlag som i hovedsak består av sprøbruddsmateriale og kvikkleire. Det er relativt kort ned til leirlagene fra terrenngoverflaten – ca. 3m. På østsiden av bekken tyder sonderingene på at kvikkleiremektigheten er relativt stor - helt ned til påvist bergoverflate.

Det vises til datarapporter i Vedlegg 3.

3.4 Prosjekteringsgrunnlag

Håndbøker fra Statens vegvesen:

- [1] Håndbok N100 *Veg og gateutforming* 06.10.2023
- [2] Håndbok N101 *Trafikksikkert sideterreng og vefsikringsutstyr* 21.12.2022
- [3] Håndbok V161 *Brurekkverk* 2016
- [4] Håndbok N200 *Vegbygging* 01.11.2022
- [5] Håndbok V220 *Geoteknikk i vegbygging* 18.08.2023
- [6] Håndbok V221 *Grunnforsterkning, fyllinger og skråninger* 2014
- [7] Håndbok N400 *Bruprojektering* 01.01.2023
- [8] Håndbok N401 *Bruforvaltning fylkesveg* 22.06.2022
- [9] Håndbok R761 *Prosesskode 1* 2018
- [10] Håndbok R762 *Prosesskode 2* 2018

I tillegg tilhørende gjeldende Eurokoder (NS-EN 1990–1999).

4 Geotekniske vurderinger

Det er utarbeidet geoteknisk rapport (vedlegg 3) med presentasjon og tolkning av gjennomførte geotekniske grunnundersøkelser, samt geotekniske vurderinger av forhold som må ivaretas, bla.:

Fundamentering av ny GS-bru

Landkar og betongtrau for bru må fundamenteres på stålkjernepeler til berg. Det er gjort vurdering av pelekapasitet for ulike dimensjoner av stålkjernepeler.

Det skal graves ut til 1m under terreng før det installeres stålkjernepeler. Når pelene er etablert, kan det graves ut til endelig nivå for kapping av peler og etablering av landkar og betongtrau.

Utgraving for landkar/betongtrau

Det er gjort beregninger av lokalstabilitet ved utgraving for landkar og betongtrau. På østsiden av bekken må det av stabilitetshensyn sikres at kjørefeltet nærmest utgravingen stenges for trafikk i anleggsperioden. Eventuelt behov for et mindre, midlertidig tiltak mot graveskråningsutslag inn i fv. 119 må håndteres av entreprenør ifm. bygging.

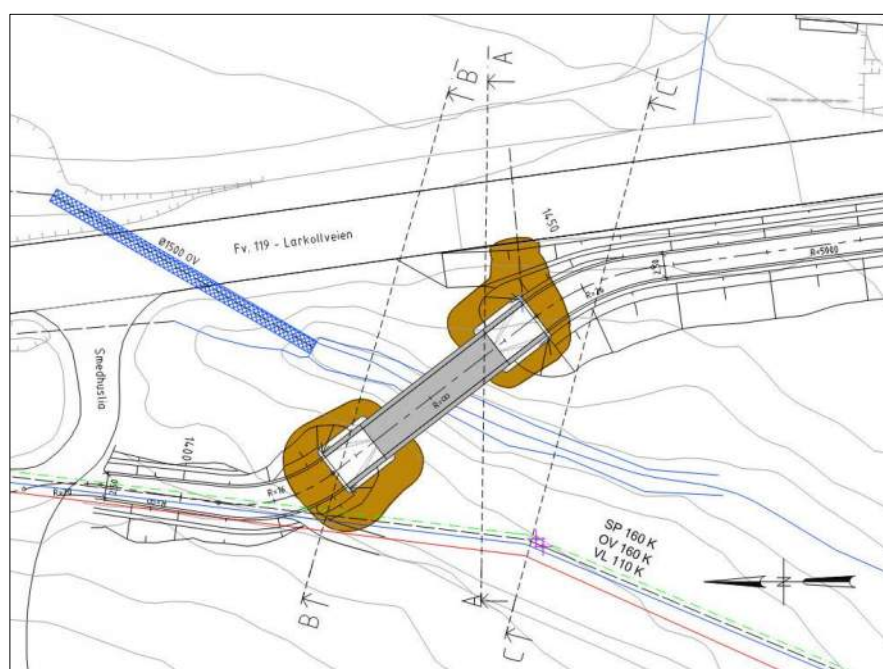
Det kan benyttes graveskråninger med helning 1:1,5 i området.

Beregningene viser at det kan benyttes følgende anleggslast:

Østlig side: Anleggslast =20 kPa for all aktivitet

Vestlig side: Anleggslast =15 kPa på terrenget ovenfor utgraving

Anleggslast = 20 kPa ved installasjon av peler



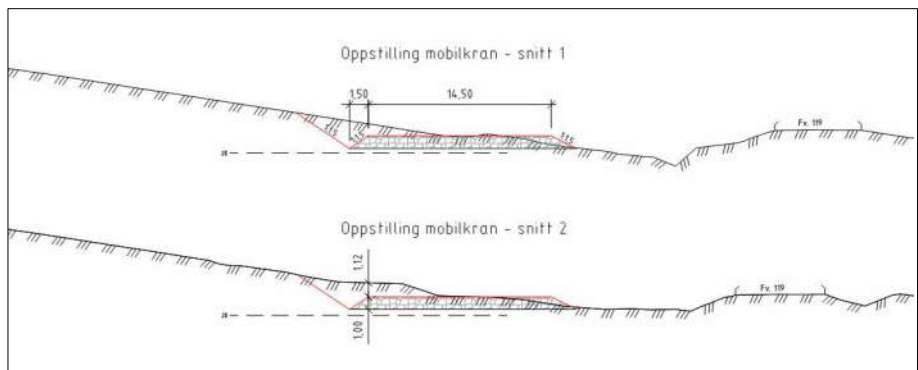
Figur 11 - Utgraving for landkar og trau på vestlig og østlig side av bekke – vist med brun farge. Det er utført stabilitetsberegninger i snitt A, B og C.

Fundamentering av kran for løft av bru-elementer

Type mobilkran (LTM 1250) for nødvendige løft vs avstand er vurdert i samråd med Nordic Crane. For å etablerere et fundament med tilstrekkelig bæreevne for anbefalt kran må det masseutskiftes med kult/sprengstein i 1m. Videre må private/kommunale ledninger under fundamentet hensyntas ved at trykkfordelingsplater 2,5m x 2,5m plasseres under «kranlabbene». Det medfører at fyllingsflaten må ha b x l ca. 14 x 15m.



Figur 12 - Oppstillingsplass for mobilkran vist med rødt.



Figur 13 – Snitt oppstillingsplass. Plassert i høyde slik at graving vs fylling gir mest mulig nøytral belastning på terrenget.

Områdestabilitet er behandlet i egen rapport (A116326-RAP-RIG-005 «Områdestabilitetsutredning ved ny GS-bru»). Rapporten viser at områdestabiliteten er ivaretatt ved etablering av ny GS-bru.

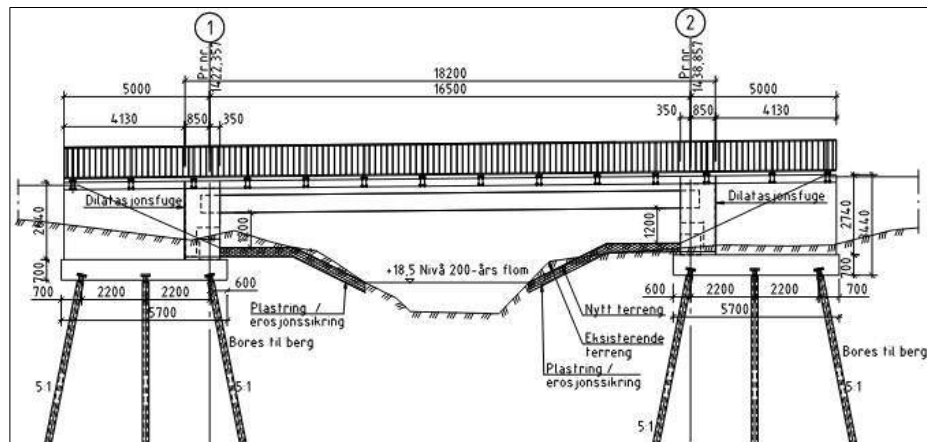
5 Ny GS-bru

Ny gang- og sykkelbru planlegges som tidligere nevnt med prefabrikkerte betongbjelker iht. Statens vegvesens håndbok V426 «Prefabrikkerte brubjelker» (2019). Brua etableres i ett spenn, og fundamenteres med peler til berg i begge akser. Det benyttes standard prefabrikkerte betongbjelker beregnet for kjørebruer selv om bruva kun dimensjoneres som en gang- og sykkelbru. Konsept med prefabrikkerte betongbjelker er valgt som en kostnadseffektiv løsning gitt forholdene på stedet. Løsningen gir enkel og rask gjennomføring (bjelker heises over bekken og reis i bekken unngås), lave vedlikeholds-kostnader og mulighet for lokal produksjon av bjelkene.

Ny bru prosjekteres for 100-års dimensjonerende brukstid i henhold til vegnormal N400. Elementer og utstyr som har dimensjonerende brukstid mindre enn 100 år skal kunne skiftes ut.

5.1 Geometri

Brua har spennlengde 16,5 meter, og en totallengde på 18,2 meter. Føringsbredden er 3,66 meter. Dimensjoneringsgrunnlag for antall gående og syklende i makstimen i et normaldøgn er bestemt til <15 stk.



Figur 14 – 3D-modell av ny bru og GS-vei (Kilde: COWI)

I horisontalplanet ligger hele bruva rett, uten kurvatur. Vertikalt ligger bruva med lengdefall på 1% fra akse 2 mot akse 1, og den har et ensidig tverrfall på 2 %. Før og etter bruva har GS-veien godkjent fravik fra krav til minste horisontalkurvatur i vegnormal N100.

UK landkar/betontrau er plassert så høyt som mulig i terrenget for å unngå gravegropar ned mot kvikkleira og graveskråninger inn i eksisterende fylkesvei på østsiden.

Høyde fra underkant bruoverbygningen til terrenget er ved landkarene minimum 1200 mm henhold til krav om fri avstand ved lager. Underkant bruoverbygning er beregnet til å ligge godt over dimensjonerende flomnivåer, og har en frihøyde på mer enn 2 m over beregnet nivå for 200 års flom.

Topp brudekke er lagt så lavt som mulig for å få lavest mulig fyllingsskråninger mot bekkens kantsoner/tilliggende skog, samt at det av estetiske grunner ikke er ønskelig at GS-veg og bru skal ligge over fylkesveien i høyde.

I sum innebærer dette at total høyde fra UK landkar/betontrau til topp brudekke er, med basis i N400 og V426, så liten som teknisk mulig.



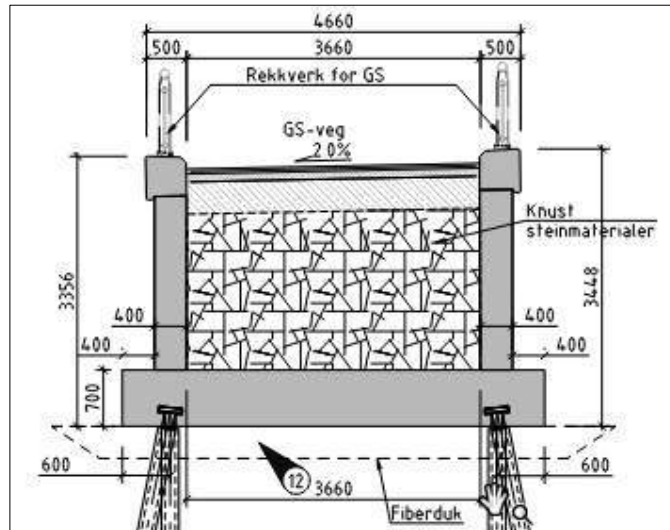
Figur 15 – 3D-modell av ny bru og GS-vei (Kilde: COWI)

5.2 Underbygning

Underbygning består av plasserte landkar fundamentert på antatt Ø150 mm stålkjernerpelet til berg. Landkarene består av fundamentplate, landkarvegger og lagerhylle. I overgangen mellom overbygningens påhengte endetverrbjelker og landkarveggene etableres en fordyblet dilatasjons-/ betongfuge.

Inne i landkarene tilbakefylles det med gode, komprimerbare sprengsteinsmasser. Videre bak landkartrauene, inn i GS-veioppbyggingen, etableres det en løsning med geonet og friksjonsmasser/lette masser, slik at differansesetninger i overgangen landkartrau / GS-vei minimeres.

Dersom mindre differansesetninger likevel skulle oppstå, er det avklart i prosjektet at dette i så fall kan justeres ved fremtidig vedlikehold og mindre asfaltarbeider.



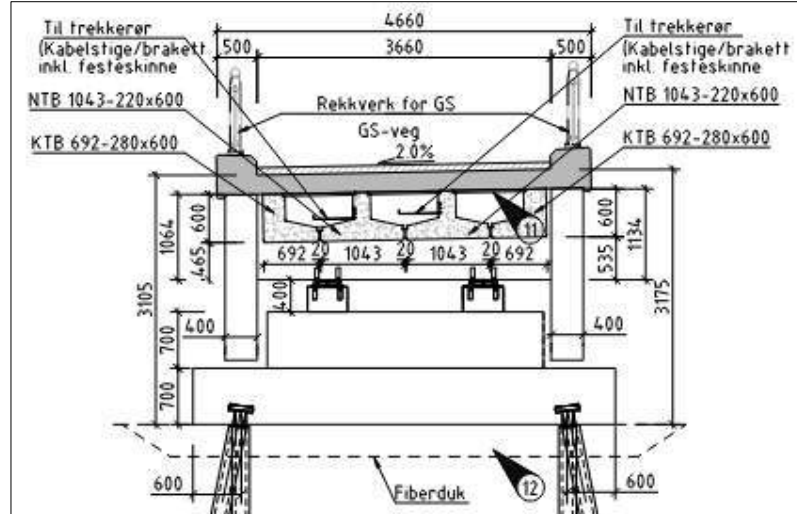
Figur 16 – Snitt landkar / betongtrau (Kilde: COWI)

5.3 Overbygning

Bruoverbygningen har ensidig 2% tverrfall og bygges opp av 4 stk prefabrikkerte betongbjelker med plassstøpt dekke og endetverrbjelker. Brua har kun allsidige og ensidige lager, og er avhengig av sprengsteinsfyllingene på hver side av bruas for effektivt kraftopptak av horisontale krefter i bruas lengderetning. Sidekrefter tas opp av ensidige lagre i akse 1 og 2.

Det benyttes forhåndsgodkjente prefabrikkerte bjelker i henhold til håndbok V426 - 2 stk NTB 1043-220 x 600 og 2 stk KTB 692-280 x 600. Begge bjelketypene er av typen med redusert bredde i hht. V426 (NTB 1200-220 x 600 og 2 stk KTB 770-280 x 600 med redusert bunnflens). Disse spenner fra 12 m – 18 m, og egner seg derfor godt til 16,5 m spenn. I og med at bjelkene produseres med standard bredder, medfører dette at bruas føringsbredde lik 3,66 m.

Kantdrager utformes i henhold til vegnormal N400 og følgetegninger til håndbok V426. Kantdrager skal være plassstøpt og uten svinnfuger. Av hensyn til estetikk og sammenhengende linjer er bredden satt til det samme som bredden på topp landkarvegger (trau) – 500mm. Støp av kantdrager skal utføres etter at brudekket er herdet.



Figur 17 – Snitt overbygning / lagerhylle (Kilde: COWI)

5.4 Utstyr

5.4.1 Lager

Brua utføres med ett stk. allsidig bevegelig og ett stk. ensidig bevegelig lager i hver av landkaraksene. I byggefase og ved ev. fremtidige vedlikeholdsarbeider som f.eks bortgraving av masser bak tverrbjelke, må midlertidig fastholding vurderes.

5.4.2 Fuger

Brua utføres uten fuger.

5.4.3 Belegning

Det benyttes belegningsklasse A3-4. Det er i dialog med ØFK bestemt at det av driftshensyn skal legges 80mm asfaltdekke.

5.4.4 Rekkverk

Det skal benyttes gang- og sykkelbrurekkverk med $h \geq 1200$ mm.

5.4.5 Overvann

Det er ikke planlagt sluk på bru. Overvann ledes langs brubanen og ut på terrenget.

5.4.6 Elektriske installasjoner og trekkerør

Brua utføres uten elektriske installasjoner. Vegnormal N400 angir i punkt 12.7.2-1 at det skal legges inn minimum tre ledige trekkerør med innvendig diameter minst 40 mm for fremtidig bruk.

5.4.7 Nivelleringsbolter

Nivelleringsbolter etableres i henhold til vegnormal N400 pkt. 12.8.4.

5.5 Byggetilstanden og anleggssituasjon

Prefabrikkerte betongbjelker tillater rasjonell byggemåte der bæresystemet heises inn etter etablering av underbygning og tverrbjelker. De standardiserte bjelkene i håndbok V426, leveres ferdig tilrettelagt for forskaling for plate og kantdragere. Etter tetting av den langsgående bjelkefugen får konstruksjonen en tett underside før utstøping av bruplata, som gir et godt resultat mhp. bestandighet.

Anleggssituasjon med tilgjengelighet og gjennomførbarhet er vurdert, og tiltak og hovedarbeidsfaser er foreslått. Det vises til vedlegg 2 (Z-tegninger) samt redegjørelser/figurer i foregående kapitler.

Det er for øvrig vurdert som uproblematisk med transport av ca. 17m lange bjelker på veinettet fra E6 frem til mobilkran-plass.

6 Bruløsning, innsigelse og ny regulering

Som redegjort for i kapittel 2 er bruløsningen et resultat av oppfølging av innsigelser og dialog med SF og NVE.

Både valgt krysningspunkt og teknisk løsning/brutype er påvirket av hensynet til naturmiljø. Først og fremst ønsker SF og NVE å unngå permanente inngrep i ørretbekken. Videre ønsker de å bevare mest mulig trær-skog, vegetasjon og skygge i og omkring bekkens kantsone i ferdigsituasjonen. Dvs. det er et mål i prosjektet med minst mulig omfang av permanente inngrep (regulerte vegarealer) langs bru og GS-vei. Bla. er bredde på driftsarealer langs sidene på bruа i prosessen justert ned fra 3m til 2m, og arealer for tilkomst til lagre under bruа minimert. Det er laget, og fremvist for SF, forslag til formåls grenser for permanente og midlertidige arealbeslag (Z-tegninger). Videre er det laget O-tegning som viser arealer med eksisterende/gjenstående vegetasjon, og arealer for reetablering av vegetasjon etter anleggsfasen (midteldtidige anleggsbelter). De midlertidige anleggsbeltene er tilpasset arbeidene som må utføres. Det vises til vedlegg 2.

Forslag til tekniske løsninger med tegninger for arealbruk / vegetasjonstiltak / formåls grenser er ifm akseptert av SF. Videre arbeider med revidering av planforslag ifm. ny offentlig høring baseres på dette.

7 Kostnadsvurdering

Brukostnaden er beregnet ut fra bruflate inkl. kantbjelker multiplisert med en erfaringsbasert m²-pris. M²-prisen er vesentlig basert på kostnaden for Vadbruа i Trøndelag. Vadbruа er en sammenliknbar, standard prefabrikkert bjelkebru ferdigstilt våren 2023. Det vises til vedlegg 4.

Kostnadsøkning for å krysse bekk med bru, i stedet for opprinnelig regulert løsning med ca. 17m rør/bekkelukking, er vurdert til å ligge omkring 10 mill.

8 Vedlegg

Vedlegg 1

Innsigelser/alternativvurdering

- Notat «Innsigelser fra Statsforvalteren og NVE» (COWI, 15.09.2023, ver. 2.0). *NB: Uten vedlegg, se Vedlegg 2 under.*

Vedlegg 2

Tegninger

- C001: Plan- og profil, GS-vei
- K001: GS-bru. Plan, oppriss og snitt
- O001: Beplantning, vegetasjon og formåls grenser
- Z001: Anleggssituasjon og formåls grenser
- Z002: Anleggssituasjon og formåls grenser
- Kontroll mobilkran_1
- Kontroll mobilkran_2

Vedlegg 3

Geoteknikk

Datarapporter:

- B11501-GEOT-1, Fv. 119 GS-veg Dilling-Vang (Statens vegvesen, 24.03.2020)
- A228076-RAP-RIG-001, Fv. 119 GS-veg Dilling-Vang supplerende GU (COWI, 11.04.2022, ver. 2.0)
- A268914-RAP-RIG-001, Dilling Bru GU (COWI, 27.11.2023, ver. 1.0)

Vurderingsrapport:

- RAP-RIG-004 Forprosjekt GS-bru over Evjeåa (16.02.2024, ver. 1.0)

Vedlegg 4

Kostnadsvurdering

VIKEN FYLKESKOMMUNE

NOTAT - INNSIGELSER FRA STATSFORVALTEREN OG NVE

DETALJREGULERINGSPLAN FOR FV. 119 DILLING-VANG

ADRESSE COWI AS
Kobberslagerstredet 2
Kråkerøy
Postboks 123
1601 Fredrikstad
TLF +47 02694
WWW cowi.no

INNHOLD

| | | |
|---|---|----|
| 1 | Bakgrunn | 2 |
| 2 | Prosess innsigelser | 4 |
| 3 | Naturmiljøet i området | 5 |
| 4 | Alternativvurdering trasévalg | 7 |
| 5 | Alternativer ved kryssing av bekk og anbefalt løsning | 13 |
| 6 | Andre allmenne interesser | 22 |
| 7 | Aktuelle avbøtende tiltak | 23 |
| 8 | Endringer i planforslaget | 24 |
| 9 | Oversikt utredninger i forrige planforslag | 27 |

OPPDRAUGSNR. DOKUMENTNR.

A116326

| VERSJON | UTGIVELSESDATO | BESKRIVELSE | UTARBEIDET | KONTROLLERT | GODKJENT |
|---------|----------------|---|---|---|-------------|
| 1.0 | 22.11.2023 | Grunnlag for løsning av innsigelser til reguleringsplan | Ingebjørg Løset Øpstad, Bent Weberg, Ida Nossen | Ingebjørg Løset Øpstad, Bent Weberg, Ida Nossen | Bent Weberg |
| 2.0 | 15.09.2023 | Grunnlag for løsning av innsigelser til reguleringsplan | Ingebjørg Løset Øpstad, Bent Weberg, Ida Nossen | Ingebjørg Løset Øpstad, Bent Weberg, Ida Nossen | Bent Weberg |

1 Bakgrunn

I forbindelse med offentlig ettersyn av reguleringsplan for fv. 119 gang- og sykkelveg Dilling - Vang (2. runde) kom Norges vassdrags- og energidirektorat (NVE) og Statsforvalteren i Oslo og Viken (SF) med innsigelser til planen, hovedsakelig knyttet til påvirkning av naturmangfold ved bekken Evjeåa sør for krysset Larkollveien x Smedhuslia.

Reguleringsplanen legger til rette for gang- og sykkelveg langs fylkesveg 119 Larkollveien fra Dilling til Vang skole. I tillegg legger planen til rette for utbedring av de to kryssene fylkesveg 119 Larkollveien x fylkesveg 1066 Kirkeveien, og fylkesveg 119 Larkollveien x fylkesveg 1064 Klosterveien. For nærmere beskrivelse av planforslaget henvises det plandokumentene.

Ved å endre planforslaget iht. anbefalt løsning i kapittel 8 i dette dokumentet, og samtidig redegjøre mer for alternativvurdering og påvirkning på bekken er målet at innsigelser fra NVE og SF kan løses.

› Generelt om tiltaket langs strekningen

Ny gang- og sykkelveg etableres generelt med asfaltert bredde på 2,5 meter, og med grusskulder på 0,25 meter på hver side, i henhold til Statens vegvesens håndbok N100. Det er planlagt 3 meter åpen grøft mellom gang- og sykkelveg og kjøreveg, samt rekksverk langs gang- og sykkelvegen der topografinen tilsier det.

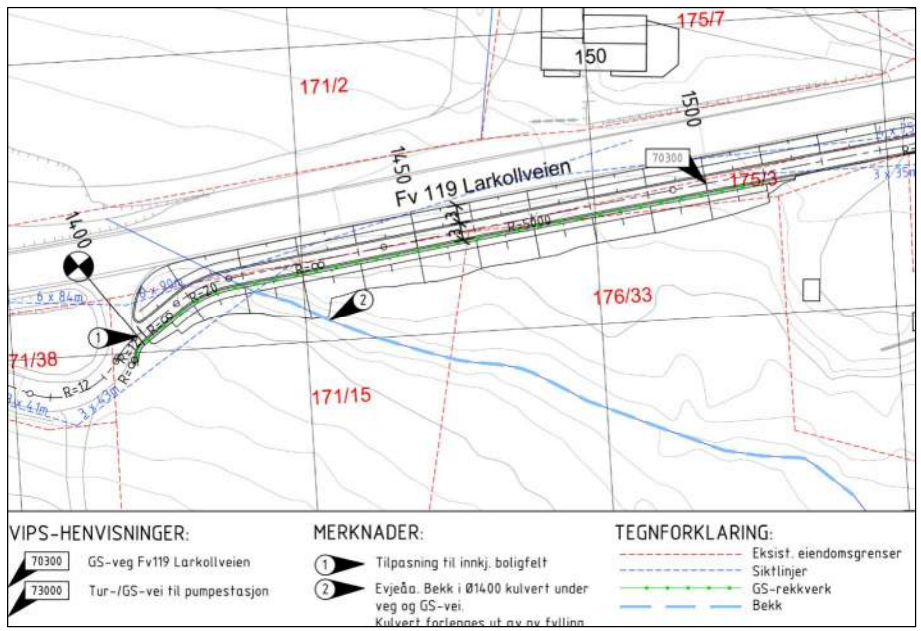
Planen sikrer areal som kan benyttes som midlertidig bygge- og anleggsområder. Det er krav om at områder som benyttes til bygge- og anleggsområder, skal tilbakeføres senest i løpet av vårsesongen etter at veganlegget er åpnet. Størrelsen på arealet er varierende, og er tilpasset topografiske forhold langs veganlegget og de eksisterende veger og bebyggelse i planområdet. Alle arealer som er regulert til samferdselsformål kan benyttes til riggplate og bygge- og anleggsområde i forbindelse med utbygging av prosjektet.

Opprinnelig løsning forbi Evjeåa

Evjeåa krysser i dag under Larkollveien i kulvert/betonrør (Ø1400) omkring avkjørselen til Smedhusåsen, og går deretter som åpen bekk videre sørover. I planforslaget som var på høring høsten 2022 var det foreslått en løsning for dette området som resulterte i 17 meter forlengelse av eksisterende kulvert pga. behov for fylling langs GS-veien.



Figur 1 Utsnitt av reguleringsplanen som var på høring høsten 2022. Bekken går i rør under veien og kommer i dag ut like sør for krysset med Smedhuslia, vist som o_KV2 i plankartet.



Figur 2 Utsnitt av teknisk plan tilhørende planforslaget som var på høring høsten 2022. Området hvor bekken Evjeåa kommer ut av røret i dag. (Nord er til venstre i tegningen).

2 Prosess innsigelser

I dette kapitlet gis en oversikt over prosessen knyttet til løsning av innsigelser til planen ved offentlig ettersyn/høring høsten 2022.

Innsigelser

Ved offentlig ettersyn av reguleringsplanen kom NVE og Statsforvalteren med følgende innsigelser og merknader:

NVE har i brev av 29.09.2022 innsigelse som følger: "NVE har innsigelse (jf. pbl. § 5-4) til planen. Grunnlaget for innsigelsen er at virkningene for vassdragsmiljøet i Evjeåa ikke er godt nok utredet og ivaretatt i planen.

- Å legge Evjeåa i rør vil kunne være konsesjonspliktig i henhold til vannressurslovens bestemmelser.
- Bestemmelsesområde #1 midlertidig anlegg- og byggeområde er lagt over store deler av Evjeåa. Det er ikke klart hvilke tiltak som skal gjøres her og det er ikke satt bestemmelser om hvordan bekken skal ivaretas.
- *For å løse innsigelsen må virkningene av tiltakene som berører Evjeåa beskrives og vurderes, og planen må stille krav som ivaretar vassdragsmiljøet. Hvis det er behov for avbøtende tiltak må det gis bestemmelser om dette i planen. Innsigelsen er forankret i NVE veileder 2/2017 «Nasjonale og vesentlige regionale interesser innen NVEs saksområder i arealplanlegging».*

SF har i brev av 05.10.2022 innsigelse som følger:

- *Vi fremmer innsigelse til planforslaget da vi mener hensynet til bekken Evjeåa ikke er tilstrekkelig ivaretatt. Evjeåa er en viktig gytebekk for sjøørret og det bør derfor ikke settes i gang tiltak som har negativ virkning på bekken som gyte- og oppvekstområde. Vi mener forslaget må redegjøre bedre for konsekvensene av tiltaket for bekken, spesielt i tilknytning til bestemmelsesområde #1 for midlertidig bygg- og anleggsområde. Vi mener også det må gis tydeligere føringer i planens kart og bestemmelser som sikrer at bekken med tilhørende kantvegetasjon blir ivaretatt.*

SF har i tillegg i eget brev av 05.10.2022 informert om at de er samordningsmyndighet for andre statlige etaters innsigelser (i dette tilfellet NVE), og at de ikke har avskåret NVEs innsigelse.

Notat "Notat innsigelser SF og NVE", datert 22.11.2022

Som en del av prosessen for å løse innsigelsene ble det utarbeidet et notat som grunnlag for et møte med innsigelsesmyndighetene. Der ble det redegjort nærmere for de tekniske løsningene i planen, konsekvenser for naturmangfold, samt vurdering av skadereduserende tiltak. På bakgrunn av dette ble det gitt anbefalinger om endringer i planforslaget, både i bestemmelser og plankart. Notatet foreligger som vedlegg til dette dokumentet.

Møte med innsigelsesmyndighetene, 09.12.2022

Videre ble det avholdt møte med NVE og SF i desember 2022, der de redegjorde nærmere for sine innsigelser, og det ble diskutert videre prosess. Moss kommune deltok også i møtet, og stilte seg bak innsigelsene fra de andre myndighetene, selv om de selv ikke leverte innspill til høringsrunden. Referat fra møtet er vedlagt (vedlegg 4). I møtet fremkom at løsningen rundt kryssing av bekken der ca. 17 m legges i rør er hovedproblemet og grunnlag for innsigelsen. Det ble stilt krav fra innsigelsesmyndighetene om å vurdere alternativer til trasé som ikke berører bekken. Dersom man skal gå videre med traseen slik den forelå ved 2. høringsrunde, må man i så fall vite at dette er det beste alternativet totalt sett. I møtet ble det nevnt en del forslag til traseer og momenter som kan vurderes. Det er gjengitt nedenfor:

- > Via Vesteråsveien til Vang skole
- > Fra Smedhuslia-svingen: Langs eksisterende skogsvei og gjennom skogen forbi dammen/pumpehuset og opp bakken til gangkryssing ved Vang
- > Fra Smedhuslia-svingen: Til høyre gjennom boligområdet mot Smedhusåsen, og følge Smedhusåsen forbi dammen/pumpehuset og opp bakken
- > Kan GS-vegen være smalere/ha mindre avstand til veg? Kan bredden og geometrien på gs-vegen fravike fra krav i vegnormalen akkurat der den krysser bekken? Det vil kunne gjøre det mulig å legge en noe kortere strekning av bekken i rør.

3 Naturmiljøet i området

Dette kapitlet inneholder en beskrivelse av naturverdiene i området rundt Evjeåa. Påvirkning på naturmangfold vurderes for de ulike alternativene i kap. 5.

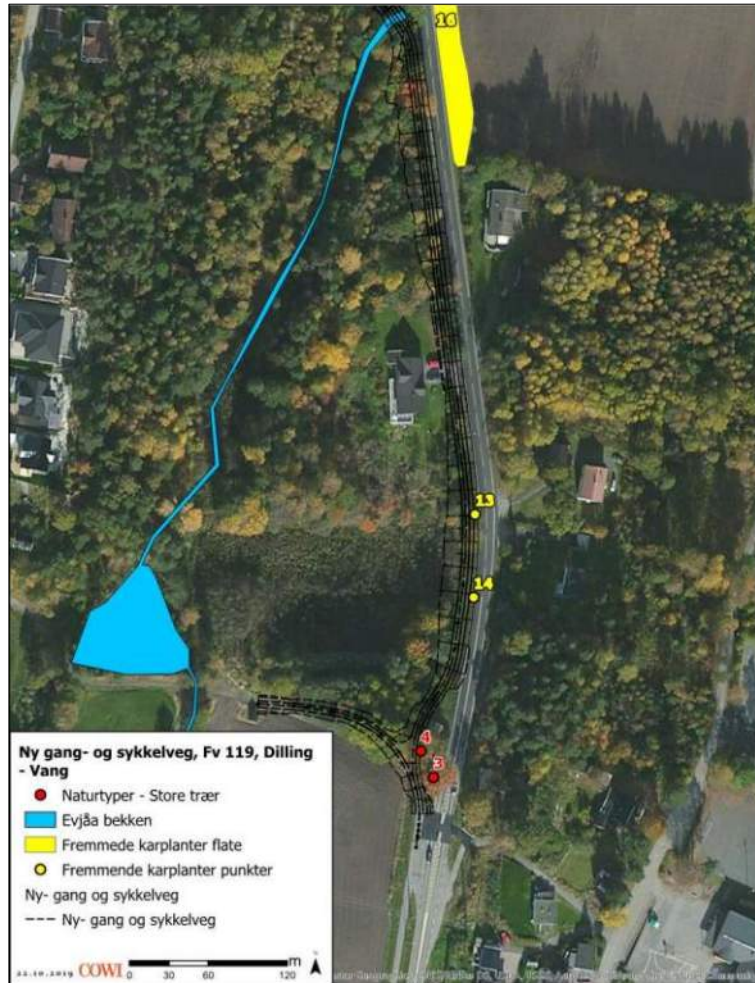
Siden forrige notat og møte med SF/NVE er det gjort ytterligere registreringer av naturforholdene i området rundt Evjeåa.

3.1.1 Gyting i Evjeåa

Evjeåa krysser i dag under Larkollveien i kulvert/betongrør (Ø1400) omkring avkjørselen til Smedhusåsen, og går deretter som åpen bekke. Evjeåa inngår i bekkefeltvannforekomsten "Kystbekker Råde og Rygge"(ID:003-1-R) som er vurdert å ha svært dårlig økologisk tilstand (Vann-Nett 11/19). Bunnfaunaen er satt til svært dårlig, men fiskesamfunnet er vurdert til å ha svært god tilstand. Det er gjort el-fiske i bekken datert tilbake til 1996 og fram til siste datainnsamling i 2019 (Leif Roger Karlsen 2015, Ole Håkon Heier 2019). Det konstateres her at fiskesamfunnet i bekken har bedret seg, og har nå en fin bestand av ørret, henholdsvis både stasjonær ørret og sjøørret. Det er utført en rekke restaureringstiltak for å bedre gyte- og oppvekstforholdene i bekken (Håvard Hornnæs, Fylkesmannen i Oslo og Viken pers.med)

De beste gyte- og oppvekstområdene i bekken er på strekningen fra Røed gård til Larkollveien, se utklipp neste side, der Evjeåa er markert i blått. Øvre del av Evjeåa, opp til kryssing av fv. 119, er vurdert som de mest produktive gyteplasser for ørreten (2015, Fylkesmannen i Østfold).

Bekken har til tider høy turbiditet grunnet diffus avrenning fra jordbruk samt bebyggelse. Kortvarig partikkelforurensning vurderes å gi lite negativ påvirkning.



Figur 3 De beste gyte- og oppvekstområdene i bekken er på strekningen fra Røed gård til Larkollveien.

3.1.2 Kantvegetasjon

Vannressurslovens § 11 om kantsoner slår fast at det skal opprettholdes et naturlig vegetasjonsbelte langs vassdrag med årssikker vannføring, som motvirker avrenning og gir levested for planter og dyr.

Våren 2023 ble det utført supplerende registreringer av kantsonen og skogsområdet rundt Evjeåa. Evjeåa har en etablert kantsone på begge sider. Tresjiktet består av blandingskog av gran- og lauvtrær. Lenest nord på strekningen er bartreinnslaget tilnærmet likt lauvtreandelen, mens lauvtreandelen gradvis øker sørover mot dammen hvor den går over i å være en

noe rikere lauvtreskog dominert av svartor og med innslag av enkelte mer krevende arter. Der bekkeløpet ligger nær fylkesvegen og lystilgangen er god, inneholder kantsonen et busksjikt bestående av blant annet spisslønn og hassel. Ut over dette er kantsonen til bekken en del av et etablert skogsmiljø med sparsomt busk- og feltsjikt.

Det ble ikke registrert rødlistede naturtyper eller naturtyper med sentral økosystemfunksjon i tilknytning til bekkeløpet og kantsonen ved befaring. Det ble heller ikke kartlagt rødlistede arter langs denne strekningen av tiltaksområdet.

Nord på strekningen, der det foreslås å etablere gang- og sykkelvei, består skogen og kantsonen til bekken av naturtypen svak-lågurtskog (T4-C2). En etablert granbestand i hogstklasse 4 minimerer lystilgangen til feltsjiktet og gir et surt skogsmiljø som reduserer muligheten for forekomster av verdifull natur. Helt inntil bekkeløpet er det en del lauvtrær av bjørk og spisslønn. Det er ingen store, grove trær av spesiell verdi på strekningen der det vurderes bru. Det er ingen naturverdier tilknyttet bekken utover at kantsonen og bekken har verdi i seg selv.

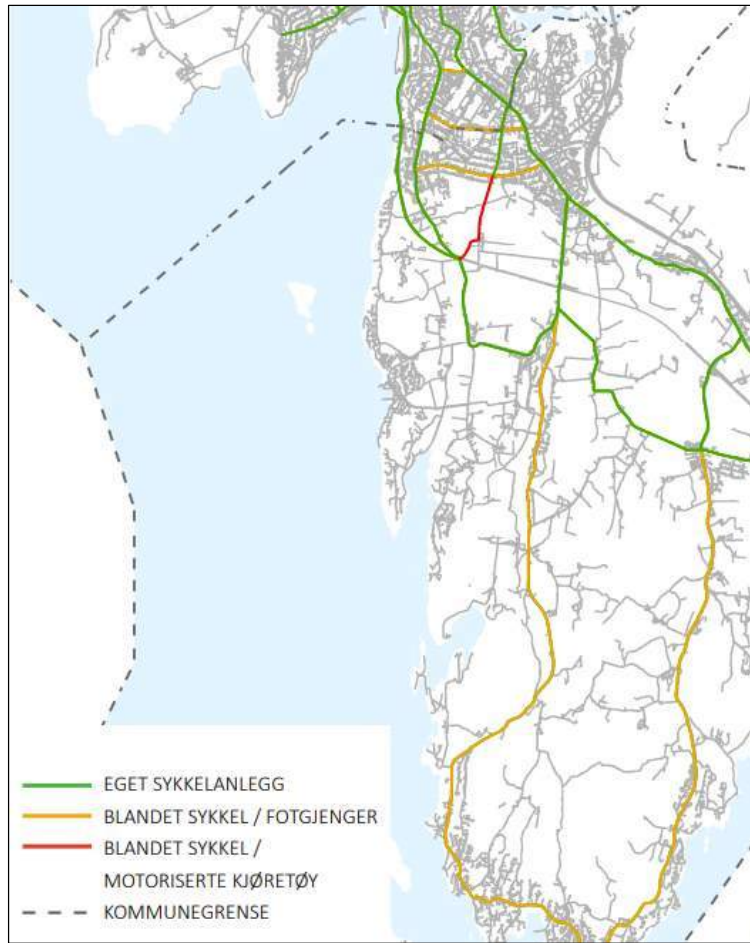
4 Alternativvurdering trasévalg

På bakgrunn av innspill fra møtet med innsigelsesmyndighetene har prosjektgruppa jobbet videre, og dette kapitlet omfatter en alternativvurdering med hensyn til valg av trasé for GS-veien for å minimere påvirkning på bekken Evjeåa.

Prosjektets overordnede mål er å sikre en trygg, sammenhengende løsning for gående og syklende langs fylkesveien, som ivaretar både skolebarn ved Vang skole og andre myke trafikanter mellom Dilling og Vang (inkl. fra boligområder ved Årefjorden via Hasleveien og videre nordover mot Bredsand/ungdomsskolen).

› Overordnede føringer

- I plan for "Hovednett for sykkeltrafikk, Moss/Rygge", 2019-2028, er strekningen mellom Dilling og Vang definert som del av rute "R5 Dillingruta" i hovedsykkelnettet, med ønsket prinsippløsning blandet sykkel/fotgjenger.



Figur 4 I plan for "Hovednett for sykkeltrafikk, Moss/Rygge", 2019-2028, ligger strekningen mellom Dilling og Vang inne som en del av hovedsykkelnettet, med ønsket prinsippløsning blandet sykkel/fotgjenger.

- Utforming i størst mulig grad iht. gjeldende veinormaler og veiledere
- GS-vei skal i størst mulig grad ligge langs eksisterende kjørevei for å unngå omveier som fører til at myke trafikanter velger å ferdes langs fylkesveien, og pga. hensyn til tekniske forhold (drift, vedlikehold, belysning mm.)
- GS-vei skal ligge på vestsiden av fylkesveien, siden det er der flest bor og det er på denne siden løsningen skal koble seg på eksisterende eller planlagte anlegg i nord og sør.

➢ Prosjektkriterier

Her beskrives forhold som er ønskelig å oppnå i prosjektet, basert på kriterier for hva som karakteriserer gode sykelløsninger iht. "Plan for hovednett for sykkeltrafikk i Moss/Rygge" og V122 Sykkelhåndboka.

- Mest mulig enhetlig utforming, unngå systemskifter

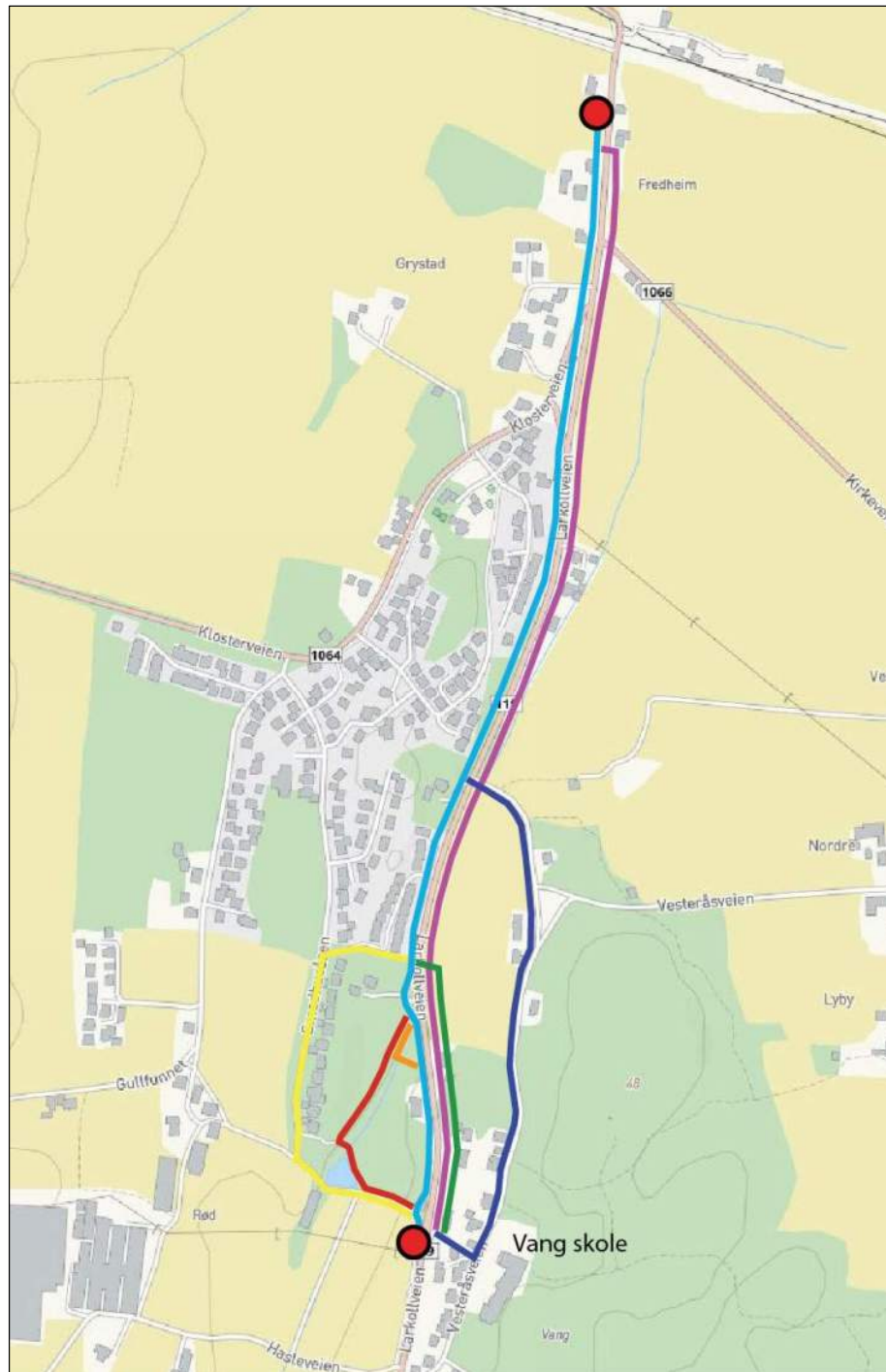
- Mest mulig direkte forbindelse mellom målpunkter, ikke omveier
- Færrest mulig barrierer, f.eks. veikryssing
- Skal være sikkert og oppleves trygt

› Andre forhold

For de alternativene som oppfyller krav til overordnede føringer og prosjektkriterier (nevnt over) vil følgende forhold kunne vurderes videre: Naturmiljø, tekniske forhold, geoteknikk, landskapshensyn, matjordbeslag, anleggs- og driftsforhold, økonomi.

Alternativvurdering

Videre gis en overordnet vurdering av alternative traséer vist i Figur 5, på bakgrunn av hvordan de forholder seg til overordnede føringer og kriterier nevnt over.



Figur 5 Kartet viser ulike traseer for GS-løsning mellom Dilling og Vang.
Påkoblingspunkter er vist som rød sirkel.

| Traséalternativ | Overordnede føringer | Vurdering iht. prosjektkriterier for GS-løsning | Andre forhold (natur) | Konklusjon |
|---|--|---|---|----------------------|
| | Oppfyller ikke kravet om å ligge langs vestsiden av fylkesveien, og medfører omvei for de som ferdes nord-sør langs strekningen. | Uheldig pga. to kryssinger med Larkollveien ved ferdsel nord-sør. | Betydelig matjord- og naturinngrep. Unngår konflikt med Evjeåa. | Forkastes |
| | Oppfyller ikke kravet om å ligge langs vestsiden av fylkesveien. | Uheldig pga. to kryssinger med Larkollveien ved ferdsel nord-sør. | Matjordinngrep. Berører flere eiendommer. Medfører sprenging. Unngår konflikt med Evjeåa. | Forkastes |
| | Oppfyller ikke kravet om å ligge langs vestsiden av fylkesveien. | Kryssing av Larkollveien to steder ved ferdsel nord-sør. | Betydelig matjordinngrep. Unngår konflikt med Evjeåa. | Forkastes |
| Opprinnelig trasé, men med justert geometri for GS-vei og grøft ved kryssing av eksisterende rør for Evjeåa | I tråd med overordnede føringer. | | Mål om å minimere inngrep i Evjeåa med tilhørende kantvegetasjon. | Til videre vurdering |
| Brukryssing over Evjeåa | I tråd med overordnede føringer. | | Mål om å minimere inngrep i Evjeåa med tilhørende kantvegetasjon. | Til videre vurdering |
| | Oppfyller ikke kravet om å ligge langs fylkesveien, og medfører omvei for de som ferdes nord-sør langs | Kan føles utrygt gjennom skog. | Ligger lavt mhp. flom – krever tiltak. Medfører naturinngrep/lysfor urensning gjennom naturområder. | Forkastes |

| | | | | |
|--|---|---|--|-----------|
| | strekningen. Ikke aktuell pga. stigning langt over normalkrav. | | Unngår konflikt med Evjeåa. | |
| | Oppfyller ikke kravet om å ligge langs fylkesveien, og medfører omvei for de som ferdes nord-sør langs strekningen. Ikke aktuell pga. stigning langt over normalkrav. | Systemskifte ved blandet trafikk deler av strekningen, i Smedhusåsen. | Medfører store naturinngrep (hogst, sprenging mm.) mellom Smedhusåsen og Smedhuslia. Berører flere eiendommer. Unngår konflikt med Evjeåa. | Forkastes |

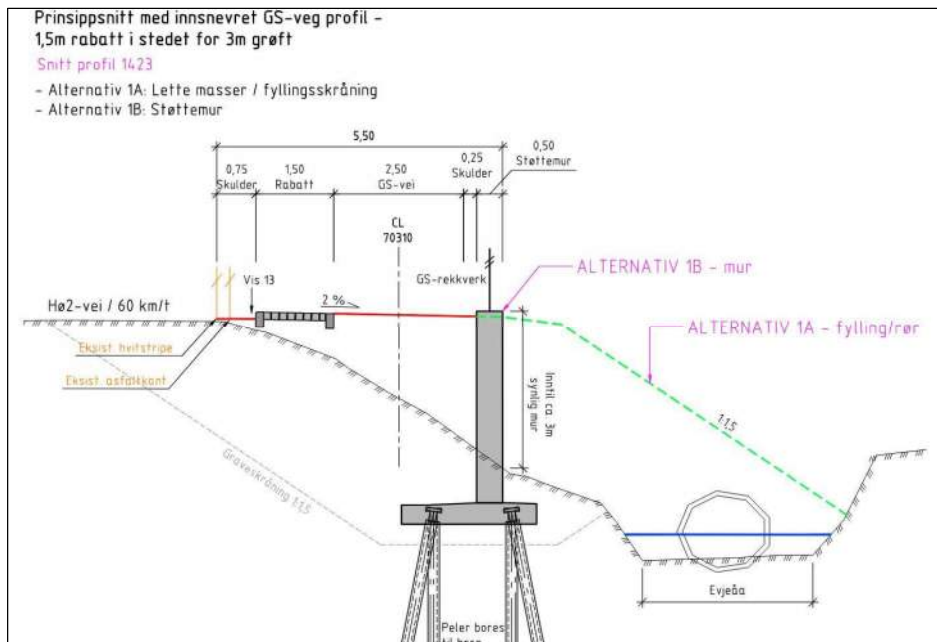
5 Alternativer ved kryssing av bekk og anbefalt løsning

Basert på ovenstående trasévurdering er det gjort en nærmere vurdering og valg mellom alternativene lys blå (alternativ 1) og oransje (alternativ 2), med hensyn på tekniske forhold og konsekvenser for bekke og kantsone ved Evjeåa.

Både NVE og Statsforvalteren i Oslo og Viken har påpekt at påvirkning på Evjeåa må beskrives bedre slik at tiltaket kan vurderes etter gitt regelverk. Tiltak som kan være til skade for allmenne interesser i vassdrag skal i henhold til vannressursloven (§8) også vurderes. Flere av de samme temaene for naturforhold ligger også innunder allmenne interesser og vurderes derfor samlet.

Lys blå (alternativ 1)

Utgangspunktet for alternativ 1 er at GS-veien flyttes noe nærmere Larkollveien enn opprinnelig løsning. I stedet for 3 m grøft mellom vei og GS-vei benyttes et innsnevret profil med 1,5 m rabatt iht. HB N101. Det er sett på to varianter for det innsnevrede profilet – én med fyllingsskråning (1A) og én med tiltak uten fyllingsskråning (1B).



Figur 6 Alternativ 1A og 1B: Prinsippsnitt

Alternativ 1A – med fyllingsskråning

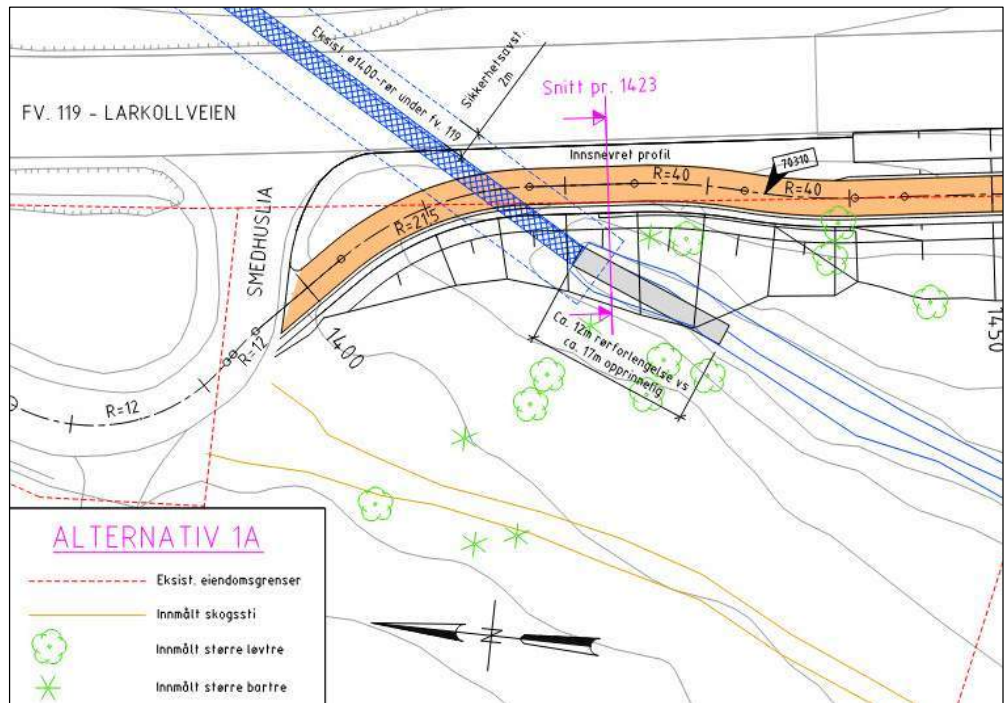
Det vises til planskisse i Figur 7 og snitt i Figur 6.

Løsningen gir noe mindre fyllingsbehov enn opprinnelig løsning, men det vil fortsatt være behov for å legge deler av bekken i rør (ca. 12 m mot opprinnelig 17 m). GS-geometri kan for øvrig fortsatt bearbeides litt mot syd for å gjøre rørforlengelsen noe kortere.

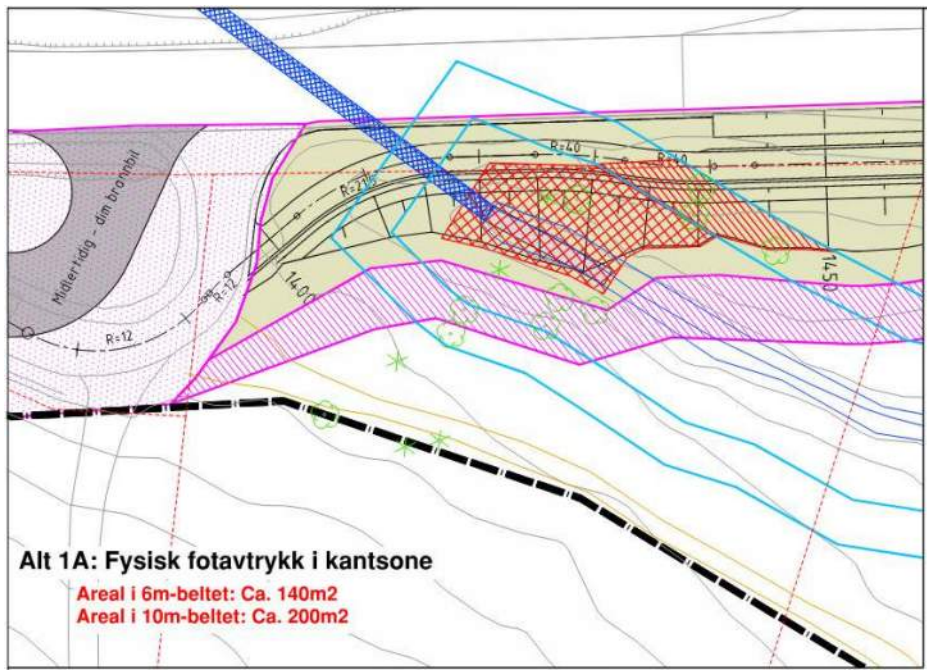
Anleggsteknisk og HMS-messig er dette en god og enkel løsning (legge rør/fylle over). Geotekniske tiltak pga. kvikkleire er enkle (lette masser). Permanent

påvirkning på naturmangfold innebærer tap av gyteområde og inngrep i bekvens kantsone, men noe mindre enn opprinnelig løsning. Avrenning av partikler grunnet arbeider i bekkvenn og graving i bekkvens skråninger vil være relativt lik som opprinnelig løsning i midlertidig situasjon (anleggsfasen).

Totalvurdering: Teknisk og kostnadsmessig det beste alternativet, men løser naturpåvirkning dårligst av de videreførte alternativene. Alternativ 1A forkastes.



Figur 7 Alternativ 1A: Innsnevret profil på fylling.



Figur 8: Anslått areal for fysisk fotavtrykk alt. 1A i avstand 6m og 10m fra bekkekant.
Beige farge – veggrunn. Lilla stripel – anleggsareal.

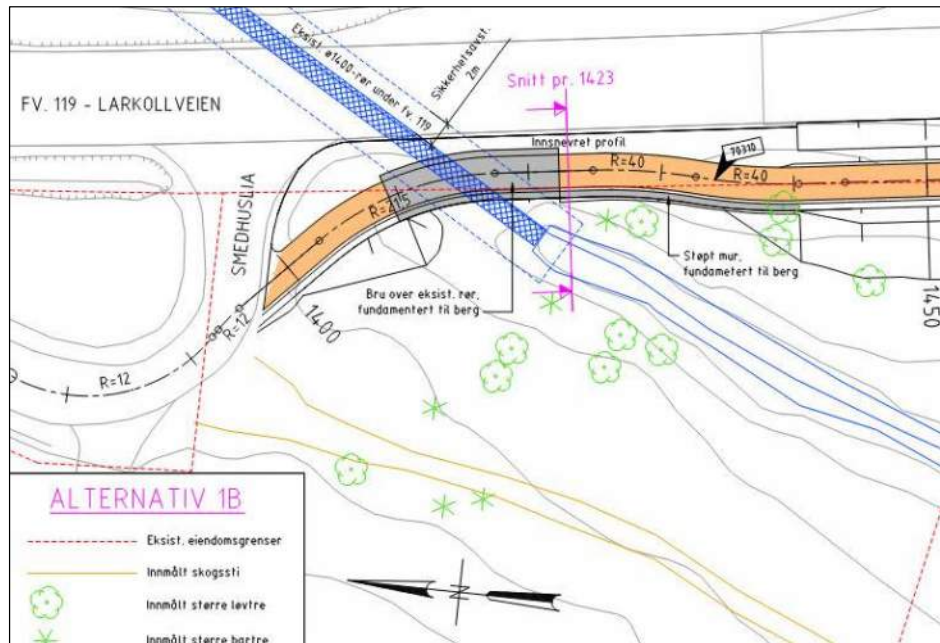
Alternativ 1B – uten fyllingsskråning

Det vises til planskisse i Figur 9, 3D-skisse i Figur 10 og snitt i Figur 6.

En løsning uten fyllingsskråning unngår permanente inngrep og tiltak i bekk/gyteområde og bekkens nærmeste kantsone, og vil dermed være svært positivt for naturmangfold. Mhp. områdets topografi (skrånende terreng med bekk i bunnen), den geotekniske situasjonen (kvikkleire) og eksisterende infrastruktur (vei og eksisterende rør tett på) vil imidlertid nødvendige tiltak medføre relativt store tekniske og anleggstekniske utfordringer. For å unngå fyllingsskråning vil det være behov for å etablere både bru og støttemur. Det kan ikke hvile en støttemur oppå eksisterende rør, og det kan ikke settes peler for støttemur i sikkerhetssone rundt røret – og ikke minst; underkant støttemur vil være i høydekonflikt med røret. Bruas landkar og støttemuren vil kreve graving inn i skråningen for fremkommelighet for rigg til boring av peler til berg, og plass til forskaling/etablering av fundament. Graveskråninger vil gå inn i kjørevei, og gravenivå vil delvis ligge tett på bekken. Mhp. stabilitet/kvikkleire og inngrep i eksisterende kjørevei er det ikke ønskelig med store utgravinger/graveskråninger. Å sette ned langsgående spunt for å hindre graveskråninger, eller som permanent tiltak med GS-veg innenfor er også en utfordrende løsning. Kan hende det er mulig å vibrere ned spunt fra kjørevegen (avhenger av hvor langt fra veien spunten må settes), men uansett må spunten forankres til berg med stag inn under kjørevegen. Dette må utføres fra "bekkesiden", hvor det er liten plass og utfordrende fremkommelighet, og en bekk å ta hensyn til.

Videre er det uheldig å bygge bru over det eksisterende røret mhp. en eventuell fremtidig utskifting av dette.

Totalvurdering: Ved første øyekast ser idéen svært god ut mhp. permanent påvirkning på bekk og kantsone, men anleggsteknisk, geoteknisk og HMS-messig er dette et ikke-ønskelig alternativ. Alternativ 1B forkastes.



Figur 9 Alternativ 1B: Innsnevret profil med støttemur og bru over eksisterende rør.



Figur 10 Alternativ 1B: 3D-skisse. Eksisterende Ø1400-rør vist med oransje.

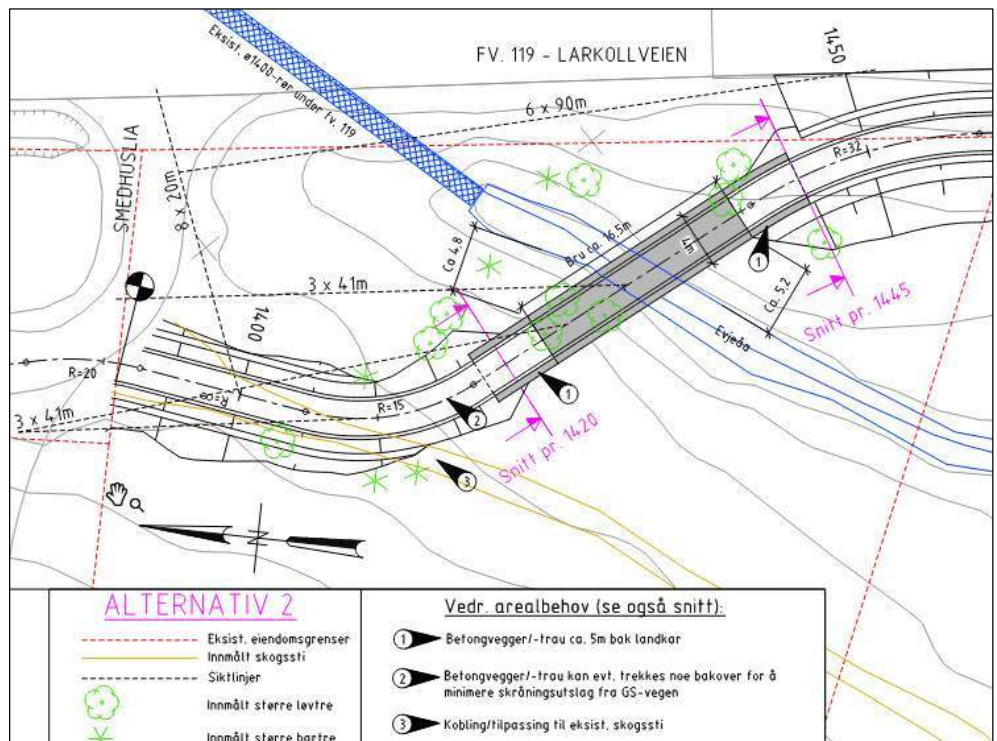
Oransje (alternativ 2)

Det vises til planskisse/profilskisse i Figur 11/Figur 12, snitt i Figur 13/Figur 14 og 3D-skisser i Figur 15/Figur 16 – samt vedlegg 1-3.

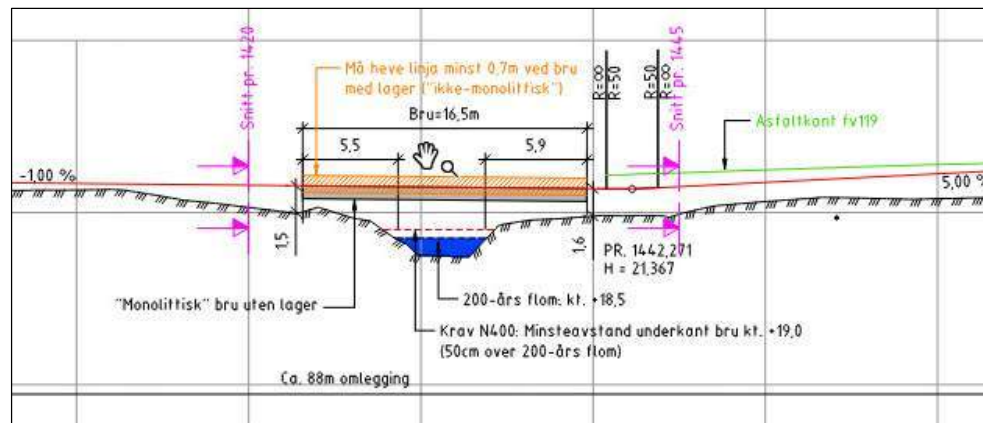
For å unngå permanente inngrep i bekken er det sett på etablering av GS-bru som krysser noe syd for eksisterende rør.

Valgt kryssingspunkt er styrt av flere faktorer:

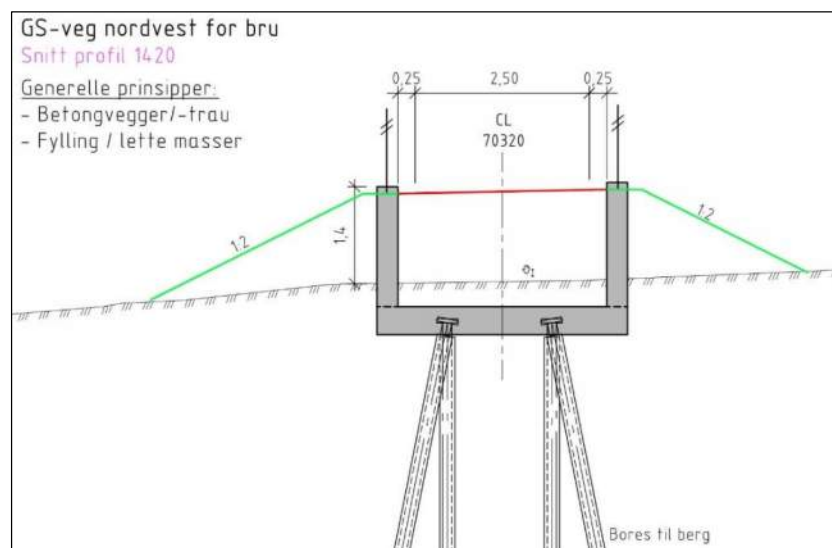
- > Bru / GS-vei bør krysse så langt nord som mulig, fordi det vil gi kortere/mindre inngrep i kantsone/skog.
- > Bru / GS-vei bør krysse så langt nord som mulig, siden høydeforskjell mellom fv. 119 og skogssti på vestsiden av bekken øker mot syd. Jo lenger syd, jo vanskeligere å tilfredsstille stigningskrav for GS-vei (maks. 5%) samt at behov for oppfyllingshøyde øker (dvs. større inngrepsarealer).
- > Fordel at bru ligger noe vekk fra eksisterende rør dersom røret i fremtiden må byttes ut.
- > Kryssingspunktet må ha best mulig tilgang for anleggsmaskiner og oppstilling for borerigger til peling av landkar mm. - dvs. landkar bør plasseres der terrenget skråner minst.
- > Landkar bør plasseres så langt unna bekkekant som mulig, samtidig som bru ikke blir for lang (vekt av prefabrikkerte brubjelker vs. innheising / plasseringsutfordringer med mobilkran + jo lengre bru, jo dyrere).



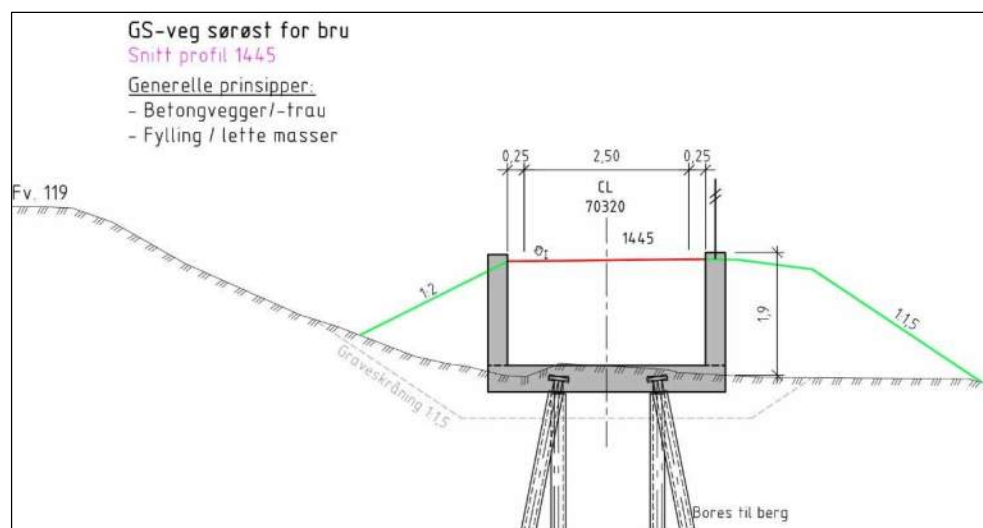
Figur 11 Alternativ 2: Plan, brukryssing.



Figur 12 Alternativ 2: Profil brukryssing



Figur 13 Alternativ 2: Snitt i profil 1420.



Figur 14 Alternativ 2: Snitt i profil 1445



Figur 15 Alternativ 2: 3D-skisse



Figur 16 Alternativ 2: 3D-skisse

Vurderte brutyper:

- Trebru over ørretbekk er ikke ønskelig pga. behov for kreosot-impregnering / maling el. samt generelt større behov for drift/oppfølging enn andre bru-materiale.
- En plassstøpt betongbru er ikke ønskelig pga. behov for støtte til brudekke-forskaling enten i grunnen/bekken, eller pga. innheising av større, midlertidige ståltagverk-bjelker som av plashensyn rundt bekken vil være utfordrende å fjerne når bruva er ferdigstøpt.

- En fabrikkmontert kompositbru, klar for innløfting, er vurdert som for tung og kostbar – og for tidkrevende/usikker mhp. godkjenninger hos Vegdirektoratet.

I løpet av prosessen ble det vurdert at innheising av prefabrikerte betong- eller stålbjelker som underlag for et plassstøpt brudekke er foretrukket
brutype/byggemetode.

Anleggssituasjon:

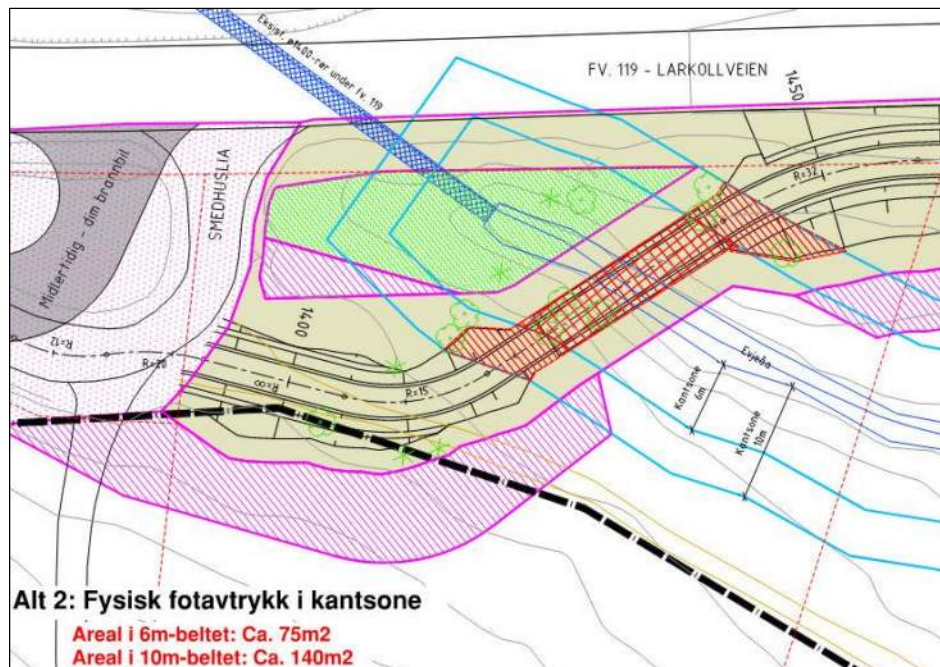
Teknisk byggbarhet og tilgjengelighet er generelt vurdert som tilfredsstillende. I samarbeid med Nordic Crane er det spesielt vurdert plassering og sikkerhet for mobilkran ved innløfting av relativt lange/tunge betongbjelker (det vises til vedlegg 2 og 3). Det er gjort overordnede geotekniske beregninger av stabilitet (kvikkleire i grunnen) og vurdering av tiltak (masseutskifting med stein / stålplater) ved oppstillingsplass. Fremkommelighet og byggbarhet for maskiner/rigger til peling og graving for landkar og betongtrau bak landkar er vurdert som tilfredsstillende og gjennomførbart.

Påvirkning naturmangfold:

Sammenliknet med opprinnelig løsning vil det ikke bli noe permanent tap av gyteområder, og påvirkning i og tett innpå bekk vil bli betydelig mindre i anleggsfasen, siden det ikke skal graves og legges rør. Det kan imidlertid bli behov for å legge plastringsstein/erosjonssikring på bekvens sidekanter under bru og opp mot landkarene. Skygge fra bru vil være positivt for livet i bekken.

På østsiden av bekken vil permanent påvirkning på kantvegetasjon/tilliggende skog anslagsvis være noe mindre enn i opprinnelig løsning – på vestsiden anslagsvis noe større. Midlertidig påvirkning (anleggsbelter) på bekvens nærmeste kantsoner vil være relativt lik som i opprinnelig situasjon – lenger unna, i skogområdet på vestsiden, vil den være større.

Behov for nedhogst av eksist. vegetasjon ved innheising av bjelker er vurdert. Nordic Cranes analyser viser at det vil være mulig å løfte inn bjelkene parallelt med oppstillingsplassen til krana, og relativt nærmre kranføttene.
"Dimensjonerende permanent hogstbehov" på vestsiden av bekken er derfor i hovedsak styrt av normkrav til siktlinjer/siktsoner mellom GS-vei og kjøreveg. Tillatt høyde på vegetasjon innenfor siktsoner er 0,5m. Generelt tillates det oppstammede trær i siktsoner.



Figur 17: Anslått areal for fysisk fotavtrykk alt. 2 i avstand 6m og 10m fra bekkekant.

Beige farge – veggrunn. Lilla stripel – anleggsareal. Grønn farge – naturområde

Totalvurdering:

Samlet sett vurderes det at alternativ 2, bru over bekk, svarer best ut forhold i innsigelsene og innspillene som kom ifm. innsigelsesmøtet 09.12.2022, samtidig som det tilfredsstiller prosjektets overordnede føringer og kriterier for fremføring av GS-veien.

Videre arbeid:

Viken fylkeskommune er innstilt på å gå videre med alternativ 2 dersom dette er det mest ønskelige for innsigelsesmyndighetene. I så fall vil det utføres supplerende grunnundersøkelser, etterfulgt av et forprosjekt der det detaljeres nærmere omkring bruløsning, landkar, peler og geotekniske tiltak - både i permanent og midlertidig situasjon. Dette vil gi mer nøyaktig grunnlag for revidering av plankart med arealbehov og formål.

Figurer og vedlegg (1-3) i foreliggende notat angir foreløpige arealer, høyder og bredder. Ifm. forprosjektet vil det ses nærmere på ovennevnte, samt på mulighet for å innskrenke siktsoner ("hogstbehov" vs trafikksikkerhet), minimere arealbehov/-inngrep langs og omkring bru mm.

6 Andre allmenne interesser

Andre allmenne interesser, utover de forhold beskrevet i kapitlene over, inkluderer blant annet mulighet for friluftsliv, hensyn til flom og skred, kulturminner, landskapsverdier mm. Det er ingen kulturminner i tilknytning til vassdraget, og det vurderes dermed ikke videre.

Minstevannføring, flom og overvannshåndtering

Minstevannføring/vannstand vil ikke bli påvirket som følge av brutiltaket. Underkant av ny bru plasseres iht. krav i HB N400, dvs. minimum 50 cm over nivå for 200-års flom i bekken. Vedlegg V20 i planforslaget viser beregninger av flomsituasjonen.

Overvann fra GS-vei og bru skal ledes ut på terrenget – og ikke direkte til bekken. Dette er tilsvarende prinsipp som for håndtering av overvann omkring kjørevegen i dag. Avrenningen til bekken øker ikke sammenliknet med opprinnelig løsning.

Friluftsliv og landskapsverdier

Det nærliggende området rundt bekken består i dag av et mindre skogsområde. Det ligger i dag en liten inngang til den øverste delen av bekken som fremstår som gjengrodd. Ellers er området tilgjengelig fra flere steder uten at det er registrert viktige ferdelsårer eller stier, men området brukes nok av lokalbefolkningen i noen grad.

Påvirkning

Brutiltaket vil endre karakter rundt den øvre delen av bekken og skogsområdet, men størsteparten av skogsområdet og bekken vil ikke bli påvirket. Tiltaket er vurdert til ikke å endre det vernede landskapets sær preg eller karakter vesentlig.

For friluftsliv vil tiltaket påvirke et område rundt den øvre delen av bekken, men vil ikke redusere tilgangen, eller mulighet for allmenn ferdsel i skogsområdet. Totalt sett bidrar tiltaket til økte kvaliteter langs strekningen. Deler av området vil være utilgjengelig i bygge- og anleggsperioden. Eksisterende skogssti vest for bekken vil være avskåret for gjennomgang. Beboere i Smedhuslia som ev. bruker denne har imidlertid tilgang til Vang via sti fra Smedhuslia til Smedhusåsen.

7 Aktuelle avbøtende tiltak

Det vil være en risiko for at anleggsarbeid rundt bekken kan medføre noe påvirkning (avrenning mm.), slik at avbøtende tiltak er nødvendig for å unngå at mulighet for å nå miljømålet for vannforekomsten reduseres.

7.1.1 Generelle avbøtende tiltak

- Ved arbeid i vassdraget skal alt utstyr i forkant av arbeidet være tørt slik at smittespredning unngås mellom vassdrag.
- Ny GS-vei søkes bygd med minst mulig beslag av areal inn mot bekvens sideareal og kantsone.
- Anleggsgjennomføring bør gjennomføres i samarbeid med fagkyndig personell for å ivareta livet i bekken.

7.1.2 Gyting

- For å minimere sjansen for negativ påvirkning av Evjeåa under den mest sårbare perioden for gyting, tillates bygge- og anleggstiltak kun i perioden xx. juni til xx. september.
- Gyteområdene skal ivaretas ved at partikkelflukt fra arbeidsområdet til resipient skal holdes til et minimum. Dette kan gjøres ved å utføre anleggsarbeidet i en periode med lav vannføring (juni-september).
- Habitatforbedrende tiltak der dette er hensiktsmessig å gjennomføre. F.eks. å gjøre gyteområdene mer attraktive, med mer gytegrus, spyling av gytegrus og tilplanting langs bekken for raskere retablering av vegetasjon etter hogst.
- Utarbeidelse av overvåkingsplan for bekken under anleggsfasen som minimum overvåker partikler etc. Ved overskridelse av angitte grenseverdier skal arbeidene stanses til nivåene er under grenseverdi.
- Visuell kontroll av bekken under anleggsarbeidene.
- Fysiske inngrep i vassdrag er søknadspliktig til Statsforvalter. Før anleggsarbeidene starter skal tillatelse foreligge. Vilkår gitt i tillatelsen skal følges.

7.1.3 Kantsone

- Tilbakeføring av kantvegetasjon anbefales tilrettelagt med naturlig revegetering og/eller forbedring av kantvegetasjon ved retablering med stedegne arter/planter.
- Utarbeide plan for håndtering av kantsone. En slik plan kan blant annet inneholde;

- > Inngrep i vegetasjon bør gjøres utenom hekketiden til fugl (15. april til 15. juli).
- > Større trær som felles skal bli liggende innenfor området etter endt anleggsperiode. Et slikt tiltak vil gi død ved som vil inngå i biologiske prosesser som foregår i kantvegetasjonen.
- > Plan for hvilke trær/busker som må fjernes og hvilke som kan bli stående.
- > Kantvegetasjon som skal bevares bør sikres som en del av rigg- og marksikringsplan, samt merkes i felt.
- > Sikring gjennom planbestemmelser og plankart.
- > Tiltaket er søknadspliktig etter vannressursloven §11 om inngrep i kantvegetasjon, og søknad skal sendes til Statsforvalter før anleggsarbeidene starter. Vilkår gitt i en slik tillatelse skal følges.

8 Endringer i planforslaget

På bakgrunn av innsigelser til planforslaget er det gjort en ny vurdering av trasévalg og løsning i området rundt Evjeåa. Kryssing av Evjeåa med bru innebærer behov for justeringer i planforslaget. Brualternativet må planlegges nærmere i et forprosjekt, dette vil gi mer detaljert grunnlag for hvilke endringer som skal gjøres i planforslaget.

Foreløpig skisserer vi følgende aktuelle endringer:

Plankartet

- > Se vedlegg 3 for skissert utstrekning av arealformål.
- > Anleggsområdet (tidl. #1) reduseres i omfang sammenliknet med forrige planforslag, og vurderes gjort om til eget bestemmelsesområde #X for arealer rundt bekk, med utfyllende bestemmelser til området.
- > Planområdets avgrensning snevres inn og tilpasses bygge- og anleggsområdet (#X).
- > Ny hensynssone naturmiljø (H560) for området rundt bekken.

Planbestemmelser

Følgende planbestemmelser knyttes til de ulike arealene i kartet:

- > Bestemmelsesområde bygge- og anleggsområde #X:

Omfang av areal og innhold i bestemmelser vil bli nærmere vurdert ved videre detaljering av prosjektet.

> Rekkefølgebestemmelser:

Før igangsetting av bygge- og anleggstiltak innenfor hensynssone for naturmiljø (H560_X) skal det foreligge en plan for håndtering av kantsoner langs Evjeåa i anleggsperioden. Planen skal redegjøre for hvilke tiltak som er planlagt gjennomført, og hvilke metoder som skal benyttes. En slik plan bør blant annet inneholde;

- > *Inngrep i vegetasjon bør gjøres utenom hekketiden til fugl (15. april til 15. juli).*
- > *Planen skal vise vegetasjon som må fjernes og hva som skal bevares. Vegetasjon som skal sikres skal inngå i rigg- og marksikringsplan, samt merkes i felt.*
- > *Større trær som felles skal bli liggende innenfor området etter endt anleggsperiode.*
- > *Føringer for tilbakeføring/rehabilitering av området i etterkant av anleggsarbeid.*
- > *Ved utarbeidelse av planen skal det benyttes relevant naturfaglig kompetanse, som biolog, naturforvalter eller lignende. Viken fylkeskommune skal godkjenne planen.*

Før bygge- og anleggstiltak igangsettes skal det være etablert et overvåkingsprogram for bekken som minimum overvårker partikler. Overvåkingsprogrammet for vannresipienten skal følges opp før, under og etter anleggsfasen. Ved overskridelse av angitte grenseverdier skal arbeidene stanses til nivåene er under grenseverdi.

Før igangsetting av bygge- og anleggstiltak som kan påvirke bekken Evjeåa skal det gjøres undersøkelse av forekomst av bunndyr i området.

Før igangsetting av bygge- og anleggstiltak skal det foreligge nødvendige tillatelser til for eksempel inngrep i kantvegetasjon eller tiltak i vassdrag.

> Hensynssone for bevaring av naturmiljø (H560):

Det tillates kun bygge- og anleggstiltak i og nært bekken Evjeåa (Vangsbekken) i perioden xx. juni til xx. september, av hensyn til gyteperioden for sjøørret.

Det skal gjøres minst mulig midlertidige/permanente inngrep i kantsone og bekk. Ved anleggsarbeid i områder rundt bekken skal det tas spesielt hensyn til eksisterende vegetasjon og terreng. Ved tilbakeføring av kantvegetasjon anbefales naturlig revegeterering og/eller forbedring av kantvegetasjon ved reetablering med stedegne arter/planter.

Ved arbeid i vassdraget skal alt utstyr i forkant av arbeidet være tørt slik at smittespredning unngås mellom vassdrag.

Anleggsgjennomføring bør gjennomføres i samarbeid med fagkyndig personell for å ivareta livet i bekken.

Det skal vurderes habitatforbedrende tiltak der dette er hensiktsmessig å gjennomføre. F.eks. å gjøre gyteområdene mer attraktive med mer gytegrus, spyleg av gytegrus og tilplanting langs bekken for raskere reetablering av vegetasjon etter hogst.

Ved bygge- og anleggsarbeid i tilknytning til Evjeåa skal det gjøres tiltak for å forhindre avrenning og partikkelflukt (forurensning) til vann.

Utslipp av skadelige stoff fra anleggsarbeidet til vassdrag skal til enhver tid unngås. Rigg- og anleggsområder skal om nødvendig utformes med oppsamlingsmuligheter for forurensede stoffer. I anleggsperioden må det sikres løsninger for å hindre mulig forurensning av vassdrag ved store nedbørsmengder.

Kommentar: I tillegg foreligger fra før bestemmelse om rigg- og marksikringsplan for bygge- og anleggstiltak i hele planområdet. Det foreslås at bestemmelsen beholdes slik den er.

Foreslalte endringer i planbestemmelser og plankart medfører endringer i følgende dokumenter:

- > Planbeskrivelse
- > YM-plan
- > Teknisk plan
- > Naturmangfoldrapport
- > Geoteknisk dokumentasjon
- > Matjordplan
- > Risiko- og sårbarhetsanalyse

9 Oversikt utredninger i forrige planforslag

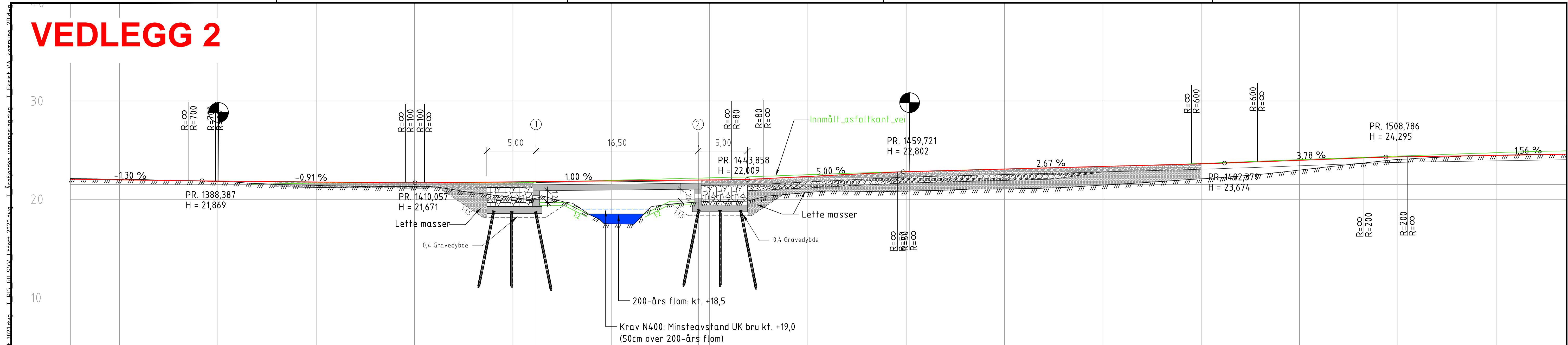
Avslutningsvis gis en oversikt over dokumenter og rapporter som omhandler forholdende rundt bekken Evjeåa, utarbeidet i forbindelse med forrige planforslag:

| Rapport | Dokumentnummer |
|--|--|
| Ytre miljøplan | Vedlegg 10 RAP_YM001_Ytre-miljøplan |
| Naturmangfoldrapport | Vedlegg 11 NOT-Natur-001 |
| Geoteknisk datarapport | Vedlegg 15 B11501-GEOT-1 |
| Geoteknisk datarapport – supplerende GU | Vedlegg 16 A228076-RAP-RIG-001 |
| Områdestabilitetsutredninger | Vedlegg 17 A116326-RAP-RIG-003 |
| Geoteknisk vurderingsrapport reguleringsplan | Vedlegg 18 A116326-RAP-RIG-001 |
| Ingeniørgeologisk rapport bergskjæringer for reguleringsplan | Vedlegg 19 GEOL-2022-066 |
| Flom- og erosjonsvurderinger | Vedlegg 20 A116326-RAP-HYD-001 |

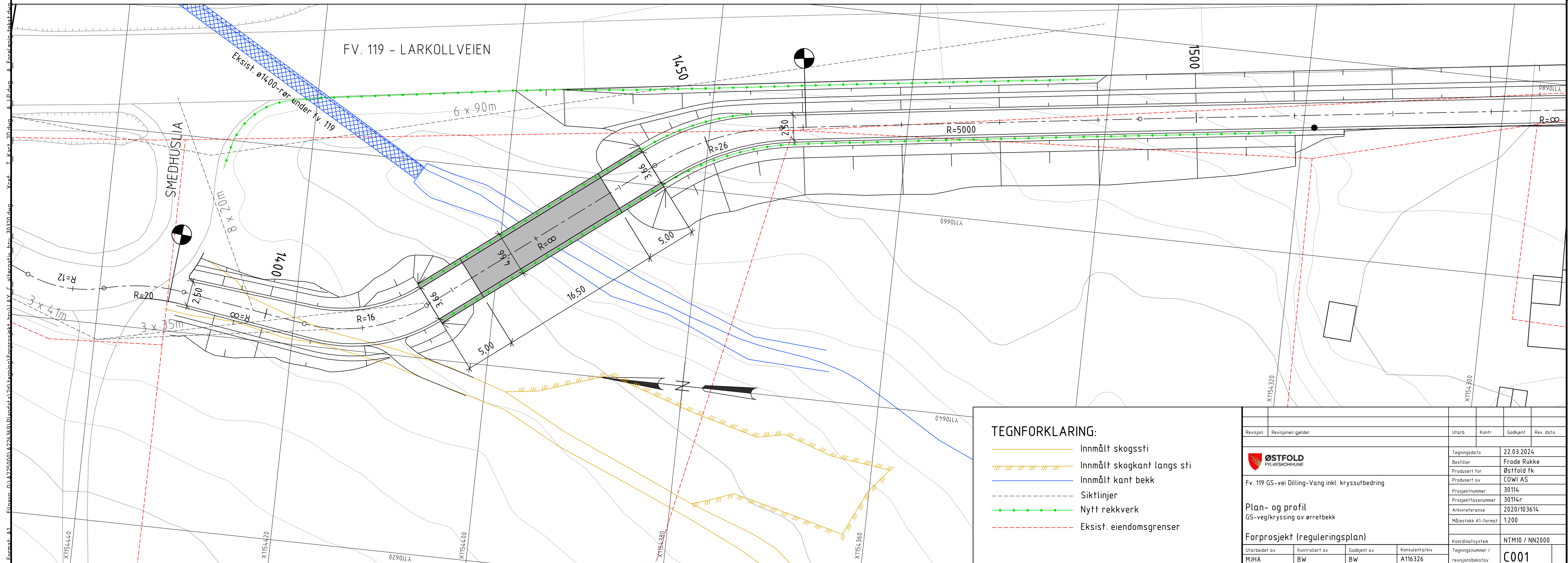
VEDLEGG:

1. Plan og profil alternativ 2, bru
2. Kontroll plassering/rekkevidde mobilkran
3. Kranområde og skisse nye formålgrenser
4. Referat fra møtet 09.12.2022 (PMøte 17)

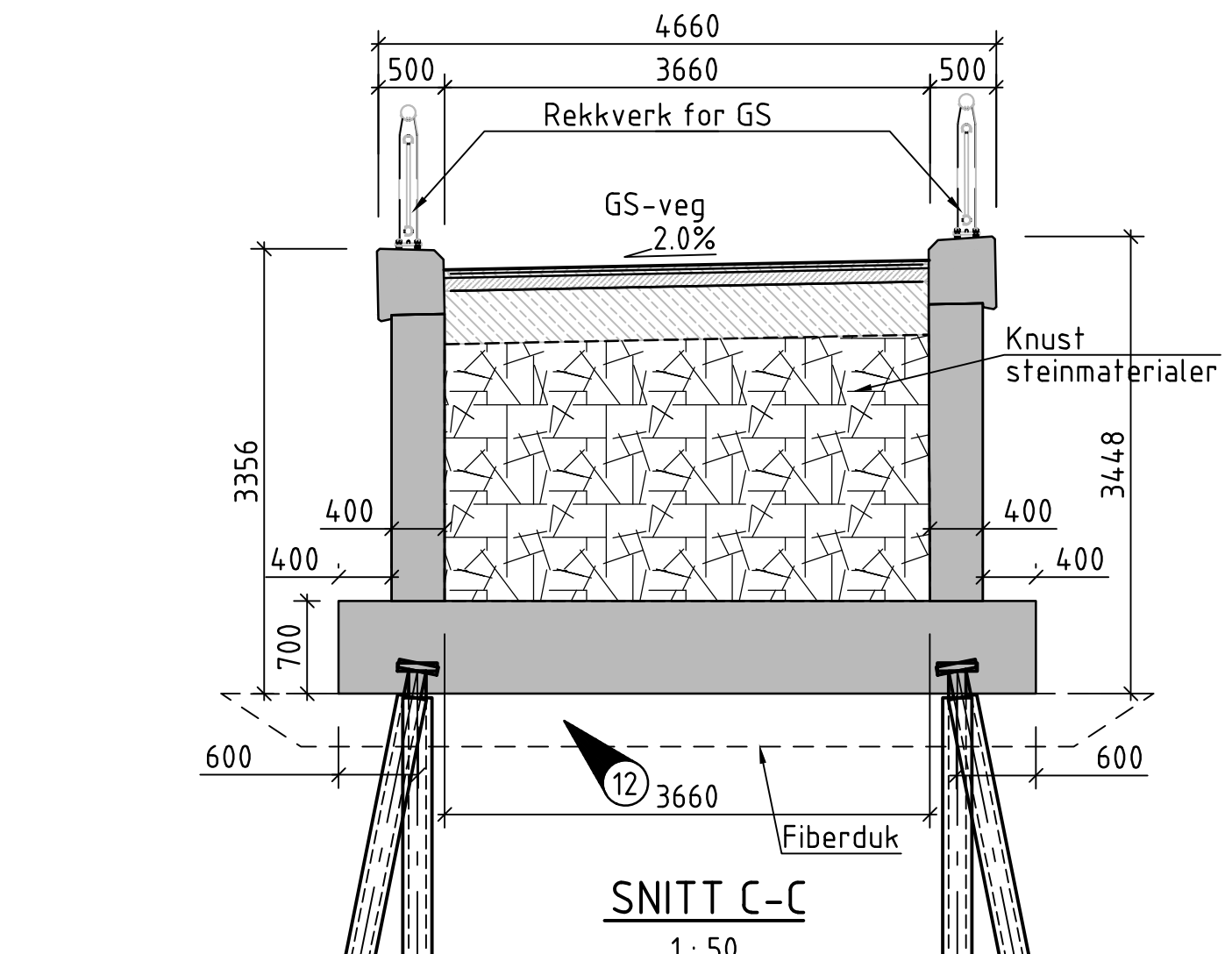
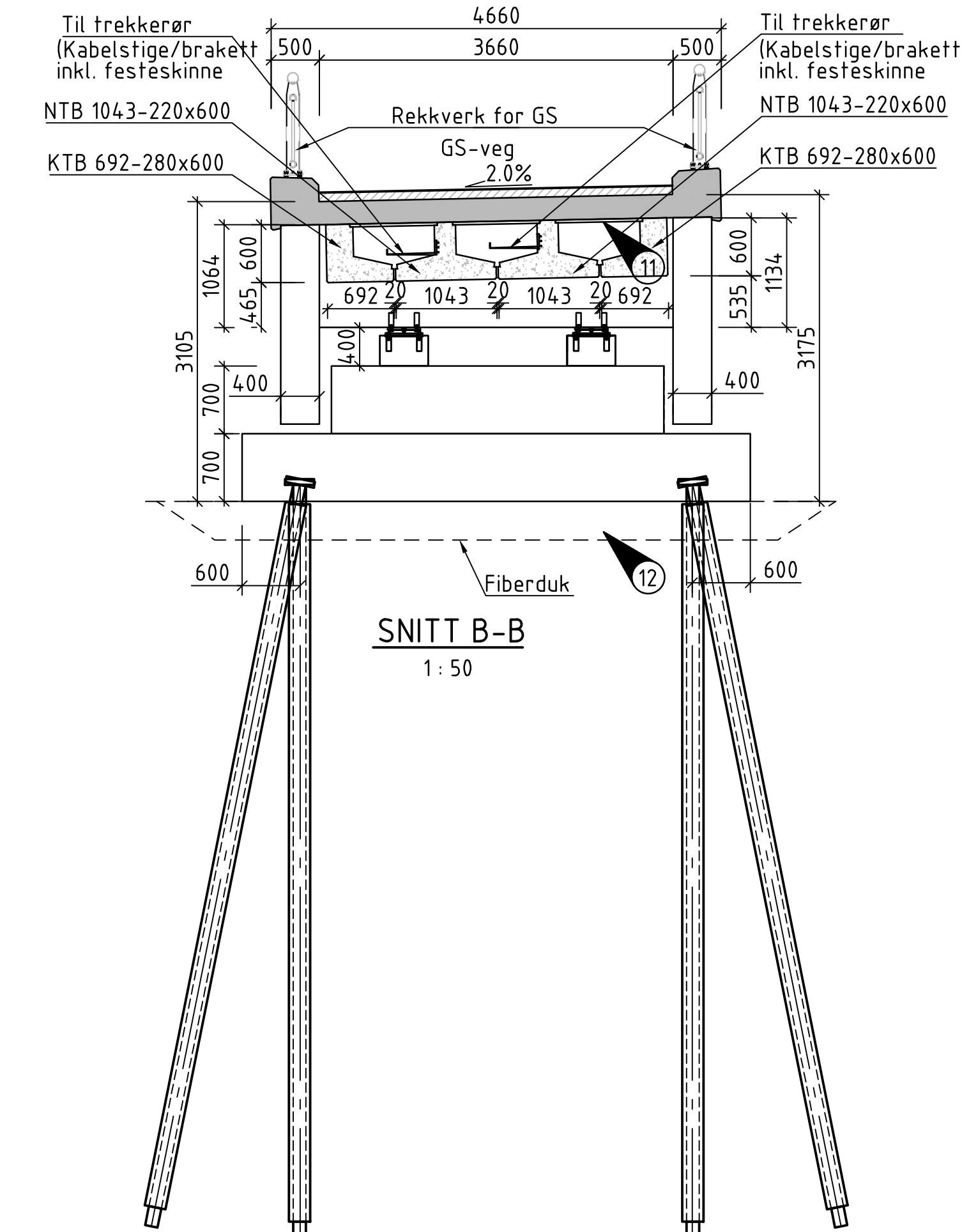
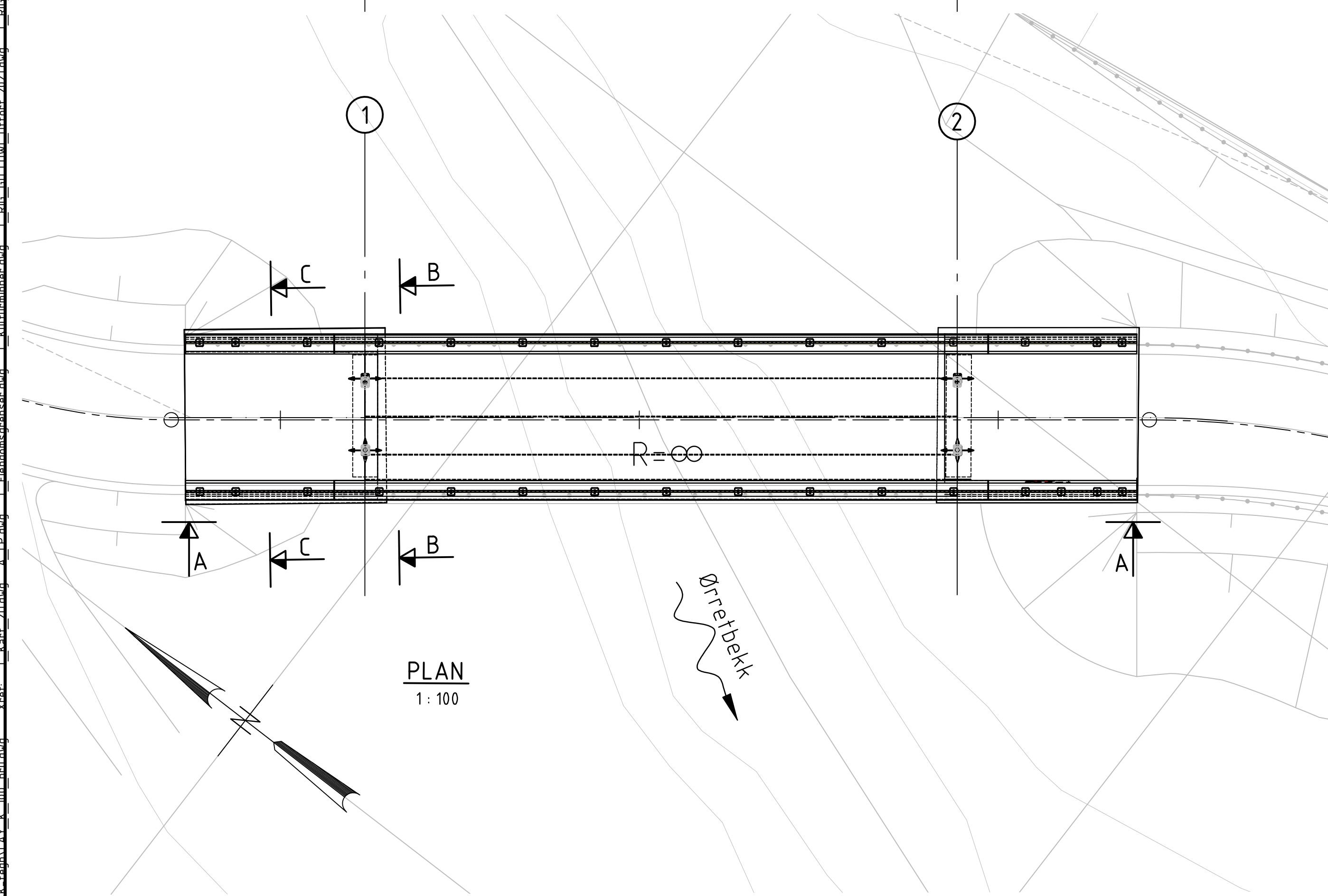
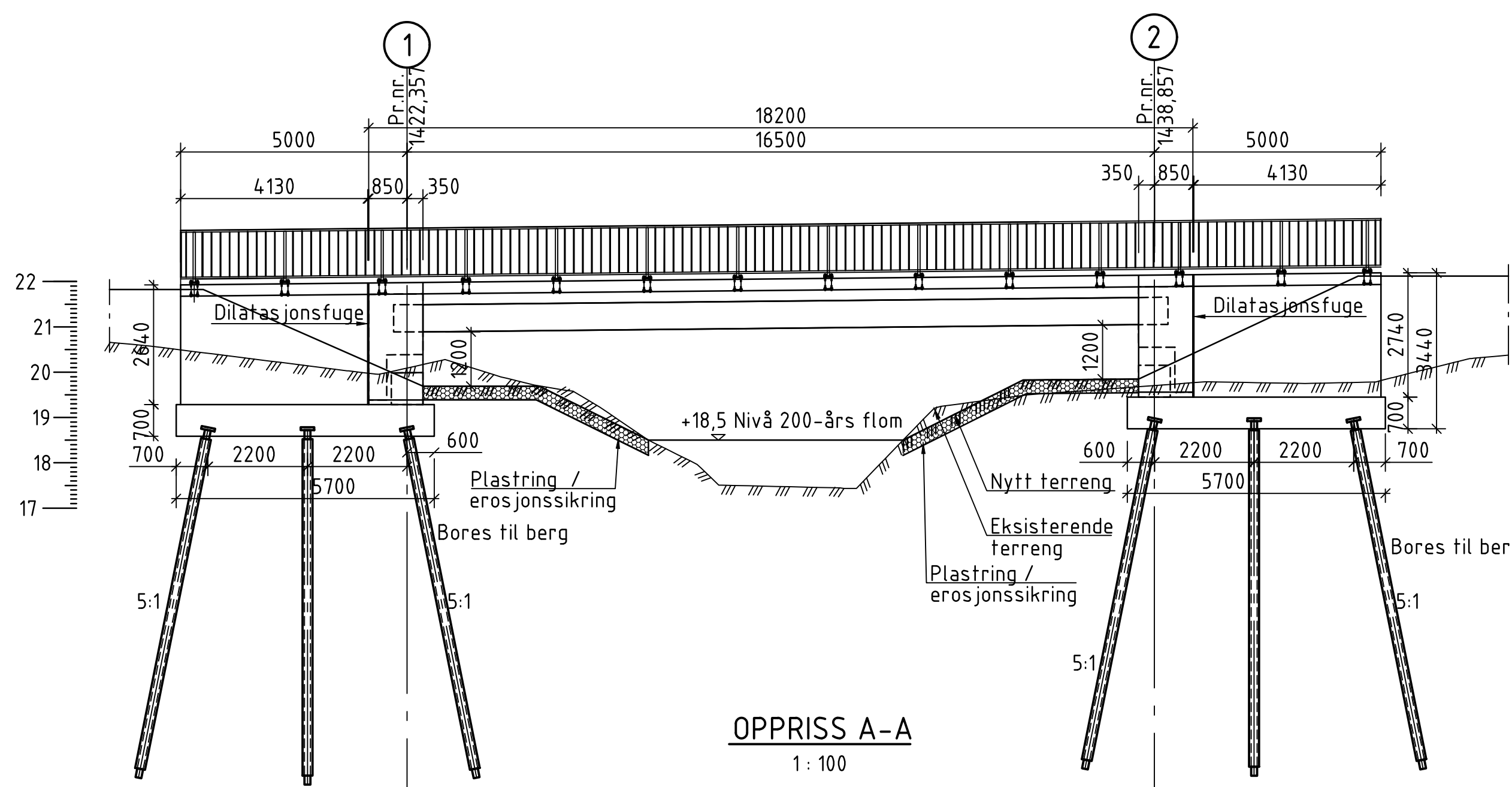
VEDLEGG 2



| PROFIL NR | 1375 | 1380 | 1390 | 1400 | 1410 | 1420 | 1430 | 1440 | 1450 | 1460 | 1470 | 1480 | 1490 | 1500 | 1510 | 1520 |
|-------------|-------------|-------|-------|-------|-------|-------|-------|-------|--------|--------|--------|--------|--------|--------|--------|--------|
| THOR.KURV. | R=∞ | R=-12 | R=20 | R=∞ | R=16 | R=∞ | R=∞ | R=26 | R=5000 |
| BREDDEUTV. | | | | | | | | | | | | | | | | |
| TVERRFALL | H.kj.b 2,0% | | 2,0% | 2,0% | 2,0% | 2,0% | 2,0% | 2,0% | 2,0% | 2,0% | 2,0% | 2,0% | 2,0% | 2,0% | 2,0% | 2,0% |
| V.kj.b.k. | | | | | | | | | | | | | | | | |
| PROFIL H. | | | | | | | | | | | | | | | | |
| TERRENG H. | 22,04 | 22,09 | 22,06 | 22,00 | 22,04 | 21,98 | 21,94 | 21,93 | 21,94 | 21,93 | 21,90 | 21,88 | 21,86 | 21,86 | 21,86 | 21,86 |
| OVERBYGN.T. | 23,02 | 21,95 | 21,82 | 21,85 | 21,87 | 21,84 | 21,88 | 21,86 | 21,87 | 21,84 | 21,81 | 21,78 | 21,75 | 21,73 | 21,73 | 21,73 |
| | 23,06 | 22,03 | 22,06 | 22,00 | 23,02 | 21,98 | 21,94 | 21,93 | 23,02 | 21,98 | 21,85 | 21,82 | 21,80 | 21,78 | 21,76 | 21,75 |
| | 23,04 | 22,04 | 22,06 | 22,00 | 23,02 | 21,98 | 21,94 | 21,93 | 23,02 | 21,98 | 21,85 | 21,82 | 21,80 | 21,78 | 21,76 | 21,75 |
| | 56CM | | | | | | | | | | | | | | | |



| | | | | | | |
|-----------------|--------------|----------|----------|----------|----------|----------|
| PROFILNUMMER | 1417.357 | 1422.357 | 1427.357 | 1432.357 | 1437.357 | 1442.357 |
| PROFILHØYDE | 21744 | 21794 | 21844 | 21894 | 21944 | 21994 |
| TERRENGHØYDE | 20.51 | 20.11 | 18.74 | 17.50 | 19.61 | 19.77 |
| VERTIKALKURVE | 1 % | | | | | |
| HORISONTALKURVE | R = ∞ | | | R = 26 m | | |



MERKNADER:

- Generelt:
Årstall for ferdigstillelse: Antatt 2025.
Veg på bru: Gang og sykkelveg, <15 gående og syklende per time.
Ettspenns prefabrikert bjelkebru.
Nøyaktighetsklasse B i henhold til håndbok R762 Prosesskode 2, for kanfdrager benyttes nøyaktighetsklasse A.
Utførelsesklasse 3 i henhold til NS-EN 13670.
Tiltaksklasse 3 i henhold til NS-EN 1990.

- Brubjelke med prefabrikert betongbjelker ihht HB V426 og plassstøpt dekke. Det er benyttet 2 stk NTB 1043-220x600 og 2stk KTB692-280x600 bjelker. Begge bjelketypene er med redusert bredde (NTB 1200-220x600 og KTB770-280x600 med redusert bunnflens).

- Regelverk:
Håndbok N400 Bruprosjektering (01.01.2023)
Forskrift for trafiklast på bruer (FOR-2017-11-17-1900).
Håndbok N100 Veg- og gateutforming (06.10.2023).
Håndbok N101 Trafikkssikrt sideterrengr og vegsikringsutstyr (21.12.2022).
Håndbok R762 Prosesskode 2 (2018).

Godkjent fravik fra N100 angående horisontalkurvatur til GS-veg før og etter bru ref. fraviksøknad fil Viken fk. 2020/103614

- Lastdata:
SVV 2010 (Eurokoder).
Dimensjonerende belegningsvekt gang- og sykkelveg: 2,0 kN/m².

- Typiske materialkvaliteter:
Beton: B45 SV-Standard (NS-EN 13670+NA og NS-EN 206+NA).
Prefabrikerte bjelke: B55 SV-standard (HB R762)
Armering: B500NC og B500NRC (3576-3 og -5, NS-EN 10088).
Rustfritt stål: A4-80 (NS-EN ISO 3506) og 14.404 (NS-EN 10088).

- Fundamentering:
Akse 1: Fundamentering med antatt Ø150 stålkjernerperer til berg.
Akse 2: Fundamentering med antatt Ø150 stålkjernerperer til berg.
Stedlige masser: ca 3 meter varierende fyllmasser over leirlag som i hovedsak består av sprøbruddsmaterialer og kvikkleire.
Antatt berg på ca 5-11 m på vestsiden av bekkven, og ca 16-9 m på østsiden.

- Belegning:
Belegningsklasse A3-4, asfaltdekke Agb8, total tykkelse 92 mm (12mm+80mm).

- Rekkverk:
Rekkverk tilpasses rekverk fra gang- og sykkelvei, h ≥ 1200mm.

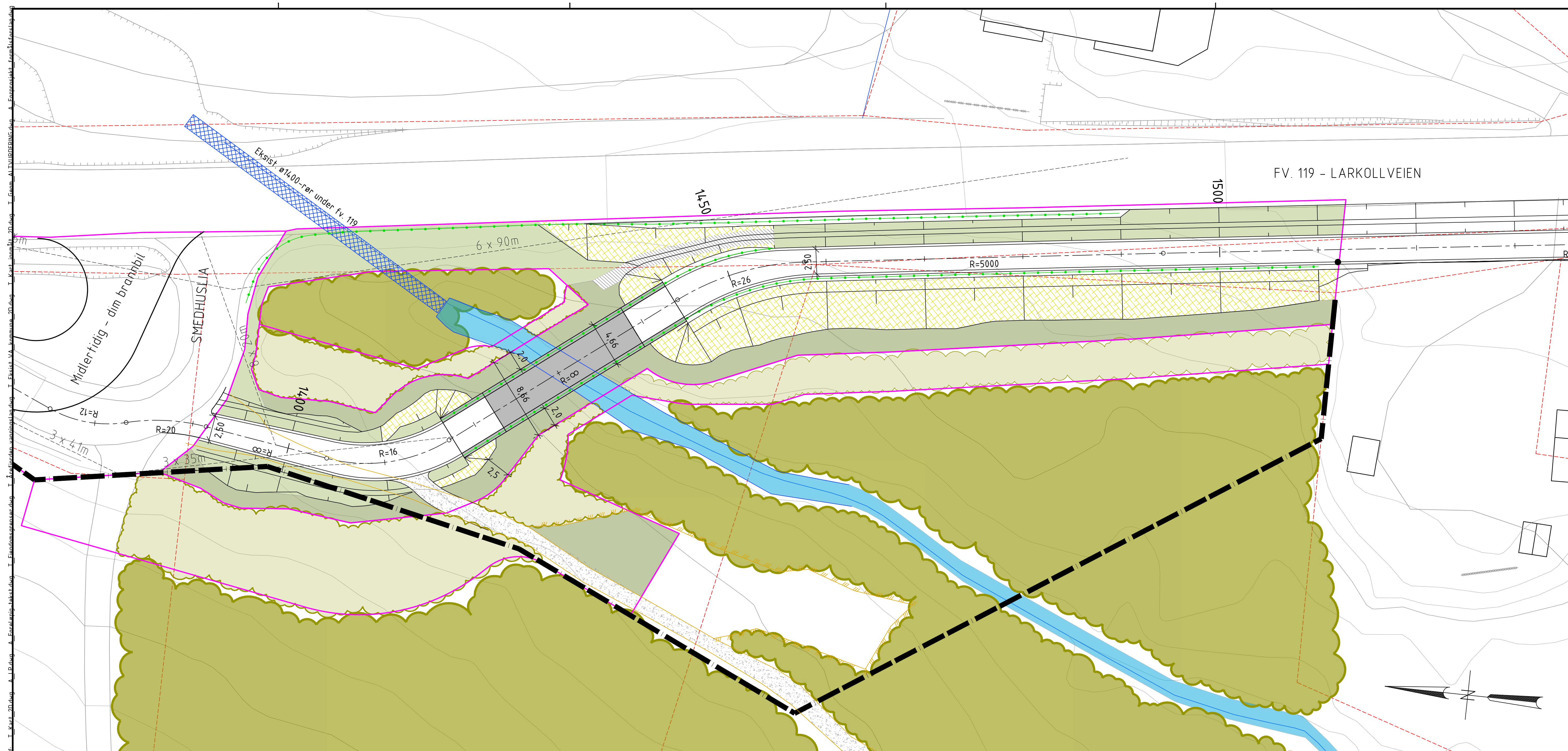
- Lagre:
1 stk ensidig og 1 stk allsidig bevegelig lagre i akse 1 og 2.
Lagre skal være av typen pottelager.

- Fuger:
Ingen.

(11) Gjenstående forskaling: Vannfast, flimbelagt kryssfiner med forseglaede kanter, tykkelse 30mm.

(12) Masseutskifting med kult/pukk.

| Revisjon | Revisjonen gjelder | Utarb | Konfr | Godkjent | Rev dato |
|--|-------------------------------|----------------|-------------|---------------|-------------------------------------|
| | ØSTFOLD PYLKESKOMMUNE | Tegningsdato | 22.03.2024 | | |
| Fv. 119 GS-vei Ditting-Vang inkl. kryssetbedring | Bestiller | Frode Rukke | | | |
| | Produsert for | Østfold fk | | | |
| | Prosjektnummer | COWI AS | | | |
| | Prosjektfasenummer | 30114 | | | |
| | Arkiverdene | 30114r | | | |
| | Målestokk A1-format | 2020/103614 | | | |
| | Koordinatsystem | 1:100 og 1:50 | | | |
| | Forprosjekt (reguleringsplan) | NTM10 / NN2000 | | | |
| | Uforbeholdt av | Kontrollert av | Godkjent av | Konsulentskif | Tegningsnummer / revsionsbokstav |
| EFME | MDLU | BW | A116326 | K001 | |



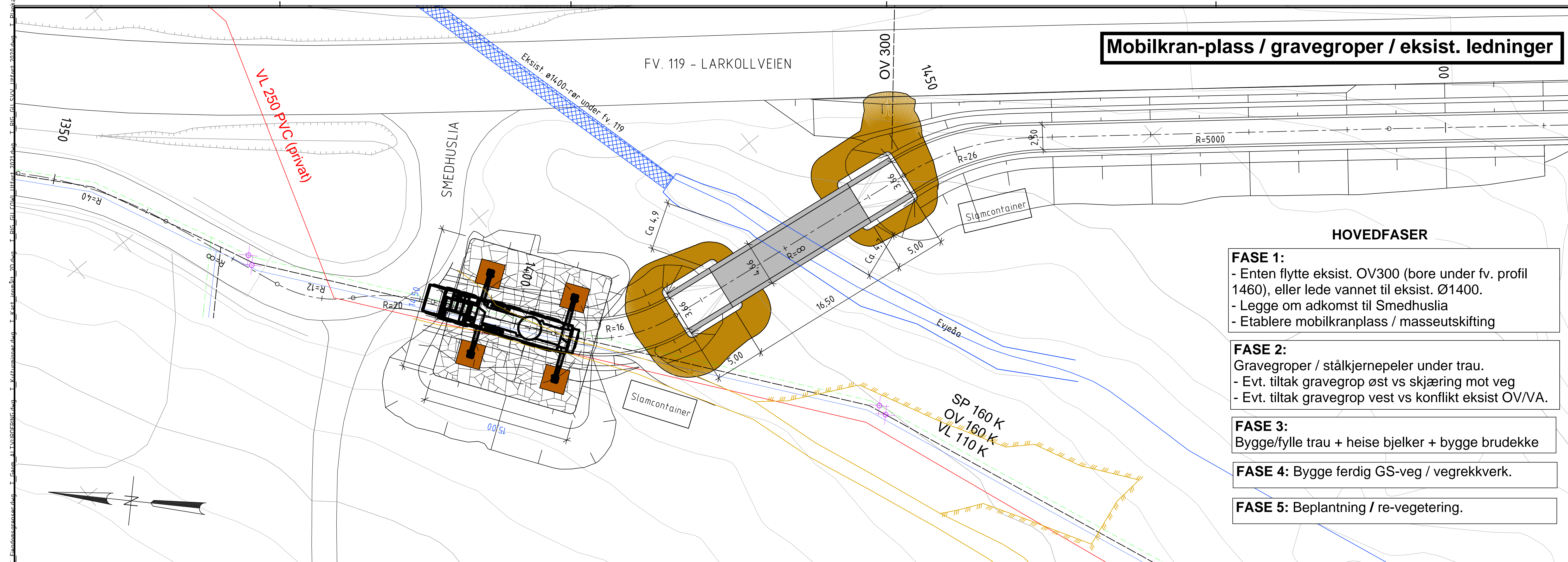
TEGNFORKLARING:

- Eksist. naturmark/skog
- Eksist. skogssti
- Grasbakke
- Gras, naturfrøblanding
- Erosjonssikring, geotekstil med vegetasjon i feltsjiktet
- Retablering/tilbakeføring av naturmark/skog
- Steinsatt renne
- Bekk

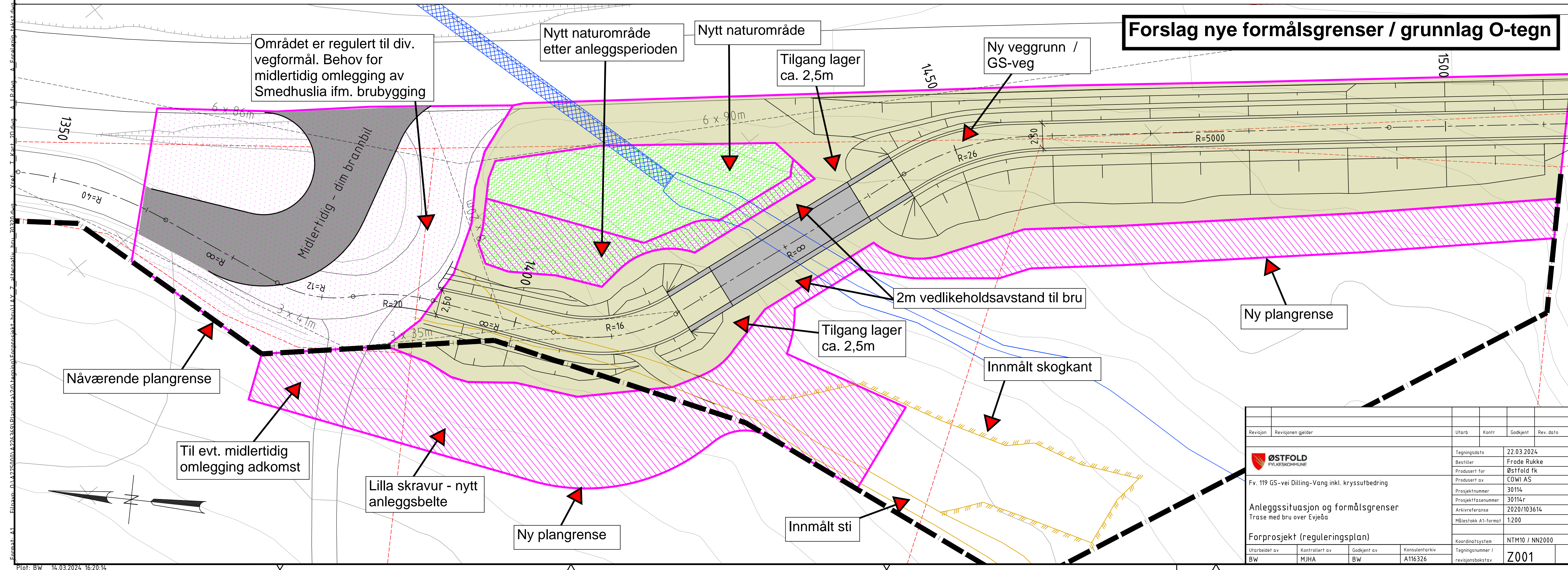
- Innmålt skogssti
- Innmålt skogkant langs sti
- Innmålt kant bekk
- Siktlinjer
- Nytt rekkrverk
- Eksist. eiendomsgrenser
- Foreslalte formålsgrenser
- Tidligere plangrense

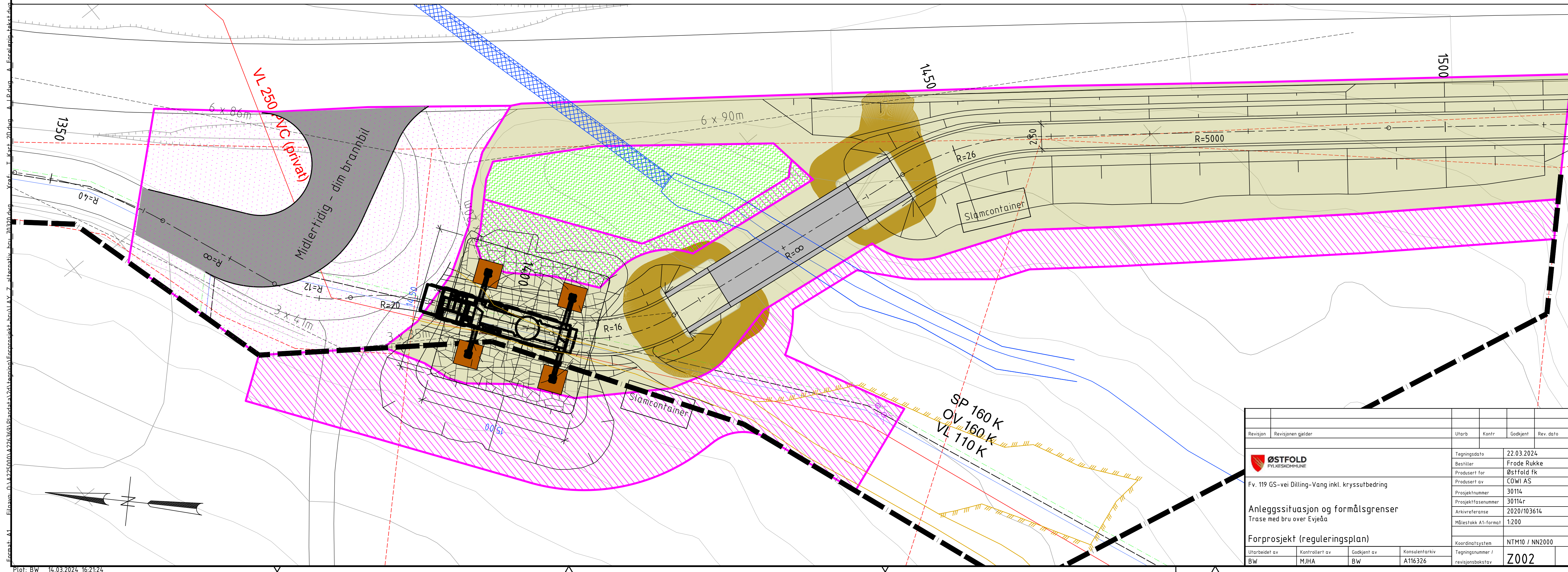
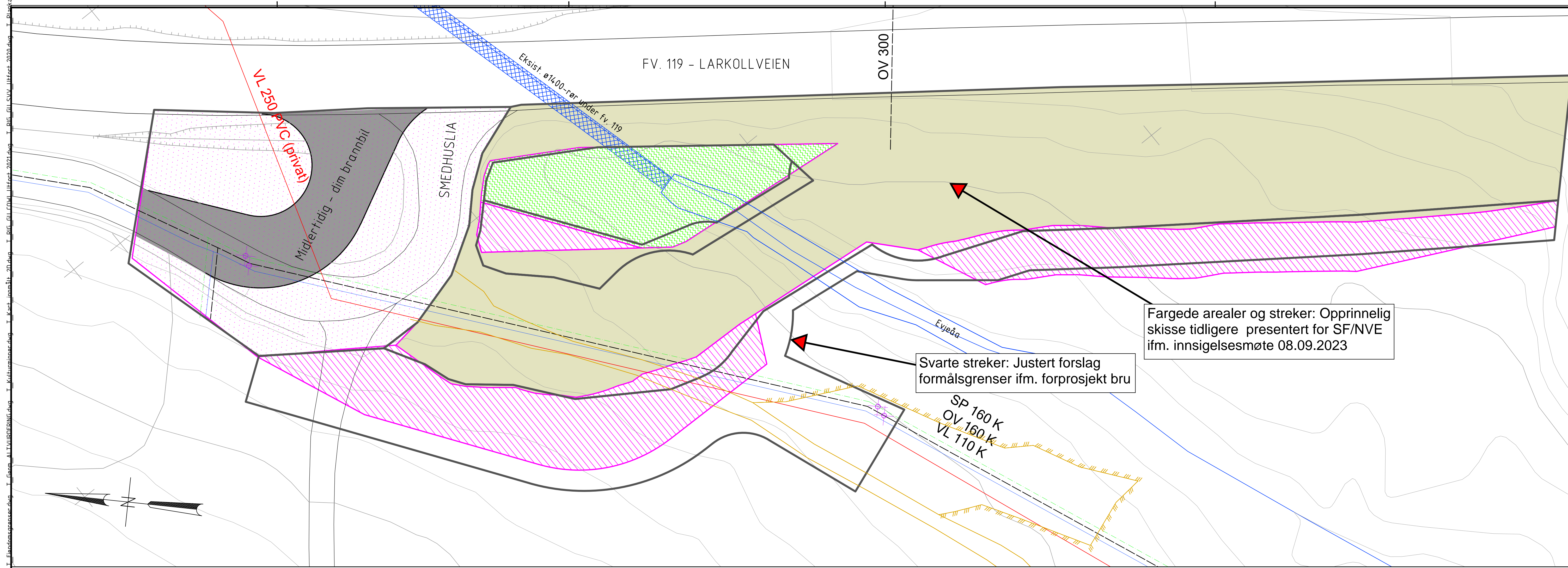
| Revisjon | Revisjonen gjelder | Utarb | Konfr | Godkjent |
|----------|--------------------------|----------------|-------|-----------|
| | | | | Rev. dato |
| | ØSTFOLD PØYKESKOMMUNE | 22.03.2024 | | |
| | Bestiller | Frode Rukke | | |
| | Produsert for | Østfold fk | | |
| | Prosjektnummer | COWI AS | | |
| | Prosjektfasenummer | 30114 | | |
| | Arkiverferdse | 30114r | | |
| | Arkiverferdse | 2020/103614 | | |
| | Målestokk A1-format | 1:200 | | |
| | Koordinatsystem | NTM10 / NN2000 | | |
| | Tegningsnummer / | | | |
| | revisjonsbokstav | | | |
| | 0001 | | | |

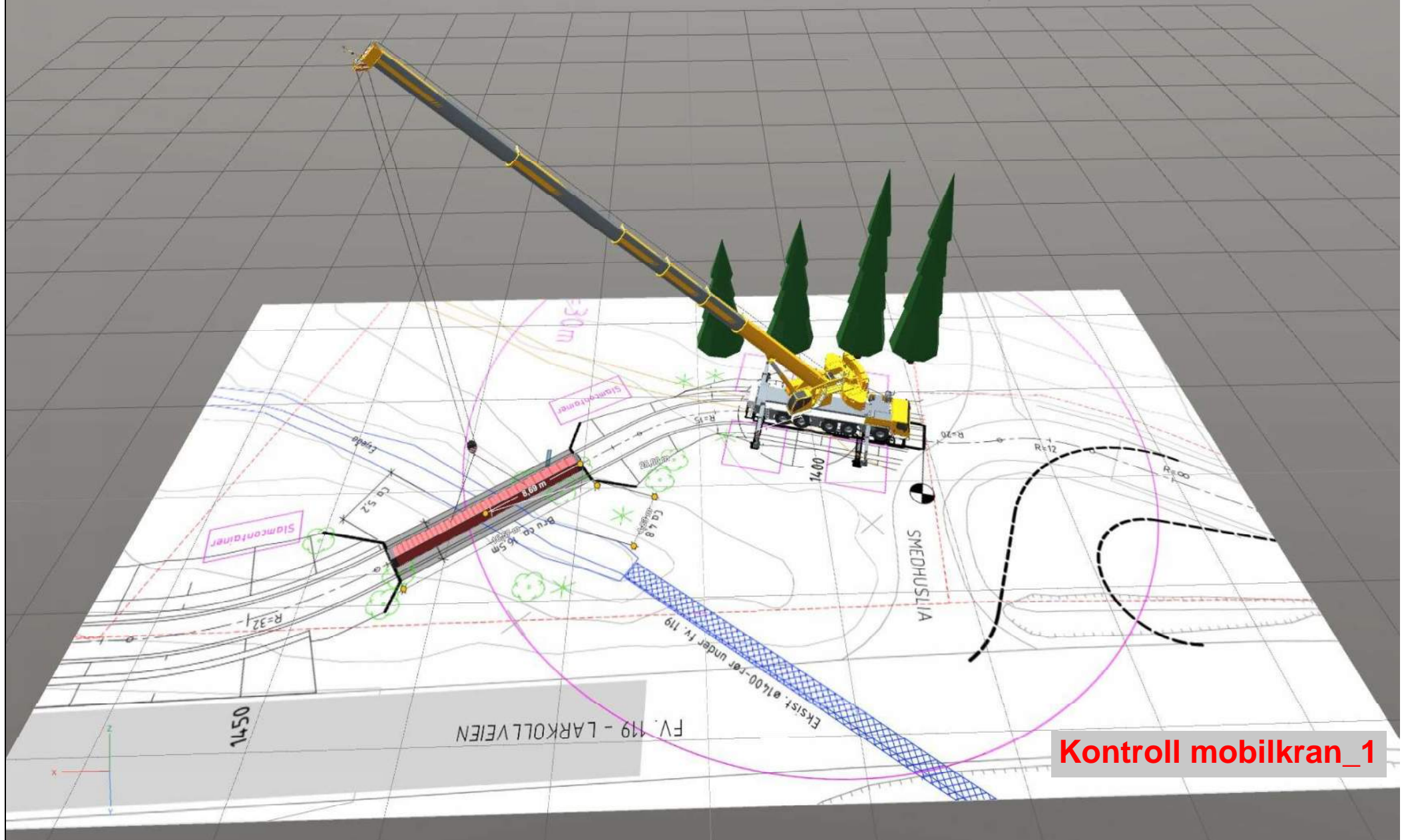
Mobilkran-plass / gravegrop / eksist. ledninger



Forslag nye formålsgrenser / grunnlag O-tegn

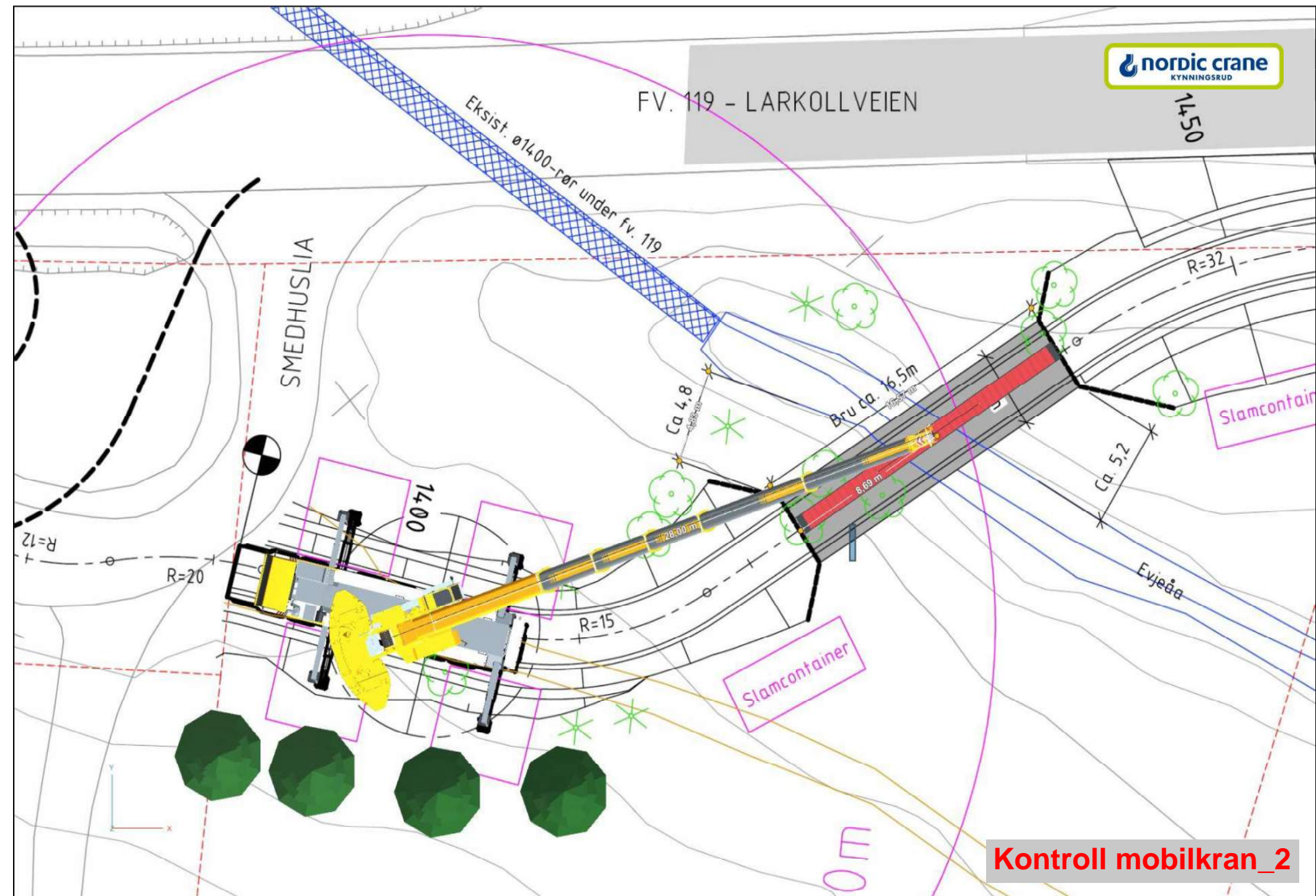






1450

FV. 119 - LARKOLLVEIEN



Vedlegg 3

Geoteknikk

Datarapporter:

- B11501-GEOT-1, Fv. 119 GS-veg Dilling-Vang (Statens vegvesen, 24.03.2020)
- A228076-RAP-RIG-001, Fv. 119 GS-veg Dilling-Vang supplerende GU (COWI, 11.04.2022, ver. 2.0)
- A268914-RAP-RIG-001, Dilling Bru GU (COWI, 27.11.2023, ver. 1.0)

Vurderingsrapport:

- RAP-RIG-004 Forprosjekt GS-bru over Evjeåa (16.02.2024, ver. 1.0)

Datarapport:

**B11501-GEOT-1, Fv. 119 GS-veg Dilling-Vang
(Statens vegvesen, 24.03.2020)**

Geoteknikk

Geoteknisk datarapport
Fv. 119 GS-veg Dilling - Vang

FV 119, Moss kommune

Fagressurser Utbygging

B11501-GEOT-1





Statens vegvesen

Utbygging

Fagressurser Utbygging

Geofag Utbygging

Postadr.

Telefon 22073000

www.vegvesen.no

Oppdragsrapport

Nr. B11501-GEOT-1

Labsysnr. 1200008

Geoteknikk

Geoteknisk datarapport
Fv. 119 GS-veg Dilling - Vang

| UTM-sone | Euref89 Ø-N | Oppdragsgiver: | Antall sider: |
|----------------|------------------|-------------------------------------|-------------------|
| 33 | 255398 - 6591769 | Viken Fylkeskommune v/Hoshang Fatah | 9 |
| Kommune nr. | Kommune | Dato: | Antall vedlegg: |
| 3002 | Moss | 2020-03-24 | 9 |
| | | Utarbeidet av (navn, sign.) | Antall tegninger: |
| | | Sara Kristine Muri Bugge | 11 |
| Prosjektnummer | Oppdragsnummer | Seksjonsleder (navn, sign.) | Kontrollert |
| B11501 | | Roar Øvre | |
| Sammendrag | | | |

Det er utført totalsondering i 19 punkter, og det er tatt opp prøver i 5 punkter. Det er påtruffet antatt berg i alle punkter, foruten punkt 16. I tillegg er det utført enkeltsonderinger i 11 punkter.

Det er påtruffet kvikkleire i enkelte punkter.

Emneord

INNHOLD

| | |
|--|---|
| INNHOLD..... | 3 |
| VEDLEGGSOVERSIKT | 4 |
| TEGNINGSLISTE | 4 |
| 1 INNLEDNING/ORIENTERING | 5 |
| 2 TIDLIGERE UNDERSØKELSER | 5 |
| 3 MARK- OG LABORATORIEUNDERSØKELSER..... | 6 |
| 4 GRUNN- OG FUNDAMENTERINGSFORHOLD | 6 |
| 4.1 Profil 240 - 550 | 7 |
| 4.1.1 Grunnforhold..... | 7 |
| 4.2 Profil 570 - 590 | 7 |
| 4.2.1 Grunnforhold..... | 7 |
| 4.3 Profil 630 - 1160 | 7 |
| 4.3.1 Grunnforhold..... | 7 |
| 4.4 Profil 1420 - 1490 | 7 |
| 4.4.1 Grunnforhold..... | 7 |
| 4.5 Profil 1630 - 1700 | 8 |
| 4.5.1 Grunnforhold..... | 8 |
| 4.6 Grunnvann..... | 8 |
| 5 REFERANSER | 9 |

VEDLEGGSOVERSIKT

| | Format |
|--|--------|
| Vedlegg 1: Tegningsforklaring for geotekniske kart og profiler | A4 |
| Vedlegg 2: Oversiktskart over området, målestokk 1:25000 | A4 |
| Vedlegg 3: Borpunktsliste | A4 |
| Vedlegg 4: Kalibreringsskjema CPTU-sondering | A4 |
| Vedlegg 5: Samleplott treaksialforsøk borpunkt 6, 22 og 25 | A4 |
| Vedlegg 6: Ødometerforsøk borpunkt 6, 22 og 25 | A4 |
| Vedlegg 7: Borprofiler | A4 |
| Vedlegg 8: Kornfordelingskurver | A4 |
| Vedlegg 9: Borlogg | A4 |

TEGNINGSLISTE

| Tegn. | Borplan | Målestokk | Format |
|--------------------------|---|-----------|--------|
| V01: | Borplan, profil 250 - 600 | 1:1000 | A3 |
| V02: | Borplan, profil 530 - 900 | 1:1000 | A3 |
| V03: | Borplan, profil 900 - 1250 | 1:1000 | A3 |
| V04: | Borplan, profil 1400 - 1700 | 1:1000 | A3 |
| Grunnundersøkelse | | | |
| V05: | Totalsondering borpunkt 2 - 5 | 1:200 | A3 |
| V06: | Totalsondering og CPTu borpunkt 6 - 8 | 1:200 | A3 |
| V07: | Totalsondering borpunkt 10 - 15 | 1:200 | A3 |
| V08: | Totalsondering borpunkt 16 - 19 | 1:200 | A3 |
| V09: | Totalsondering og CPTu borpunkt 20 - 22 | 1:200 | A3 |
| V10: | Totalsondering borpunkt 25 - 26 | 1:200 | A3 |
| V11: | Enkelsonderinger borpunkt HB1 – HB 13 | 1:200 | A3 |

1 INNLEDNING/ORIENTERING

Etter oppdrag fra Viken fylkeskommune v/ Hoshang Fatah har Geofag Utbygging v/ Sara Bugge utført grunnundersøkelser og for gang- og sykkelvegprosjekt langs fv. 119 Dilling - Vang i Moss kommune.

Denne rapporten presenterer data fra grunnundersøkelsene og gir en orientering ut fra registrerte grunnforhold.

Kapittel 2 beskriver tidligere utførte grunnundersøkelser som er relevante for det aktuelle området.

Kapittel 3 gir en oversikt over metodene og utstyr som er benyttet for grunnundersøkelsene.

Under kapittel 4.1 – kapittel 4.5 er grunnforholdene beskrevet.

Vedlegg 2 viser et oversiktsskart i målestokk 1:25000 for området.

2 TIDLIGERE UNDERSØKELSER

Det er tidligere gjort enkelte grunnundersøkelser langs Fv. 119. Rapport B119 *Redegjørelse for de geotekniske forhold på eiendommen Østli i Rygge kommune* (1964) redegjør for grunnundersøkelser i forbindelse med oppføring av nytt hus langs fylkesveien. Det er i tillegg gjort undersøkelser i forbindelse med utglidinger nær fylkesveien. Undersøkelsene viser at løsmassene består av leire med enkelte innslag av sand og gruskorn. Leiren har lav skjærstyrke, og er i tillegg meget sensitive.

Ifølge rapport B53 *Rapport over grunnundersøkelse for fylkesveg 19 ved Jokums bru, Østfold fylke* (1961) er det gjort grunnundersøkelser i forbindelse med utbedring av grøft ved Jokum bru. I desember 1960 og januar 1961 gikk det to utglidinger i området. Det er utført dreietrykksonderinger og tatt opp prøver med 54 mm prøvetaker. Løsmassene består av «mo, mjеле og leire» (silt og leire), og ser ut til å bli finere i dybden. Det gjøres oppmerksom på at leiren er meget løs og det er liten sikkerhet mot lokale utglidinger ettersom leiren er svært sensitiv.

3 MARK- OG LABORATORIEUNDERSØKELSER

Mannskap fra Drift og vedlikehold, Laboratorium og grunnboring, har foretatt 19 totalsonderinger, tatt opp 4 stk. representative prøveserier, både skovlprøver («poseprøver») og 54 mm cylinderprøver. Det ble i tillegg utfør CPTu-sonderinger i 4 punkter. Feltarbeidet ble gjennomført mellom 28.januar og 13.februar 2020.

Utførte sonderinger er innmålt med GPS som normalt gir nøyaktigheter for xy-koordinatene innenfor ± 3 cm og z-koordinatene innenfor ± 10 cm.

Plasseringen av alle borpunkt er vist på oversiktskartet, tegning V01 – V04.

Den opptatte prøveserien er analyserte ved vårt sentrallaboratorium i Oslo. På prøvene er det utført både rutineundersøkelser og korngraderingsanalyser, samt treaksialforsøk og ødometerforsøk på enkelte delprøver. Resultatene fra sonderingene og laboratorieanalysene av prøveseriene framgår av de aktuelle tverrprofilene i tegningene V05 – V11, samt vedlegg 5 - 8.

4 GRUNN- OG FUNDAMENTERINGSFORHOLD

Det er utført totalsondering i 19 punkter, og det er tatt opp prøver i 5 punkter. Det er påtruffet antatt berg i alle punkter, foruten punkt 16. I tillegg er det utført enkeltonderinger i 11 punkter, markert HBX. Disse punktene er utført med håndholdt Wacker borutstyr. Disse punktene gir ikke sikker bergpåvisning, men indikerer dybde til faste masser eller antatt bergoverflate.

Flere punkter måtte fjernes eller flyttes fra tenkt plassering i opprinnelig borplan.

| Borpunkt | Flyttet | Utgått | Kommentar |
|----------|---------|--------|-------------------------------------|
| 1 | | X | Konflikt med infrastruktur i bakken |
| 3 | | X | Konflikt med infrastruktur i bakken |
| 5 | X | | Konflikt med infrastruktur i bakken |
| 6 | X | | Konflikt med infrastruktur i bakken |
| 7 | X | | Konflikt med infrastruktur i bakken |
| 8 | X | | Konflikt med infrastruktur i bakken |
| 9 | | X | Konflikt med infrastruktur i bakken |
| 10 | X | | Konflikt med infrastruktur i bakken |
| 16 | X | | Tilkomst med rigg |
| 17 | X | | Tilkomst med rigg |
| 18 | X | | Tilkomst med rigg |
| 19 | X | | Klimaskog – ikke tilkomst for rigg |
| 20 | X | | Klimaskog – ikke tilkomst for rigg |
| 21 | X | | Klimaskog – ikke tilkomst for rigg |

4.1 Profil 240 – 550

Borplan: tegn. V01

Sondering: tegn. V05 - V06, V09

4.1.1 Grunnforhold

Det er utført totalsonderinger i 9 punkter i dette området. Dybde til antatt berg varierer mellom 2,6 meter og 11,9 meter. I punkt 25 og 26 er det ikke foretatt sikker bergpåvisning med innboring 3 meter i berg da det ble boret uten vann.

Det er tatt opp sylinderprøver og utført CPTu i 3 punkter. Resultatene fra laboratorieanalyseene er vist i vedlegg 5 - 7. Prøvene viser at løsmassene består av leire, til dels kvikkleire i enkelte av punktene, i dybden. Det er opplyst om antatt grus/gruslag i borlogg, se vedlegg 9.

4.2 Profil 570 – 590

Borplan: tegn. V01

Sondering: tegn. V11

4.2.1 Grunnforhold

Det er gjennomført to stk. enkeltonderinger med håndholdt Wacker borutstyr. Det er boret 1,1 – 2,6 meter før det er påtruffet faste masser.

4.3 Profil 630 – 1160

Borplan: tegn. V02 – V03

Sondering: tegn. V07 og V11

4.3.1 Grunnforhold

Langs strekningen er det flere områder med berg i dagen eller bergskjæringer. Fra ca. profil 640 – ca. profil 900 er det utført enkeltonderinger. Dybdene til faste masser varierer mellom 0,4 – 1,7 meter. Borpunkt HB12 var opprinnelig planlagt som totalsondering, men det var ikke mulig å komme til med borrigg. Dette punktet er derfor utført som enkeltondering.

Totalsonderingene utført på strekningen viser dybde til antatt berg mellom 3,2 – 6,6 meter. I punkt 14 ble det utført to forsøk på sondering, da forsøk nummer en førte til stangbrudd pga. antatt skrått berg.

4.4 Profil 1420 – 1490

Borplan: tegn. V04

Sondering: tegn. V08

4.4.1 Grunnforhold

Det er utført 3 stk. totalsonderinger. Antatt berg er påtruffet i to punkter, mellom 4,4 – 13,6 meter dybde. I punkt 16 ble det boret 15,7 meter uten å treffe berg.

På grunn av infrastruktur i bakken og tilkomst for rigg er punktene boret i eksisterende veg. Sonderingene viser lag med antatte fyllmasser i de øverste 1,3 – 2,6 meterne, deretter følger et lag med lav til middels høy sondermotstand. På grunn av fyllmassene, som består av grov stein, var det ikke mulig å få gjennomført prøvetaking eller CPTu-sondering i disse punktene.

4.5 Profil 1630 – 1700

Borplan: tegn. V04
Sondering: tegn. V08 - V09

4.5.1 Grunnforhold

Det er gjennomført totalsondering i tre punkter. To av sonderingene er i utført ved/i eksisterende veg pga. tilkomst for rigg. Dybde til antatt berg varierer mellom 4,7 – 5,2 meter. I punkt 21 er dybden til berg 0,3 meter, og det er også berg i dagen i nærheten.

Det er tatt opp 54 mm sylinderprøve i punkt 20. Resultatene av laboratorieanalysene er vist i vedlegg 5-8.

4.6 Grunnvann

Det er ikke målt grunnvannstand. Da grunnundersøkelsene ble utført var det mye nedbør i området, og det ble bemerket fra grunnborer at vannet står i terrengnivå på jordet hvor borpunktene 5 – 6 og 25 – 26 ble utført.

5 REFERANSER

Standard Norge (2010): Eurokode 7: Geoteknisk prosjektering.

Statens vegvesen (2018): Vegbygging. Håndbok N200

Statens vegvesen (2018): Geoteknikk i vegbygging. Håndbok V220

Statens vegvesen (2014): Geoteknisk opptegning. Håndbok V223

Statens vegvesen (2014): Grunnforsterking, fyllinger og skråninger. Håndbok V221

Statens vegvesen (2016): Laboratorieundersøkelser. Håndbok R210

Statens vegvesen (2018): Feltundersøkelser. Håndbok R211

NGU (2014) Nasjonal løsmassedatabase, <http://geo.ngu.no/kart/losmasse>

Opptegning i plan / på oversiktskart.

TEGNINGSSYMBOLER

Nummerering i henhold til borpunktliste GeoPlot.

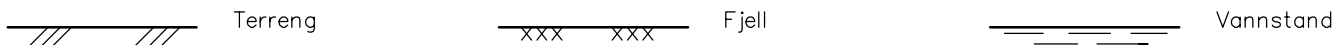
| Symbol | Metode | Anmerkning | Symbol | Metode | Anmerkning |
|--------|-----------------------------|--|--------|--------------------------------------|---|
| ● | 2401 Dreiesondering | Sondering m. registrering av motstand. | ■ | 2410 Setningsmåling | Nivellelementspunkt. |
| ◎ | 2402 Prøveserie | Prøvene tatt med boringsredskap (skovlbor, prøvetagger, diamantkjernebor m.m.) | ⊖ | 2411 S.P.T. | Standard Penetration Test |
| □ | | | ✖ | 2412 Fjellkontrollboring | Boring ned til og i fjell. |
| ☒ | 2403 Prøvegrop | Prøvene tatt i gropvegg. | ○ | 2413 Poretrykksmåling | Inkludert måling av grunnvannstand. |
| ☒ | 2404 Prøvebelastning | Peler, terrengplater, fundamenter o.l. | ● | 2414 In situ permeabilitetsmåling | Infiltrasjonsforsøk, prøvepumping m.m. |
| ○ | 2405 Enkel sondering | Sondering uten registrering av motst., f.eks. spyleboring, slagboring m.m. | + | 2415 Vingeboring | Måling av uomrørt og omrørt udrenert skjærstyrke. |
| ▽ | 2406 Dreietrykksondering | Maskinsondering med automatisk registrering. | Ω | 2416 Elektrisk sondering | Elektrisk motstand, korrosivitet etc. |
| ▽ | 2407 CPTU | Sondering der spissmotstand, lokal friksjon og poretrykk registreres under nedpressing | □ | 2417 Helningsmåling | Inklinometer. |
| ⊗ | 2408 Skruplateforsøk | Kompressometer o.l. | ⊕ | 2418 Totalsondering | Kombinasjonsboring gjennom løsmasser og fjell. |
| ▼ | 2409 Ramsondering | Sondering der borstang slås ned. Stangdiameter, loddvekt og fallhøyde er normert. Q_0 registreres. | | | |

NIVÅER OG DYBDER (i meter)

✖ $\frac{12,8}{-5,7}$ 18,5+3,0 Over linjen : kote terregn eller elvebunn, sjøbunn ved boring i vann (12,8).
 Ut for linjen : boret dybde i løsmasser (18,5). Evt. boret dybde i fjell angis etter plussstegn (+3,0).
 Under linjen : sikker fjellkote.

OPPTEGNING I PROFIL

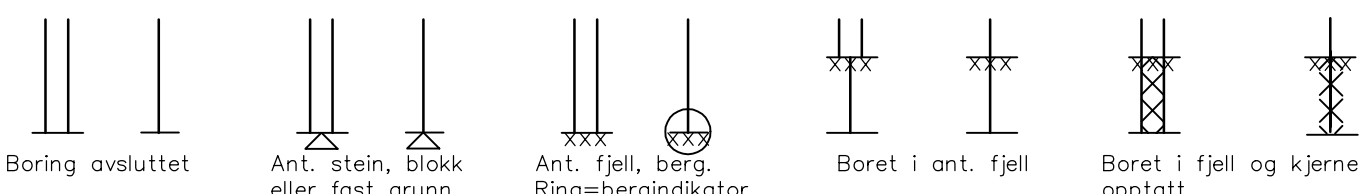
Generelt



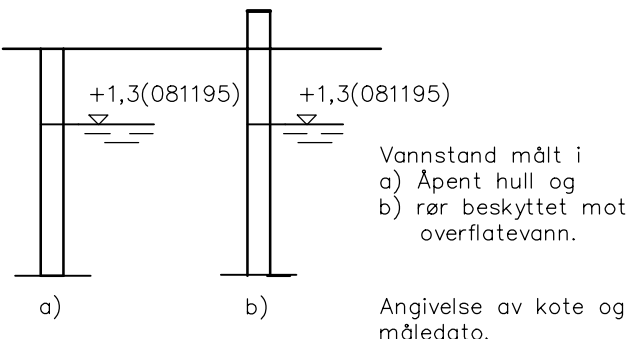
FORBORING (Gjelder alle sonderingstyper)



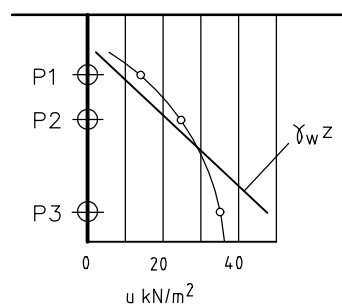
AVSLUTNING AV BORING (Gjelder alle sonderingstyper)



GRUNNVANNSTAND



PORETRYKK

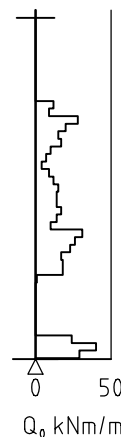


Poretrykk, u , fremstilles i et diagram. En teoretisk linje for hydrostatisk trykksfordeling $\gamma_w z$ kan vises.

VANNSTAND

| | |
|-----|-----------------------------|
| HFV | Høyeste flomvannstand |
| HRV | Høyeste regulerte vannstand |
| LRV | Laveste regulerte vannstand |
| HHV | Høyeste høyvannstand |
| LLV | Laveste lavvannstand |
| HV | Normal høyvannstand |
| LV | Normal lavvannstand |
| MV | Normal middelvannstand |
| V | Vannstand (dato angis) |
| GV | Grunnvannstand (dato angis) |

RAMSONDERING

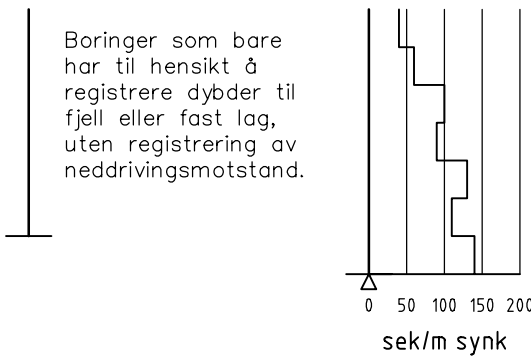


Rammemotstanden Q_0 angis som brutto rammeenergi i kNm pr. m synk av boret.

$$Q = \frac{W \times H}{s}$$

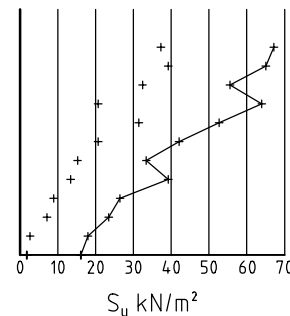
der W = Tyngde av lodd (kN)
 H = Fallhøyde (m)
 s = Synk i m pr. slag

ENKEL SONDERING



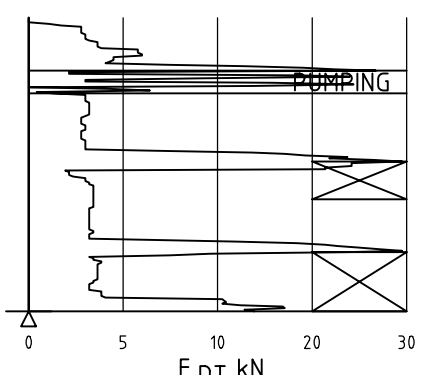
Ved enkel sondering med slagbormaskin og sondering med fjellrigg kan synk vises som sek/m.

VINGEBORING



Borhullet markeres med enkel tykk strek. Skjærstyrken s_u og s'_u angis i kN/m² med tegnet +. Verdier merka (+) ansees ikke representative. Verdien som angis er den kalibrerte omrørte og uomrørte skjærstyrke.

DREIETRYKKSONDERING



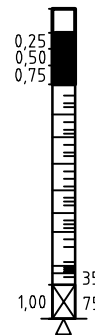
Vanlig boring med 25 omdr./min.

Pumping

Økt rotasjon

Borhullet markeres med en enkel tykk strek. Målt nedpressingskraft er vist som funksjon av dybden. Kraften er registrert ved automatisk skriver.

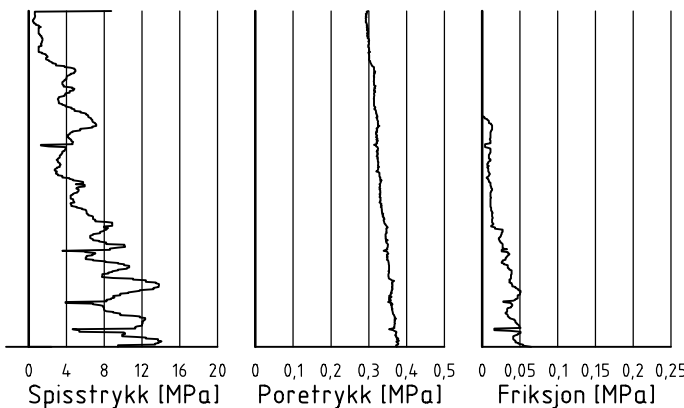
DREIESONDERING



Forboringsdybde markeres og diameter angis i mm. Vertikallasten i kN angis på borhullets v. side. Endring i belastning vises ved tverrstrek. Synk uten dreining markeres med skyggelegging eller raster.

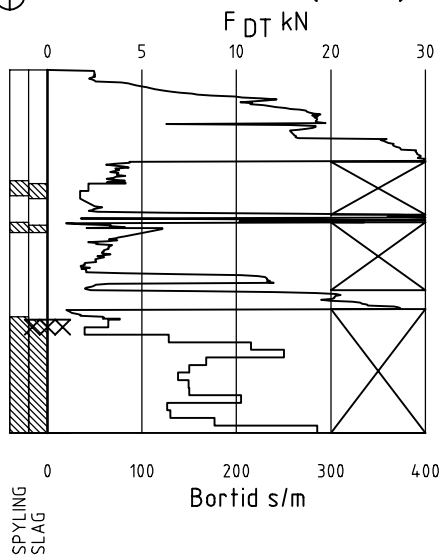
Hel tverrstrek for hver 100 halvomdrehing. Halv tverrstrek for hver 25 halvomdrehing. Mindre enn 100 halvomdrehinger vises ved å skrive ant. halvomdr. på h. side. Neddriving ved slag på boret vises m. kryss, slagant. og redskap kan angis. Endret neddrivingsmåte vises m. hel tverrstrek.

▽ CPT / TRYKKSØNDERING



Trykksøndering med poretrykksmåling og friksjonsmåling.
Borhullet markeres med en tykk strek hvor spissmotstandskurven tegnes inn.
Poretrykkskurven og friksjonskurven tegnes inn i høyelig nærhet til spissmotstandskurven.
Skala velges etter (oppredende) målte spenninger.

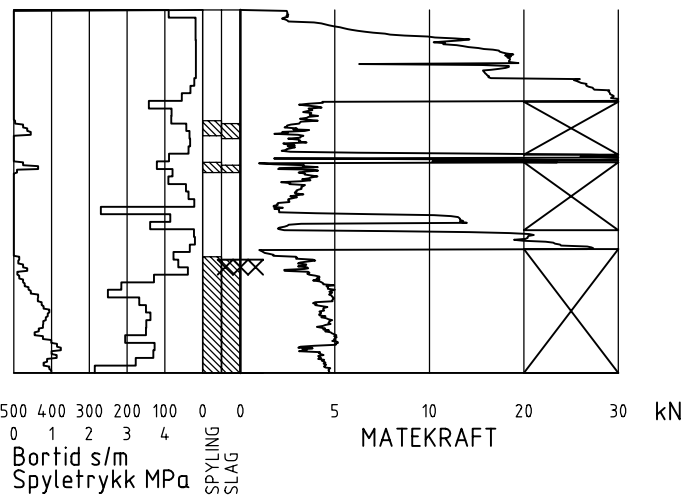
⊕ TOTALSONDERING (alt. 1)



Metoden er en kombinasjon av dreietrykksøndering og fjellkontrollboring, med 57 mm borkrone.

Målt nedpressingskraft vises som funksjon av dybden der hvor boringen er utført med prosedyre som for dreietrykksøndering. Økt rotasjonshastighet vises med kryss for denne delen av boringen.

⊕ TOTALSONDERING (alt. 2)



Ved boring med slag og spyling markeres dette med skravur. Bortid tegnes i blokker for hver 0,2m, evt. 1,0m (alternativ 1). Alternativt kan nedpressingskraft tegnes også for denne delen av boringen. Bortid tegnes da i blokker for hver 0,2m, evt. 1,0m, på motsatt side av diagrammet (alt. 2).

KODELISTE

Data som registreres kan kompletteres med borlederenes egne inntrykk. For å hjelpe borlederen finnes det en kodeliste som anbefales brukt. Kodene kan om ønskelig tegnes til høyre for bordiagrammet. Disse koder benyttes:

GENERELLE KODER

- 00 Foreg. kode feil, skal være kode...
- 01 Startnivå for følgende kode
- 02 Metodebytte ved fortsatt sondering i samme hull (komb. m. ang. ny met.)
- 03 Ytterligere info. finnes

ANMERKNINGSKODER

- 10 Stoppnivå for tidligere forsøk (komb. m. stoppkode).
- 11 Lengre opphold i sond. (mer enn 5min.)
- 12 Dreining ikke utført fra det markerte nivå.
- 13 Sonden synker uten loddets vekt (ramsond.).
- 14 Sonden synker med loddets tyngde.
- 15 Sonderingsmotstand registreres ikke.
- 16 Stopp for poretrykksutjevning (CPT).
- 17 Poretrykksutjevning avsluttet.

FRIE KODER (EKSEMPEL)

- 60 Borstangen bøyer seg.
- 61 Trolig grunnvannsnivå.
- 62 Markert mottrykk under oppbygging.
- 63 Slutt mottrykk.

BEDØMMELSESKODER

- 30 Fyllmasse
- 31 Tørskorpe
- 32 Leire
- 33 Silt
- 34 Sand
- 35 Grus
- 36 Morene
- 37 Torv
- 38 Gytje
- 40 Forekomst av stein
- 41 Stein, blokk eller berg.
- 42 Sluttnivå for stein eller blokk.

MASKINTEKNISKE KODER

- 70 Økt rotasjon begynner
- 71 Økt rotasjon avsluttet
- 72 Spyling begynner
- 73 Spyling slutter
- 74 Slag starter
- 75 Slag slutter
- 76 Slag og spyling starter samt.

- 77 Slag og spyling slutter samt.
- 78 Pumping starter
- 79 Pumping slutter

STOPPKODER

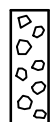
- 90 Sondering avsl. uten å ha oppnådd stopp.
- 91 Fast grunn, sond. kan ikke drives videre etter norm. pros.
- 92 Ant. stein eller blokk
- 93 Ant. berg
- 94 Avsl. etter boret ønsket dybde i fjell.
- 95 Brudd i borstenger eller spiss.
- 96 Annen material- eller mask. feil
- 97 Boring avsl. (årsak notert)

PRØVESERIE

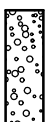
Materialsignatur (iht. NGF)



Fjell



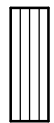
Stein og blokk



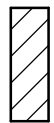
Grus



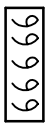
Sand



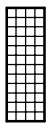
Silt



Leire



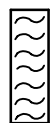
Skjell



Fyllmasse



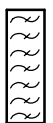
Trerester
Sagflis



Matjord



Torv
Planterester



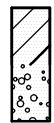
Gytje, dy
(vannavssatt)

Anmerkning

T = tørrskorpe
Leire: R = resedimenterte masser
K = kvikkleire

Ved blandingsjordarter kombineres signaturene.
Morene vises ved skyggelegging.

Eks.:



Moreneleire

Grusig morene

For konkresjoner kan bokstavsymboler settes inn i materialsignaturen.

Ca = kalkkonkresjoner
Fe = jernkonkresjoner
AH = aurhelle

SYMBOLER FOR LABORATORIEDATA

| Laboratoriebestemmelser | Bokstav-symbool | Tegn-symbool | Anmerkninger |
|---|-------------------------------------|------------------|--|
| Materiale | | | Jordarter beskrives i samsvar med retningslinjer gitt av NGF. Hovedbetegnelsen skrives med store bokstaver. |
| Vanninnhold Naturlig vanninnhold Plastisitetsgrense Flytegrense Flytegrense konus | W WP WL WF | • — — — | Angis i masseprosent av tørrstoff. Metode skal angis. |
| Tyngdetethet / densitet Tyngdetethet Densitet Tørr densitet Korndensitet | γ γ γd γs | | Tyngdetethet kN/m^3 . Densitet t/m^3 . γ (kN/m^3) |
| Porositet Poretall | n e | | |
| Skjærstyrke, udrenert Konusforsøk, uomrørt Konusforsøk, omrørt Enkelt trykkforsøk | Suk su'k sut | ▼ ▼ ꝝ | Symbolet settes i () hvis verdien ikke ansees representativ. Aksialdeformasjon ved brudd (ϵ_f) angis i % slik: $\frac{15-5}{10}$ |
| Sensitivitet | S_t | | Metode bør angis. |
| Organisk materiale | | | Angis i masseprosent av tørrstoff før forsøk. |
| Innhold av organisk karbon Glødetap Humusinnhold Formuldingsgraden | O_c O_{gl} O_{Na} vP | | Bestemt ved NaOH-metoden. Klassifisering etter von Post skala H ₁ –H ₁₀ |

Forøvrig benyttes bokstavsymboler vedtatt av The International Society of Soil Mechanics and Foundation Engineering.



Senterposisjon: 255383.69, 6591457.51

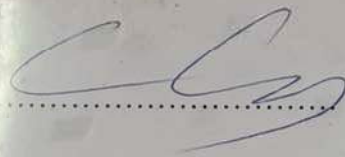
Koordinatsystem: EPSG:25833

Utskriftsdato: 24.03.2020

| Borpunkt | X | Y | Z | Metode | Løsmasser | Berg |
|----------|-------------|------------|--------|-----------------|-----------|------|
| 2 | 1155535,146 | 110908,448 | 23,184 | Total Tolk | 2,6 | 3,03 |
| 4 | 1155441,572 | 110914,32 | 23,462 | Total Tolk | 4,57 | 2,7 |
| 5 | 1155395,161 | 110932,143 | 21,203 | Total Tolk | 11,9 | 2,93 |
| 6 | 1155356,82 | 110931,306 | 21,304 | Total Cpt Prøve | 9,63 | 3 |
| 7 | 1155306,399 | 110882,856 | 24,741 | Total Tolk | 4,4 | 3 |
| 8 | 1155250,744 | 110873,467 | 24,492 | Total Tolk | 3,13 | 3,03 |
| 10 | 1155155,208 | 110869,386 | 24,376 | Total Tolk | 6,2 | 2,82 |
| 13 | 1154973,013 | 110830,958 | 22,831 | Total Tolk | 6,57 | 2,73 |
| 14 | 1154855,343 | 110785,284 | 22,374 | Total Tolk | 3,25 | 2,97 |
| 15 | 1154718,288 | 110723,64 | 22,636 | Total Tolk | 4 | 3,07 |
| 16 | 1154408,819 | 110666,977 | 21,752 | Total | 15,7 | |
| 17 | 1154382,764 | 110670,694 | 22,375 | Total Tolk | 13,6 | 3,02 |
| 18 | 1154343,626 | 110675,611 | 23,453 | Total Tolk | 4,4 | 3 |
| 19 | 1154198,189 | 110688,198 | 24,898 | Total Tolk | 5,22 | 3 |
| 20 | 1154185,292 | 110666,323 | 21,414 | Total Prøve | 4,72 | 2,97 |
| 21 | 1154142,383 | 110675,965 | 26,009 | Total Tolk | 0,3 | 2,92 |
| 22 | 1155350,816 | 110881,752 | 25,397 | Total Cpt Prøve | 11,2 | 3 |
| 25 | 1155352,425 | 110963,293 | 20,278 | Total Cpt Prøve | 9,93 | 0 |
| 26 | 1155303,198 | 110932,495 | 20,554 | Total | 10,73 | 0 |
| HB1 | 1155214,202 | 110845,028 | 28,207 | Enkel | 2,6 | |
| HB12 | 1155052,195 | 110845,197 | 25,787 | Enkel | 1,7 | |
| HB13 | 1154979,245 | 110819,246 | 26,159 | Enkel | 0,95 | |
| HB2 | 1155197,607 | 110849,195 | 28,123 | Enkel | 1,15 | |
| HB3 | 1155144,405 | 110842,235 | 28,573 | Enkel | 1,5 | |
| HB4 | 1155117,442 | 110849,943 | 27,135 | Enkel | 0,4 | |
| HB5 | 1155097,628 | 110850,85 | 26,679 | Enkel | 0,67 | |
| HB6 | 1155021,347 | 110838,313 | 25,677 | Enkel | 0,75 | |
| HB7 | 1154996,249 | 110829,884 | 25,973 | Enkel | 0,9 | |
| HB8 | 1154939,36 | 110809,586 | 25,504 | Enkel | 0,6 | |
| HB9 | 1154894,571 | 110790,799 | 25,78 | Enkel | 0,9 | |

CALIBRATION CERTIFICATE FOR CPT PROBE 4601

Probe No 4601
 Date of Calibration 2019-04-02
 Calibrated by Christoffer Hurtig...
 Run No 1057
 Test Class: ISO 1



| Point Resistance | Tip Area 10cm ² | |
|------------------|----------------------------|-----|
| Maximum Load | 50 | MPa |
| Range | 50 | MPa |
| Scaling Factor | 1803 | |
| Resolution | 0,4232 | kPa |
| Area factor (a) | 0,827 | |

ERRORS

Max. Temperature effect when not loaded 21,568 kPa
 Temperature range 5 –40 deg. Celsius.

| Local Friction | Sleeve Area 150cm ² | |
|-----------------|--------------------------------|-----|
| Maximum Load | 0,5 | MPa |
| Range | 0,5 | MPa |
| Scaling Factor | 3811 | |
| Resolution | 0,01 | kPa |
| Area factor (b) | 0 | |

ERRORS

Max. Temperature effect when not loaded 0,46 kPa
 Temperature range 5 –40 deg. Celsius.

Pore Pressure

| | | |
|----------------|-------------|-----|
| Maximum Load | 2,5 | MPa |
| Range | 2 | MPa |
| Scaling Factor | 3448 | |
| Resolution | 0,0221 | kPa |

ERRORS

Max. Temperature effect when not loaded 1,061 kPa
 Temperature range 5 –40 deg. Celsius.

Tilt Angle. Scaling Factor: 0,92

Range 0 - 40 Deg.

Backup memory
Temperature sensor

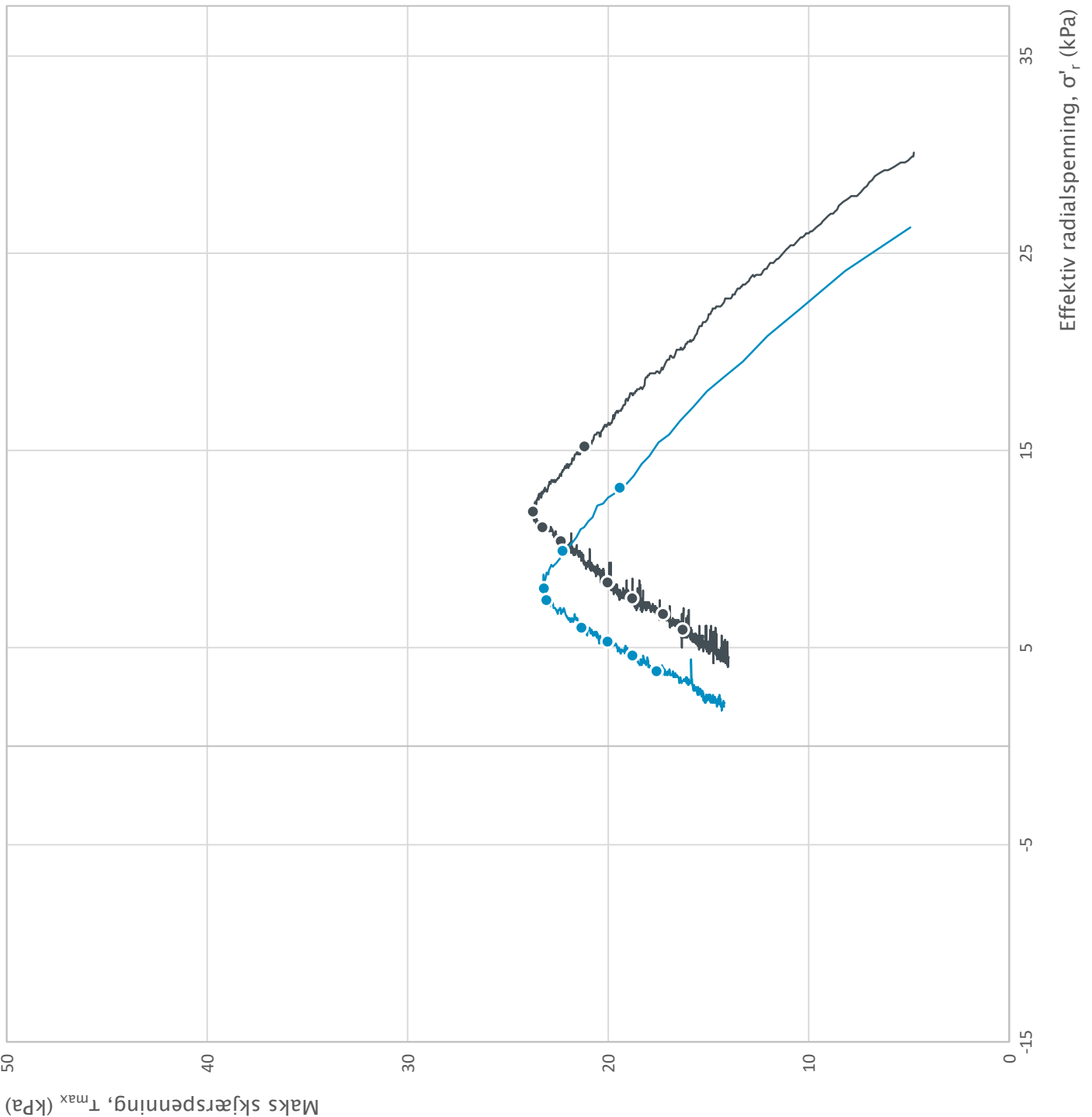
Cptlog Cone data base information

Göteborg: 2019-04-02

| | | | |
|------------------------------|-----------------------------------|-------------------------|--|
| Cone name | <input type="text" value="4601"/> | Date of purchase | <input type="text"/> |
| Ranges | Serial number | User. | <input type="text" value="4601"/> |
| Point resistance | <input type="text" value="50"/> | Scaling factors | <input type="text"/> |
| Local friction | <input type="text" value="0,5"/> | Point resistance | <input type="text" value="1803"/> |
| Pore pressure | <input type="text" value="2"/> | Area factor a | <input type="text" value="0,827"/> |
| Tilt sensor | <input type="text" value="40"/> | Area factor b | <input type="text" value="0"/> |
| Elect. Conductivity | <input type="text"/> | Local friction | <input type="text" value="3811"/> |
| temperature | <input type="text"/> | Pore pressure | <input type="text" value="3448"/> |
| Elect. Conductivity | <input type="text"/> | Sleeve area | <input type="text" value="150"/> |
| temperature | <input type="text"/> | Tilt sensor | <input type="text" value="0,92"/> |
| Elect. Conductivity | <input type="text"/> | temperature | <input type="text" value="1"/> |
| Elect. Conductivity | <input type="text"/> | Type | <input type="text" value="NOVA cone"/> |
| Elect. Conductivity A | <input type="text"/> | Memory option | <input type="text"/> |
| Elect. Conductivity B | <input type="text"/> | With memory | <input type="text"/> |
| (mS/m) | | | |



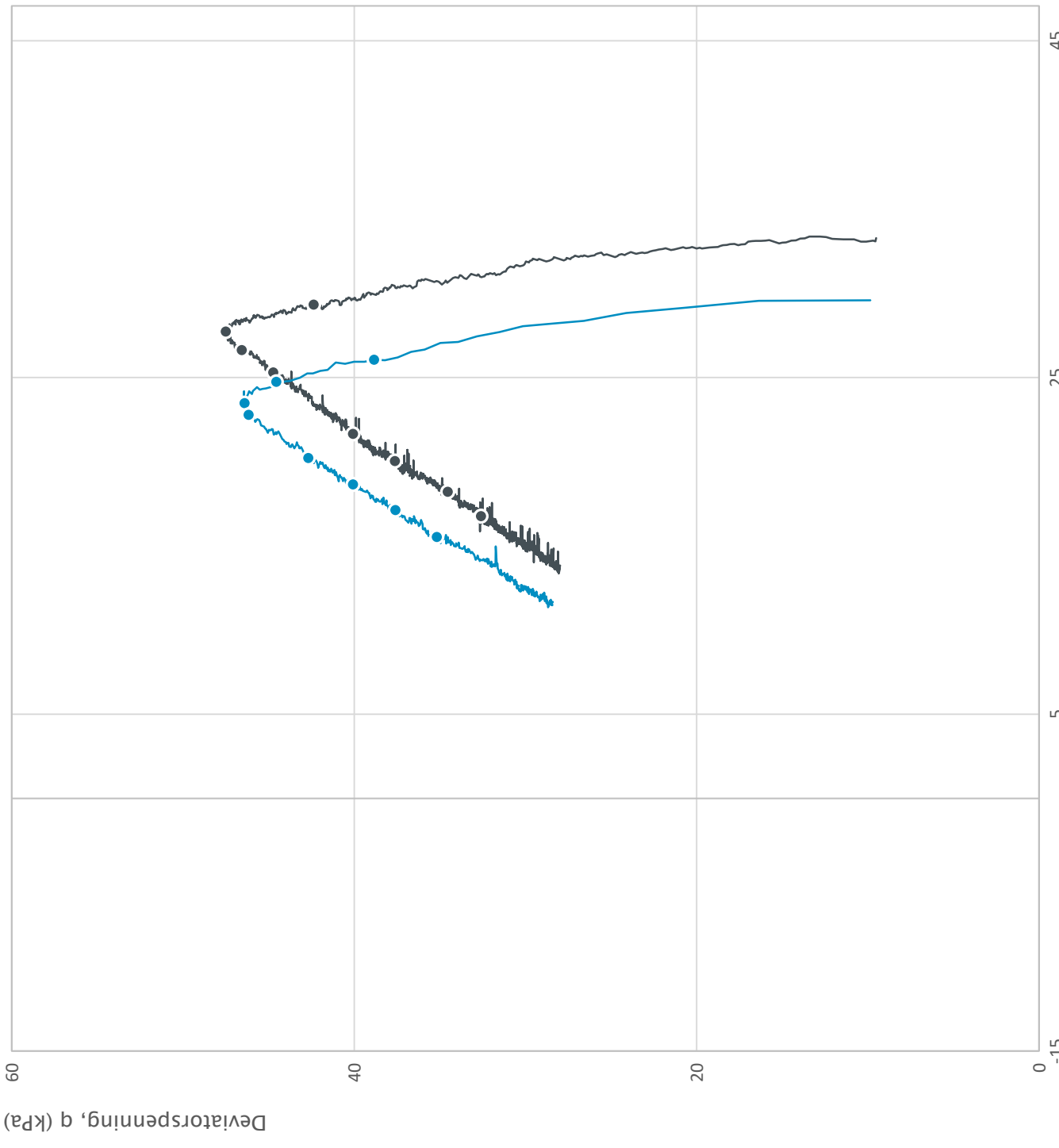
Specialists in
Geotechnical
Field Equipment



| Borhull | Dybde | Type | Symbol | σ'_{v0} (kPa) | σ'_{ac} (kPa) | σ'_{rc} (kPa) | K'_{oc} |
|---------|-------|------|--------|----------------------|----------------------|----------------------|-----------|
| 6 | 4,50 | CAUC | — | 38,3 | 39,5 | 30,1 | 0,76 |
| 6 | 4,60 | CAUC | — | 39,1 | 39,0 | 29,4 | 0,75 |
| | | | — | | | | |
| | | | — | | | | |
| | | | — | | | | |
| | | | — | | | | |

Prosjekt Rapportnummer: 1200008 Hull 6
Fv.119 GSV Dilling – Vang

| Innhold | Utført mariad/jansen | Kontrollert mariad/jansen | Godkjent mariad/jansen | Figur |
|--|-------------------------|------------------------------|---------------------------|-----------|
| Spenningssti i skjærfase, $\sigma'r$ - τ plott (NTNU) | mariad/jansen | mariad/jansen | mariad/jansen | 1 |
|  Statens vegvesen | Region Øst | Dato utført 26.02.2020 | Revisjon | Rev. dato |



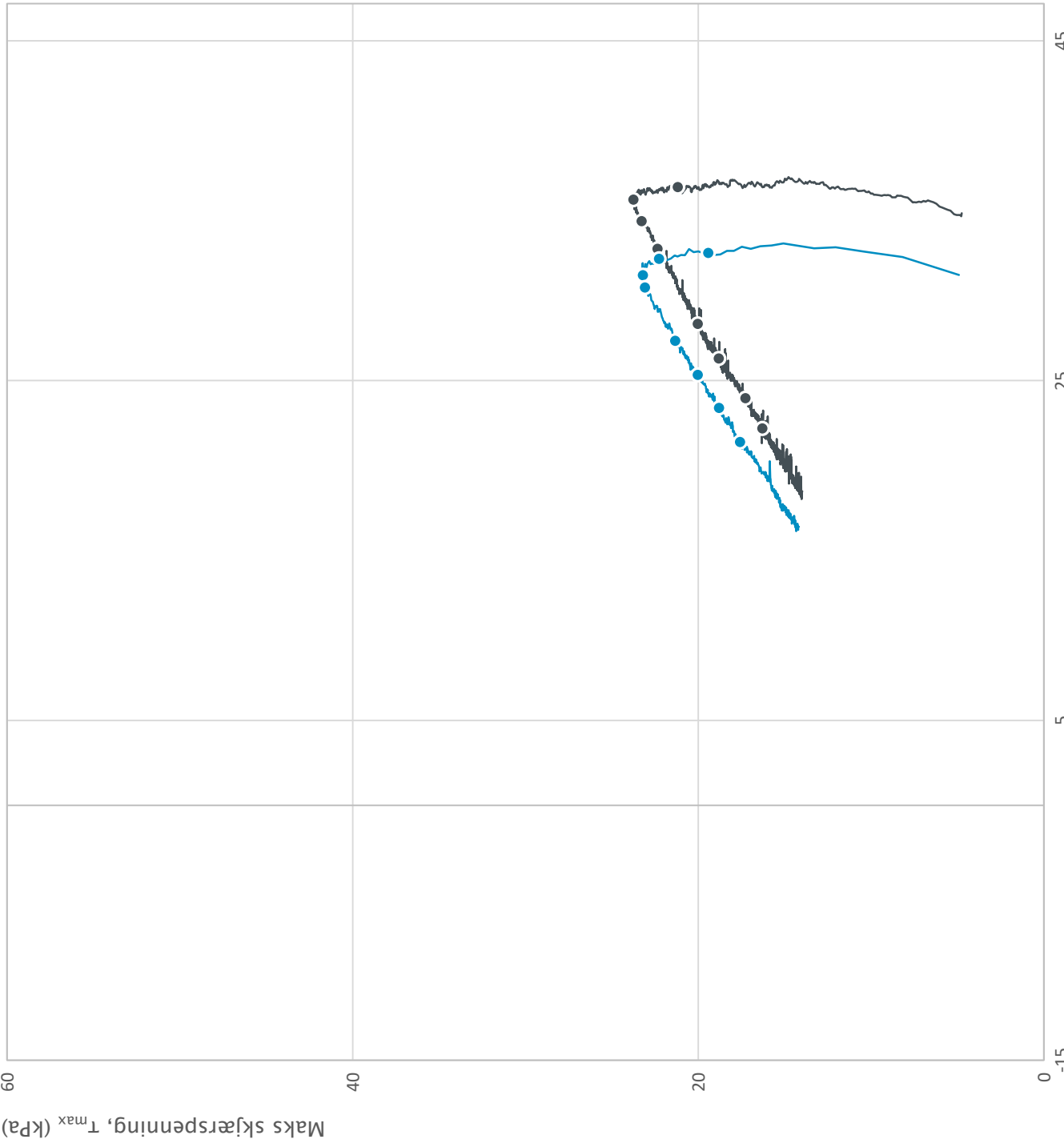
| Borhull | Dybde | Type | Symbol | σ'_{v0} (kPa) | σ'_{ac} (kPa) | σ'_{rc} (kPa) | K'_{oc} |
|---------|-------|------|--------|----------------------|----------------------|----------------------|-----------|
| 6 | 4,50 | CAUc | — | 38,3 | 39,5 | 30,1 | 0,76 |
| 6 | 4,60 | CAUc | — | 39,1 | 39,0 | 29,4 | 0,75 |
| | | | — | | | | |
| | | | — | | | | |
| | | | — | | | | |
| | | | — | | | | |

Prosjekt Rapportnummer: 1200008 Hull 6
Fv.119 GSV Dilling – Vang

Innhold

Spenningssti i skjærfase, p' - q plott

| Statens vegvesen | Utført mariad/jansen | Kontrollert mariad/jansen | Godkjent mariad/jansen | Figur |
|------------------|-------------------------|------------------------------|---------------------------|-------|
| | Region Øst | Dato utført 26.02.2020 | Revisjon Rev. dato | |
| | | | | 2 |



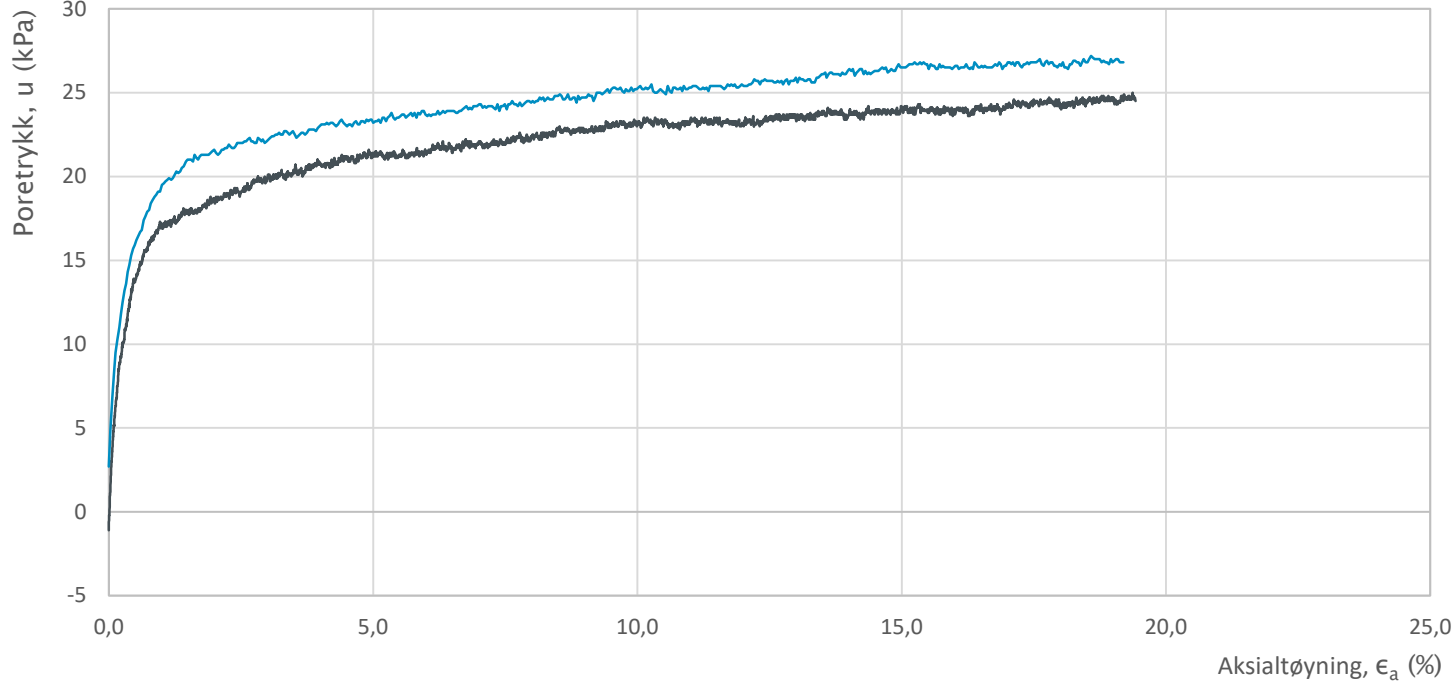
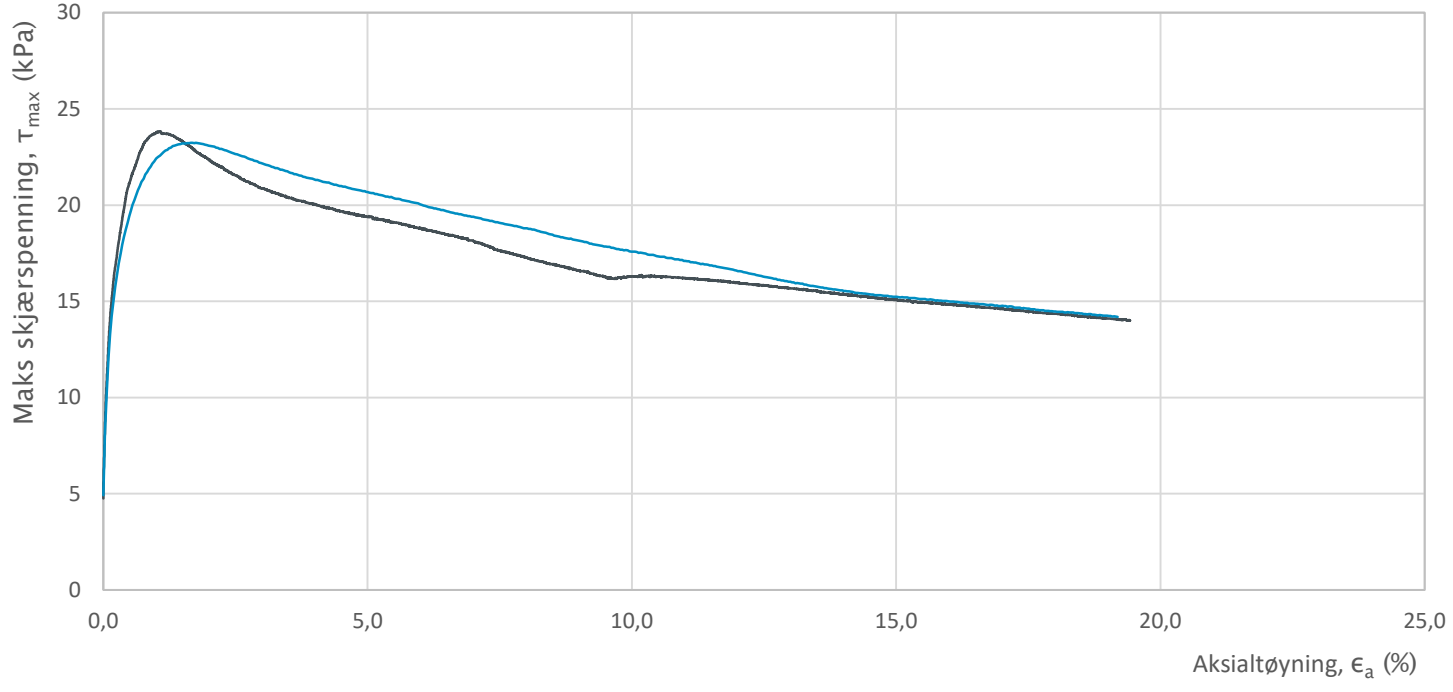
| Borhull | Dybde | Type | Symbol | σ'_{v0} (kPa) | σ'_{ac} (kPa) | σ'_{rc} (kPa) | K'_{oc} |
|---------|-------|------|--------|----------------------|----------------------|----------------------|-----------|
| 6 | 4,50 | CAUc | — | 38,3 | 39,5 | 30,1 | 0,76 |
| 6 | 4,60 | CAUc | — | 39,1 | 39,0 | 29,4 | 0,75 |
| | | | — | | | | |
| | | | — | | | | |
| | | | — | | | | |
| | | | — | | | | |

Prosjekt Rapportnummer: 1200008 Hull 6
Fv.119 GSV Dilling – Vang

Innhold

Spenningssti i skjærfase, $s'-\tau$ plott (MIT)

| | | | | |
|--|-------------------------|------------------------------|---------------------------|-------------------|
|  Statens vegvesen | Utført mariad/jansen | Kontrollert mariad/jansen | Godkjent mariad/jansen | Figur 3 |
| | Region Øst | Dato utført 26.02.2020 | Revisjon Rev. dato | |



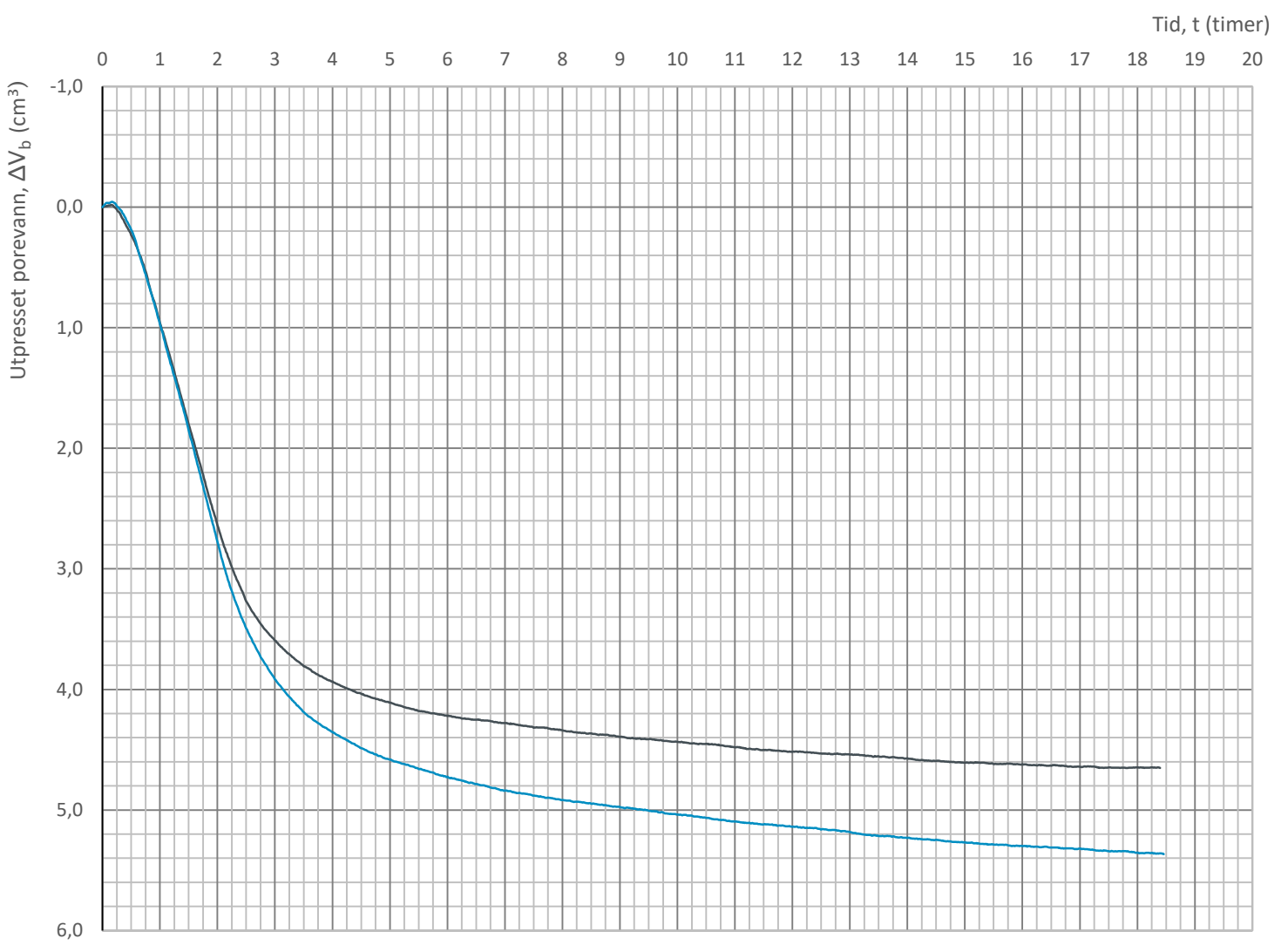
| Borhull | Dybde | Type | Symbol | σ'_{v0} (kPa) | σ'_{ac} (kPa) | σ'_{rc} (kPa) | K'_{oc} |
|---------|-------|------|--------|----------------------|----------------------|----------------------|-----------|
| 6 | 4,50 | CAUc | — | 38,3 | 39,5 | 30,1 | 0,76 |
| 6 | 4,60 | CAUc | — | 39,1 | 39,0 | 29,4 | 0,75 |
| | | | — | | | | |
| | | | — | | | | |
| | | | — | | | | |
| | | | — | | | | |

Prosjekt Rapportnummer: 1200008 Hull 6
Fv.119 GSV Dilling – Vang

Innhold

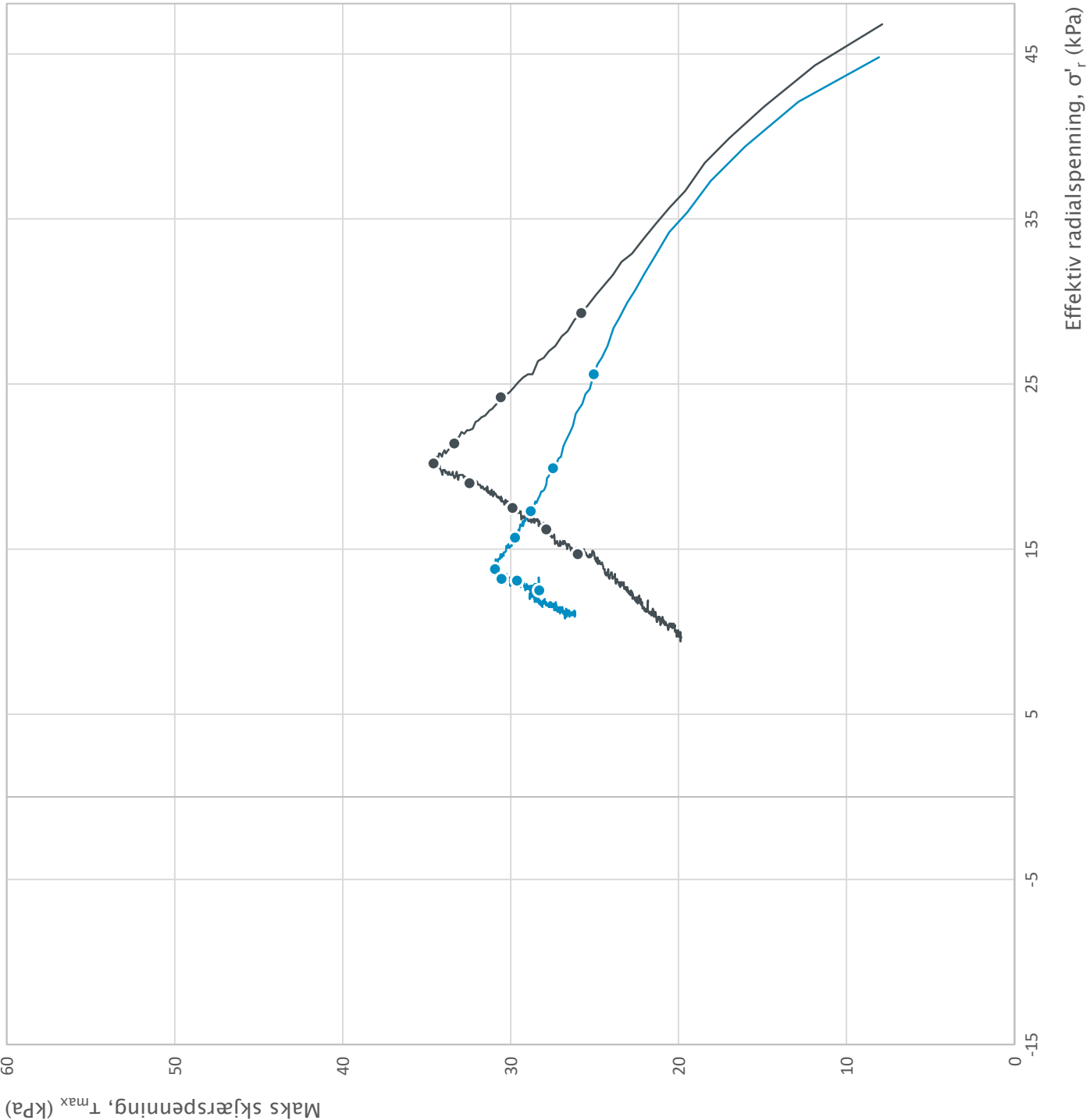
Bruddutvikling i skjærfase, ϵ_a - τ og ϵ_a - u plott

| Utført mariad/jansen | Kontrollert mariad/jansen | Godkjent mariad/jansen | Figur |
|-------------------------|------------------------------|---------------------------|-------|
| | | | |
| Øst | 26.02.2020 | Rev. dato | 4 |



| Borhull | Dybde | Type | Symbol | σ'_{v0} (kPa) | σ'_{ac} (kPa) | σ'_{rc} (kPa) | K'_{oc} |
|---------|-------|------|--------|----------------------|----------------------|----------------------|-----------|
| 6 | 4,50 | CAUc | — | 38,3 | 39,5 | 30,1 | 0,76 |
| 6 | 4,60 | CAUc | — | 39,1 | 39,0 | 29,4 | 0,75 |
| | | | — | | | | |
| | | | — | | | | |
| | | | — | | | | |
| | | | — | | | | |

| | |
|--|--|
| Prosjekt Fv.119 GSV Dilling – Vang | Rapportnummer: 1200008 Hull 6 |
| Innhold | |
| Konsolidering | |
|  Statens vegvesen | Utført mariad/jansen Kontrollert mariad/jansen Godkjent mariad/jansen Region Øst Dato utført 26.02.2020 Revisjon Rev. dato |
| | Figur 5 |



| Borhull | Dybde | Type | Symbol | σ'_{v0} (kPa) | σ'_{ac} (kPa) | σ'_{rc} (kPa) | K'_{oc} |
|---------|-------|------|--------|----------------------|----------------------|----------------------|-----------|
| 22 | 6,50 | CAUC | — | 62,4 | 62,1 | 46,7 | 0,75 |
| 22 | 6,70 | CAUC | — | 64,3 | 63,9 | 48,3 | 0,76 |
| | | | — | | | | |
| | | | — | | | | |
| | | | — | | | | |
| | | | — | | | | |

Stein i prøve 6,7m

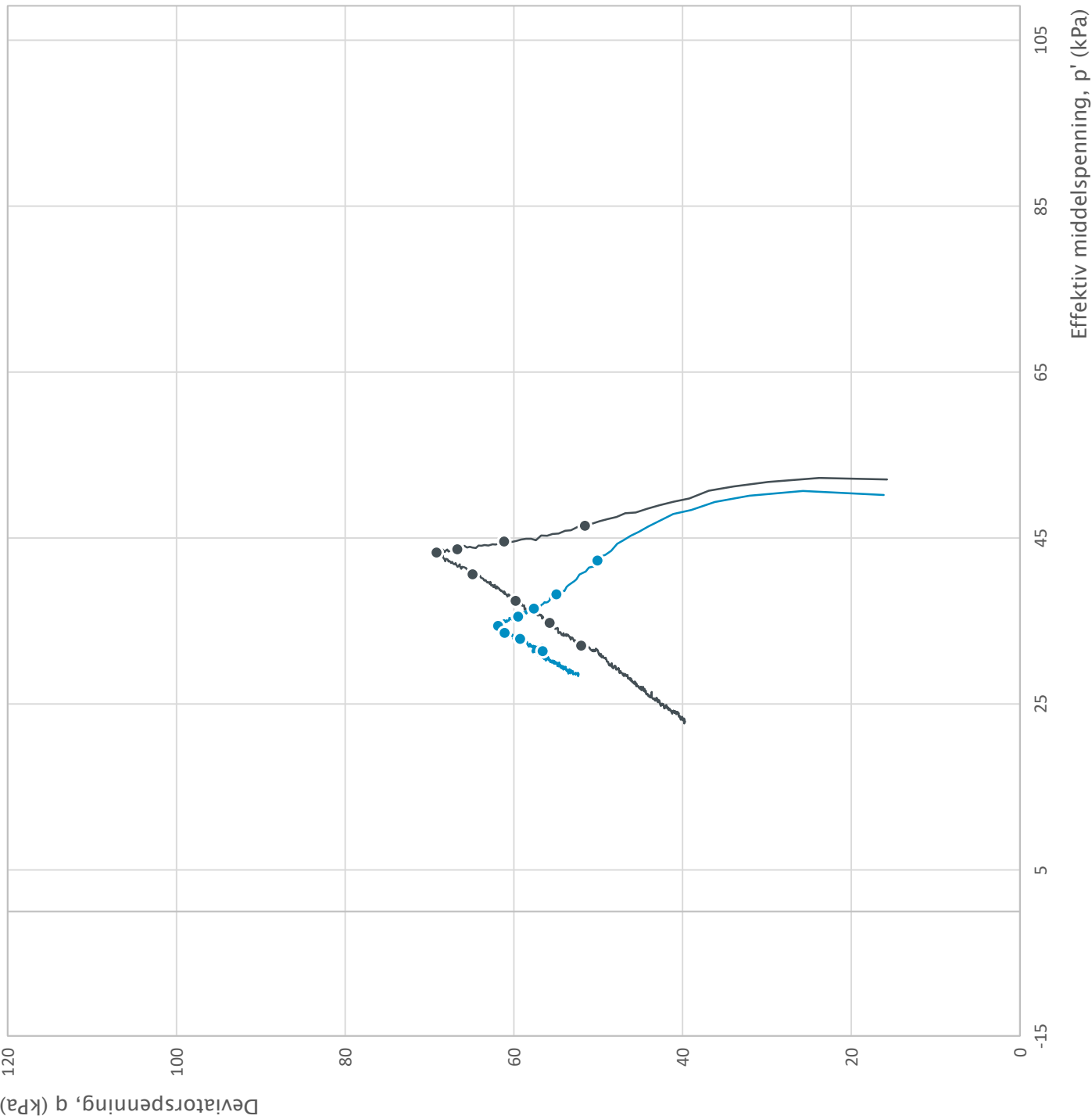
Prosjekt Rapportnummer: 1200008 Hull 22

Fv.119 GSV Dilling – Vang

Innhold

Spenningssti i skjærfase, $\sigma'₀-\tau$ plott (NTNU)

| | | | | |
|--|-------------------------|------------------------------|---------------------------|----------------|
|  Statens vegvesen | Utført mariad/jansen | Kontrollert mariad/jansen | Godkjent mariad/jansen | Figur 1 |
| | Region Øst | Dato utført 09.03.2020 | Revisjon Rev. dato | |



| Borhull | Dybde | Type | Symbol | σ'_{v0} (kPa) | σ'_{ac} (kPa) | σ'_{rc} (kPa) | K'_{oc} |
|---------|-------|------|--------|----------------------|----------------------|----------------------|-----------|
| 22 | 6,50 | CAUc | — | 62,4 | 62,1 | 46,7 | 0,75 |
| 22 | 6,70 | CAUc | — | 64,3 | 63,9 | 48,3 | 0,76 |
| | | | — | | | | |
| | | | — | | | | |
| | | | — | | | | |
| | | | — | | | | |

Stein i prøve 6,7m

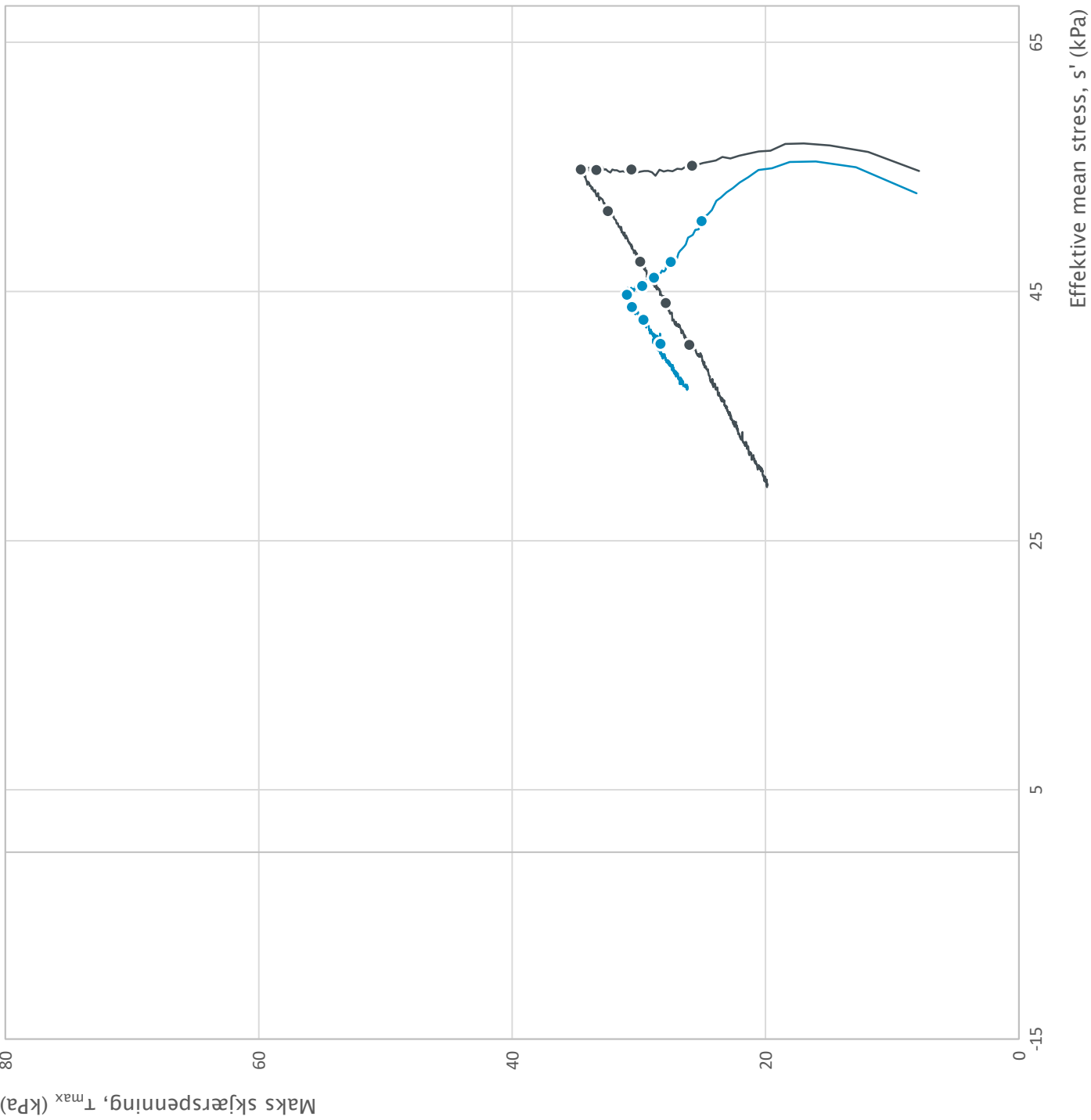
Prosjekt Rapportnummer: 1200008 Hull 22

Fv.119 GSV Dilling – Vang

Innhold

Spenningssti i skjærfase, p' -q plott

| | | | | |
|--|-------------------------|------------------------------|---------------------------|-----------------------|
|  Statens vegvesen | Utført mariad/jansen | Kontrollert mariad/jansen | Godkjent mariad/jansen | Figur 2 |
| | Region Øst | Dato utført 09.03.2020 | Revisjon Rev. dato | |



$\epsilon_a = 0,5 \ 1,0 \ 1,5 \ 2,0 \ 4,0 \ 6,0 \ 8,0 \ 10,0 \ (%)$

Maks skjærspenning, τ_{max} (kPa)

Effektive mean stress, σ' (kPa)

| Borhull | Dybde | Type | Symbol | σ'_{v0} (kPa) | σ'_{ac} (kPa) | σ'_{rc} (kPa) | K'_{oc} |
|---------|-------|------|--------|----------------------|----------------------|----------------------|-----------|
| 22 | 6,50 | CAUc | — | 62,4 | 62,1 | 46,7 | 0,75 |
| 22 | 6,70 | CAUc | — | 64,3 | 63,9 | 48,3 | 0,76 |
| | | | — | | | | |
| | | | — | | | | |
| | | | — | | | | |
| | | | — | | | | |

Stein i prøve 6,7m

Prosjekt Rapportnummer: 1200008 Hull 22

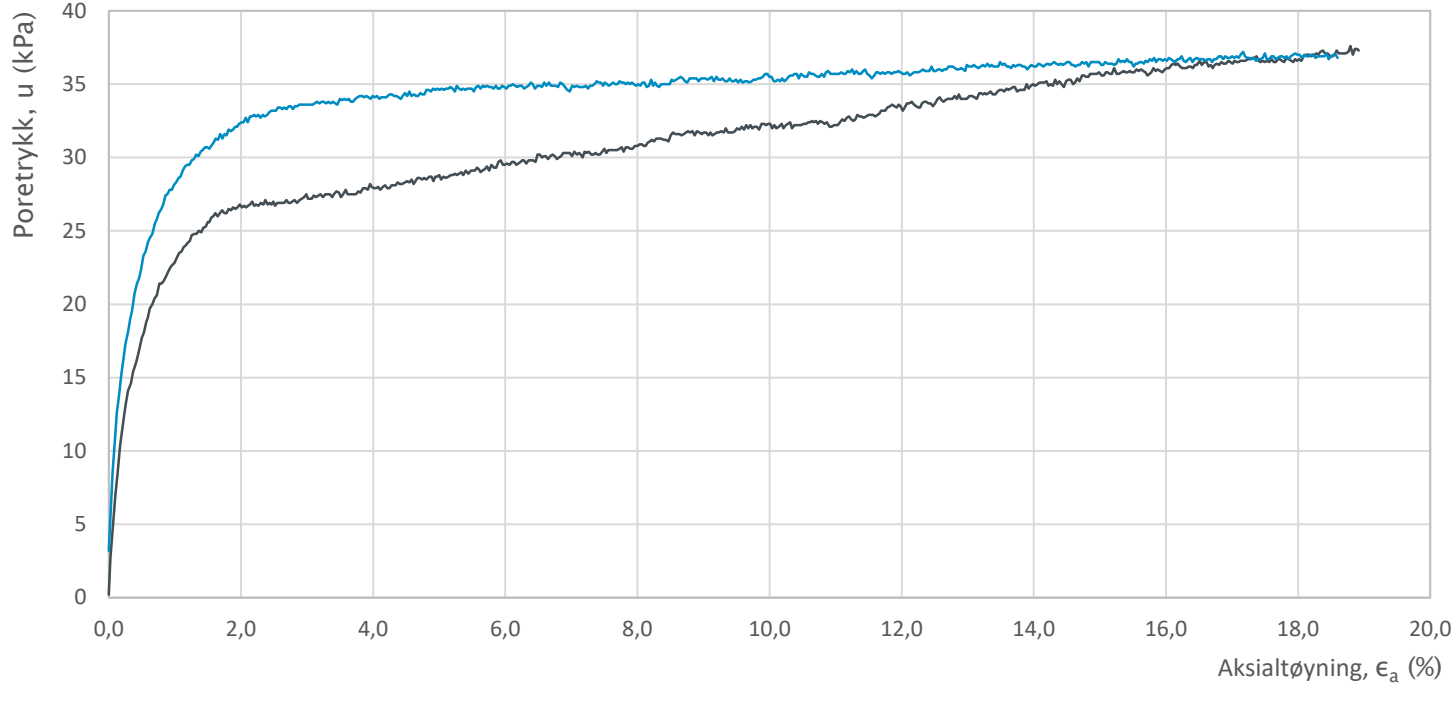
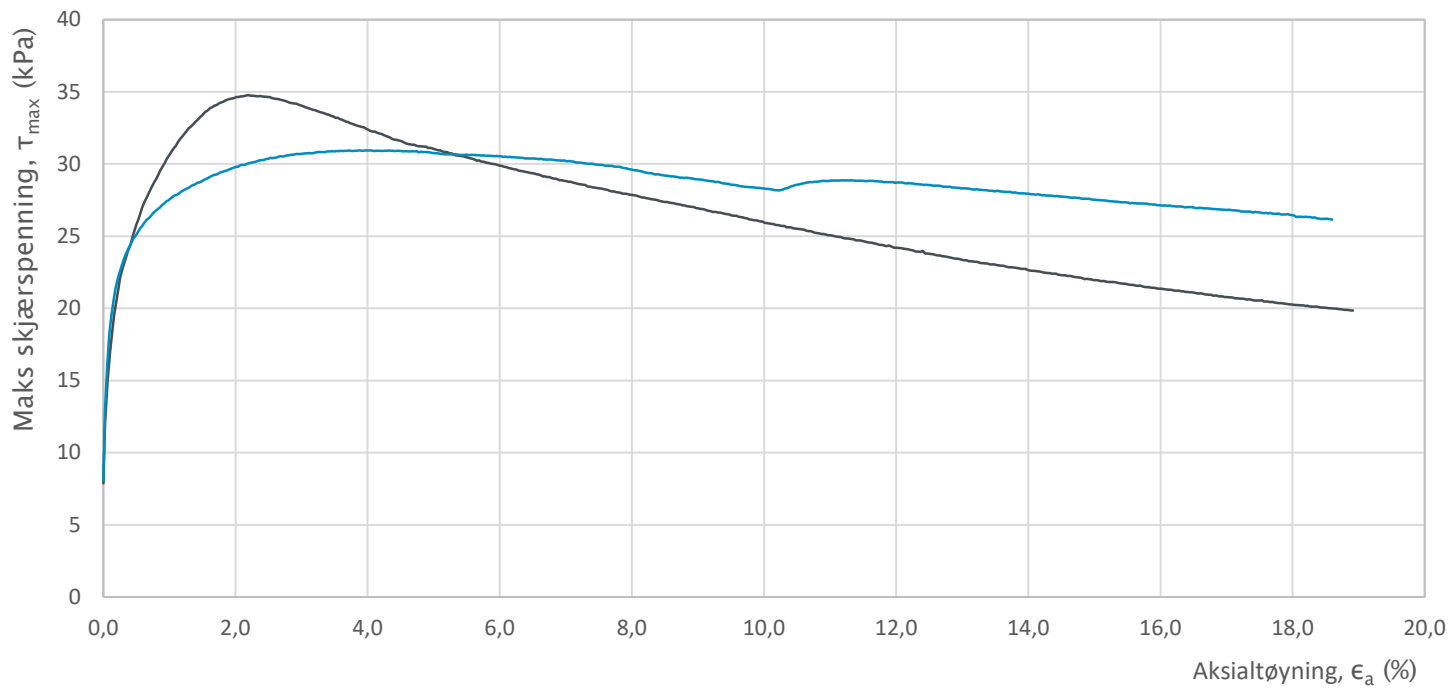
Fv.119 GSV Dilling – Vang

Innhold

Spenningssti i skjærfase, $s'-\tau$ plott (MIT)

| | | | | |
|--|-------------------------|------------------------------|---------------------------|--------------|
|  Statens vegvesen | Utført mariad/jansen | Kontrollert mariad/jansen | Godkjent mariad/jansen | Figur |
| | Region Øst | Dato utført 09.03.2020 | Revisjon Rev. dato | |

3



| Borhull | Dybde | Type | Symbol | σ'_{v0} (kPa) | σ'_{ac} (kPa) | σ'_{rc} (kPa) | K'_{oc} |
|---------|-------|------|--------|----------------------|----------------------|----------------------|-----------|
| 22 | 6,50 | CAUc | — | 62,4 | 62,1 | 46,7 | 0,75 |
| 22 | 6,70 | CAUc | — | 64,3 | 63,9 | 48,3 | 0,76 |
| | | | — | | | | |
| | | | — | | | | |
| | | | — | | | | |
| | | | — | | | | |

Stein i prøve 6,7m

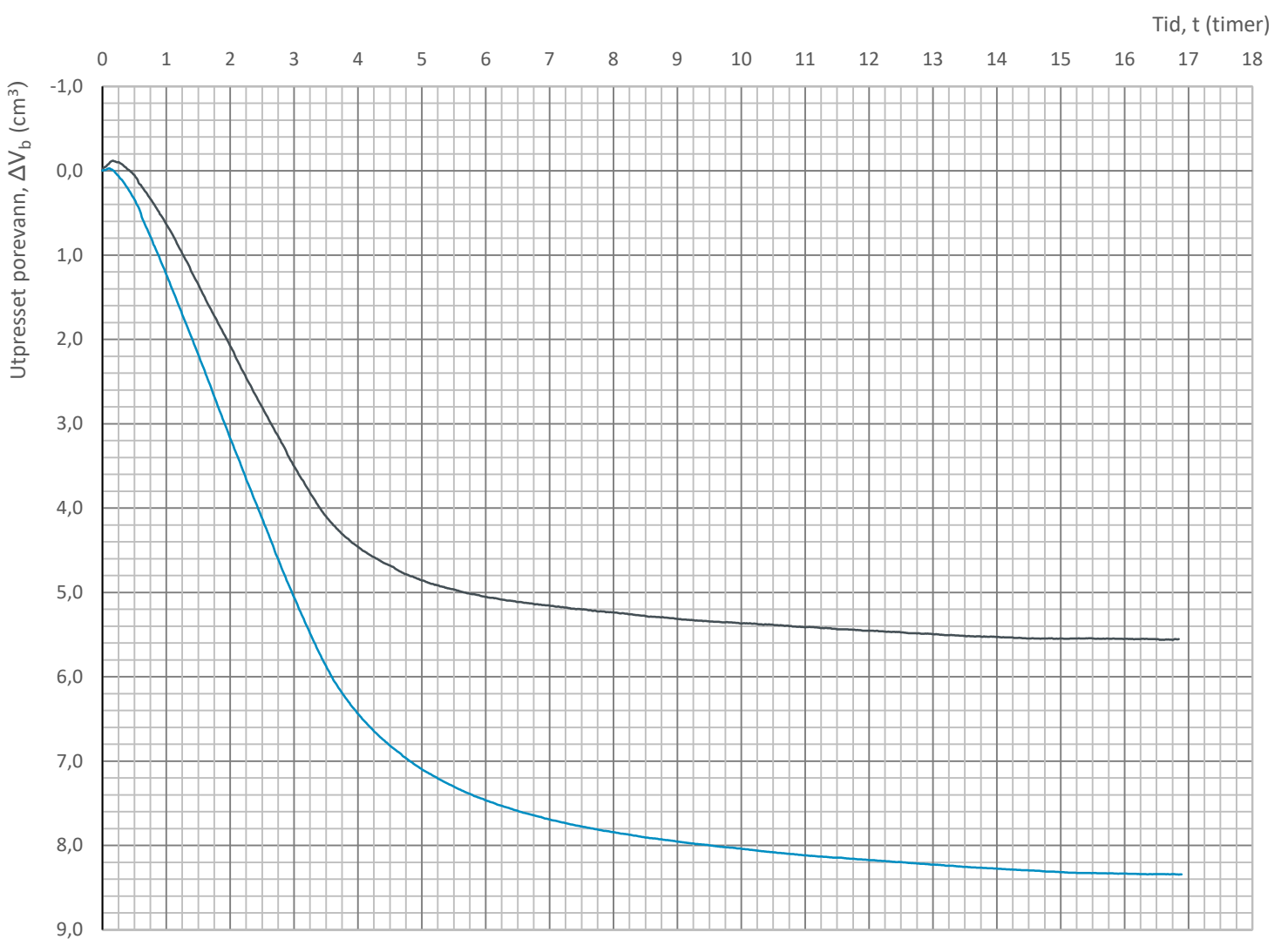
Prosjekt Rapportnummer: 1200008 Hull 22

Fv.119 GSV Dilling – Vang

Innhold

Bruddutvikling i skjærfase, ϵ_a - τ og ϵ_a - u plott

| Utført mariad/jansen | Kontrollert mariad/jansen | Godkjent mariad/jansen | Figur |
|-------------------------|------------------------------|---------------------------|-------|
| | | | |
| Øst | 09.03.2020 | Rev. dato | 4 |



| Borhull | Dybde | Type | Symbol | σ'_{v0} (kPa) | σ'_{ac} (kPa) | σ'_{rc} (kPa) | K'_{oc} |
|---------|-------|------|--------|----------------------|----------------------|----------------------|-----------|
| 22 | 6,50 | CAUc | — | 62,4 | 62,1 | 46,7 | 0,75 |
| 22 | 6,70 | CAUc | — | 64,3 | 63,9 | 48,3 | 0,76 |
| | | | — | | | | |
| | | | — | | | | |
| | | | — | | | | |
| | | | — | | | | |

Stein i prøve 6,7m

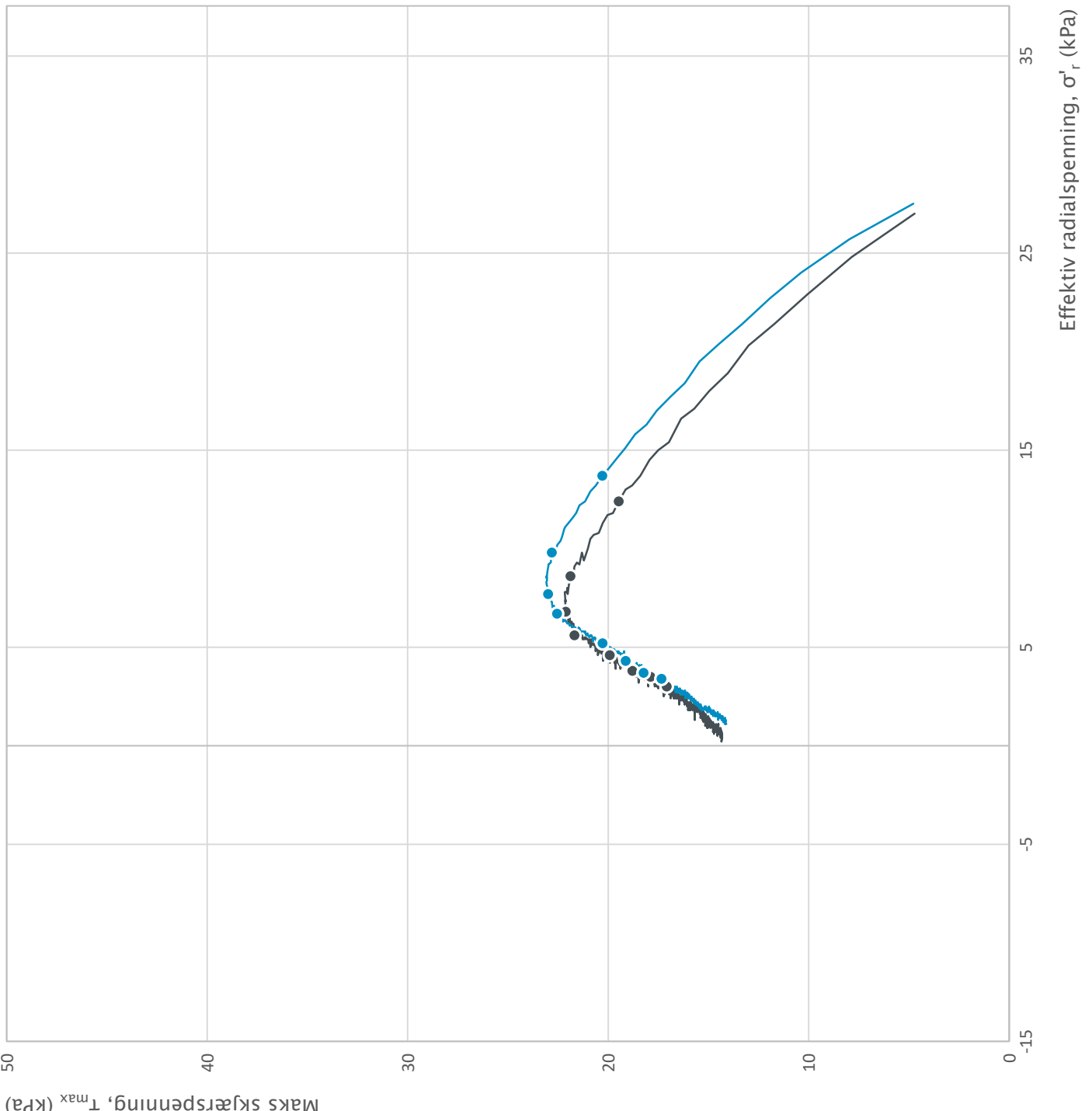
Prosjekt Rapportnummer: 1200008 Hull 22

Fv.119 GSV Dilling – Vang

Innhold

Konsolidering

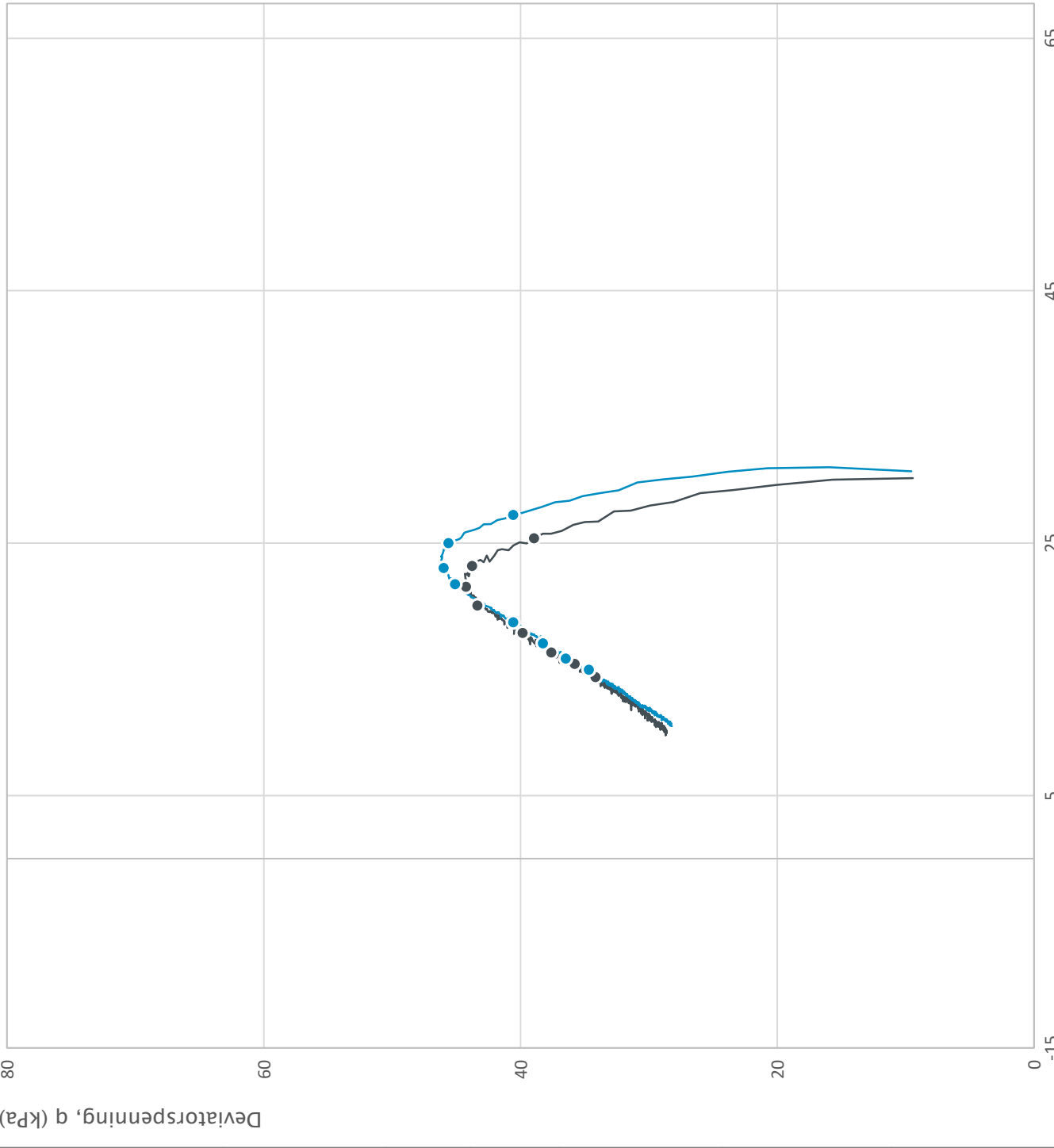
| Statens vegvesen | Utført mariad/jansen | Kontrollert mariad/jansen | Godkjent mariad/jansen | Figur |
|------------------|-------------------------|------------------------------|---------------------------|-------|
| | Region | Dato utført | Revisjon | |
| | Øst | 09.03.2020 | | 5 |
| | | | Rev. dato | |



| Borhull | Dybde | Type | Symbol | σ'_{v0} (kPa) | σ'_{ac} (kPa) | σ'_{rc} (kPa) | K'_{oc} |
|---------|-------|------|--------|----------------------|----------------------|----------------------|-----------|
| 25 | 4,40 | CAUC | — | 37,4 | 37,3 | 28,1 | 0,75 |
| 25 | 4,50 | CAUC | — | 38,3 | 38,5 | 29,2 | 0,76 |
| | | | — | | | | |
| | | | — | | | | |
| | | | — | | | | |
| | | | — | | | | |

Prosjekt Rapportnummer: 1200008 Hull 25
Fv.119 GSV Dilling – Vang

| Innhold | Utført mariad/jansen | Kontrollert mariad/jansen | Godkjent mariad/jansen | Figur |
|--|-------------------------|------------------------------|---------------------------|-------|
| Spenningssti i skjærfase, $\sigma'r-\tau$ plott (NTNU) | Region Øst | Dato utført 27.02.2020 | Revisjon | 1 |



| Borhull | Dybde | Type | Symbol | σ'_{v_0} (kPa) | σ'_{ac} (kPa) | σ'_{rc} (kPa) | K'_{oc} |
|---------|-------|------|--------|-----------------------|----------------------|----------------------|-----------|
| 25 | 4,40 | CAUc | — | 37,4 | 37,3 | 28,1 | 0,75 |
| 25 | 4,50 | CAUc | — | 38,3 | 38,5 | 29,2 | 0,76 |
| | | | — | | | | |
| | | | — | | | | |
| | | | — | | | | |
| | | | — | | | | |

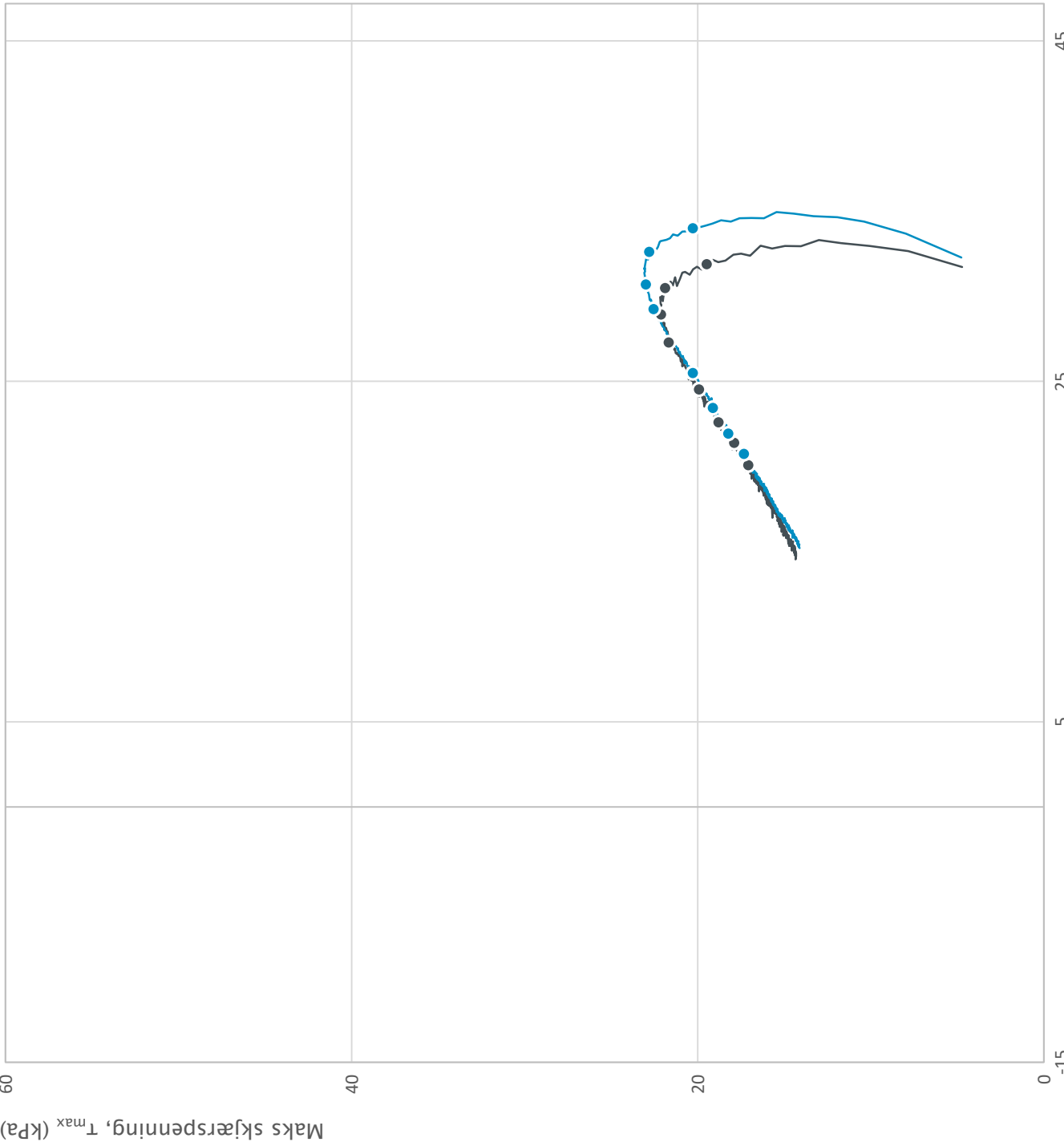
Prosjekt Rapportnummer: 1200008 Hull 25
Fv.119 GSV Dilling – Vang

Innhold

Spenningssti i skjærfase, p' -q plott

| | | | | |
|--|-------------------------|------------------------------|---------------------------|--------------|
|  Statens vegvesen | Utført mariad/jansen | Kontrollert mariad/jansen | Godkjent mariad/jansen | Figur |
| | Region Øst | Dato utført 27.02.2020 | Revisjon Rev. dato | |

2



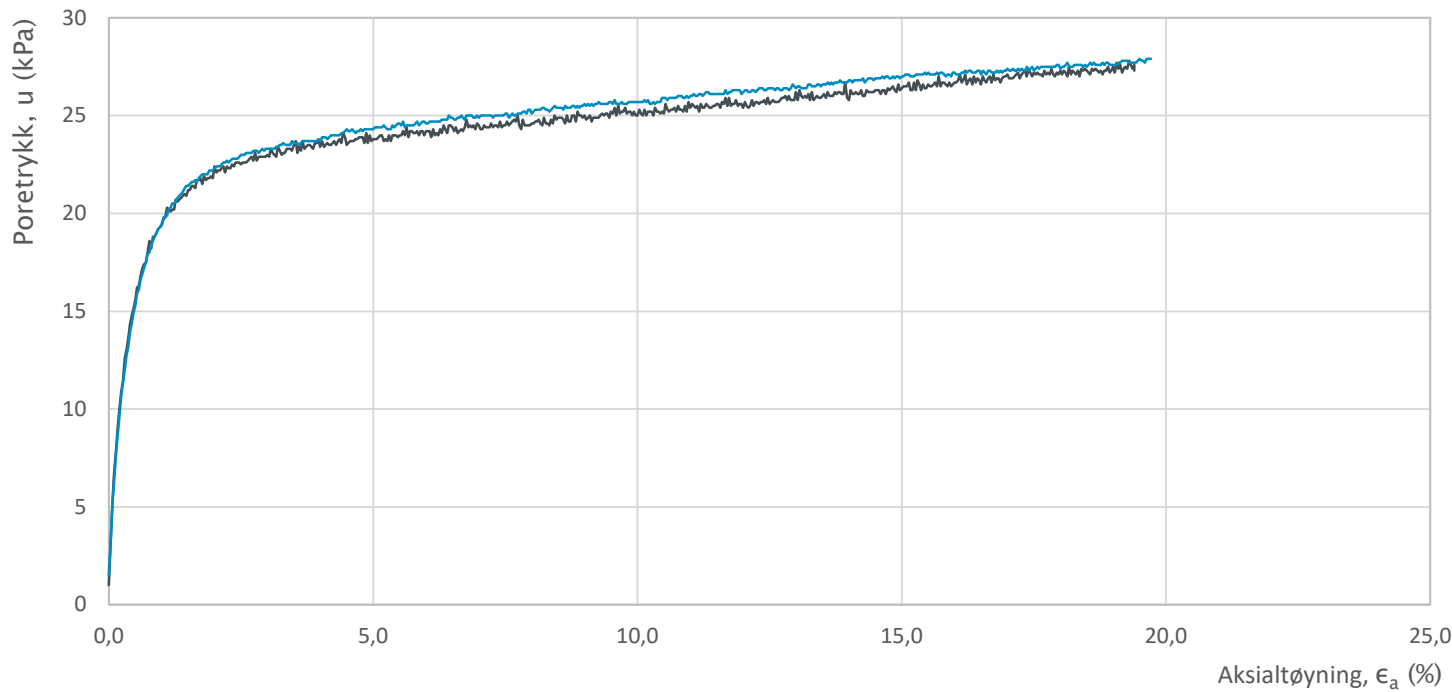
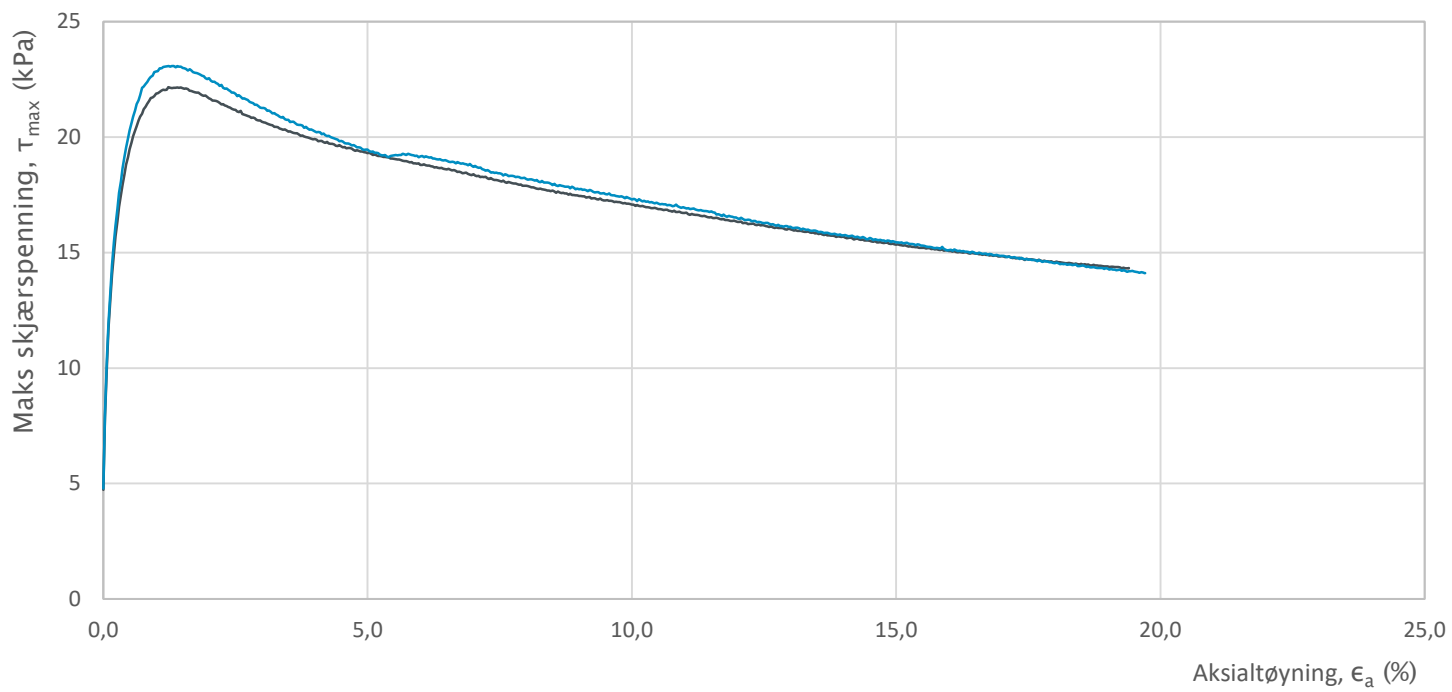
| Borhull | Dybde | Type | Symbol | σ'_v_0 (kPa) | σ'_a (kPa) | σ'_r (kPa) | K'_o |
|---------|-------|------|--------|---------------------|-------------------|-------------------|--------|
| 25 | 4,40 | CAUc | — | 37,4 | 37,3 | 28,1 | 0,75 |
| 25 | 4,50 | CAUc | — | 38,3 | 38,5 | 29,2 | 0,76 |
| | | | — | | | | |
| | | | — | | | | |
| | | | — | | | | |
| | | | — | | | | |

Prosjekt Rapportnummer: 1200008 Hull 25
Fv.119 GSV Dilling – Vang

Innhold

Spenningssti i skjærfase, $s'-\tau$ plott (MIT)

| | | | | |
|--|-------------------------|------------------------------|---------------------------|-------------------|
|  Statens vegvesen | Utført mariad/jansen | Kontrollert mariad/jansen | Godkjent mariad/jansen | Figur 3 |
| | Region Øst | Dato utført 27.02.2020 | Revisjon Rev. dato | |



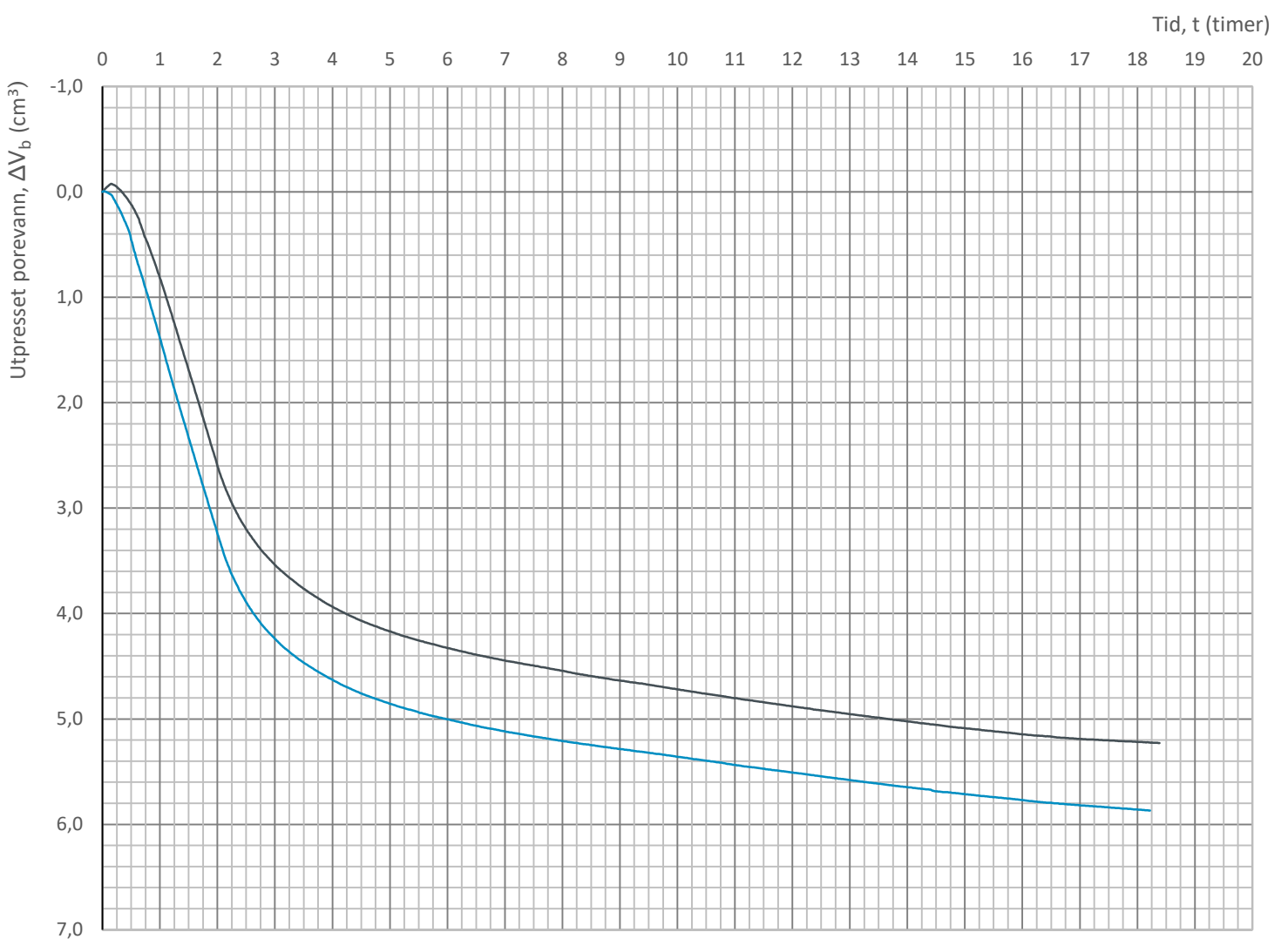
| Borhull | Dybde | Type | Symbol | σ'_{v0} (kPa) | σ'_{ac} (kPa) | σ'_{rc} (kPa) | K'_{oc} |
|---------|-------|------|--------|----------------------|----------------------|----------------------|-----------|
| 25 | 4,40 | CAUc | — | 37,4 | 37,3 | 28,1 | 0,75 |
| 25 | 4,50 | CAUc | — | 38,3 | 38,5 | 29,2 | 0,76 |
| | | | — | | | | |
| | | | — | | | | |
| | | | — | | | | |
| | | | — | | | | |

Prosjekt Rapportnummer: 1200008 Hull 25
Fv.119 GSV Dilling – Vang

Innhold

Bruddutvikling i skjærfase, ϵ_a - τ og ϵ_a - u plott

| Statens vegvesen | Utført mariad/jansen | Kontrollert mariad/jansen | Godkjent mariad/jansen | Figur |
|------------------|-------------------------|------------------------------|---------------------------|-------|
| | Region Øst | Dato utført 27.02.2020 | Revisjon Rev. dato | |



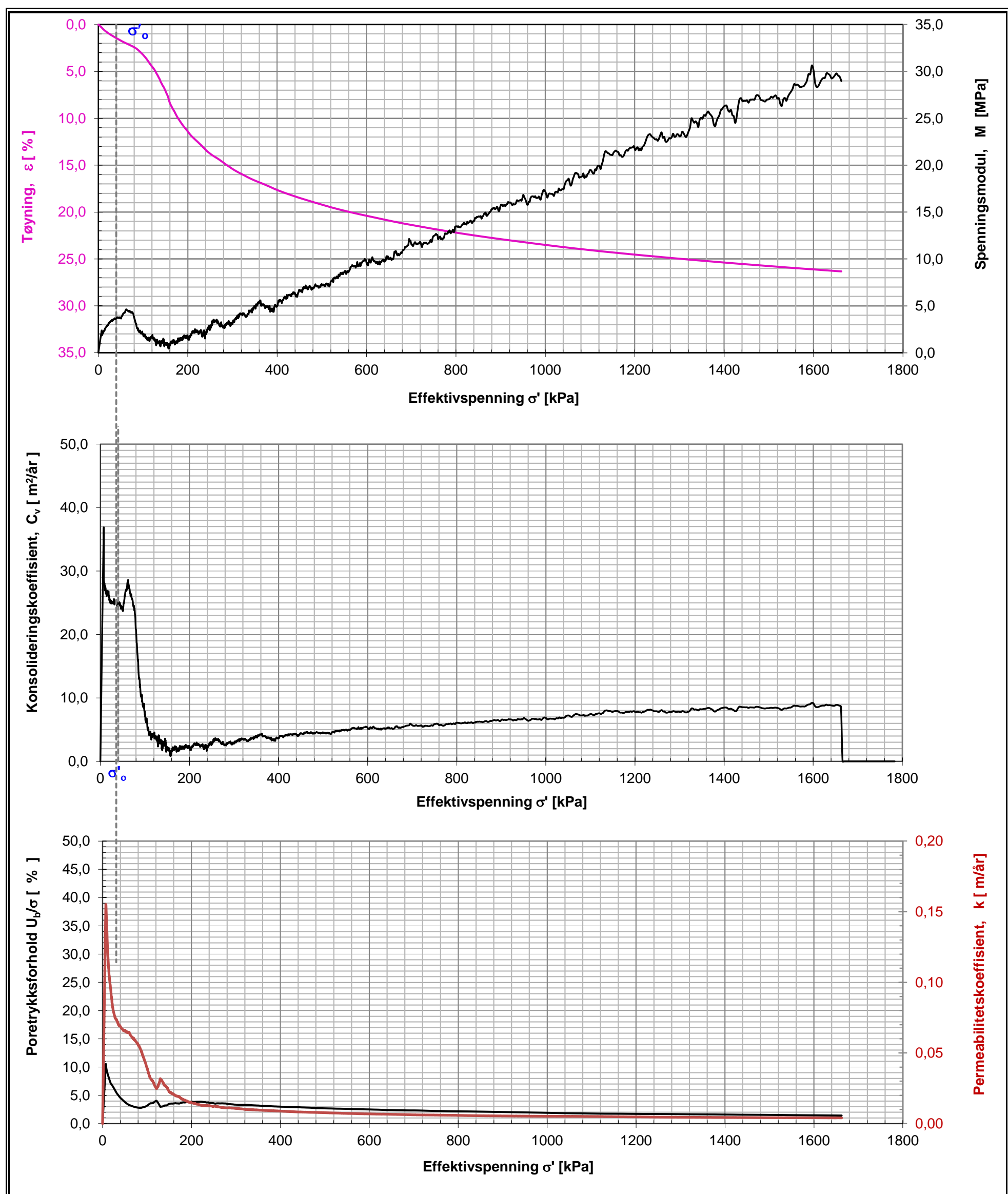
| Borhull | Dybde | Type | Symbol | σ'_{v0} (kPa) | σ'_{ac} (kPa) | σ'_{rc} (kPa) | K'_{0c} |
|---------|-------|------|--------|----------------------|----------------------|----------------------|-----------|
| 25 | 4,40 | CAUc | — | 37,4 | 37,3 | 28,1 | 0,75 |
| 25 | 4,50 | CAUc | — | 38,3 | 38,5 | 29,2 | 0,76 |
| | | | — | | | | |
| | | | — | | | | |
| | | | — | | | | |
| | | | — | | | | |

Prosjekt Rapportnummer: 1200008 Hull 25
Fv.119 GSV Dilling – Vang

Innhold

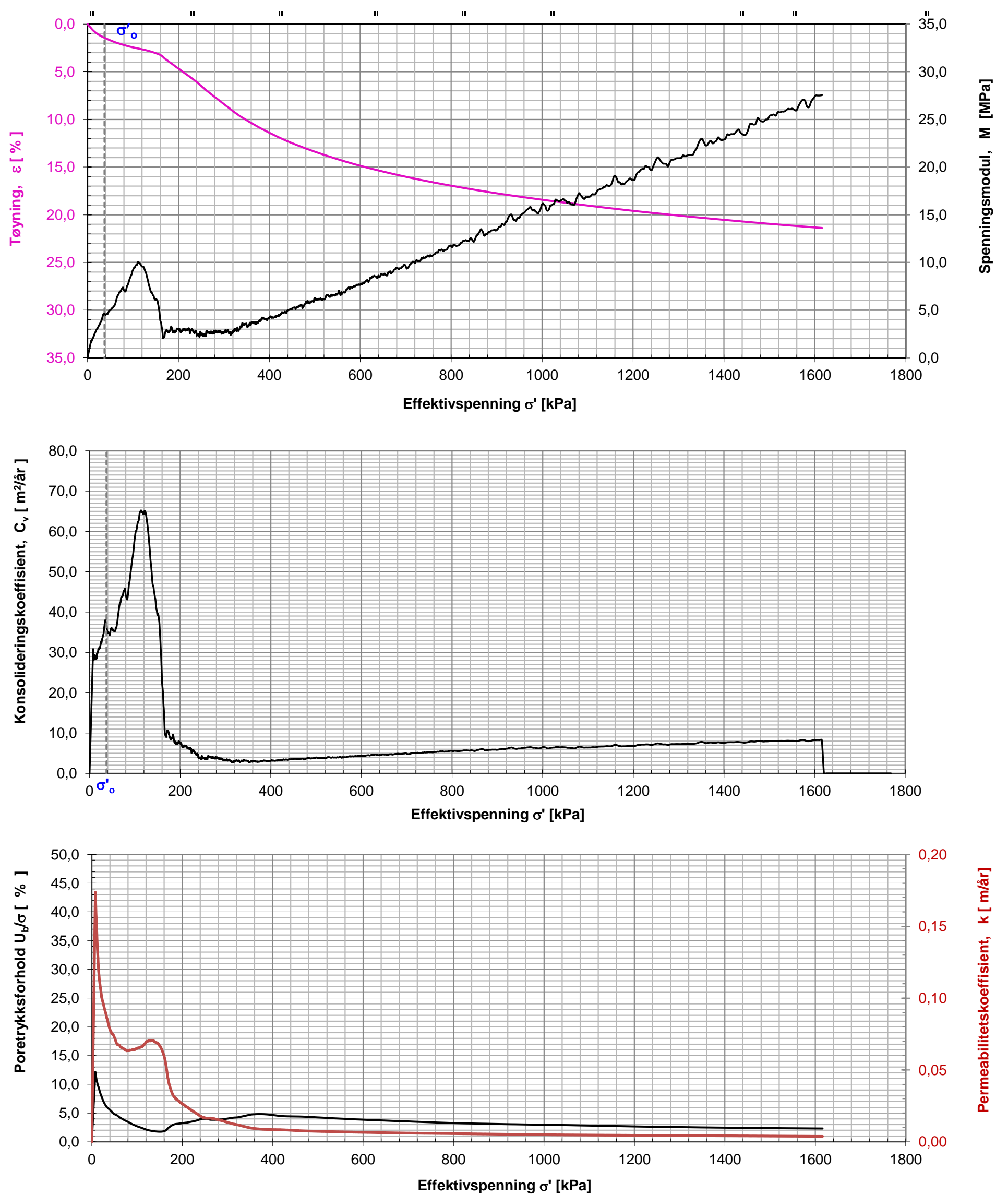
Konsolidering

| Statens vegvesen | Utført mariad/jansen | Kontrollert mariad/jansen | Godkjent mariad/jansen | Figur |
|------------------|-------------------------|------------------------------|---------------------------|-------|
| | Region | Dato utført | Revisjon | |
| | Øst | 27.02.2020 | Rev. dato | 5 |



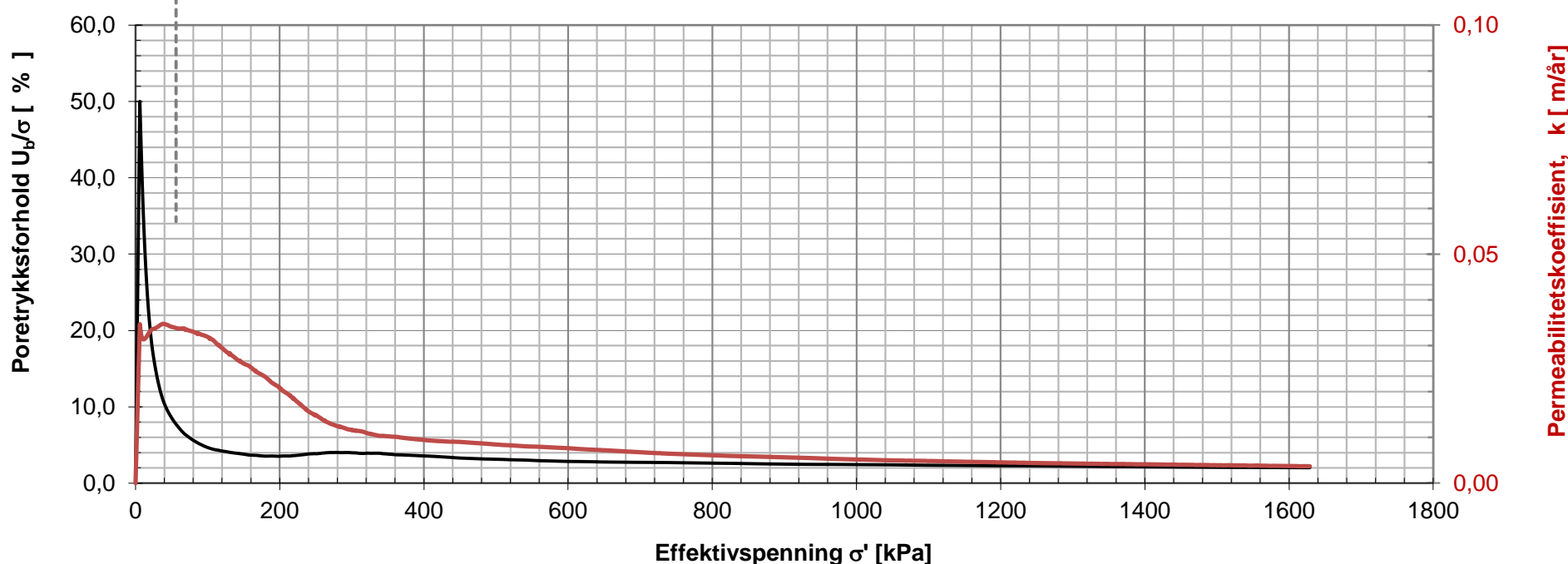
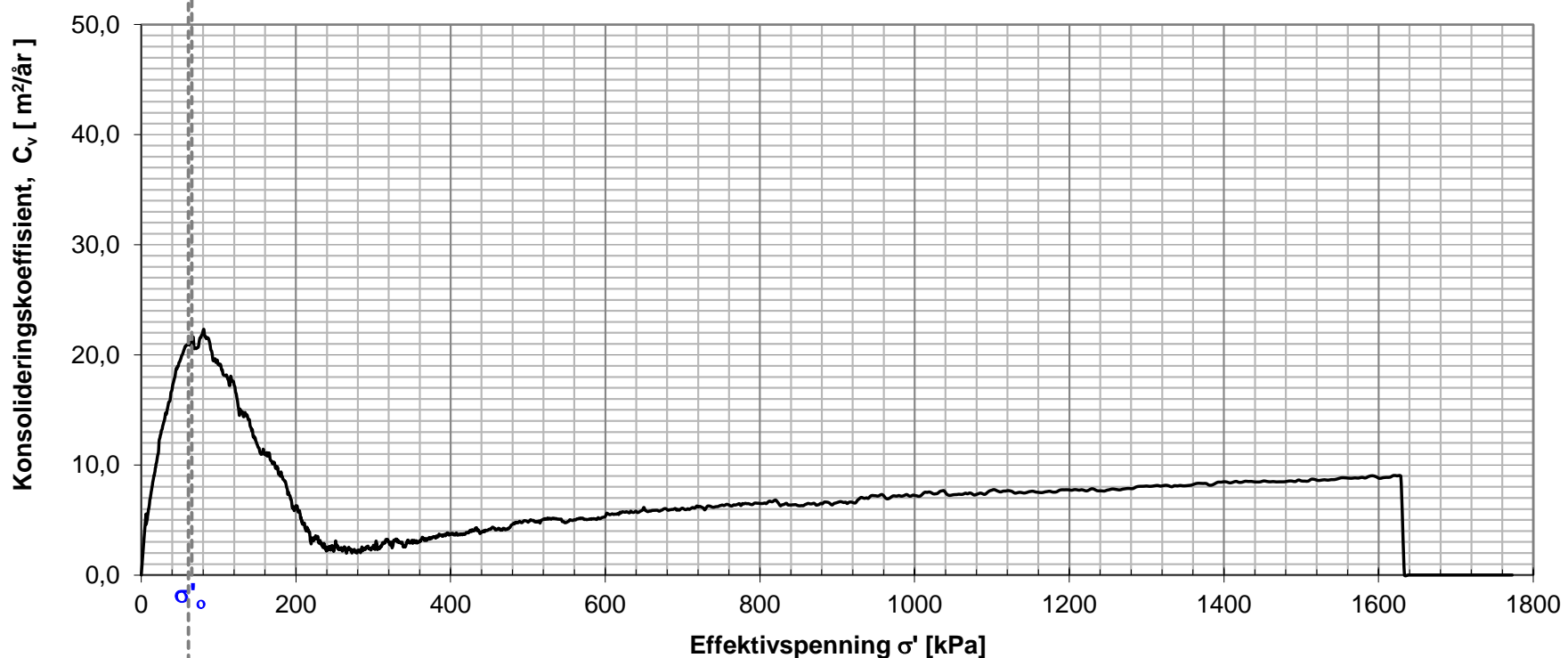
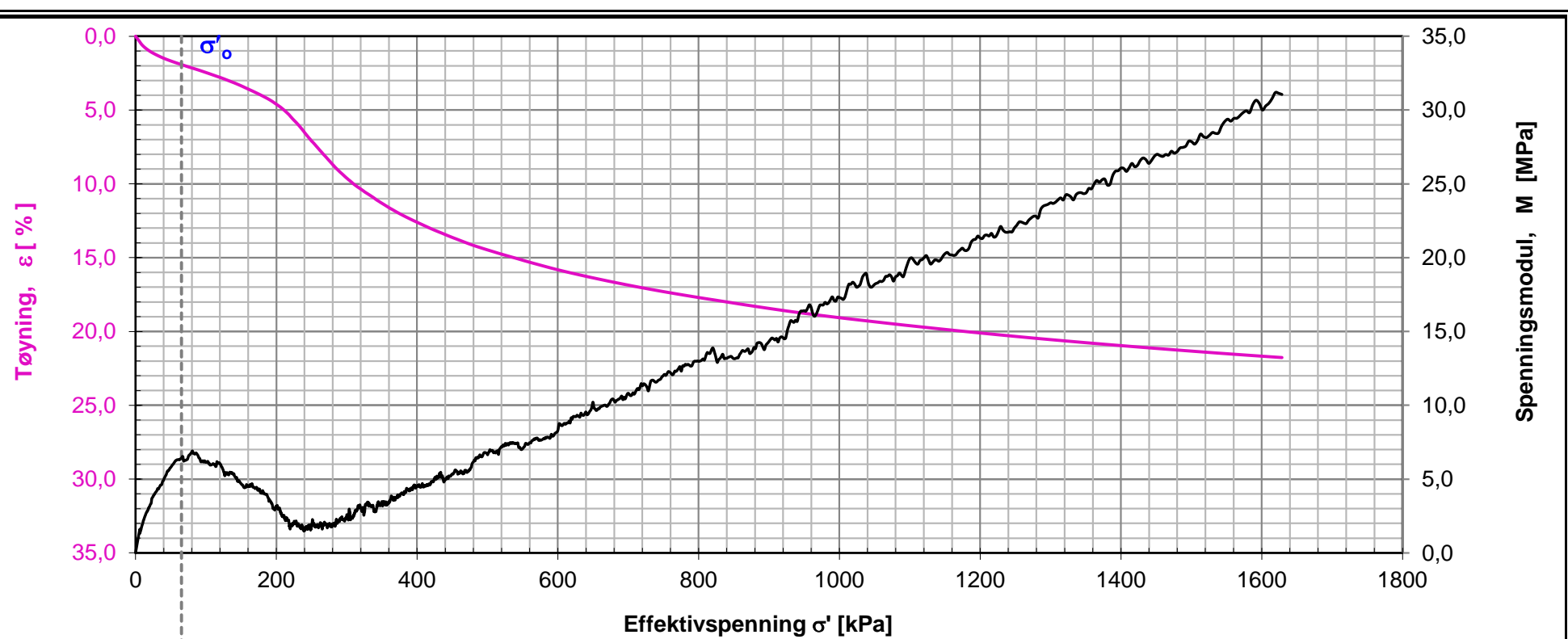
Merknader:

| Oppdrags nr. | Lab nr. | Hull nr. | Dybde (m) | σ_o' | Oppdragsnavn | Merknad | |
|---|-----------------------|---------------------|-----------|----------------------------|----------------------------|---------------------|------------|
| 1200008 | 1_4E | 6 | 4,7 | 39,95 | Fv. 119 GSV Dilling - Vang | leire, kvikk | |
| | | | | | | | |
|  Statens vegvesen Østensjøveien 34, 0667 Oslo | ØDOMETERFORSØK | | | Prøvens høyde [mm] | 20 | Diameter [mm] | 50 |
| | Sentrallab. Oslo St.1 | | | Vanninnhold [%] | 36,1 | Grunnvannstand [m] | 0 |
| | | | | Tyngdetetthet, [kN/m³] | 18,5 | Korntetthet [kN/m³] | 26,85 |
| | | | | Tøyningshastighet [mm/min] | 0,0025 | Metningsgrad [%] | 100 |
| | | | | Anvendt prosedyre | CRS | Dato | 25.02.2020 |
| Utført av: Jansen | | Kontrollert: Jansen | | Godkjent: Mariad | | | |

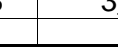


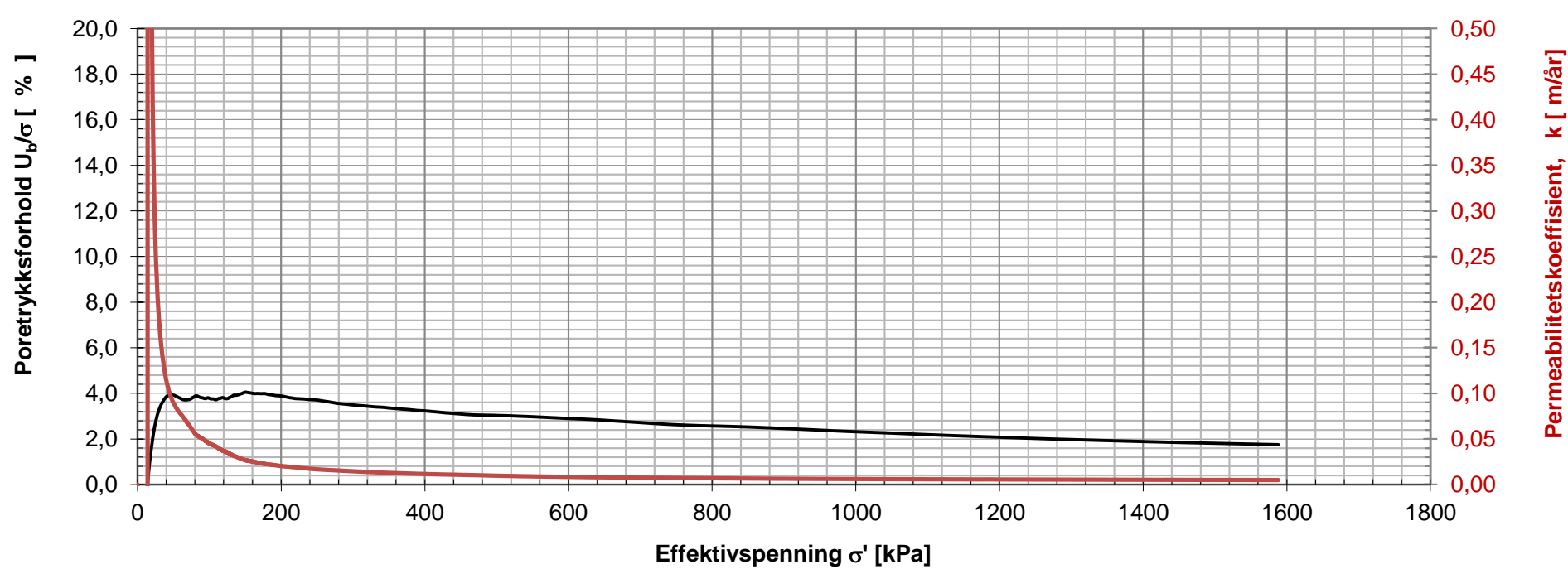
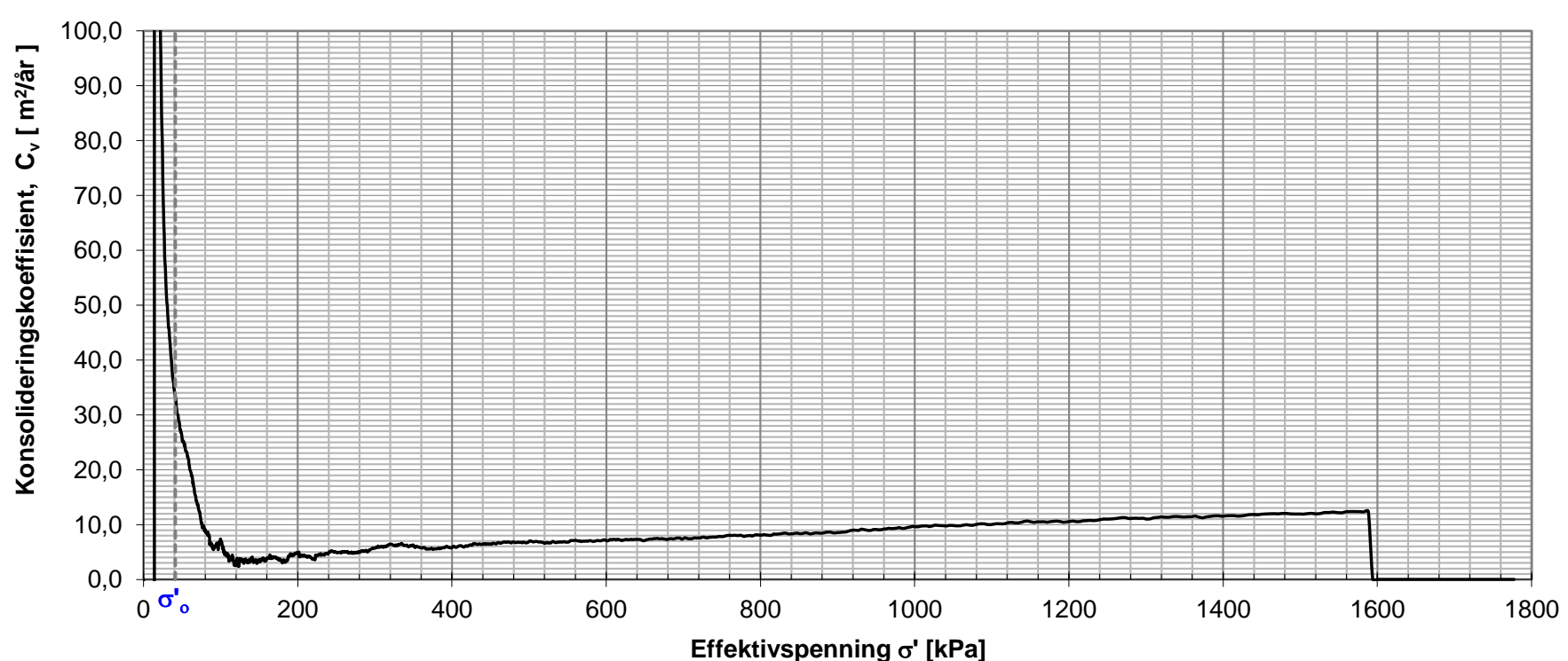
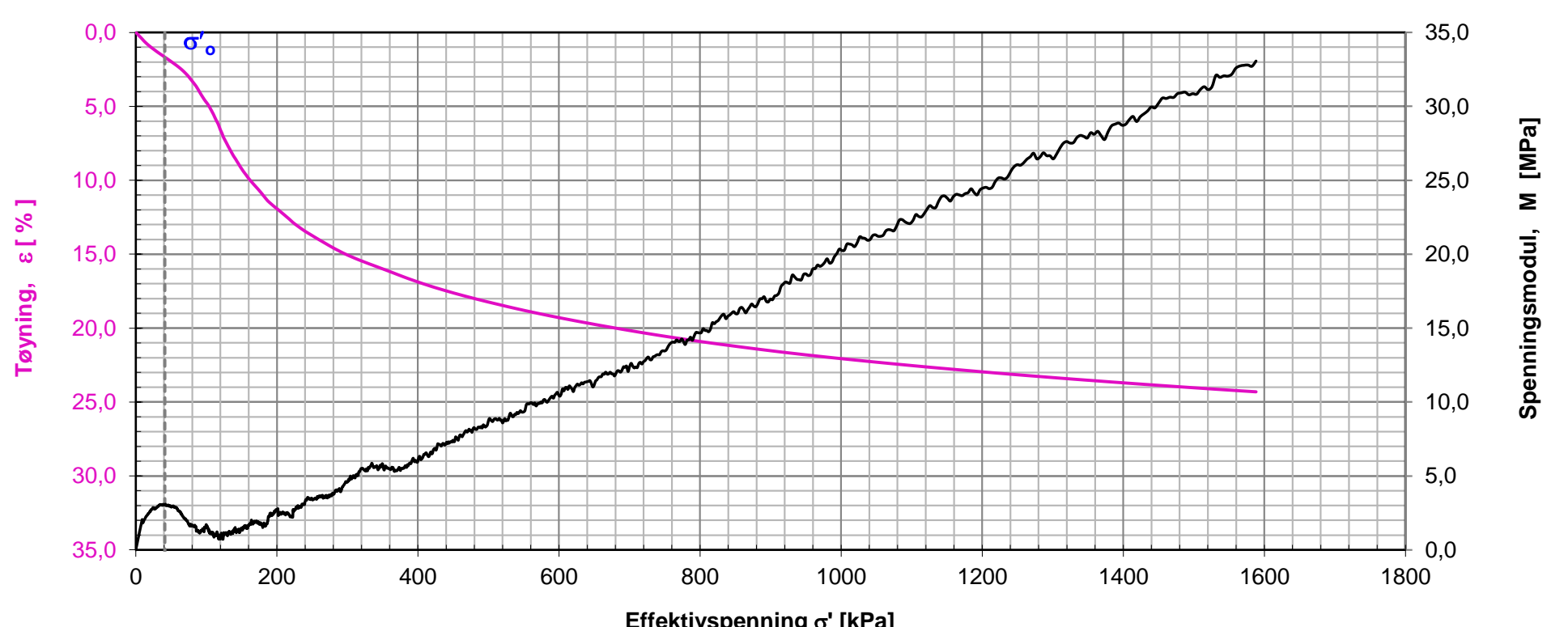
Merknader: Mulig heng på filteret, slapp rundt 170kPa

| Oppdrags nr. | Lab nr. | Hull nr. | Dybde (m) | σ_o' | Oppdragsnavn | Merknad | |
|--|---------|---|-----------|---------------------|----------------------------|------------------|--|
| 1200008 | 3_4D | 22 | 4,6 | 37,39 | Fv. 119 GSV Dilling - Vang | leire m.gruskorn | |
|  ØDOMETERFORSØK Sentrallab. Oslo St.1 | | Prøvens høyde [mm] 20 Vanninnhold [%] 30,1 Tyngdetetthet, [kN/m^3] 18,129 Tøyningshastighet [mm/min] 0,0034 Anvendt prosedyre CRS Godkjent: Mariad | | | | | |
| Østensjøveien 34, 0667 Oslo | | Utført av: jansen | | Kontrollert: Jansen | | Dato 12.03.2020 | |



Merknader:

| Oppdrags nr. | Lab nr. | Hull nr. | Dybde (m) | σ_0' | Oppdragsnavn | Merknad | |
|---|---|---------------------|----------------------------------|----------------------|----------------------------|--------------------|----|
| 1200008 | 3_5F | 22 | 6,8 | 65,28 | Fv. 119 GSV Dilling - Vang | mye grus, kvikk | |
|  Statens vegvesen Østensjøveien 34, 0667 Oslo | ØDOMETERFORSØK sentrallab oslo st1 | | | Prøvens høyde [mm] | 20 | Diameter [mm] | 50 |
| | | | | Vanninnhold [%] | 29,6 | Grunnvannstand [m] | 0 |
| | Tyngdetetthet, [kN/m ³] | 19,6 | Korntetthet [kN/m ³] | 26,85 | | | |
| | Tøyningshastighet [mm/min] | 0,0030 | Metningsgrad [%] | 100 | | | |
| | Anvendt prosedyre | CRS | Dato | 09.03.2020 | | | |
| | Utført av: mariad | Kontrollert: Jansen | Godkjent: Mariad | | | | |



Merknader:

| Oppdrags nr. | Lab nr. | Hull nr. | Dybde (m) | σ_o' | Oppdragsnavn | Merknad | |
|---|---|---------------------|-----------|----------------------------|----------------------------|---------------------|------------|
| 1200008 | 2_4F | 25 | 4,8 | 41,12 | Fv. 119 GSV Dilling - Vang | gruskorn i prøven | |
| | | | | | | | |
|  Statens vegvesen Østensjøveien 34, 0667 Oslo | ØDOMETERFORSØK sentrallab oslo st2 | | | Prøvens høyde [mm] | 20 | Diameter [mm] | 50 |
| | | | | Vanninnhold [%] | 35,5 | Grunnvannstand [m] | 0 |
| | | | | Tyngdetetthet, [kN/m³] | 18,57 | Korntetthet [kN/m³] | 26,85 |
| | | | | Tøyningshastighet [mm/min] | 0,0034 | Metningsgrad [%] | 100 |
| | | | | Anvendt prosedyre | CRS | Dato | 27.02.2020 |
| Utført av: mariad | | Kontrollert: Jansen | | Godkjent: Mariad | | | |



Statens vegvesen

Borprofil

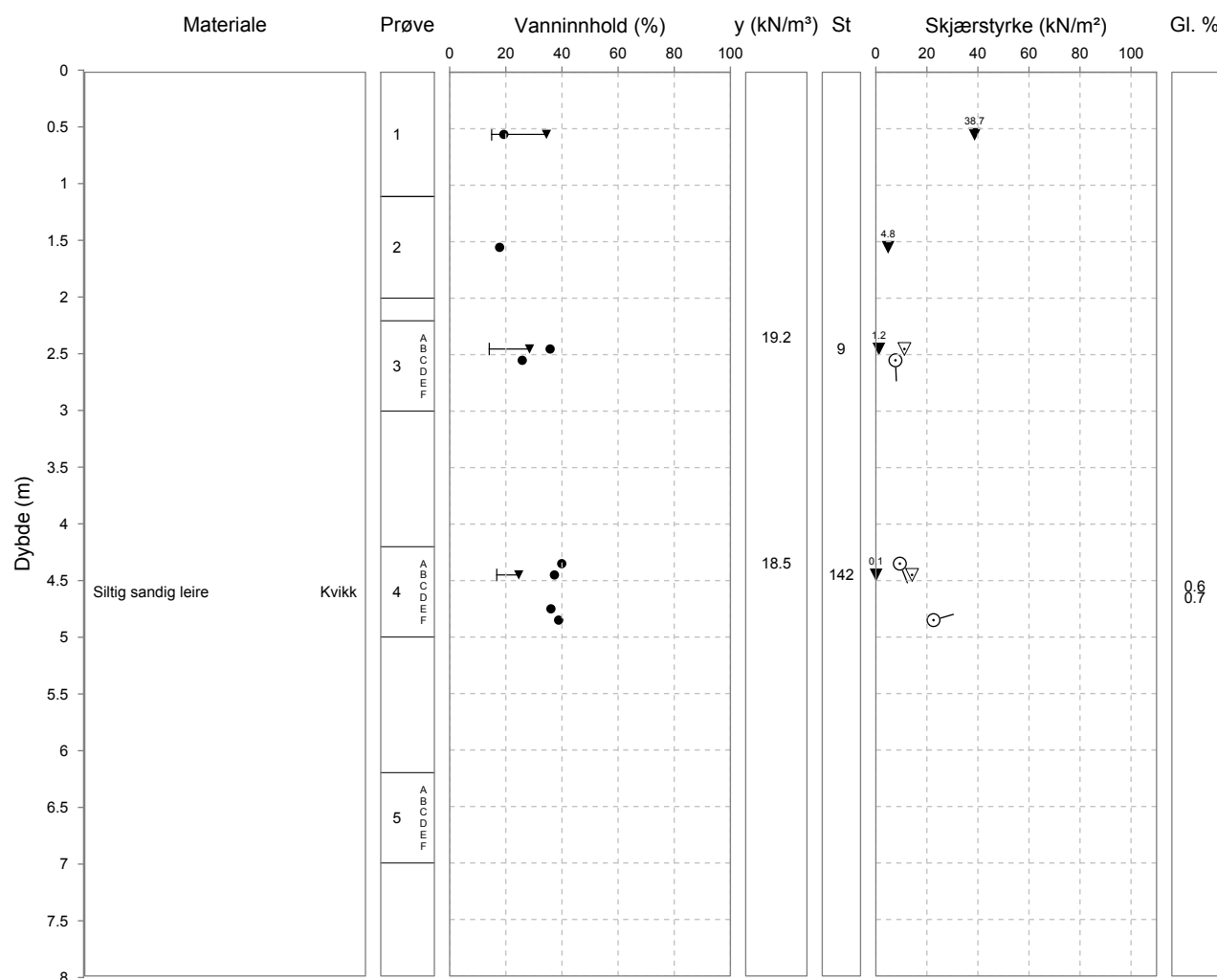
SVV øst

Proveoppdrag: (B) Byggherre (E) Entreprenør (P) Produsent

Oppdragsnr. 1200008 Navn Fv. 119 GSV Dilling-Vang
Serienr. 1(B) Hullnummer 6
Koordinater EUREF89 NTM, Sone 5, N:0.0 Ø:0.0 H:0.0

Analyseår 2020

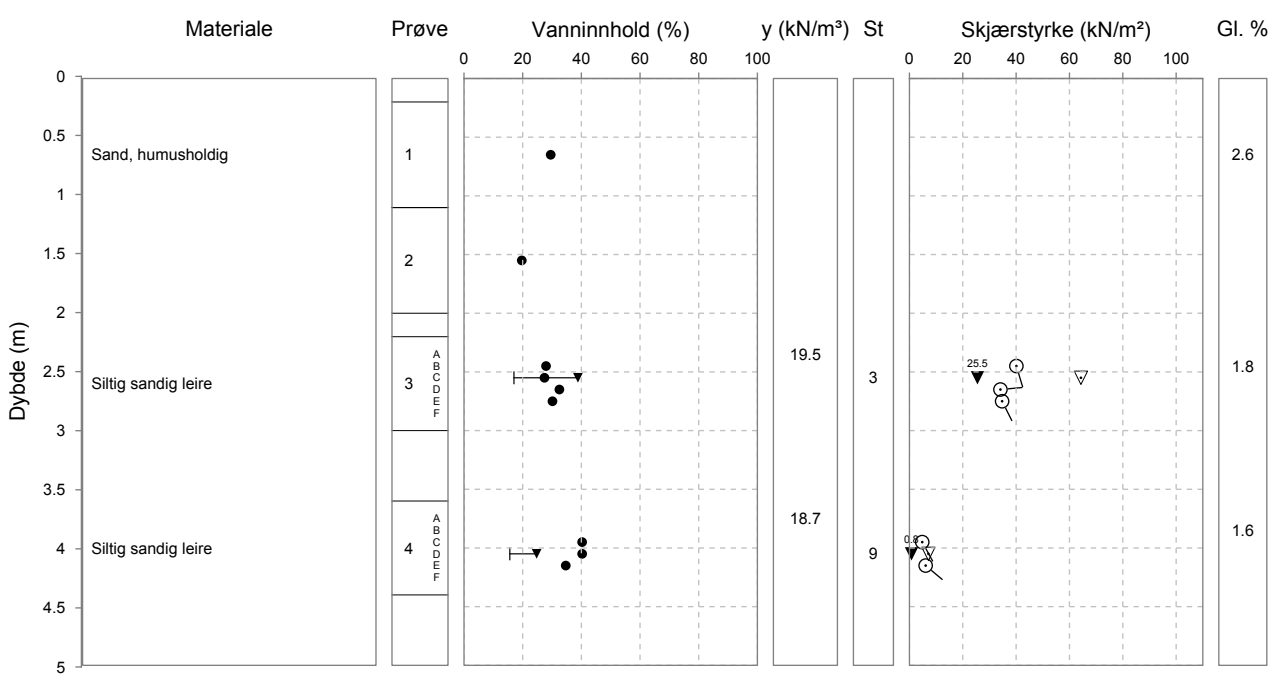
Prøvetype





Borprofil

Oppdragsnr. 1200008 Navn Fv. 119 GSV Dilling-Vang
Serienr. 4(B) Hullnummer 20
Koordinater EUREF89 NTM, Sone 5, N:0.0 Ø:0.0 H:0.0





Statens vegvesen

Borprofil

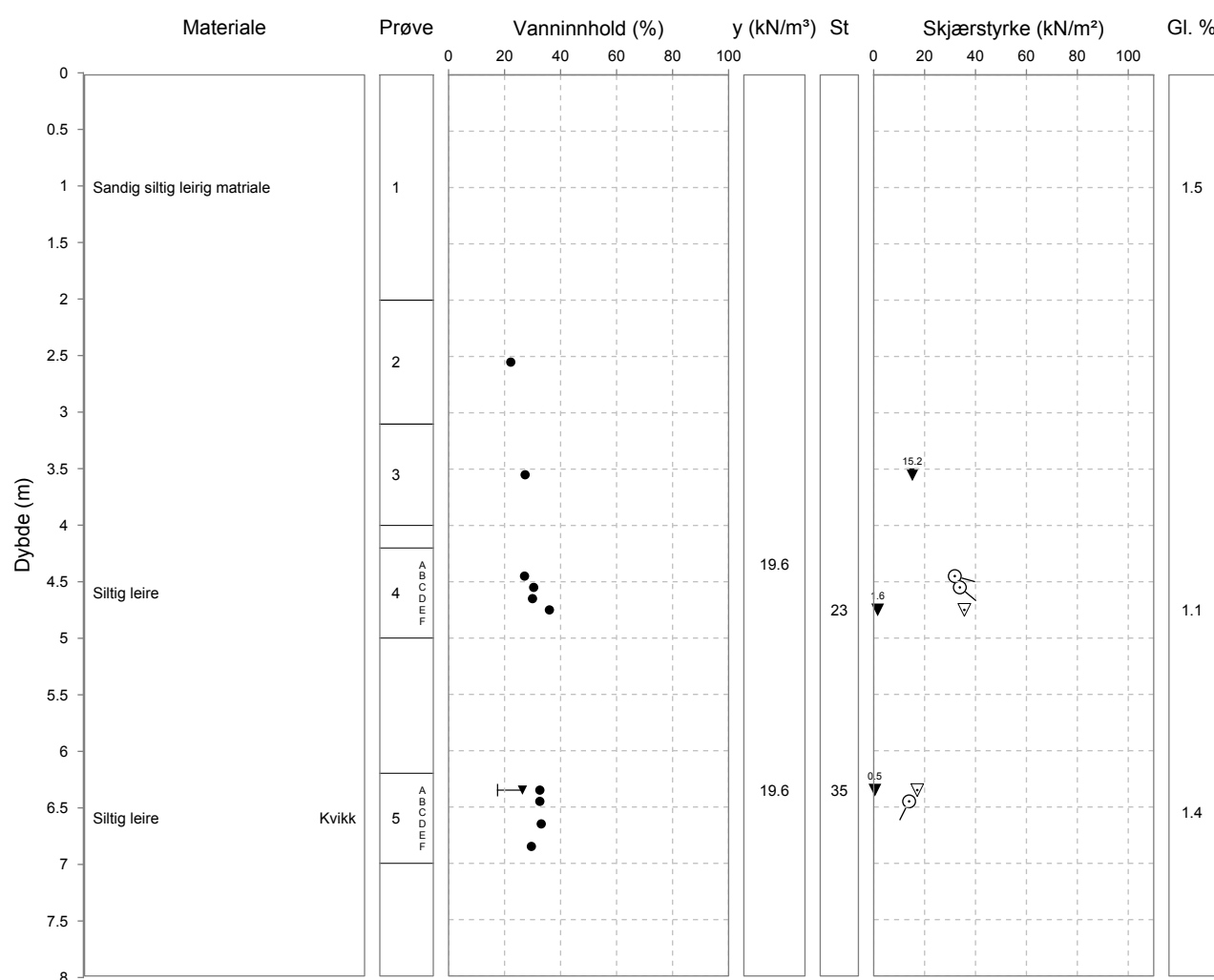
SVV øst

Proveoppdrag: (B) Byggherre (E) Entreprenør (P) Produsent

Oppdragsnr. 1200008 Navn Fv. 119 GSV Dilling-Vang
Serienr. 3(B) Hullnummer 22
Koordinater EUREF89 NTM, Sone 5, N:0.0 Ø:0.0 H:0.0

Analyseår 2020

Prøvetype





Statens vegvesen

SVV øst

Borprofil

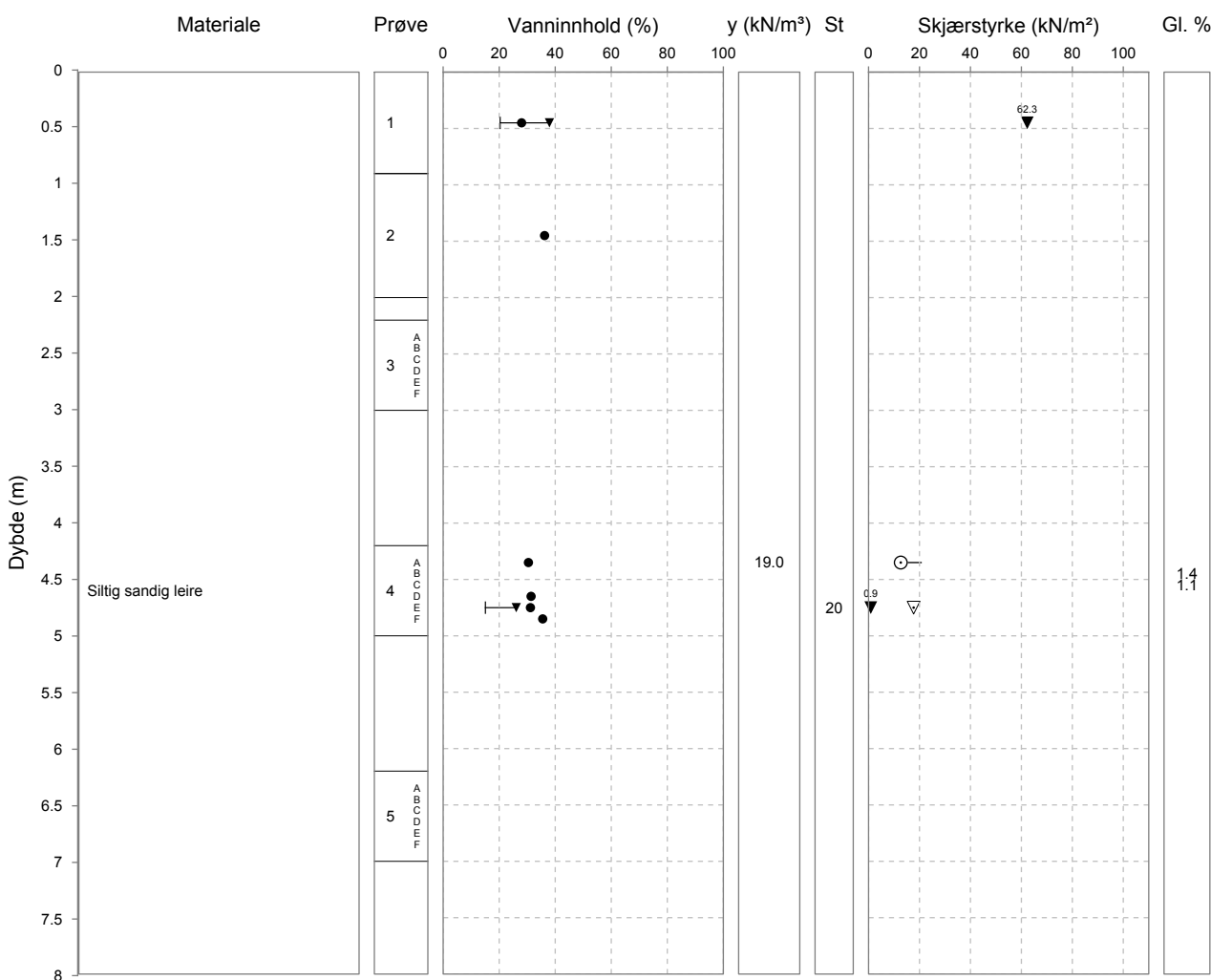
Oppdragsnr. 1200008 Navn Fv. 119 GSV Dilling-Vang
Serienr. 2(B) Hullnummer 25
Koordinater EUREF89 NTM, Sone 5, N:0.0 Ø:0.0 H:0.0

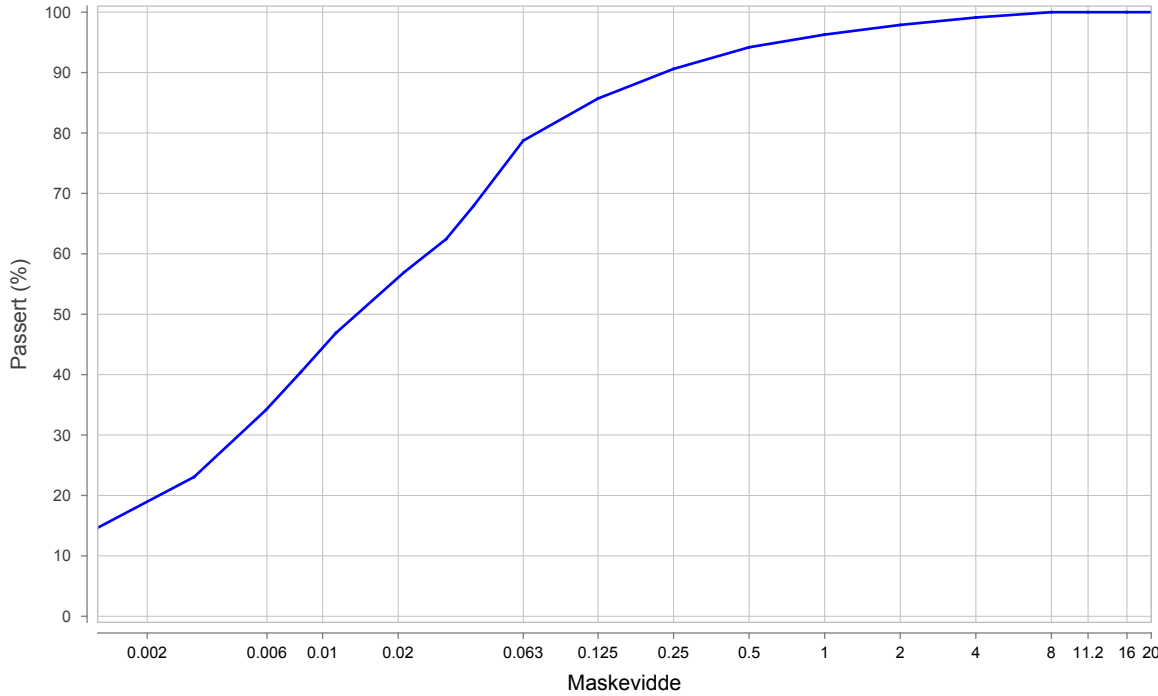
Analyseår 2020

Prøvetype

Proveoppdrag: (B) Byggherre (E) Entreprenør (P) Produsent

Laboratorium: Sentrallaboratoriet Oslo - I henhold til HF014 lapprosess: 14.425, R210.211, R210.216, R210.217, R210.218, R210.221, R210.222



| Statens vegvesen | | | | SVV øst | | | | | | | | | | | | | | | | | | | | | | | | | | | | | | | | | | | |
|---|--|-------------------|-----------------------------|---------|---------|------|------|---------|-------|-------|-------|--|-------|------|--|--|------|--|--|------|--|--|-----|---------|------|-----|---------|------|-----|---------|--|--|--|--|--|--|--|--|--|
| Laboratorium: Sentrallaboratoriet Oslo - i henhold til H114 laprossess; 14.4.32, R210.214, R210.215 |  | Kornkurve | | | | | | | | | | | | | | | | | | | | | | | | | | | | | | | | | | | | | |
| Oppdragsnr. | 1200008 | Oppdragsnavn | Fv. 119 GSV Dilling-Vang | | | | | | | | | | | | | | | | | | | | | | | | | | | | | | | | | | | | |
| Prosjektnr. | 110124 | Prosjektnavn | Fv 119 GSV Dilling-Vang REG | | | | | | | | | | | | | | | | | | | | | | | | | | | | | | | | | | | | |
| Ansvarsområdenr. | | Ansvarsområdenavn | | | | | | | | | | | | | | | | | | | | | | | | | | | | | | | | | | | | | |
| Serienr.: 1_(B), Hullnr.: 6, koordinater: EUREF89 NTM, Sone 5, N:0.0 Ø:0.0 H:0.0 | | | | | | | | | | | | | | | | | | | | | | | | | | | | | | | | | | | | | | | |
| Prøvenr. | 4C | | | | | | | | | | | | | | | | | | | | | | | | | | | | | | | | | | | | | | |
| Uttaksdato | 03.02.2020 | | | | | | | | | | | | | | | | | | | | | | | | | | | | | | | | | | | | | | |
| Analysetype | Våtsikt | | | | | | | | | | | | | | | | | | | | | | | | | | | | | | | | | | | | | | |
| Humus (Glødetap) | 0.6 | | | | | | | | | | | | | | | | | | | | | | | | | | | | | | | | | | | | | | |
| Vanninnhold (%) | | | | | | | | | | | | | | | | | | | | | | | | | | | | | | | | | | | | | | | |
| % <63µm av <delsikt | 78.7 (20 mm) | | | | | | | | | | | | | | | | | | | | | | | | | | | | | | | | | | | | | | |
| % <20µm av <delsikt | 56.1 (20 mm) | | | | | | | | | | | | | | | | | | | | | | | | | | | | | | | | | | | | | | |
| Siktedata - Passert (%) | | | | | | | | | | | | | | | | | | | | | | | | | | | | | | | | | | | | | | | |
| Pr.nr. | 63 | 125 | 250 | 500 | 1 | 2 | 4 | 8 | 11.2 | 16 | 20 | | | | | | | | | | | | | | | | | | | | | | | | | | | | |
| 4C | 78.7 | 85.7 | 90.6 | 94.2 | 96.3 | 97.9 | 99.1 | 100.0 | 100.0 | 100.0 | 100.0 | | | | | | | | | | | | | | | | | | | | | | | | | | | | |
| <table border="1"> <thead> <tr> <th rowspan="2">Leire</th> <th colspan="3">Silt</th> <th colspan="3">Sand</th> <th colspan="3">Grus</th> </tr> <tr> <th>Fin</th> <th>Middels</th> <th>Grov</th> <th>Fin</th> <th>Middels</th> <th>Grov</th> <th>Fin</th> <th>Middels</th> </tr> </thead> <tbody> <tr> <td></td> <td></td> <td></td> <td></td> <td></td> <td></td> <td></td> <td></td> <td></td> </tr> </tbody> </table>  <p>Passert (%)</p> <p>Maskevidde</p> <p>4C</p> | | | | | | | | | | | | | Leire | Silt | | | Sand | | | Grus | | | Fin | Middels | Grov | Fin | Middels | Grov | Fin | Middels | | | | | | | | | |
| Leire | Silt | | | Sand | | | Grus | | | | | | | | | | | | | | | | | | | | | | | | | | | | | | | | |
| | Fin | Middels | Grov | Fin | Middels | Grov | Fin | Middels | | | | | | | | | | | | | | | | | | | | | | | | | | | | | | | |
| | | | | | | | | | | | | | | | | | | | | | | | | | | | | | | | | | | | | | | | |
| Prøvenr. | Vegnr | Dybde | Jordart | Cu | TG | | | | | | | | | | | | | | | | | | | | | | | | | | | | | | | | | | |
| 4C | FV119 | 4.2 - 5.0 | Siltig sandig leire | *15.6 | T4 | | | | | | | | | | | | | | | | | | | | | | | | | | | | | | | | | | |
| Sted: | Dato: | Signatur: | | | | | | | | | | | | | | | | | | | | | | | | | | | | | | | | | | | | | |



Kornkurve

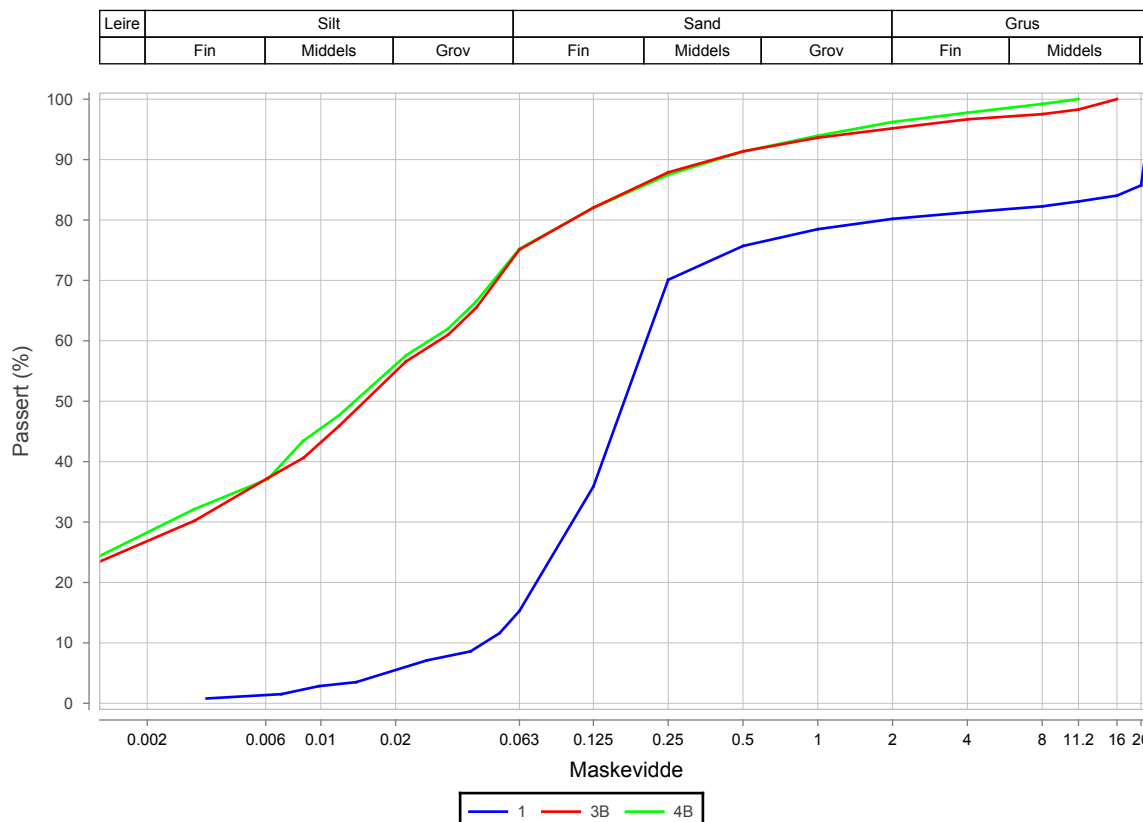
Oppdragsnr. 1200008 Oppdragsnavn Fv. 119 GSV Dilling-Vang
 Prosjektnr. 110124 Prosjektnavn Fv 119 GSV Dilling-Vang REG
 Ansvarsområdenr. Ansvarsområdenavn

Serienr.: 4_(B), Hullnr.: 20, koordinater: EUREF89 NTM, Sone 5, N:0.0 Ø:0.0 H:0.0

| | | | | | |
|---------------------|--------------|--------------|--------------|--|--|
| Prøvenr. | 1 | 3B | 4B | | |
| Uttaksdato | 12.02.2020 | 12.02.2020 | 12.02.2020 | | |
| Analysetype | Våtsikt | Våtsikt | Våtsikt | | |
| Humus (Glødetap) | 2.6 | 1.8 | 1.6 | | |
| Vanninnhold (%) | 29.6 | 28.0 | | | |
| % <63µm av <delsikt | 17.8 (20 mm) | 75.1 (20 mm) | 75.2 (20 mm) | | |
| % <20µm av <delsikt | 6.4 (20 mm) | 54.9 (20 mm) | 56.1 (20 mm) | | |

Siktedata - Passert (%)

| Pr.nr. | µm | | | | mm | | | | | | | |
|--------|------|------|------|------|------|------|------|------|-------|-------|------|-------|
| | 63 | 125 | 250 | 500 | 1 | 2 | 4 | 8 | 11.2 | 16 | 20 | 22.4 |
| 1 | 15.3 | 35.9 | 70.1 | 75.7 | 78.5 | 80.2 | 81.3 | 82.3 | 83.1 | 84.0 | 85.7 | 100.0 |
| 3B | 75.1 | 82.0 | 87.9 | 91.4 | 93.6 | 95.2 | 96.7 | 97.5 | 98.3 | 100.0 | | |
| 4B | 75.2 | 82.0 | 87.5 | 91.3 | 94.0 | 96.2 | 97.8 | 99.2 | 100.0 | | | |



| Prøvenr. | Vegnr | Dybde | Jordart | Cu | TG |
|----------|-------|-----------|---------------------|-------|----|
| 1 | FV119 | 0.2 - 1.1 | Sand, humusholdig | 4.5 | T2 |
| 3B | FV119 | 2.2 - 3.0 | Siltig sandig leire | *39.9 | T4 |
| 4B | FV119 | 3.6 - 4.4 | Siltig sandig leire | *45.1 | T4 |

Sted: _____

Dato: _____

Signatur: _____



Kornkurve

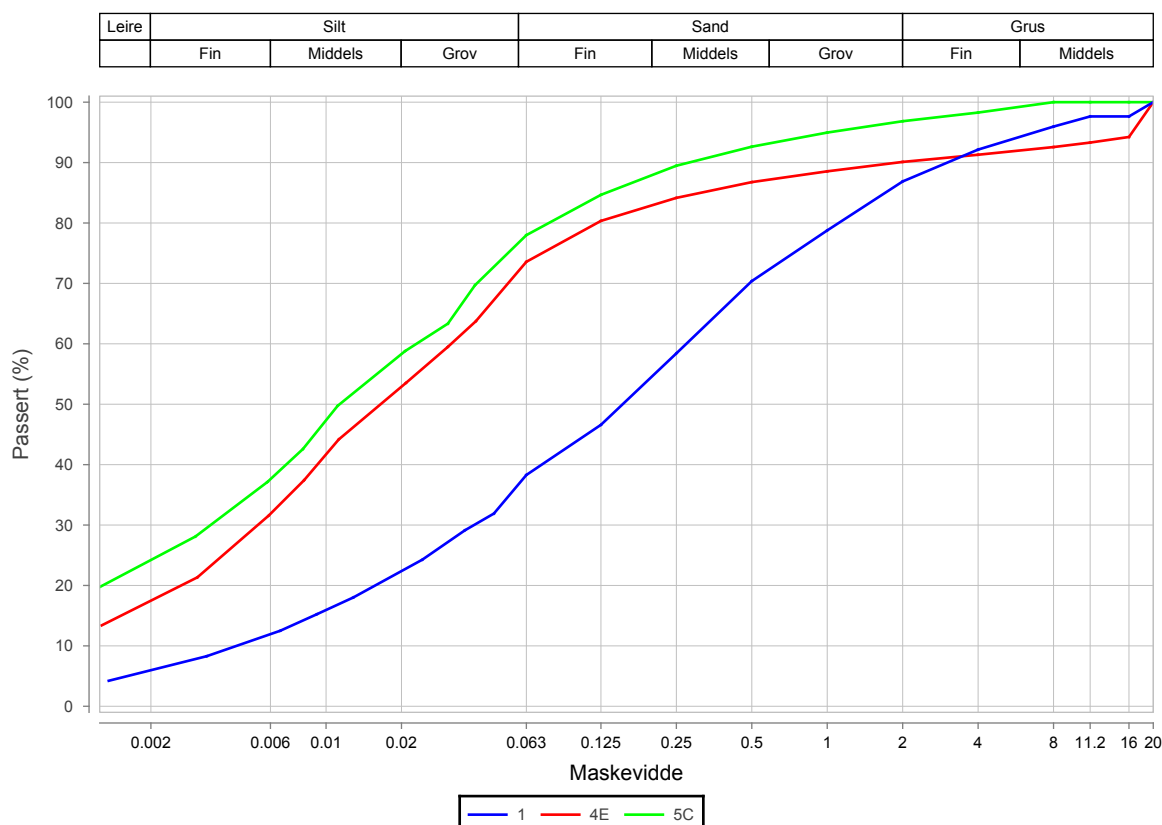
Oppdragsnr. 1200008 Oppdragsnavn Fv. 119 GSV Dilling-Vang
 Prosjektnr. 110124 Prosjektnavn Fv 119 GSV Dilling-Vang REG
 Ansvarsområdenr. Ansvarsområdenavn

Serienr.: 3_(B), Hullnr.: 22, koordinater: EUREF89 NTM, Sone 5, N:0.0 Ø:0.0 H:0.0

| | | | | | |
|---------------------|--------------|--------------|--------------|--|--|
| Prøvenr. | 1 | 4E | 5C | | |
| Uttaksdato | 05.02.2020 | 05.02.2020 | 05.02.2020 | | |
| Analysetype | Våtsikt | Våtsikt | Våtsikt | | |
| Humus (Glødetap) | 1.5 | 1.1 | 1.4 | | |
| Vanninnhold (%) | | 36.0 | | | |
| % <63µm av <delsikt | 38.3 (20 mm) | 73.6 (20 mm) | 78.0 (20 mm) | | |
| % <20µm av <delsikt | 22.4 (20 mm) | 52.9 (20 mm) | 58.3 (20 mm) | | |

Siktedata - Passert (%)

| Pr.nr. | µm | | | | mm | | | | | | | |
|--------|------|------|------|------|------|------|------|-------|-------|-------|-------|--|
| | 63 | 125 | 250 | 500 | 1 | 2 | 4 | 8 | 11.2 | 16 | 20 | |
| 1 | 38.3 | 46.6 | 58.4 | 70.4 | 78.8 | 86.9 | 92.2 | 96.0 | 97.6 | 97.6 | 100.0 | |
| 4E | 73.6 | 80.3 | 84.2 | 86.8 | 88.5 | 90.1 | 91.3 | 92.6 | 93.3 | 94.2 | 100.0 | |
| 5C | 78.0 | 84.7 | 89.5 | 92.6 | 95.0 | 96.8 | 98.3 | 100.0 | 100.0 | 100.0 | 100.0 | |



| Prøvenr. | Vegnr | Dybde | Jordart | Cu | TG |
|----------|-------|-----------|-------------------------------|-------|----|
| 1 | FV119 | 0.0 - 2.0 | Sandig siltig leirig matriale | 62.3 | T4 |
| 4E | FV119 | 4.2 - 5.0 | Siltig leire | *18.8 | T4 |
| 5C | FV119 | 6.2 - 7.0 | Siltig leire | *24.5 | T4 |

Sted: _____

Dato: _____

Signatur: _____



Kornkurve

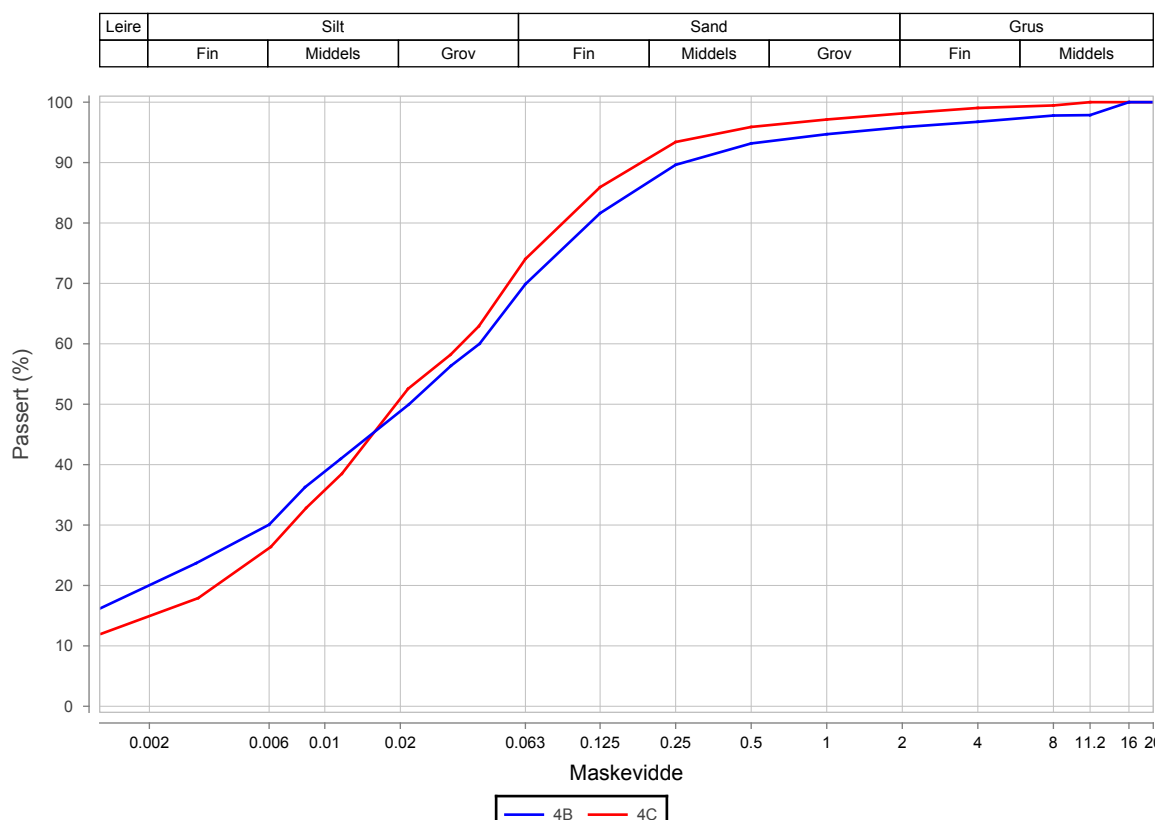
Oppdragsnr. 1200008 Oppdragsnavn Fv. 119 GSV Dilling-Vang
 Prosjektnr. 110124 Prosjektnavn Fv 119 GSV Dilling-Vang REG
 Ansvarsområdenr. Ansvarsområdenavn

Serienr.: 2_(B), Hullnr.: 25, koordinater: EUREF89 NTM, Sone 5, N:0.0 Ø:0.0 H:0.0

| | | | | | | |
|---------------------|--------------|--------------|--|--|--|--|
| Prøvenr. | 4B | 4C | | | | |
| Uttaksdato | 04.02.2020 | 04.02.2020 | | | | |
| Analysetype | Våtsikt | Våtsikt | | | | |
| Humus (Glødetap) | 1.4 | 1.1 | | | | |
| Vanninnhold (%) | | | | | | |
| % <63µm av <delsikt | 69.9 (20 mm) | 74.0 (20 mm) | | | | |
| % <20µm av <delsikt | 48.8 (20 mm) | 50.9 (20 mm) | | | | |

Siktedata - Passert (%)

| Pr.nr. | µm | | | | mm | | | | | | |
|--------|------|------|------|------|------|------|------|------|-------|-------|-------|
| | 63 | 125 | 250 | 500 | 1 | 2 | 4 | 8 | 11.2 | 16 | 20 |
| 4B | 69.9 | 81.6 | 89.6 | 93.2 | 94.7 | 95.9 | 96.8 | 97.8 | 97.9 | 100.0 | 100.0 |
| 4C | 74.0 | 85.9 | 93.4 | 95.9 | 97.1 | 98.1 | 99.0 | 99.5 | 100.0 | 100.0 | 100.0 |



| Prøvenr. | Vegnr | Dybde | Jordart | Cu | TG |
|----------|-------|-----------|---------------------|-------|----|
| 4B | FV119 | 4.2 - 5.0 | Siltig sandig leire | *24.1 | T4 |
| 4C | FV119 | 4.2 - 5.0 | Sandig leirig silt | *12.2 | T4 |

Sted: _____

Dato: _____

Signatur: _____

Borelogg

| Oppdragsnummer: | | | Sted: | | | |
|---|---------|--------|-------------------------------|--------------------|------------------------------|--|
| 110124. | | | Fv 119 Dilling-Vang GS-veg. | | | |
| Dato | Hull nr | Type | Løpe-nr | Bordybde til fjell | Total borb-dybde | Kommentar |
| | 5. | Total. | | 11,80. | 14,80. | Silt/leire-Gruslag-Silt/leire-Ant fjell. |
| | 6. | Total. | | 9,60. | 12,60. | Silt/leire-Leire(Bløt)-Ant fjell. |
| | 26. | Total. | | 10,60. | 10,60. | Silt/Leire-Grusigt-Leire-Ant fjell. |
| | 25. | Total. | | 9,85. | 9,85. | Silt/leire-Leire(Litt grus på 5,50)-Ant Fjell. |
| | 4. | Total. | | 4,50. | 7,30. | Fylling-Silt/leire-Ant fjell. |
| | 22. | Total. | | 11,20. | 14,20. | Grusig/silt-Sil/leire(Noe grus)-Ant fjell. |
| | 7. | Total. | | 4,40. | 7,40. | Asfalt/fylling-Silt-Leire-Ant Fjell. |
| | 2. | Total. | | 2,60. | 5,60. | Silt/grus-Silt/leire-Ant fjell. |
| | 8. | Total. | | 3,10. | 6,15. | Fylling-Silt-Silt/leire-Ant fjell. |
| | 10. | Total. | | 6,00. | 9,00. | Asfalt/fylling-Silt-Leire-Ant Fjell. |
| | 13. | Total. | | 6,30. | 9,30. | Fylling-Leire/silt(gruslag 5,80)-Ant fjell. |
| | 14. | Total. | | 3,30. | 6,30. | Fylling-Silt-Leire-Ant fjell. |
| | | | | | | (NB! Skrafjell knakk på 3,30 på første forsøk) |
| | 15. | Total. | | 4,05. | 7,05. | Fylling-Silt/leire-Grusigt-Ant fjell. |
| | 16. | Total. | | | | Ble glemt logg se fil. |
| | 17. | Total. | | 13,60. | 16,60. | Fylling-Silt/leire-Leire-Ant fjell. |
| | 18. | Total. | | 4,40. | 7,40. | Fylling-Silt/leire-Ant fjell. |
| | 19. | Total. | | 5,20. | 8,20. | Fylling7grus-Silt-Ant fjell. |
| | 21. | Total. | | 0,20. | 3,20. | Grus-Ant fjell. |
| | 20. | Total. | | 4,60. | 7,70. | Silt-Leire/silt-Gruslag-Leire(bløt)-Ant fjell. |
| Utfyllende kommentarer | | | Alle punkter boret med vann. | | | |
| Borerigg/utstyr: Geotech 607. | | | Dato: Jan/Feb 2020. | | Attestert: Kam/KPK | |

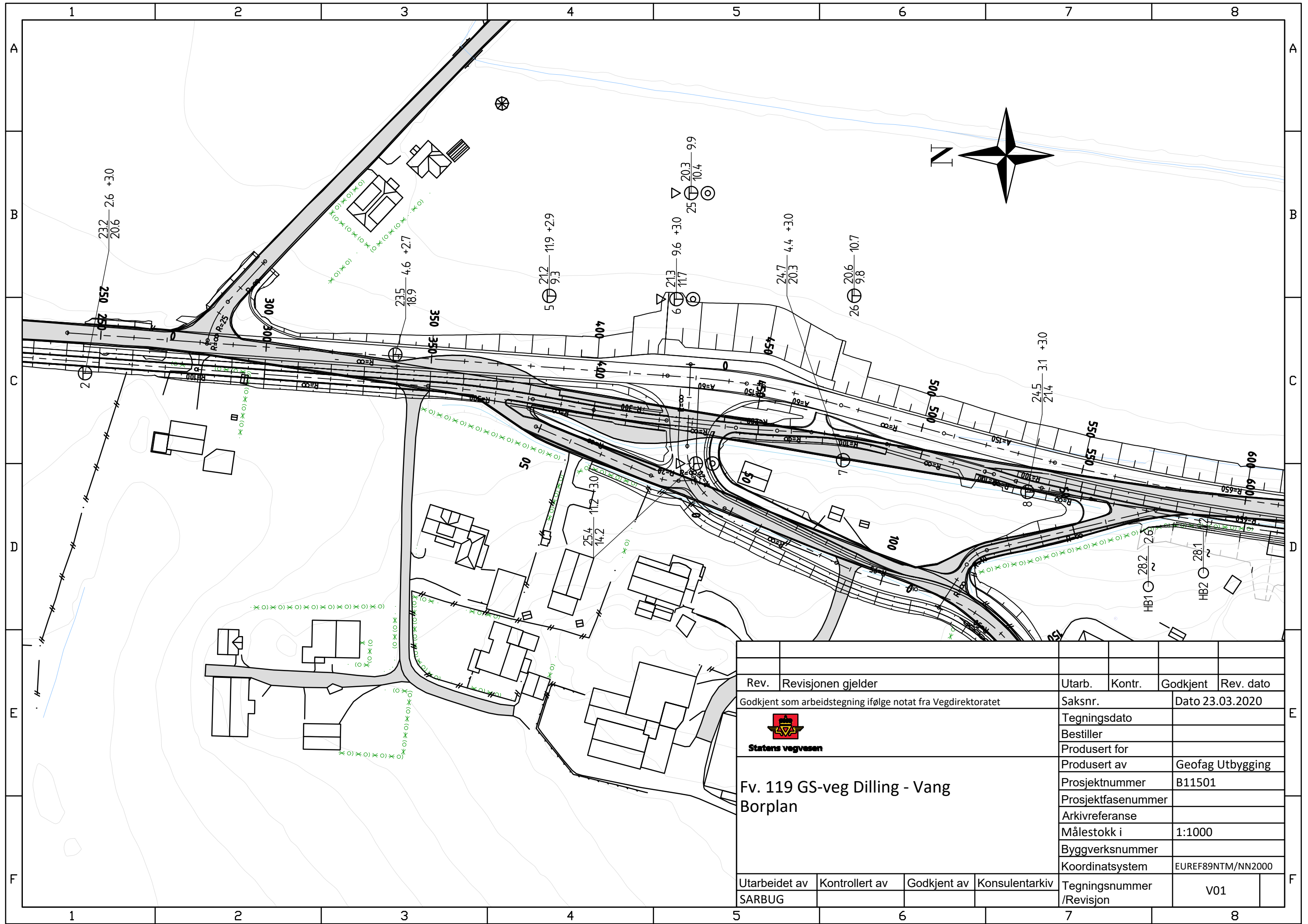
Borelogg

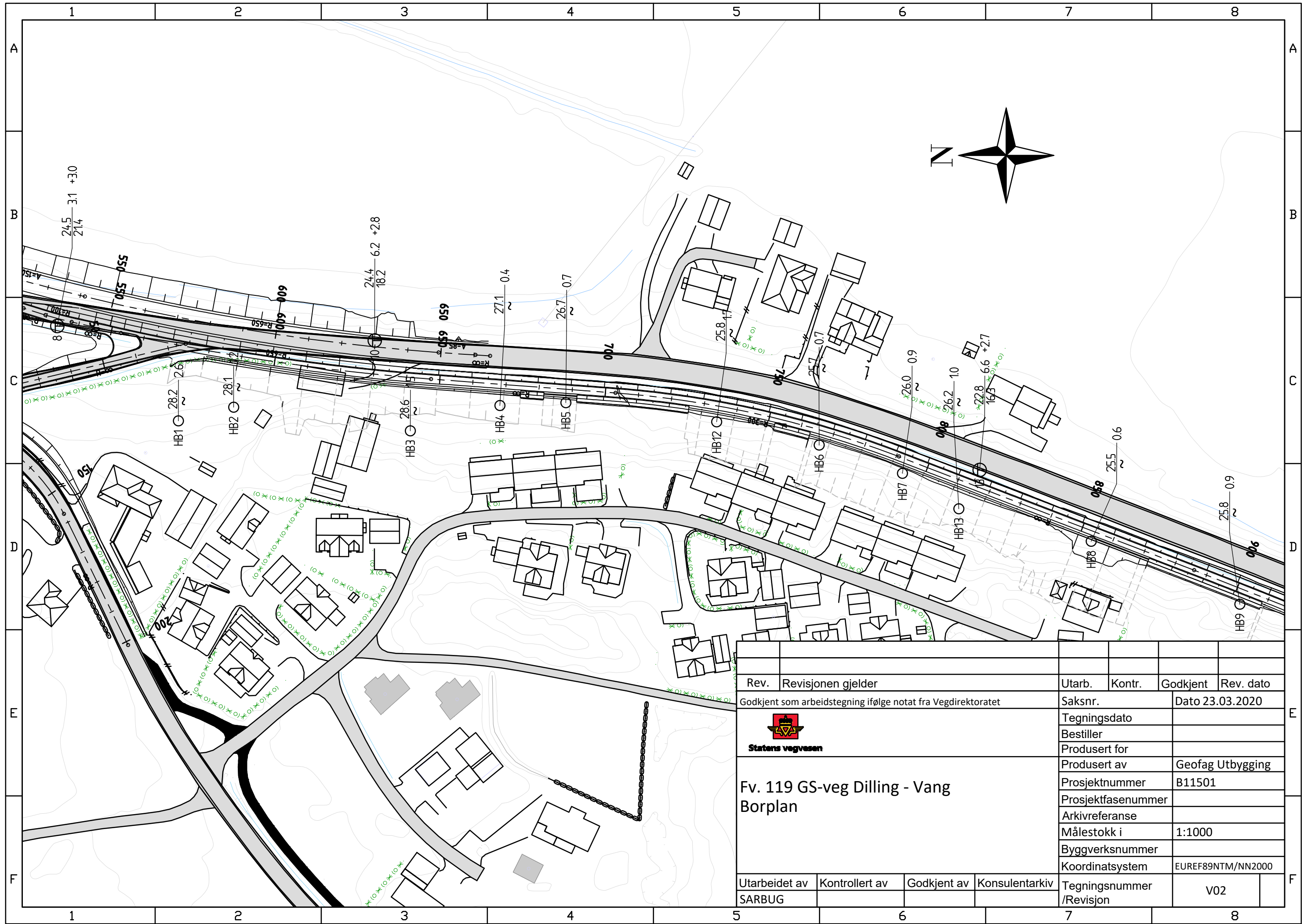
| Oppdragsnummer: | | | Sted: | | | |
|-----------------|-----------|------------|----------------------------|--------------------|------------------|-----------------------------------|
| 110124.. | | | Fv 119 Dilling-Vang Gs-veg | | | |
| Dato | Hull nr | Type | Løpe-nr | Bordybde til fjell | Total borb-dybde | Kommentar |
| | 6. | Cpt. | | | 7,65. | 0,50-7,65. Stopp mot fast. |
| | 6+. | Cpt. | | | 9,70. | 0,50-9,70. Stopp mot fjell. |
| | 25. | Cpt. | | | 9,76. | 0,50-9,76. |
| | 22. | Cpt. | | | | Glemt å logge se fil. |
| | 20. | Cpt. | | | 4,60. | 0,50-4,60. |
| | | | | | | |
| | HB1. | Håndholdt. | | | 2,60. | Stopp mot Stein/Fjell. (Siltig) |
| | HB2. | Håndholdt. | | | 1,15. | Stopp mot Stein/Fjell. (Siltig) |
| | HB3. | Håndholdt. | | | 1,50. | Stopp mot Stein/Fjell. (Siltig) |
| | HB4. | Håndholdt. | | | 0,40. | Stopp mot Stein/Fjell. (Siltig) |
| | HB5. | Håndholdt. | | | 0,67. | Stopp mot Stein/Fjell. (Sandig) |
| | 12. | Håndholdt. | | | 1,70. | Stopp mot Stein/Fjell (siltig) |
| | HB6. | Håndholdt. | | | 0,75. | Stopp mot Stein/Fjell (sandig.) |
| | HB7. | Håndholdt. | | | 0,90. | Stopp mot Stein/Fjell (Silt/sand) |
| | 13 EXTRA. | Håndholdt. | | | 0,95. | Stopp mot Stein/Fjell. (Sandig) |
| | HB8. | Håndholdt. | | | 0,60. | Stopp mot Stein/Fjell |
| | HB9. | Håndholdt. | | | 0,90. | Stopp mot Stein/Fjell. |
| | | | | | | |
| | | | | | | |
| | | | | | | |
| | | | | | | |
| | | | | | | |
| | | | | | | |

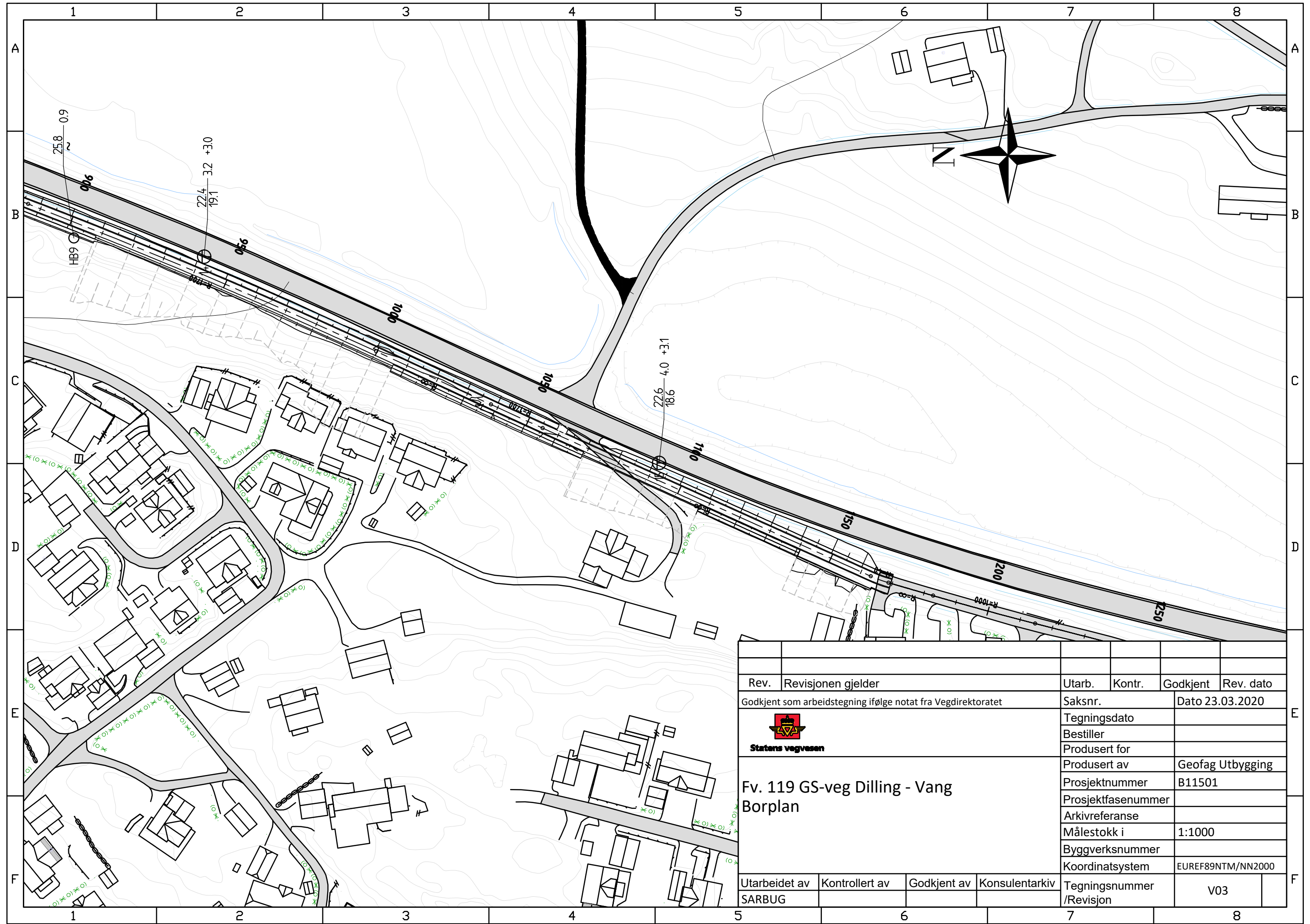
Utfyllende kommentarer

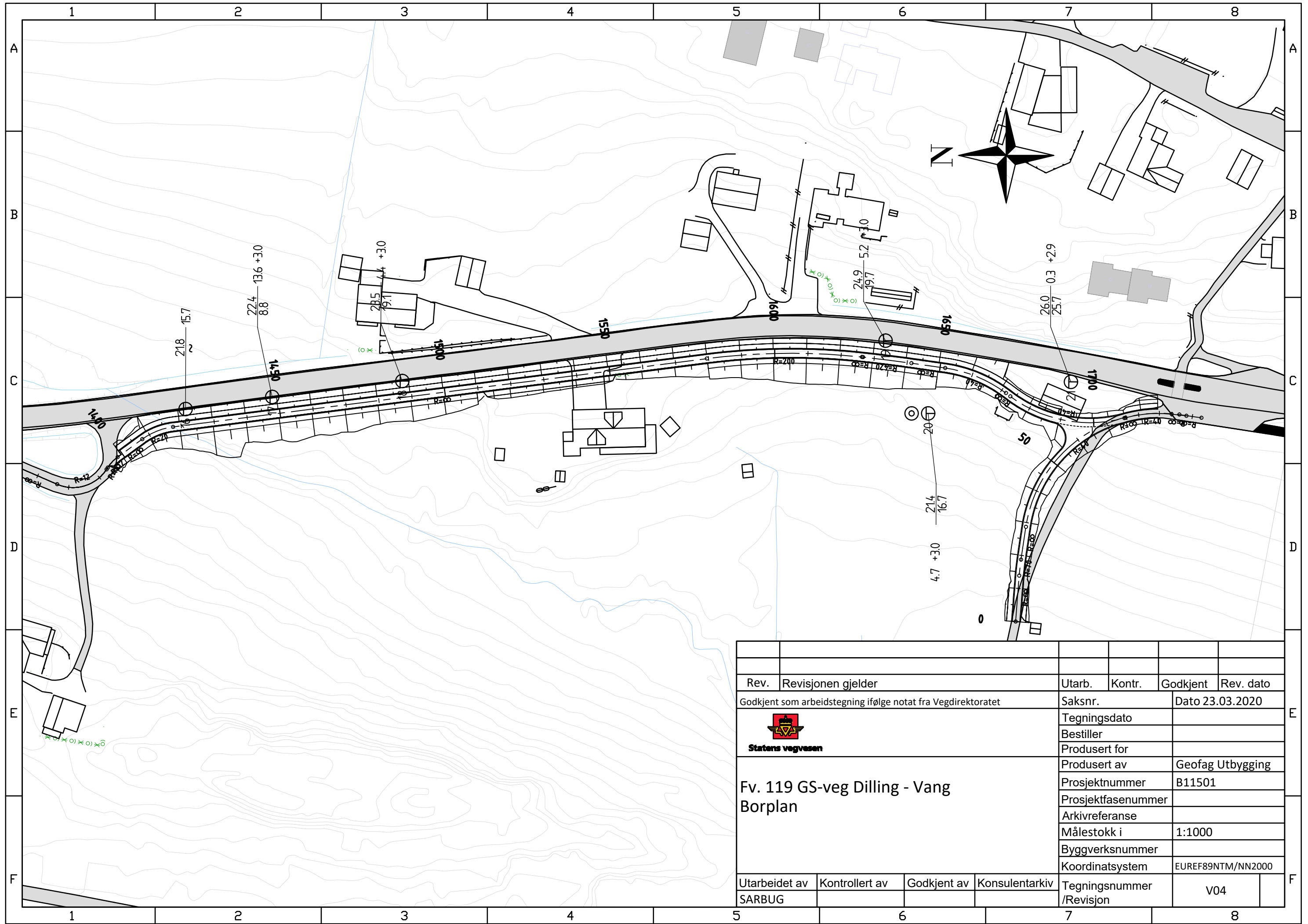
Alle prøver levert lab Oslo, tok poseprøver av topp.

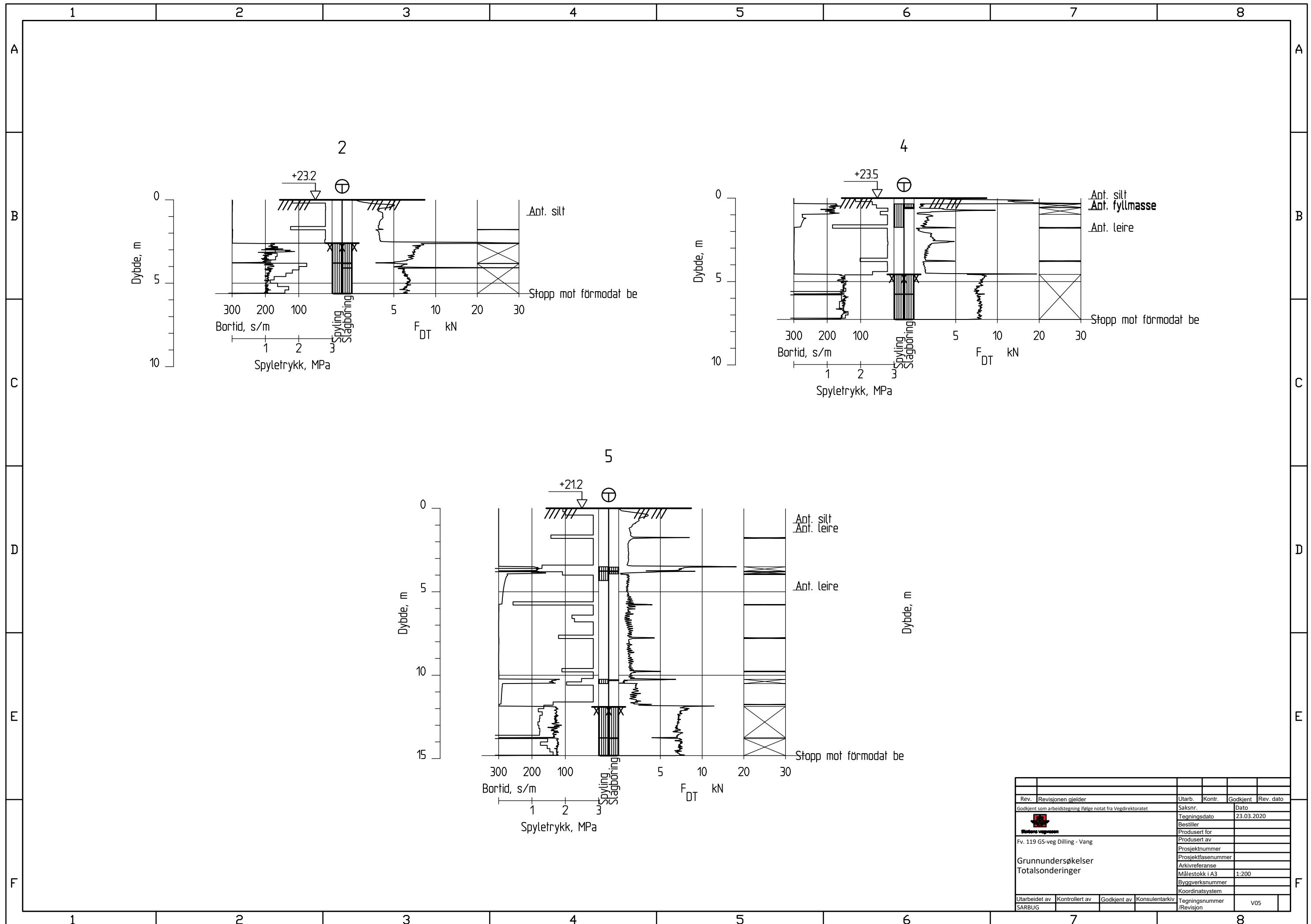
| Borerigg/utstyr: | Dato: | Attestert: |
|------------------|---------------|------------|
| Geotech 607. | Jan/Feb 2020. | Kam/KPK |

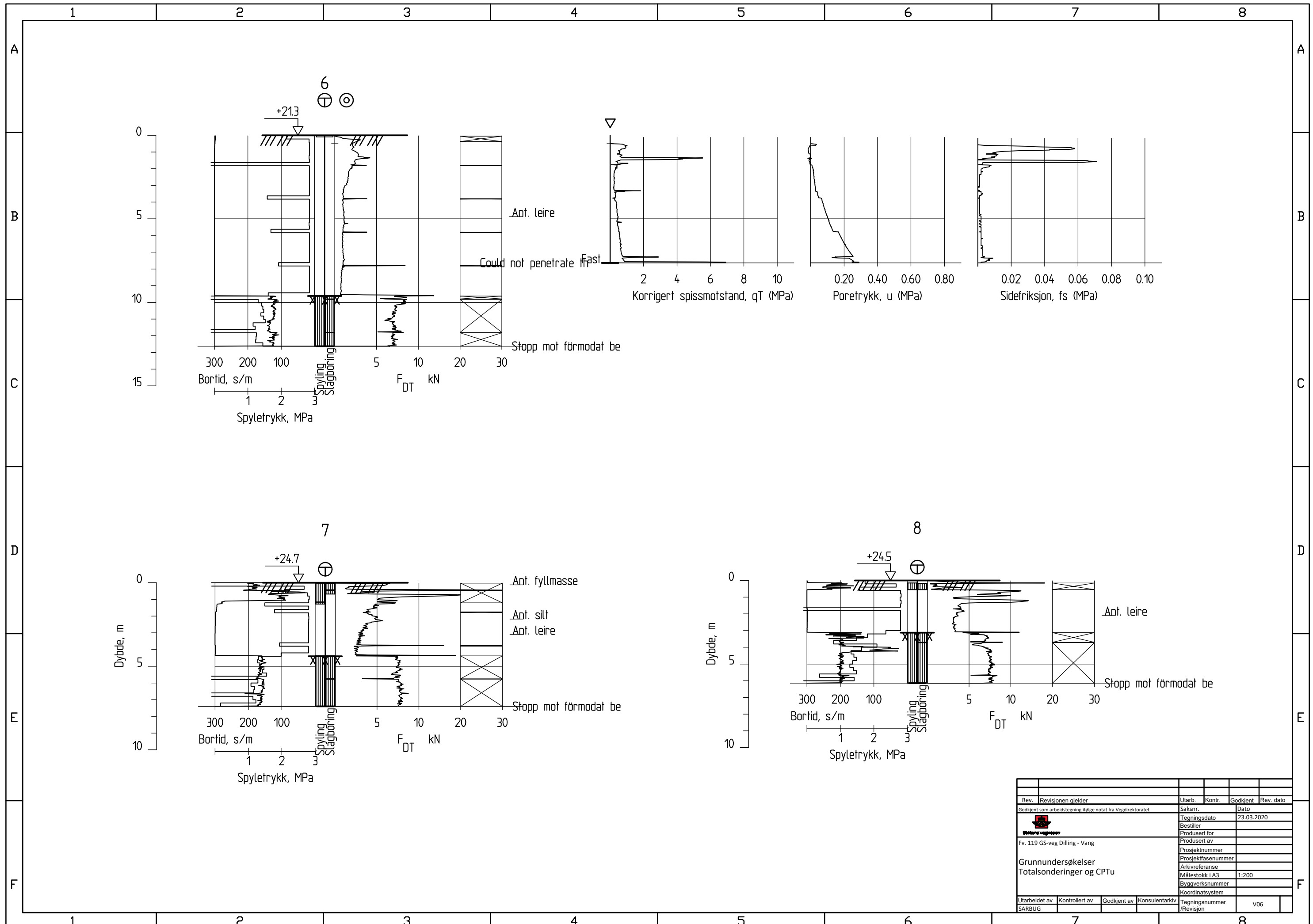


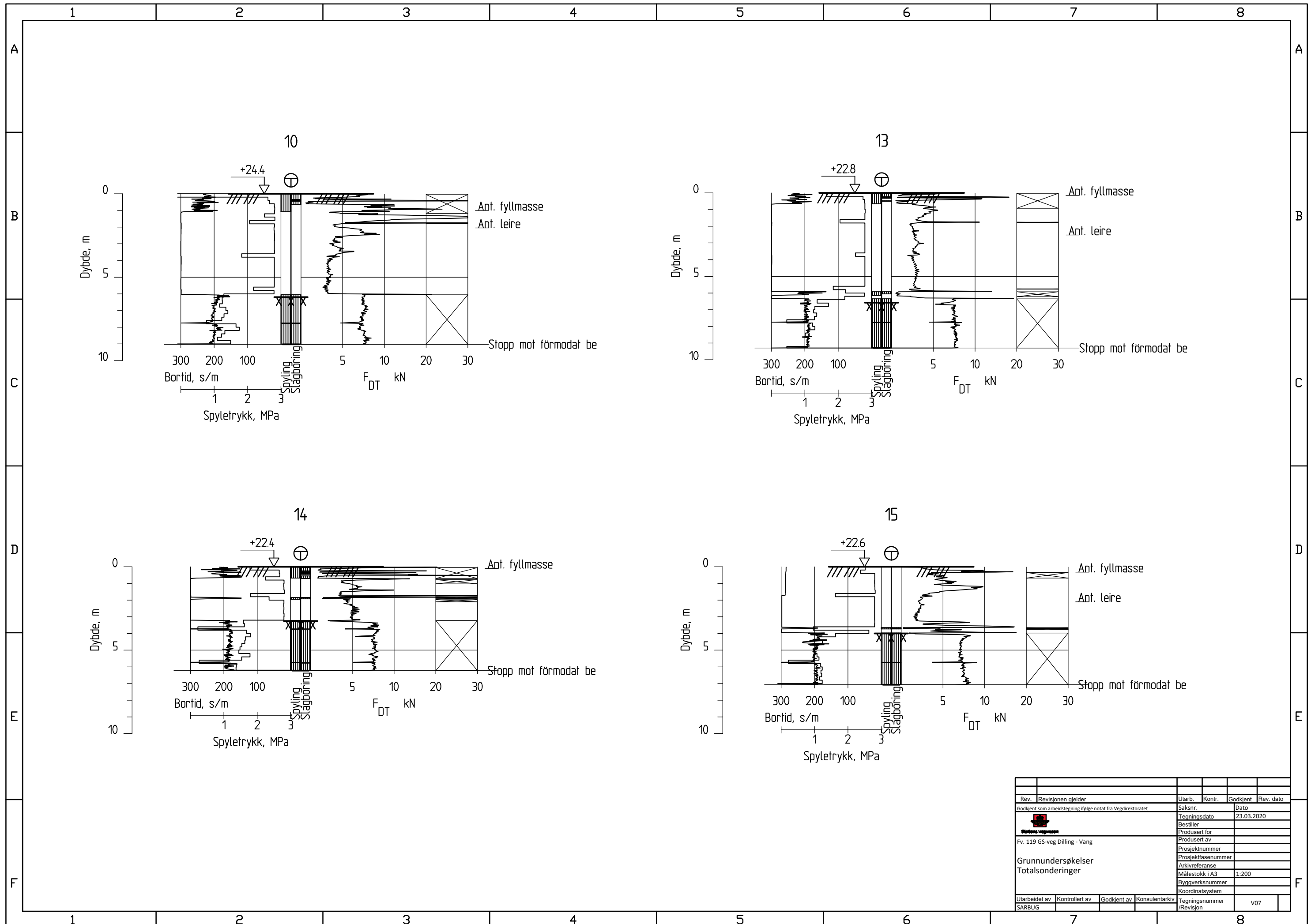


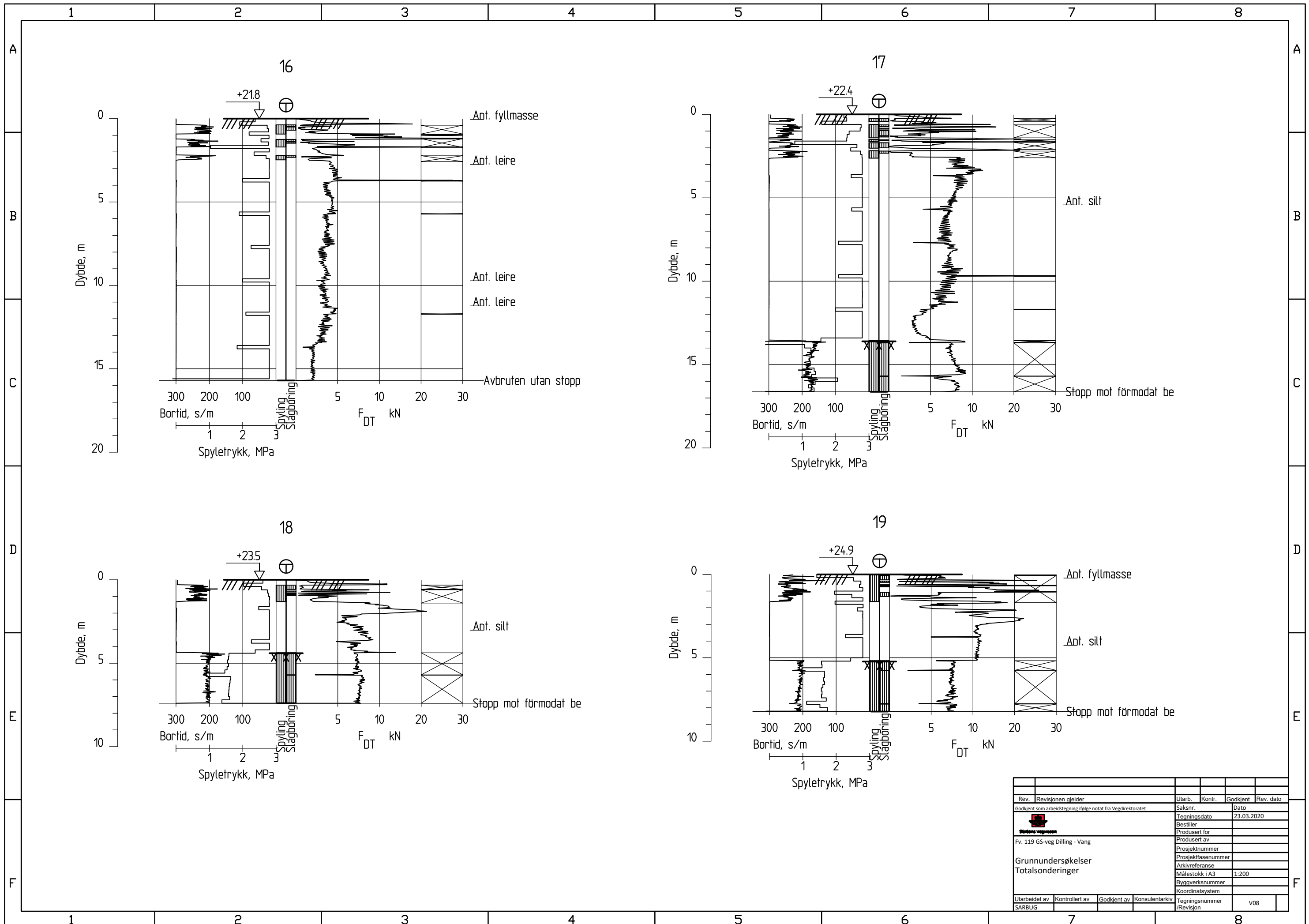


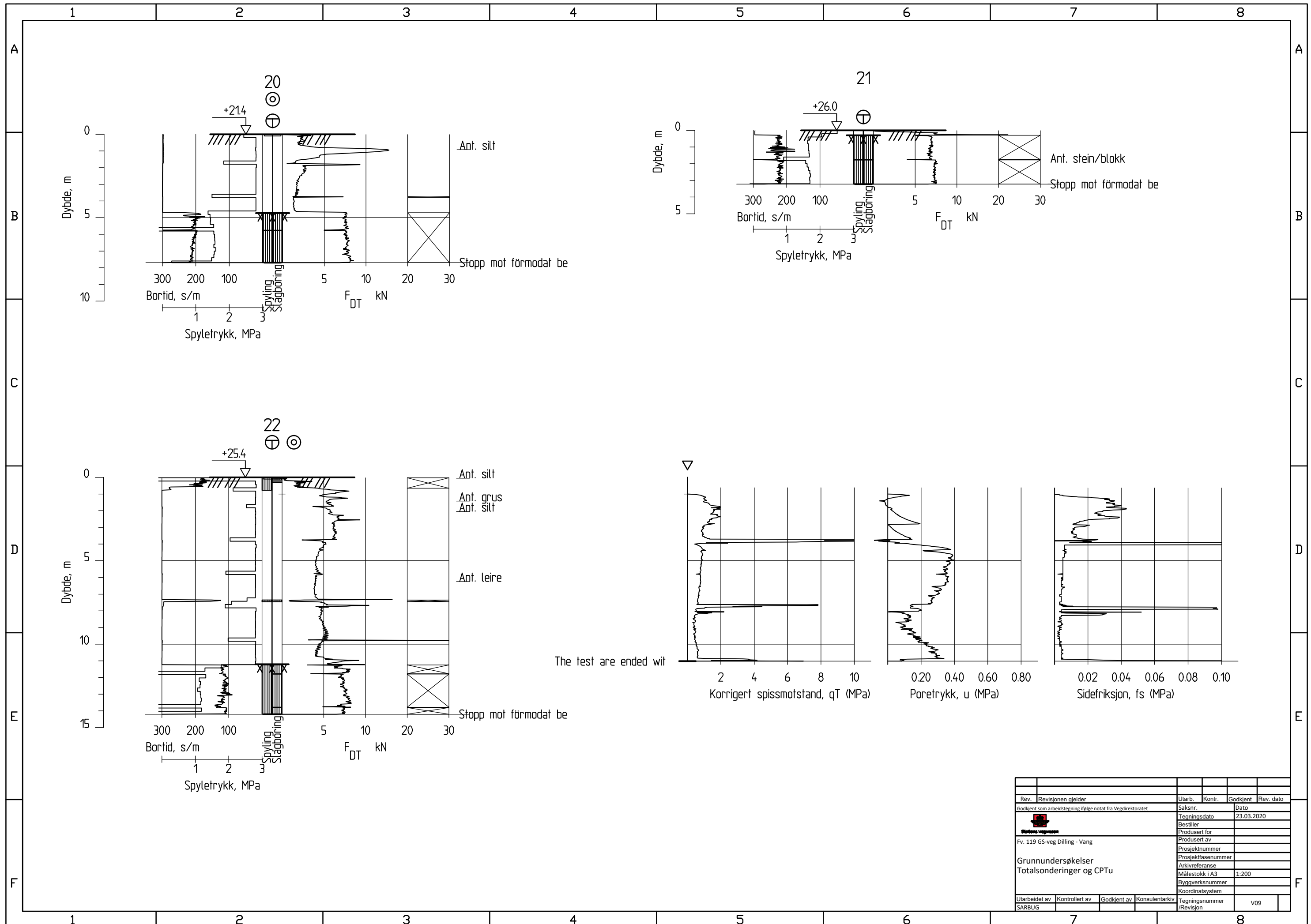


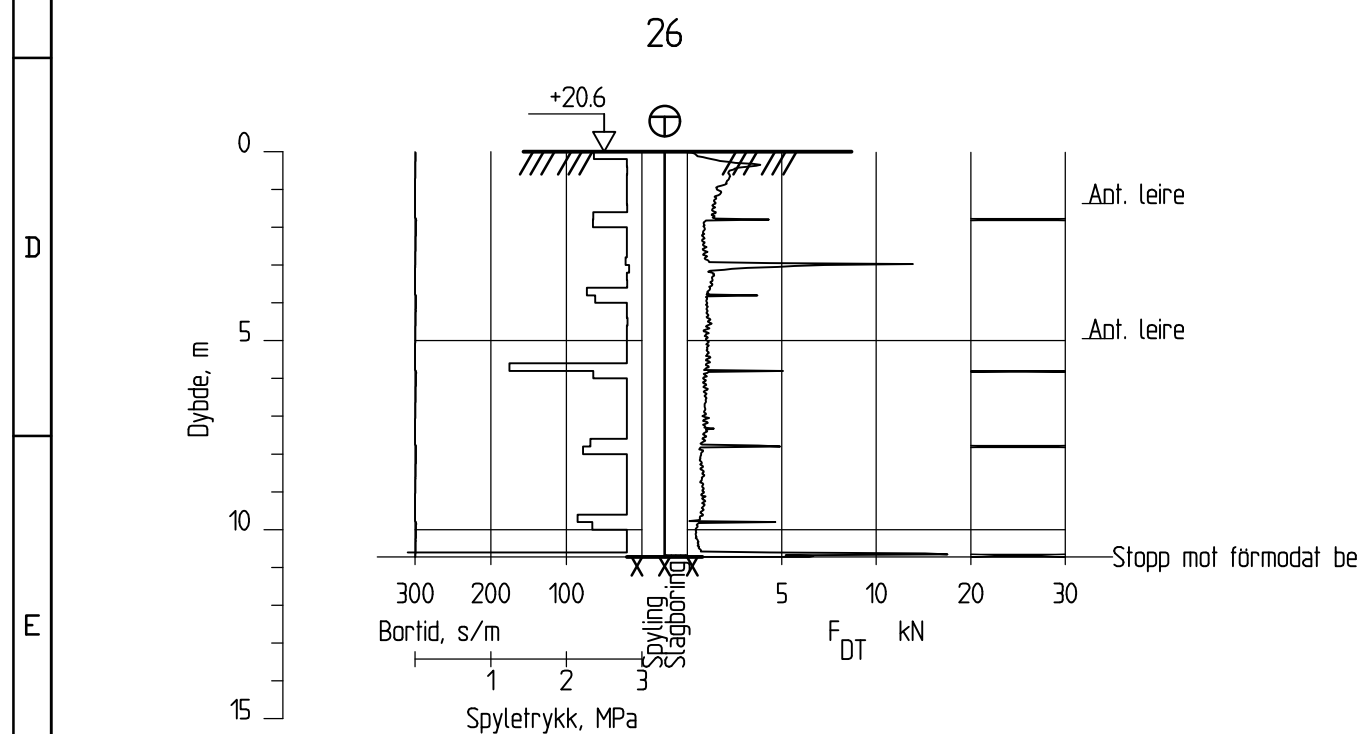
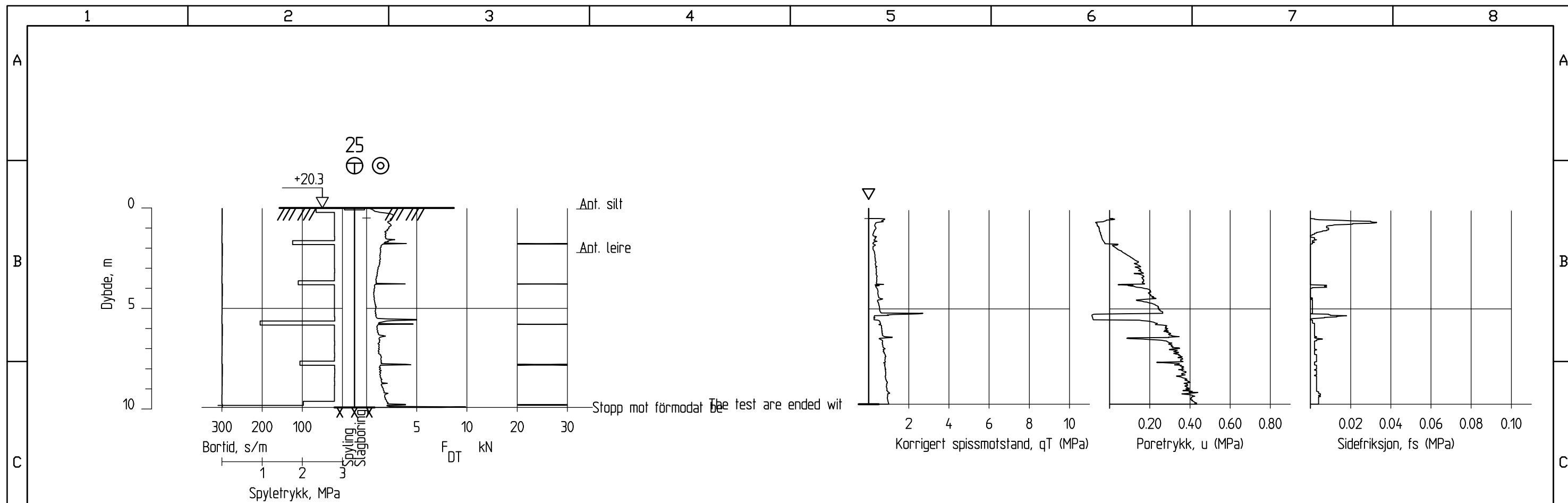




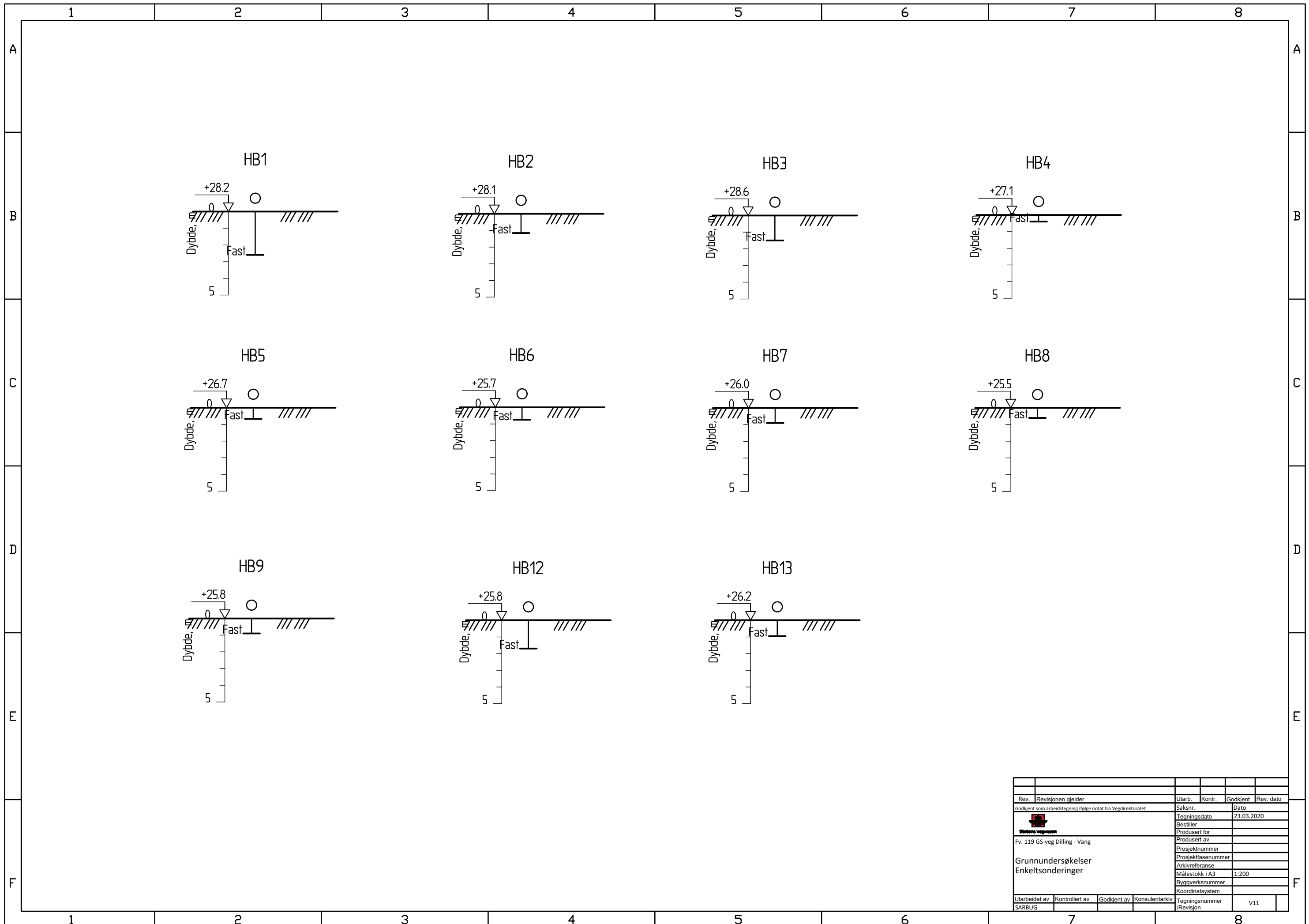








| | | | | | |
|---|--------------------|--------------------|----------------|--------------------------|-----------|
| Rev. | Revisjonen gjelder | Utarb. | Kontr. | Godkjent | Rev. dato |
| Godkjent som arbeidstegning ifølge notat fra Vegdirektoratet | | Saksnr. | Dato | | |
|  Statoil vegtegninger | | Tegningsdato | 23.03.2020 | | |
| | | Bestiller | | | |
| | | Produsert for | | | |
| Fv. 119 GS-veg Dilling - Vang | | Produsert av | | | |
| | | Prosjektnummer | | | |
| | | Prosjektfasenummer | | | |
| | | Arkivreferanse | | | |
| | | Målestokk i A3 | 1:200 | | |
| | | Byggverksnummer | | | |
| | | Koordinatsystem | | | |
| Utarbeidet av | Kontrollert av | Godkjent av | Konsulentarkiv | Tegningsnummer /Revisjon | V10 |
| SARBUG | | | | | |



| Rev. | Revisjonen gjelder | Utarb. | Kontr. | Godkjent | Rev. dato |
|------|--|--------------------|----------------|-------------|----------------|
| | Godkjent som arbeidstegning ifølge notat fra Vegdirektoratet | Saksnr. | | | |
| | | Tegningsdato | 23.03.2020 | | |
| | | Bestiller | | | |
| | | Produsert for | | | |
| | | Prosjektnummer | | | |
| | | Prosjektfasenummer | | | |
| | | Arkivreferanse | | | |
| | | Målestokk i A3 | 1:200 | | |
| | | Byggverksnummer | | | |
| | | Koordinatsystem | | | |
| | | Utarbeidet av | Kontrollert av | Godkjent av | Konsulentarkiv |
| | | SARBUG | | | |
| | | Tegningsnummer | | V11 | |
| | | /Revisjon | | | |



Statens vegvesen
Utbygging
Fagressurser Utbygging
,
Tlf: 22073000
firmapost@vegvesen.no

vegvesen.no

Trygt fram sammen

Datarapport:

**A228076-RAP-RIG-001, Fv. 119 GS-veg Dilling-Vang
supplerende GU
(COWI, 11.04.2022, ver. 2.0)**

Datarapport:

**A228076-RAP-RIG-001, Fv. 119 GS-veg Dilling-Vang
supplerende GU
(COWI, 11.04.2022, ver. 2.0)**

APRIL 2022
VIKEN FYLKESKOMMUNE

FV 119 GS-VEG DILLING- VANG SUPPLERENDE GU

GEOTEKNISK DATARAPPORT

COWI

ADRESSE COWI AS
Karvesvingen 2
Postboks 6412 Etterstad
0605 Oslo
TLF +47 02694
WWW cowi.no

APRIL 2022
VIKEN FYLKESKOMMUNE

FV 119 GS-VEG DILLING-VANG SUPPLERENDE GU

GEOTEKNISK DATARAPPORT

OPPDRAUGSNR. DOKUMENTNR.
A228076 A228076-RAP-RIG-001

| VERSJON | UTGIVELSESDATO | BESKRIVELSE | UTARBEIDET | KONTROLLERT | GODKJENT |
|---------|----------------|---------------------|------------|-------------|----------|
| 1.0 | 21.06.2021 | RIG | AEPN | LAAN | CBNI |
| 2.0 | 11.04.2022 | OPDATERT BOREPLANER | CBNI | BW | BW |

INNHOLD

| | | |
|-----|--------------------------------------|----|
| 1 | Innledning | 7 |
| 1.1 | Generell | 7 |
| 1.2 | Formål | 8 |
| 1.3 | Endringslogg | 8 |
| 2 | Grunnundersøkelser | 9 |
| 2.1 | Tidligere grunnundersøkelser | 9 |
| 2.2 | Feltarbeid | 9 |
| 2.3 | Laboratorieundersøkelser | 10 |
| 2.4 | Avvik | 10 |
| 3 | Undersøkelsesresultater | 11 |
| 3.1 | Presentasjon av resultater | 11 |
| 3.2 | Grunnforhold | 11 |
| 3.3 | Konklusjon | 13 |
| 3.4 | Kontroll av grunnundersøkelser | 13 |
| 4 | Tegning-, vedlegg- og tilleggslister | 14 |

1 Innledning

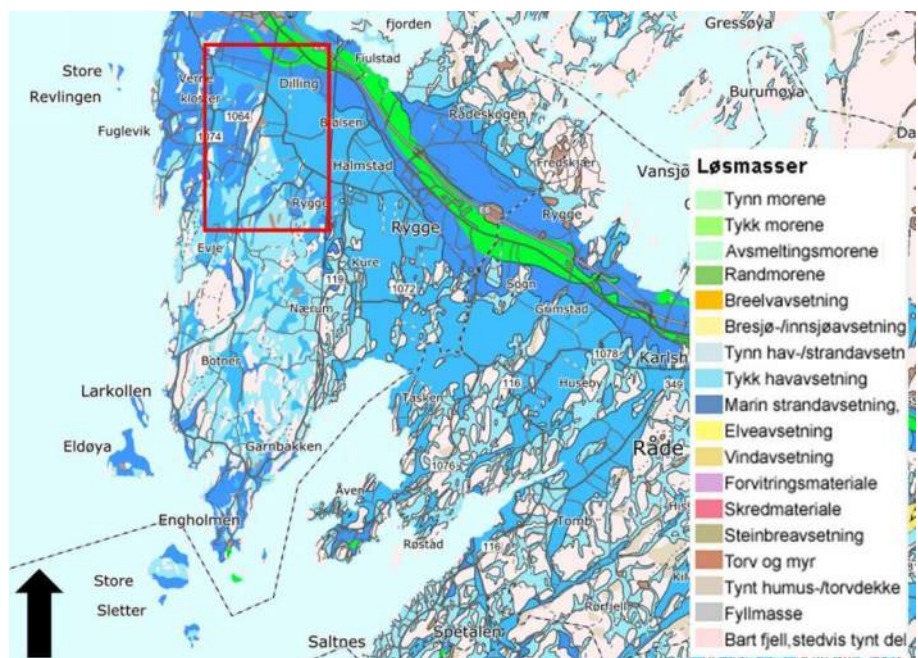
COWI AS har utført supplerende grunnundersøkelsjer i Moss kommune i forbindelse med gjennomføring av byggeplan for gang- og sykkelvegprosjekt langs Fv 119 Dilling-Vang.

Oppdraget er bestilt av Viken fylkeskommune.

Foreliggende rapport presenterer det som foreligger av resultater fra supplerende geotekniske grunnundersøkelsjer utført av COWI AS i uke 20 og 21, 2021.

1.1 Generell

Kvartærgeologisk kart fra Norges geologiske undersøkelse (NGU) (se figur 1), viser at området består av tynne og tykke hav- og standavsetninger. Bart fjell, torv og myr finnes lokalt.



Figur 1: Løsmassekart fra NGU.no. Rød markering angir undersøkelsesområdet.

Inneholder data under Norsk lisens for offentlig data (NLOD) tilgjengeliggjort av NGU.

1.2 Formål

Foreliggende rapport presenterer supplerende grunnundersøkelser utført for gjennomføring av byggeplan for gang- og sykkelvegprosjekt.

1.3 Endringslogg

| Versjon | Dato | Utarbeider | Beskrivelse av endring |
|---------|------------|------------|------------------------|
| 1.0 | 21.06.2021 | AEPN | Første utgave |

2 Grunnundersøkelser

Feltundersøkelsene ble utført i uke 20 og 21, 2021, med geoteknisk borerigg av typen Geotech 605 under ledelse av boreformann Adam Kihlbom.

Feltundersøkelsene ble utført i henhold til Norsk geoteknisk forenings (NGF) meldinger samt Statens Vegvesen Håndbok R211 Feltundersøkelser.

2.1 Tidlige grunnundersøkelser

Området har tidligere blitt undersøkt av Statens vegvesen. Tidlige geotekniske grunnundersøkelser i området framgår av Tabell 1.

Tabell 1: Oversikt over eksisterende grunnundersøkelser

| Dokument nr. | Utførende | Oppdragsnavn | Utgitt år |
|---------------|------------------|-----------------------------|-----------|
| B11501-GEOT-1 | Statens vegvesen | Fv. 119 GS-veg Dilling-Vang | 2020 |

Resultatene fra overnevnte rapport omhandles ikke i foreliggende rapport. Eksisterende grunnundersøkelser med boredybder er vist på detaljert borplan i tegning 3, men ikke plottet opp i profil.

2.2 Feltarbeid

Feltarbeidet omfattet:

- > 10 stk. totalsonderinger
- > 5 stk. trykksonderinger (CPTu)
- > 5 stk. prøveserier
- > 4 stk. elektriske poretrykksmålere i 4 stk. borpunkt

2.3 Laboratorieundersøkelser

De opptatte prøvene er undersøkt i laboratoriet hos NGI med tanke på klassifisering og identifisering av jordart og egenskaper.

Følgende undersøkelser ble utført:

- 6 stk. rutineundersøkelser av poseprøver. Rutineundersøkelser av poseprøvene omfatter visuell beskrivelse av prøvemateriale.
- 12 stk. rutineundersøkelser av sylinderprøver. Rutineundersøkelser av sylinderprøvene omfatter visuell beskrivelse av prøvemateriale, bestemmelse av densitet, 3 stk. vanninnhold, 2 stk. konus u/o og 1 stk. enaks.
- 7 stk. plastisitet- og flytegrense på utvalgte sylinderprøver
- 4 stk. kornstørrelsesfordeling på 4 stk. poseprøver

2.4 Avvik

- Borhull 106 ble boret i berg 0,38 m på grunn av mistenkt skrått berg, og derav fare for ødelagt utstyr
- Borhull 107 ble boret 1,25 m i berg på grunn av stangbrudd
- Det ble kun ett konusforsøk u/o på prøve 2 i borhull 101 pga. lite egnet materiale

Tap av boreutstyr

Det ble stangbrudd under boring ved borpunkt 16, 104 og 107. Det ble skadet sylinder under prøvetaking ved borpunkt 26 og 101. Tapt utstyr er listet i tabell 2 under.

Tabell 2: Oversikt over tapt utstyr

| Borhull | Tapt utstyr |
|---------|--|
| 16 | 2 stk. borstang, 1 stk. borkrone og 1 stk. Ø54 mm sylinder |
| 26 | 1 stk. Ø54 mm sylinder |
| 101 | 1 stk. Ø54 mm sylinder |
| 104 | 3 stk. borstang og 1 stk. borkrone |
| 107 | 3 stk. borstang og 1 stk. borkrone |

3 Undersøkelsesresultater

3.1 Presentasjon av resultater

Lokalitet er vist på figur 1 og tegning 1.

Borplanoversikt er vist på tegning 2. Borpunktene plassering med boredybder er vist på borplan, tegning 3. Det er benyttet kartdatum EUREF 89 NTM sone 10 med høyderefaranse NN2000.

Borpunktene er målt inn med GPS hvor samtlige er innenfor et avvik på 5 cm fra planlagt plassering.

Resultater fra feltundersøkelser, sortert etter borpunkt nummer, er vist i vedlegg 1.

Resultater fra geoteknisk laboratorium, sortert etter borpunkt nummer, er vist i vedlegg 2.

Resultater fra elektriske poretrykksmålere, sortert etter borpunkt nummer, er vist i vedlegg 3.

Koordinat- og borpunktliste er vist i vedlegg 4.

Trykksondering kalibreringsskjema er vist i vedlegg 5.

Undersøkelsesmetoder er forklart i tillegg 1, 3, 4 og 5.

3.2 Grunnforhold

Terren

Terrengnivået for sonderingene ligger mellom kote +19,70 meter over havet (moh.) ved borpunkt 16 og +25,52 moh. ved borpunkt 22.

Berg

Det ble utført sikker bergpåvisning med 2,0 m innboring i berg for samtlige borpunkt utenom borpunkt 106 og 107. Det ble ikke påtruffet berg ved totalsondering for borpunkt 104.

Bergkote i borpunktene varierer fra mellom ca. -2,34 moh. i borhull 106 til ca. +20,08 moh. i borhull 108. Løsmassemektigheten varierer fra mellom ca. 4,88 m i borhull 108 til ca. 22,30 m i borhull 106.

Løsmasser

Det har tatt opp prøver fra 5 borpunkt for testing i laboratoriet. Prøvedybden er på mellom 0,0 og 10,0 m under terrenget.

Basert på borloggene består løsmassene generelt av jord, leire, sand og stein. Borprofil fra laboratorieundersøkelsene viser løsmasser generelt bestående av leire og noe sand. Det er påvist kvikkleire i borpunkt 16 og 26.

Materialene er beskrevet i henhold til NGF-melding nr. 2 utgitt i 1982, revidert 2011 "Veileddning for symboler og definisjoner i geoteknikk, identifisering og klassifisering av jord".

Nedenfor er en kort beskrivelse av løsmassene som er analysert i laboratoriet. Resultatene er vist i vedlegg 2.

I BH16 er det tatt i alt én poseprøve og 2 sylinderprøver. Borprofilet beskriver leire med gruskorn, tørrskorpeflekker og organiske rester ned til 2,0 m dybde. Til 7,0 m dybde består massene av bløt til middels fast kvikkleire med noen gruskorn, skjellrester og sandlommer.

I BH26 er det tatt i alt en poseprøve og 2 cylindre. Borprofilet beskriver leire ned til 2,0 m dybde. Nedover til 7,0 m dybde består bløt kvikk leire med noen gruskorn, skjellrester og sand.

I BH101 er det tatt i alt én poseprøve og 2 sylinderprøver. Borprofilet beskriver tørrskorpeleire til 1,0 m dybde. Fra 1,0 til 4,0 m dybde er det bløt til middels fast leire med noen grus, organiske rester og sandlommer.

I BH105 er det tatt i alt én poseprøve og 2 sylinderprøver. Borprofilet beskriver leire fra 1,0 m til 4,0 m dybde. Leiren fra 2,0 – 4,0 m er bløt med noe grus og sand.

I BH109 er det tatt i alt 2 poseprøver og 3 sylinderprøver. Borprofilet beskriver fin leirig sand til 1,0 m dybde. Fra 1,0 m til ca. 7,0 m finnes leire med noe sand og grus, og enkelte skjellrester. Fra 2,0 m dybde beskrives leiren som bløt.

Grunnvann

Fire elektriske poretrykksmålere ble satt ned i mai 2021 og avlest 14.06.2021.
Tabell 3 viser oversikt over de elektriske poretrykksmålerne.

Tabell 3: Oversikt over de elektriske poretrykksmålerne

| Borhull | Dato satt ned | Terrengkote | Spissdybde [m] | Spisskote | Måler-ID |
|----------------|----------------------|--------------------|-----------------------|------------------|-----------------|
| | | (moh.) | | (moh.) | |
| 6 | 26.05.21 | +22,06 | 5,70 | +16,36 | 19793 |
| 16 | 25.05.21 | +19,70 | 8,47 | +11,30 | 19794 |
| 22 | 18.05.21 | +25,52 | 10,40 | +15,12 | 19648 |
| 109 | 25.05.21 | +20,43 | 5,00 | +15,43 | 19795 |

3.3 Konklusjon

Ytre forhold har ikke påvirket kvaliteten på feltarbeidet.

Prosedyrer og styringssystem er fulgt og det er ingen kvalitsavvik.

3.4 Kontroll av grunnundersøkelser

Arbeidet tilknyttet dette avropet faller under geoteknisk kategori 2, som medfører krav til sidemannskontroll. Denne kontrollen er utført blant annet ved at alle bergnivå er kontrollert samt at rådatafilen er kontrollert mot informasjon i borlogg.

Utførelse og kvalitetssikring av rapporteringsarbeidet er utført i henhold til COWIs kvalitetssikringsrutiner, hvilket innebærer sidemannskontroll og utfyllelse av sjekkliste. Sjekkliste kan fremsendes på forespørsel.

4 Tegning-, vedlegg- og tilleggslister

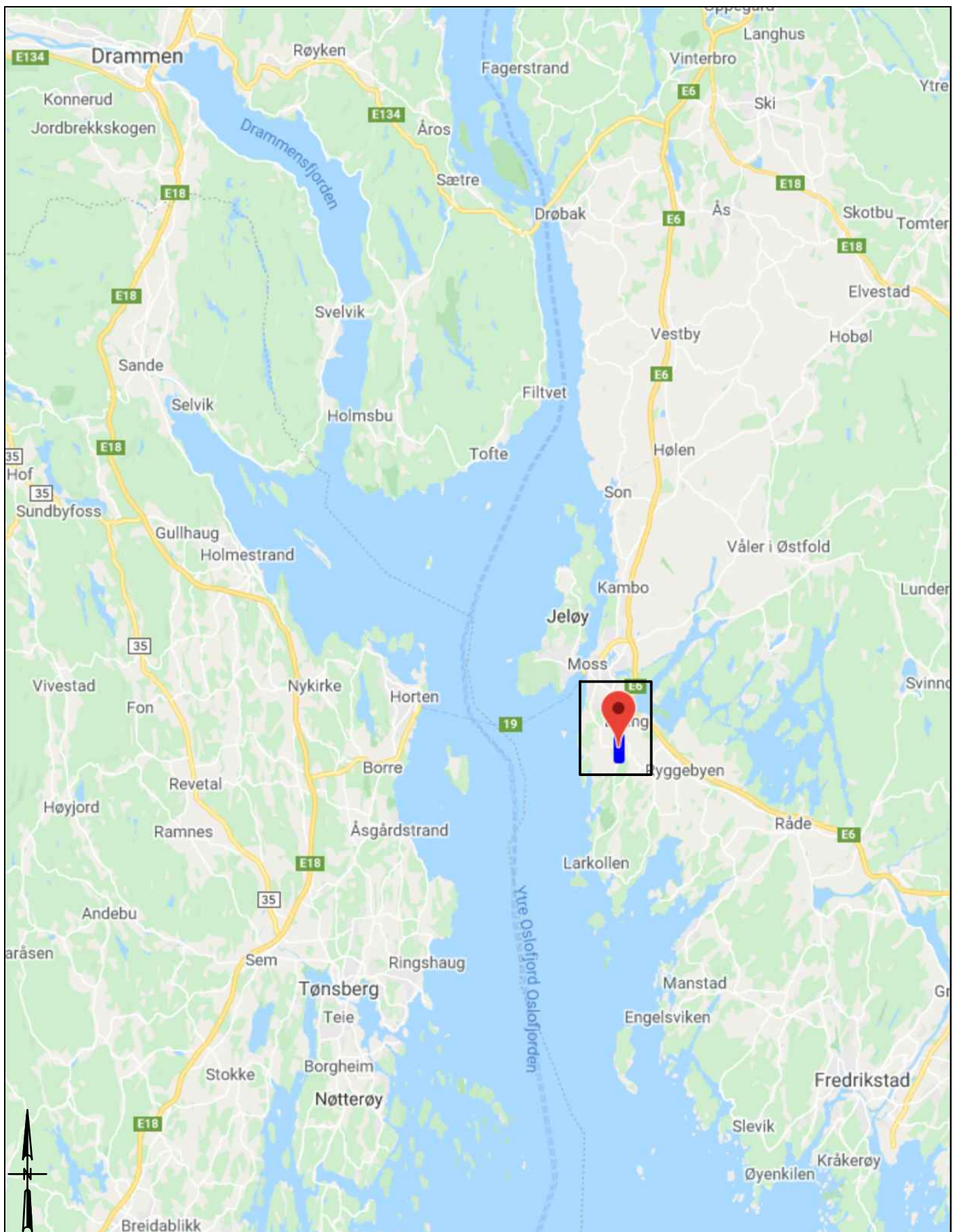
| Tegning | Nummer |
|-----------------------|--------|
| Oversiktskart | 1 |
| Borplan oversiktskart | 2 |
| Detaljert borplan | 3 |

| Vedlegg | Nummer |
|--|--------|
| Resultater fra feltundersøkelser | 1 |
| Resultater fra laboratorieundersøkelser | 2 |
| Resultater fra elektriske poretrykksmålere | 3 |
| Koordinat- og borpunktliste | 4 |
| CPTu kalibreringsskjema | 5 |

| Tillegg | Nummer |
|--------------------------------------|--------|
| Beskrivelse av Totalsonderinger | 1 |
| Beskrivelse av trykksondering (CPTu) | 3 |
| Forklaring av grunnvannstandsmåling | 4 |
| Beskrivelse av Løsmasseprofil | 5 |

Tegninger





TEGNFORKLARING



Undersøkelsesområde

| Revisjon | Revisjonen gjelder | Utarb | Kontr | Godkjent | Rev. dato |
|----------|--------------------|--------------------|---------------------|-----------------|------------------|
| | | | | | |
| | | Tegningsdato | 15.06.2021 | | |
| | | Bestiller | Viken fylkeskommune | | |
| | | Produsert av | COWI | | |
| | | Prosjektnummer | 30114 | | |
| | | Prosjektfasenummer | 30114r | | |
| | | Arkivreferanse | 2020/103614 | | |
| | | Målestokk A4 | IA | | |
| | | Koordinatsystem | EUREF89NTM/NN2000 | | |
| | | Uarbeidet av | Kontrahert av | Godkjent av | Konsulentarkiv |
| LAAN | AEPN | CBNI | | A116326/A228076 | revisjonsbokstav |
| | | | | | T1 |



Fv. 119 Gs-veg Dilling - Vang Gang- og sykkelveg
GeofTekniske grunnundersøkelsjer
Oversiktskart

Larkollveien og Klosterveien
Reguleringsplan



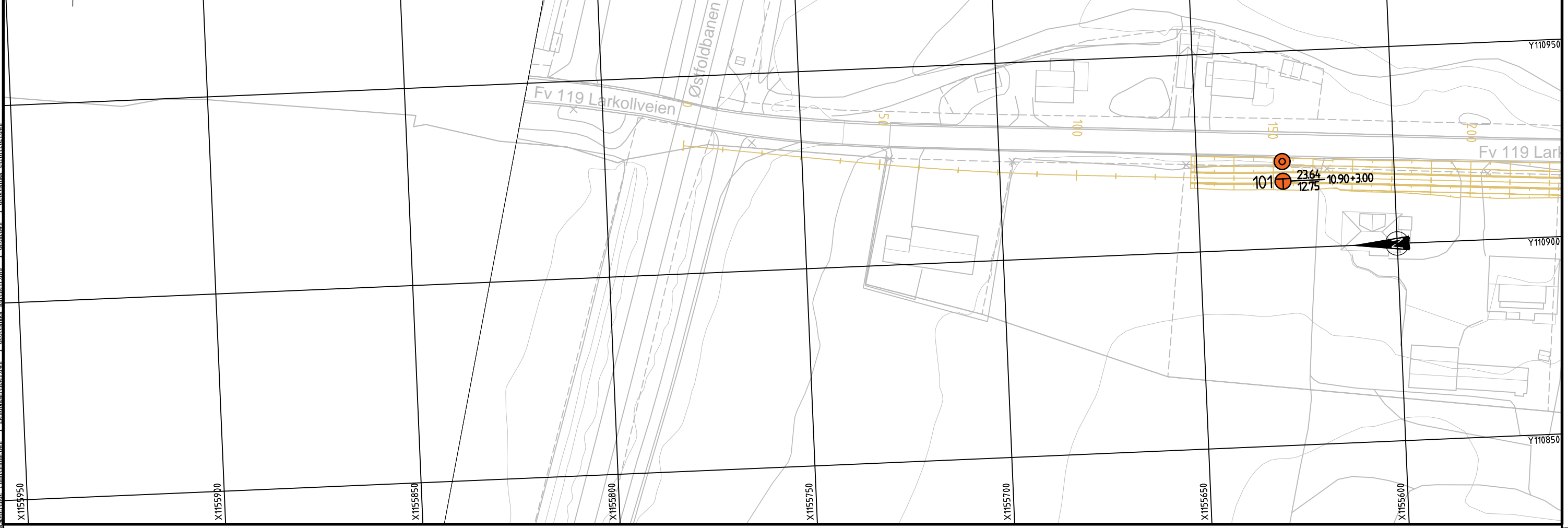
| | | |
|------------------------|--|---|
| TEGNFORKLARING: | <input type="checkbox"/> Borplan 1 - 6 | <input type="checkbox"/> Detaljerte borplaner vises i tegning 3 |
| | | |
| | | |
| | | |
| | | |

Borplan 1

Xref: T Kart SOSI FRB NTMdwg T Geoteknikk Bristeneste Plantning/dwg T Geoteknikk Rutnett/dwg T Geoteknikk Utfort 2021.dwg

Format: A1 Elinav: 0-A15000-A16326.CAD:3.7 Temmier,Plantdata\2d\Temmier-Vteam\T3_borplan.T3 datatromt.dwg

Plot: BW 06.04.2022 11:01:07

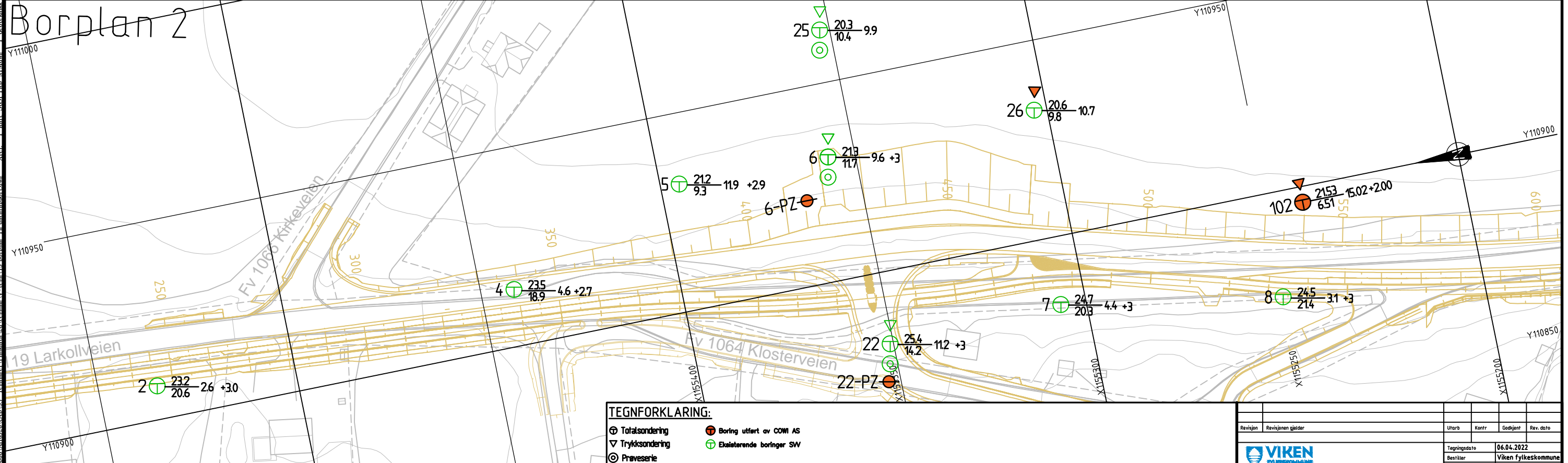


Borplan 2

Xref: T Kart SOSI FRB NTMdwg T Geoteknikk Bristeneste Plantning/dwg T Geoteknikk Rutnett/dwg

Format: A1 Elinav: 0-A15000-A16326.CAD:3.7 Temmier,Plantdata\2d\Temmier-Vteam\T3_borplan.T3 datatromt.dwg

Plot: BW 06.04.2022 11:01:07

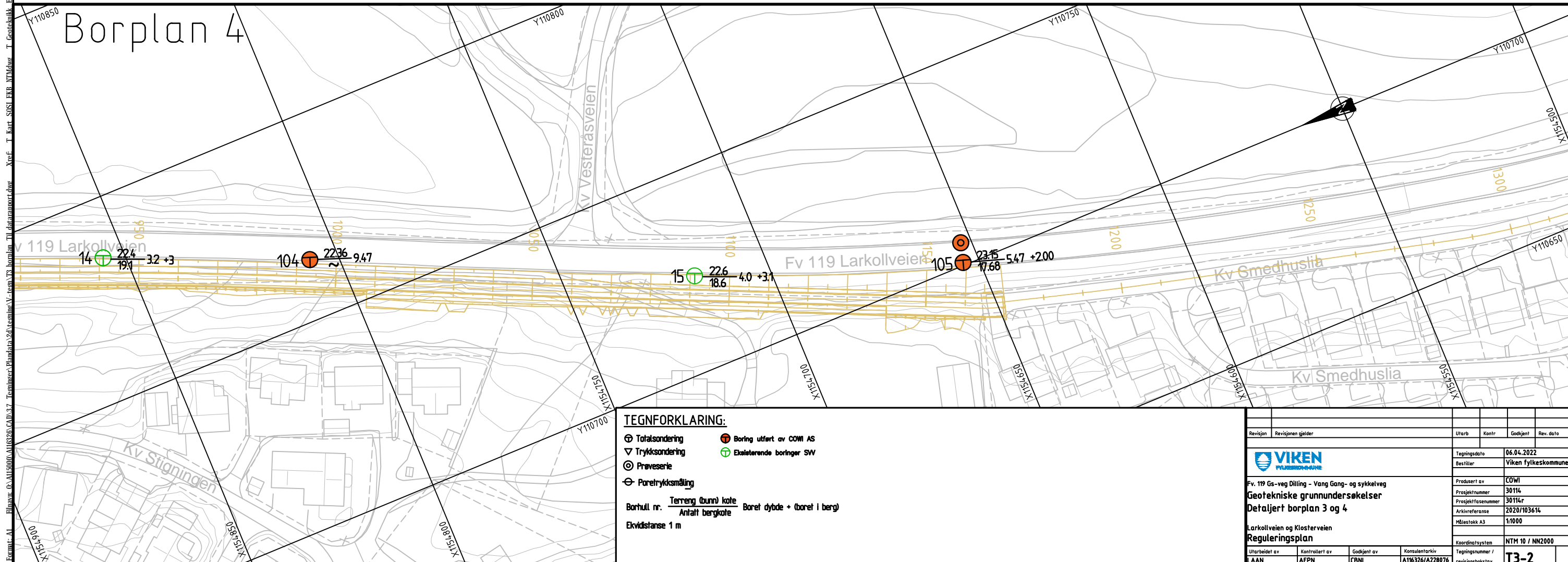
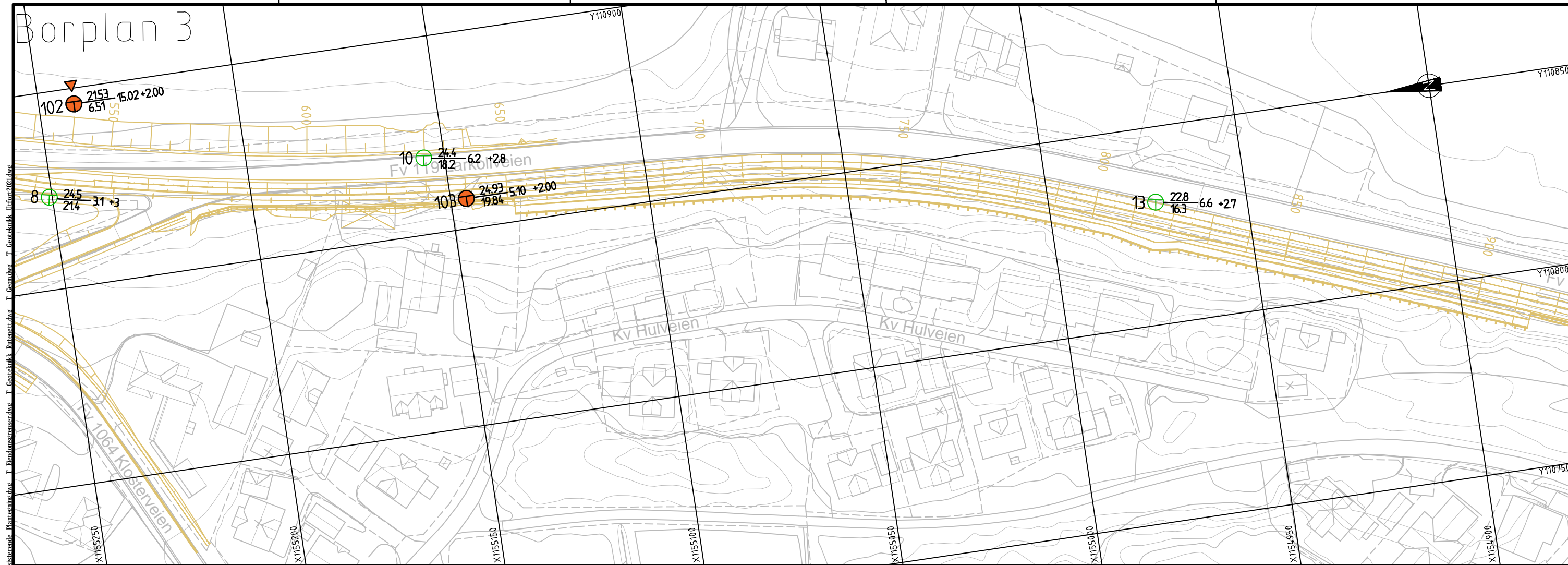


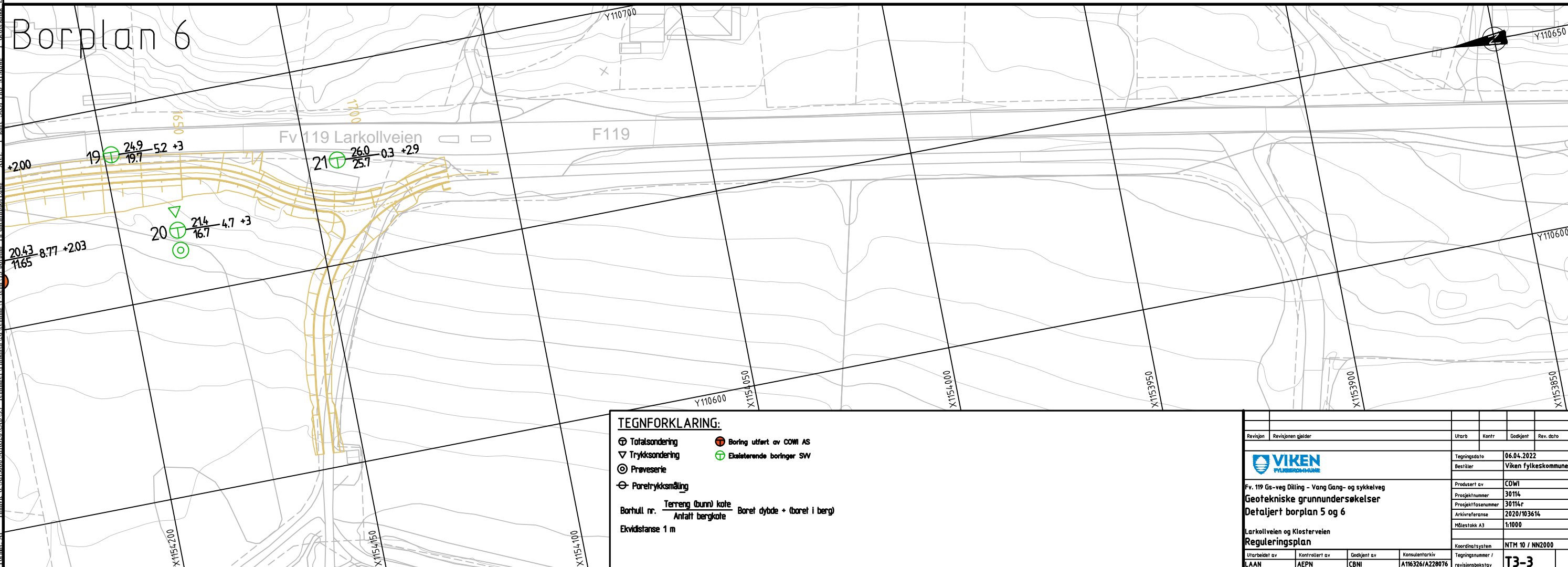
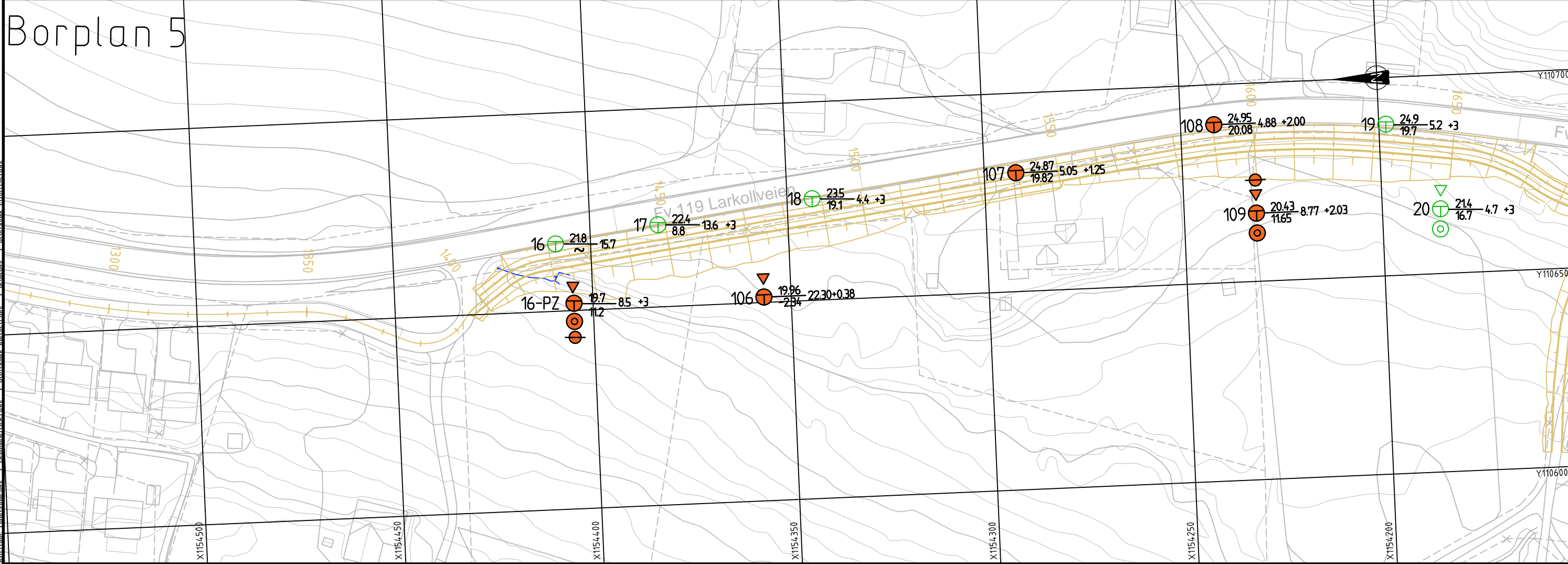
TEGNFORKLARING:

- ⊕ Totalsondering
- ▽ Trykksondering
- ◎ Prøveserie
- ⊖ Poretrykksmåling
- Borhull nr. $\frac{\text{Terrain (bunn) kote}}{\text{Anfall bergkote}}$ Boref dybde + (boref i berg)
- Ekvidistanse 1 m

- Boring utført av COWI AS
- Eksterende boreringer SW

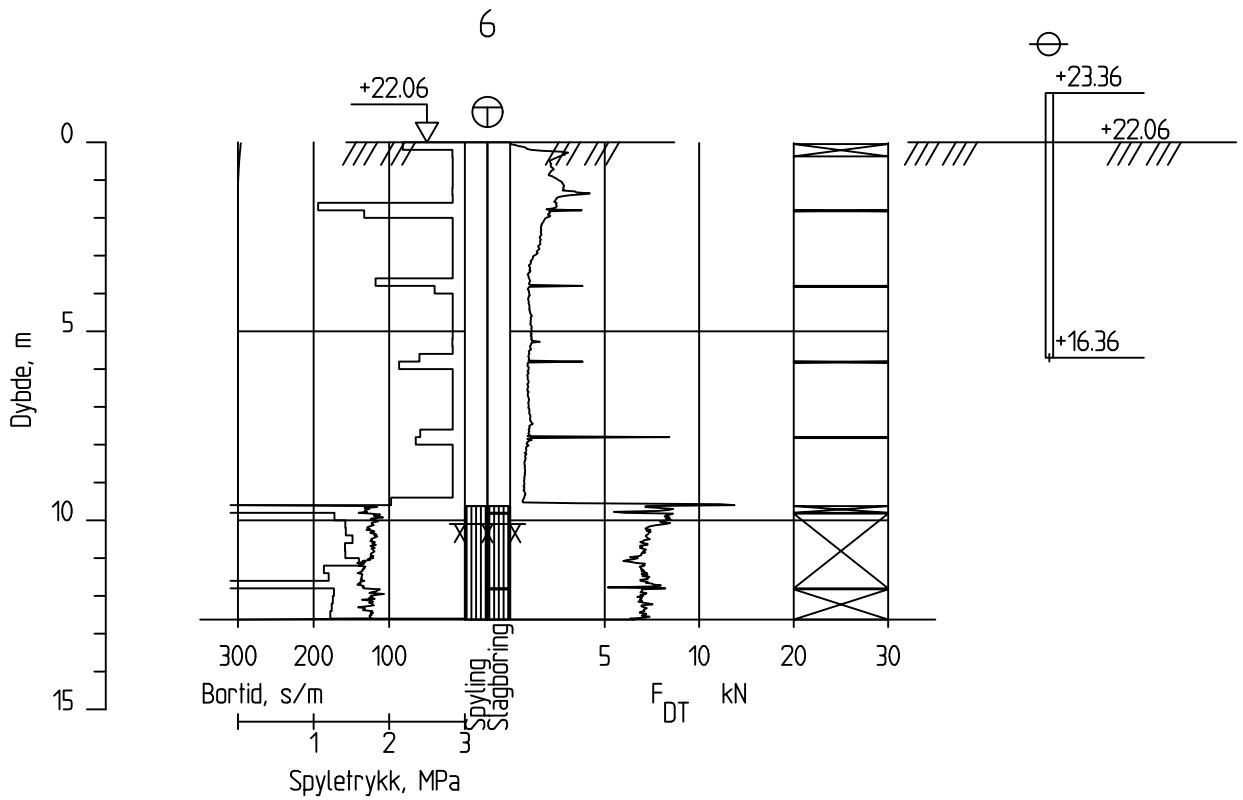
| Revisjon | Revisjonen gjelder | Utarb | Konfr | Godkjent | Rev. dato |
|--------------------------------------|---------------------|----------------|-------|-------------|-----------|
| | | | | | |
| VIKEN Fylkeskommune | | | | | |
| Tegningsdato | 06.04.2022 | | | | |
| Bestiller | Viken fylkeskommune | | | | |
| Produsert av | COWI | | | | |
| Prosjektnummer | 30114 | | | | |
| Prosjektfasenummer | 30114r | | | | |
| Arkivreferanse | 2020/103614 | | | | |
| Målestokk A3 | 1:1000 | | | | |
| Koordinatsystem | NTM 10 / NN2000 | | | | |
| Tegningsnummer / revisionsbokstav | T3-1 | | | | |
| Uarbeidet av | LAAN | Kontrollert av | AEPN | Godkjent av | CBNI |
| | | | | | |
| | A116326/A228076 | | | | |





Vedlegg 1

Resultater fra feltundersøkeler

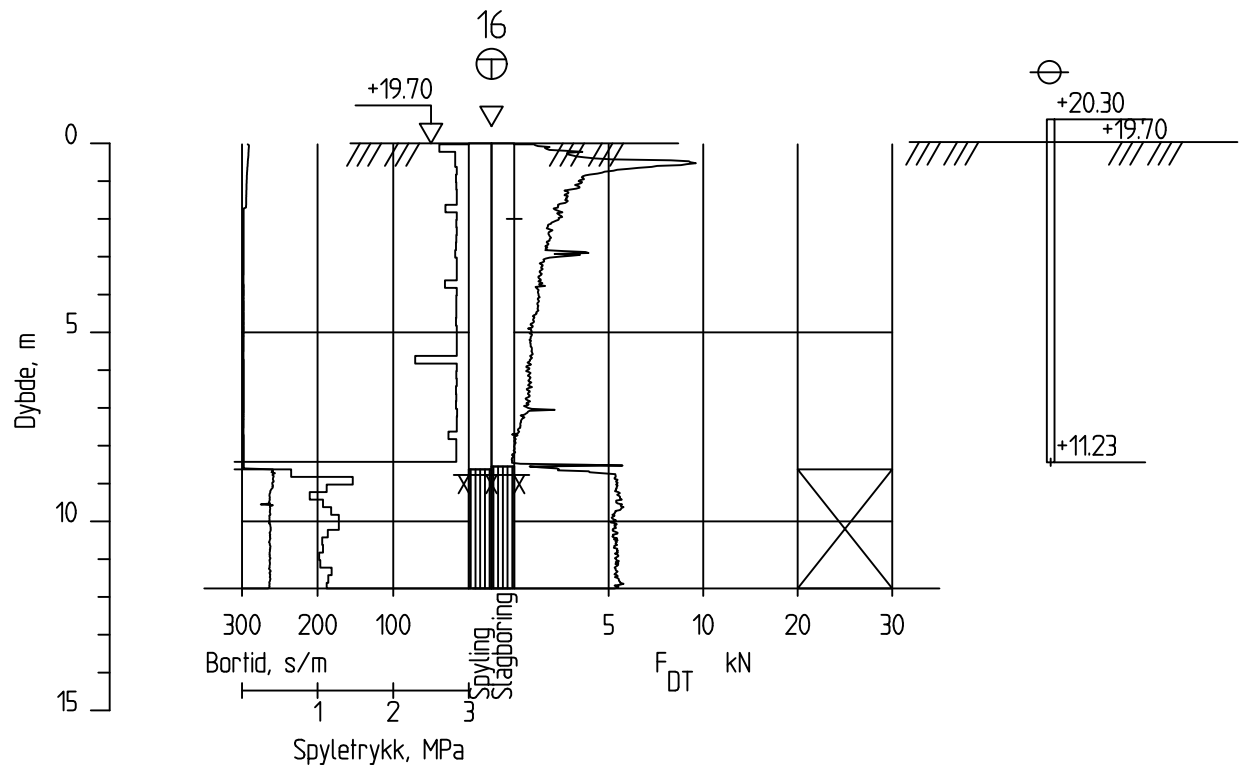


Dato boret :28.01.2020

Posisjon: X 1155359.09 Y 110921.52

| | | | |
|---|-------------------------------|-----------------------------|----------------|
| Totalsondering | Sonderingsnummer Borhull 6 | | |
| Fv 119 GS-veg Dilling-Vang Supplerende GU | Målestokk M = 1 : 200 | Godkjent HERK | |
| | Fag RIG | Kontrollert LAAN | |
| | Dato 01.06.2021 | Format A4 | Tegnet AEPN |
| | Oppdragsnummer A228076 | Tegningsnummer Borhull 6 | |

COWI



Dato boret :25.05.2021

Posisjon: X 1154404.79 Y 110651.82

| | | |
|---|--------------------------------|------------------------------|
| Totalsondering | Sonderingsnummer Borhull 16 | |
| Fv 119 GS-veg Dilling-Vang Supplerende GU | Målestokk M = 1 : 200 | Godkjent HERK |
| | Fag RIG | Kontrollert LAAN |
| | Dato 01.06.2021 | Format A4 |
| | Oppdragsnummer A228076 | Tegningsnummer Borhull 16 |

COWI

Sonde og utførelse

| | | | |
|------------------|---------------|---------------------------|------|
| Sonenummer | 4534 | Boreleder | ADKM |
| Type sonde | Nova | Temperaturendring (°C) | 3,5 |
| Kalibreringsdato | 07.10.2020 | Maks helning (°) | 2,8 |
| Dato sondering | 25.05.2021 | Maks avstand målinger (m) | 0,02 |
| Filtertype | Porøst filter | | |

Kalibreringsdata

| | Spissmotstand | Sidefriksjon | Poretrykk |
|--------------------------------------|---------------|--------------|-----------|
| Maksimal last (MPa) | 50 | 0,5 | 2 |
| Måleområde (MPa) | 50 | 0,5 | 2 |
| Skaleringsfaktor | 1681 | 3684 | 3658 |
| Oppløsning 2 ¹² bit (kPa) | - | - | - |
| Oppløsning 2 ¹⁸ bit (kPa) | 0,4539 | 0,0104 | 0,0209 |
| Arealforhold | 0,8630 | 0,0000 | |
| Maks ubelastet temp. effekt (kPa) | 10,886 | 0,289 | 1,917 |
| Temperaturområde (°C) | 35 | | |

Nullpunktsskontroll

| | NA | NB | NC |
|----------------------------------|--------|-------|-------|
| Registrert før sondering (kPa) | 5628,9 | 127,0 | 253,9 |
| Registrert etter sondering (kPa) | 3,7 | 0,1 | -0,9 |
| Avvik under sondering(kPa) | 3,7 | 0,1 | 0,9 |
| Maksimal temperatureffekt (kPa) | 1,1 | 0,0 | 0,2 |
| Maksverdi under sondering (kPa) | 2132,0 | 37,0 | 445,1 |

Vurdering av anvendelsesklasse ihht. ISO 22476-1:2012

| | Spissmotstand | | Sidefriksjon | | Poretrykk | |
|---------------------------------|---------------|------------|--------------|------------|------------|------------|
| | (kPa) | (%) | (kPa) | (%) | (kPa) | (%) |
| Samlet nøyaktighet (kPa) | 5,2 | 0,2 | 0,1 | 0,4 | 1,1 | 0,2 |
| Tillatt nøyaktighet klasse 1 | 35 | 5 | 5 | 10 | 10 | 2 |
| Tillatt nøyaktighet klasse 2 | 100 | 5 | 15 | 15 | 25 | 3 |
| Tillatt nøyaktighet klasse 3 | 200 | 5 | 25 | 15 | 50 | 5 |
| Tillatt nøyaktighet klasse 4 | 500 | 5 | 50 | 20 | | |
| Anvendelsesklasse | 1 | 1 | 1 | 1 | 1 | 1 |
| Anvendelsesklasse måleintervall | 1 | | | | | |
| Anvendelsesklasse | 1 | | | | | |

Måleverdier under kapasitet/krav

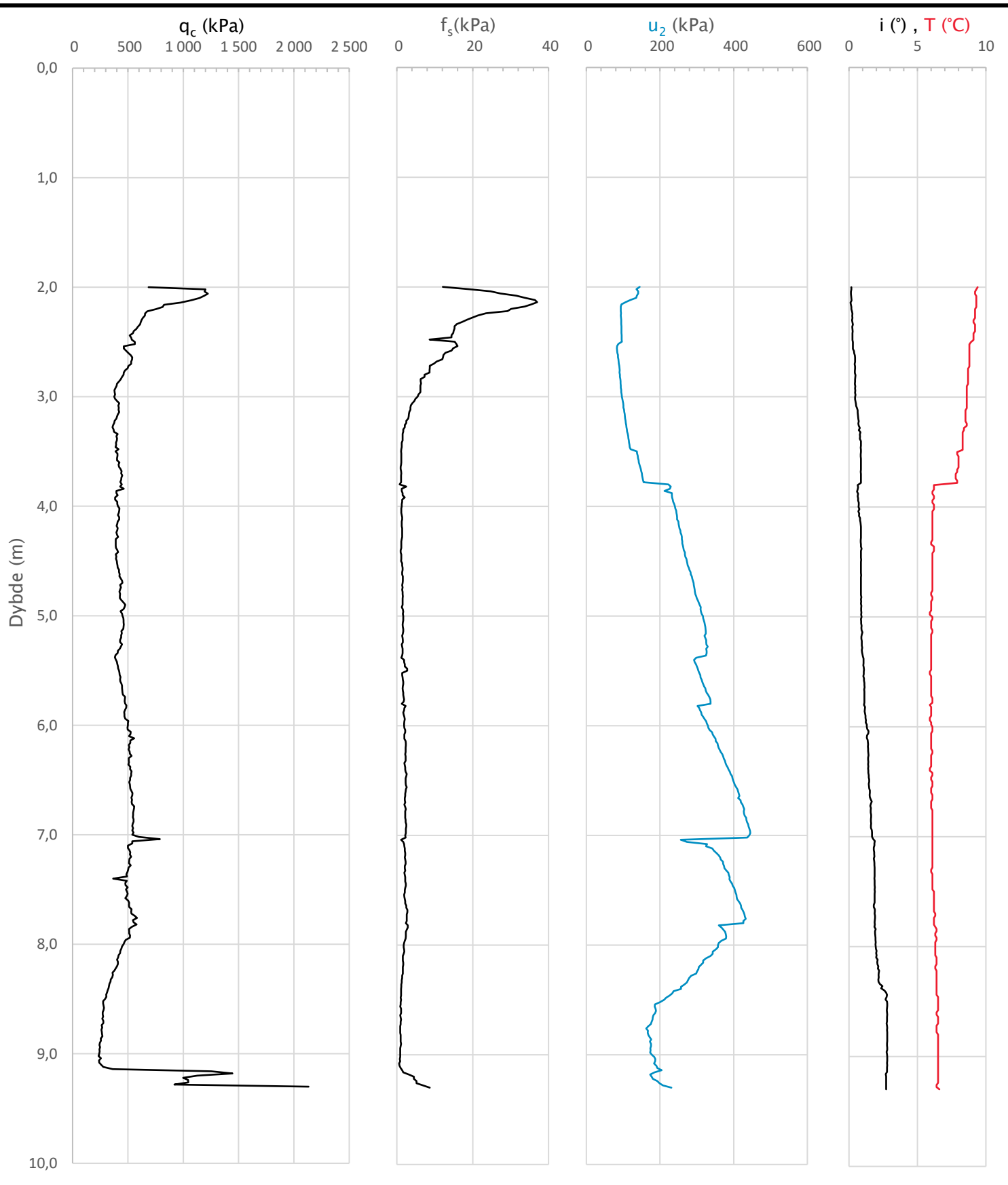
| Spissmotstand | Sidefriksjon | Poretrykk | Helning | Temperatur |
|---------------|--------------|-----------|---------|------------|
| OK | OK | OK | OK | OK |

Kommentarer:

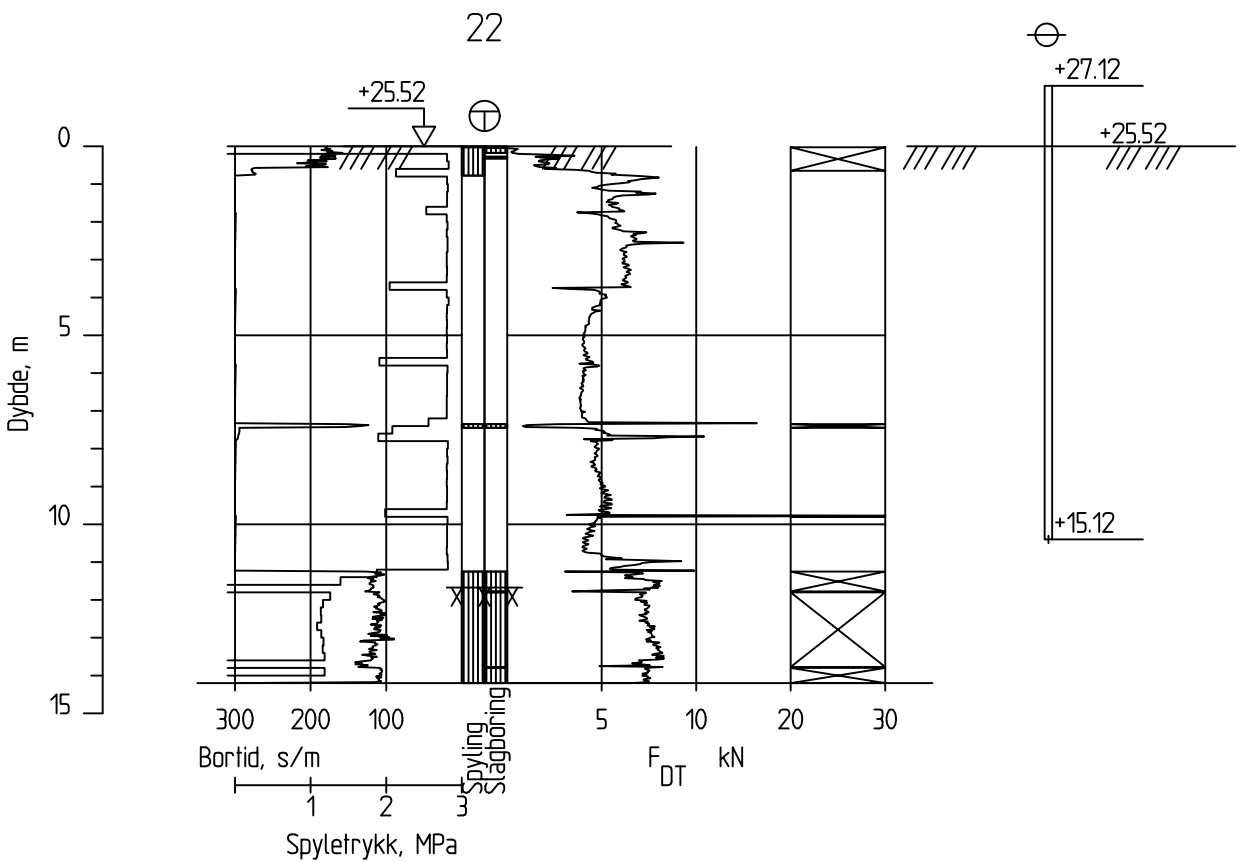
| | | | |
|---|--|---------|------------|
| Prosjekt | Prosjektnummer: A228076 Rapportnummer: A228076-RAP-RIG-001 | Borhull | Kote +19,7 |
| Fv 119 GS-veg Dilling–Vang Supplerende GU | | | 16 |

| | |
|--|-------------|
| Innhold | Sondenummer |
| Dokumentasjon av utstyr og målenøyaktighet | 4534 |

| | | | | |
|-------------|-------------------------|------------------------------|-----------------------|--------------------|
| COWI | Utført AEPN | Kontrollert LAAN | Godkjent MHHH | Anvend.klasse 1 |
| | Divisjon Geo og felt | Dato sondering 25.05.2021 | Revisjon Rev. dato | Figur 16-CPT-1 |



| | | | |
|--|--|------------------------------|--------------------------|
| Prosjekt Fv 119 GS-veg Dilling-Vang Supplerende GU | Prosjektnummer: A228076 Rapportnummer: A228076-RAP-RIG-001 | Borhull 16 | Kote +19,7 |
| Innhold Måledata og korrigerte måleverdier | Sondenummer 4534 | | |
| COWI | Utført AEPN | Kontrollert LAAN | Godkjent MHHH |
| | Divisjon Geo og felt | Dato sondering 25.05.2021 | Anvend.klasse 1 |
| | | Revisjon Rev. dato | Figur 16-CPT-2 |

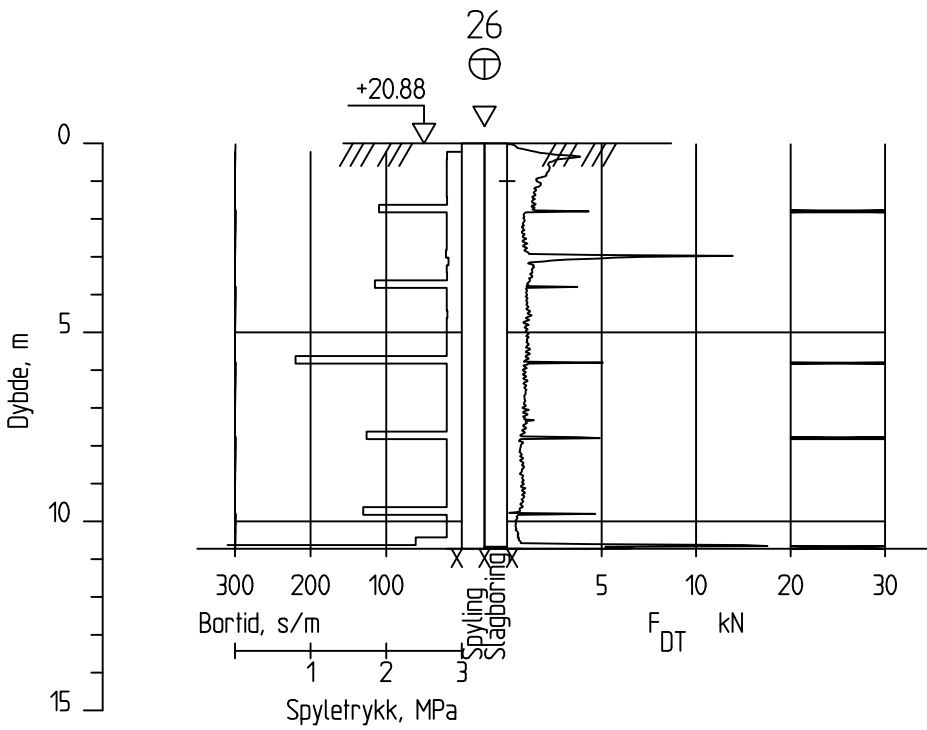


Dato boret :28.01.2020

Posisjon: X 1155350.79 Y 110881.75

| | | | |
|---|--------------------------------|------------------------------|----------------|
| Totalsondering | Sonderingsnummer Borhull 22 | | |
| Fv 119 GS-veg Dilling-Vang Supplerende GU | Målestokk M = 1 : 200 | Godkjent HERK | |
| | Fag RIG | Kontrollert LAAN | |
| | Dato 01.06.2021 | Format A4 | Tegnet AEPN |
| | Oppdragsnummer A228076 | Tegningsnummer Borhull 22 | |

COWI



Dato boret :26.05.2021

Posisjon: X 1155304.18 Y 110928.90

| | | | |
|---|--------------------------------|------------------------------|----------------|
| Totalsondering | Sonderingsnummer Borhull 26 | | |
| Fv 119 GS-veg Dilling-Vang Supplerende GU | Målestokk M = 1 : 200 | Godkjent HERK | |
| | Fag RIG | Kontrollert LAAN | |
| | Dato 01.06.2021 | Format A4 | Tegnet AEPN |
| | Oppdragsnummer A228076 | Tegningsnummer Borhull 26 | |

COWI

Sonde og utførelse

| | | | |
|------------------|---------------|---------------------------|------|
| Sonenummer | 4534 | Boreleder | ADKM |
| Type sonde | Nova | Temperaturendring (°C) | 5,5 |
| Kalibreringsdato | 07.10.2020 | Maks helning (°) | 7,3 |
| Dato sondering | 26.05.2021 | Maks avstand målinger (m) | 0,02 |
| Filtertype | Porøst filter | | |

Kalibreringsdata

| | Spissmotstand | Sidefriksjon | Poretrykk |
|--------------------------------------|---------------|--------------|-----------|
| Maksimal last (MPa) | 50 | 0,5 | 2 |
| Måleområde (MPa) | 50 | 0,5 | 2 |
| Skaleringsfaktor | 1681 | 3684 | 3658 |
| Oppløsning 2 ¹² bit (kPa) | - | - | - |
| Oppløsning 2 ¹⁸ bit (kPa) | 0,4539 | 0,0104 | 0,0209 |
| Arealforhold | 0,8630 | 0,0000 | |
| Maks ubelastet temp. effekt (kPa) | 10,886 | 0,289 | 1,917 |
| Temperaturområde (°C) | 35 | | |

Nullpunktsskontroll

| | NA | NB | NC |
|----------------------------------|--------|-------|-------|
| Registrert før sondering (kPa) | 5638,9 | 126,9 | 254,3 |
| Registrert etter sondering (kPa) | -3,1 | 0,1 | -1,4 |
| Avvik under sondering(kPa) | 3,1 | 0,1 | 1,4 |
| Maksimal temperatureffekt (kPa) | 1,7 | 0,0 | 0,3 |
| Maksverdi under sondering (kPa) | 5669,0 | 17,0 | 294,4 |

Vurdering av anvendelsesklasse ihht. ISO 22476-1:2012

| | Spissmotstand | | Sidefriksjon | | Poretrykk | |
|---------------------------------|---------------|------------|--------------|------------|------------|------------|
| | (kPa) | (%) | (kPa) | (%) | (kPa) | (%) |
| Samlet nøyaktighet (kPa) | 5,3 | 0,1 | 0,2 | 0,9 | 1,7 | 0,6 |
| Tillatt nøyaktighet klasse 1 | 35 | 5 | 5 | 10 | 10 | 2 |
| Tillatt nøyaktighet klasse 2 | 100 | 5 | 15 | 15 | 25 | 3 |
| Tillatt nøyaktighet klasse 3 | 200 | 5 | 25 | 15 | 50 | 5 |
| Tillatt nøyaktighet klasse 4 | 500 | 5 | 50 | 20 | | |
| Anvendelsesklasse | 1 | 1 | 1 | 1 | 1 | 1 |
| Anvendelsesklasse måleintervall | 1 | | | | | |
| Anvendelsesklasse | 1 | | | | | |

Måleverdier under kapasitet/krav

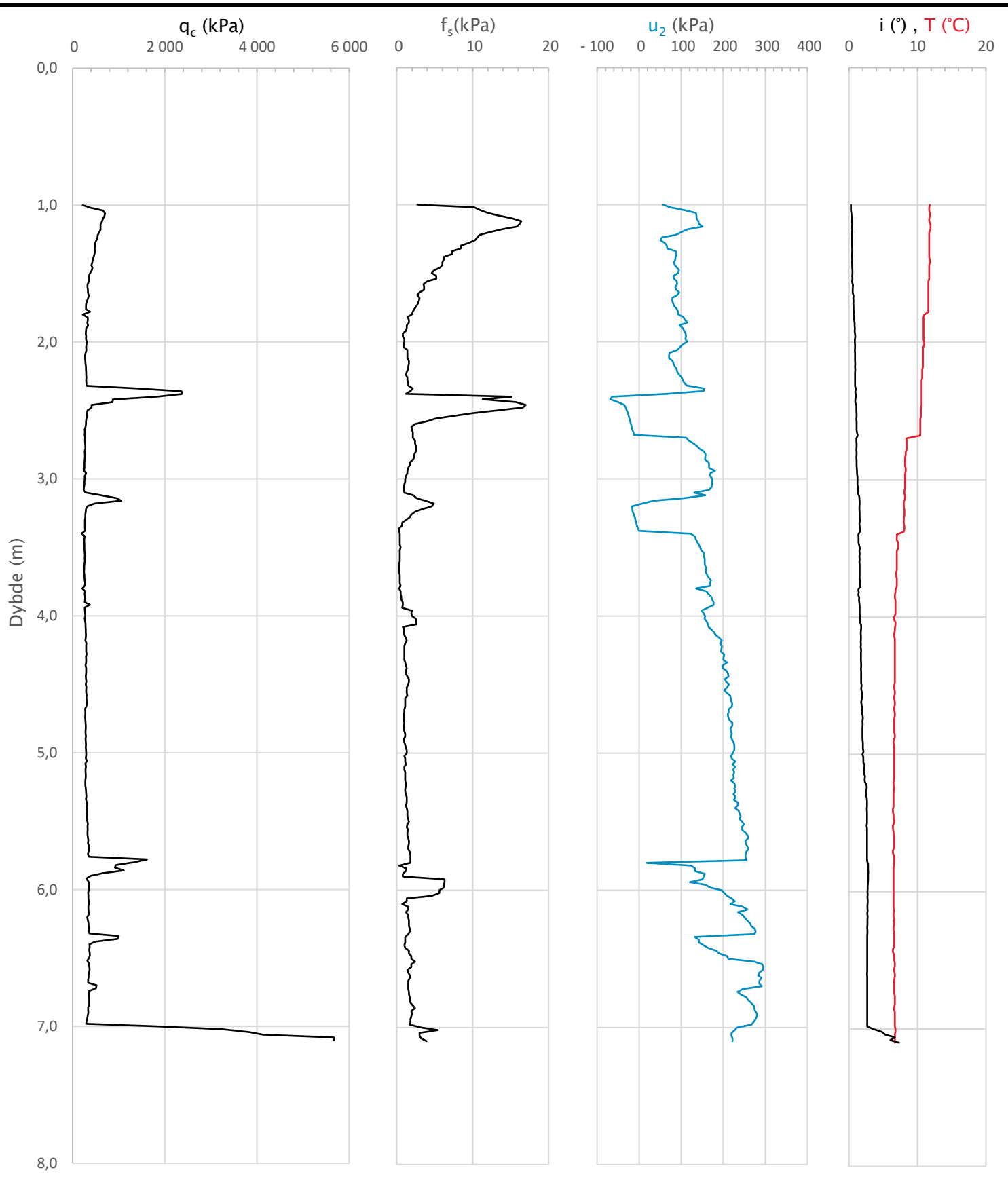
| Spissmotstand | Sidefriksjon | Poretrykk | Helning | Temperatur |
|---------------|--------------|-----------|---------|------------|
| OK | OK | OK | OK | OK |

Kommentarer:

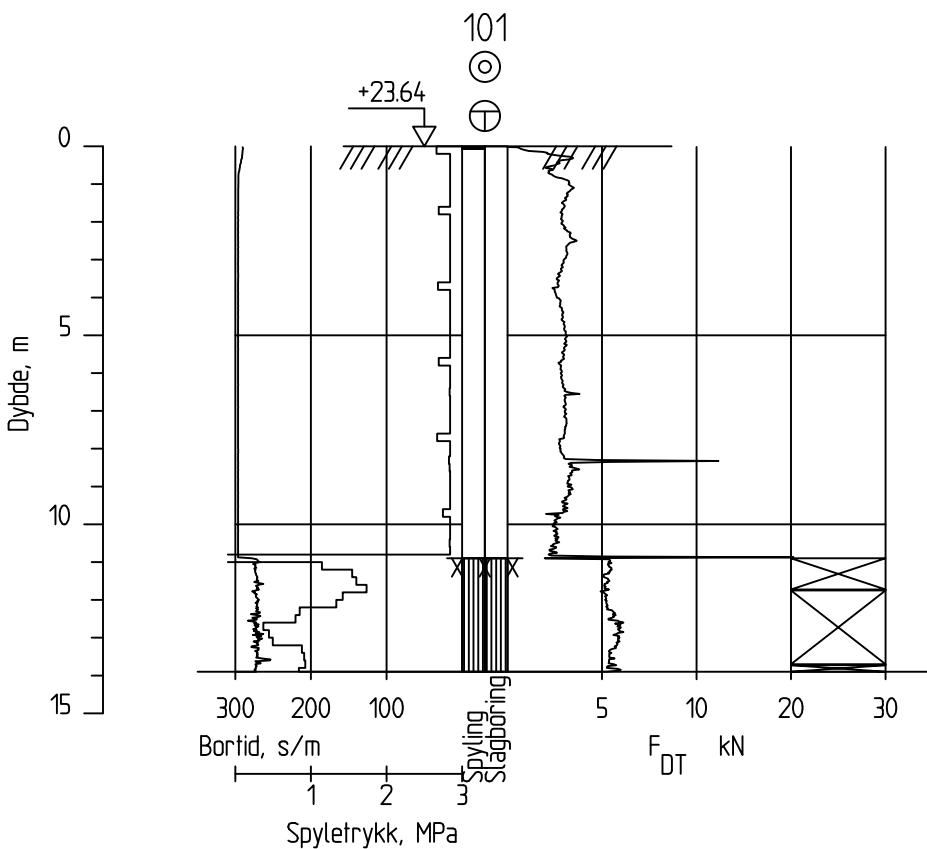
| | | | |
|---|--|---------|-------------|
| Prosjekt | Prosjektnummer: A228076 Rapportnummer: A228076-RAP-RIG-001 | Borhull | Kote +20,88 |
| Fv 119 GS-veg Dilling–Vang Supplerende GU | | | 26 |

| | |
|--|-------------|
| Innhold | Sondenummer |
| Dokumentasjon av utstyr og målenøyaktighet | 4534 |

| | | | | |
|-------------|-------------------------|------------------------------|-----------------------|--------------------|
| COWI | Utført AEPN | Kontrollert LAAN | Godkjent MHHH | Anvend.klasse 1 |
| | Divisjon Geo og felt | Dato sondering 26.05.2021 | Revisjon Rev. dato | Figur 26-CPT-1 |



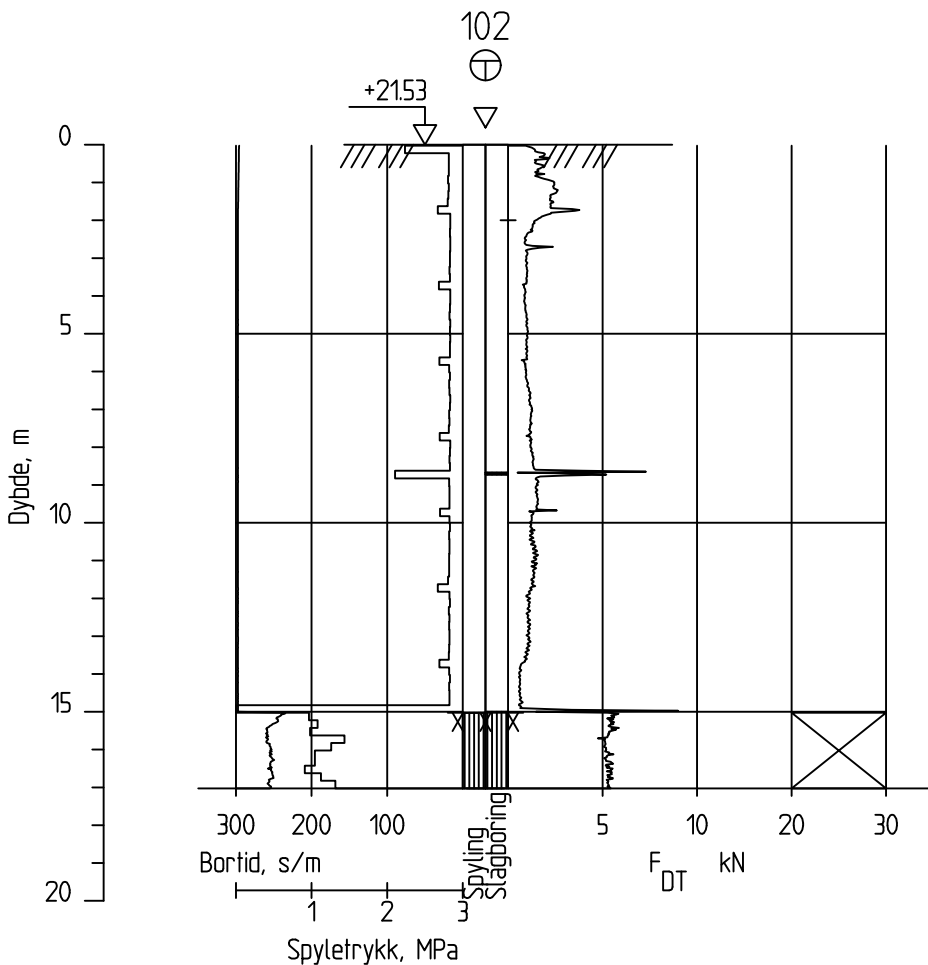
| | | | |
|--|--|------------------------------|---------------------------|
| Prosjekt Fv 119 GS-veg Dilling-Vang Supplerende GU | Prosjektnummer: A228076 Rapportnummer: A228076-RAP-RIG-001 | Borhull 26 | Kote +20,88 |
| Innhold Måledata og korrigerte måleverdier | Sondenummer 4534 | | |
| COWI | Utført AEPN | Kontrollert LAAN | Godkjent MHHH |
| | Divisjon Geo og felt | Dato sondering 26.05.2021 | Revisjon Rev. dato |
| | | | Anvend.klasse 1 |
| | | | Figur 26-CPT-2 |



Dato boret :18.05.2021

Posisjon: X 1155628.26 Y 110917.02

| | | |
|---|---------------------------------|------------------------|
| Totalsondering | Sonderingsnummer Borhull 101 | |
| Fv 119 GS-veg Dilling-Vang Supplerende GU | Målestokk M = 1 : 200 | Godkjent HERK |
| | Fag RIG | Kontrollert LAAN |
| | Dato 01.06.2021 | Format A4 |
| | Oppdragsnummer A228076 | Tegningsnummer AEPN |
| COWI | | Borhull 101 |



Dato boret :26.05.2021

Posisjon: X 1155241.38 Y 110895.66

| | | |
|---|---------------------------------|-------------------------------|
| Totalsondering | Sonderingsnummer Borhull 102 | |
| Fv 119 GS-veg Dilling-Vang Supplerende GU | Målestokk M = 1 : 200 | Godkjent HERK |
| | Fag RIG | Kontrollert LAAN |
| | Dato 01.06.2021 | Format A4 |
| | Oppdragsnummer A228076 | Tegningsnummer Borhull 102 |

COWI

Sonde og utførelse

| | | | |
|------------------|---------------|---------------------------|------|
| Sonenummer | 4534 | Boreleder | ADKM |
| Type sonde | Nova | Temperaturendring (°C) | 4,1 |
| Kalibreringsdato | 07.10.2020 | Maks helning (°) | 7,9 |
| Dato sondering | 26.05.2021 | Maks avstand målinger (m) | 0,02 |
| Filtertype | Porøst filter | | |

Kalibreringsdata

| | Spissmotstand | Sidefriksjon | Poretrykk |
|--------------------------------------|---------------|--------------|-----------|
| Maksimal last (MPa) | 50 | 0,5 | 2 |
| Måleområde (MPa) | 50 | 0,5 | 2 |
| Skaleringsfaktor | 1681 | 3684 | 3658 |
| Oppløsning 2 ¹² bit (kPa) | - | - | - |
| Oppløsning 2 ¹⁸ bit (kPa) | 0,4539 | 0,0104 | 0,0209 |
| Arealforhold | 0,8630 | 0,0000 | |
| Maks ubelastet temp. effekt (kPa) | 10,886 | 0,289 | 1,917 |
| Temperaturområde (°C) | 35 | | |

Nullpunktsskontroll

| | NA | NB | NC |
|----------------------------------|--------|-------|-------|
| Registrert før sondering (kPa) | 5640,3 | 126,9 | 253,3 |
| Registrert etter sondering (kPa) | -2,3 | 0,1 | 0,2 |
| Avvik under sondering(kPa) | 2,3 | 0,1 | 0,2 |
| Maksimal temperatureffekt (kPa) | 1,3 | 0,0 | 0,2 |
| Maksverdi under sondering (kPa) | 2210,9 | 35,6 | 554,1 |

Vurdering av anvendelsesklasse ihht. ISO 22476-1:2012

| | Spissmotstand | | Sidefriksjon | | Poretrykk | |
|---------------------------------|---------------|------------|--------------|------------|------------|------------|
| | (kPa) | (%) | (kPa) | (%) | (kPa) | (%) |
| Samlet nøyaktighet (kPa) | 4,0 | 0,2 | 0,1 | 0,4 | 0,4 | 0,1 |
| Tillatt nøyaktighet klasse 1 | 35 | 5 | 5 | 10 | 10 | 2 |
| Tillatt nøyaktighet klasse 2 | 100 | 5 | 15 | 15 | 25 | 3 |
| Tillatt nøyaktighet klasse 3 | 200 | 5 | 25 | 15 | 50 | 5 |
| Tillatt nøyaktighet klasse 4 | 500 | 5 | 50 | 20 | | |
| Anvendelsesklasse | 1 | 1 | 1 | 1 | 1 | 1 |
| Anvendelsesklasse måleintervall | 1 | | | | | |
| Anvendelsesklasse | 1 | | | | | |

Måleverdier under kapasitet/krav

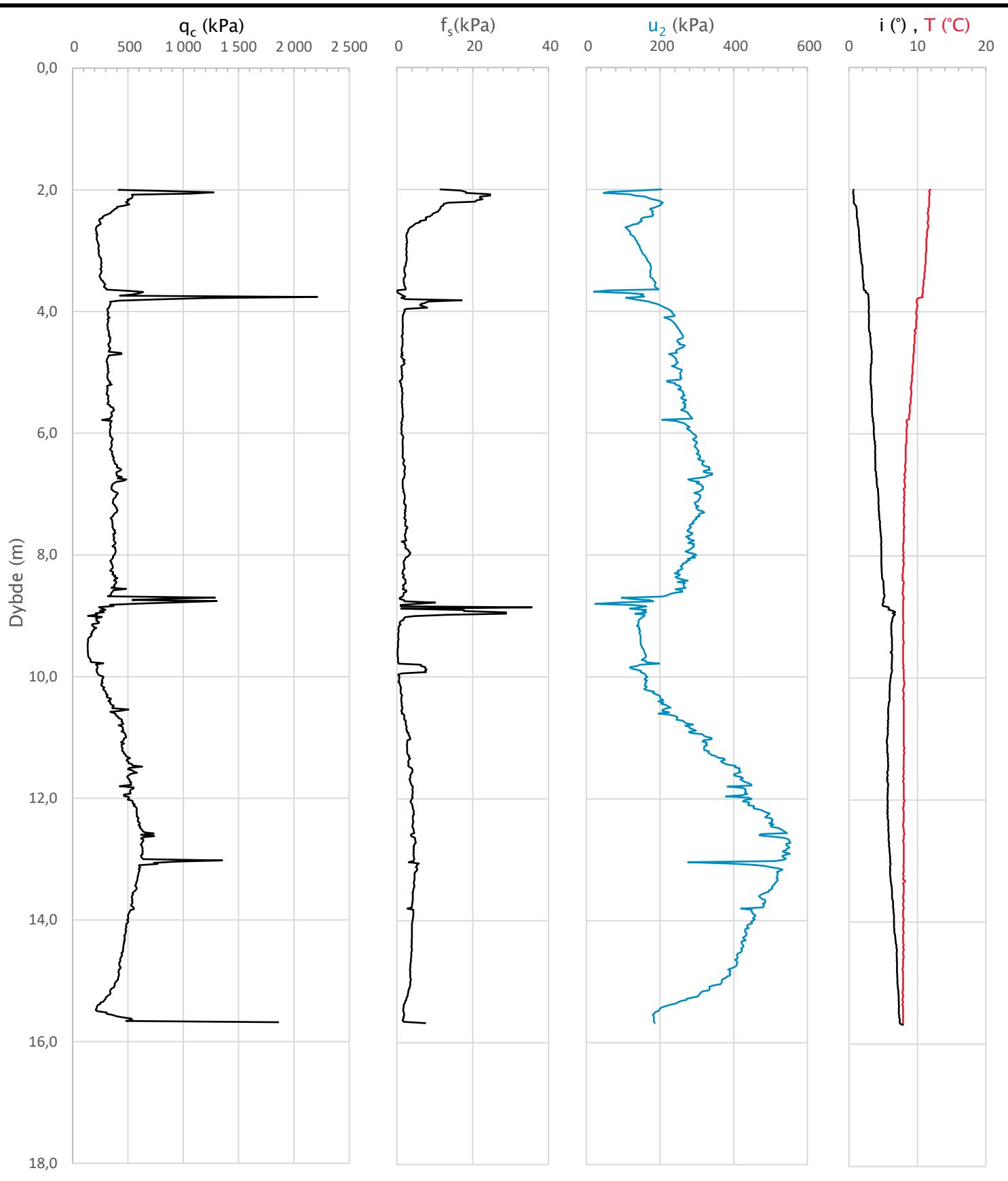
| Spissmotstand | Sidefriksjon | Poretrykk | Helning | Temperatur |
|---------------|--------------|-----------|---------|------------|
| OK | OK | OK | OK | OK |

Kommentarer:

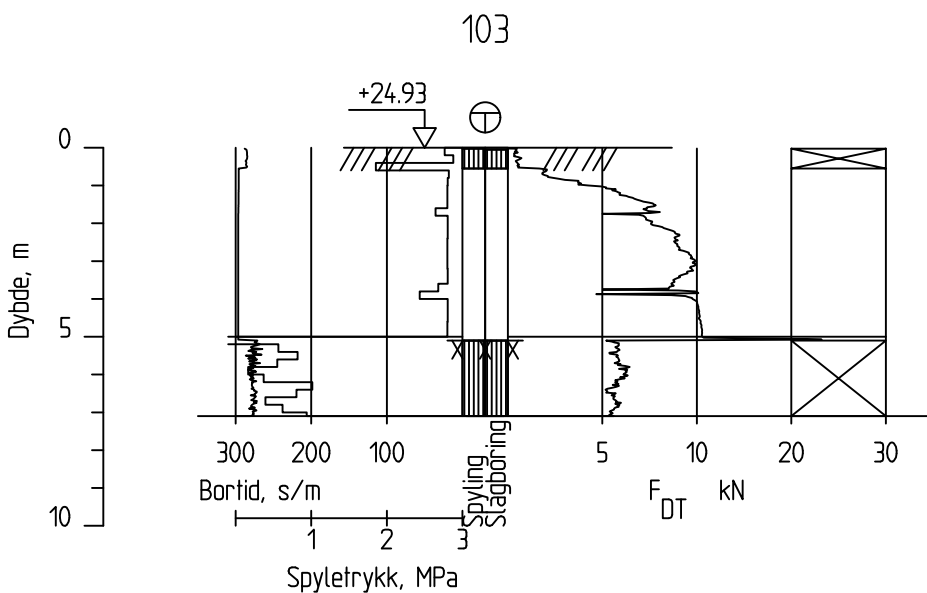
| | | | |
|---|--|---------|-------------|
| Prosjekt | Prosjektnummer: A228076 Rapportnummer: A228076-RAP-RIG-001 | Borhull | Kote +21,53 |
| Fv 119 GS-veg Dilling–Vang Supplerende GU | | | 102 |

| | |
|--|-------------|
| Innhold | Sondenummer |
| Dokumentasjon av utstyr og målenøyaktighet | 4534 |

| | | | | |
|-------------|-------------------------|------------------------------|-----------------------|--------------------|
| COWI | Utført AEPN | Kontrollert LAAN | Godkjent MHHH | Anvend.klasse 1 |
| | Divisjon Geo og felt | Dato sondering 26.05.2021 | Revisjon Rev. dato | Figur 102-CPT-1 |



| | | | |
|--|--|------------------------------|---------------------------|
| Prosjekt Fv 119 GS-veg Dilling-Vang Supplerende GU | Prosjektnummer: A228076 Rapportnummer: A228076-RAP-RIG-001 | Borhull 102 | Kote +21,53 |
| Innhold Måledata og korrigerte måleverdier | | Sondenummer 4534 | |
| COWI | Utført AEPN | Kontrollert LAAN | Godkjent MHHH |
| | Divisjon Geo og felt | Dato sondering 26.05.2021 | Revisjon Rev. dato |
| | | | Anvend.klasse 1 |
| | | | Figur 102-CPT-2 |

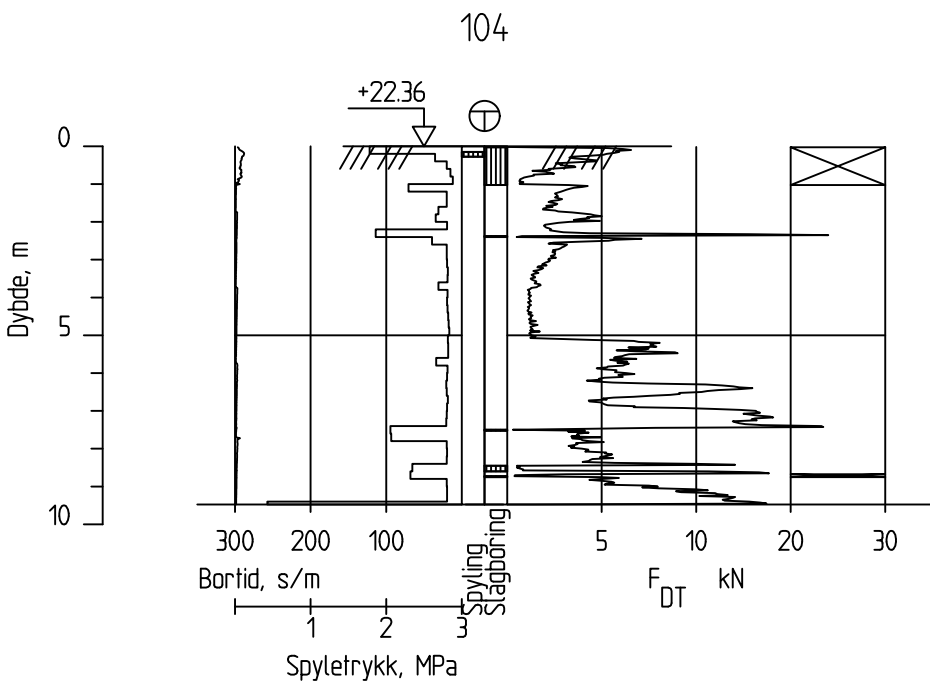


Dato boret :18.05.2021

Posisjon: X 1155146.01 Y 110857.61

| | | | |
|---|---------------------------------|-------------------------------|----------------|
| Totalsondering | Sonderingsnummer Borhull 103 | | |
| Fv 119 GS-veg Dilling-Vang Supplerende GU | Målestokk M = 1 : 200 | Godkjent HERK | |
| | Fag RIG | Kontrollert LAAN | |
| | Dato 01.06.2021 | Format A4 | Tegnet AEPN |
| | Oppdragsnummer A228076 | Tegningsnummer Borhull 103 | |

COWI

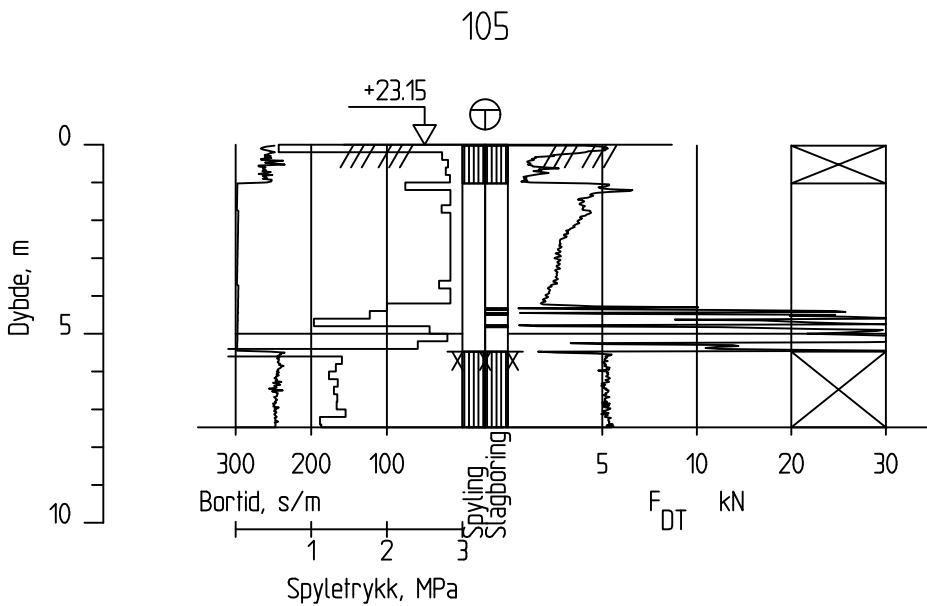


Dato boret :18.05.2021

Posisjon: X 1154807.00 Y 110764.78

| | | |
|---|---------------------------------|-------------------------------|
| Totalsondering | Sonderingsnummer Borhull 104 | |
| Fv 119 GS-veg Dilling-Vang Supplerende GU | Målestokk $M = 1 : 200$ | Godkjent HERK |
| | Fag RIG | Kontrollert LAAN |
| | Dato 01.06.2021 | Format A4 |
| | Oppdragsnummer A228076 | Tegningsnummer Borhull 104 |

COWI

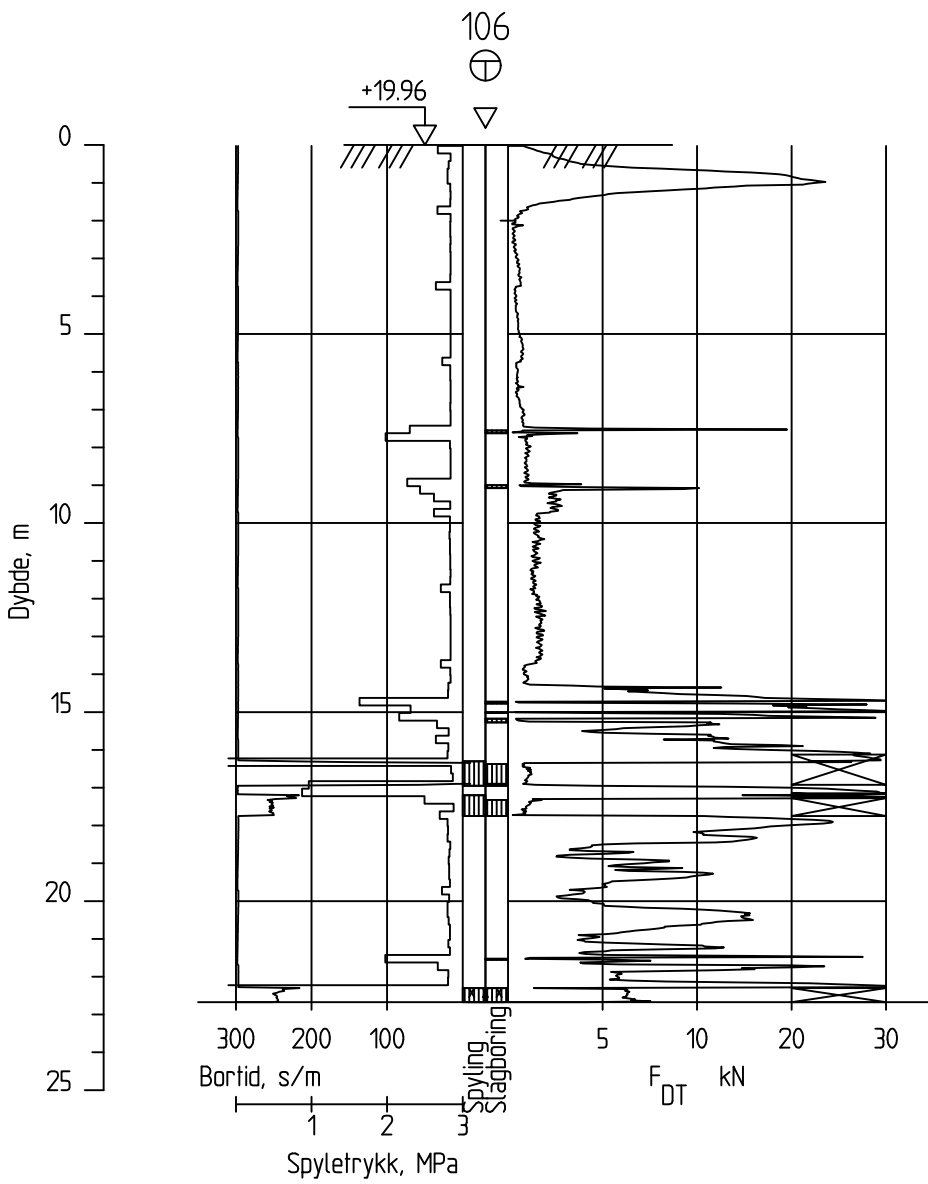


Dato boret :19.05.2021

Posisjon: X 1154653.95 Y 110700.74

| | | | |
|---|---------------------------------|-------------------------------|----------------|
| Totalsondering | Sonderingsnummer Borhull 105 | | |
| Fv 119 GS-veg Dilling-Vang Supplerende GU | Målestokk M = 1 : 200 | Godkjent HERK | |
| | Fag RIG | Kontrollert LAAN | |
| | Dato 01.06.2021 | Format A4 | Tegnet AEPN |
| | Oppdragsnummer A228076 | Tegningsnummer Borhull 105 | |

COWI



Dato boret :20.05.2021

Posisjon: X 1154356.82 Y 110651.34

| | | |
|---|---------------------------------|-------------------------------|
| Totalsondering | Sonderingsnummer Borhull 106 | |
| Fv 119 GS-veg Dilling-Vang Supplerende GU | Målestokk M = 1 : 200 | Godkjent HERK |
| | Fag RIG | Kontrollert LAAN |
| | Dato 01.06.2021 | Format A4 |
| | Oppdragsnummer A228076 | Tegningsnummer Borhull 106 |

COWI

Sonde og utførelse

| | | | |
|------------------|---------------|---------------------------|------|
| Sonenummer | 4534 | Boreleder | ADKM |
| Type sonde | Nova | Temperaturendring (°C) | 2,3 |
| Kalibreringsdato | 07.10.2020 | Maks helning (°) | 5,0 |
| Dato sondering | 20.05.2021 | Maks avstand målinger (m) | 0,02 |
| Filtertype | Porøst filter | | |

Kalibreringsdata

| | Spissmotstand | Sidefriksjon | Poretrykk |
|--------------------------------------|---------------|--------------|-----------|
| Maksimal last (MPa) | 50 | 0,5 | 2 |
| Måleområde (MPa) | 50 | 0,5 | 2 |
| Skaleringsfaktor | 1681 | 3684 | 3658 |
| Oppløsning 2 ¹² bit (kPa) | - | - | - |
| Oppløsning 2 ¹⁸ bit (kPa) | 0,4539 | 0,0104 | 0,0209 |
| Arealforhold | 0,8630 | 0,0000 | |
| Maks ubelastet temp. effekt (kPa) | 10,886 | 0,289 | 1,917 |
| Temperaturområde (°C) | 35 | | |

Nullpunktsskontroll

| | NA | NB | NC |
|----------------------------------|---------|-------|-------|
| Registrert før sondering (kPa) | 5618,0 | 127,2 | 253,2 |
| Registrert etter sondering (kPa) | 6,3 | -0,1 | -1,3 |
| Avvik under sondering(kPa) | 6,3 | 0,1 | 1,3 |
| Maksimal temperatureffekt (kPa) | 0,7 | 0,0 | 0,1 |
| Maksverdi under sondering (kPa) | 19154,2 | 73,6 | 577,9 |

Vurdering av anvendelsesklasse ihht. ISO 22476-1:2012

| | Spissmotstand | | Sidefriksjon | | Poretrykk | |
|---------------------------------|---------------|------------|--------------|------------|------------|------------|
| | (kPa) | (%) | (kPa) | (%) | (kPa) | (%) |
| Samlet nøyaktighet (kPa) | 7,5 | 0,0 | 0,1 | 0,2 | 1,4 | 0,3 |
| Tillatt nøyaktighet klasse 1 | 35 | 5 | 5 | 10 | 10 | 2 |
| Tillatt nøyaktighet klasse 2 | 100 | 5 | 15 | 15 | 25 | 3 |
| Tillatt nøyaktighet klasse 3 | 200 | 5 | 25 | 15 | 50 | 5 |
| Tillatt nøyaktighet klasse 4 | 500 | 5 | 50 | 20 | | |
| Anvendelsesklasse | 1 | 1 | 1 | 1 | 1 | 1 |
| Anvendelsesklasse måleintervall | 1 | | | | | |
| Anvendelsesklasse | 1 | | | | | |

Måleverdier under kapasitet/krav

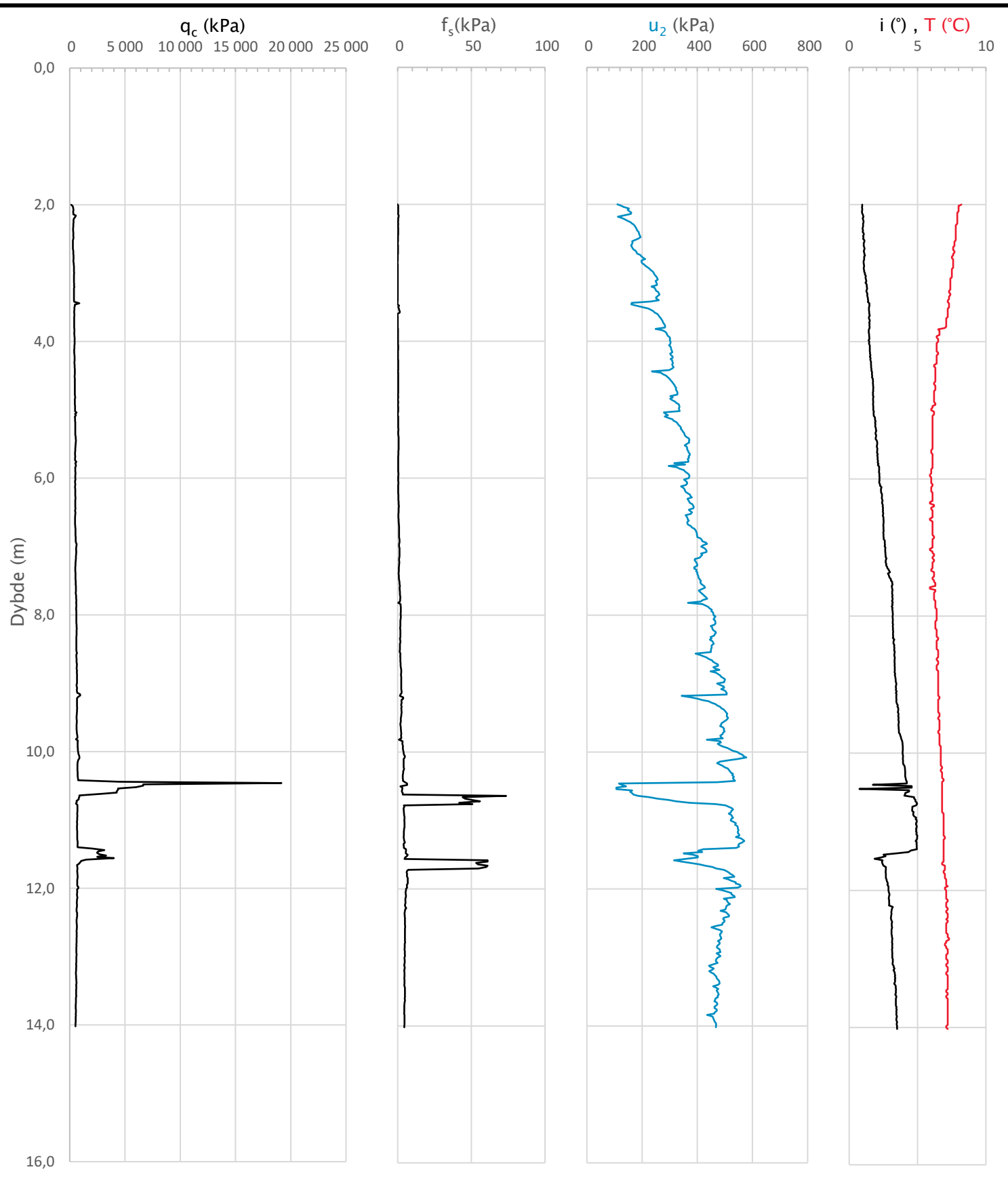
| Spissmotstand | Sidefriksjon | Poretrykk | Helning | Temperatur |
|---------------|--------------|-----------|---------|------------|
| OK | OK | OK | OK | OK |

Kommentarer:

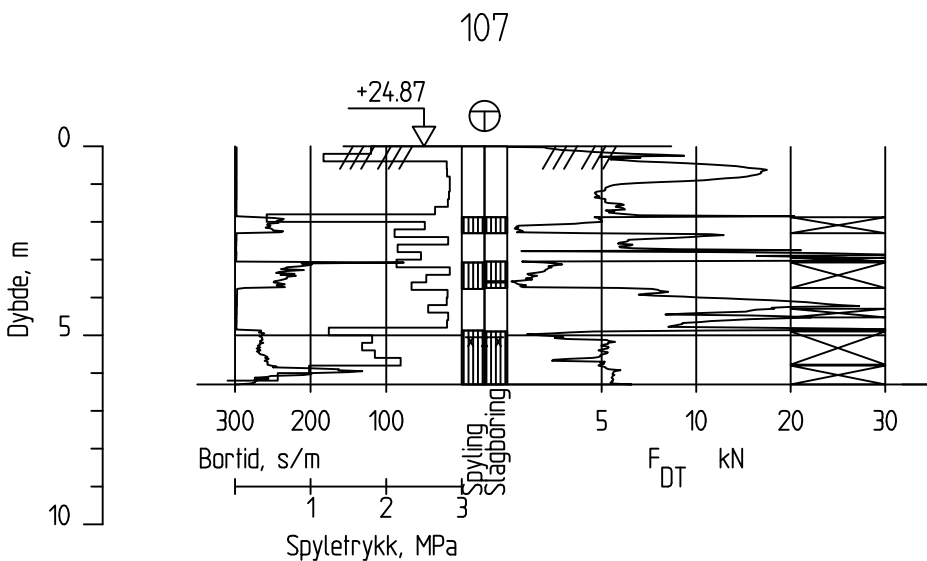
| | | | |
|---|--|---------|-------------|
| Prosjekt | Prosjektnummer: A228076 Rapportnummer: A228076-RAP-RIG-001 | Borhull | Kote +19,96 |
| Fv 119 GS-veg Dilling–Vang Supplerende GU | | | 106 |

| | |
|--|-------------|
| Innhold | Sondenummer |
| Dokumentasjon av utstyr og målenøyaktighet | 4534 |

| | | | | |
|-------------|-------------------------|------------------------------|-----------------------|---------------------------|
| COWI | Utført AEPN | Kontrollert LAAN | Godkjent MHHH | Anvend.klasse 1 |
| | Divisjon Geo og felt | Dato sondering 20.05.2021 | Revisjon Rev. dato | Figur 106-CPT-1 |



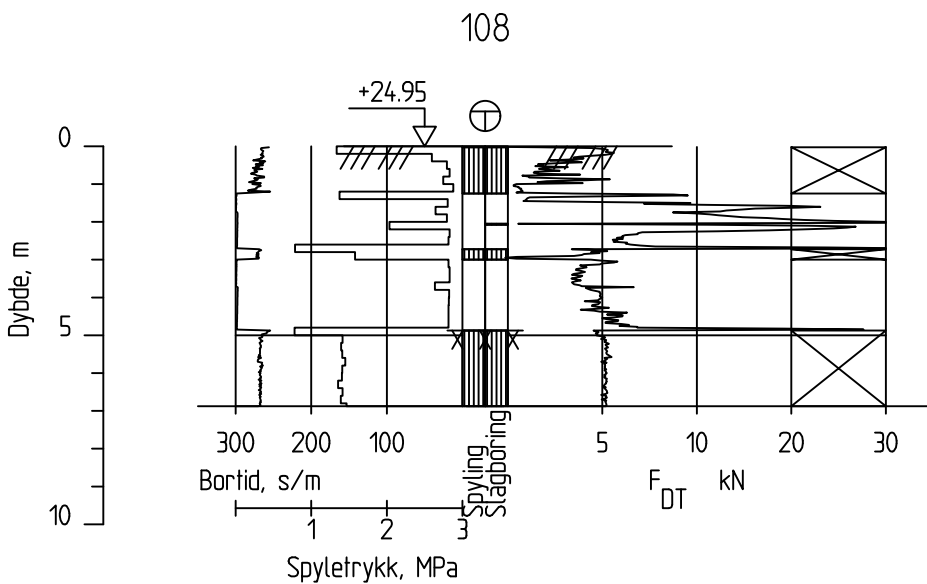
| | | | |
|--|--|------------------------------|---------------------------|
| Prosjekt | Prosjektnummer: A228076 Rapportnummer: A228076-RAP-RIG-001 | Borhull | Kote +19,96 |
| Fv 119 GS-veg Dilling-Vang Supplerende GU | | | 106 |
| Innhold | Sondenummer | | |
| Måledata og korrigerte måleverdier | | | 4534 |
| COWI | Utført AEPN | Kontrollert LAAN | Godkjent MHHH |
| | Divisjon Geo og felt | Date sondering 20.05.2021 | Revisjon Rev. dato |
| | | | Figur 106-CPT-2 |



Dato boret :19.05.2021

Posisjon: X 1154292.00 Y 110679.92

| | | |
|---|---------------------------------|-------------------------------|
| Totalsondering | Sonderingsnummer Borhull 107 | |
| Fv 119 GS-veg Dilling-Vang Supplerende GU | Målestokk M = 1 : 200 | Godkjent HERK |
| | Fag RIG | Kontrollert LAAN |
| COWI | Dato 01.06.2021 | Format A4 |
| | Oppdragsnummer A228076 | Tegningsnummer Borhull 107 |

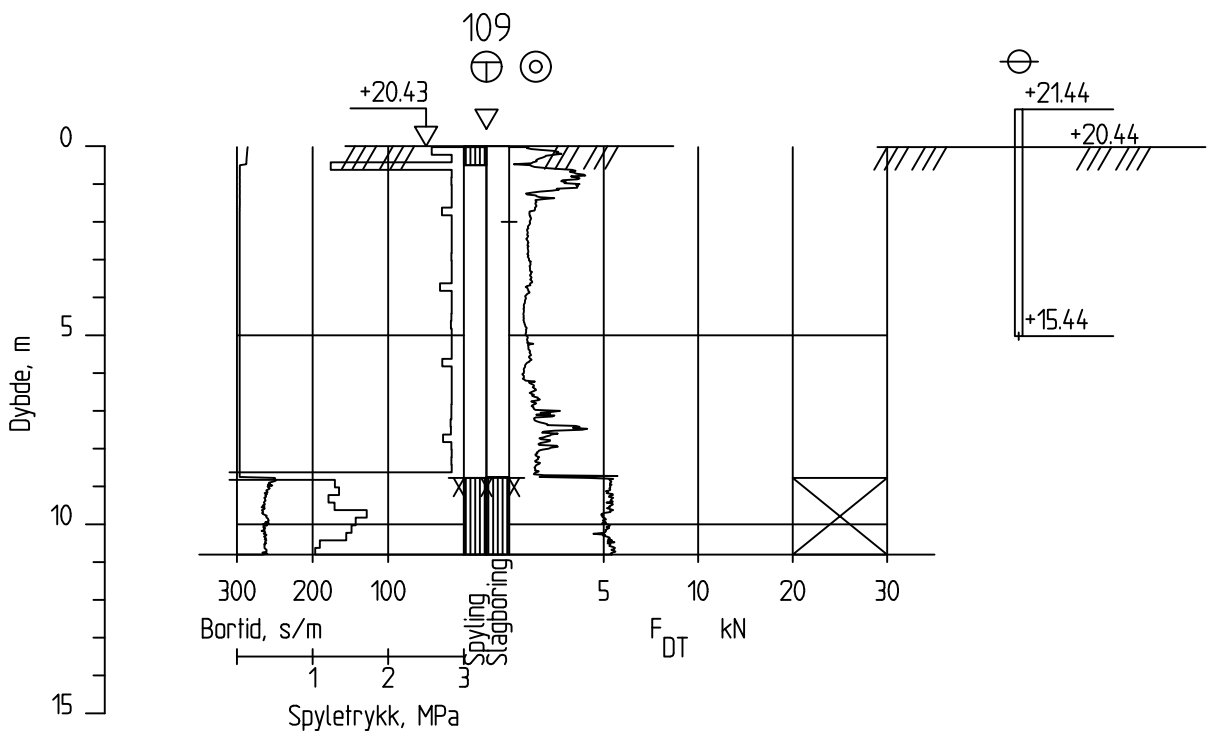


Dato boret :19.05.2021

Posisjon: X 1154241.56 Y 110689.90

| | | |
|---|---------------------------------|-------------------------------|
| Totalsondering | Sonderingsnummer Borhull 108 | |
| Fv 119 GS-veg Dilling-Vang Supplerende GU | Målestokk M = 1 : 200 | Godkjent HERK |
| | Fag RIG | Kontrollert LAAN |
| | Dato 01.06.2021 | Format A4 |
| | Oppdragsnummer A228076 | Tegningsnummer Borhull 108 |

COWI



Dato boret :20.05.2021

Posisjon: X 1154231.74 Y 110667.15

| | | |
|---|---------------------------------|-------------------------------|
| Totalsondering | Sonderingsnummer Borhull 109 | |
| Fv 119 GS-veg Dilling-Vang Supplerende GU | Målestokk M = 1 : 200 | Godkjent HERK |
| | Fag RIG | Kontrollert LAAN |
| COWI | Dato 01.06.2021 | Format A4 |
| | Oppdragsnummer A228076 | Tegningsnummer Borhull 109 |

Sonde og utførelse

| | | | |
|------------------|---------------|---------------------------|------|
| Sonenummer | 4534 | Boreleder | ADKM |
| Type sonde | Nova | Temperaturendring (°C) | 8,9 |
| Kalibreringsdato | 07.10.2020 | Maks helning (°) | 2,8 |
| Dato sondering | 20.05.2021 | Maks avstand målinger (m) | 0,02 |
| Filtertype | Porøst filter | | |

Kalibreringsdata

| | Spissmotstand | Sidefriksjon | Poretrykk |
|--------------------------------------|---------------|--------------|-----------|
| Maksimal last (MPa) | 50 | 0,5 | 2 |
| Måleområde (MPa) | 50 | 0,5 | 2 |
| Skaleringsfaktor | 1681 | 3684 | 3658 |
| Oppløsning 2 ¹² bit (kPa) | - | - | - |
| Oppløsning 2 ¹⁸ bit (kPa) | 0,4539 | 0,0104 | 0,0209 |
| Arealforhold | 0,8630 | 0,0000 | |
| Maks ubelastet temp. effekt (kPa) | 10,886 | 0,289 | 1,917 |
| Temperaturområde (°C) | 35 | | |

Nullpunktsskontroll

| | NA | NB | NC |
|----------------------------------|--------|-------|-------|
| Registrert før sondering (kPa) | 5607,5 | 127,3 | 252,8 |
| Registrert etter sondering (kPa) | 31,4 | -0,3 | -1,0 |
| Avvik under sondering(kPa) | 31,4 | 0,3 | 1,0 |
| Maksimal temperatureffekt (kPa) | 2,8 | 0,1 | 0,5 |
| Maksverdi under sondering (kPa) | 6780,4 | 9,9 | 282,8 |

Vurdering av anvendelsesklasse ihht. ISO 22476-1:2012

| | Spissmotstand | | Sidefriksjon | | Poretrykk | |
|---------------------------------|---------------|------------|--------------|------------|------------|------------|
| | (kPa) | (%) | (kPa) | (%) | (kPa) | (%) |
| Samlet nøyaktighet (kPa) | 34,6 | 0,5 | 0,4 | 3,9 | 1,5 | 0,5 |
| Tillatt nøyaktighet klasse 1 | 35 | 5 | 5 | 10 | 10 | 2 |
| Tillatt nøyaktighet klasse 2 | 100 | 5 | 15 | 15 | 25 | 3 |
| Tillatt nøyaktighet klasse 3 | 200 | 5 | 25 | 15 | 50 | 5 |
| Tillatt nøyaktighet klasse 4 | 500 | 5 | 50 | 20 | | |
| Anvendelsesklasse | 1 | 1 | 1 | 1 | 1 | 1 |
| Anvendelsesklasse måleintervall | 1 | | | | | |
| Anvendelsesklasse | 1 | | | | | |

Måleverdier under kapasitet/krav

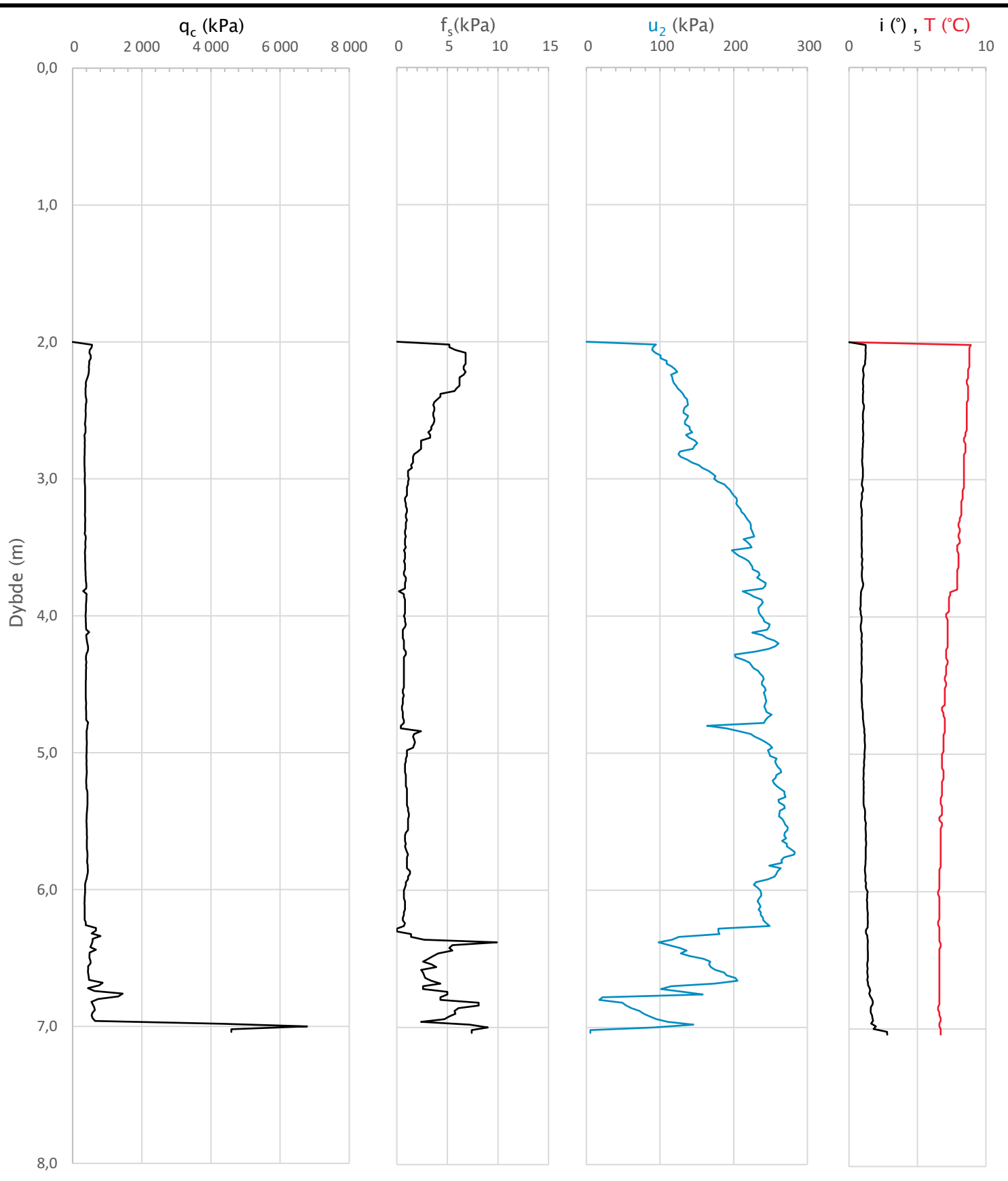
| Spissmotstand | Sidefriksjon | Poretrykk | Helning | Temperatur |
|---------------|--------------|-----------|---------|------------|
| OK | OK | OK | OK | OK |

Kommentarer:

| | | | |
|---|--|---------|-------------|
| Prosjekt | Prosjektnummer: A228076 Rapportnummer: A228076-RAP-RIG-001 | Borhull | Kote +20,43 |
| Fv 119 GS-veg Dilling–Vang Supplerende GU | | | 109 |

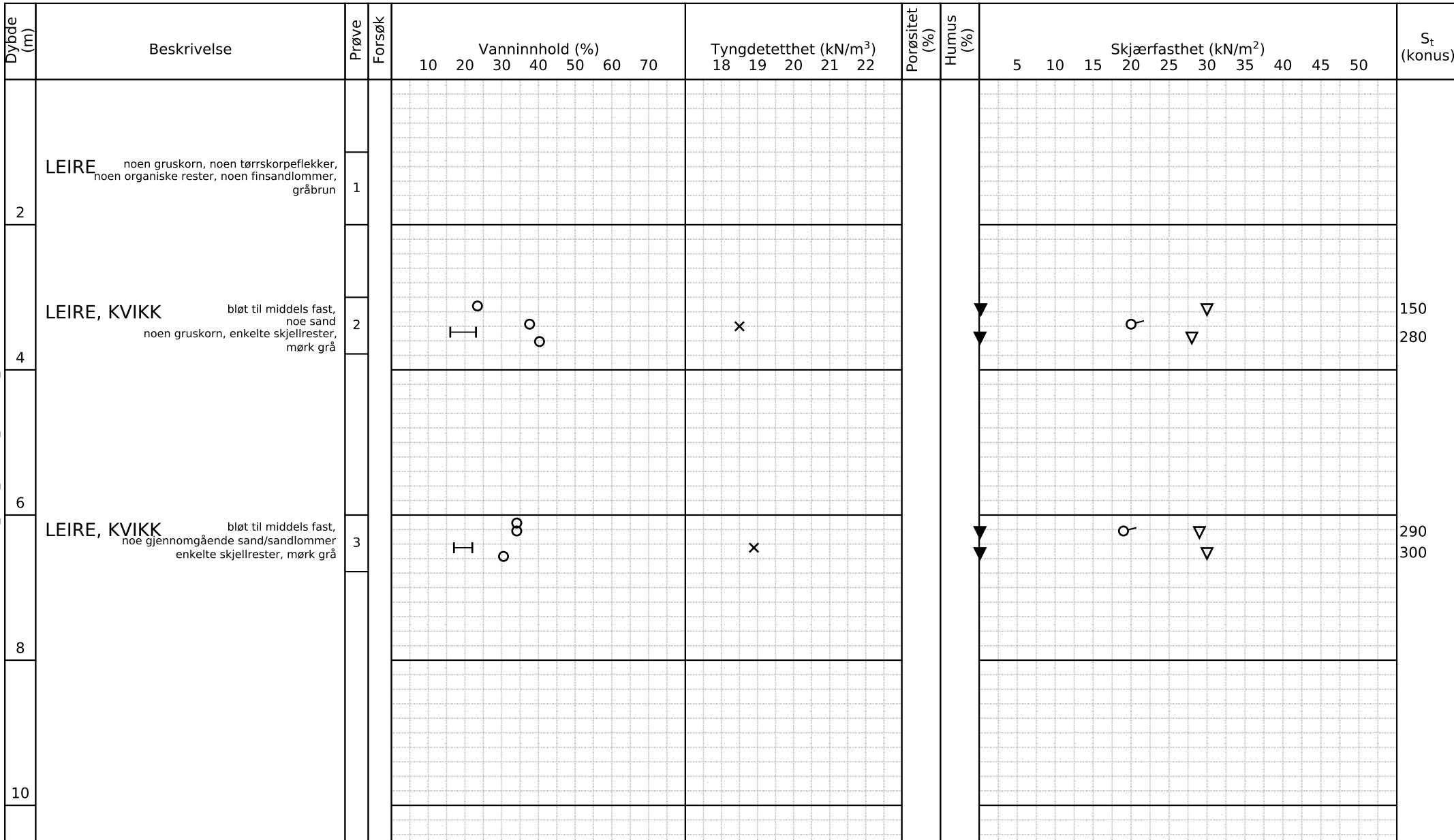
| | |
|--|-------------|
| Innhold | Sondenummer |
| Dokumentasjon av utstyr og målenøyaktighet | 4534 |

| | | | | |
|-------------|-------------------------|------------------------------|-----------------------|--------------------|
| COWI | Utført AEPN | Kontrollert LAAN | Godkjent MHHH | Anvend.klasse 1 |
| | Divisjon Geo og felt | Dato sondering 20.05.2021 | Revisjon Rev. dato | Figur 109-CPT-1 |



| | | | |
|--|--|------------------------------|---------------------------|
| Prosjekt Fv 119 GS-veg Dilling-Vang Supplerende GU | Prosjektnummer: A228076 Rapportnummer: A228076-RAP-RIG-001 | Borhull | Kote +20,43 |
| Innhold | | Sondenummer | |
| Måledata og korrigerte måleverdier | | | 4534 |
| COWI | Utført AEPN | Kontrollert LAAN | Godkjent MHHH |
| | Divisjon Geo og felt | Dato sondering 20.05.2021 | Anvend.klasse 1 |
| | | Revisjon Rev. dato | Figur 109-CPT-2 |

Vedlegg 2
Resultater fra laboratorieundersøkelser



Alle indeksresultatene er godkjent i KeyLAB

TEGNFORKLARING:

 Plastisitetsgrense/Vanninnhold/Flytegrense
15 Enaks. trykkforsøk/def. ved brudd S_t Sensitivitet

10 Konusforsøk, uforstyrret

▼ Konusforsøk, omrørt

+ Vingeboring

T = Treaksialforsøk

Ø = Ødometerforsøk

P = Permeabilitetsforsøk

K = Korngraderingsanalyse

Software version 2021-04-01

FV 119 GS-veg Dilling-Vang GU

Dokument nr.
20210060-24-01-R

Figur nr.

Borprofil del 1 av 1

Borpunkt nr.: BH16

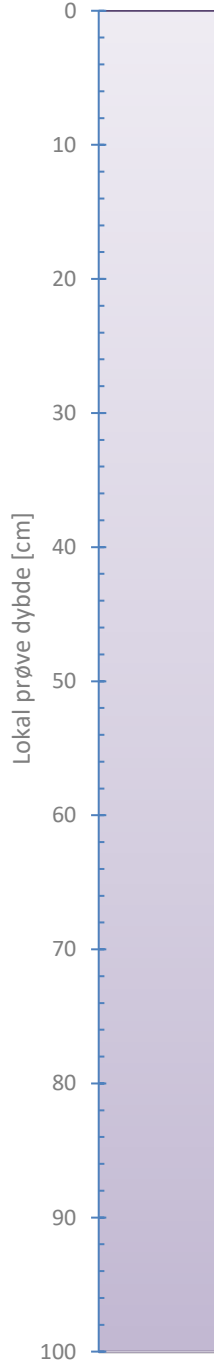
Prøvetype: poser / 54 mm

Terrengkote (moh): 21.75

Grunnvannstand (m):

Dato boret: 2021-05-25





LEIRE med noen middels gruskorn,
noen tørrskorpeflekker, noen
organiske rester, noen finsandlommer,
gråbrun

Foto



Tilleggsopplysninger

| FV 119 GS-veg Dilling-Vang GU | | Dokumentnr. |
|-------------------------------|------------|---|
| Visuell beskrivelse | | Figurnr. XXX |
| Boring: | BH16 | Dato 2021-06-10 |
| Sylinder: | 1 | Tegnet av EJB/EvS |
| Dybde [m]: | 1.00 |  |
| Åpningsdato | 2021-06-08 | |
| Åpnet av: | EJB | |

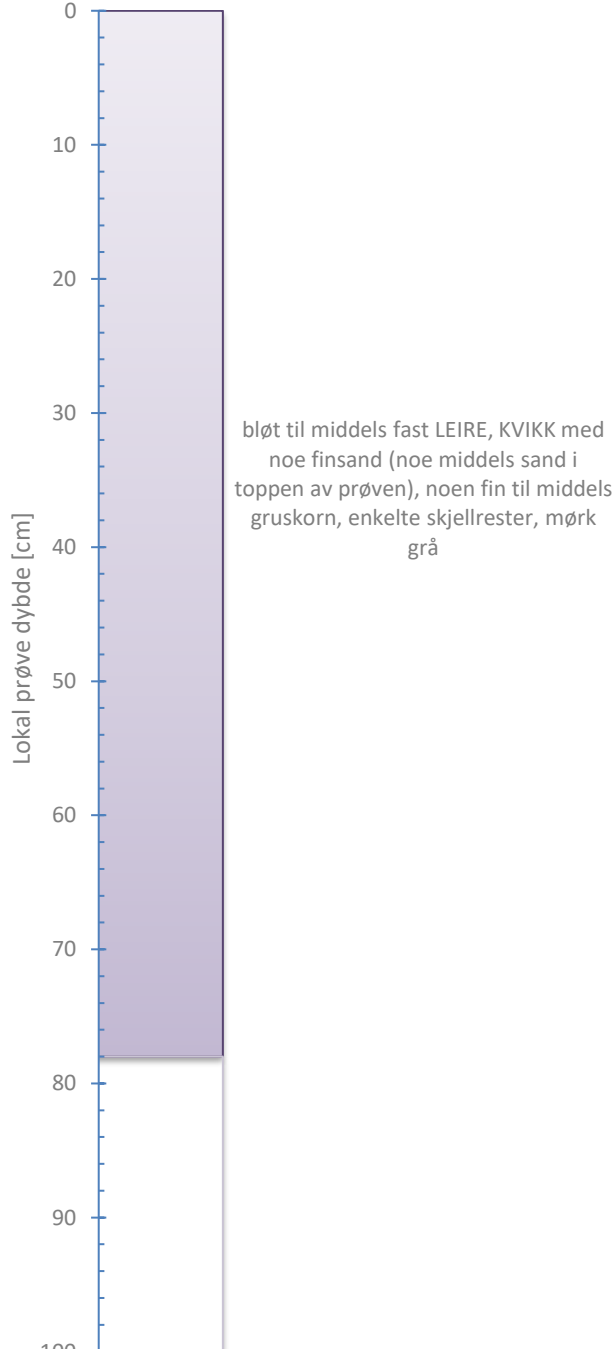


Foto 1: Hel prøve

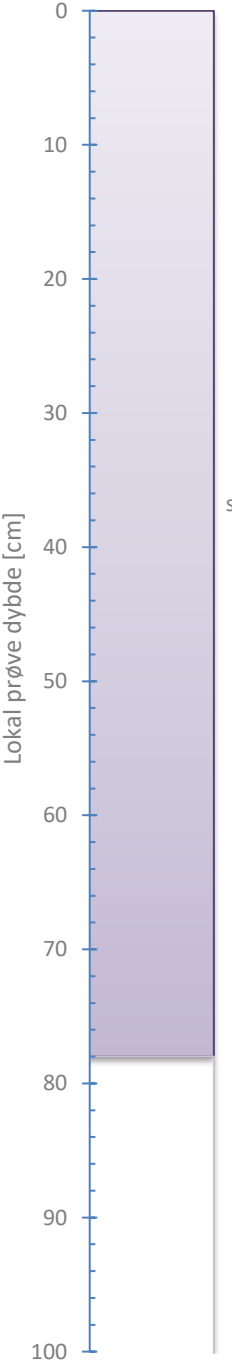


Foto 2: Splittet



Tilleggsopplysninger

| FV 119 GS-veg Dilling-Vang GU | | Dokumentnr. |
|-------------------------------|------|----------------------|
| Visuell beskrivelse | | Figurnr. XXX |
| Boring: | BH16 | Dato 2021-06-10 |
| Sylinder: | 2 | Tegnet av EJB/EvS |
| Dybde [m]: | 3.00 | |
| | | |
| | | |



bløt til middels fast LEIRE, KVIKK med noe gjennomgående sand + sandlommer, enkelte skjellrester, biter av kull (svarte flekker), mørk grå

Foto 1: Hel prøve



Foto 2: Splittet



Tilleggsopplysninger

| FV 119 GS-veg Dilling-Vang GU | | Dokumentnr. |
|-------------------------------|------------|----------------------|
| Visuell beskrivelse | | Figurnr. XXX |
| Boring: | BH16 | Dato 2021-06-10 |
| Sylinder: | 3 | Tegnet av EJB/EvS |
| Dybde [m]: | 6.00 | |
| Åpningsdato | 2021-06-08 | |
| Åpnet av: | EJB | |

NGI

Enaksialt trykkforsøk

Generell info

Bestemmelse av udrenert skjærstyrke (C_u), enaksialt trykkstyrke (q_u) og aksiel tøyning (ϵ) av jordmateriale med lav permeabilitet ved enaksial trykkprøving utført i hht. NS-EN ISO 17892-7:2017. Vanninnhold (w) er beregnet i hht ISO 17892-1. Romvekt (γ), romdensitet (ρ) og tørrdensitet (ρ_d) er beregnet i hht ISO 17892-2 (Lineær metode). Dersom maksimum udrenert skjærstyrke ikke finnes ved aksial sammentrykning mindre enn 15 % aksiel tøyning, velges udrenert skjærstyrke som verdien av aksial sammentrykning 15 %.

Mal: UCS Output

Dato/Rev nr.: 2020-10-08/04

Ansvarlig: Fl

Kontrollert av: MAS

Ved brudd

Udrenert skjærstyrke

20 kPa

Enaksial trykkstyrke

40 kPa

Aksiel tøyning

4.2 %

Romvekt

18.2 kN/m³

Romdensitet

1.86 Mg/m³

Tørrdensitet

1.35 Mg/m³

Vanninnhold

37.6 %

Initial høyde

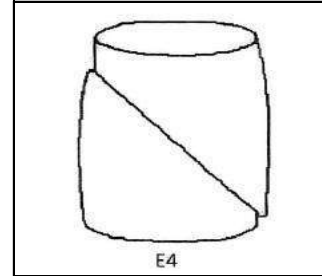
100.0 mm

Initial areal

23.33 cm²

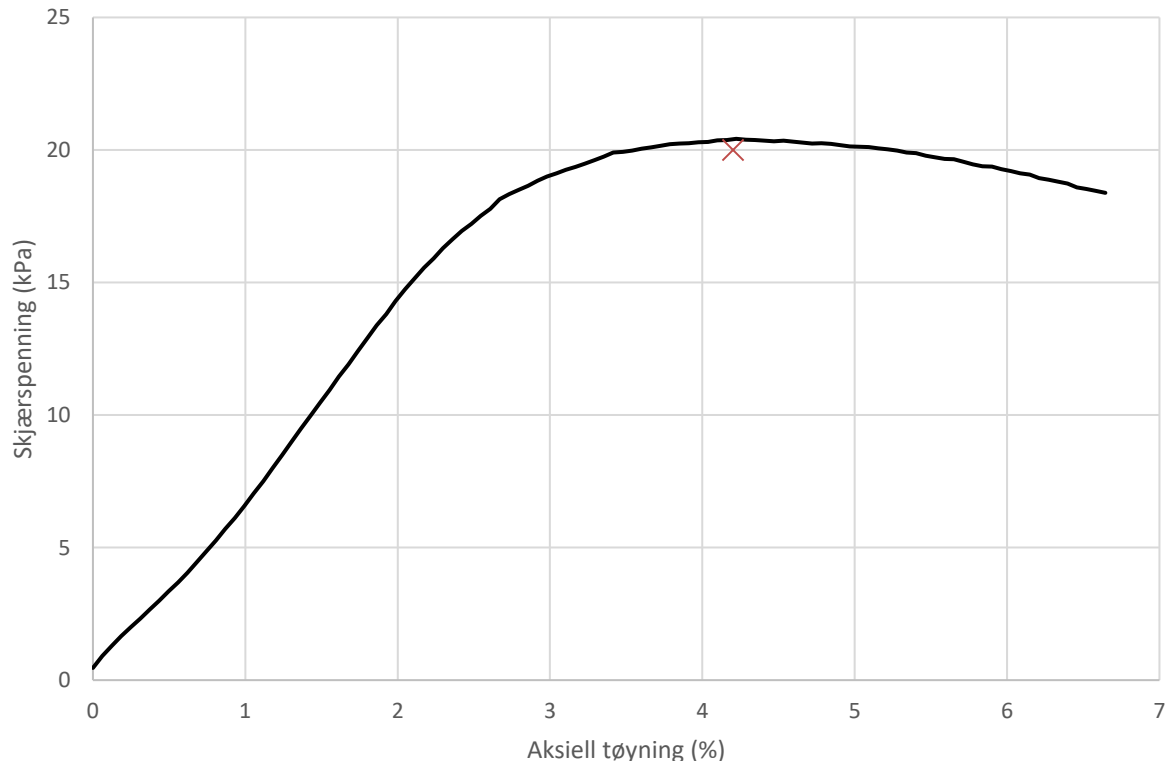
Tøyningsrate

3.8 %/min



Skisse ved brudd

Test preparering



Anmerkning

Tøyningsraten for dette forsøket er større enn anbefalinger fra ISO 17892-7.

FV 119 GS-veg Dilling-Vang GU

Dokumentnr.

Figurnr.

XXX

Dato

2021-06-10

Tegnet av

ThV/EvS

Boring

BH16

Dybde

3.37

m

Sylinder

2

Part

Test



Enaksialt trykkforsøk

Generell info

Bestemmelse av udrenert skjærstyrke (C_u), enaksialt trykkstyrke (q_u) og aksiel tøyning (ϵ) av jordmateriale med lav permeabilitet ved enaksial trykkprøving utført i hht. NS-EN ISO 17892-7:2017. Vanninnhold (w) er beregnet i hht ISO 17892-1. Romvekt (γ), romdensitet (ρ) og tørrdensitet (ρ_d) er beregnet i hht ISO 17892-2 (Lineær metode). Dersom maksimum udrenert skjærstyrke ikke finnes ved aksial sammentrykning mindre enn 15 % aksiel tøyning, velges udrenert skjærstyrke som verdien av aksial sammentrykning 15 %.

Mal: UCS Output

Dato/Rev nr.: 2020-10-08/04

Ansvarlig: Fl

Kontrollert av: MAS

Ved brudd

Udrenert skjærstyrke

19 kPa

Enaksial trykkstyrke

38 kPa

Aksiel tøyning

4.2 %

Romvekt

18.6 kN/m³

Romdensitet

1.9 Mg/m³

Tørrdensitet

1.42 Mg/m³

Vanninnhold

34.1 %

Initial høyde

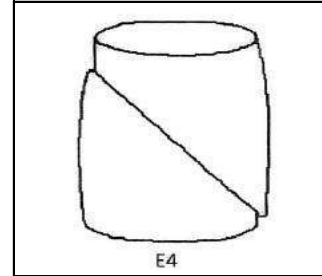
100.0 mm

Initial areal

23.33 cm²

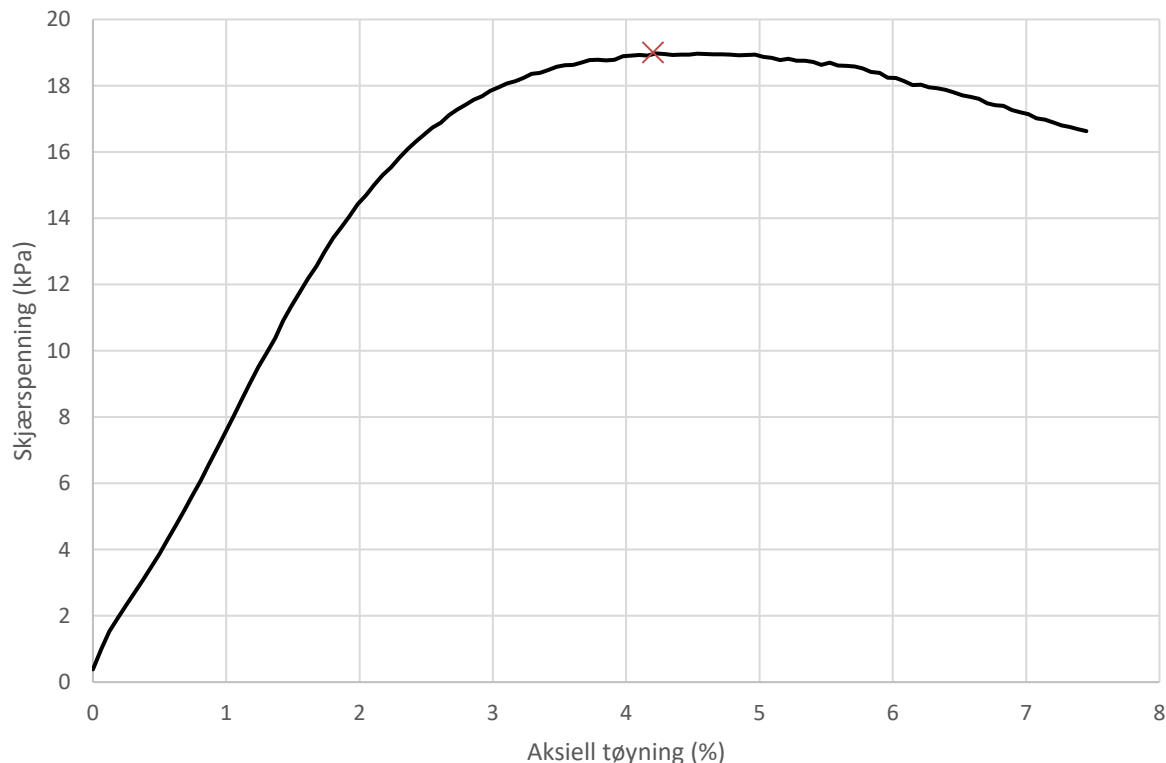
Tøyningsrate

3.8 %/min



Skisse ved brudd

Test preparering



Anmerkning

Tøyningsraten for dette forsøket er større enn anbefalinger fra ISO 17892-7.

FV 119 GS-veg Dilling-Vang GU

Dokumentnr.

Figurnr.

XXX

Dato

2021-06-10

Tegnet av

ThV/EvS

Boring

BH16

Dybde

6.22

m

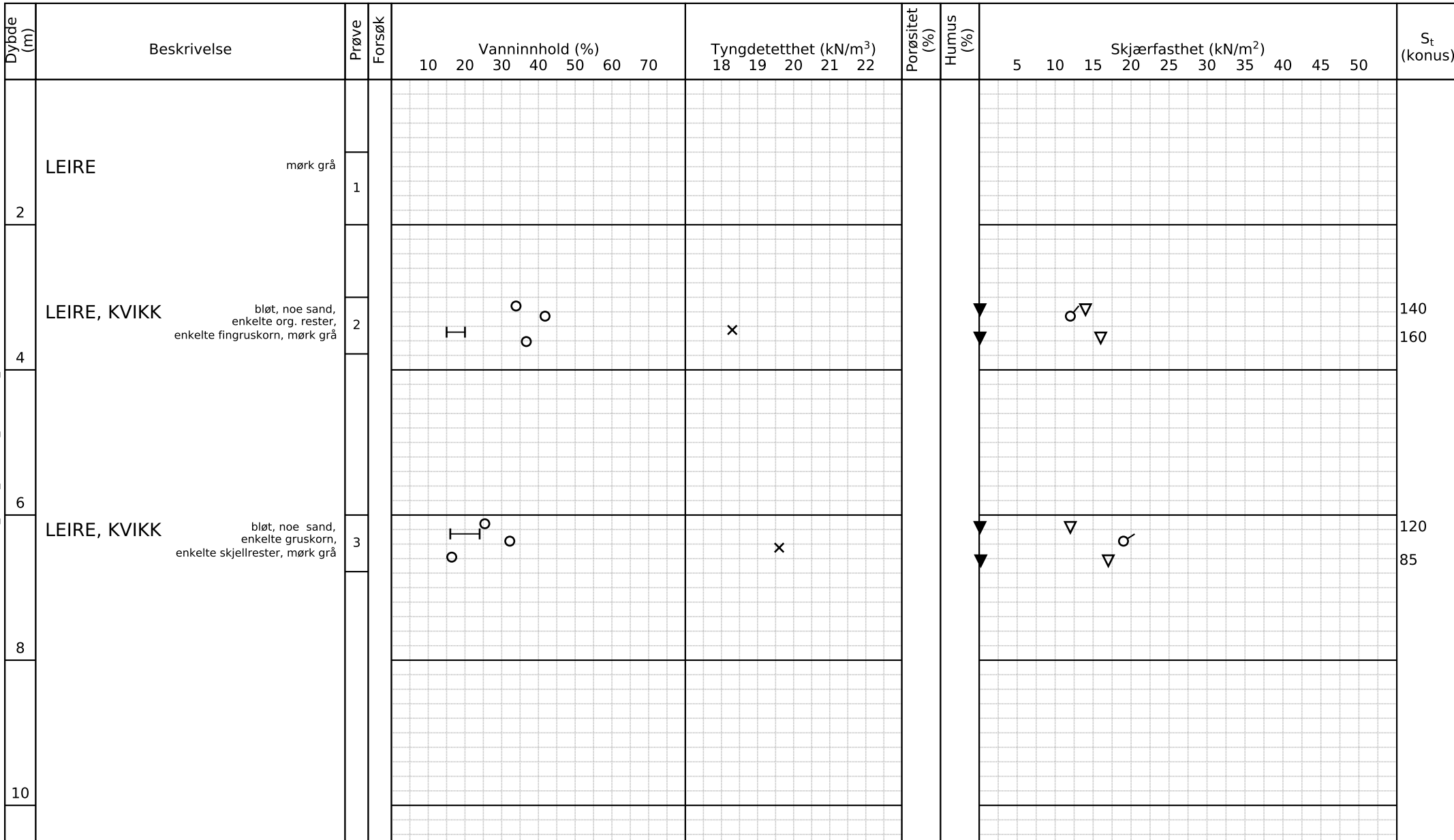
Sylinder

3

Part

Test





Alle indeksresultatene er godkjent i KeyLAB

TEGNFORKLARING:
 Plastisitetsgrense/Vanninnhold/Flytegrense
15 Enaks. trykkforsøk/def. ved brudd S_t Sensitivitet

10 Konusforsøk, uforstyrret

▼ Konusforsøk, omrørt

+ Vingeboring

T = Treaksialforsøk

K/S = Kalk/Sement stabilisering

D = Direkte skjærforsøk (DSS)

K = Korngraderingsanalyse

Software version 2021-04-01

FV 119 GS-veg Dilling-Vang GUDokument nr.
20210060-24-01-R

Figur nr.

Borprofil del 1 av 1

Borpunkt nr.: BH26

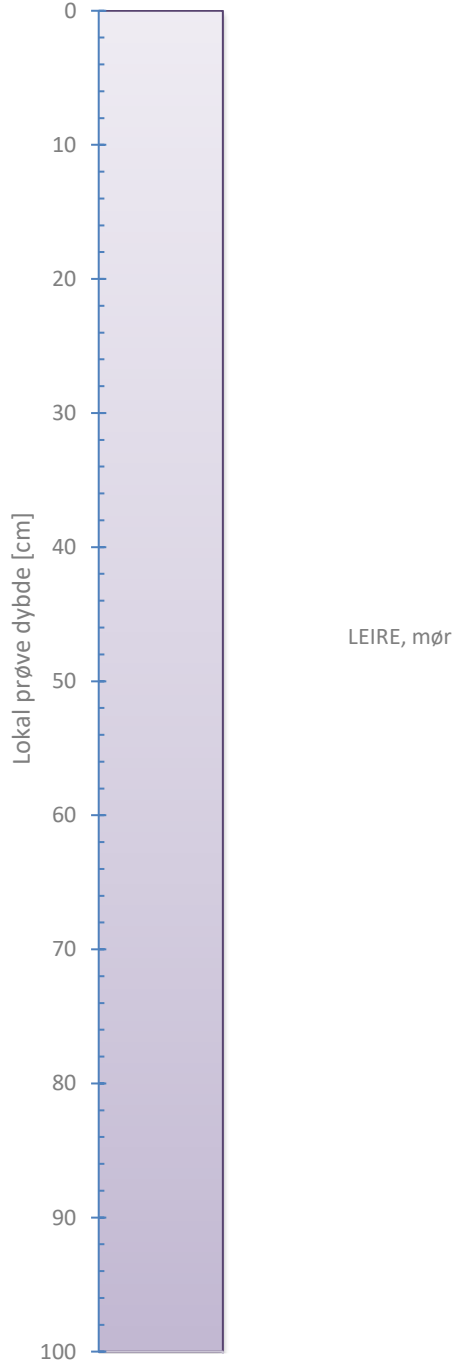
Prøvetype: poser / 54 mm

Terrengkote (moh): 20.877

Grunnvannstand (m):

Dato boret: 2021-05-26

Dato
2021-06-10 Tegnet av
Thv



Foto



Tilleggsopplysninger

| FV 119 GS-veg Dilling-Vang GU | | Dokumentnr. |
|-------------------------------|------------|---|
| Visuell beskrivelse | | Figurnr. XXX |
| Boring: | BH26 | Dato 2021-06-10 |
| Sylinder: | 1 | Tegnet av ThV/EvS |
| Dybde [m]: | 1.00 |  |
| Åpningsdato | 2021-06-08 | |
| Åpnet av: | JRo | |

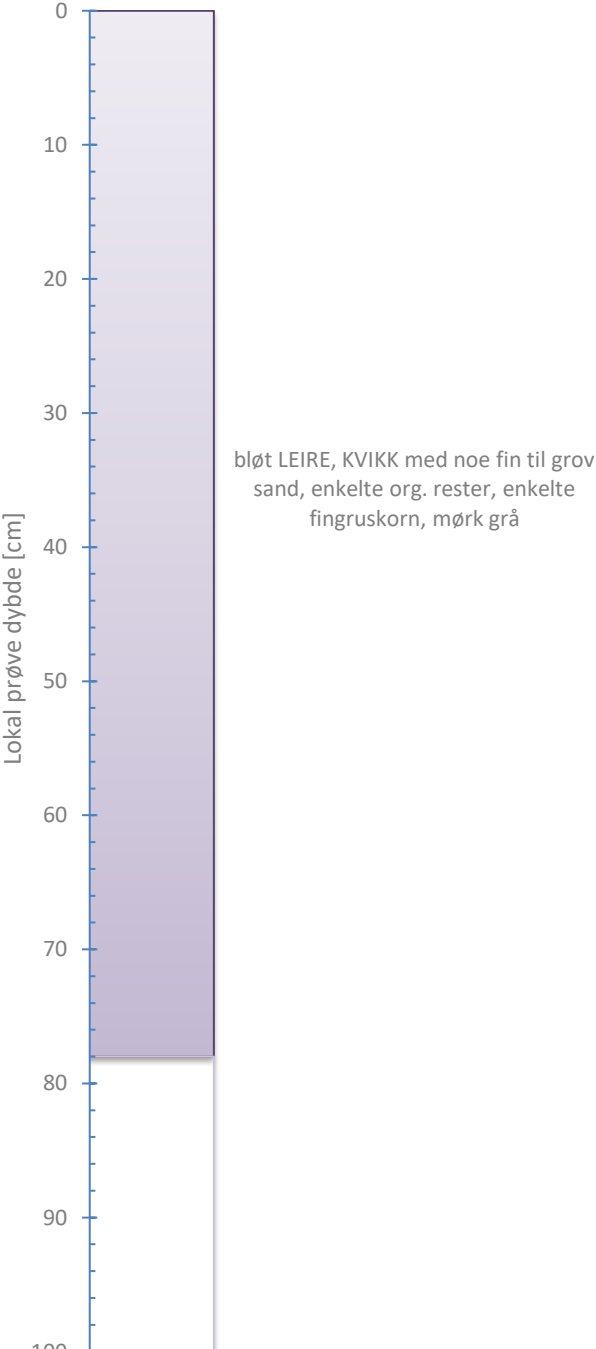


Foto 1: Hel prøve



Foto 2: Splittet



Tilleggsopplysninger

| FV 119 GS-veg Dilling-Vang GU | Dokumentnr. |
|-------------------------------|----------------------|
| Visuell beskrivelse | Figurnr. XXX |
| Boring: BH26 | Dato 2021-06-10 |
| Prøvetype: Sylinder | Tegnet av ThV/EvS |
| Sylinder: 2 | |
| Åpningsdato 2021-06-08 | |
| Dybde [m]: 3.00 | |
| Åpnet av: Kae | |

NGI

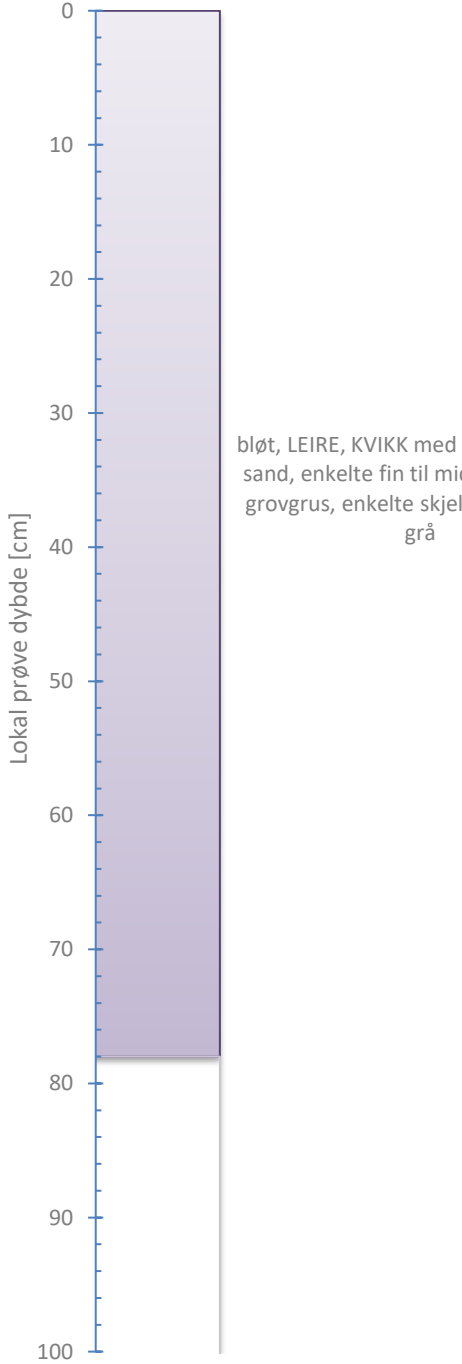


Foto 1: Hel prøve



Foto 2: Splittet



Tilleggsopplysninger

| FV 119 GS-veg Dilling-Vang GU | | Dokumentnr. |
|-------------------------------|------------|----------------------|
| Visuell beskrivelse | | Figurnr. XXX |
| Boring: | BH26 | Dato 2021-06-10 |
| Sylinder: | 3 | Tegnet av ThV/EvS |
| Dybde [m]: | 6.00 | |
| Åpningsdato | 2021-06-09 | |
| Åpnet av: | EJB | |

NGI

Enaksialt trykkforsøk

Generell info

Bestemmelse av udrenert skjærstyrke (C_u), enaksialt trykkstyrke (q_u) og aksiel tøyning (ϵ) av jordmateriale med lav permeabilitet ved enaksial trykkprøving utført i hht. NS-EN ISO 17892-7:2017. Vanninnhold (w) er beregnet i hht ISO 17892-1. Romvekt (γ), romdensitet (ρ) og tørrdensitet (ρ_d) er beregnet i hht ISO 17892-2 (Lineær metode). Dersom maksimum udrenert skjærstyrke ikke finnes ved aksial sammentrykning mindre enn 15 % aksiel tøyning, velges udrenert skjærstyrke som verdien av aksial sammentrykning 15 %.

Mal: UCS Output

Dato/Rev nr.: 2020-10-08/04

Ansvarlig: Fl

Kontrollert av: MAS

Ved brudd

Udrenert skjærstyrke

12 kPa

Enaksial trykkstyrke

24 kPa

Aksiel tøyning

2.2 %

Romvekt

17.7 kN/m³

Romdensitet

1.8 Mg/m³

Tørrdensitet

1.27 Mg/m³

Vanninnhold

41.8 %

Initial høyde

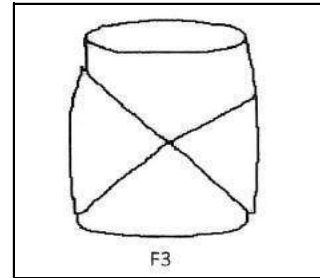
100.0 mm

Initial areal

23.33 cm²

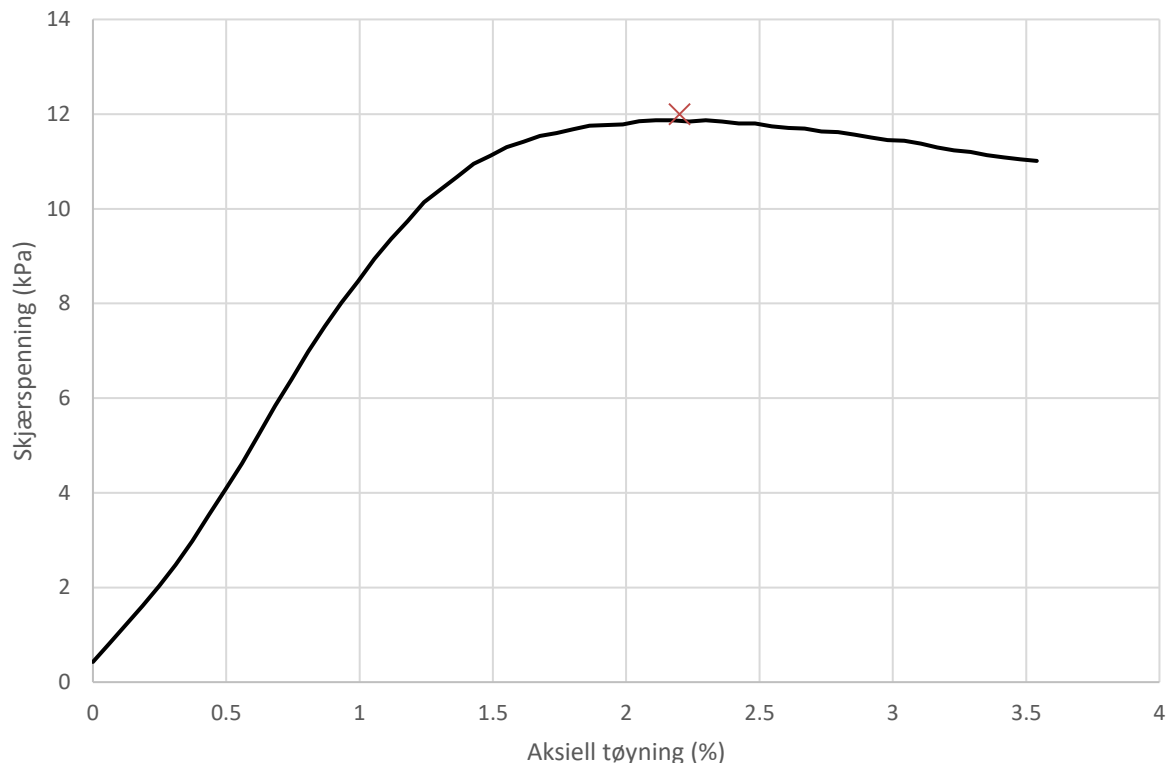
Tøyningsrate

3.8 %/min



Skisse ved brudd

Test preparering



Anmerkning

Tøyningsraten for dette forsøket er større enn anbefalinger fra ISO 17892-7.

FV 119 GS-veg Dilling-Vang GU

Dokumentnr.

Figurnr.

XXX

Dato

2021-06-10

Tegnet av

ThV/EvS

Boring

BH26

Dybde

3.26

m

Sylinder

2

Part

Test



Enaksialt trykkforsøk

Generell info

Bestemmelse av udrenert skjærstyrke (C_u), enaksialt trykkstyrke (q_u) og aksiel tøyning (ϵ) av jordmateriale med lav permeabilitet ved enaksial trykkprøving utført i hht. NS-EN ISO 17892-7:2017. Vanninnhold (w) er beregnet i hht ISO 17892-1. Romvekt (γ), romdensitet (ρ) og tørrdensitet (ρ_d) er beregnet i hht ISO 17892-2 (Lineær metode). Dersom maksimum udrenert skjærstyrke ikke finnes ved aksial sammentrykning mindre enn 15 % aksiel tøyning, velges udrenert skjærstyrke som verdien av aksial sammentrykning 15 %.

Mal: UCS Output

Dato/Rev nr.: 2020-10-08/04

Ansvarlig: FI

Kontrollert av: MAS

Ved brudd

Udrenert skjærstyrke

19 kPa

Enaksial trykkstyrke

38 kPa

Aksiel tøyning

3.2 %

Romvekt

18.6 kN/m³

Romdensitet

1.9 Mg/m³

Tørrdensitet

1.44 Mg/m³

Vanninnhold

32.2 %

Initial høyde

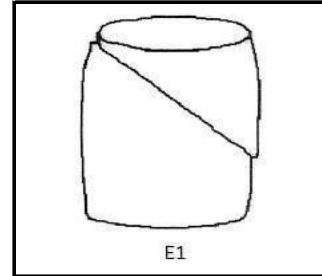
100.0 mm

Initial areal

23.33 cm²

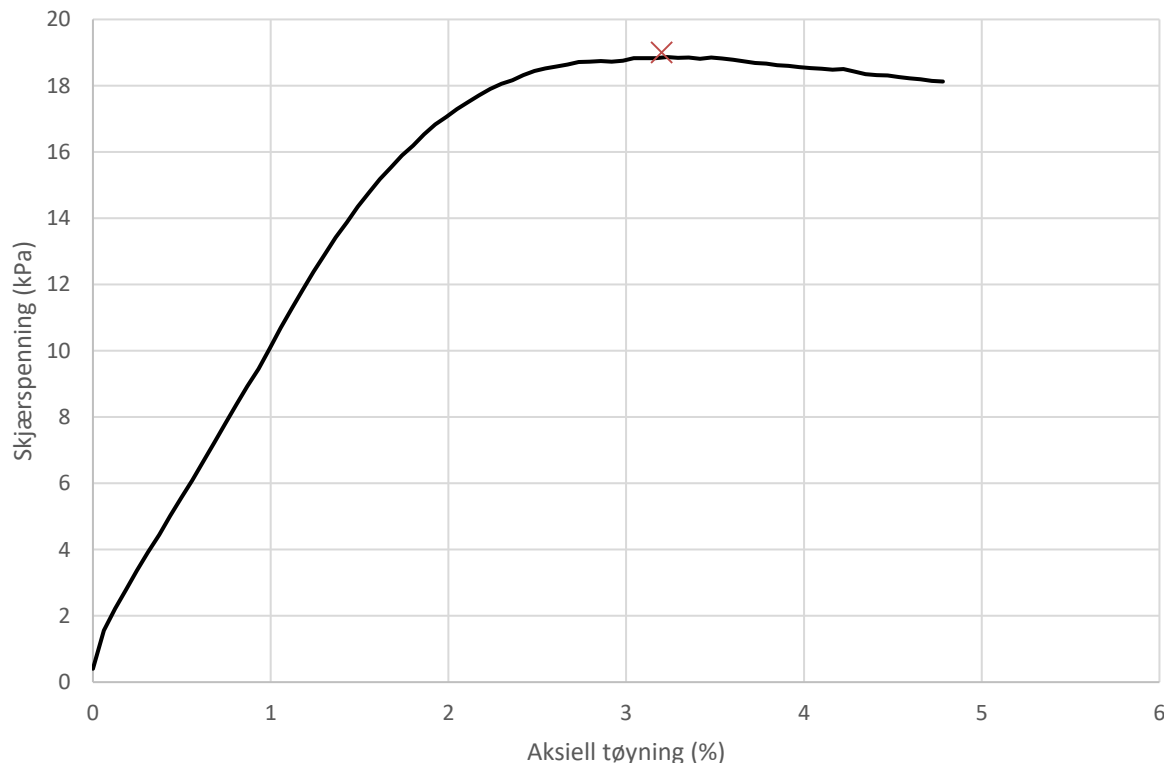
Tøyningsrate

3.8 %/min



Skisse ved brudd

Test preparering



Anmerkning

Tøyningsraten for dette forsøket er større enn anbefalinger fra ISO 17892-7.

FV 119 GS-veg Dilling-Vang GU

Dokumentnr.

Figurnr.

XXX

Dato

2021-06-10

Tegnet av

ThV/EvS

Boring BH26

Dybde

6.36

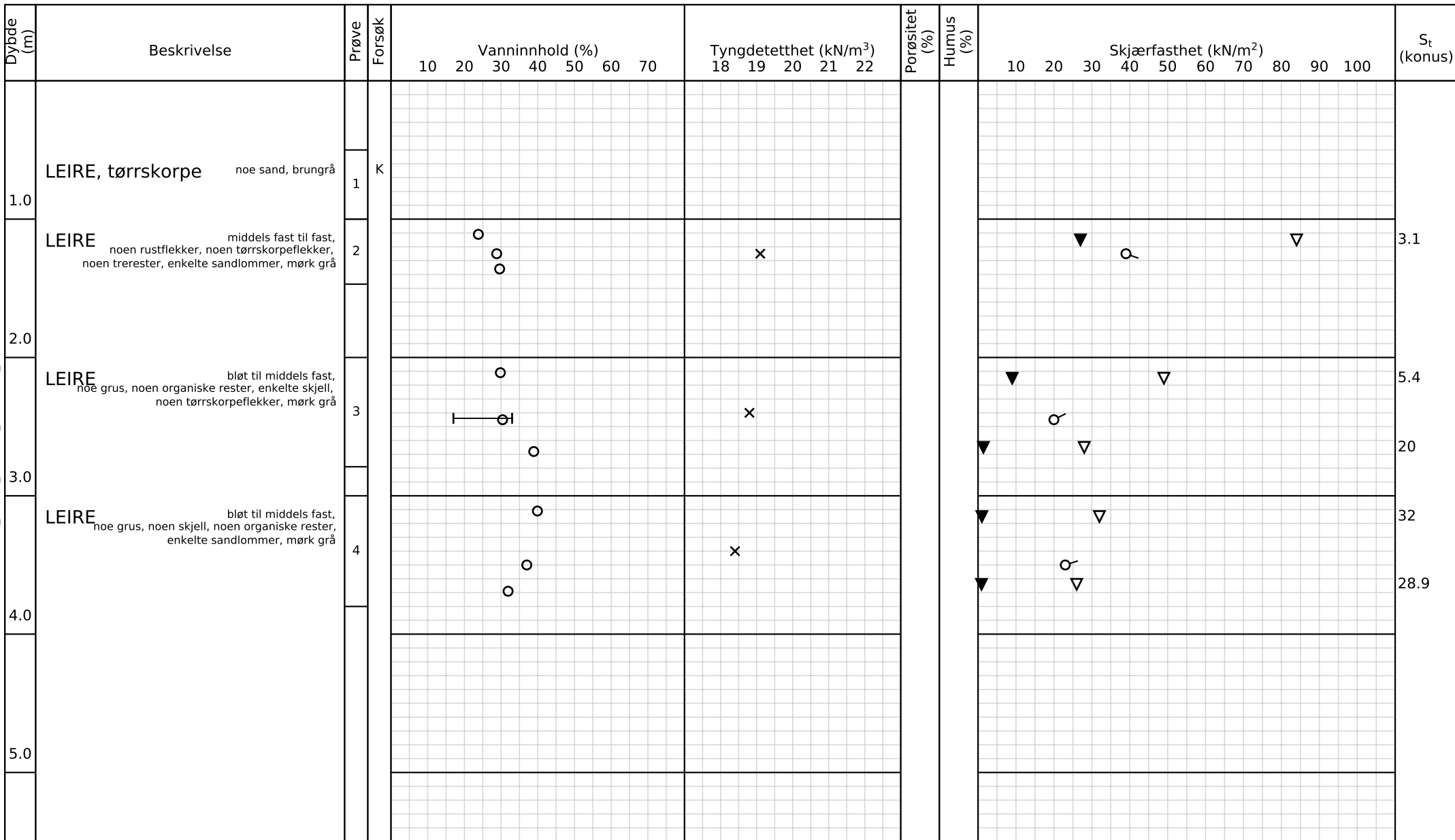
m

Sylinder 3

Part

Test





Alle indeksresultatene er godkjent i KeyLAB

TEGNFORKLARING:

15 Enaks. trykkforsøk/def. ved brudd

 S_t Sensitivitet

T = Treaksialforsøk

10 Konusforsøk, uforstyrret

 \emptyset = Ødometerforsøk

K/S = Kalk/Sement stabilisering

5 Konusforsøk, omrørt

P = Permeabilitetsforsøk

D = Direkte skjærundersøk (DSS)

+ Vingeboring

K = Korngraderingsanalyse

Software version 2021-04-01

FV 119 GS-veg Dilling-Vang GU

Dokument nr.
20210060-24-01-R

Figur nr.

Borprofil del 1 av 1

Borpunkt nr.: BH101

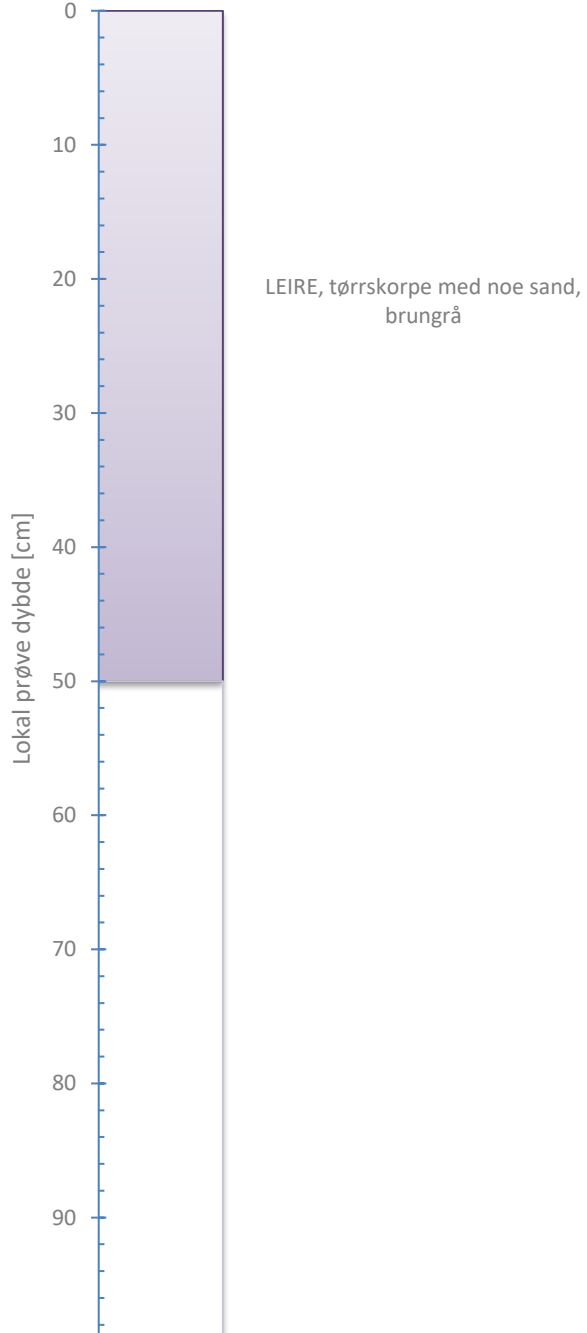
Prøvetype: poser / 54 mm

Terrengkote (moh): 23.645

Grunnvannstand (m):

Dato boret: 2021-05-18





Foto



Tilleggsopplysninger

| FV 119 GS-veg Dilling-Vang GU | | Dokumentnr. |
|-------------------------------|-------|-------------------------------------|
| Visuell beskrivelse | | Figurnr. XXX |
| Boring: | BH101 | Prøvetype: Pose |
| Sylinder: | 1 | Åpningsdato: 2021-06-08 |
| Dybde [m]: | 0.50 | Åpnet av: JRo |
| | | Rev. 4 / Dato 2020-04-03 / Sign. Fl |
| | | 2021-06-10 ThV/EvS |



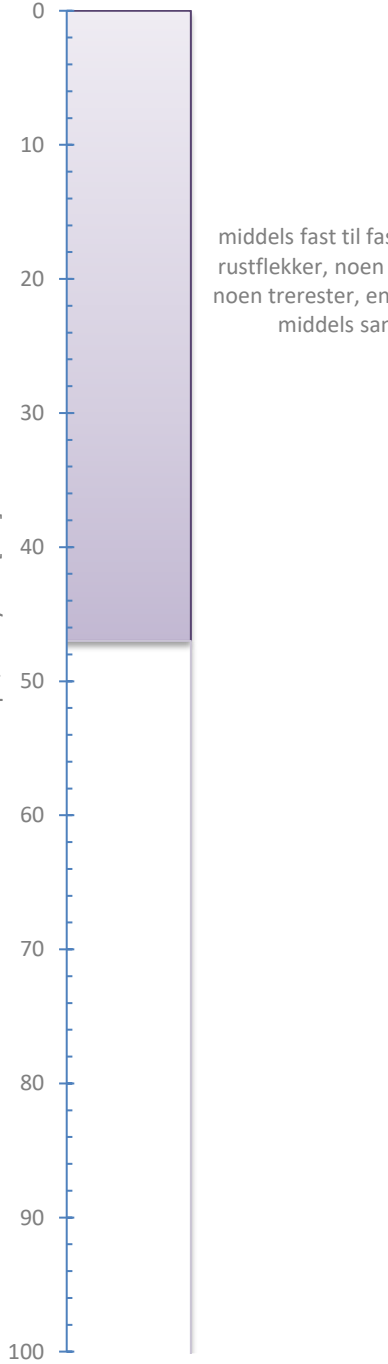


Foto 1: Hel prøve



Foto 2: Splittet



Tilleggsopplysninger

| FV 119 GS-veg Dilling-Vang GU | | Dokumentnr. |
|-------------------------------|------------|---|
| Visuell beskrivelse | | Figurnr. XXX |
| Boring: | BH101 | Dato 2021-06-09 |
| Sylinder: | 2 | Tegnet av Edv/ThV |
| Dybde [m]: | 1.00 |  |
| Åpningsdato | 2021-06-07 | |
| Åpnet av: | Edv | |

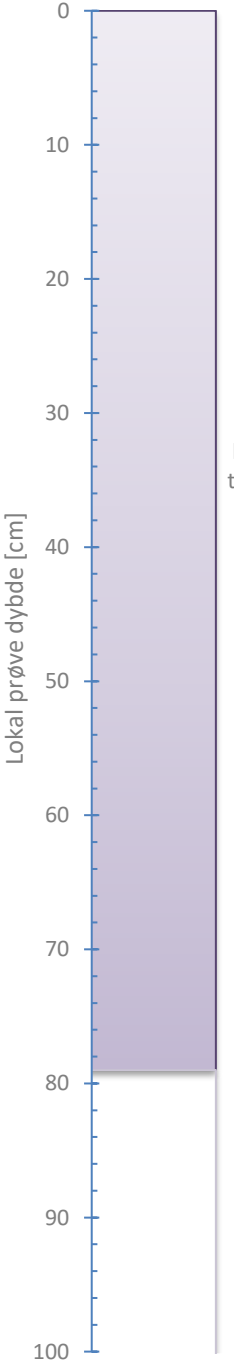


Foto 1: Hel prøve



Foto 2: Splittet



Tilleggsopplysninger

| FV 119 GS-veg Dilling-Vang GU | | Dokumentnr. |
|-------------------------------|------------|----------------------|
| Visuell beskrivelse | | Figurnr. XXX |
| Boring: | BH101 | Dato 2021-06-09 |
| Sylinder: | 3 | Tegnet av Edv/ThV |
| Dybde [m]: | 2.00 | |
| Åpningsdato | 2021-06-07 | |
| Åpnet av: | Edv | |

NGI

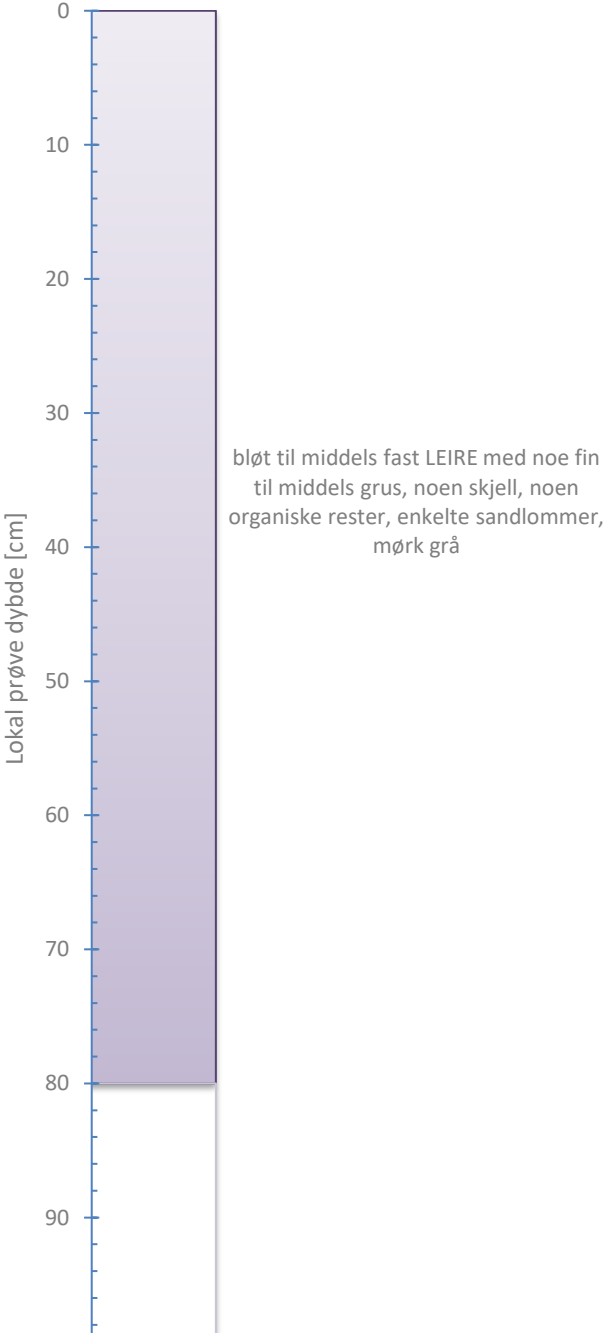


Foto 1: Hel prøve



Foto 2: Splittet



Tilleggsopplysninger

| FV 119 GS-veg Dilling-Vang GU | | Dokumentnr. |
|-------------------------------|------------|----------------------|
| Visuell beskrivelse | | Figurnr. XXX |
| Boring: | BH101 | Dato 2021-06-09 |
| Sylinder: | 4 | Tegnet av Edv/ThV |
| Dybde [m]: | 3.00 | |
| Åpningsdato | 2021-06-07 | |
| Åpnet av: | Edv | |

NGI

Enaksialt trykkforsøk

Generell info

Bestemmelse av udrenert skjærstyrke (C_u), enaksialt trykkstyrke (q_u) og aksiel tøyning (ϵ) av jordmateriale med lav permeabilitet ved enaksial trykkprøving utført i hht. NS-EN ISO 17892-7:2017. Vanninnhold (w) er beregnet i hht ISO 17892-1. Romvekt (γ), romdensitet (ρ) og tørrdensitet (ρ_d) er beregnet i hht ISO 17892-2 (Lineær metode). Dersom maksimum udrenert skjærstyrke ikke finnes ved aksial sammentrykning mindre enn 15 % aksiel tøyning, velges udrenert skjærstyrke som verdien av aksial sammentrykning 15 %.

Mal: UCS Output

Dato/Rev nr.: 2020-10-08/04

Ansvarlig: Fl

Kontrollert av: MAS

Ved brudd

Udrenert skjærstyrke

39 kPa

Enaksial trykkstyrke

78 kPa

Aksiel tøyning

6.1 %

Romvekt

18.8 kN/m³

Romdensitet

1.92 Mg/m³

Tørrdensitet

1.49 Mg/m³

Vanninnhold

28.8 %

Initial høyde

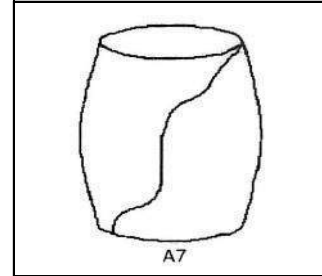
100.0 mm

Initial areal

23.33 cm²

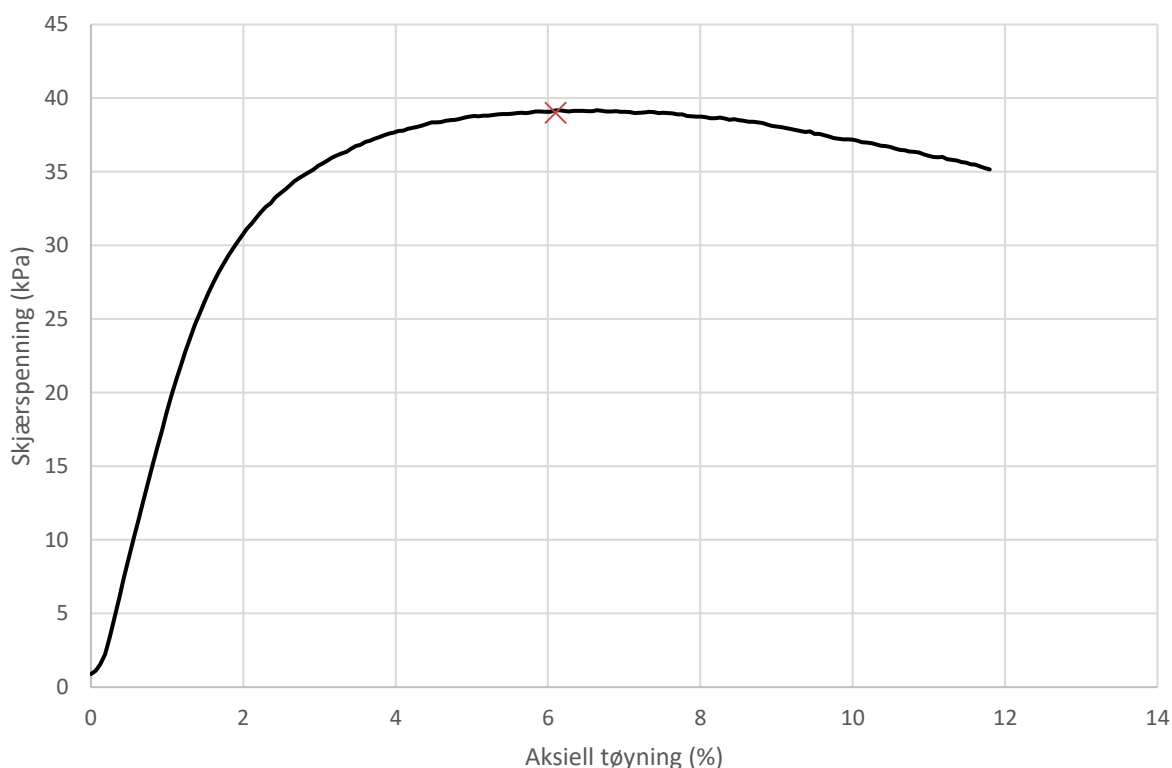
Tøyningsrate

3.8 %/min



Skisse ved brudd

Test preparering



Anmerkning

Tøyningsraten for dette forsøket er større enn anbefalinger fra ISO 17892-7.

FV 119 GS-veg Dilling-Vang GU

Dokumentnr.

Figurnr.

XXX

Dato

2021-06-09

Tegnet av

EJB/ThV

Boring

BH101

Dybde

1.25

m

Sylinder

2

Part

A

Test



Enaksialt trykkforsøk

Generell info

Bestemmelse av udrenert skjærstyrke (C_u), enaksialt trykkstyrke (q_u) og aksiel tøyning (ϵ) av jordmateriale med lav permeabilitet ved enaksial trykkprøving utført i hht. NS-EN ISO 17892-7:2017. Vanninnhold (w) er beregnet i hht ISO 17892-1. Romvekt (γ), romdensitet (ρ) og tørrdensitet (ρ_d) er beregnet i hht ISO 17892-2 (Lineær metode). Dersom maksimum udrenert skjærstyrke ikke finnes ved aksial sammentrykning mindre enn 15 % aksiel tøyning, velges udrenert skjærstyrke som verdien av aksial sammentrykning 15 %.

Mal: UCS Output

Dato/Rev nr.: 2020-10-08/04

Ansvarlig: Fl

Kontrollert av: MAS

Ved brudd

Udrenert skjærstyrke

20 kPa

Enaksial trykkstyrke

40 kPa

Aksiel tøyning

3.5 %

Romvekt

18.9 kN/m³

Romdensitet

1.93 Mg/m³

Tørrdensitet

1.48 Mg/m³

Vanninnhold

30.4 %

Initial høyde

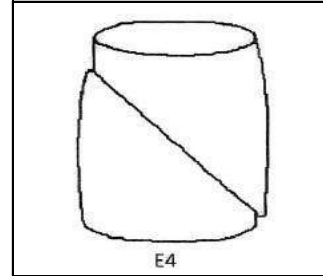
100.0 mm

Initial areal

23.33 cm²

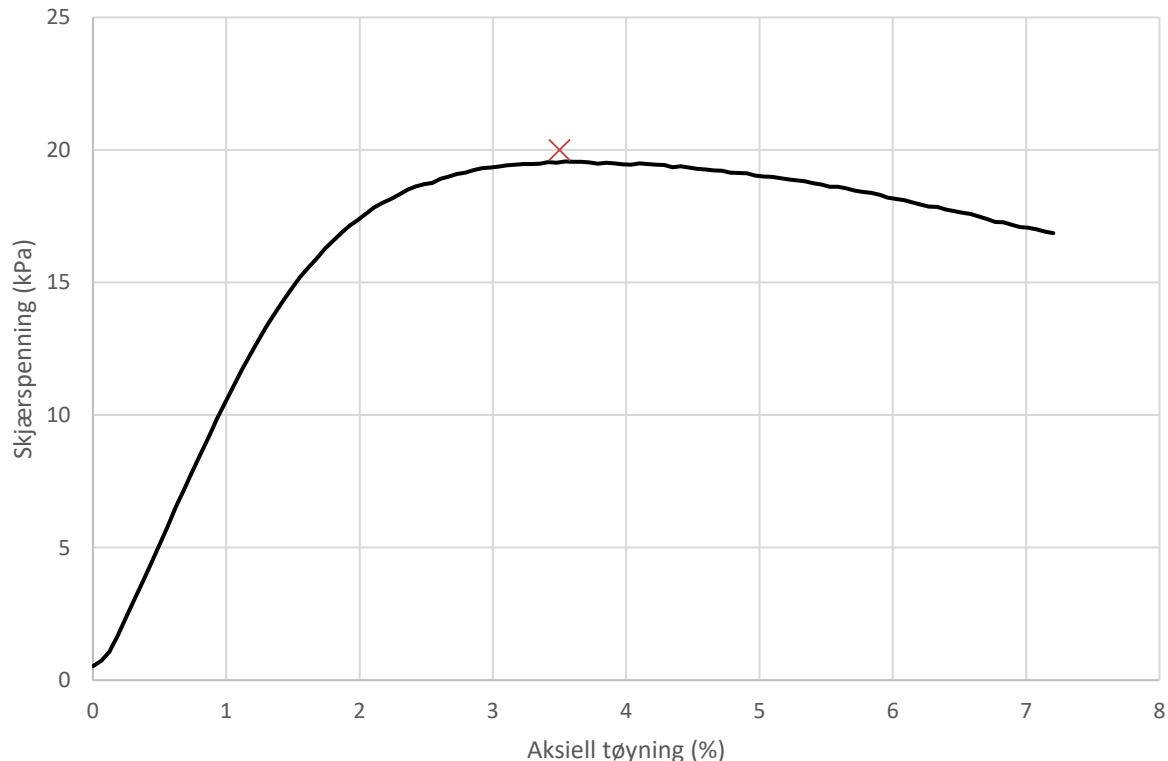
Tøyningsrate

3.8 %/min



Skisse ved brudd

Test preparering



Anmerkning

Tøyningsraten for dette forsøket er større enn anbefalinger fra ISO 17892-7.

FV 119 GS-veg Dilling-Vang GU

Dokumentnr.

Figurnr.

XXX

Dato

2021-06-09

Tegnet av

Kae/ThV

Boring BH101

Dybde

2.45

m

Sylinder 3

Part A

Test

Enaksialt trykkforsøk

Generell info

Bestemmelse av udrenert skjærstyrke (C_u), enaksialt trykkstyrke (q_u) og aksiel tøyning (ϵ) av jordmateriale med lav permeabilitet ved enaksial trykkprøving utført i hht. NS-EN ISO 17892-7:2017. Vanninnhold (w) er beregnet i hht ISO 17892-1. Romvekt (γ), romdensitet (ρ) og tørrdensitet (ρ_d) er beregnet i hht ISO 17892-2 (Lineær metode). Dersom maksimum udrenert skjærstyrke ikke finnes ved aksial sammentrykning mindre enn 15 % aksiel tøyning, velges udrenert skjærstyrke som verdien av aksial sammentrykning 15 %.

Mal: UCS Output

Dato/Rev nr.: 2020-10-08/04

Ansvarlig: Fl

Kontrollert av: MAS

Ved brudd

Udrenert skjærstyrke

23 kPa

Enaksial trykkstyrke

46 kPa

Aksiel tøyning

4 %

Romvekt

18.3 kN/m³

Romdensitet

1.87 Mg/m³

Tørrdensitet

1.37 Mg/m³

Vanninnhold

37 %

Initial høyde

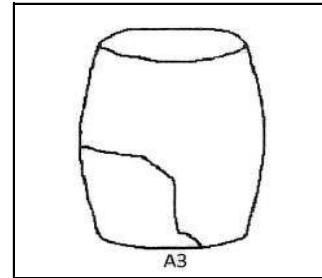
99.0 mm

Initial areal

23.33 cm²

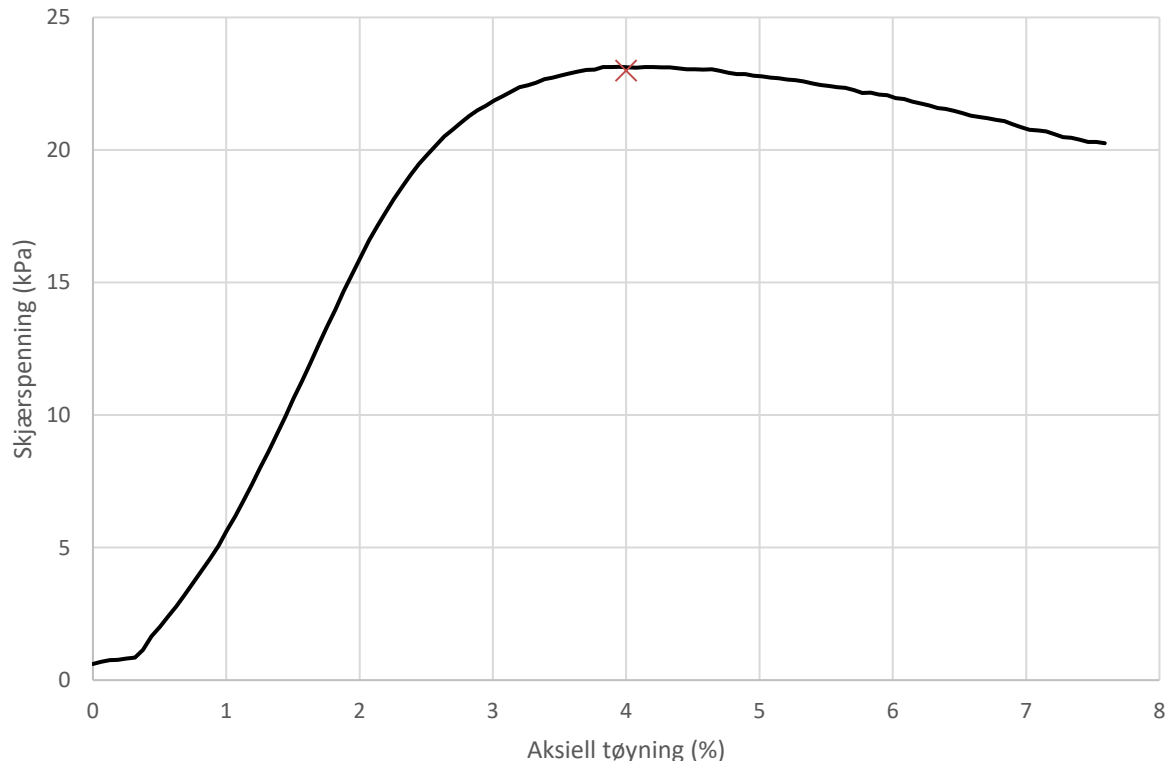
Tøyningsrate

3.8 %/min



Skisse ved brudd

Test preparering



Anmerkning

Tøyningsraten for dette forsøket er større enn anbefalinger fra ISO 17892-7.

FV 119 GS-veg Dilling-Vang GU

Dokumentnr.

Figurnr.

XXX

Dato

2021-06-09

Tegnet av

Kae/ThV

Boring BH101

Dybde

3.50

m

Sylinder 4

Part A

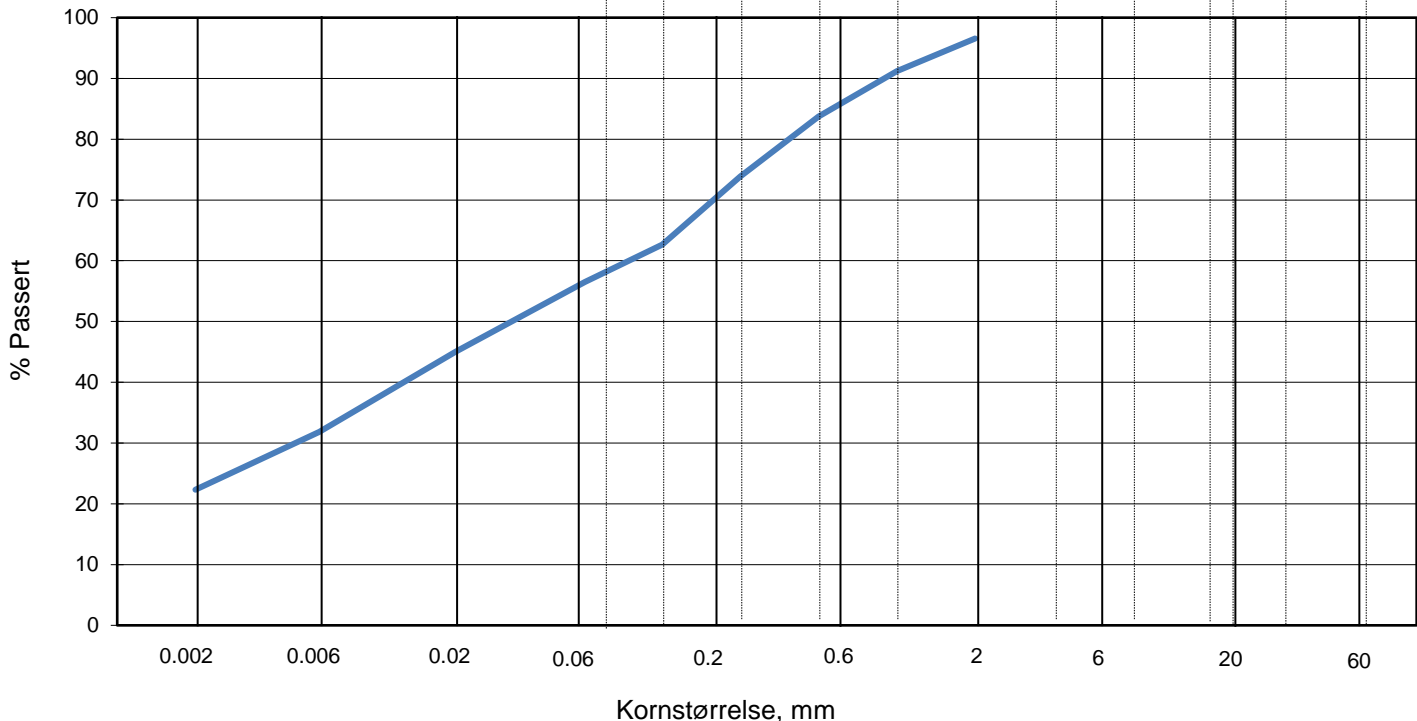
Test



KORNSTØRRELSESFORDeling

hht. laboratorieprosedyre LLP008

| L E I R | SILT | | | SAND | | | GRUS | | | |
|-------------------|------|---------|------|------|---------|------|------|---------|-------|---------|
| | Fin | Middels | Grov | Fin | Middels | Grov | Fin | Middels | Grov | |
| US Standard Sikt | 200 | 100 | 50 | 30 | 16 | 8 | 4 | 3/8" | 3/4" | 1.5" |
| ISO Standard Sikt | .075 | .125 | .25 | .5 | 1 | 2 | 4 | 8 | 16 19 | 31.5 63 |



| Sikting | |
|---------------------|-----------|
| Kornstørrelse mm | % Passert |
| 63 | |
| 31.5 | |
| 19 | |
| 16 | |
| 8 | |
| 4 | |
| 2 | 97 |
| 1 | 91 |
| 0.5 | 84 |
| 0.25 | 74 |
| 0.125 | 63 |
| 0.063 | 57 |
| 0.020 | 45 |
| 0.006 | 32 |
| 0.002 | 22 |

| | |
|---|-----------------------|
| Jordartsbetegnelse | LEIRE, sandig, siltig |
| Test metode(r) | Falling drop |
| Antatt korndensitet (Mg/m ³) | 2.75 |

| Fraksjon | % tørr masse |
|----------------|--------------|
| Stein og blokk | 0.0 |
| Grus | 3.4 |
| Sand | 40.1 |
| Silt | 34.2 |
| Leire | 22.3 |

| Anmerkning |
|------------|
| |

| Graderingsanalyse og telegruppe | | |
|---------------------------------|------|-------|
| D60 | (mm) | 0.093 |
| D10 | (mm) | |
| CU (D60/D10) | | |
| Telegruppe | | T4 |

Rev. 04/2019-06-18 / Sign. FI

FV 119 GS-veg Dilling-Vang GU

Dokumentnr.

Figurnr.

XXX

Dato

2021-06-10

Tegnet/godkjent

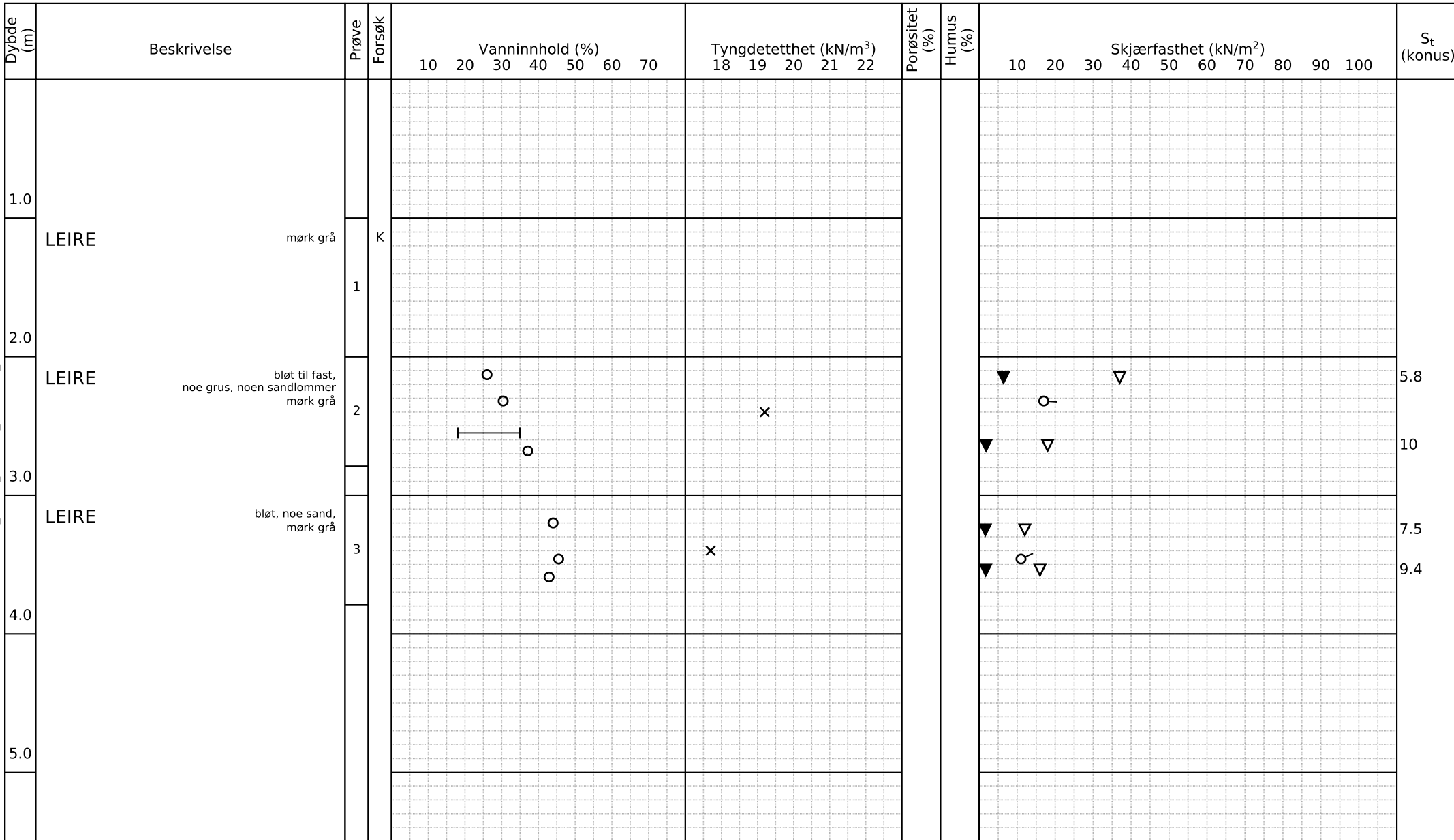
GeA/ThV

Boring: BH101

Dybde: 0.75 m

Tube: 1





Alle indeksresultatene er godkjent i KeyLAB

TEGNFORKLARING:

Plastisitetsgrense/Vanninnhold/Flytegrense

 Enaks. trykkforsøk/def. ved brudd S_t Sensitivitet

Konusforsøk, uforstyrret

Konusforsøk, omrørt

Vingeboring

T = Treaksialforsøk

K/S = Kalk/Sement stabilisering

D = Direkte skjærundersøk (DSS)

Ø = Ødometerforsøk

P = Permeabilitetsforsøk

K = Korngraderingsanalyse

Software version 2021-04-01

FV 119 GS-veg Dilling-Vang GU

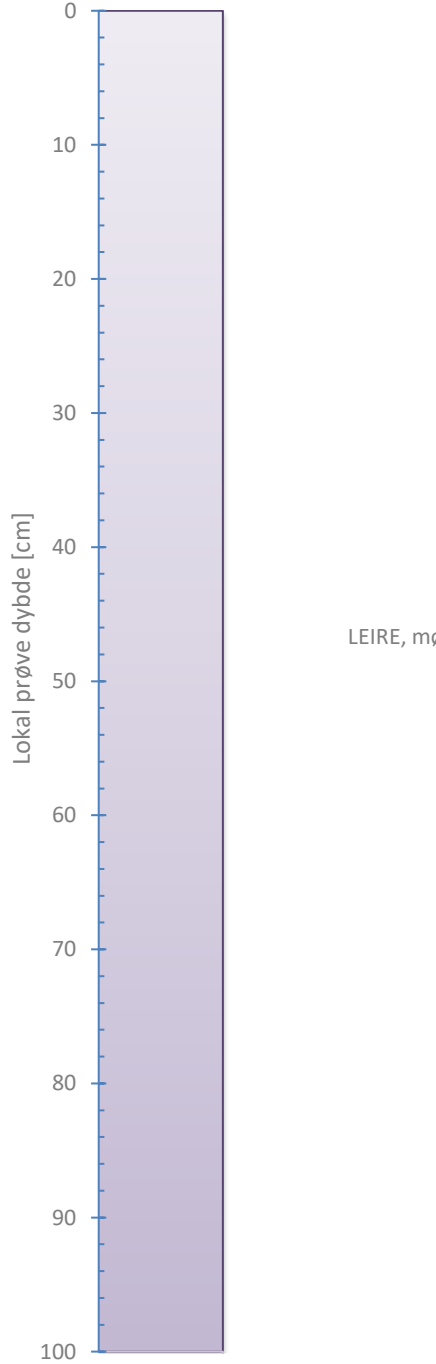
Dokument nr.:
20210060-24-01-R

Figur nr.:

Borprofil del 1 av 1
Borpunkt nr.: BH105Prøvetype: poser / 54 mm
Terrengkote (moh): 23.152
Grunnvannstand (m):

Dato boret: 2021-05-19



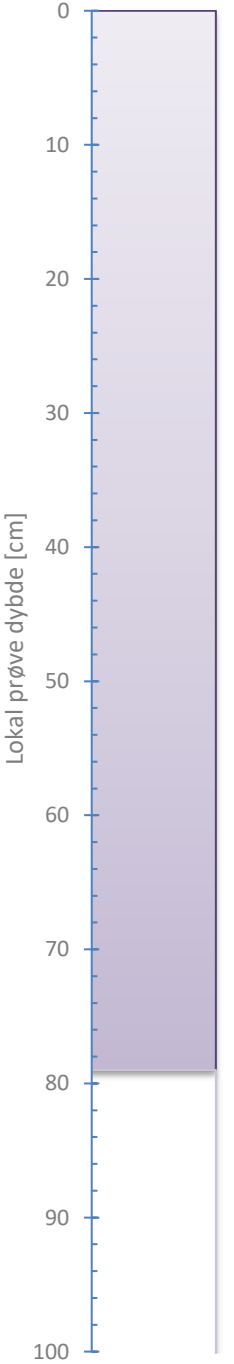


Foto



Tilleggsopplysninger

| FV 119 GS-veg Dilling-Vang GU | | Dokumentnr. |
|-------------------------------|------------|---|
| Visuell beskrivelse | | Figurnr. XXX |
| Boring: | BH105 | Dato 2021-06-10 |
| Sylinder: | 1 | Tegnet av ThV/EvS |
| Dybde [m]: | 1.00 |  |
| Åpningsdato | 2021-06-08 | |
| Åpnet av: | JRo | |



bløt til middels fast LEIRE med noe
middels til grov grus, noen lommer
med middels til grov sand, mørk grå

Foto 1: Hel prøve



Foto 2: Splittet



Tilleggsopplysninger

| FV 119 GS-veg Dilling-Vang GU | | Dokumentnr. |
|-------------------------------|------------|----------------------|
| Visuell beskrivelse | | Figurnr. XXX |
| Boring: | BH105 | Dato 2021-06-09 |
| Sylinder: | 2 | Tegnet av Edv/ThV |
| Dybde [m]: | 2.00 | |
| Åpningsdato | 2021-06-07 | |
| Åpnet av: | Edv | |



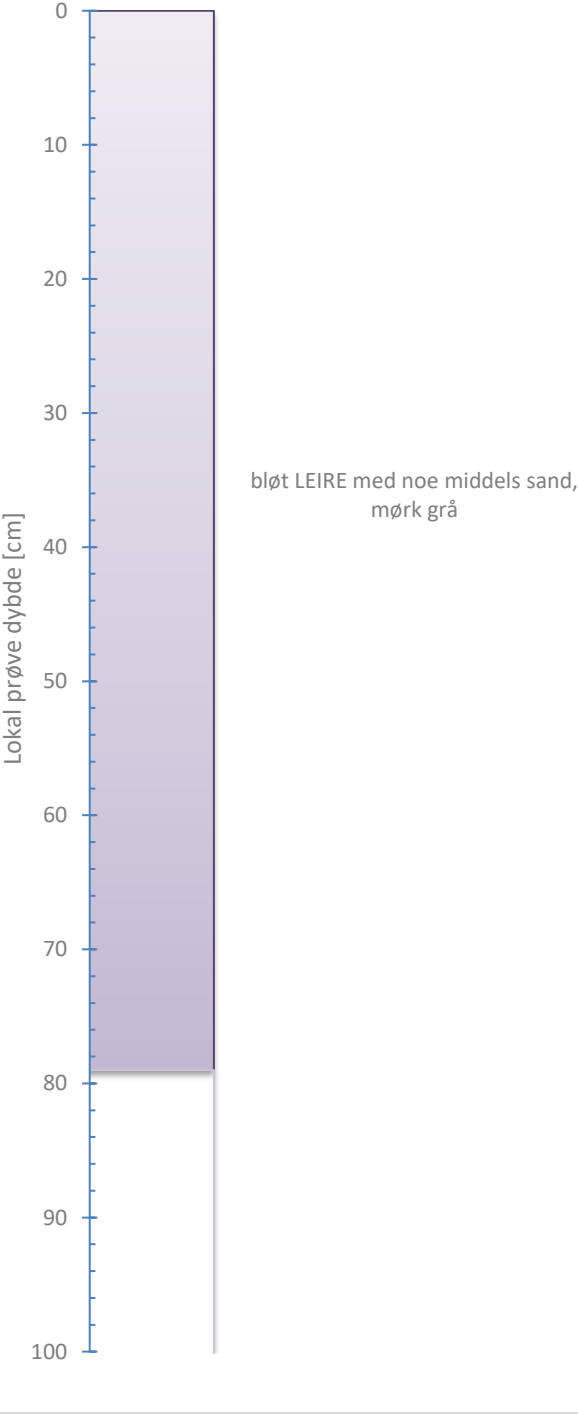


Foto 1: Hel prøve



Foto 2: Splittet



Tilleggsopplysninger

| FV 119 GS-veg Dilling-Vang GU | | Dokumentnr. |
|-------------------------------|------------|----------------------|
| Visuell beskrivelse | | Figurnr. XXX |
| Boring: | BH105 | Dato 2021-06-09 |
| Sylinder: | 3 | Tegnet av Edv/ThV |
| Dybde [m]: | 3.00 | Edv |
| Åpningsdato | 2021-06-07 | |
| Åpnet av: | | |

NGI

Enaksialt trykkforsøk

Generell info

Bestemmelse av udrenert skjærstyrke (C_u), enaksialt trykkstyrke (q_u) og aksiel tøyning (ϵ) av jordmateriale med lav permeabilitet ved enaksial trykkprøving utført i hht. NS-EN ISO 17892-7:2017. Vanninnhold (w) er beregnet i hht ISO 17892-1. Romvekt (γ), romdensitet (ρ) og tørrdensitet (ρ_d) er beregnet i hht ISO 17892-2 (Lineær metode). Dersom maksimum udrenert skjærstyrke ikke finnes ved aksial sammentrykning mindre enn 15 % aksiel tøyning, velges udrenert skjærstyrke som verdien av aksial sammentrykning 15 %.

Mal: UCS Output

Dato/Rev nr.: 2020-10-08/04

Ansvarlig: Fl

Kontrollert av: MAS

Ved brudd

Udrenert skjærstyrke

17 kPa

Enaksial trykkstyrke

34 kPa

Aksiel tøyning

5.2 %

Romvekt

18.9 kN/m³

Romdensitet

1.93 Mg/m³

Tørrdensitet

1.48 Mg/m³

Vanninnhold

30.4 %

Initial høyde

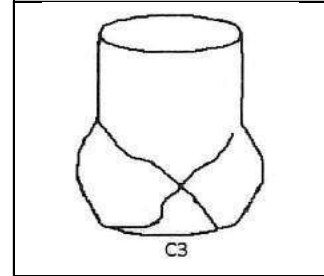
100.0 mm

Initial areal

23.33 cm²

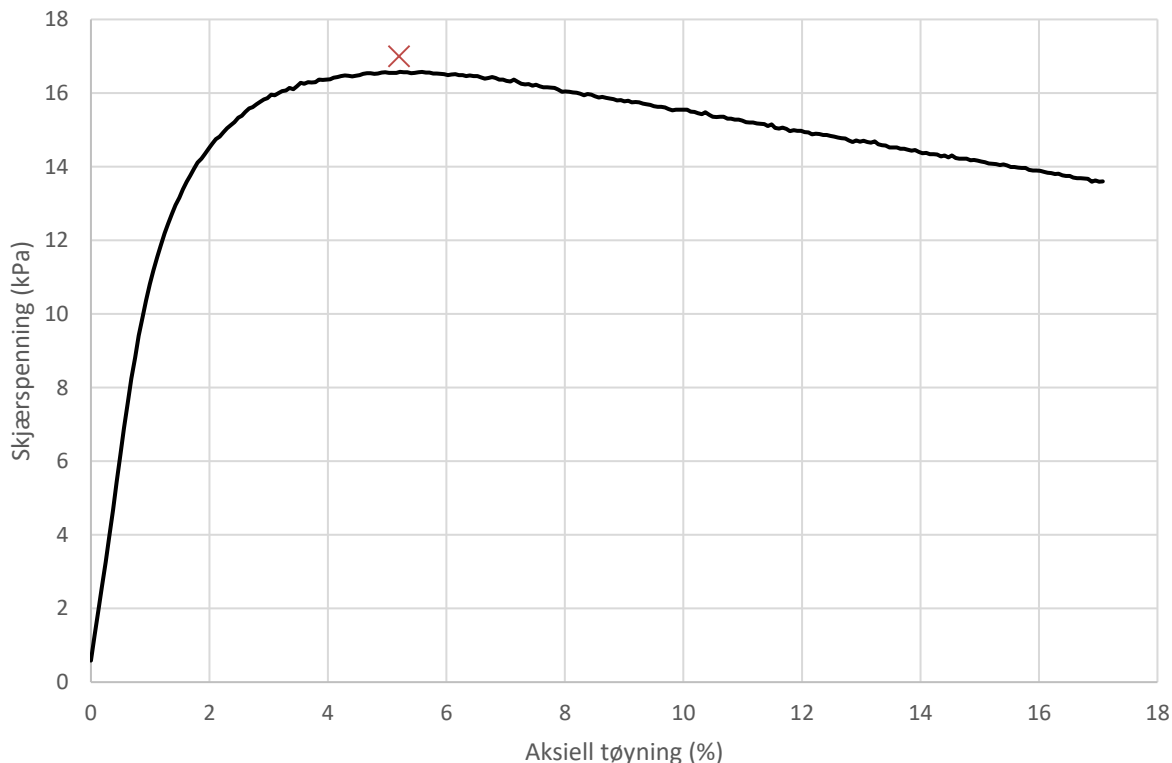
Tøyningsrate

3.8 %/min



Skisse ved brudd

Test preparering



Anmerkning

Tøyningsraten for dette forsøket er større enn anbefalinger fra ISO 17892-7.

FV 119 GS-veg Dilling-Vang GU

Dokumentnr.

Figurnr.

XXX

Dato

2021-06-09

Tegnet av

Kae/ThV

Boring

BH105

Dybde

2.32

m

Sylinder

2

Part

A

Test



Enaksialt trykkforsøk

Generell info

Bestemmelse av udrenert skjærstyrke (C_u), enaksialt trykkstyrke (q_u) og aksiel tøyning (ϵ) av jordmateriale med lav permeabilitet ved enaksial trykkprøving utført i hht. NS-EN ISO 17892-7:2017. Vanninnhold (w) er beregnet i hht ISO 17892-1. Romvekt (γ), romdensitet (ρ) og tørrdensitet (ρ_d) er beregnet i hht ISO 17892-2 (Lineær metode). Dersom maksimum udrenert skjærstyrke ikke finnes ved aksial sammentrykning mindre enn 15 % aksiel tøyning, velges udrenert skjærstyrke som verdien av aksial sammentrykning 15 %.

Mal: UCS Output

Dato/Rev nr.: 2020-10-08/04

Ansvarlig: Fl

Kontrollert av: MAS

Ved brudd

Udrenert skjærstyrke

11 kPa

Enaksial trykkstyrke

22 kPa

Aksiel tøyning

3.6 %

Romvekt

17.4 kN/m³

Romdensitet

1.77 Mg/m³

Tørrdensitet

1.22 Mg/m³

Vanninnhold

45.5 %

Initial høyde

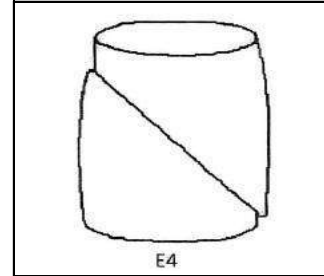
100.0 mm

Initial areal

23.33 cm²

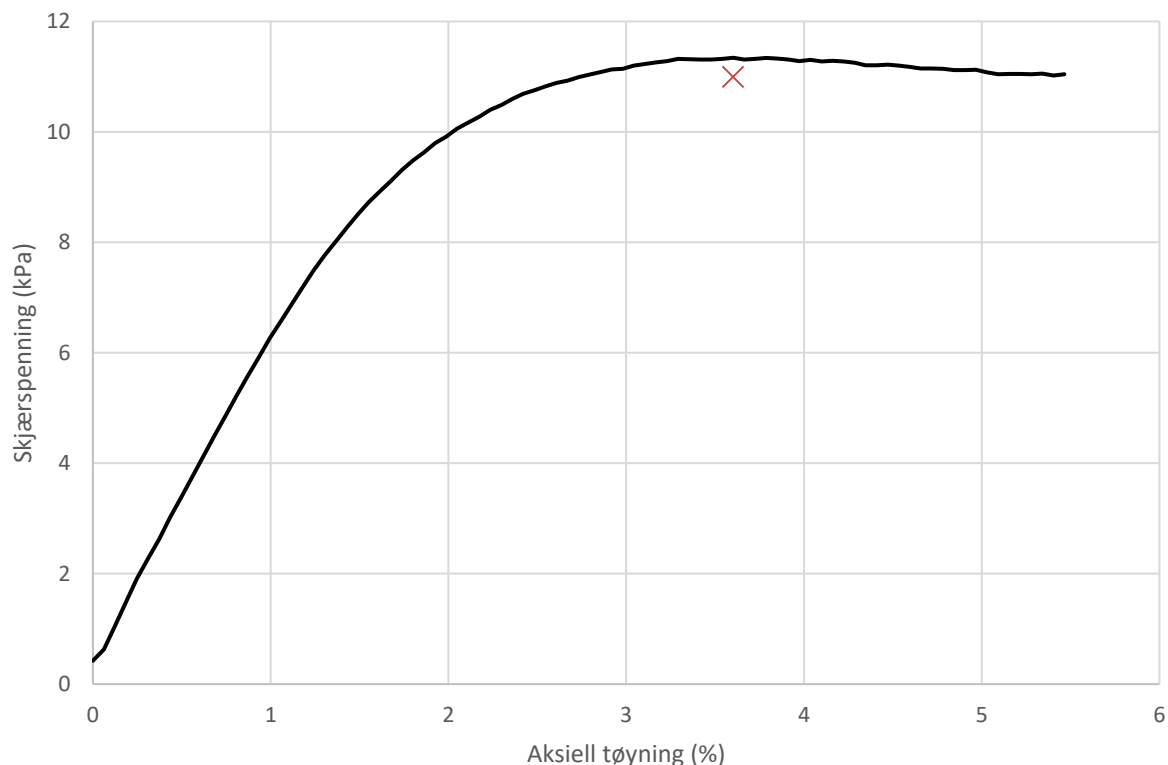
Tøyningsrate

3.8 %/min



Skisse ved brudd

Test preparering



Anmerkning

Tøyningsraten for dette forsøket er større enn anbefalinger fra ISO 17892-7.

FV 119 GS-veg Dilling-Vang GU

Dokumentnr.

Figurnr.

XXX

Dato

2021-06-09

Tegnet av

Kae/ThV

Boring BH105

Dybde

3.46

m

Sylinder 3

Part A

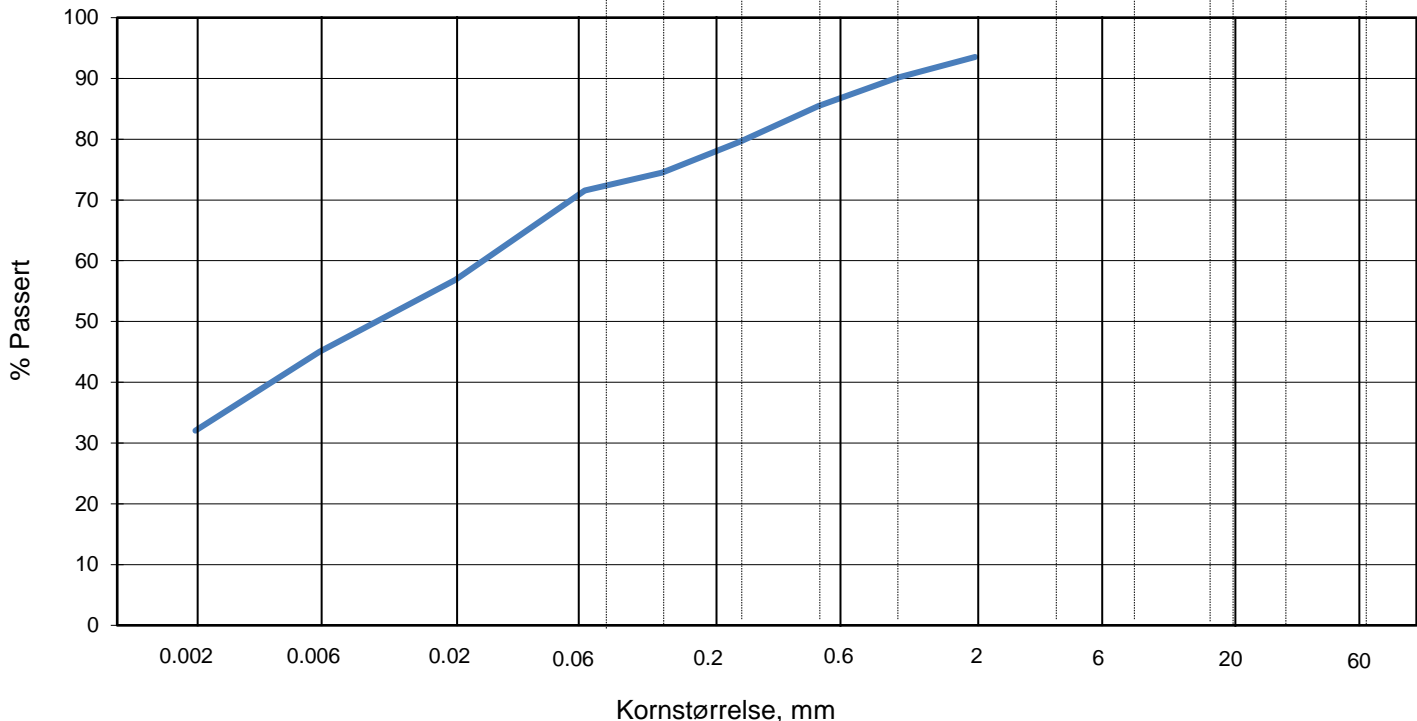
Test



KORNSTØRRELSESFORDeling

hht. laboratorieprosedyre LLP008

| L E I R | SILT | | | SAND | | | GRUS | | | |
|-------------------|------|---------|------|------|---------|------|------|---------|-------|---------|
| | Fin | Middels | Grov | Fin | Middels | Grov | Fin | Middels | Grov | |
| US Standard Sikt | 200 | 100 | 50 | 30 | 16 | 8 | 4 | 3/8" | 3/4" | 1.5" |
| ISO Standard Sikt | .075 | .125 | .25 | .5 | 1 | 2 | 4 | 8 | 16 19 | 31.5 63 |



| Sikting | |
|---------------------|-----------|
| Kornstørrelse mm | % Passert |
| 63 | |
| 31.5 | |
| 19 | |
| 16 | |
| 8 | |
| 4 | |
| 2 | 94 |
| 1 | 90 |
| 0.5 | 85 |
| 0.25 | 80 |
| 0.125 | 75 |
| 0.063 | 72 |
| 0.020 | 57 |
| 0.006 | 45 |
| 0.002 | 32 |

| | |
|---|--------------|
| Jordartsbetegnelse | LEIRE |
| Test metode(r) | Falling drop |
| Antatt korndensitet (Mg/m ³) | 2.75 |

| Fraksjon | % tørr masse |
|----------------|--------------|
| Stein og blokk | 0.0 |
| Grus | 6.5 |
| Sand | 22.0 |
| Silt | 39.5 |
| Leire | 32.0 |

| Anmerkning |
|------------|
| |

| Graderingsanalyse og telegruppe | | |
|---------------------------------|------|-------|
| D60 | (mm) | 0.026 |
| D10 | (mm) | |
| CU (D60/D10) | | |
| Telegruppe | | T4 |

Rev. 04/2019-06-18 / Sign. FI

FV 119 GS-veg Dilling-Vang GU

Dokumentnr.

Figurnr.

XXX

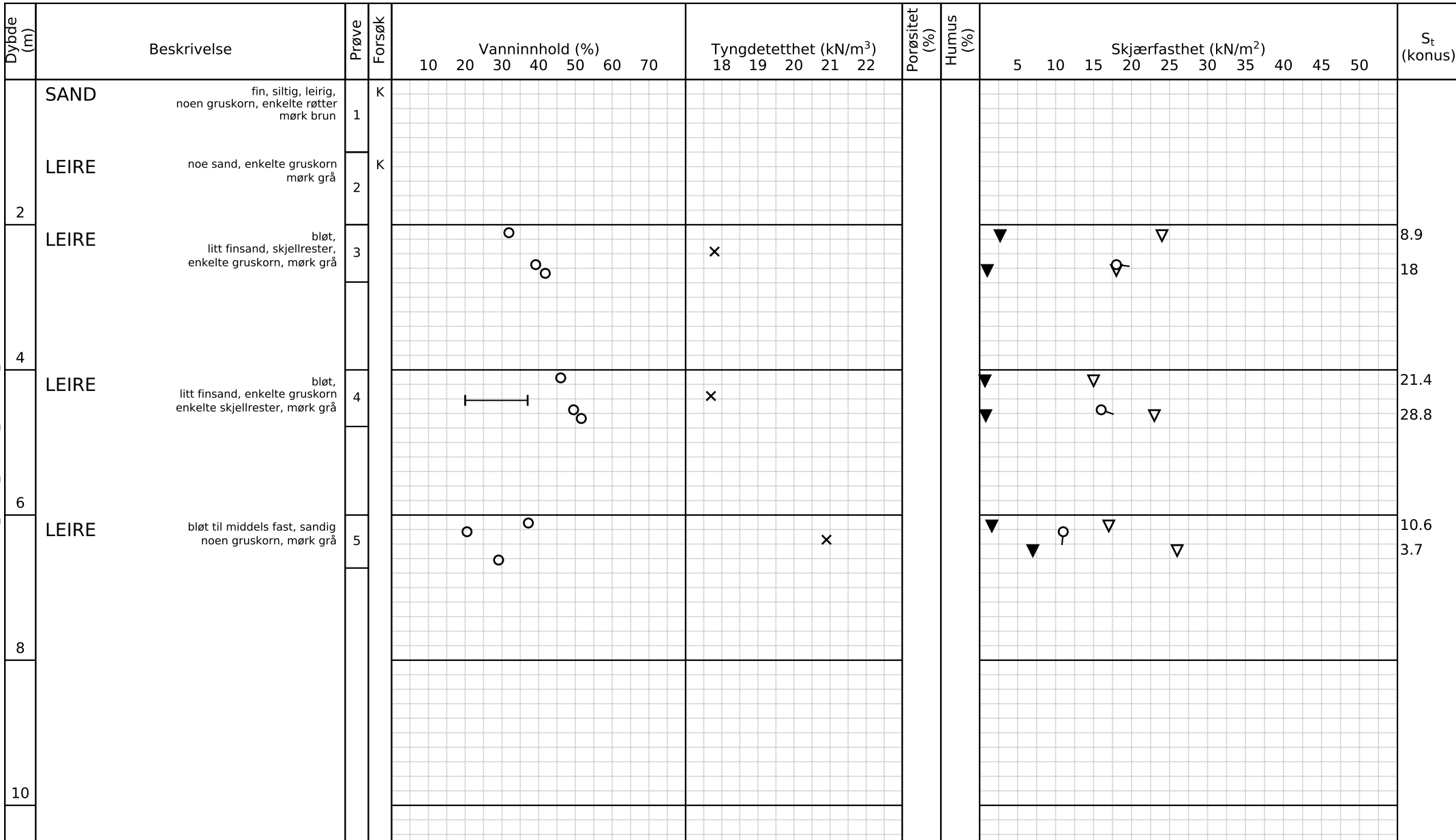
Dato

2021-06-10

Tegnet/godkjent

GeA/ThV





Alle indeksresultatene er godkjent i KeyLAB

TEGNFORKLARING:
 Plastisitetsgrense/Vanninnhold/Flytegrense
15-5 Enaks. trykkforsøk/def. ved brudd S_t Sensitivitet

10 ▽ Konusforsøk, uforstyrret

▼ Konusforsøk, omrørt

+ Vingeboring

T = Treaksialforsøk

K/S = Kalk/Sement stabilisering

D = Direkte skjærforsøk (DSS)

FV 119 GS-veg Dilling-Vang GU

Software version 2021-04-01

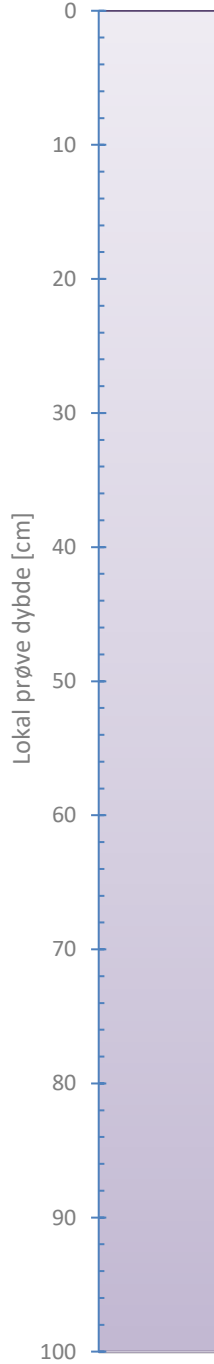
Dokument nr.
20210060-24-01-R

Figur nr.

Borprofil del 1 av 1
Borpunkt nr.: BH109Prøvetype: poser / 54 mm
Terrengkote (moh): 20.426
Grunnvannstand (m):

Dato boret: 2021-05-20

Dato
2021-06-10 Tegnet av
Thv



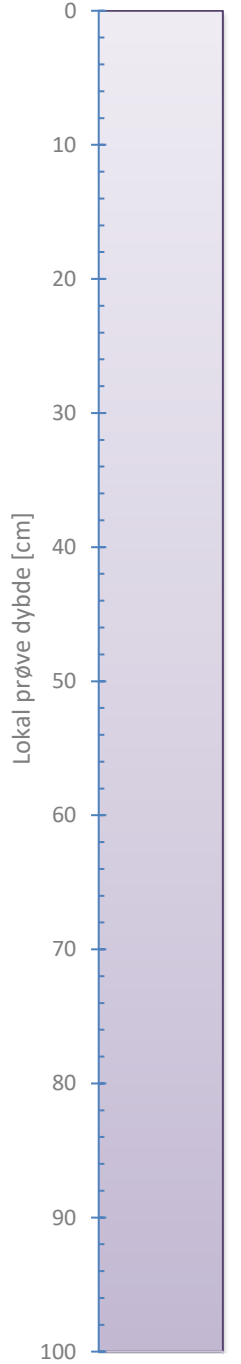
siltig, leirig fin SAND med noen fin til
middels gruskorn, enkelte røtter, mørk
brun

Foto



Tilleggsopplysninger

| FV 119 GS-veg Dilling-Vang GU | | Dokumentnr. |
|-------------------------------|------------|----------------------|
| Visuell beskrivelse | | Figurnr. XXX |
| Boring: | BH109 | Dato 2021-06-10 |
| Sylinder: | 1 | Tegnet av EJB/EvS |
| Dybde [m]: | 0.00 | NGI |
| Åpningsdato | 2021-06-08 | |
| Åpnet av: | EJB | |



LEIRE med noe sand, enkelte middels
gruskorn, mørk grå

Foto



Tilleggsopplysninger

FV 119 GS-veg Dilling-Vang GU

Visuell beskrivelse

Boring: BH109

Sylinder: 2

Dybde [m]: 1.00

Prøvetype: Pose

Åpningsdato 2021-06-08

Åpnet av: EJB

Rev. 4 / Dato 2020-04-03 / Sign. Fl

Dokumentnr.

Figurnr.
XXX

Dato 2021-06-10 Tegnet av
EJB/EvS



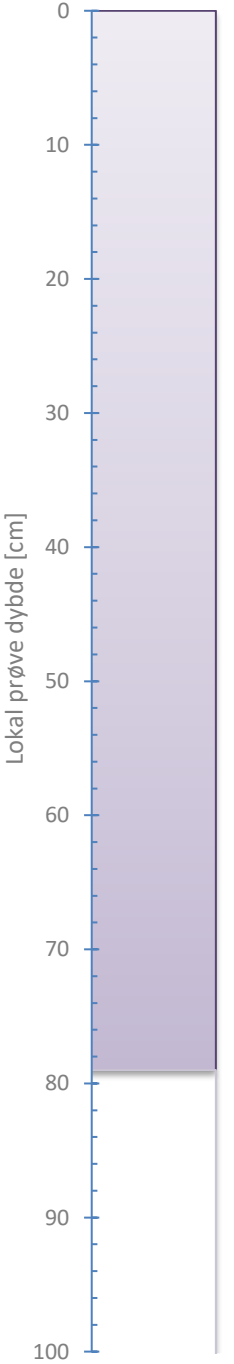


Foto 1: Hel prøve



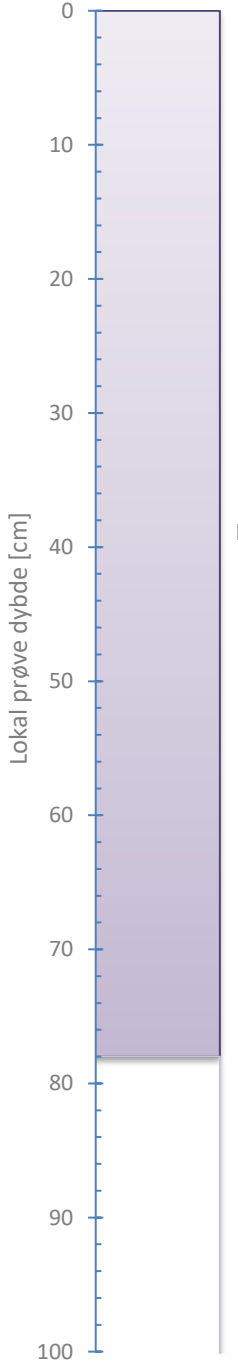
Foto 2: Splittet



Tilleggsopplysninger

| FV 119 GS-veg Dilling-Vang GU | Dokumentnr. |
|-------------------------------|----------------------|
| Visuell beskrivelse | Figurnr. XXX |
| Boring: BH109 | Dato 2021-06-10 |
| Prøvetype: Sylinder | Tegnet av EJB/EvS |
| Sylinder: 3 | |
| Åpningsdato 2021-06-09 | |
| Dybde [m]: 2.00 | |
| Åpnet av: EJB | |

NGI



bløt LEIRE med litt gjennomgående finsand, enkelte gruskorn (ett større gruskorn i toppen av prøven - 5cm lengde), enkelte skjellrester, mørk grå

Foto 1: Hel prøve



Foto 2: Splittet



Tilleggsopplysninger

| FV 119 GS-veg Dilling-Vang GU | | Dokumentnr. |
|-------------------------------|-------|----------------------|
| Visuell beskrivelse | | Figurnr. XXX |
| Boring: | BH109 | Dato 2021-06-10 |
| Sylinder: | 4 | Tegnet av EJB/EvS |
| Dybde [m]: | 4.00 | |
| | | |
| | | |

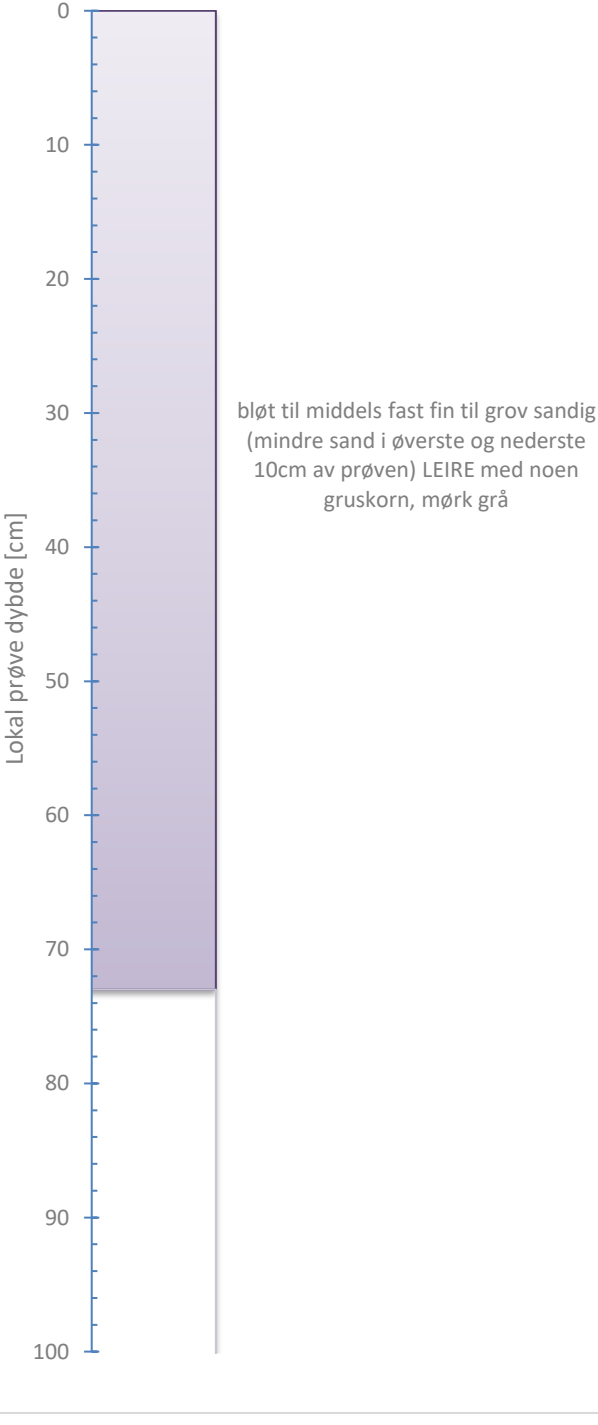


Foto 1: Hel prøve



Foto 2: Splittet



Tilleggsopplysninger

| FV 119 GS-veg Dilling-Vang GU | | Dokumentnr. |
|-------------------------------|------------|----------------------|
| Visuell beskrivelse | | Figurnr. XXX |
| Boring: | BH109 | Dato 2021-06-10 |
| Sylinder: | 5 | Tegnet av EJB/EvS |
| Dybde [m]: | 6.00 | |
| Prøvetype: | Sylinder | |
| Åpningsdato | 2021-06-09 | |
| Åpnet av: | EJB | |

NGI

Enaksialt trykkforsøk

Generell info

Bestemmelse av udrenert skjærstyrke (C_u), enaksialt trykkstyrke (q_u) og aksiel tøyning (ϵ) av jordmateriale med lav permeabilitet ved enaksial trykkprøving utført i hht. NS-EN ISO 17892-7:2017. Vanninnhold (w) er beregnet i hht ISO 17892-1. Romvekt (γ), romdensitet (ρ) og tørrdensitet (ρ_d) er beregnet i hht ISO 17892-2 (Lineær metode). Dersom maksimum udrenert skjærstyrke ikke finnes ved aksial sammentrykning mindre enn 15 % aksiel tøyning, velges udrenert skjærstyrke som verdien av aksial sammentrykning 15 %.

Mal: UCS Output

Dato/Rev nr.: 2020-10-08/04

Ansvarlig: Fl

Kontrollert av: MAS

Ved brudd

Udrenert skjærstyrke

18 kPa

Enaksial trykkstyrke

36 kPa

Aksiel tøyning

5.4 %

Romvekt

17.9 kN/m³

Romdensitet

1.83 Mg/m³

Tørrdensitet

1.31 Mg/m³

Vanninnhold

39.2 %

Initial høyde

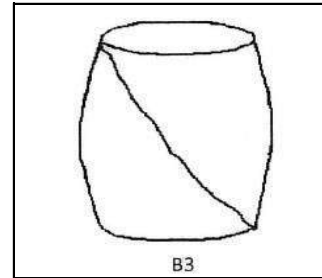
100.0 mm

Initial areal

23.33 cm²

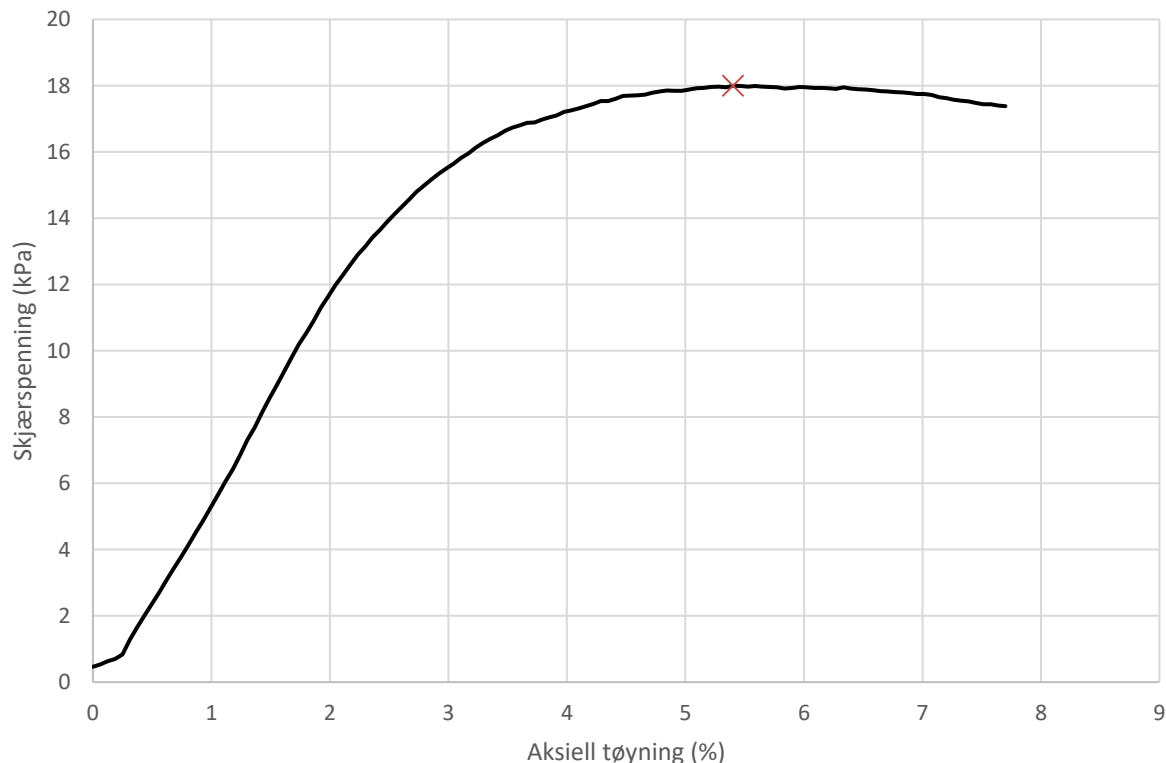
Tøyningsrate

3.8 %/min



Skisse ved brudd

Test preparering



Anmerkning

Tøyningsraten for dette forsøket er større enn anbefalinger fra ISO 17892-7.

FV 119 GS-veg Dilling-Vang GU

Dokumentnr.

Figurnr.

XXX

Dato

2021-06-10

Tegnet av

EJB/ThV

Boring

BH109

Dybde

2.55

m

Sylinder

3

Part

Test



Enaksialt trykkforsøk

Generell info

Bestemmelse av udrenert skjærstyrke (C_u), enaksialt trykkstyrke (q_u) og aksiel tøyning (ϵ) av jordmateriale med lav permeabilitet ved enaksial trykkprøving utført i hht. NS-EN ISO 17892-7:2017. Vanninnhold (w) er beregnet i hht ISO 17892-1. Romvekt (γ), romdensitet (ρ) og tørrdensitet (ρ_d) er beregnet i hht ISO 17892-2 (Lineær metode). Dersom maksimum udrenert skjærstyrke ikke finnes ved aksial sammentrykning mindre enn 15 % aksiel tøyning, velges udrenert skjærstyrke som verdien av aksial sammentrykning 15 %.

Mal: UCS Output

Dato/Rev nr.: 2020-10-08/04

Ansvarlig: Fl

Kontrollert av: MAS

Ved brudd

Udrenert skjærstyrke

16 kPa

Enaksial trykkstyrke

32 kPa

Aksiel tøyning

6.1 %

Romvekt

17.1 kN/m³

Romdensitet

1.74 Mg/m³

Tørrdensitet

1.16 Mg/m³

Vanninnhold

49.5 %

Initial høyde

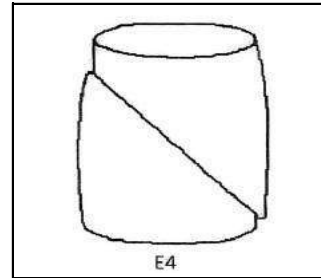
100.0 mm

Initial areal

23.33 cm²

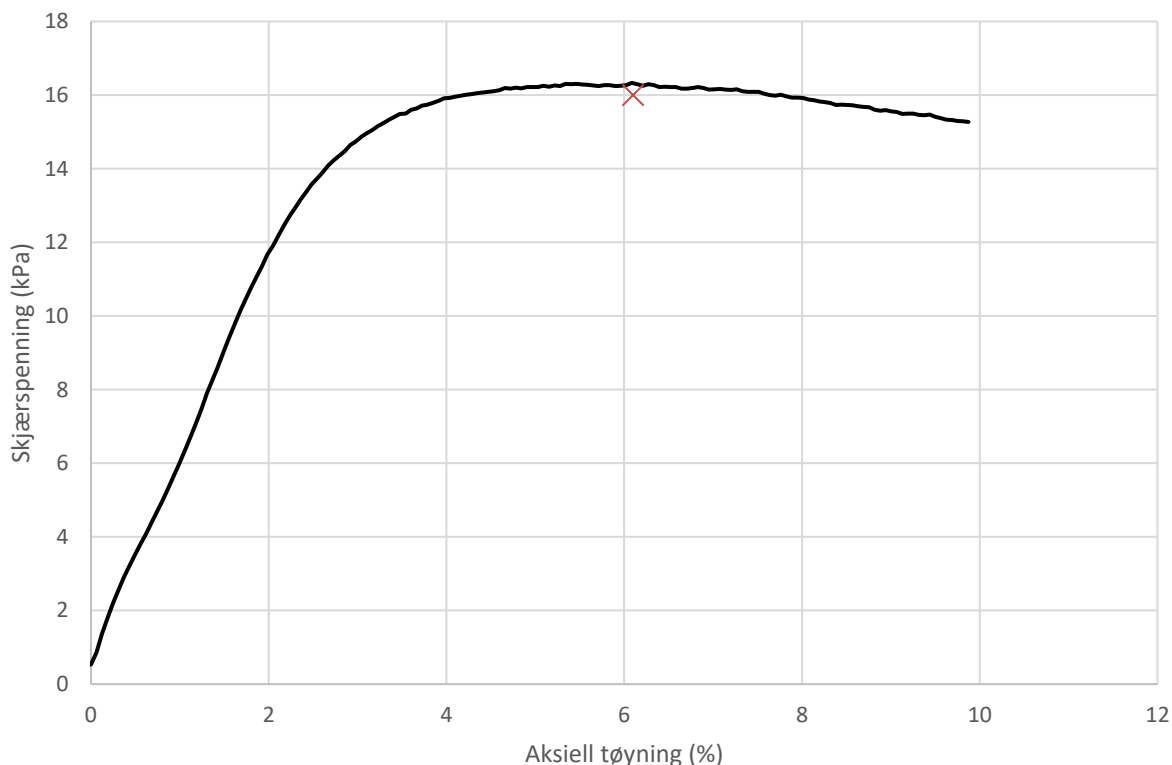
Tøyningsrate

3.8 %/min



Skisse ved brudd

Test preparering



Anmerkning

Tøyningsraten for dette forsøket er større enn anbefalinger fra ISO 17892-7.

FV 119 GS-veg Dilling-Vang GU

Dokumentnr.

Figurnr.

XXX

Dato

2021-06-10

Tegnet av

EJB/ThV

Boring BH109

Dybde

4.55

m

Sylinder 4

Part

Test



Enaksialt trykkforsøk

Generell info

Bestemmelse av udrenert skjærstyrke (C_u), enaksialt trykkstyrke (q_u) og aksiel tøyning (ϵ) av jordmateriale med lav permeabilitet ved enaksial trykkprøving utført i hht. NS-EN ISO 17892-7:2017. Vanninnhold (w) er beregnet i hht ISO 17892-1. Romvekt (γ), romdensitet (ρ) og tørrdensitet (ρ_d) er beregnet i hht ISO 17892-2 (Lineær metode). Dersom maksimum udrenert skjærstyrke ikke finnes ved aksial sammentrykning mindre enn 15 % aksiel tøyning, velges udrenert skjærstyrke som verdien av aksial sammentrykning 15 %.

Mal: UCS Output

Dato/Rev nr.: 2020-10-08/04

Ansvarlig: Fl

Kontrollert av: MAS

Ved brudd

Udrenert skjærstyrke

11 kPa

Enaksial trykkstyrke

22 kPa

Aksiel tøyning

10.3 %

Romvekt

20.2 kN/m³

Romdensitet

2.06 Mg/m³

Tørrdensitet

1.71 Mg/m³

Vanninnhold

20.5 %

Initial høyde

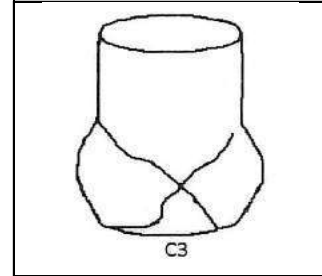
100.0 mm

Initial areal

23.33 cm²

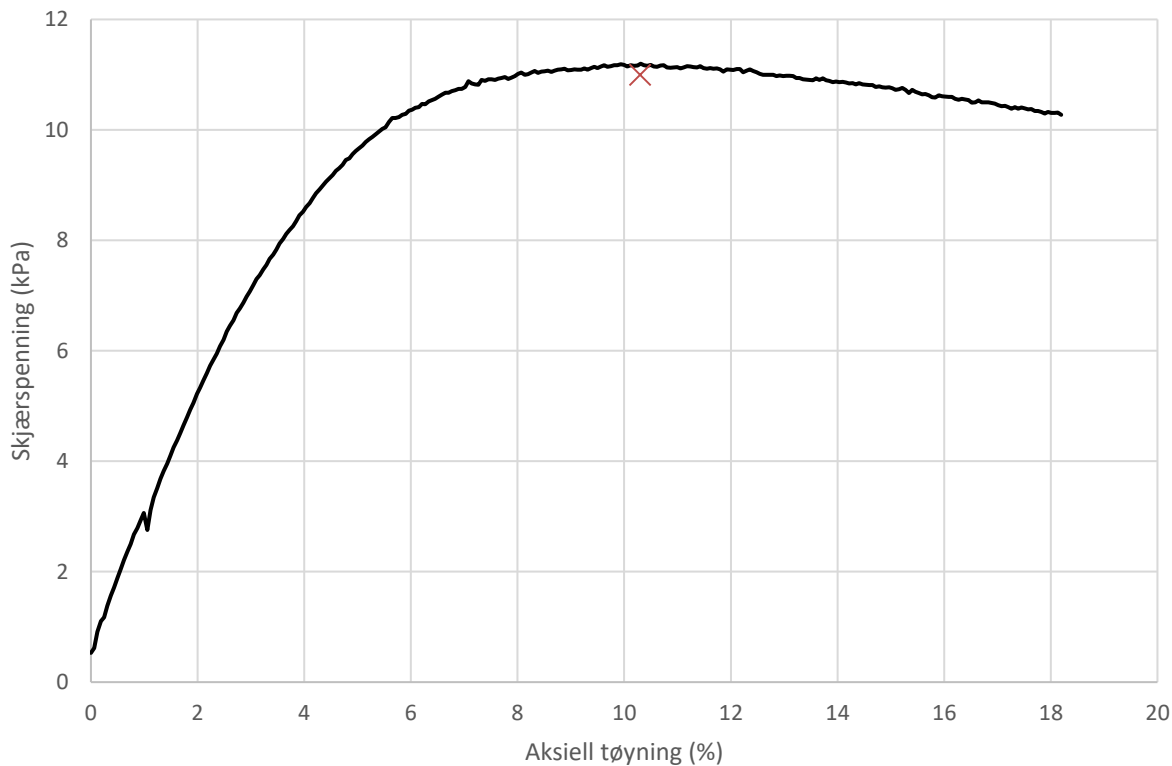
Tøyningsrate

3.8 %/min



Skisse ved brudd

Test preparering



Anmerkning

Tøyningsraten for dette forsøket er større enn anbefalinger fra ISO 17892-7.

FV 119 GS-veg Dilling-Vang GU

Dokumentnr.

Figurnr.

XXX

Dato

2021-06-10

Tegnet av

EJB/ThV

Boring BH109

Dybde

6.23

m

Sylinder 5

Part

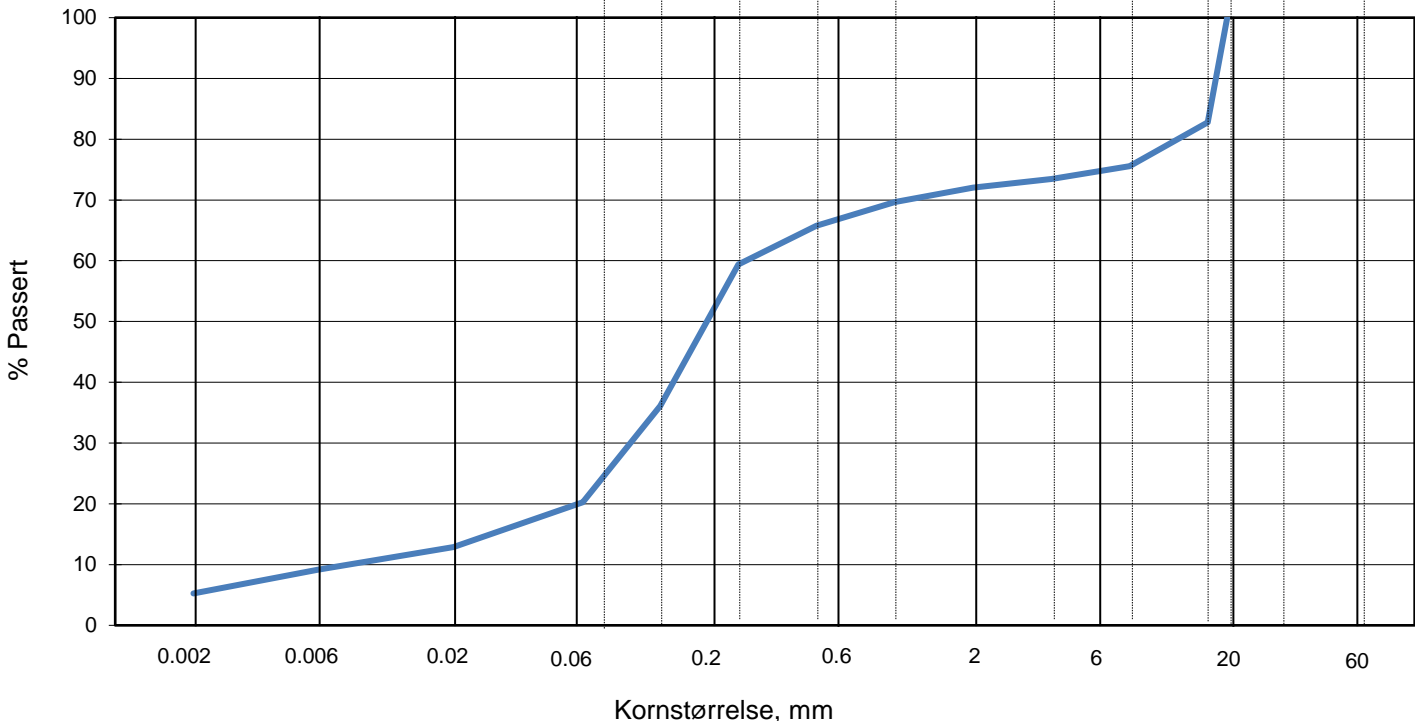
Test



KORNSTØRRELSESFORDeling

hht. NS-EN 17892-4:2016 og laboratorieprosedyre LLP008

| L E I R | SILT | | | SAND | | | GRUS | | | |
|-------------------|------|---------|------|------|---------|------|------|---------|-------|---------|
| | Fin | Middels | Grov | Fin | Middels | Grov | Fin | Middels | Grov | |
| US Standard Sikt | 200 | 100 | 50 | 30 | 16 | 8 | 4 | 3/8" | 3/4" | 1.5" |
| ISO Standard Sikt | .075 | .125 | .25 | .5 | 1 | 2 | 4 | 8 | 16 19 | 31.5 63 |



| Sikting | |
|---------------------|-----------|
| Kornstørrelse mm | % Passert |
| 63 | |
| 31.5 | |
| 19 | 100 |
| 16 | 83 |
| 8 | 76 |
| 4 | 73 |
| 2 | 72 |
| 1 | 70 |
| 0.5 | 66 |
| 0.25 | 59 |
| 0.125 | 36 |
| 0.063 | 20 |
| 0.020 | 13 |
| 0.006 | 9 |
| 0.002 | 5 |

| | |
|---|---|
| Jordartsbetegnelse | JORDMATERIALE, sandig, grusig, siltig, leirig |
| Test metode(r) | våt sikting + falling drop |
| Antatt korndensitet (Mg/m ³) | 2.75 |

| Fraksjon | % tørr masse |
|----------------|--------------|
| Stein og blokk | 0.0 |
| Grus | 28.0 |
| Sand | 51.8 |
| Silt | 15.0 |
| Leire | 5.2 |

Anmerkning
Minimum total prøvemengde ikke oppnådd. Delt i to deler. Noe organiske rester i prøven.

| Graderingsanalyse og telegruppe | | |
|---------------------------------|------|-------|
| D60 | (mm) | 0.267 |
| D10 | (mm) | 0.008 |
| CU (D60/D10) | | 34.0 |
| Telegruppe | | T3 |

Rev. 04/2019-06-18 / Sign. Fl

FV 119 GS-veg Dilling-Vang GU

Dokumentnr.

Figurnr.

XXX

Dato

2021-06-10

Tegnet/godkjent

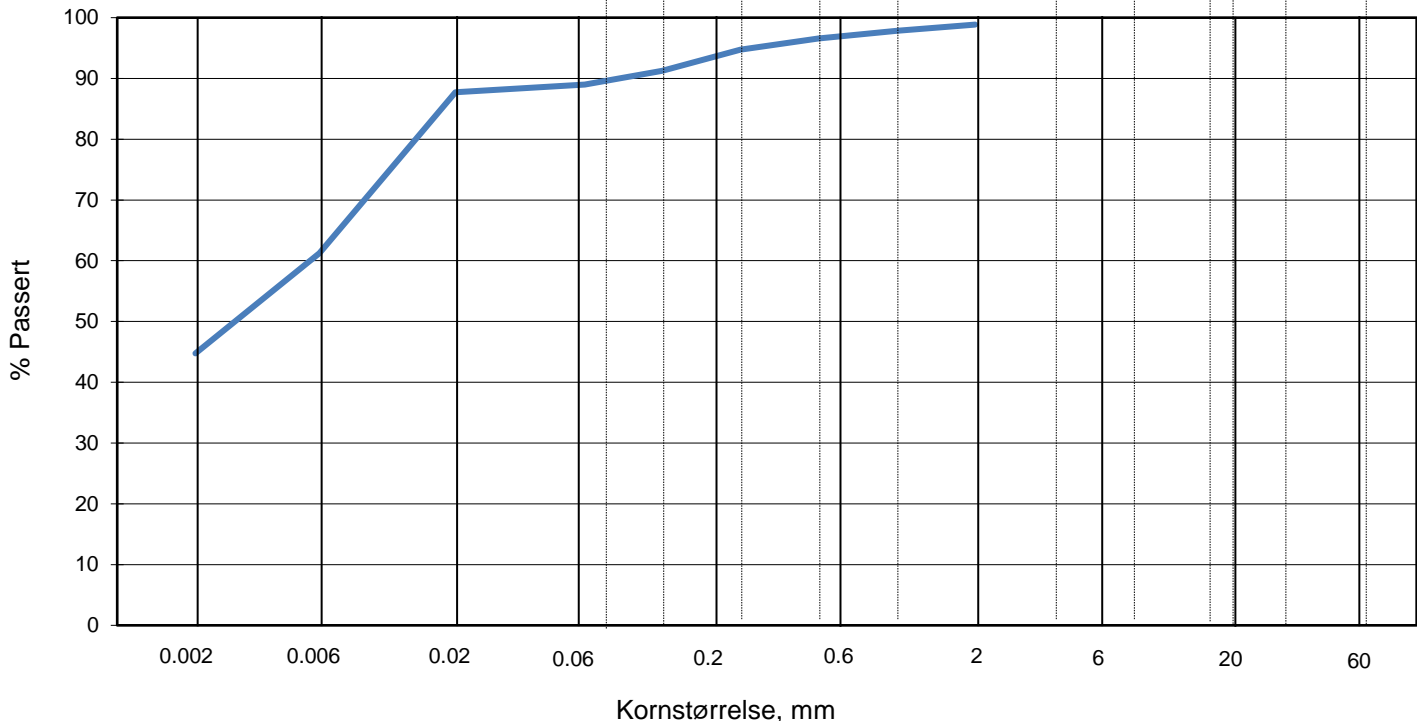
GeA/ThV



KORNSTØRRELSESFORDeling

hht. laboratorieprosedyre LLP008

| L E I R | SILT | | | SAND | | | GRUS | | | |
|-------------------|------|---------|------|------|---------|------|------|---------|-------|---------|
| | Fin | Middels | Grov | Fin | Middels | Grov | Fin | Middels | Grov | |
| US Standard Sikt | 200 | 100 | 50 | 30 | 16 | 8 | 4 | 3/8" | 3/4" | 1.5" |
| ISO Standard Sikt | .075 | .125 | .25 | .5 | 1 | 2 | 4 | 8 | 16 19 | 31.5 63 |



| Sikting | |
|---------------------|-----------|
| Kornstørrelse mm | % Passert |
| 63 | |
| 31.5 | |
| 19 | |
| 16 | |
| 8 | |
| 4 | |
| 2 | 99 |
| 1 | 98 |
| 0.5 | 97 |
| 0.25 | 95 |
| 0.125 | 91 |
| 0.063 | 89 |
| 0.020 | 88 |
| 0.006 | 61 |
| 0.002 | 45 |

| | |
|---|--------------|
| Jordartsbetegnelse | LEIRE |
| Test metode(r) | Falling drop |
| Antatt korndensitet (Mg/m ³) | 2.75 |

| Fraksjon | % tørr masse |
|----------------|--------------|
| Stein og blokk | 0.0 |
| Grus | 1.1 |
| Sand | 9.9 |
| Silt | 44.2 |
| Leire | 44.8 |

| Anmerkning |
|------------|
| |

| Graderingsanalyse og telegruppe | | |
|---------------------------------|------|-------|
| D60 | (mm) | 0.006 |
| D10 | (mm) | |
| CU (D60/D10) | | |
| Telegruppe | | T3 |

Rev. 04/2019-06-18 / Sign. FI

FV 119 GS-veg Dilling-Vang GU

Dokumentnr.

Figurnr.

XXX

Dato

2021-06-10

Tegnet/godkjent

GeA/ThV

Boring: BH109

Dybde: 1.50 m

Tube: 2



Vedlegg 3

Resultater fra elektriske poretrykksmålere

Poretrykksmåler

| Prosjekt: | Oppdragsnr: | Borhull: |
|---|----------------|--------------------|
| Fv 119 GS-veg Dilling-Vang Supplerende GU | A228076 | 6 |
| System: | Installert av: | Installasjonsdato: |
| Elektrisk, Geotech | ADKM | 26.05.21 |

PZ nivå 1

| | | | | | |
|--------------------------|------|--------|------------|-------------------|--------|
| Terrengnivå | kote | +22,06 | Spissnivå | kote | +16,36 |
| Topp rør til spiss (a) | m | 7,30 | γ_w | kN/m ³ | 10,00 |
| Rørhøyde over terren (c) | m | 1,60 | Forboret | m | 2,00 |
| Spissdybde under terren | m | 5,70 | Spissnr. | | 19793 |

PZ nivå 2

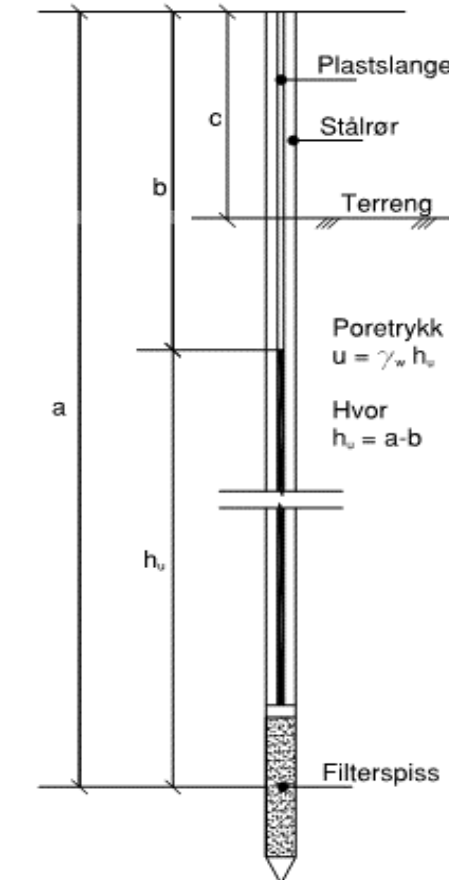
| | | | | | |
|--------------------------|------|--|------------|-------------------|--|
| Terrengnivå | kote | | Spissnivå | kote | |
| Topp rør til spiss (a) | m | | γ_w | kN/m ³ | |
| Rørhøyde over terren (c) | m | | Forboret | m | |
| Spissdybde under terren | m | | Spissnr. | | |

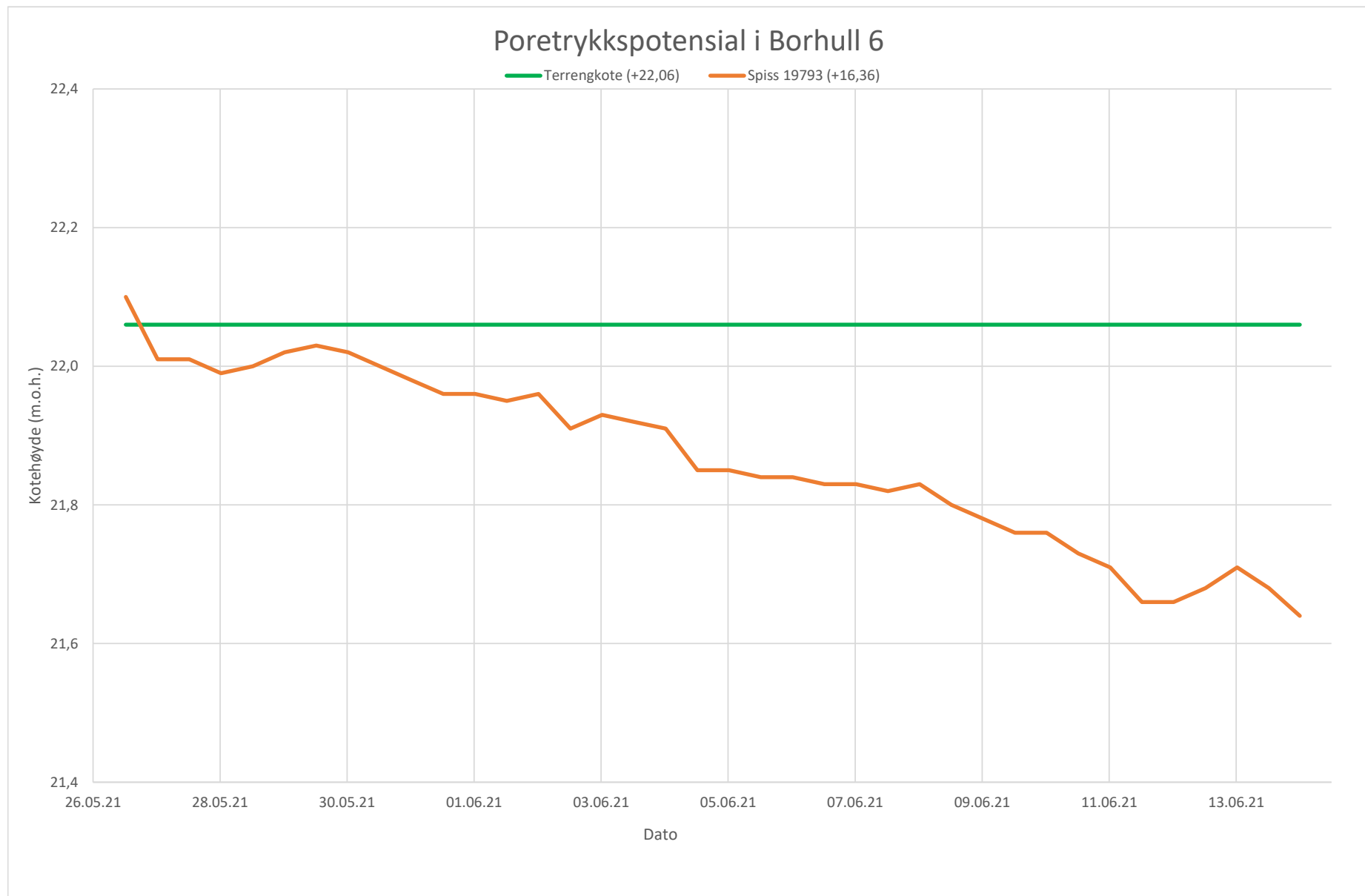
PZ nivå 3

| | | | | | |
|--------------------------|------|--|------------|-------------------|--|
| Terrengnivå | kote | | Spissnivå | kote | |
| Topp rør til spiss (a) | m | | γ_w | kN/m ³ | |
| Rørhøyde over terren (c) | m | | Forboret | m | |
| Spissdybde under terren | m | | Spissnr. | | |

Kommentar: Se vedlegg for koterelaterte poretrykksmålinger.

Forklaring: a Total høyde fra topp rør til spiss
 c Total rør høyde over terren





Poretrykksmåler

| Prosjekt: | Oppdragsnr: | Borhull: |
|---|----------------|--------------------|
| Fv 119 GS-veg Dilling-Vang Supplerende GU | A228076 | 16 |
| System: | Installert av: | Installasjonsdato: |
| Elektrisk, Geotech | ADKM | 25.05.21 |

PZ nivå 1

| | | | | | |
|--------------------------|------|--------|------------|-------------------|--------|
| Terrengnivå | kote | +19,70 | Spissnivå | kote | +11,30 |
| Topp rør til spiss (a) | m | 9,00 | γ_w | kN/m ³ | 10,00 |
| Rørhøyde over terren (c) | m | 0,60 | Forboret | m | 4,00 |
| Spissdybde under terren | m | 8,40 | Spissnr. | | 19794 |

PZ nivå 2

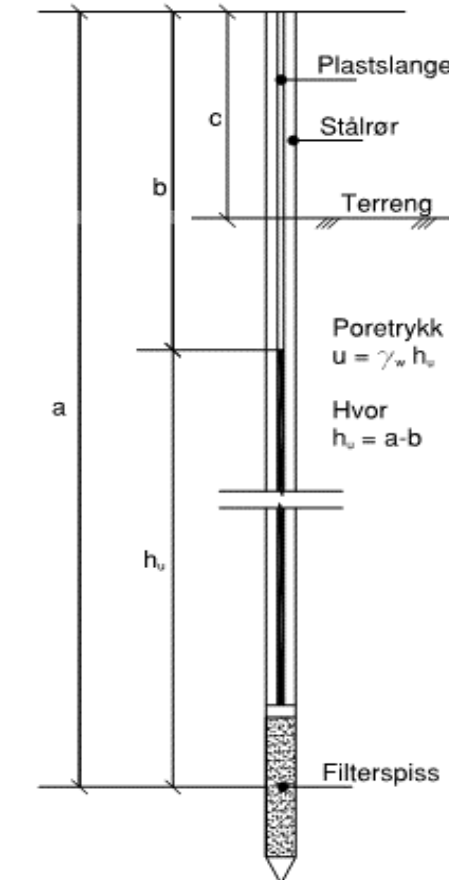
| | | | | | |
|--------------------------|------|--|------------|-------------------|--|
| Terrengnivå | kote | | Spissnivå | kote | |
| Topp rør til spiss (a) | m | | γ_w | kN/m ³ | |
| Rørhøyde over terren (c) | m | | Forboret | m | |
| Spissdybde under terren | m | | Spissnr. | | |

PZ nivå 3

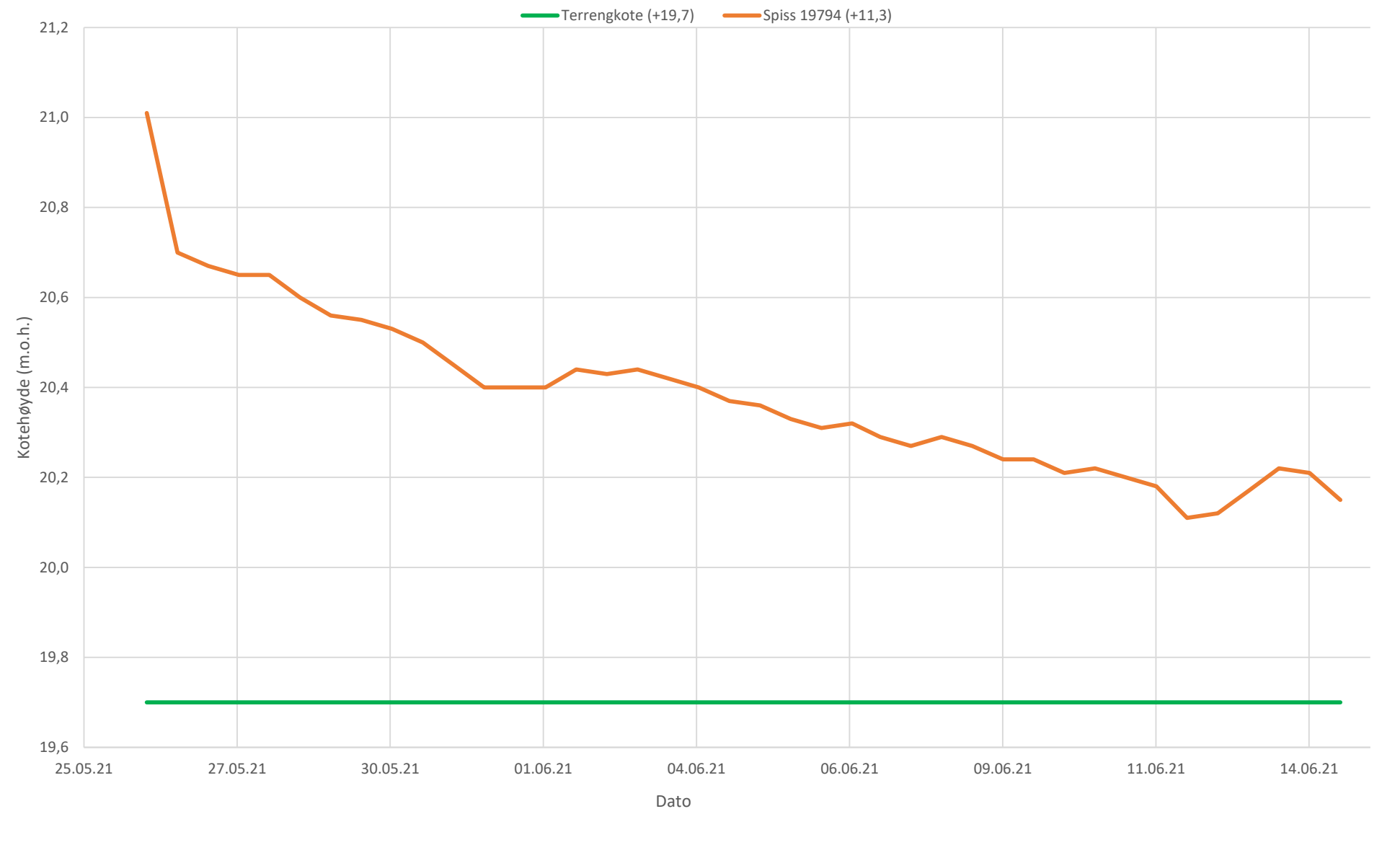
| | | | | | |
|--------------------------|------|--|------------|-------------------|--|
| Terrengnivå | kote | | Spissnivå | kote | |
| Topp rør til spiss (a) | m | | γ_w | kN/m ³ | |
| Rørhøyde over terren (c) | m | | Forboret | m | |
| Spissdybde under terren | m | | Spissnr. | | |

Kommentar: Se vedlegg for koterelaterte poretrykksmålinger.

Forklaring: a Total høyde fra topp rør til spiss
 c Total rør høyde over terren



Poretrykkspotensial i Borhull 16



Poretrykksmåler

| | | |
|---|----------------|--------------------|
| Prosjekt: | Oppdragsnr: | Borhull: |
| Fv 119 GS-veg Dilling-Vang Supplerende GU | A228076 | 22 |
| System: | Installert av: | Installasjonsdato: |
| Elektrisk, Geotech | ADKM | 18.05.21 |

PZ nivå 1

| | | | | | |
|--------------------------|------|--------|------------|-------------------|--------|
| Terrengnivå | kote | +25,52 | Spissnivå | kote | +15,12 |
| Topp rør til spiss (a) | m | 12,00 | γ_w | kN/m ³ | 10,00 |
| Rørhøyde over terren (c) | m | 1,60 | Forboret | m | 6,00 |
| Spissdybde under terren | m | 10,40 | Spissnr. | | 19648 |

PZ nivå 2

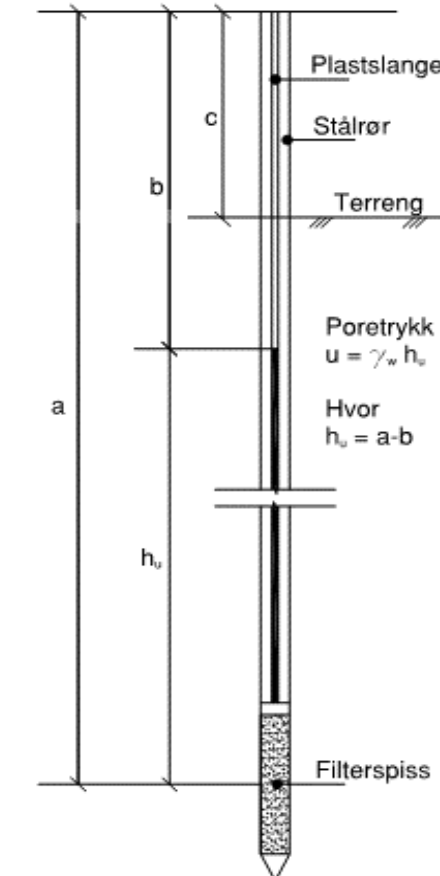
| | | | | | |
|--------------------------|------|--|------------|-------------------|--|
| Terrengnivå | kote | | Spissnivå | kote | |
| Topp rør til spiss (a) | m | | γ_w | kN/m ³ | |
| Rørhøyde over terren (c) | m | | Forboret | m | |
| Spissdybde under terren | m | | Spissnr. | | |

PZ nivå 3

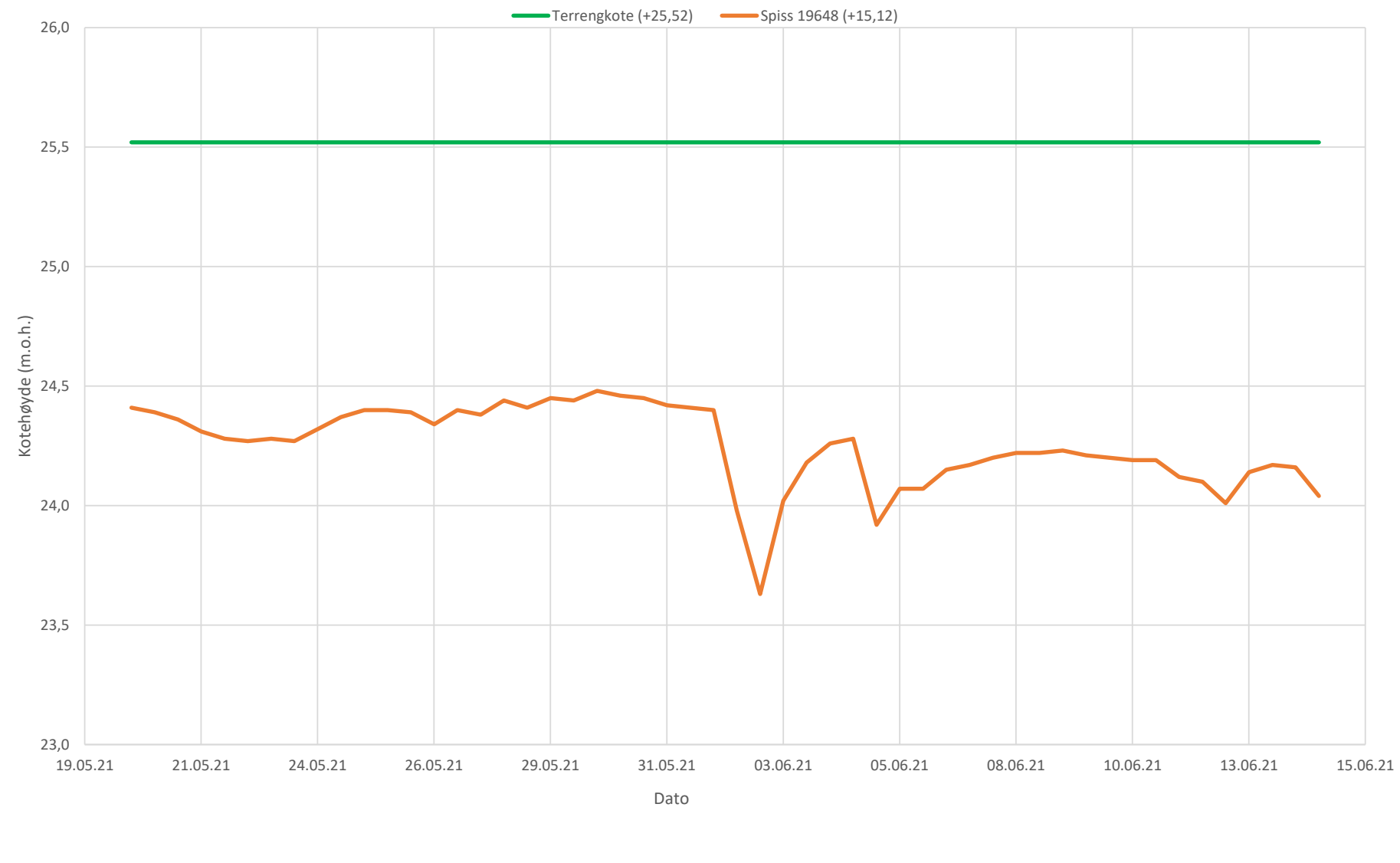
| | | | | | |
|--------------------------|------|--|------------|-------------------|--|
| Terrengnivå | kote | | Spissnivå | kote | |
| Topp rør til spiss (a) | m | | γ_w | kN/m ³ | |
| Rørhøyde over terren (c) | m | | Forboret | m | |
| Spissdybde under terren | m | | Spissnr. | | |

Kommentar: Se vedlegg for koterelaterte poretrykksmålinger.

Forklaring: a Total høyde fra topp rør til spiss
 c Total rør høyde over terren



Poretrykkspotensial i Borhull 22



Poretrykksmåler

| | | | | | |
|--------------------|---|-------------|--------------------|----------|--|
| Prosjekt: | | Oppdragsnr: | | Borhull: | |
| | Fv 119 GS-veg Dilling-Vang Supplerende GU | | A228076 | 109 | |
| System: | Installert av: | | Installasjonsdato: | | |
| Elektrisk, Geotech | ADKM | | 25.05.21 | | |

PZ nivå 1

| | | | | | |
|--------------------------|------|--------|------------|-------------------|--------|
| Terrengnivå | kote | +20,43 | Spissnivå | kote | +15,43 |
| Topp rør til spiss (a) | m | 6,00 | γ_w | kN/m ³ | 10,00 |
| Rørhøyde over terren (c) | m | 1,00 | Forboret | m | 2,00 |
| Spissdybde under terren | m | 5,00 | Spissnr. | | 19795 |

PZ nivå 2

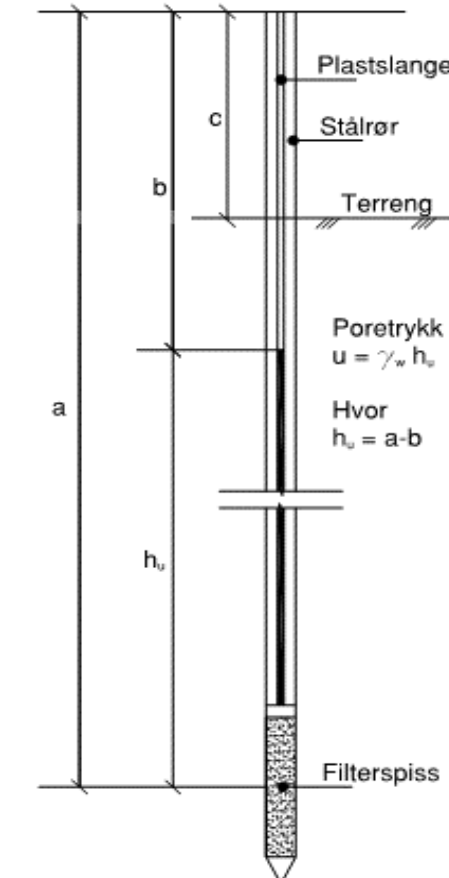
| | | | | | |
|--------------------------|------|--|------------|-------------------|--|
| Terrengnivå | kote | | Spissnivå | kote | |
| Topp rør til spiss (a) | m | | γ_w | kN/m ³ | |
| Rørhøyde over terren (c) | m | | Forboret | m | |
| Spissdybde under terren | m | | Spissnr. | | |

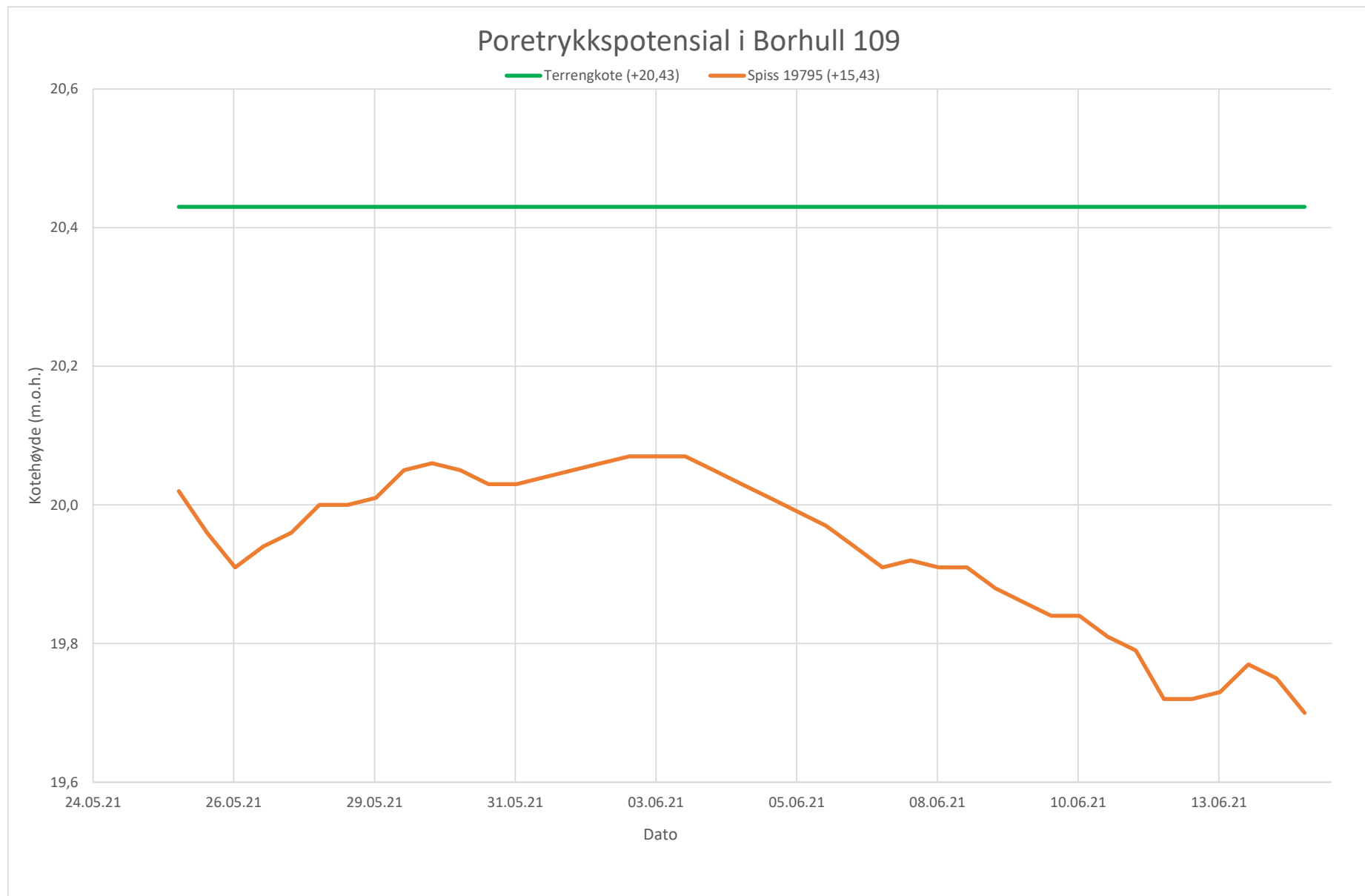
PZ nivå 3

| | | | | | |
|--------------------------|------|--|------------|-------------------|--|
| Terrengnivå | kote | | Spissnivå | kote | |
| Topp rør til spiss (a) | m | | γ_w | kN/m ³ | |
| Rørhøyde over terren (c) | m | | Forboret | m | |
| Spissdybde under terren | m | | Spissnr. | | |

Kommentar: Se vedlegg for koterelaterte poretrykksmålinger.

Forklaring: a Total høyde fra topp rør til spiss
 c Total rør høyde over terren





Vedlegg 4
Koordinat- og borpunktliste

Vedlegg 4

Koordinat- og borpunktsliste

A228076 Fv 119 GS-veg Dilling-Vang Supplerende GU

| Borhull | Dato boret | Metode | Koordinater (EUREF89 UTM sone 32. NN2000) | | | Bergkote (moh.) | Boret i (m) | | |
|---------|------------|--------------------|--|-----------|--------|--------------------|-------------|------|-------|
| | | | X | Y | Z | | Løsmasser | Berg | |
| 6 | 26.05.2021 | PZ | 1155359,09 | 110921,52 | +22,06 | | 5,70 | | 5,70 |
| 16 | 25.05.2021 | Total Cpt Prøve PZ | 1154404,79 | 110651,82 | +19,70 | +10,93 | 8,77 | 3,00 | 11,77 |
| 22 | 18.05.2021 | PZ | 1155350,79 | 110881,75 | +25,52 | | 10,40 | | 10,40 |
| 26 | 26.05.2021 | Cpt Prøve | 1155304,18 | 110928,90 | +20,88 | | 7,10 | | 7,10 |
| 101 | 18.05.2021 | Total Prøve | 1155628,27 | 110917,02 | +23,65 | +12,75 | 10,90 | 3,00 | 13,90 |
| 102 | 26.05.2021 | Total Cpt | 1155241,38 | 110895,67 | +21,53 | +6,51 | 15,02 | 2,00 | 17,02 |
| 103 | 18.05.2021 | Total | 1155146,01 | 110857,61 | +24,94 | +19,84 | 5,10 | 2,00 | 7,10 |
| 104 | 18.05.2021 | Total | 1154807,00 | 110764,78 | +22,36 | | 9,48 | | 9,48 |
| 105 | 19.05.2021 | Total Prøve | 1154653,95 | 110700,74 | +23,15 | +17,68 | 5,47 | 2,00 | 7,47 |
| 106 | 20.05.2021 | Total Cpt | 1154356,82 | 110651,34 | +19,96 | -2,34 | 22,30 | 0,38 | 22,68 |
| 107 | 19.05.2021 | Total | 1154292,00 | 110679,92 | +24,87 | +19,82 | 5,05 | 1,25 | 6,30 |
| 108 | 19.05.2021 | Total | 1154241,56 | 110689,90 | +24,96 | +20,08 | 4,88 | 2,00 | 6,88 |
| 109 | 20.05.2021 | Total Cpt Prøve PZ | 1154231,74 | 110667,15 | +20,43 | +11,66 | 8,77 | 2,03 | 10,80 |

Vedlegg 5
CPTu kalibreringsskjema

Göteborg:2021-04-08

CALIBRATION CERTIFICATE FOR CPT PROBE 4534

Probe No 4534
Date of Calibration 2021-04-08
Calibrated by Alexander Dahlin. *Alexander Dahl*
Run No 1393
Test Class: ISO 1

Point Resistance Tip Area 10cm²

| | | |
|-----------------|-------------|-----|
| Maximum Load | 50 | MPa |
| Range | 50 | MPa |
| Scaling Factor | 1672 | |
| Resolution | 0,4563 | kPa |
| Area factor (a) | 0,858 | |

ERRORS

Max. Temperature effect when not loaded 15,505 kPa
Temperature range 5 –40 deg. Celsius.

Local Friction Sleeve Area 150cm²

| | | |
|-----------------|-------------|-----|
| Maximum Load | 0,5 | MPa |
| Range | 0,5 | MPa |
| Scaling Factor | 3676 | |
| Resolution | 0,0104 | kPa |
| Area factor (b) | 0,002 | |

ERRORS

Max. Temperature effect when not loaded 0,321 kPa
Temperature range 5 –40 deg. Celsius.

Pore Pressure

| | | |
|----------------|-------------|-----|
| Maximum Load | 2 | MPa |
| Range | 2 | MPa |
| Scaling Factor | 3665 | |
| Resolution | 0,0208 | kPa |

ERRORS

Max. Temperature effect when not loaded 1,81 kPa
Temperature range 5 –40 deg. Celsius.

Tilt Angle. Scaling Factor: 0,93

Range 0 - 40 Deg.

Backup memory
Temperature sensor



Specialists in
Geotechnical
Field Equipment

Ingenjörsfirman Geotech AB +46 (0)31-28 99 20 www.geotech.se
Drottninggatan 52 +46 (0)31-68 16 39 VAT No.

Page 1 of 8

Cptlog Cone data base information

Göteborg: 2021-04-08

| | | | | | |
|---------------------|------|----------------------|------------------------|-----------------------|---------------|
| Cone name | 4534 | Serial number | 4534 | Date of purchase | |
| | | | | User. | |
| Ranges | | Geometric parameters | | Scaling factors | |
| Point resistance | 50 | Area factor a | 0,855 | Point resistance | 1672 |
| Local friction | 0,5 | Area factor b | 0,002 | Local friction | 3676 |
| Pore pressure | 2 | Tip area | 10 (cm ²) | Pore pressure | 3665 |
| Tilt sensor | 40 | Sleeve area | 150 (cm ²) | Tilt sensor | 0,93 |
| temperature | | | | temperature | 1 |
| Elect. Conductivity | | | | Type | Nova cone |
| | | | | Elect. Conductivity A | Memory option |
| | | | | Elect. Conductivity B | With memory |



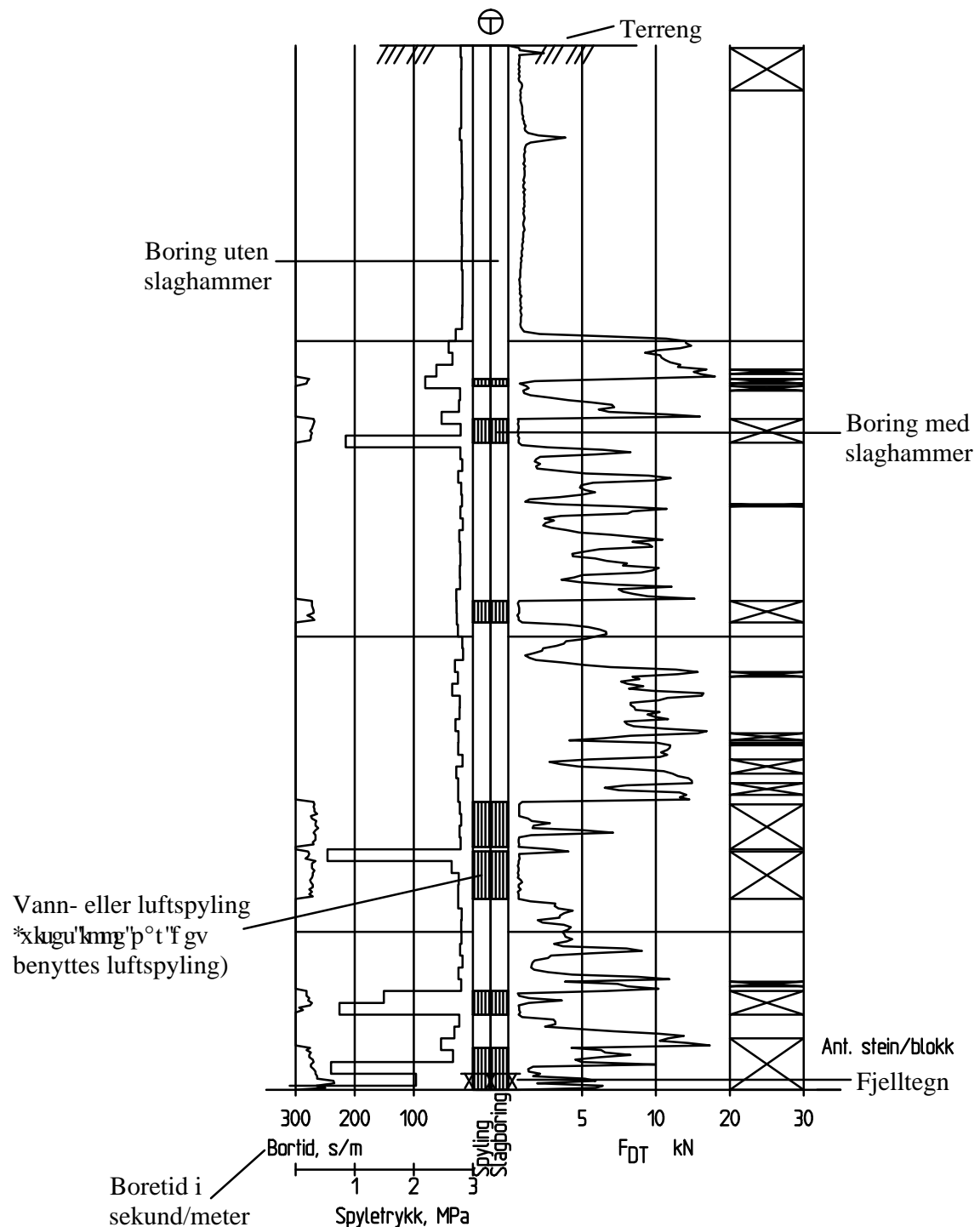
Specialists in
Geotechnical
Field Equipment

Ingenjörer i Geoteknik AB +46 (0)31-28 99 20 www.gotechch.se
Datorvägen 53 +46 (0)31-68 16 39 VAT No.

Tillegg



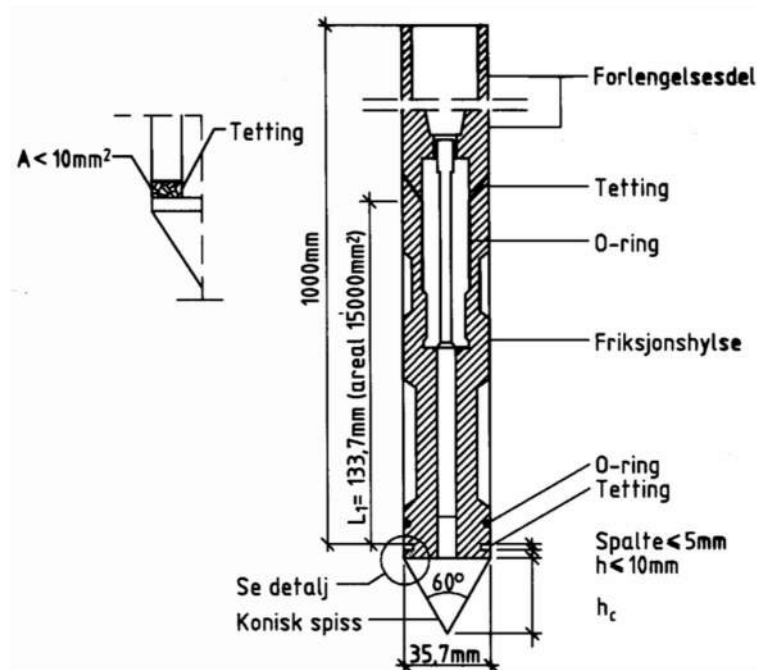
Gmigo r gn'r °"qvcnuqpf gtkpi "o gf 'hqtmtkpi



Forklaring av trykksondering (CPTU)

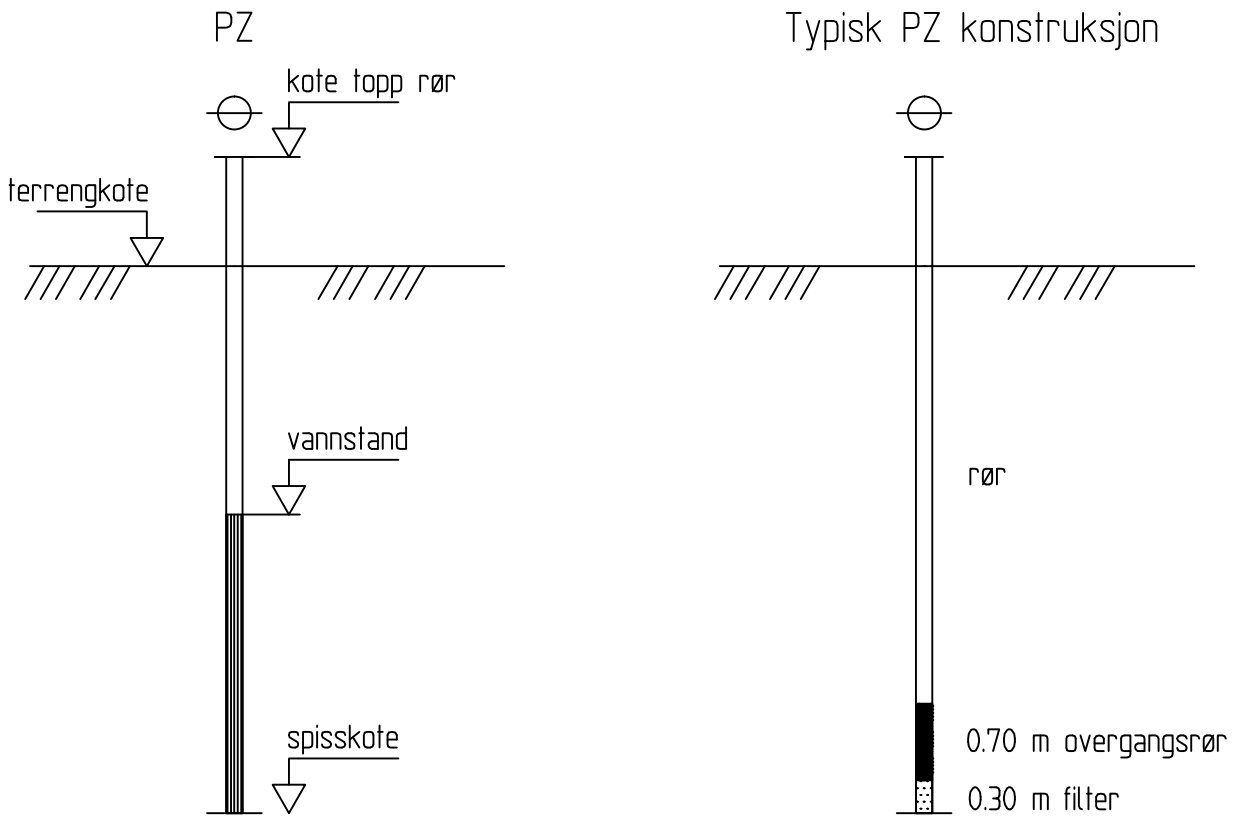
Prinsipp

Vt{ mmuqpf gtlpi . 'ERV"eqpg"r gpgtcvqpp"guv."o gf 'r qtgt{ mmuo °nki "drkt'i lgtpg hqtntqtvgv'ERVW0'Uqpf gtlpi gp "whātgu"xgf "cv"gp"u{ nkpftkumluqpf g'o gf "happkumur kuu presses ned i grunnen med konstant penetrasjonshastighet 20 mm/s. Under pgf r tguukpi gp"o °ngu"htchgp"o qvf gp"nqpkung"ur kuugp. 'r qtgt{ mmvg'hkng"dcmlur kuugp qi 'ukf ghtkmulqp"o qv"gp"htkmulqpuj { ng'r °'f gp"u{ nkpftkung'f gngp.



O °nki gpg"unlgt"xgf "gngmtqpkum'gmgt"cmwukm'uki pcnqxgthātli 0

Forklaring av grunnvannstandsmåling

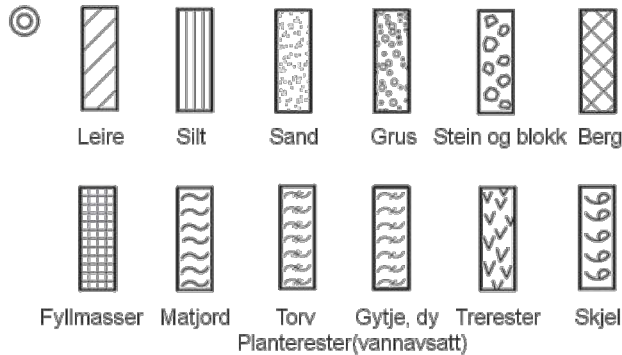


VANNSTAND

| | |
|-----|-----------------------------|
| HFV | Høyeste flomvannstand |
| HRV | Høyeste regulerte vannstand |
| LRV | Laveste regulerte vannstand |
| HHV | Høyeste høyvannstand |
| LLV | Laveste lavvannstand |
| HV | Normal høyvannstand |
| LV | Normal lavvannstand |
| MV | Normal middelvannstand |
| V | Vannstand (dato angis) |
| GV | Grunnvannstand (dato angis) |

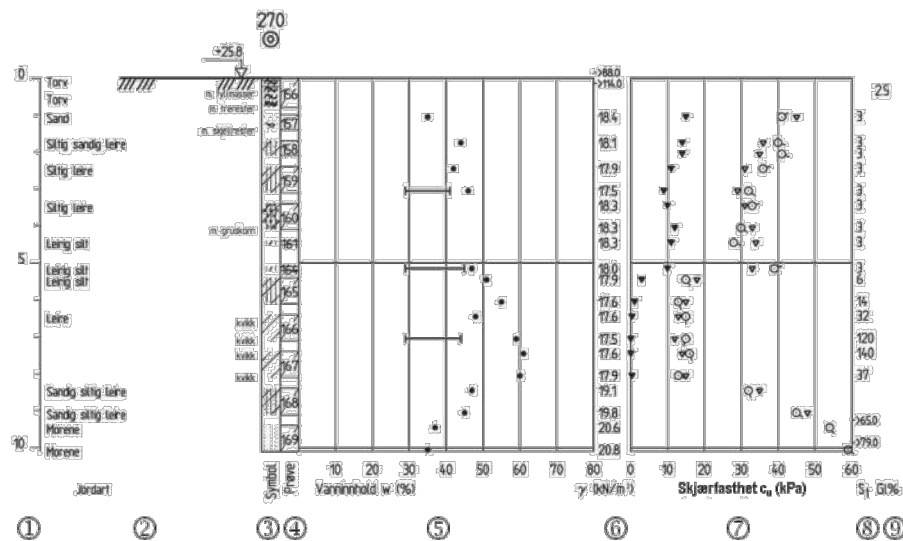
Høymekapi "cx"nāuo cuugr tqhn

Rtāxgugtkg."o cvgtknu{ o dqngt0



Ved blandingsjordarter som for eksempel morene kombineres symboler.

Framstilling av laboratoriedata.



- (1) Dybden fra terren. Ved boring i vann, fra elvebunn eller sjøbunn.
- (2) Jordartsbeskrivelse. Grunnvannsstanden kan angis.
- (3) Materialsymboler.
- (4) Prøvens beliggenhet angis ved skråstrek, eventuelt påføres prøvenummer.
- (5) Verdier som faller utenfor diagrammet angis med tall og markeres med pil. I sand kan angis både feltverdier og beregnede verdier tilsvarende vannmettet materiale.
- (6) Tyngdetetthet γ i kN/m^3 , alternativt densitet ρ i kg/m^3 . Eventuelt kan i sand også angis beregnet verdi tilsvarende vannmettet materiale.
- (7) Skjærfasthet c_u angis i kpa
- (8) Sensitivitet S_t angis i hele tall.
- (9) Glødetap angis i %.

Datarapport:

**A268914-RAP-RIG-001, Dilling Bru GU
(COWI, 27.11.2023, ver. 1.0)**

NOVEMBER 2023
VIKEN FYLKESKOMMUNE

DILLING BRU GU

GEOTEKNISK DATARAPPORT



COWI

ADRESSE COWI AS
Karvesvingen 2
Postboks 6412 Etterstad
0605 Oslo
TLF +47 02694
WWW cowi.no

NOVEMBER 2023
VIKEN FYLKESKOMMUNE

DILLING BRU GU

GEOTEKNISK DATARAPPORT

OPPDRAKSNR. DOKUMENTNR.
A268914 A268914-RAP-RIG-001

| VERSJON | UTGIVELSESDATO | BESKRIVELSE | UTARBEIDET | KONTROLLERT | GODKJENT |
|---------|----------------|-------------|------------|-------------|----------|
| 1.0 | 27.11.2023 | RIG | NIEO | SESB | CBNI |

INNHOLD

| | | |
|-----|--------------------------------------|----|
| 1 | Innledning og formål | 7 |
| 1.1 | Generelt | 7 |
| 1.2 | Endringslogg | 8 |
| 2 | Grunnundersøkelser | 9 |
| 2.1 | Eksisterende geoteknisk grunnlag | 9 |
| 2.2 | Feltarbeid | 9 |
| 2.3 | Laboratorieundersøkelser | 9 |
| 2.4 | Avvik | 10 |
| 3 | Undersøkelsesresultater | 11 |
| 3.1 | Presentasjon av resultater | 11 |
| 3.2 | Grunnforhold | 11 |
| 3.3 | Konklusjon | 13 |
| 3.4 | Kontroll av grunnundersøkelser | 13 |
| 4 | Tegning-, vedlegg- og tilleggslister | 14 |

1 Innledning og formål

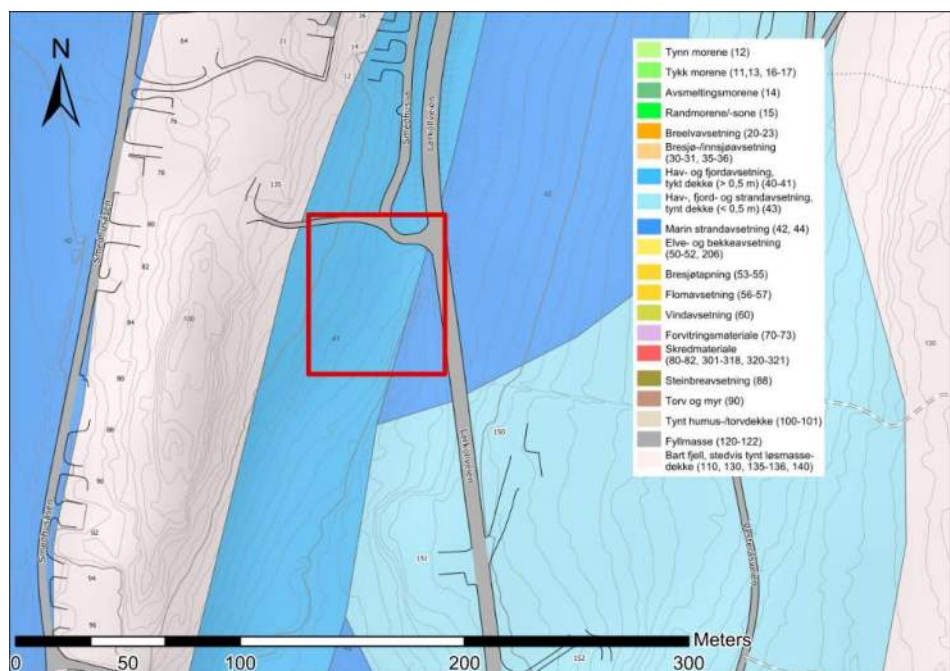
COWI AS har utført grunnundersøkser i Dilling i forbindelse med ny GS-veg langs fv. 119.

Oppdraget er bestilt av Viken fylkeskommune.

Foreliggende rapport presenterer det som foreligger av resultater fra geotekniske grunnundersøkser utført av COWI AS i uke 43, 2023.

1.1 Generelt

Kvartærgelogisk kart fra Norges geologiske undersøkelse (NGU) (Figur 1), viser at området består hovedsakelig av hav- og fjordavsetning samt marin strandavsetning med bart fjell i umiddelbar nærhet.



Figur 1: Løsmassekart fra NGU.no. Rød markering angir undersøkelsesområdet. Inneholder data under Norsk lisens for offentlig data (NLOD) tilgjengiggjort av NGU.

1.2 Endringslogg

| Versjon | Dato | Utarbeider | Beskrivelse av endring |
|---------|------------|------------|------------------------|
| 1.0 | 27.11.2023 | NIEO | Første utgave |

2 Grunnundersøkelsener

Feltundersøkelsene ble utført i uke 43, 2023, med geoteknisk borerigg av typen Geotech 605 under ledelse av borformann Robin Zapffe.

Feltundersøkelsene ble utført i henhold til Norsk geoteknisk forenings (NGF) meldinger samt Statens Vegvesen Håndbok R211 *Feltundersøkelses*.

2.1 Eksisterende geoteknisk grunnlag

Området har tidligere blitt undersøkt av Statens vegvesen og COWI. Tidligere geotekniske grunnundersøkelsener i området framgår av Tabell 1 under.

Tabell 1: Oversikt over eksisterende grunnundersøkelsener

| Dokument nr. | Utførende | Oppdragsnavn | Utgitt år |
|--------------------------------|------------------|---|-----------|
| B11501- GEOT-1 | Statens vegvesen | Fv. 119 GS-veg Dilling - Vang | 2020 |
| 228076-RAP- RIG-001 | COWI AS | Fv 119 GS-Veg Dilling- Vang supplerende GU | 2022 |

Resultater fra overnevnte rapport omhandles ikke i foreliggende rapport. Eksisterende grunnundersøkelsener i området med boredybder er vist på detaljert borplan i tegning 2, men ikke vist i borpunktliste.

2.2 Feltarbeid

Feltarbeidet omfattet:

- 6 stk. totalsonderinger
- 2 stk. trykksonderinger (CPTu)
- 2 stk. prøveserier
- 2 stk. hydrauliske poretrykksmålere i 2 stk. borhull

2.3 Laboratorieundersøkelsener

De opptatte prøvene er undersøkt i laboratoriet hos Løvlien Georåd med tanke på klassifisering og identifisering av jordart.

Følgende undersøkelsener ble utført:

- 9 stk. rutineundersøkelsener på sylinderprøver. Rutineundersøkelsener av sylinderprøvene omfatter visuell beskrivelse av prøvemateriale, bestemmelse av densitet, 3 stk. vanninnhold, 2 stk. konus u/o, og 1 stk. enaks.

- 2 stk. rutineundersøkelser på poseprøve. Rutineundersøkelser av poseprøvene omfatter visuell beskrivelse av prøvemateriale.
- 2 stk. vanninnhold på poseprøve.
- 5 stk. plastisitet- og flytegrense (wp/wl) på utvalgte prøver
- 3 stk. ødometerforsøk (CRS) for å bestemme forkonsolideringstrykk og deformasjonsegenskaper
- 1 stk. treaksialforsøk, hvorav 1 stk. CAUA, for bestemmelse av prøvematerialets skjærstyrke og effektivspenningsparametere

2.4 Avvik

- Det ble kun utført flytegrense og ikke plastisitetsgrense (rulling) i borpunkt BRU6 3,0-3,75 m pga. uegnet materiale.
- I borpunkt BRU6 ble det observert vann som kom opp fra borhullet 12 timer etter boring. Det ble tettet med en gjerdestolpe og bentonitt.

3 Undersøkelsesresultater

3.1 Presentasjon av resultater

Lokalitet er vist på figur 1 og tegning 1.

Borpunktene plassering med boredybder er vist på borplan, tegning 2. Det er benyttet kartdatum EUREF 89 NTM sone 10 med høyderefaranse NN2000.

Borpunktene er målt inn med en GNSS-mottaker, der samtlige målinger har en unøyaktighet på max. 5 cm.

Resultater fra feltundersøkelser, sortert etter borpunktnummer, er vist i vedlegg 1.

Resultater fra geoteknisk laboratorium, sortert etter borpunktnummer, er vist i vedlegg 2.

Koordinat- og borpunktliste er vist i vedlegg 3.

CPTu kalibreringsskjema er vist i vedlegg 4.

Undersøkelsesmetoder er forklart i tillegg 1, 2, 3, 4 og 5.

3.2 Grunnforhold

Terren

Terrengnivået for sonderingene ligger mellom kote +19,45 meter over havet (moh.) ved borpunkt BRU4 til +21,32 moh. ved borpunkt BRU3.

Berg

Det ble utført sikker bergpåvisning med 3,0 m innboring i berg for samtlige borpunkt.

Bergkote i borpunktene varierer fra mellom +1,80 moh. i borpunkt BRU5 til kote +16,47 moh. i borpunkt BRU3.

Løsmasser

Den påtruffede løsmassemektigheten varierer fra mellom 4,85 m i borpunkt BRU3 til 18,42 m i borpunkt BRU5.

Det har tatt opp prøver fra 2 borpunkt for testing i laboratoriet. Prøvedybdene er på mellom 0,00 og 15,00 meter under terren.

Basert på totalsonderingene og borloggene består løsmassene generelt av masser med lav til svært lav sonderingsmotstand.

Basert på borprofilene fra laboratorieundersøkelsene består løsmassene generelt av LEIRE. Det er påvist sprøbruddmateriale og kvikkleire iht. resultatene fra konusforsøkene som ble utført på leire fra borehullene BRU2 og BRU6. Enkeltprøvene og dybdene med sprøbruddmateriale er oppført i Tabell 2. Sprøbruddmateriale er definert ved udrenert skjærfasthet, omrørt, $Cu,r \leq 1,27\text{kPa}$ etter ISO 17892-6. Kvikkleire er definert ved udrenert skjærfasthet, omrørt, $Cu,r \leq 0,33\text{kPa}$ etter ISO 17892-6 standarden.

Tabell 2: Oversikt over påvist sprøbruddmateriale. Uthevet skrift indikerer påvisning av kvikkleire.

| Borpunkt | $Cu,r \leq 1,27$ (ISO 17892-6) [kPa] | Dybde [m] |
|-------------|---|--------------|
| BRU2 | 1,24 | 3,30 |
| BRU2 | 1,05 | 3,60 |
| BRU2 | 0,27 | 4,30 |
| BRU2 | 0,27 | 4,60 |
| BRU6 | 0,07 | 3,30 |
| BRU6 | 0,07 | 3,70 |
| BRU6 | 0,07 | 6,30 |
| BRU6 | 0,07 | 6,60 |
| BRU6 | 0,07 | 8,30 |
| BRU6 | 0,07 | 8,70 |
| BRU6 | 0,07 | 11,30 |
| BRU6 | 0,07 | 11,70 |
| BRU6 | 0,20 | 14,30 |
| BRU6 | 0,24 | 14,60 |

Materialene er beskrevet i henhold til NGF-melding nr. 2 utgitt i 1982, revidert 2011 "Veileddning for symboler og definisjoner i geoteknikk, identifisering og klassifisering av jord".

Resultatene fra geoteknisk laboratorium er i sin helhet vist i vedlegg 2.

Grunnvann

2 stk. hydrauliske poretrykksmålere ble satt ned i 2 stk. borpunkt i oktober 2023 og avlest 20.11.23. Tabell 3 under viser oversikt over de hydrauliske poretrykksmålerne. Standrøret i punkt BRU6 var ved avlesingstidspunktet fryst i toppen, dette til tross for at det var frostsikret. Dette kan indikere artesisk poreovertrykk i grunnen som har ført til at forstsikringsvæsken har blitt presset opp og deretter fryst.

Tabell 3: Oversikt over de hydrauliske poretrykksmålerne

| Borhull | Dato satt ned | Terrengkote (moh.) | Spissdybde (m) | Spisskote (moh.) | Vannkote 20.11.23 (moh.) |
|-------------|---------------|--------------------|----------------|------------------|--------------------------|
| BRU2 | 25.10.23 | +20,47 | 5,00 | +15,47 | +18,84 |
| BRU6 | 24.10.23 | +19,78 | 10,00 | +9,78 | Fryst |

3.3 Konklusjon

Ytre forhold har ikke påvirket kvaliteten på feltarbeidet.

Prosedyrer og styringssystem er fulgt og det er ingen kvalitetsavvik.

3.4 Kontroll av grunnundersøkelser

Arbeidene samt egen- og sidemannskontroll er utført iht. COWIs Felthåndbok. Felthåndboken samsvarer med kravene i gjeldende NGF meldinger og retningslinjene i Statens Vegvesen (SVV) håndbok R211 *Feltundersøkelser*.

Utførelse og kvalitetssikring av rapporteringsarbeidet er utført i henhold til COWIs kvalitetssikringsrutiner.

4 Tegning-, vedlegg- og tilleggslister

Tegning Nummer

| | |
|-------------------|---|
| Oversiktskart | 1 |
| Detaljert borplan | 2 |

Vedlegg Nummer

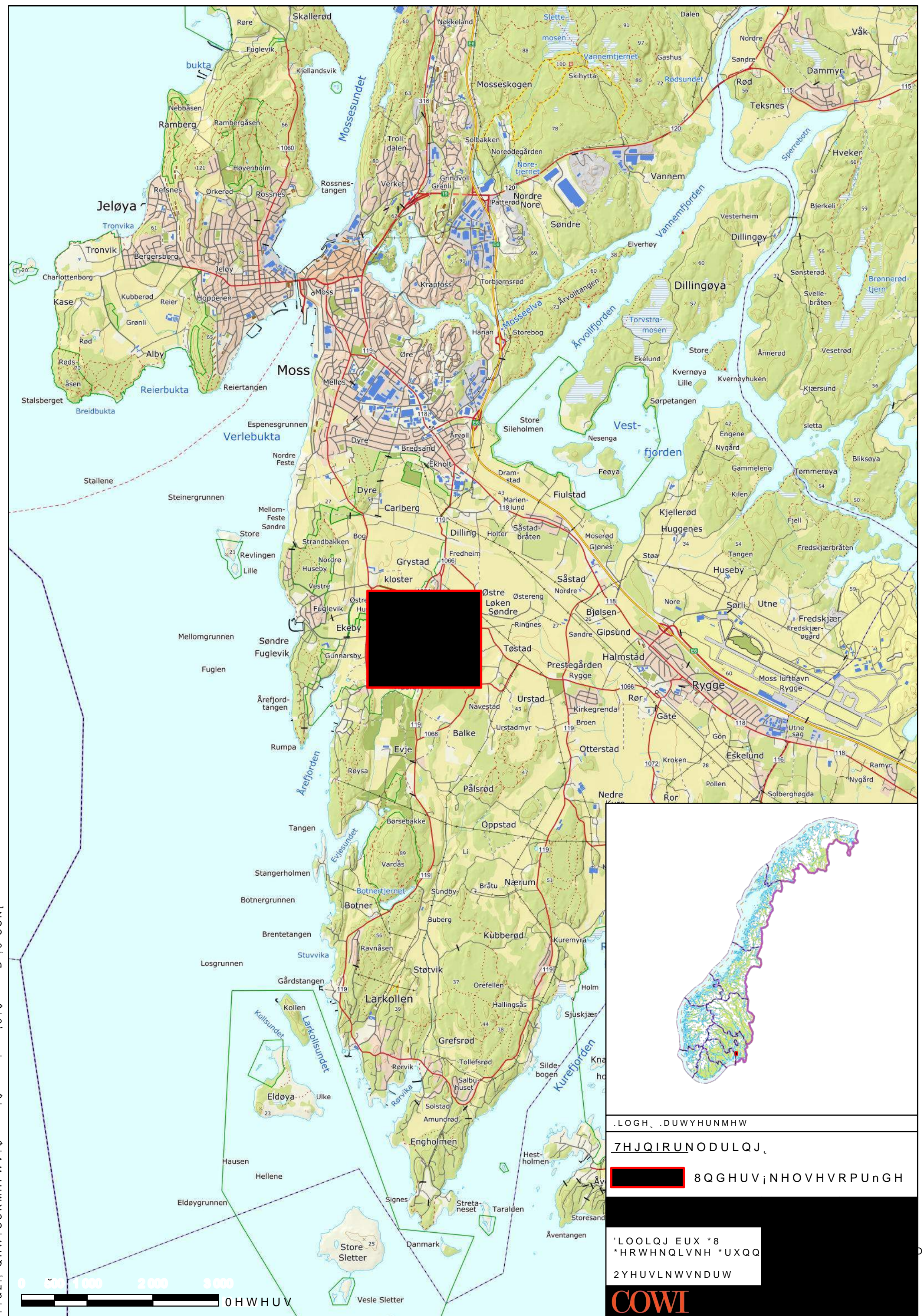
| | |
|--|---|
| Resultater fra feltundersøkelser | 1 |
| Resultater fra geoteknisk laboratorium | 2 |
| Koordinat- og borpunktliste | 3 |
| CPTu kalibreringsskjema | 4 |

Tillegg Nummer

| | |
|--------------------------------------|---|
| Beskrivelse av totalsonderinger | 1 |
| Beskrivelse av trykksondering | 3 |
| Beskrivelse av grunnvannstandsmåling | 4 |
| Beskrivelse av løsmasseprofil | 5 |

Tegninger





.LOGH. DUWYHUNMHW

7HJQIRUNODULQJ

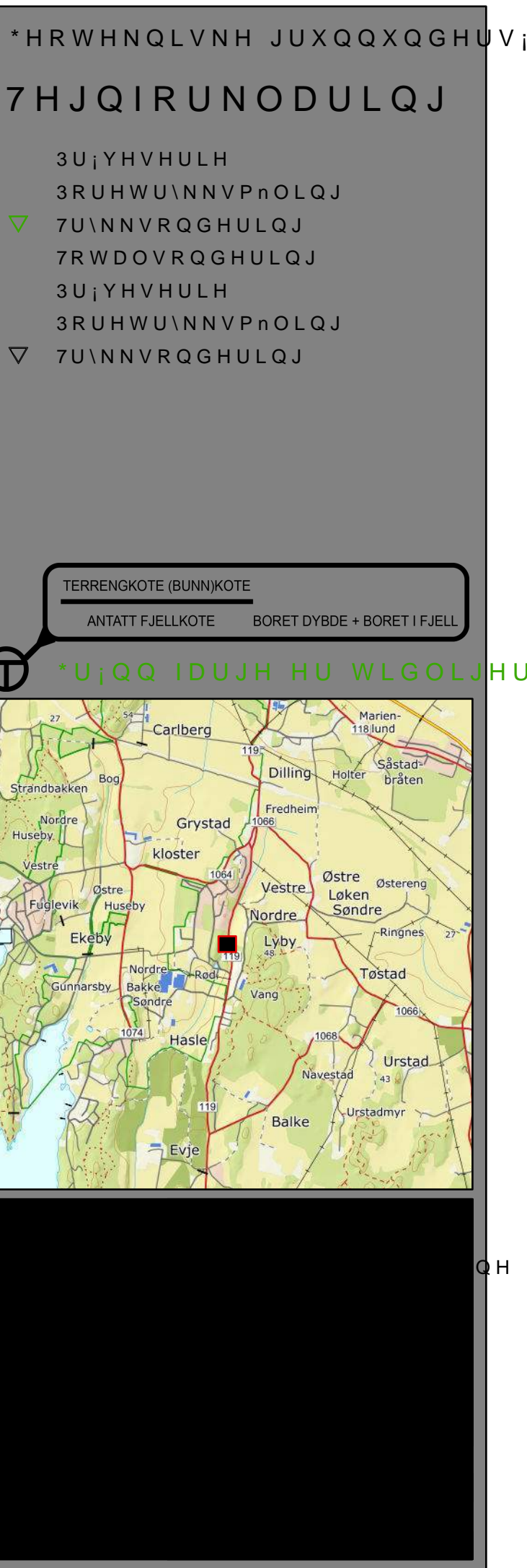
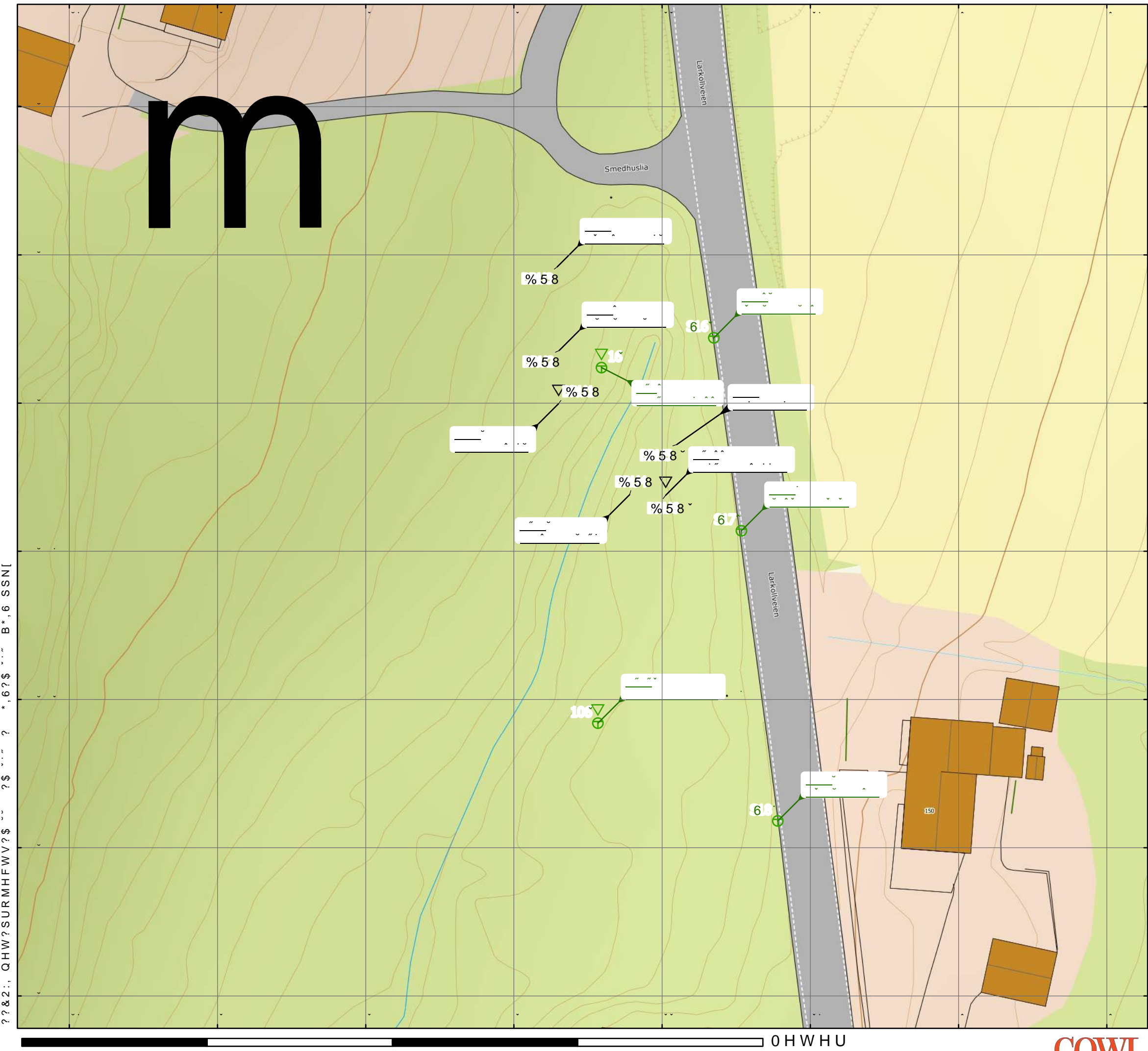
8QGHUVjNHOVHVRPUnGH

'LOOLQJ EUX *8
*HRWHNQLVNH *UXQQ

GOV.W

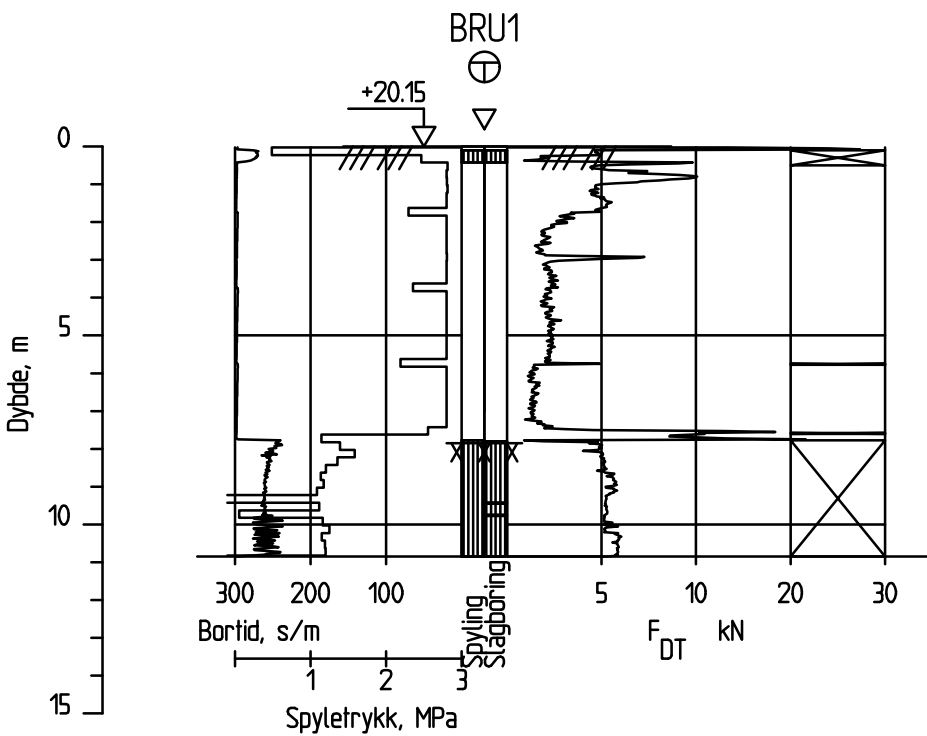
COWI

m



Vedlegg 1

Resultater fra feltundersøkeler



Dato boret :25.10.2023

Posisjon: X 1154399.92 Y 110646.04

| | | | |
|----------------|----------------------------------|---------------------|---------------|
| Totalsondering | Sonderingsnummer Borhull BRU1 | | |
| Dilling bru GU | Målestokk $M = 1 : 200$ | Godkjent NIEO | |
| | Fag RIG | Kontrollert SESB | |
| | Dato 20.11.2023 | Format A4 | Tegnet OKH |
| | Oppdragsnr. A268914 | Tegningsnr. | Borhull BRU1 |

COWI

Sonde og utførelse

| | | | |
|------------------|--------------|---------------------------|------|
| Sonenummer | 4554 | Boreleder | ROZA |
| Type sonde | Nova | Temperaturendring (°C) | 4,3 |
| Kalibreringsdato | 05.07.2023 | Maks helning (°) | 7,0 |
| Dato sondering | 25.10.2023 | Maks avstand målinger (m) | 0,02 |
| Filtertype | Spaltefilter | | |

Kalibreringsdata

| | Spissmotstand | Sidefriksjon | Poretrykk |
|--------------------------------------|---------------|--------------|-----------|
| Maksimal last (MPa) | 50 | 0,5 | 2 |
| Måleområde (MPa) | 50 | 0,5 | 2 |
| Skaleringsfaktor | 1590 | 3656 | 2399 |
| Oppløsning 2 ¹² bit (kPa) | - | - | - |
| Oppløsning 2 ¹⁸ bit (kPa) | 0,4798 | 0,0104 | 0,0318 |
| Arealforhold | 0,8530 | 0,0010 | |
| Maks ubelastet temp. effekt (kPa) | 22,059 | 0,448 | 1,684 |
| Temperaturområde (°C) | 35 | | |

Nullpunktsskontroll

| | NA | NB | NC |
|----------------------------------|--------|-------|-------|
| Registrert før sondering (kPa) | 5854,9 | 128,6 | 388,2 |
| Registrert etter sondering (kPa) | -20,1 | 0,4 | 3,5 |
| Avvik under sondering(kPa) | 20,1 | 0,4 | 3,5 |
| Maksimal temperatureffekt (kPa) | 2,7 | 0,1 | 0,2 |
| Maksverdi under sondering (kPa) | 4908,3 | 214,8 | 418,1 |

Vurdering av anvendelsesklasse ihht. ISO 22476-1:2012

| | Spissmotstand | Sidefriksjon | Poretrykk | |
|---------------------------------|---------------|--------------|------------|------------|
| | (kPa) | (%) | (kPa) | (%) |
| Samlet nøyaktighet (kPa) | 23,3 | 0,5 | 0,5 | 0,2 |
| Tillatt nøyaktighet klasse 1 | 35 | 5 | 5 | 10 |
| Tillatt nøyaktighet klasse 2 | 100 | 5 | 15 | 15 |
| Tillatt nøyaktighet klasse 3 | 200 | 5 | 25 | 15 |
| Tillatt nøyaktighet klasse 4 | 500 | 5 | 50 | 20 |
| Anvendelsesklasse | 1 | 1 | 1 | 1 |
| Anvendelsesklasse måleintervall | 1 | | | |
| Anvendelsesklasse | 1 | | | |

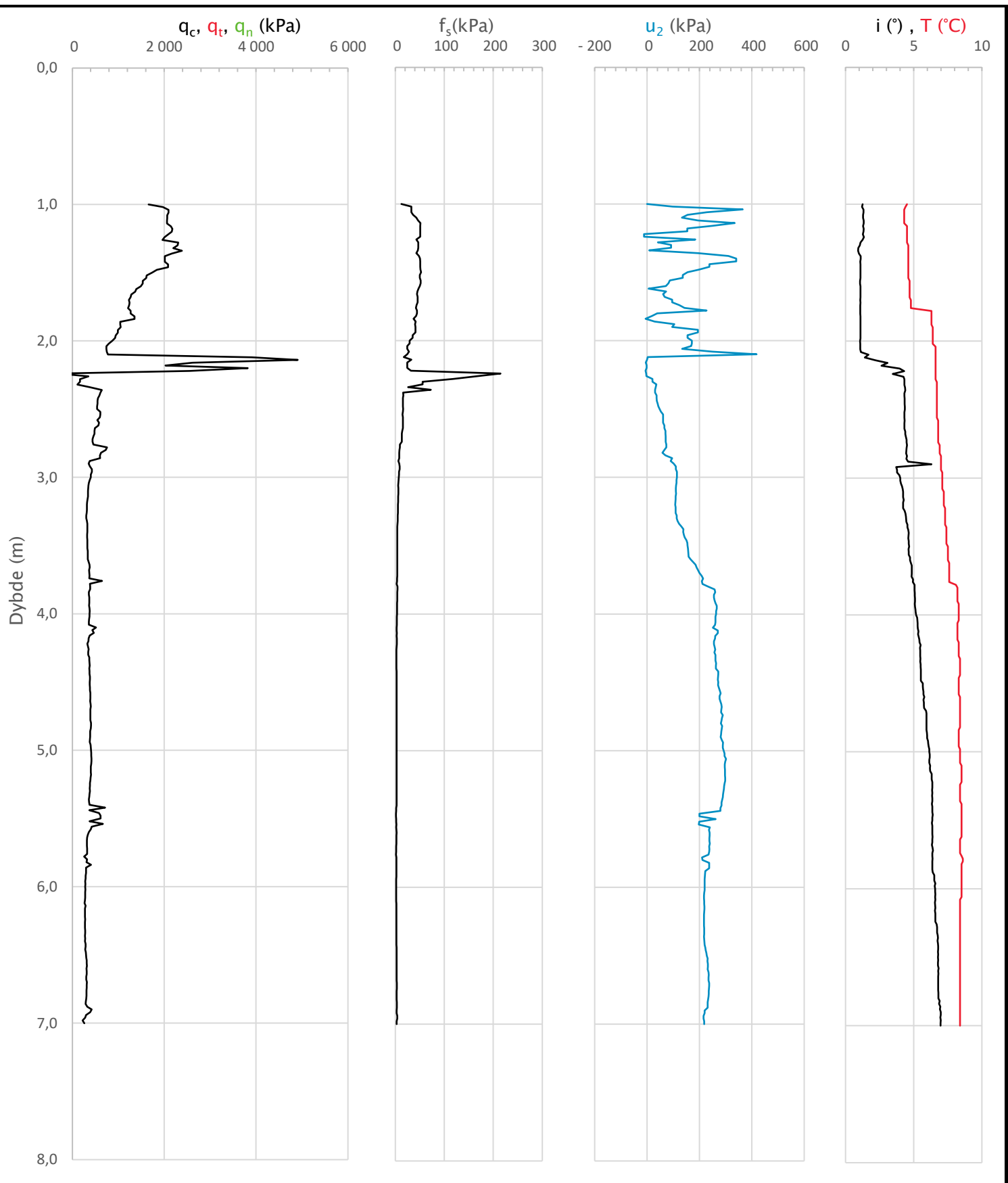
Måleverdier under kapasitet/krav

| Spissmotstand | Sidefriksjon | Poretrykk | Helning | Temperatur |
|---------------|--------------|-----------|---------|------------|
| OK | OK | OK | OK | OK |

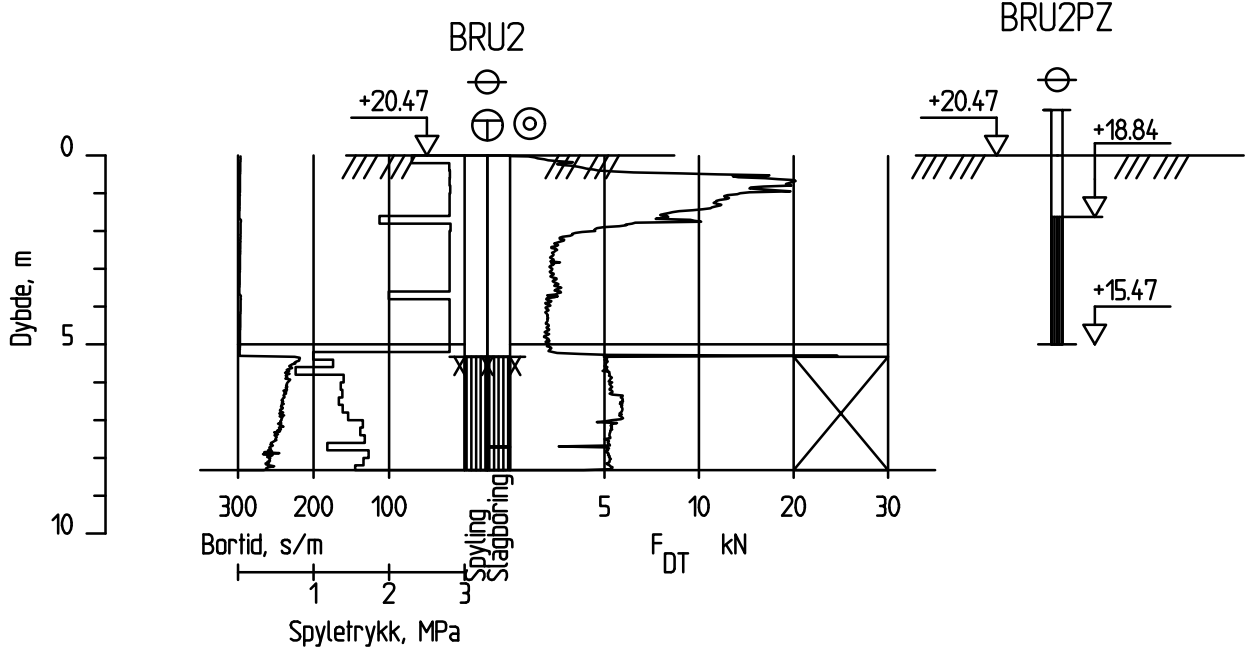
| | |
|--------------|---------------|
| Kommentarer: | Forboring 1 m |
|--------------|---------------|

| | | | |
|---|--|-------------|-------------|
| Prosjekt Dilling bru GU | Prosjektnummer: A268914 Rapportnummer: A268914-RAP-RIG-001 | Borhull | Kote +20,15 |
| Innhold Dokumentasjon av utstyr og målenøyaktighet | | Sondenummer | BRU1 |

| | | | | |
|-------------|-------------------------|------------------------------|-----------------------|------------------------|
| COWI | Utført NIEO | Kontrollert SESB | Godkjent CBNI | Anvend.klasse 1 |
| | Divisjon Geo og felt | Dato sondering 25.10.2023 | Revisjon Rev. dato | Figur CPT-01 |



| | | |
|------------------------------------|--|------------------------------------|
| Prosjekt Dilling bru GU | Prosjektnummer: A268914 Rapportnummer: A268914-RAP-RIG-001 | Borhull Kote +20,15 BRU1 |
| Innhold | | Sondenummer |
| Måledata og korrigerte måleverdier | | 4554 |
| COWI | Utført NIEO | Kontrollert SESB |
| | Divisjon Geo og felt | Godkjent CBNI |
| | Datei sondering 25.10.2023 | Anvend.klasse 1 |
| | Revisjon Rev. dato | Figur CPT-02 |

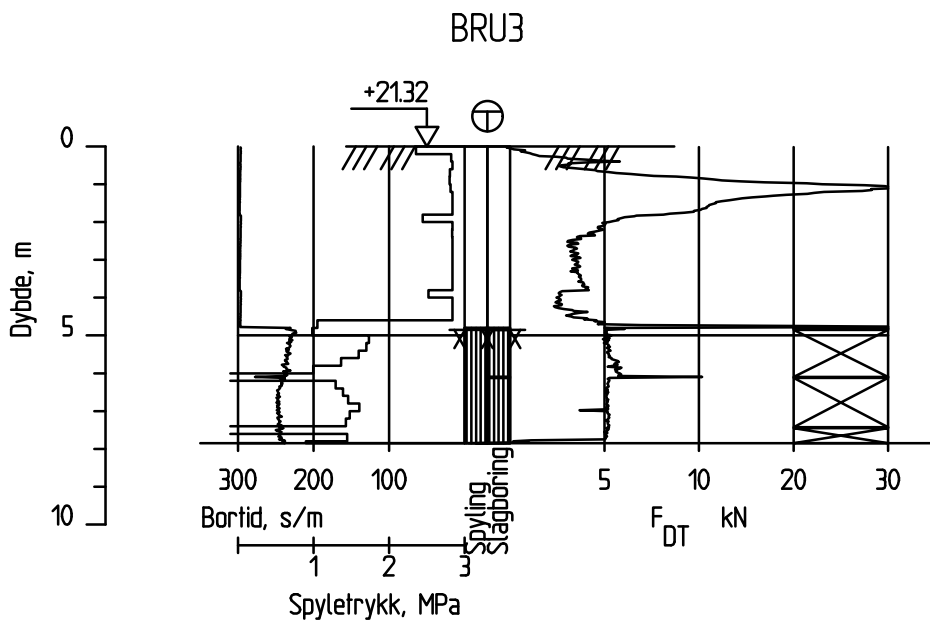


Dato boret :23.10.2023

Posisjon: X 1154407.09 Y 110646.10

| | | | |
|----------------|----------------------------------|---------------------|---------------|
| Totalsondering | Sonderingsnummer Borhull BRU2 | | |
| Dilling bru GU | Målestokk M = 1 : 200 | Godkjent NIEO | |
| | Fag RIG | Kontrollert SESB | |
| | Dato 20.11.2023 | Format A4 | Tegnet OKH |
| | Oppdragsnr. A268914 | Tegningsnr. | Borhull BRU2 |

COWI

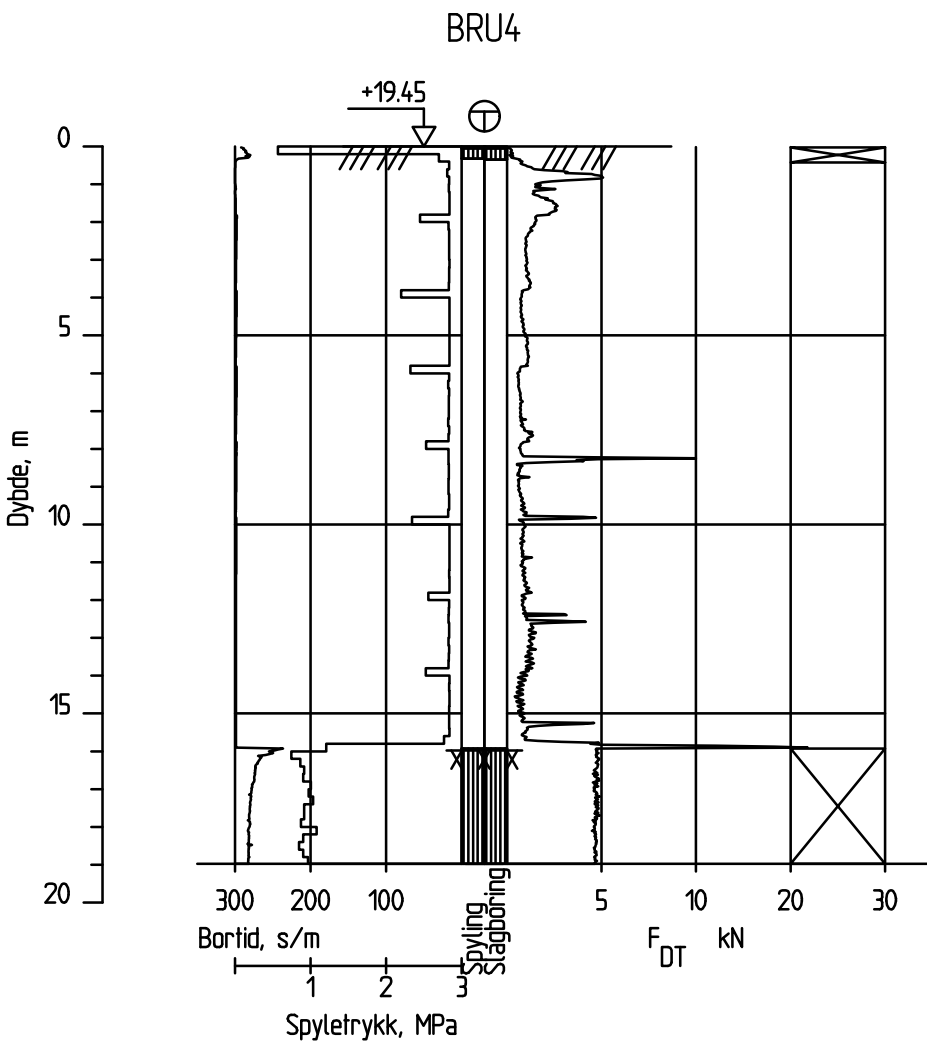


Dato boret :23.10.2023

Posisjon: X 1154418.38 Y 110645.83

| | | | |
|----------------|----------------------------------|---------------------|---------------|
| Totalsondering | Sonderingsnummer Borhull BRU3 | | |
| Dilling bru GU | Målestokk M = 1 : 200 | Godkjent NIEO | |
| | Fag RIG | Kontrollert SESB | |
| | Dato 20.11.2023 | Format A4 | Tegnet OKH |
| | Oppdragsnr. A268914 | Tegningsnr. | Borhull BRU3 |

COWI

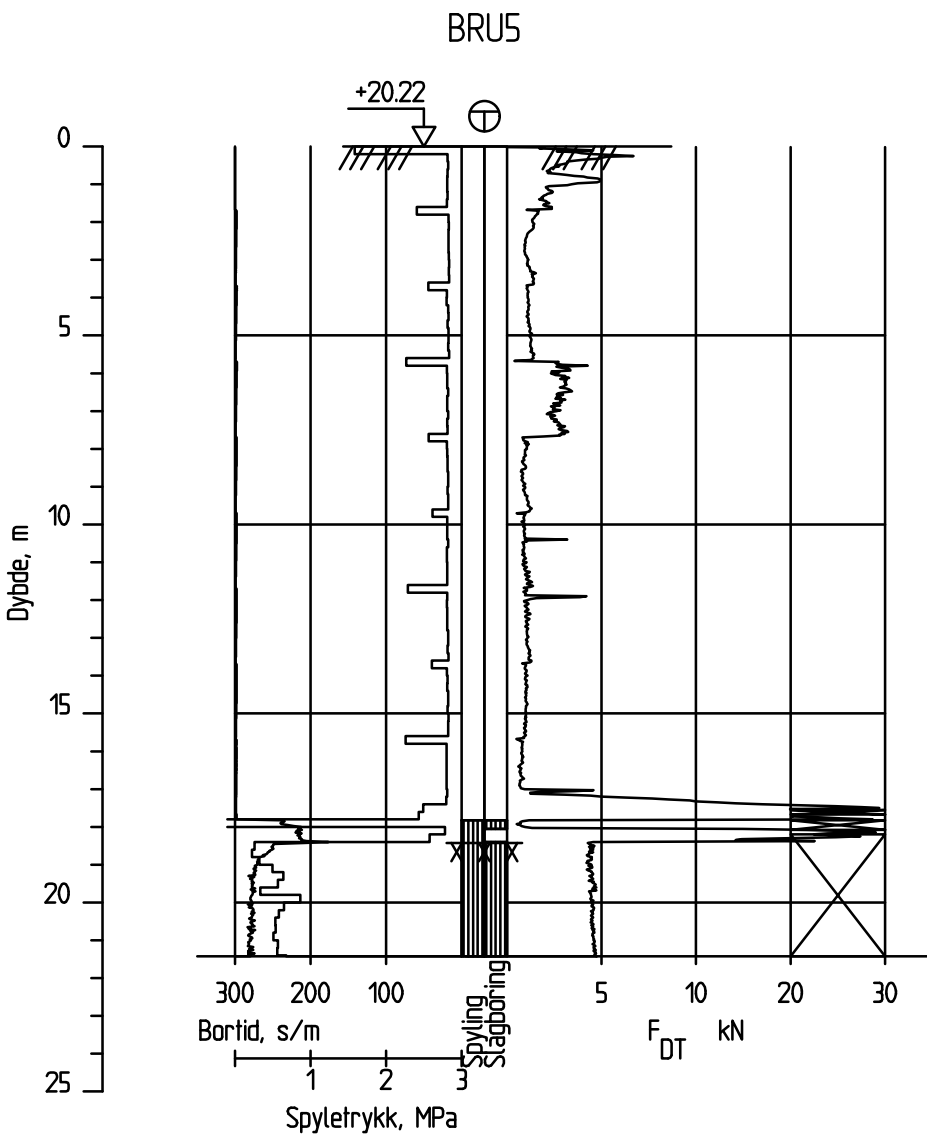


Dato boret :23.10.2023

Posisjon: X 1154387.63 Y 110655.61

| | | | |
|----------------|----------------------------------|------------------|---------------|
| Totalsondering | Sonderingsnummer Borhull BRU4 | | |
| Dilling bru GU | Målestokk $M = 1 : 200$ | Godkjent NIEO | Kontrollert |
| | Fag RIG | SESB | |
| | Dato 20.11.2023 | Format A4 | Tegnet OKH |
| | Oppdragsnr. A268914 | Tegningsnr. | Borhull BRU4 |

COWI

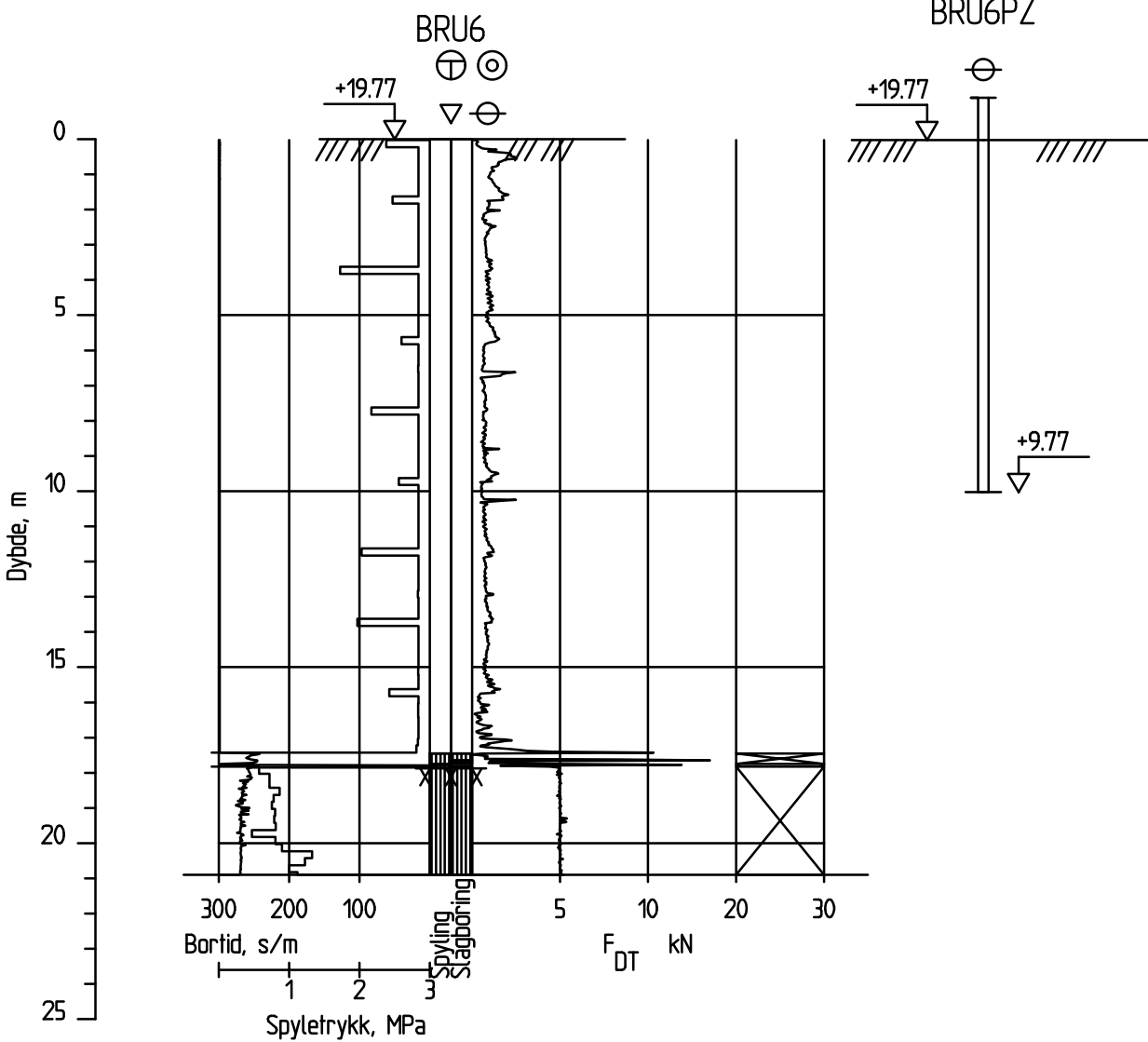


Dato boret :23.10.2023

Posisjon: X 1154394.40 Y 110661.98

| | | | |
|----------------|----------------------------------|------------------|---------------|
| Totalsondering | Sonderingsnummer Borhull BRUS | | |
| Dilling bru GU | Målestokk $M = 1 : 200$ | Godkjent NIEO | Kontrollert |
| | Fag RIG | SESB | |
| | Dato 20.11.2023 | Format A4 | Tegnet OKH |
| | Oppdragsnr. A268914 | Tegningsnr. | Borhull BRUS |

COWI



Dato boret :24.10.2023

Posisjon: X 1154387.56 Y 110660.47

| | | | |
|----------------|----------------------------------|-----------------------------|---------------|
| Totalsondering | Sonderingsnummer Borhull BRU6 | | |
| Dilling bru GU | Målestokk M = 1 : 200 | Godkjent NIEO | |
| | Fag RIG | Kontrollert SESB | |
| | Dato 20.11.2023 | Format A4 | Tegnet OKH |
| | Oppdragsnr. A268914 | Tegningsnr. Borhull BRU6 | |

COWI

Sonde og utførelse

| | | | |
|------------------|--------------|---------------------------|------|
| Sonenummer | 4554 | Boreleder | AAVA |
| Type sonde | Nova | Temperaturendring (°C) | 2 |
| Kalibreringsdato | 05.07.2023 | Maks helning (°) | 12,2 |
| Dato sondering | 24.10.2023 | Maks avstand målinger (m) | 0,02 |
| Filtertype | Spaltefilter | | |

Kalibreringsdata

| | Spissmotstand | Sidefriksjon | Poretrykk |
|--------------------------------------|---------------|--------------|-----------|
| Maksimal last (MPa) | 50 | 0,5 | 2 |
| Måleområde (MPa) | 50 | 0,5 | 2 |
| Skaleringsfaktor | 1590 | 3656 | 2399 |
| Oppløsning 2 ¹² bit (kPa) | - | - | - |
| Oppløsning 2 ¹⁸ bit (kPa) | 0,4798 | 0,0104 | 0,0318 |
| Arealforhold | 0,8530 | 0,0010 | |
| Maks ubelastet temp. effekt (kPa) | 22,059 | 0,448 | 1,684 |
| Temperaturområde (°C) | 35 | | |

Nullpunktsskontroll

| | NA | NB | NC |
|----------------------------------|--------|-------|-------|
| Registrert før sondering (kPa) | 5908,2 | 128,6 | 387,9 |
| Registrert etter sondering (kPa) | -31,7 | 0,0 | -2,2 |
| Avvik under sondering(kPa) | 31,7 | 0,0 | 2,2 |
| Maksimal temperatureffekt (kPa) | 1,3 | 0,0 | 0,1 |
| Maksverdi under sondering (kPa) | 7841,8 | 121,4 | 757,8 |

Vurdering av anvendelsesklasse ihht. ISO 22476-1:2012

| | Spissmotstand | Sidefriksjon | Poretrykk | |
|---------------------------------|---------------|--------------|------------|------------|
| | (kPa) | (%) | (kPa) | (%) |
| Samlet nøyaktighet (kPa) | 33,4 | 0,4 | 0,0 | 0,0 |
| Tillatt nøyaktighet klasse 1 | 35 | 5 | 5 | 10 |
| Tillatt nøyaktighet klasse 2 | 100 | 5 | 15 | 15 |
| Tillatt nøyaktighet klasse 3 | 200 | 5 | 25 | 15 |
| Tillatt nøyaktighet klasse 4 | 500 | 5 | 50 | 20 |
| Anvendelsesklasse | 1 | 1 | 1 | 1 |
| Anvendelsesklasse måleintervall | 1 | | | |
| Anvendelsesklasse | 1 | | | |

Måleverdier under kapasitet/krav

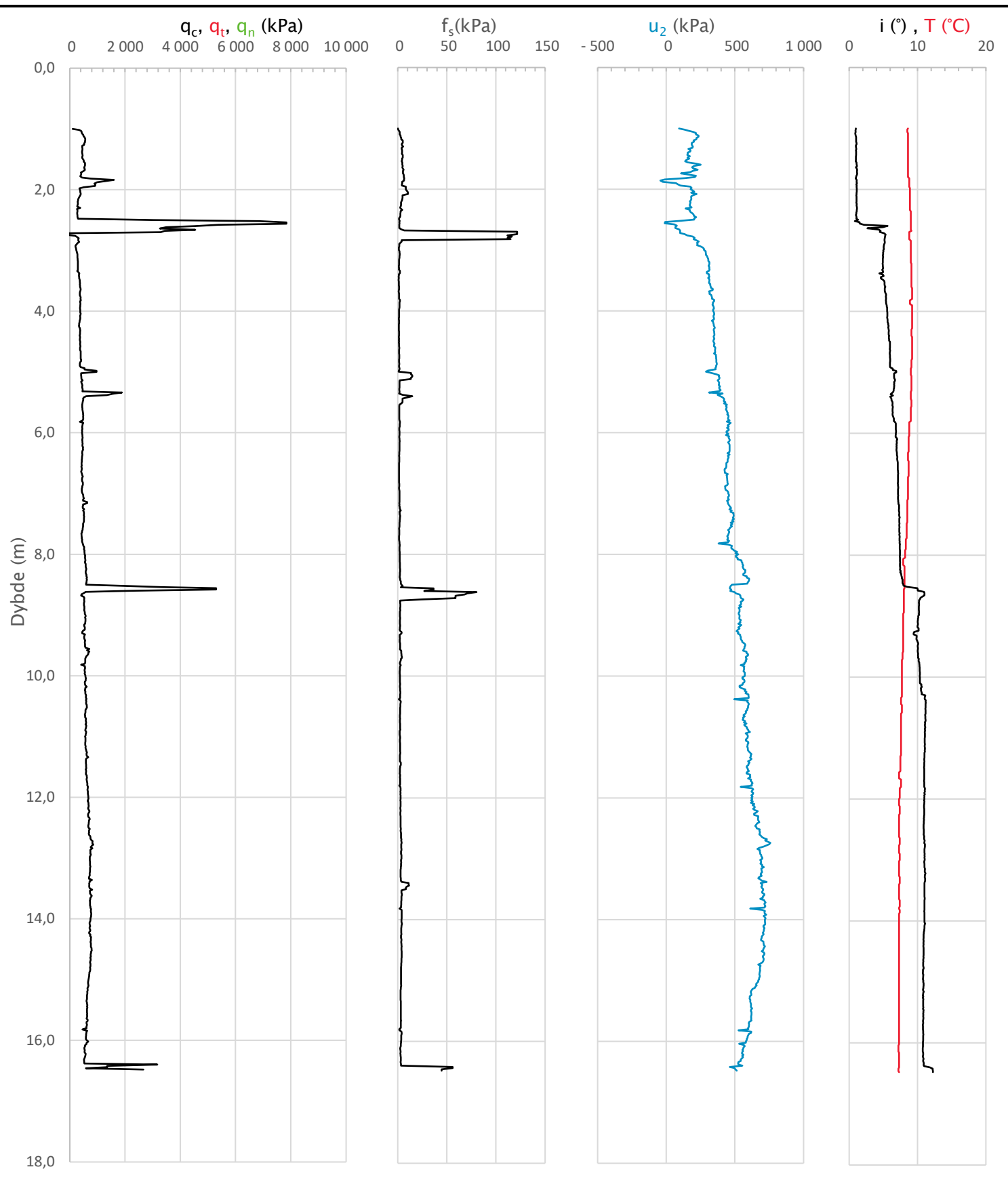
| Spissmotstand | Sidefriksjon | Poretrykk | Helning | Temperatur |
|---------------|--------------|-----------|---------|------------|
| OK | OK | OK | OK | OK |

Kommentarer: Forboring 1 m

| | | | |
|-----------------------------------|--|---------|----------------------------|
| Prosjekt Dilling bru GU | Prosjektnummer: A268914 Rapportnummer: A268914-RAP-RIG-001 | Borhull | Kote +19,77 BRU6 |
|-----------------------------------|--|---------|----------------------------|

| | |
|---|---------------------------|
| Innhold Dokumentasjon av utstyr og målenøyaktighet | Sonenummer 4554 |
|---|---------------------------|

| | | | | |
|-------------|-------------------------|------------------------------|-----------------------|------------------------|
| COWI | Utført NIEO | Kontrollert SESB | Godkjent CBNI | Anvend.klasse 1 |
| | Divisjon Geo og felt | Dato sondering 24.10.2023 | Revisjon Rev. dato | Figur CPT-01 |



| | | |
|------------------------------------|--|------------------------------------|
| Prosjekt Dilling bru GU | Prosjektnummer: A268914 Rapportnummer: A268914-RAP-RIG-001 | Borhull Kote +19,77 BRU6 |
| Innhold | | Sondenummer |
| Måledata og korrigerte måleverdier | | 4554 |
| COWI | Utført NIEO | Kontrollert SESB |
| | Divisjon Geo og felt | Godkjent CBNI |
| | | Anvend.klasse 1 |
| | Datei sondering 24.10.2023 | Revisjon Rev. dato |
| | | Figur CPT-02 |

Vedlegg 2
Resultater fra geoteknisk laboratorium

R01C00

Cowi AS

A268914 Dilling bru, Moss Kommune

Labresultater
Prosjekt 23572

| Utførende laborant | Dato | Kontrollert av | Dato |
|-------------------------|----------|------------------------------|----------|
| LH <i>Haiti Hussein</i> | 13.11.23 | KS <i>Kristian Stensveen</i> | 14.11.23 |

Bilagsoversikt

Løsmasseprofiler og laboratorieundersøkelser

C

| | |
|------------------------------------|--------------|
| Løsmasseprofiler | R01C01 – C02 |
| Presentasjon enaksiale trykkforsøk | R01C21 – C22 |
| Ødometerforsøk | R01C61 – C63 |
| Treaksialforsøk | R01C71 – C72 |
| Samleark rådata | R01C91 |
| Bilder av prøver | R01C92 |
| GB - laboratorieundersøkelser | |

1.1 Laboratorieundersøkelser

Laboratorieundersøkelsene som ble utført er oppsummert i tabell 1.1.

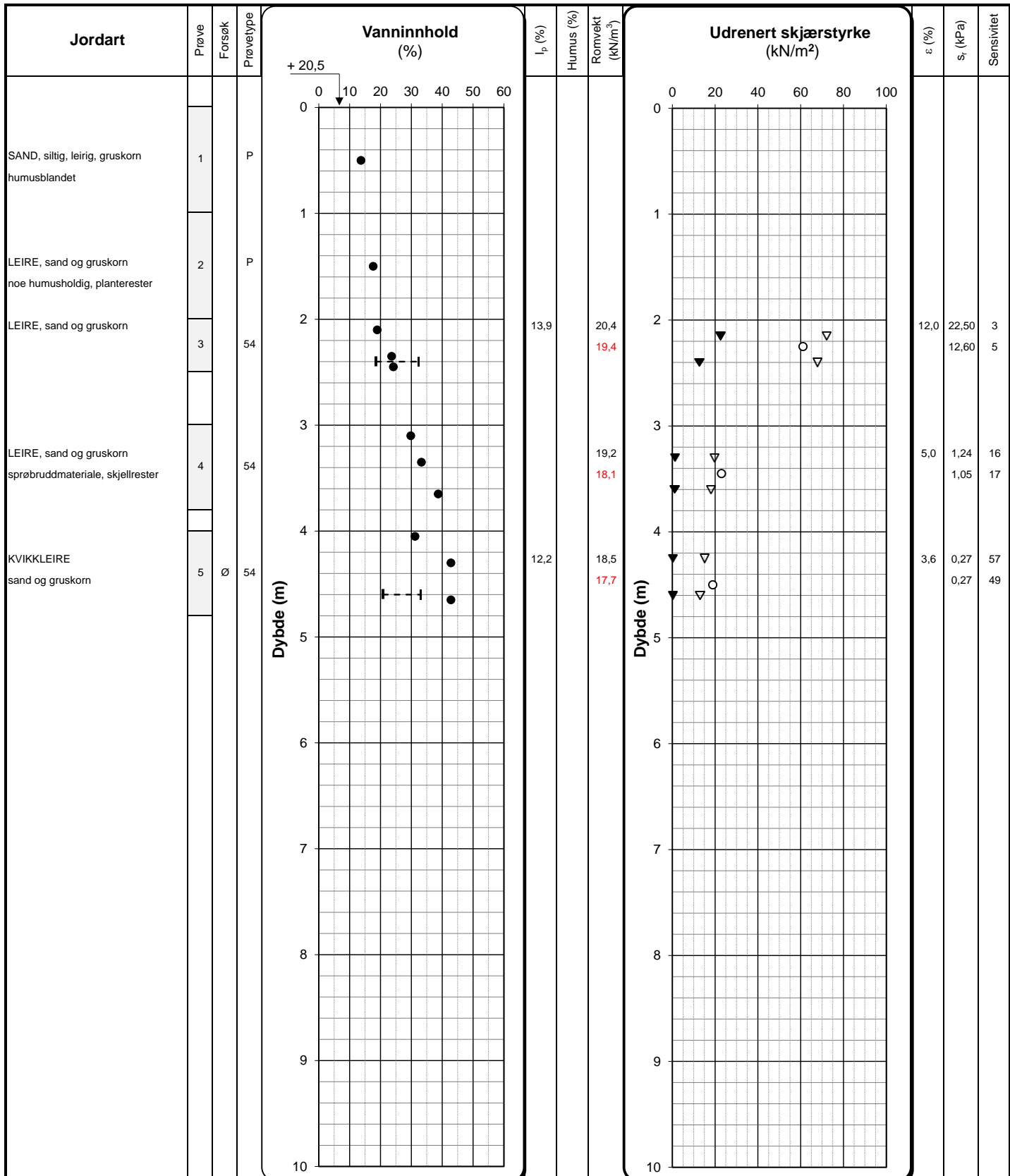
Tabell 1.1 Oppsummering av utførte laboratorieundersøkelser.

| Kode | Beskrivelse | Antall |
|-------|-------------------------------|--------|
| 10.11 | Visuell klassifisering | 2 |
| 10.2 | Vanninnhold (w) | 2 |
| 10.5 | Konsistensgrenser Ip | 5 |
| 11.11 | 54 mm sylinder, leire, rutine | 9 |
| 13.11 | Treaksialforsøk | 1 |
| 15.21 | Ødometerforsøk CRS | 3 |

Resultater fra laboratorieundersøkelsene er presentert iht. bilagsoversikt, se tegning GB-laboratorieundersøkelser for forklaring av løsmasseprofil.

Kommentarer og spesielle forhold ved forsøk og prøver:

- Punkt BRU6: 3,0-3,75 m: Plastisitetsgrense (rulling) ikke mulig, utført flytegrense. Markert med vertikal strek i løsmasseprofil.



Enaksialforsøk

O

Forsøk:

Prøvetype:

Omrrort konus

▼

T = Treaksialforsøk

P = Representativ poseprøve

Uforstyrret konus

▽

Ø = Ødometerforsøk

Tall = Diameter på sylinderprøve

Plastisitets- og flytgrense

- - -

K = Kornkurve

V = Visuell vurdering på stedet

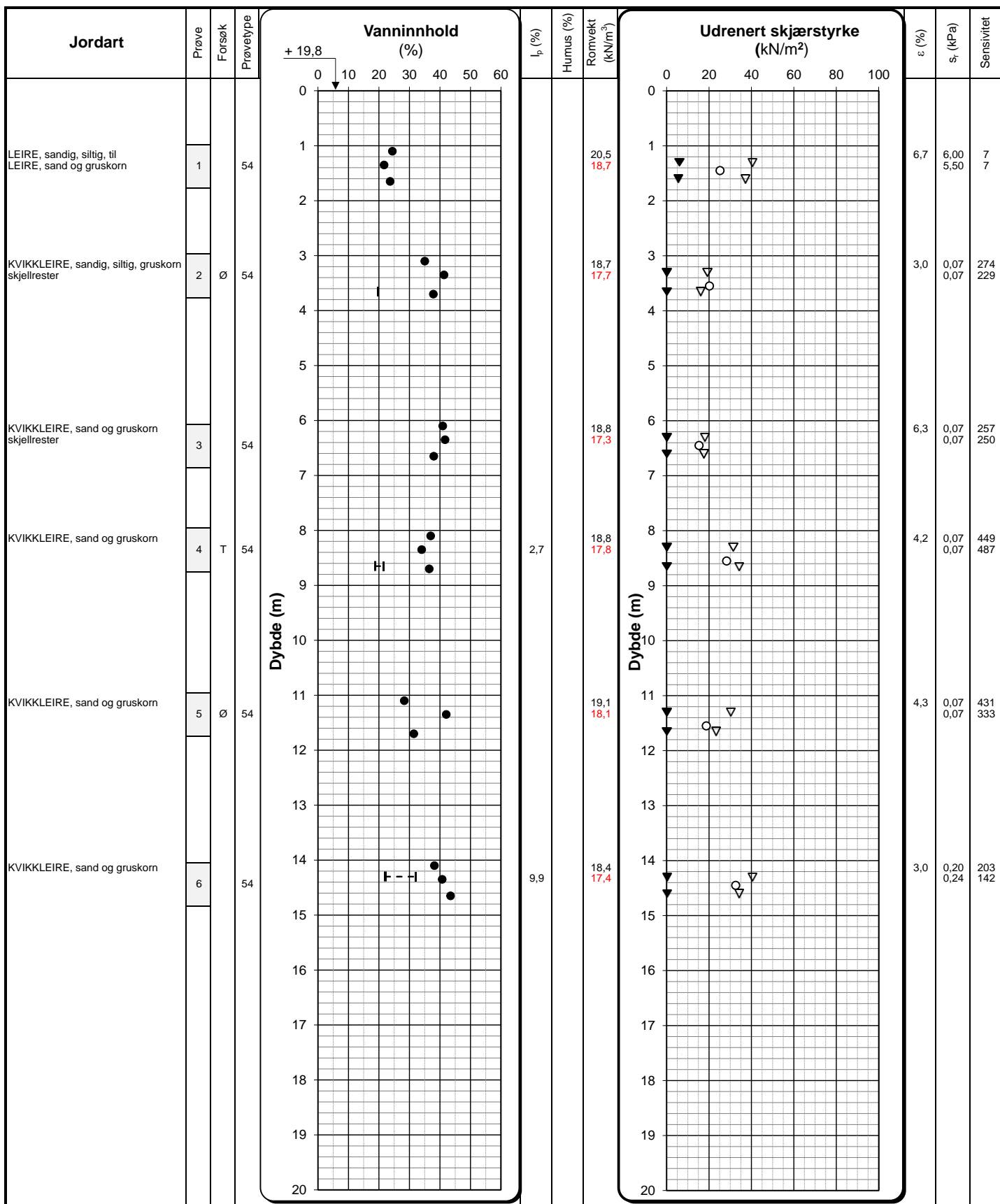
Målt vanninnhold

●

D = Korndensitet

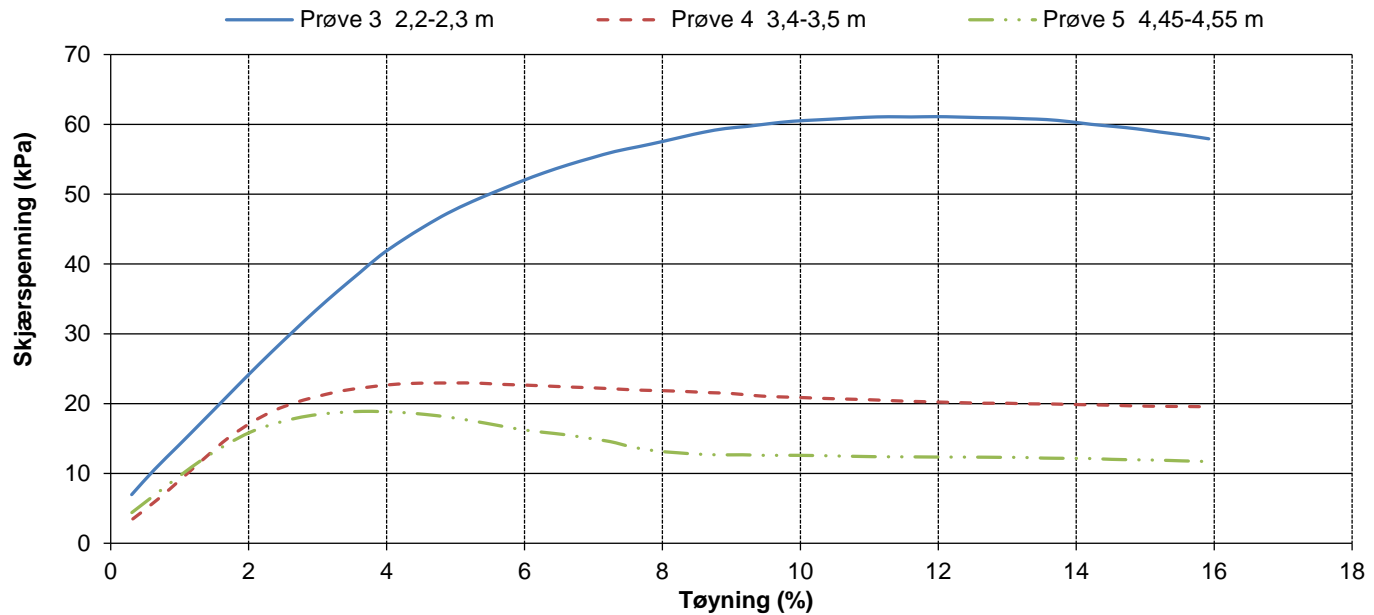
Humusinnhold:
Romvekt liten ring Humus % total
Romvekt hel sylinder Humus % av materiale < 2 mm

I_p = Plastisitetsindeks ε = Aksial bruddtøyning enaksialforsøks_r = omrrort skjærstyrke fra konusforsøk iht. ISO 17892-6:2017



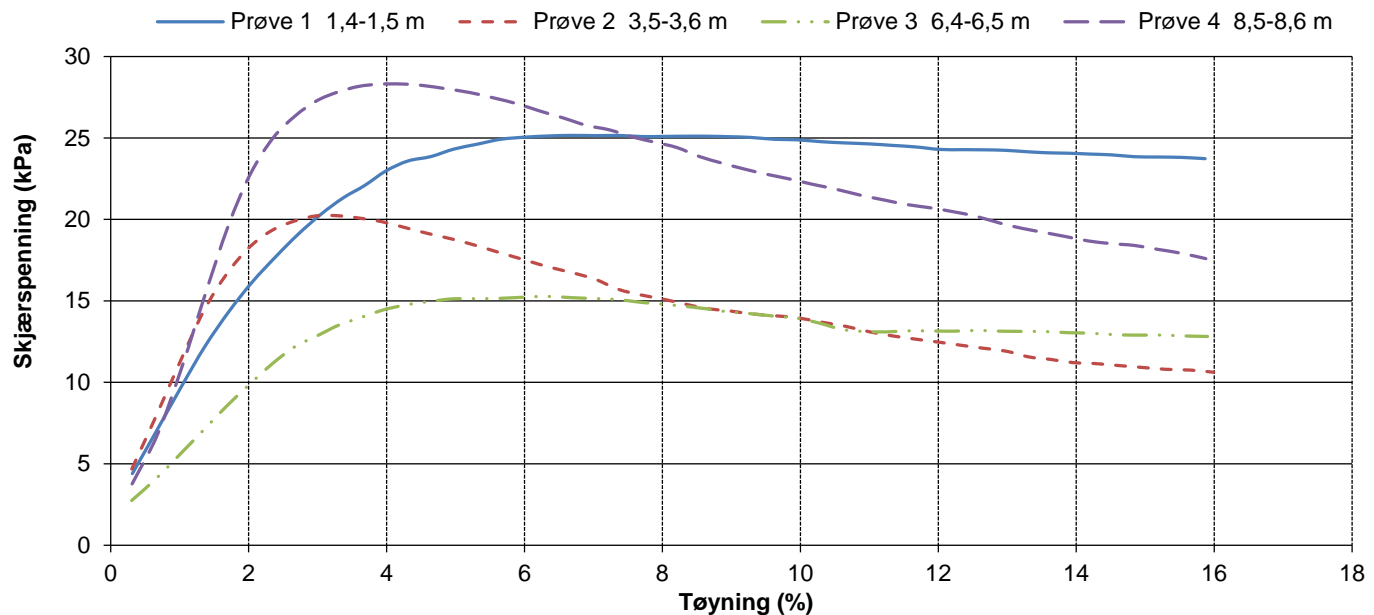
| | | | | | |
|---|-------|---------------------|---------------------------------|----------------------|-----------------------------|
| Enaksialforsøk | O | Forsøk: | Prøvetype: | Romvekt: | Humusinnhold: |
| Ømrort konus | ▼ | T = Treaksialforsøk | P = Representativ poseprøve | Romvekt liten ring | Humus % total |
| Uførstyrret konus | ▽ | Ø = Ødometerforsøk | Tall = Diametr på cylinderprøve | Romvekt hel sylinder | Humus % av materiale < 2 mm |
| Plastisitets- og flytgrense | ━ ━ ━ | K = Kornkurve | V = Visuell vurdering på stedet | | |
| Målt vanninnhold | ● | D = Kornndisitet | | | |
| I _b = Plastisitetsindeks | | | | | |
| ε = Aksial bruddtøyning enaksialforsøk | | | | | |
| s_r = omrørt skjærstyrke fra konusforsøk iht. ISO 17892-6:2017 | | | | | |
| | | | | | |
| Oppdragsgiver Cowi AS Prosjekt A268914 Dilling bru Tittel Løsmasseprofil pkt. BRU6 | | | | | |
| Tegning nr. | | | R01C02 | | |
| Prosjekt nr. | | | 23572 | | |
| Terrengkote | | | + 19,8 | | |
| Dato | | | 13.11.2023 | | |
| Ansvarlig | | | LH | | |
| Side | | | 1 av 1 | | |
| Kontrollert | | | KS | | |

Enaks punkt BRU2



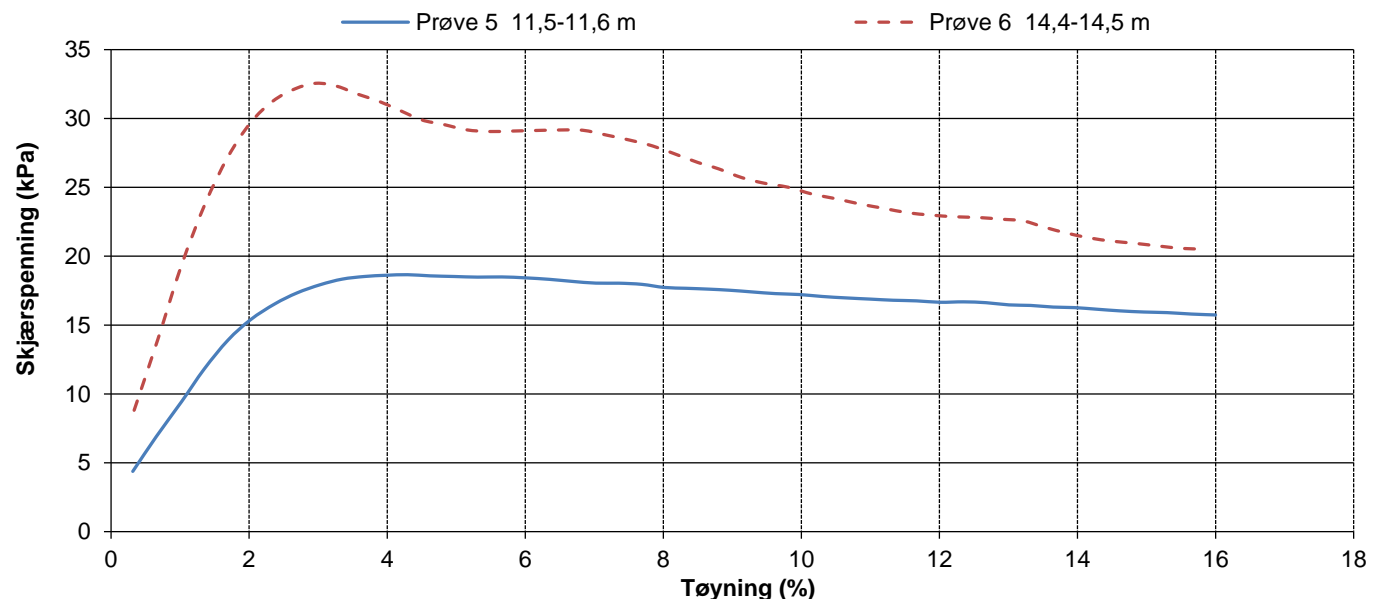
| PrøveID | Maks. τ (kPa) | Ved tøyning ε (%) | τ ved 15% tøyning (kPa) |
|---------------------|--------------------|-------------------------------|------------------------------|
| Prøve 3 2,2-2,3 m | 61,1 | 12,0 | |
| Prøve 4 3,4-3,5 m | 23,0 | 5,0 | |
| Prøve 5 4,45-4,55 m | 18,9 | 3,6 | |

Enaks punkt BRU6

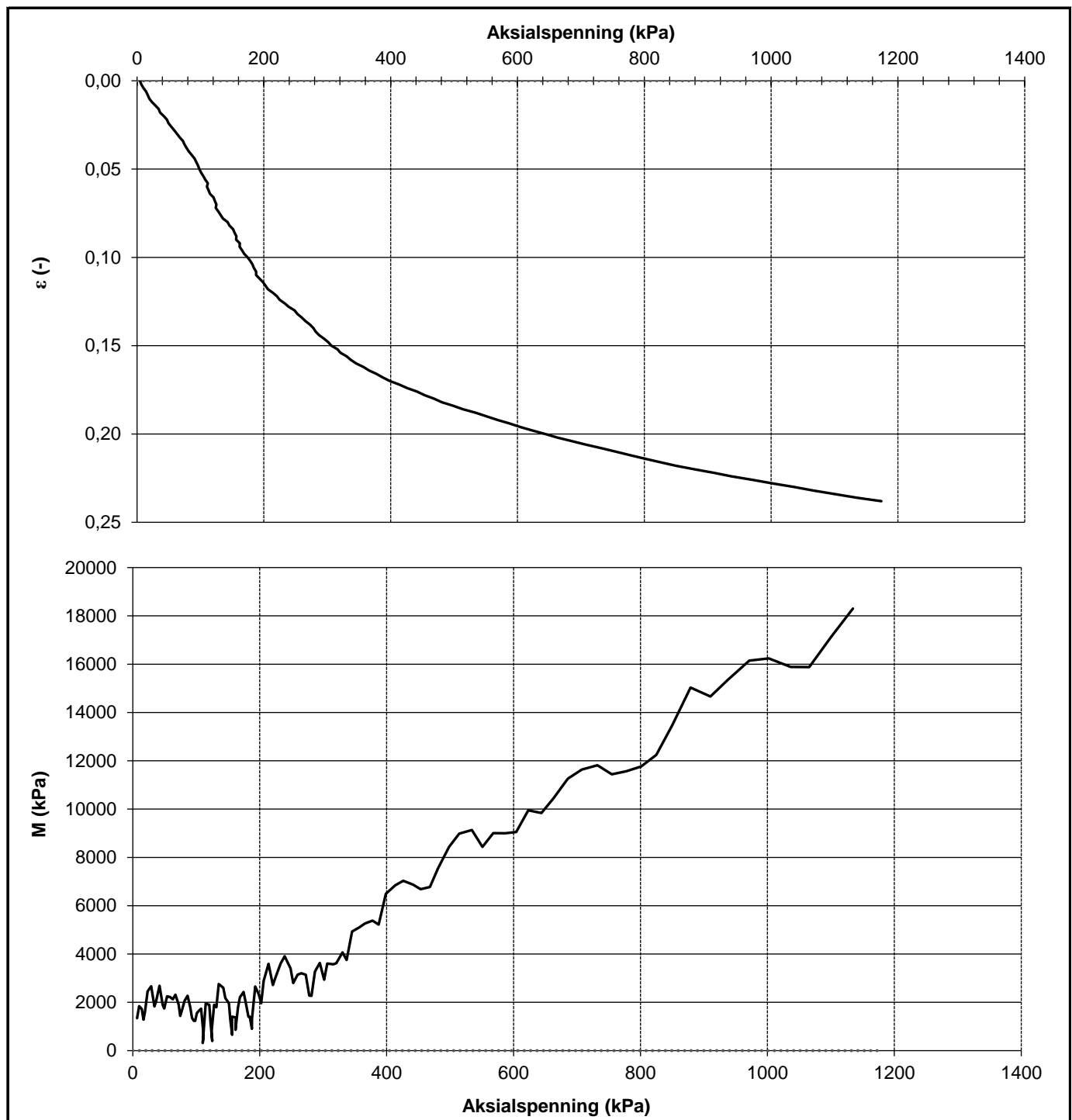


| PrøveID | Maks. τ (kPa) | Ved tøyning ε (%) | τ ved 15% tøyning (kPa) |
|-------------------|--------------------|-------------------------------|------------------------------|
| Prøve 1 1,4-1,5 m | 25,2 | 6,7 | |
| Prøve 2 3,5-3,6 m | 20,2 | 3,0 | |
| Prøve 3 6,4-6,5 m | 15,3 | 6,3 | |
| Prøve 4 8,5-8,6 m | 28,3 | 4,2 | |

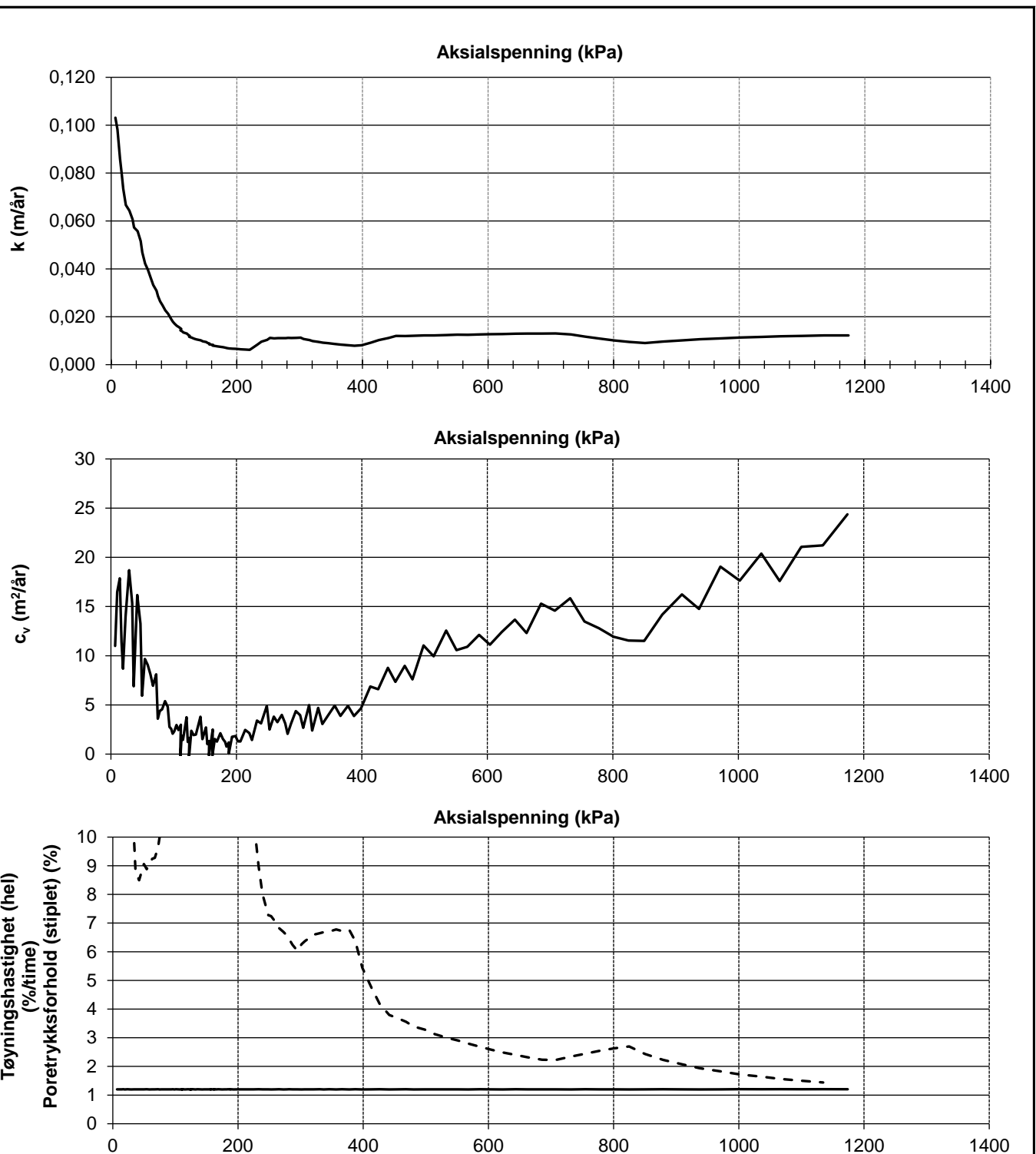
Enaks punkt BRU6



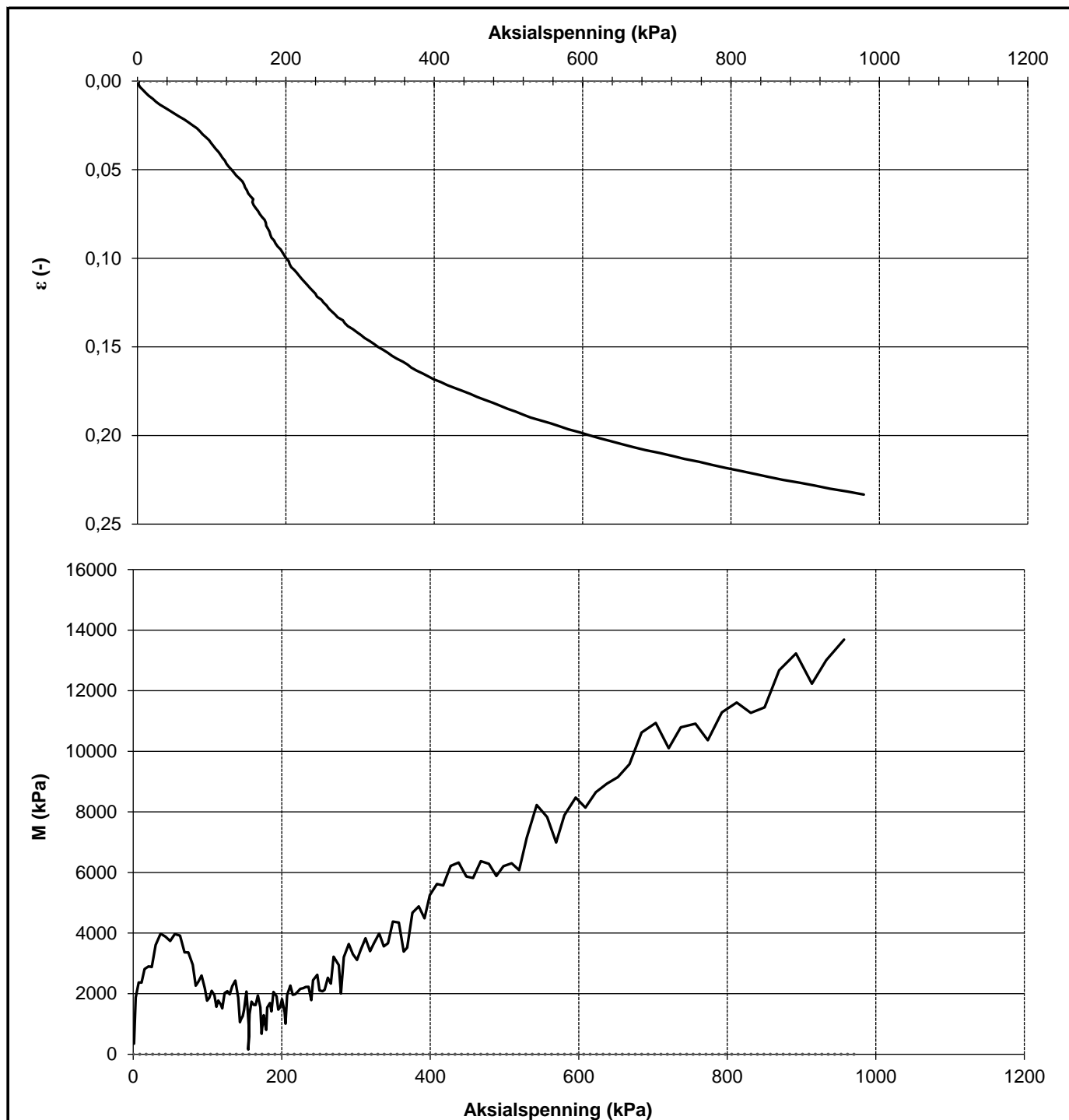
| PrøveID | Maks. τ (kPa) | Ved tøyning ε (%) | τ ved 15% tøyning (kPa) |
|---------------------|--------------------|-------------------------------|------------------------------|
| Prøve 5 11,5-11,6 m | 18,7 | 4,3 | |
| Prøve 6 14,4-14,5 m | 32,6 | 3,0 | |
| | | | |
| | | | |



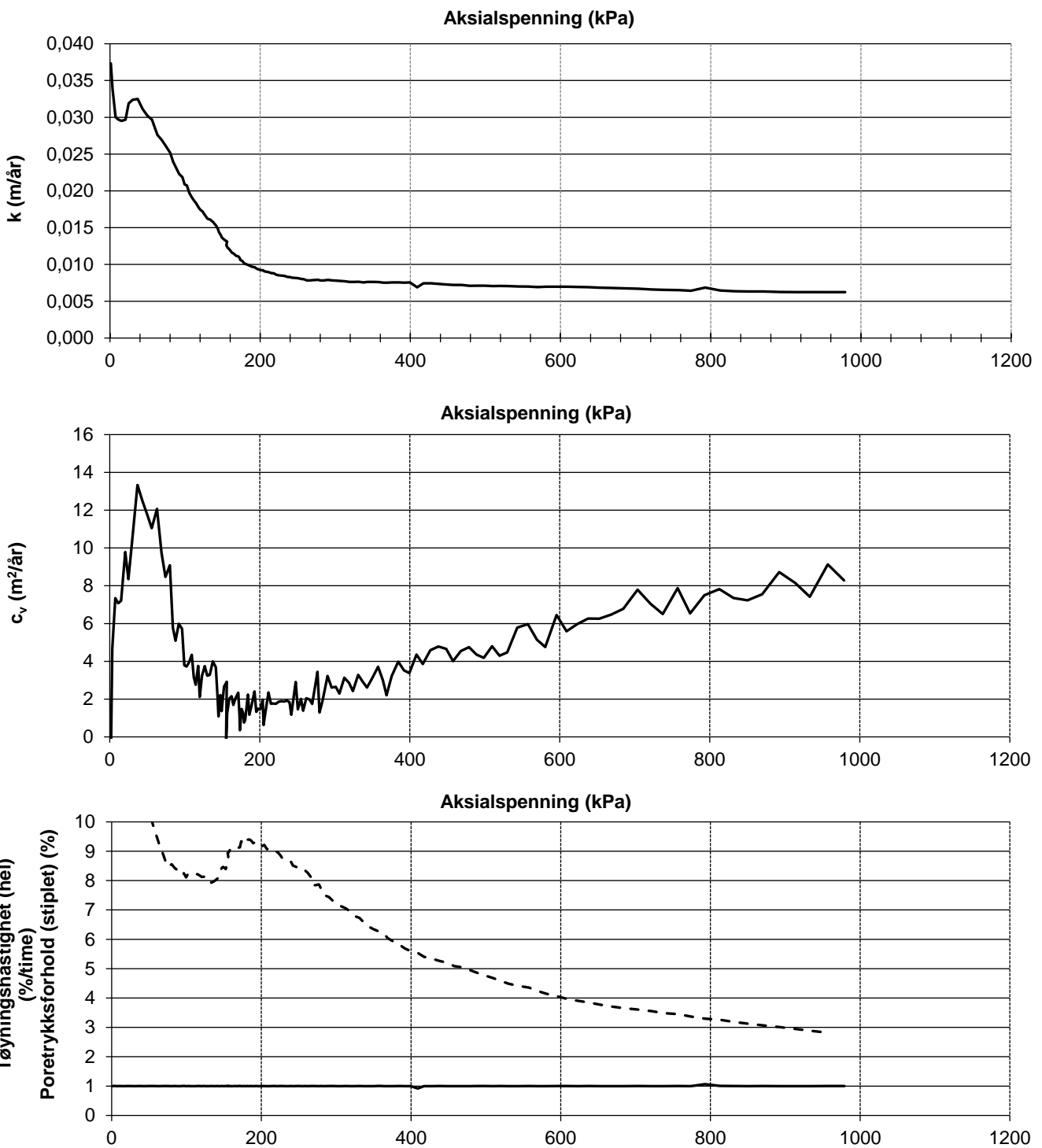
| | | | |
|--|---|-----------------------|-----------------------|
| Dato prøvetagning | 25.10.2023 | Dato forsøk | 06.11.2023 |
| Dybde (m) | 4,4 | Prøve nr. | 5 |
| Tyngdetetthet ved start av prøving γ (kN/m ³) | 17,2 | Kommentar | Kvikkleire, sandkorn |
| Vanninnhold ved start av prøving w (%) | 42,8 | | |
| Løvlien Georåd | Oppdragsgiver Cowi AS | Prosjekt nr. 23572 | Tegning nr. R01C61 |
| | Prosjekt A268914 Dilling bru | Side 1 av 2 | Borpunkt BRU2 |
| | Tittel Ødometerforsøk, ε &M vs σ' | Ansvarlig LH | Kontrollert KS |



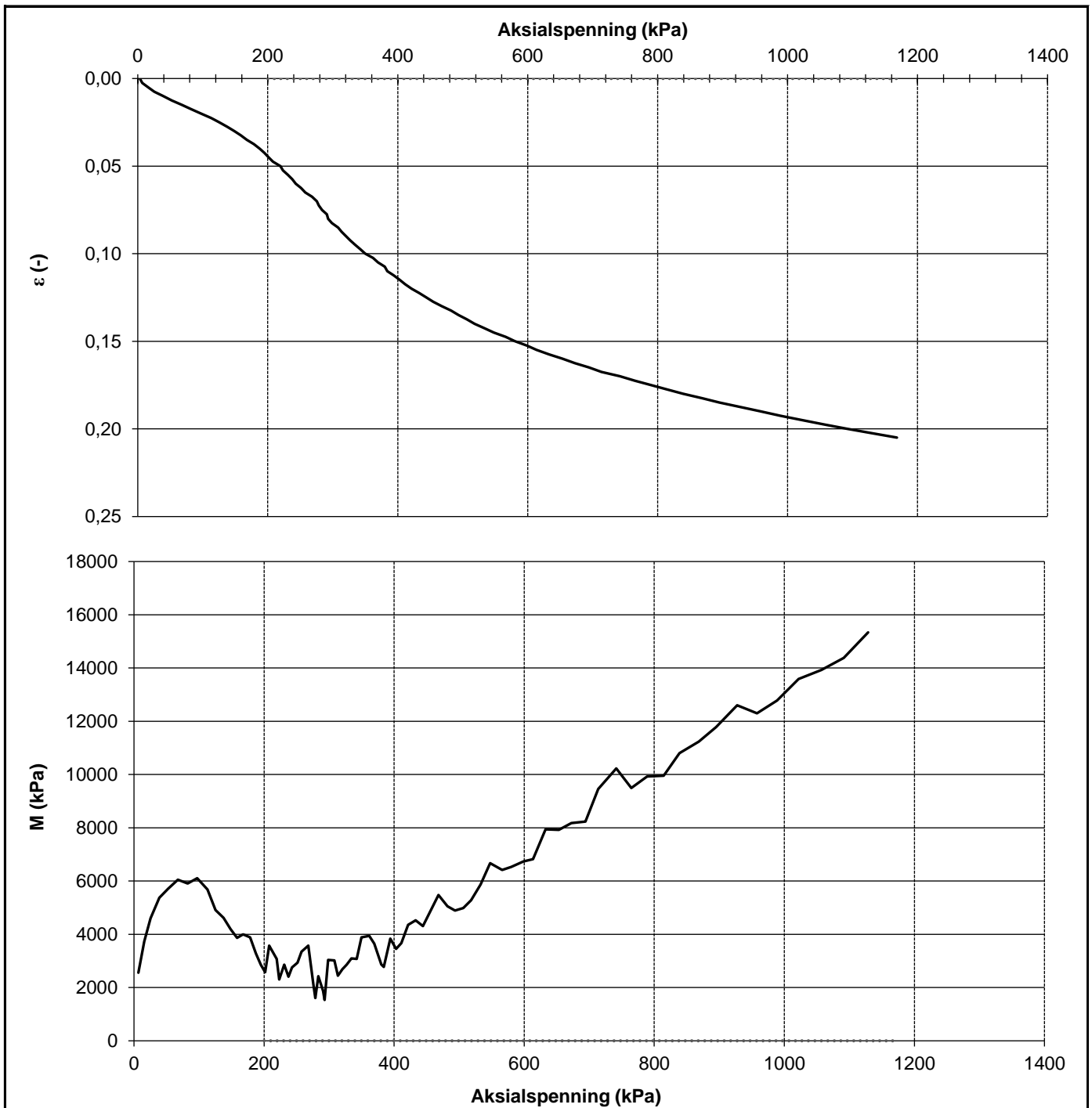
| | | | |
|--|---|-----------------------|-----------------------|
| Dato prøvetagning | 25.10.2023 | Dato forsøk | 06.11.2023 |
| Dybde (m) | 4,4 | Prøve nr. | 5 |
| Tyngdetetthet ved start av prøving γ (kN/m ³) | 17,2 | Kommentar | Kvikkleire, sandkorn |
| Vanninnhold ved start av prøving w (%) | 42,8 | | |
| Løvlien Georåd | Oppdragsgiver Cowi AS | Prosjekt nr. 23572 | Tegning nr. R01C61 |
| | Prosjekt A268914 Dilling bru | Side 2 av 2 | Borpunkt BRU2 |
| | Tittel Ødometerforsøk, k, c _v & tøyningshastighet | Ansvarlig LH | Kontrollert KS |



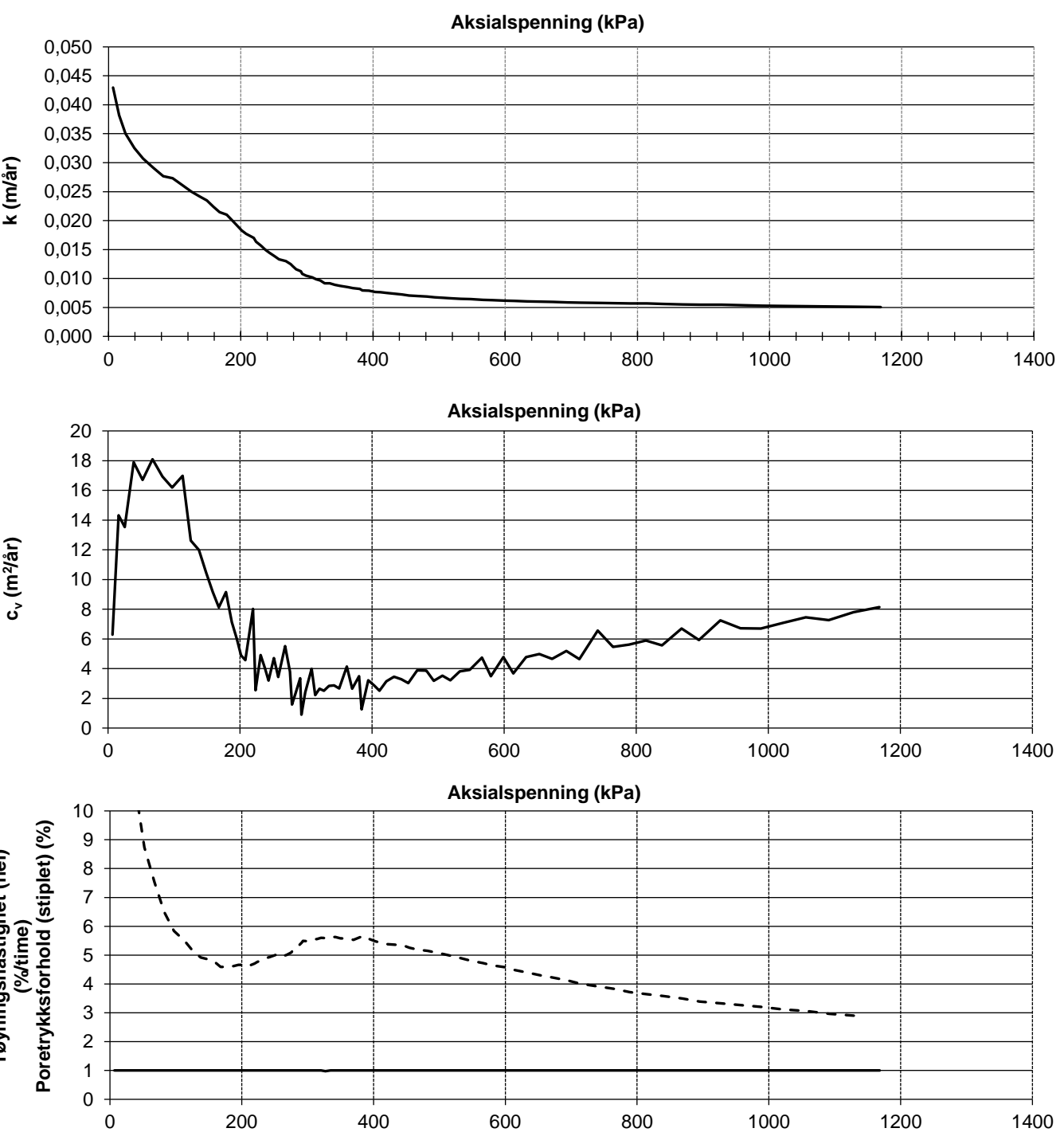
| | | | |
|--|---|-----------------------|----------------------------|
| Dato prøvetagning | 24.10.2023 | Dato forsøk | 09.11.2023 |
| Dybde (m) | 3,45 | Prøve nr. | 2 |
| Tyngdetetthet ved start av prøving γ (kN/m ³) | 17,3 | Kommentar | Kvikkleire, sandig, siltig |
| Vanninnhold ved start av prøving w (%) | 39,7 | | |
| Løvlien Georåd | Oppdragsgiver Cowi AS | Prosjekt nr. 23572 | Tegning nr. R01C62 |
| | Prosjekt A268914 Dilling bru | Side 1 av 2 | Borpunkt BRU6 |
| | Tittel Ødometerforsøk, ε &M vs σ' | Ansvarlig LH | Kontrollert KS |



| | | | |
|--|--|--|--|
| Dato prøvetagning | 24.10.2023 | Dato forsøk | 09.11.2023 |
| Dybde (m) | 3,45 | Prøve nr. | 2 |
| Tyngdetetthet ved start av prøving γ (kN/m ³) | 17,3 | Kommentar | Kvikkleire, sandig, siltig |
| Vanninnhold ved start av prøving w (%) | 39,7 | | |
| Løvlien Georåd | Oppdragsgiver Cowi AS Prosjekt A268914 Dilling bru Tittel Ødometerforsøk, k, c _v & tøyningshastighet | Prosjekt nr. 23572 Side 2 av 2 Ansvarlig LH | Tegning nr. R01C62 Borpunkt BRU6 Kontrollert KS |



| | | | |
|--|---|--|--|
| Dato prøvetagning | 24.10.2023 | Dato forsøk | 10.11.2023 |
| Dybde (m) | 11,25 | Prøve nr. | 55 |
| Tyngdetetthet ved start av prøving γ (kN/m ³) | 17,2 | Kommentar | Kvikkleire, sandkorn |
| Vanninnhold ved start av prøving w (%) | 42,1 | | |
| Løvlien Georåd | Oppdragsgiver Cowi AS Prosjekt A268914 Dilling bru Tittel Ødometerforsøk, ϵ &M vs σ' | Prosjekt nr. 23572 Side 1 av 2 Ansvarlig LH | Tegning nr. R01C63 Borpunkt BRU6 Kontrollert KS |



| | | | |
|--|--|--|--|
| Dato prøvetagning | 24.10.2023 | Dato forsøk | 10.11.2023 |
| Dybde (m) | 11,25 | Prøve nr. | 55 |
| Tyngdetetthet ved start av prøving γ (kN/m ³) | 17,2 | Kommentar | Kvikkleire, sandkorn |
| Vanninnhold ved start av prøving w (%) | 42,1 | | |
| Løvlien Georåd | Oppdragsgiver Cowi AS Prosjekt A268914 Dilling bru Tittel Ødometerforsøk, k, c _v & tøyningshastighet | Prosjekt nr. 23572 Side 2 av 2 Ansvarlig LH | Tegning nr. R01C63 Borpunkt BRU6 Kontrollert KS |



**Løvlien
Georåd**

Nøkkeldata fra treaksialforsøk - Borpunkt BRU6

| | |
|-------------------------------------|-----------------------|
| Oppdragsgiver Cowi AS | Prosjekt nr. 23572 |
| Ansvarlig A268914 Dilling bru LH | Tegning nr. R01C71 |

PrøveID og data

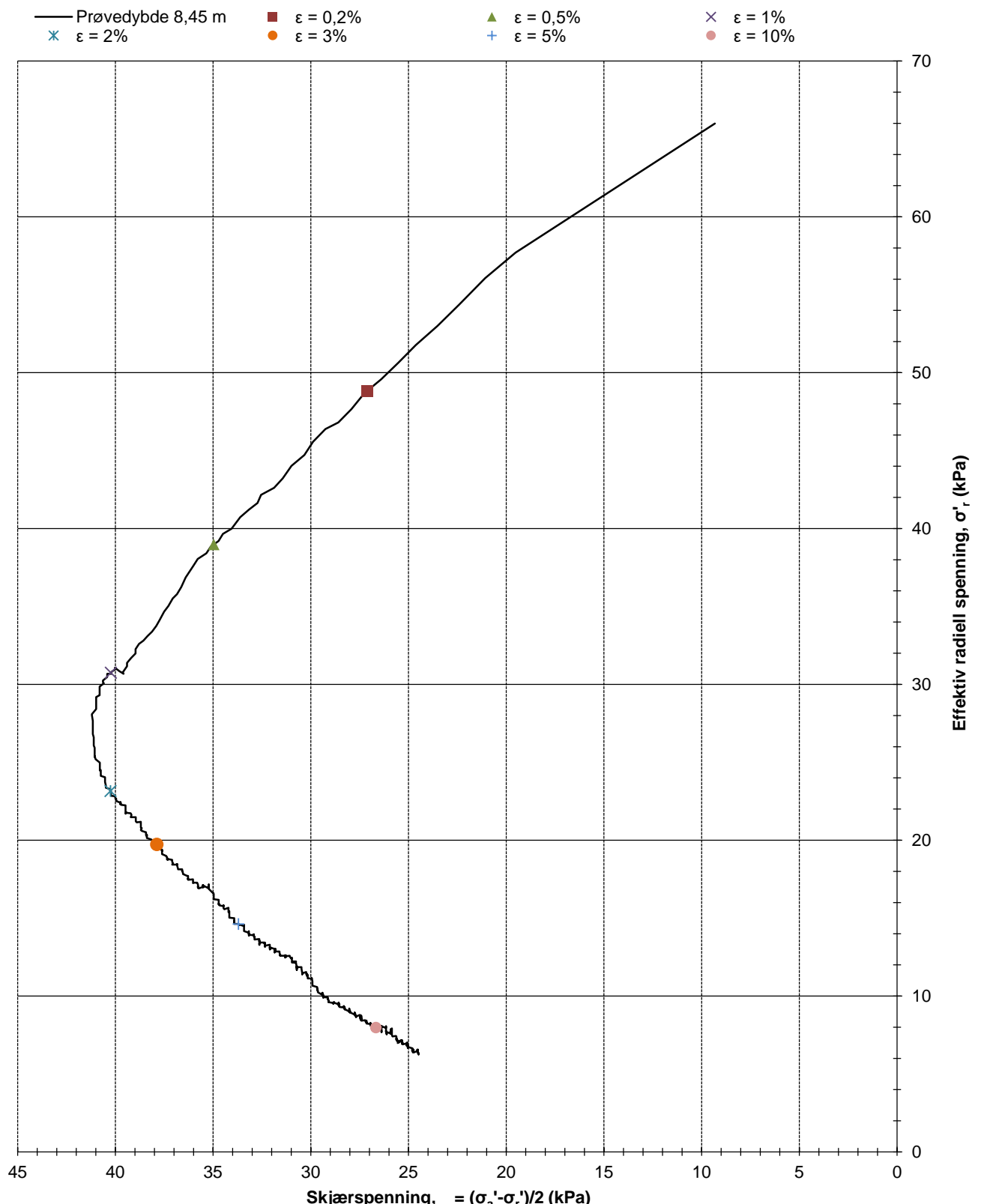
| Borpunkt nr. | Dybde m | Dato prøvetaking dd.mm.åååå | Dato forsøk dd.mm.åååå | Diameter mm |
|--------------|---------|-----------------------------|------------------------|-------------|
| BRU6 | 8,45 | 24.10.2023 | 09.11.2023 | 54 |

| Indeksparametere | | | | | | | Konsolidering | | | | | | Kvalitet | | | | Skjærundersøk | | |
|------------------|------------------|------------|------------------|------------------------|---------------------------|-----------------------|---------------|-------------------------|-------------------------|-------------|------------------------|----------------------|----------|---------------------|-----|----------|-------------------|-------------------|---------------------------------|
| w_{fr} % | w_{etter} % | l_p % | Leirinnhold % | γ_s kN/m^3 | γ_{fr} kN/m^3 | γ_{etter} % | Forsøkstype | σ'_{ac} kPa | σ'_{rc} kPa | K_0' - | ϵ_{volc} % | ϵ_{ac} % | B | $\Delta e/e_0$ - | OCR | Kvalitet | τ_t kPa | ϵ_f % | τ ved 2 % tøyning kPa |
| 34 | 32,3 | 2,7 | | 27,3 | 18,1 | 18,3 | CAU | 84,6 | 66,0 | 0,78 | 4,16 | 1,18 | 0,84 | 0,086 | 1-2 | 3 | 41,2 | 1,30 | - |

w_{fr} : Vanninnhold før forsøk
 w_{etter} : Vanninnhold etter forsøk
 γ_s : Faststoffdensitet
 γ_{fr} : Tyngdetetthet før forsøk
 γ_{etter} : Tyngdetetthet etter forsøk
 σ'_{ac} : Aksial konsolideringsspenning (celletrykk + deviator)
 σ'_{rc} : Celletrykk under konsolidering
 K_0' : σ'_r/σ'_{ac}
 ϵ_{volc} : Volumtøyning ved konsolidering
 ϵ_{ac} : Aksialtøyning ved konsolidering
 B : Skemptions poretrykksfaktor, $\Delta e/e_0$
 Δe : endring i poretall under konsolidering
 e_0 : poretall før forsøk
OCR: Forventet in situ konsolideringsfaktor
 τ_t : Høyeste målte skjærspenning
 ϵ_f : Vertikal tøyning ved maks skjærspenning

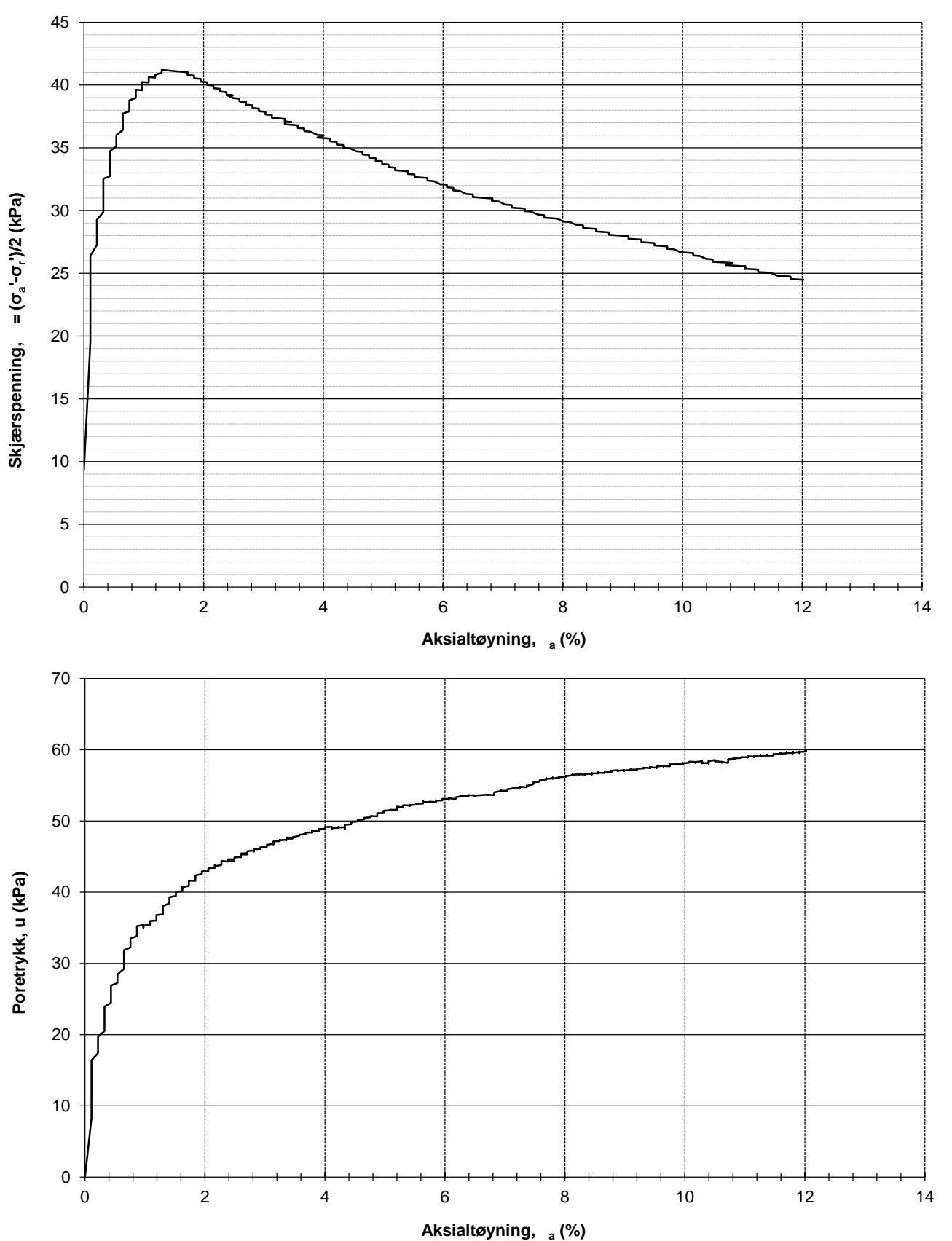
| OCR | $\Delta e/e_0^4$ | | | |
|-----|------------------------------|----------------------|-------------|--------------------|
| | Veldig god til utmerket 1 | God til brukbar 2 | Dårlig 3 | Veldig dårlig 4 |
| 1-2 | <0,04 | 0,04-0,07 | 0,07-0,14 | >0,14 |
| 2-4 | <0,03 | 0,03-0,05 | 0,05-0,10 | >0,10 |
| 4-6 | <0,02 | 0,02-0,035 | 0,035-0,07 | >0,07 |

Kriterier for evaluering av prøvekvalitet iht. NGF melding 11



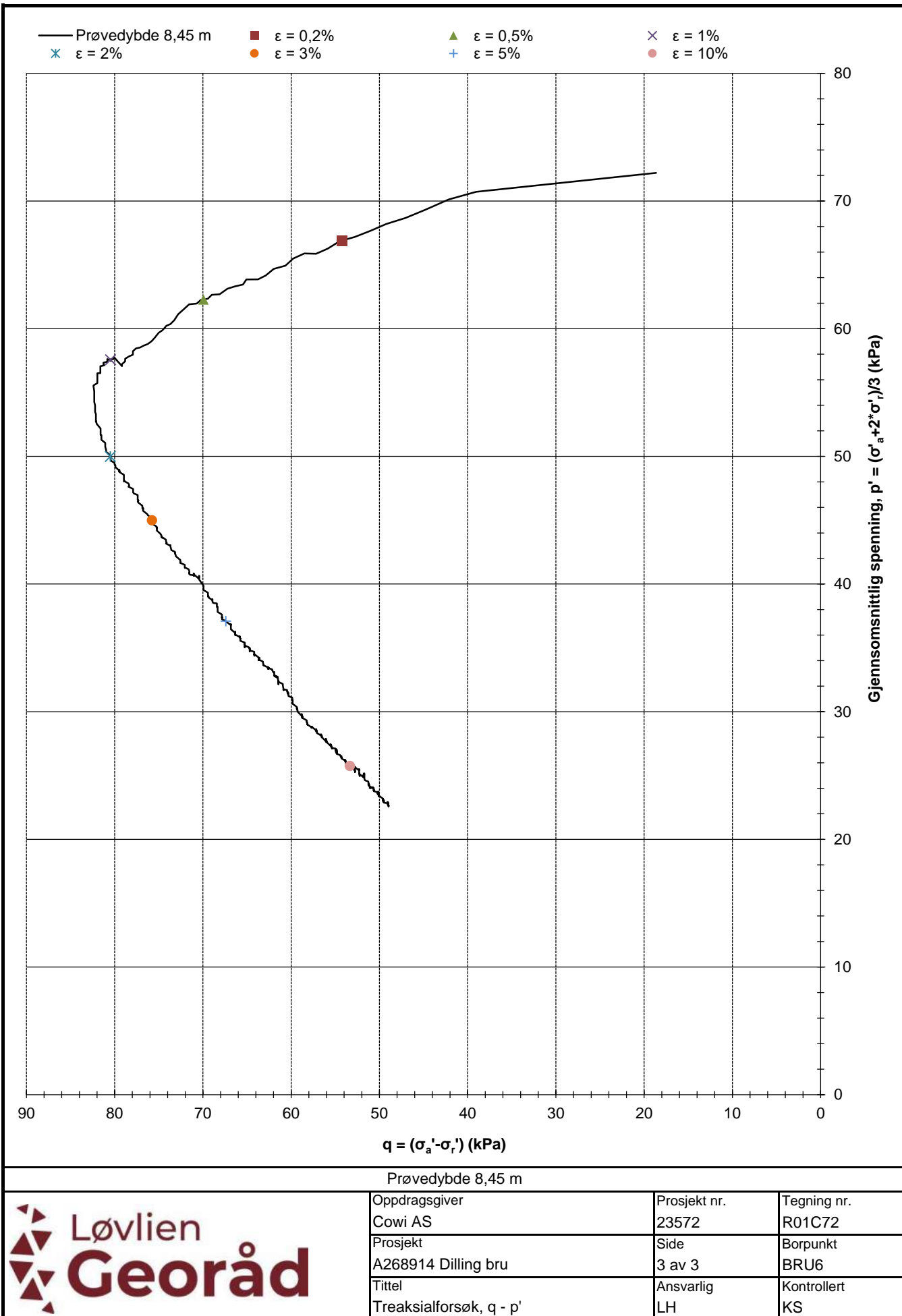
Prøvedybde 8,45 m

| | | |
|--|-----------------------|-----------------------|
| Oppdragsgiver Cowi AS | Prosjekt nr. 23572 | Tegning nr. R01C72 |
| Prosjekt A268914 Dilling bru | Side 1 av 3 | Borpunkt BRU6 |
| Tittel Treaksialforsøk, τ vs σ'_r | Ansvarlig LH | Kontrollert KS |



Prøvedybde 8,45 m

| | | |
|---|-----------------------|-----------------------|
| Oppdragsgiver Cowi AS | Prosjekt nr. 23572 | Tegning nr. R01C72 |
| Prosjekt A268914 Dilling bru | Side 2 av 3 | Borpunkt BRU6 |
| Tittel Treaksialforsøk, τ og u mot ϵ_a | Ansvarlig LH | Kontrollert KS |



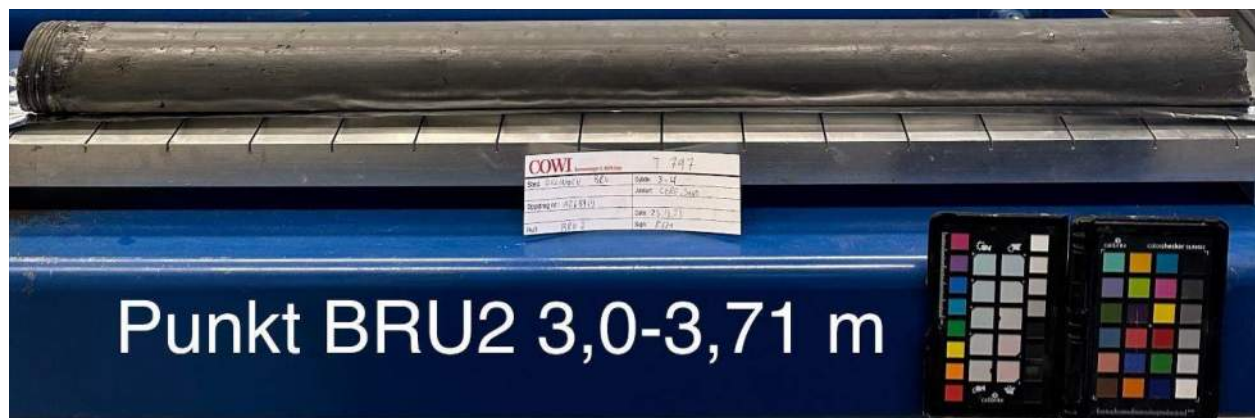
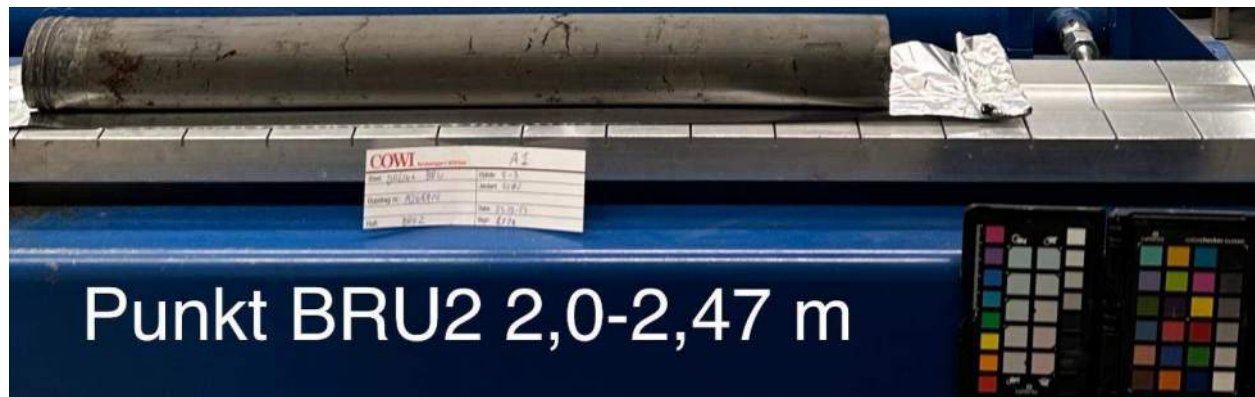
| Punkt | Vanninnhold | | | | | | Plastisitetsgrense | | | | Konus | | | | | | Enaks | | | Middeldybde | | | | Annet | | | | |
|-------|--------------|-----------------|--------------|-----------------|--------------|-----------------|--------------------|--------|--------|--------|--------------|----------|----------|--------|--------------|----------|----------|--------|-----------|-----------------|------------------------|----------|----------------------------------|--------------------------------|------------------|-----------------|--------------------------------|--------------------------------------|
| | Dybde w1 [m] | Vanninnhold [%] | Dybde w2 [m] | Vanninnhold [%] | Dybde w3 [m] | Vanninnhold [%] | Dybde Ip [m] | Wp [%] | WL [%] | Ip [%] | Dybde f1 [m] | Su [kPa] | Sr [kPa] | St [-] | Dybde f2 [m] | Su [kPa] | Sr [kPa] | St [-] | Dybde [m] | Su aksiel [kPa] | Aksiell def. Enaks [%] | Dybde[m] | Tyngdetetthet liten ring [kN/m³] | Tyngdetetthet sylinder [kN/m³] | Humus < 2 mm [%] | Humus total [%] | Beskrivelse | |
| BRU2 | 0,5 | 13,7 | | | | | | | | | | | | | | | | | | | | 0,5 | | | | | SAND, siltig, leirig, gruskorn | |
| BRU2 | 1,5 | 17,6 | | | | | | | | | | | | | | | | | | | | 1,5 | | | | | LEIRE, sand og gruskorn | |
| BRU2 | 2,1 | 18,9 | 2,4 | 23,6 | 2,5 | 24,2 | 2,4 | 18,6 | 32,4 | 13,9 | 2,2 | 72,1 | 22,50 | 3,2 | 2,4 | 67,90 | 12,60 | 5,4 | 2,3 | 61,1 | 12,0 | 2,2 | 19,4 | 20,4 | | | | LEIRE, sand og gruskorn |
| BRU2 | 3,1 | 29,8 | 3,4 | 33,3 | 3,7 | 38,7 | | | | | 3,3 | 19,8 | 1,24 | 16,0 | 3,6 | 18,00 | 1,05 | 17,1 | 3,5 | 23,0 | 5,0 | 3,4 | 18,1 | 19,2 | | | | LEIRE, sand og gruskorn, sprøbrudd |
| BRU2 | 4,1 | 31,2 | 4,3 | 42,8 | 4,7 | 42,8 | 4,6 | 20,8 | 33,0 | 12,2 | 4,3 | 15,1 | 0,27 | 57,0 | 4,6 | 12,90 | 0,27 | 48,7 | 4,5 | 18,9 | 3,6 | 4,4 | 17,7 | 18,5 | | | | KVIKKLEIRE, sand og gruskorn |
| BRU6 | 1,1 | 24,4 | 1,4 | 21,7 | 1,7 | 23,7 | | | | | 1,3 | 40,5 | 6,00 | 6,8 | 1,6 | 37,10 | 5,50 | 6,7 | 1,5 | 25,2 | 6,7 | 1,3 | 18,7 | 20,5 | | | | LEIRE, sandig, siltig, til LEIRE |
| BRU6 | 3,1 | 35,0 | 3,4 | 41,3 | 3,7 | 37,8 | 3,7 | | 19,7 | | 3,3 | 19,2 | 0,07 | 274 | 3,7 | 16,00 | 0,07 | 229 | 3,6 | 20,2 | 3,0 | 3,4 | 17,7 | 18,7 | | | | KVIKKLEIRE, sandig, siltig, gruskorn |
| BRU6 | 6,1 | 40,9 | 6,4 | 41,7 | 6,7 | 38,0 | | | | | 6,3 | 18,0 | 0,07 | 257 | 6,6 | 17,50 | 0,07 | 250 | 6,5 | 15,3 | 6,3 | 6,4 | 17,3 | 18,8 | | | | KVIKKLEIRE, sand og gruskorn |
| BRU6 | 8,1 | 36,9 | 8,4 | 34,0 | 8,7 | 36,5 | 8,7 | 18,8 | 21,5 | 2,7 | 8,3 | 31,4 | 0,07 | 449 | 8,7 | 34,10 | 0,07 | 487 | 8,6 | 28,3 | 4,2 | 8,4 | 17,8 | 18,8 | | | | KVIKKLEIRE, sand og gruskorn |
| BRU6 | 11,1 | 28,3 | 11,4 | 42,1 | 11,7 | 31,4 | | | | | 11,3 | 30,2 | 0,07 | 431 | 11,7 | 23,30 | 0,07 | 333 | 11,6 | 18,7 | 4,3 | 11,4 | 18,1 | 19,1 | | | | KVIKKLEIRE, sand og gruskorn |
| BRU6 | 14,1 | 38,2 | 14,4 | 40,7 | 14,7 | 43,5 | 14,3 | 22,0 | 32,0 | 9,9 | 14,3 | 40,5 | 0,20 | 203 | 14,6 | 34,10 | 0,24 | 142 | 14,5 | 32,6 | 3,0 | 14,4 | 17,4 | 18,4 | | | | KVIKKLEIRE, sand og gruskorn |

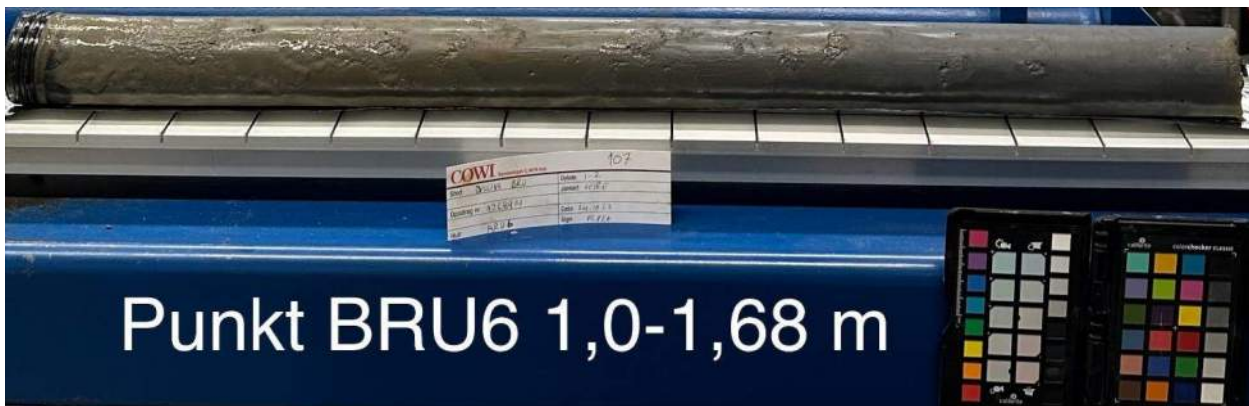
**23572 A268914 Dilling bru
Tegning nr.: R01C92
Bilder av prøver**

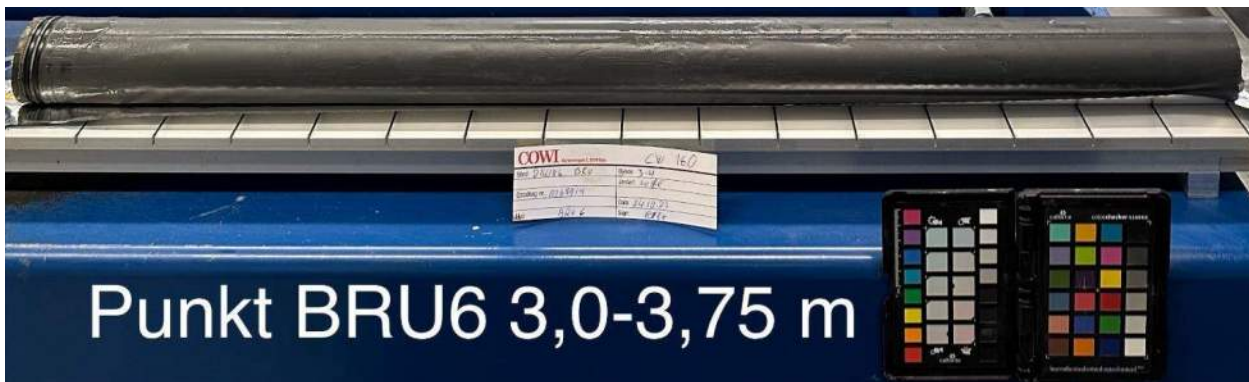
Oppdragsgiver:
Antall sider

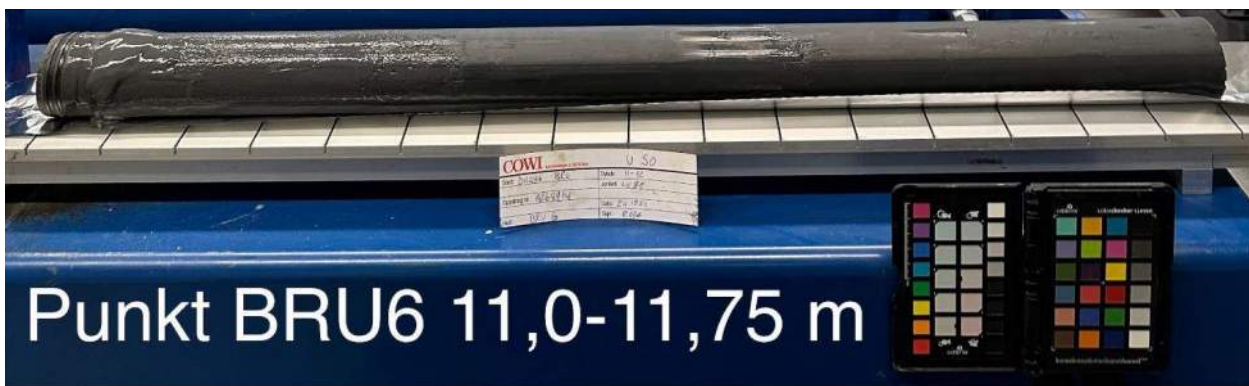
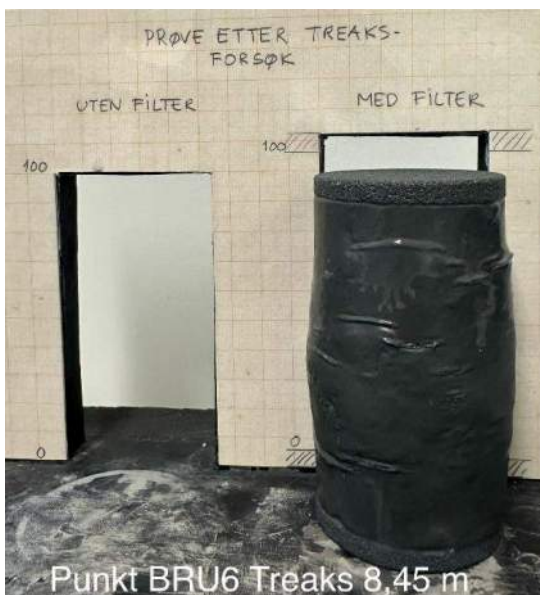
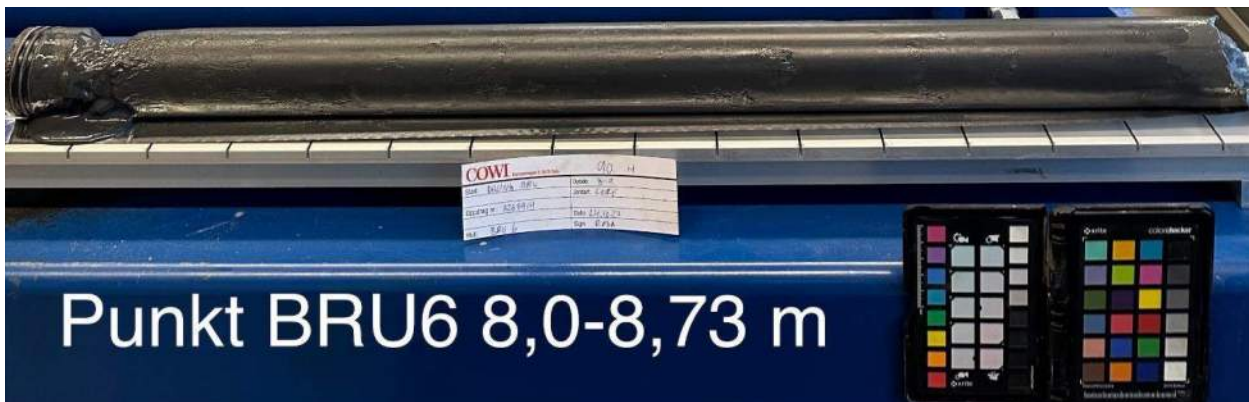
Cowi AS v/ Niklas Eriksson
5

| Revisjon | Grunnlag | Dato |
|----------|---------------|------------|
| 00 | Første utgave | 13.11.2023 |



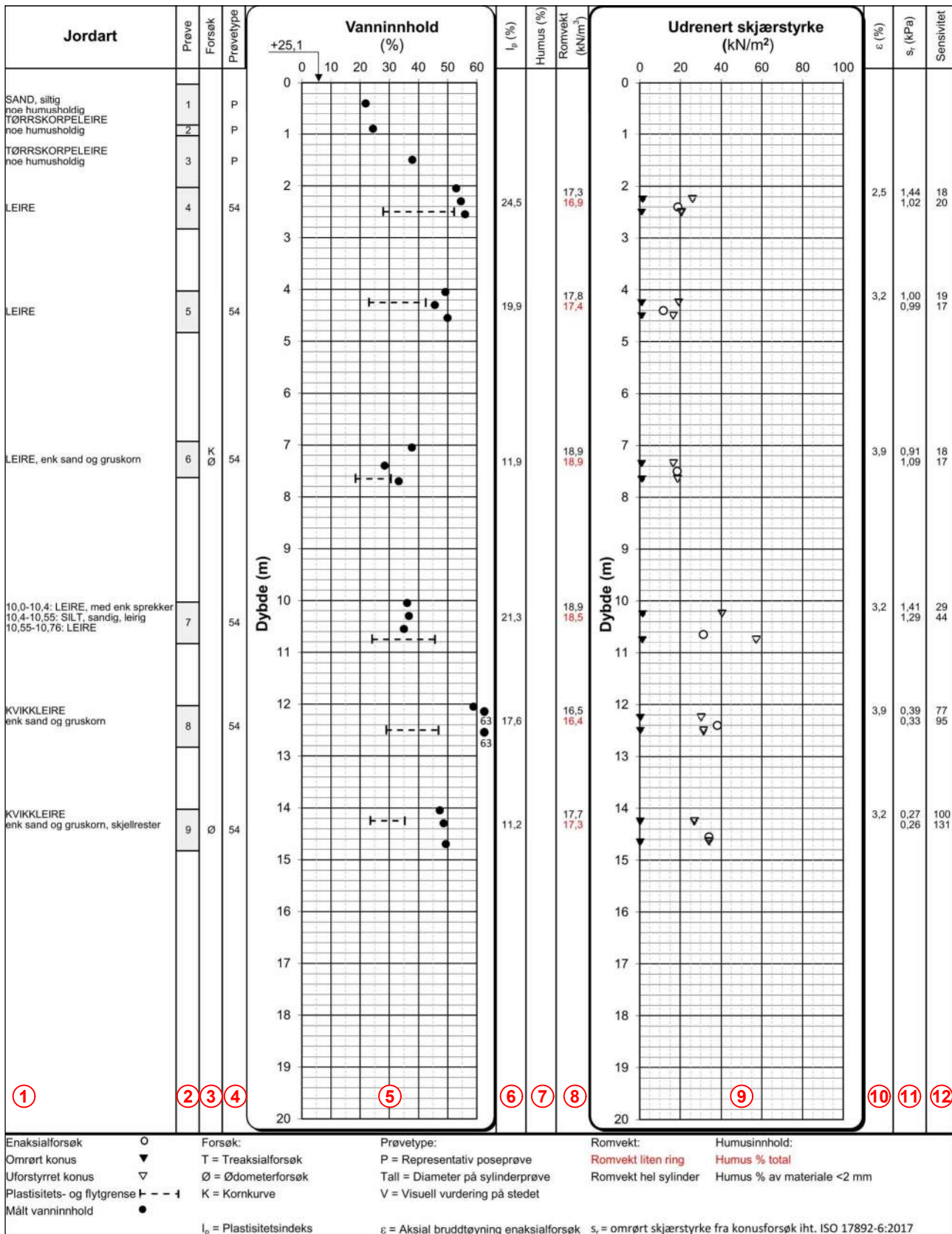








EKSEMPEL PÅ LØSMASSEPROFIL MED FORKLARING



FORKLARING:

1. Jordartsbeskrivelse
2. Dybdeintervall for den aktuelle beskrivelsen
3. Utført spesialforsøk
4. Prøvetakingsmetode
5. Målt vanninnhold i % og konsistensgrenser
6. Plastisitetsindeks (I_p) i % fra konsistensgrenseforsøk

7. Humusinnhold i % v/ glødetap for materiale < 2 mm (rød skrift angir humusinnhold for den totale prøvemassen)
8. Målt romvekt (γ) i kN/m³ gjennomsnitt for hele sylinderen (rød skrift angir målt romvekt fra liten ring)
9. Målt udrenert skjærstyrke fra konus og enaksialforsøk
10. Vertikal tøyning i % ved brudd fra enaksialforsøk
11. Omrørt skjærstyrke fra konusforsøk
12. Beregnet sensitivitet (S_t) fra konusforsøk

Benyttede teststandarder og utstyr ved våre laboratorieundersøkelser:

| Analyse | Standard | Utstyr | Merknad |
|--|---|---|---------|
| Generelt, identifisering og klassifisering av jord | NS-EN ISO 14688-1:2018 og 14688-2 | | |
| Bestemmelse av vanninnhold | NS-EN ISO 17892-1 | | |
| Bestemmelse av romdensitet | NS-EN ISO 17892-2 | | |
| Bestemmelse av korndensitet | NS-EN ISO 17892-3 | | |
| Bestemmelse av kornstørrelsесfordeling | NS-EN ISO 17892-4 | Retsch AS-200 Hydrometer 152H62 1g/l | |
| Ødometer, trinnvis belastning | EN ISO 17892-5 | GDS instruments | |
| Ødometer CRS | NS8018 | GDS instruments | |
| Konusforsøk, uomrørt og omrørt | EN ISO 17892-6 | UTEST fall cone UTS-0180, semiautomatic penetrometer | |
| Enaksialt trykkforsøk, Enaks | EN ISO 17892-7 | GDS instruments | |
| Treaksialt forsøk, Ukonsolidert, udrenert | EN ISO 17892-8 | GDS instruments | |
| Treaksialt forsøk, Konsolidert, udrenert CAU | EN ISO 17892-9 | GDS instruments | |
| Permeabilitets forsøk i Treaks og Ødo | EN ISO 17892-11 | GDS instruments | |
| Konusflytgrense, plastisitetsgrense, I_p | ISO/TS 17892-12 | UTEST fall cone ETM2432 | |
| Humusinnhold ved gløding | ISO 14688-2 2017 4.5 Organic content | Glødeskap Nabertherm B150 | |
| Proctor-komprimering | NS-EN 13286-2 | Automatic Soil Compactor | |

Vedlegg 3
Koordinat- og borpunktliste

Vedlegg 3

Koordinat- og borpunktsliste

A268914 Dilling bru GU

| Borhull | Dato boret | Metode | Koordinater (EUREF89 NTM sone 10. NN2000) | | | Bergkote (moh.) | Boret i (m) | | |
|---------|------------|--------------------|--|-----------|-------|--------------------|-------------|------|-------|
| | | | X | Y | Z | | Løsmasser | Berg | Total |
| BRU1 | 25.10.2023 | Total Cpt | 1154399,92 | 110646,04 | 20,15 | +12,30 | 7,85 | 3,00 | 10,85 |
| BRU2 | 23.10.2023 | Total Prøve PZ | 1154407,09 | 110646,10 | 20,47 | +15,15 | 5,32 | 3,00 | 8,32 |
| BRU3 | 23.10.2023 | Total | 1154418,38 | 110645,83 | 21,32 | +16,47 | 4,85 | 3,00 | 7,85 |
| BRU4 | 23.10.2023 | Total | 1154387,63 | 110655,61 | 19,45 | +3,47 | 15,98 | 3,00 | 18,98 |
| BRU5 | 23.10.2023 | Total | 1154394,40 | 110661,98 | 20,22 | +1,80 | 18,42 | 3,00 | 21,42 |
| BRU6 | 24.10.2023 | Total Cpt Prøve PZ | 1154387,56 | 110660,47 | 19,77 | +1,89 | 17,88 | 3,02 | 20,90 |

Vedlegg 4
CPTu kalibreringsskjema



CALIBRATION CERTIFICATE FOR CPT PROBE 4554

Probe No 4554
 Date of Calibration 2023-07-05
 Calibrated by Alexander Dahlin *N. Dahlin*
 Run No 2886
 Test Class: ISO 1

Point Resistance

| | Tip Area 10cm² | |
|-----------------|----------------------------------|-----|
| Maximum Load | 50 | MPa |
| Range | 50 | MPa |
| Scaling Factor | 1590 | |
| Resolution | 0,4798 | kPa |
| Area factor (a) | 0,853 | |
| Zero | 5,902 | MPa |

ERRORS

Max. Temperature effect when not loaded 22,059 kPa
 Temperature range 5 –40 deg. Celsius.

Local Friction

| | Sleeve Area 150cm² | |
|-----------------|--------------------------------------|-----|
| Maximum Load | 0,5 | MPa |
| Range | 0,5 | MPa |
| Scaling Factor | 3656 | |
| Resolution | 0,0104 | kPa |
| Area factor (b) | 0,001 | |
| Zero | 128,17 | kPa |

ERRORS

Max. Temperature effect when not loaded 0,448 kPa
 Temperature range 5 –40 deg. Celsius.

Pore Pressure

| | | |
|----------------|-------------|-----|
| Maximum Load | 2 | MPa |
| Range | 2 | MPa |
| Scaling Factor | 2399 | |
| Resolution | 0,0318 | kPa |
| Zero | 387,45 | kPa |

ERRORS

Max. Temperature effect when not loaded 1,684 kPa
 Temperature range 5 –40 deg. Celsius.

Tilt Angle

| | | |
|----------------|-------------|------|
| Scaling Factor | 0,92 | |
| Range | 0 - 40 | Deg. |

Backup memory**Temperature sensor****Conductivity probe**

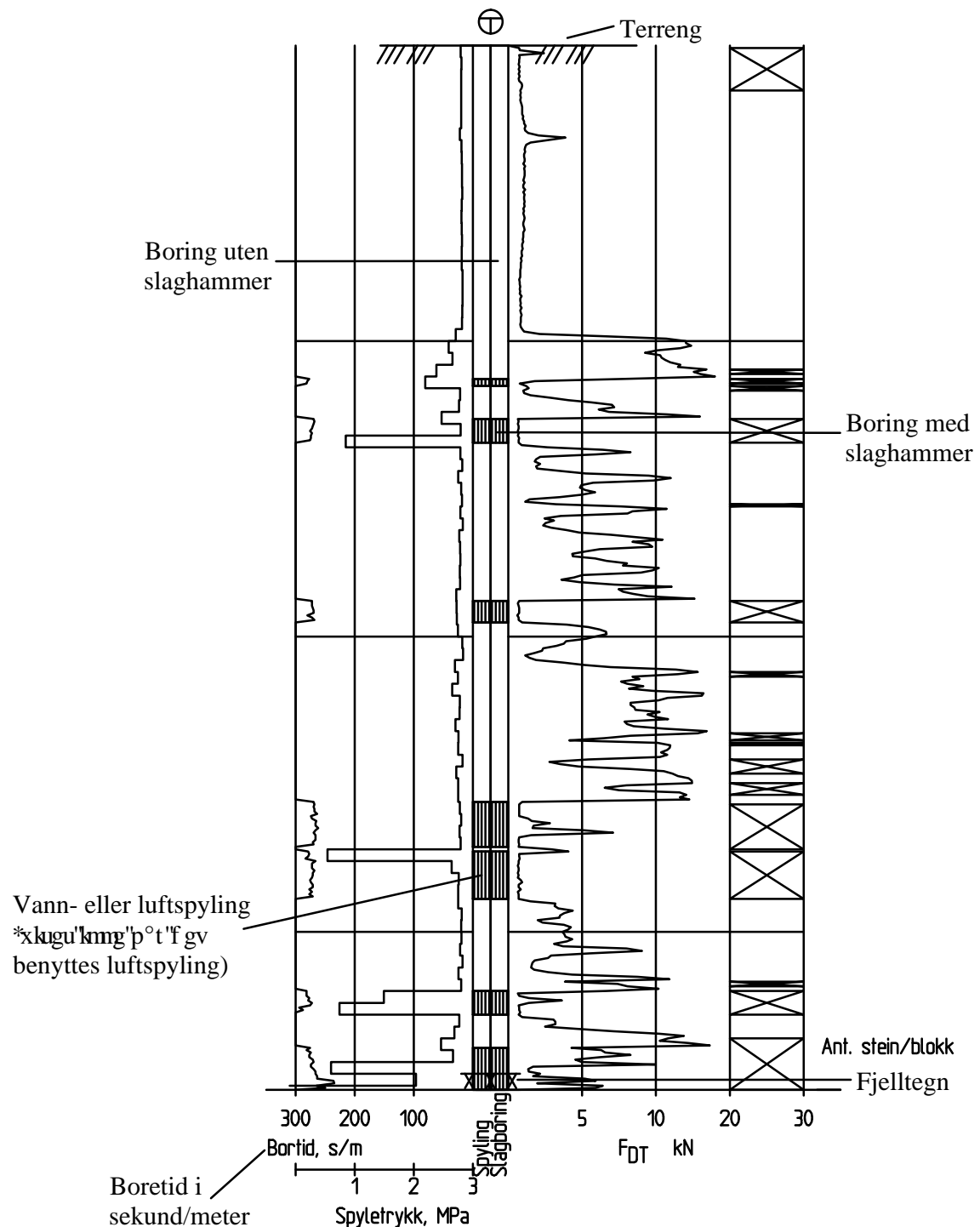
Specialists in
 Geotechnical
 Field Equipment



Tillegg



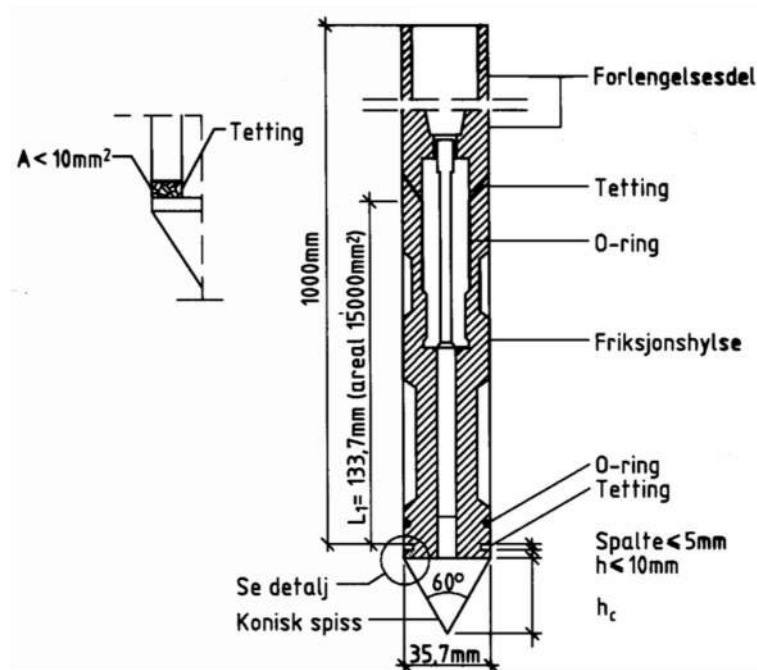
Gmigo r gn'r °"qvcnuqpf gtkpi "o gf 'hqtmtkpi



Forklaring av trykksondering (CPTU)

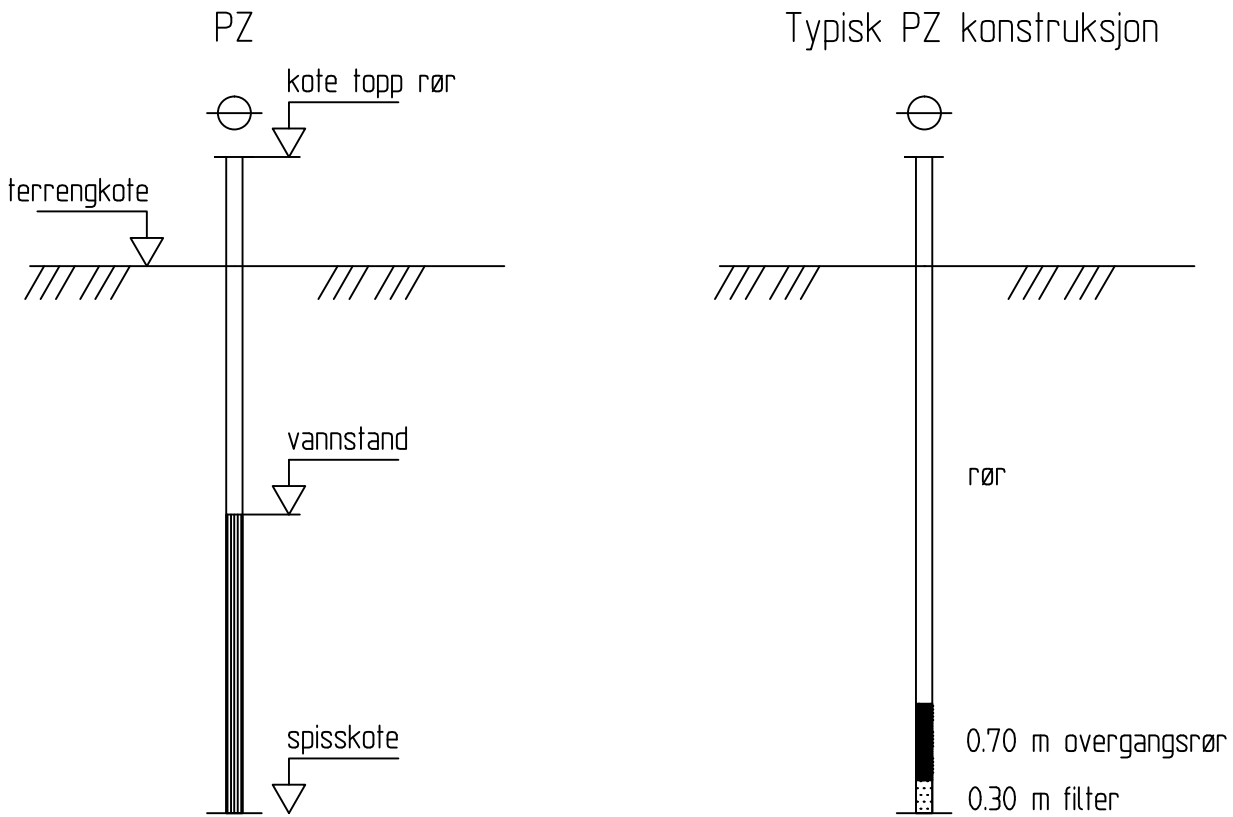
Prinsipp

Vt{ mmuqpf gtlpi . 'ERV"eqpg"r gpgtcvqpp"guv."o gf 'r qtgt{ mmuo °nki "drkt'i lgtpg hqtnqtgv'ERVW0'Uqpf gtlpi gp "whātgu"xgf "cv"gp"u{ nkpftkumluqpf g'o gf "happkumur kuu presses ned i grunnen med konstant penetrasjonshastighet 20 mm/s. Under pgf r tguukpi gp"o °ngu"htchgp"o qvf gp"nqpkung"ur kuugp. 'r qtgt{ mmvg'hkng"dcmlur kuugp qi 'ukf ghtkmulqp"o qv"gp"htkmulqpuj { ng'r °'f gp"u{ nkpftkung'f gngp.



O °nki gpg"unlgt"xgf "gngmtqpkum'gmgt"cmwukm'uki pcnqxgthātli 0

Forklaring av grunnvannstandsmåling

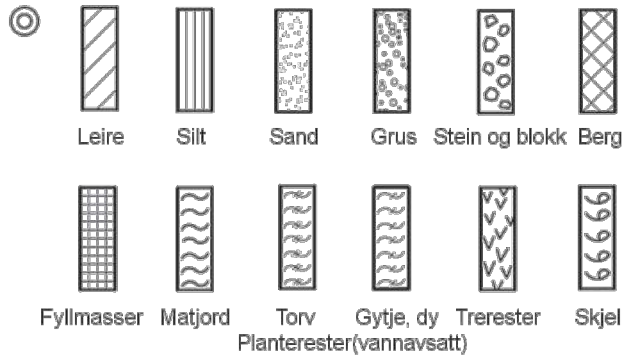


VANNSTAND

| | |
|-----|-----------------------------|
| HFV | Høyeste flomvannstand |
| HRV | Høyeste regulerte vannstand |
| LRV | Laveste regulerte vannstand |
| HHV | Høyeste høyvannstand |
| LLV | Laveste lavvannstand |
| HV | Normal høyvannstand |
| LV | Normal lavvannstand |
| MV | Normal middelvannstand |
| V | Vannstand (dato angis) |
| GV | Grunnvannstand (dato angis) |

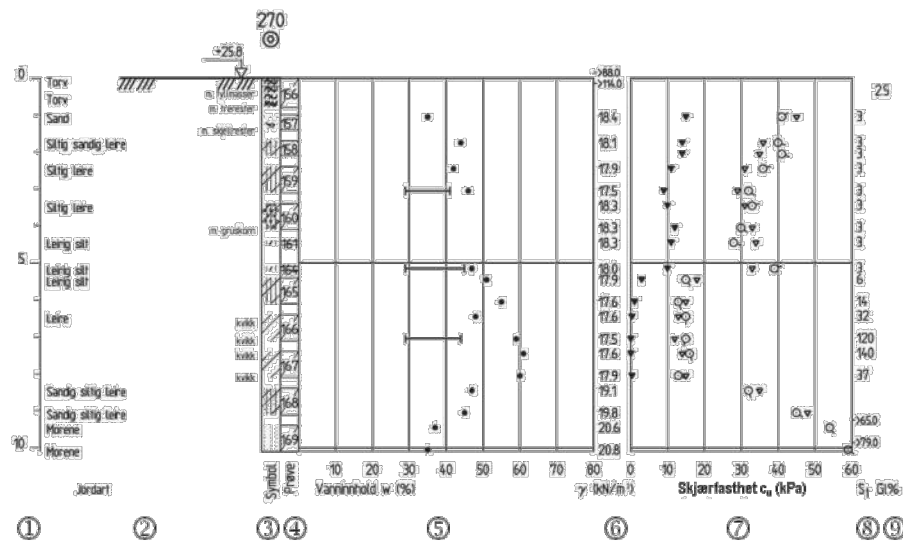
Høymekapi "cx"nāuo cuugr tqhn

Rtāxgugtkg."o cvgtknu{ o dqngt0



Ved blandingsjordarter som for eksempel morene kombineres symboler.

Framstilling av laboratoriedata.



- (1) Dybden fra terrenget. Ved boring i vann, fra elvebunn eller sjøbunn.
- (2) Jordartsbeskrivelse. Grunnvannsstanden kan angis.
- (3) Materialsymboler.
- (4) Prøvens beliggenhet angis ved skråstrek, eventuelt påføres prøvenummer.
- (5) Verdier som faller utenfor diagrammet angis med tall og markeres med pil. I sand kan angis både feltverdier og beregnede verdier tilsvarende vannmettet materiale.
- (6) Tyngdetetthet γ i kN/m^3 , alternativt densitet ρ i kg/m^3 . Eventuelt kan i sand også angis beregnet verdi tilsvarende vannmettet materiale.
- (7) Skjærfasthet c_u angis i kPa
- (8) Sensitivitet S_t angis i hele tall.
- (9) Glødetap angis i %.

Vurderingsrapport:

**RAP-RIG-004 Forprosjekt GS-bru over Evjeåa
(16.02.2024, ver. 1.0)**

FEBRUAR 2024
ØSTFOLD FYLKESKOMMUNE

FV119 GS-VEG DILLING- VANG

GEOTEKNISK RAPPORT: FORPROSJEKT GS-BRU OVER EVJEÅA



COWI

ADRESSE COWI AS
Karvesvingen 2
Postboks 6412 Etterstad
0605 Oslo
Norway
TLF +47 02694
WWW cowi.com

FEBRUAR 2024
ØSTFOLD FYLKESKOMMUNE

FV119 GS-VEG DILLING-VANG

GEOTEKNIK RAPPORT: FORPROSJEKT GS-BRU OVER EVJEÅA

PROJEKTNR. DOKUMENTNR.
A116326 A116326-RAP-RIG-004

| VERSJON | UTGIVELSESDATO | BESKRIVELSE | UTARBEIDET | KONTROLLERT | GODKJENT |
|---------|----------------|-------------|------------|-------------|----------|
| 1.0 | 16.02.2024 | | CBNI | MDMR | BW |

INNHOLD

| | | |
|-----|---|----|
| 1 | Innledning | 7 |
| 1.1 | Plannivå | 9 |
| 1.2 | Prosjektbeskrivelse | 9 |
| 1.3 | Underlag | 11 |
| 2 | Topografi og kvartærgeologi | 12 |
| 2.1 | Topografi | 12 |
| 2.2 | Kvantærgeologi og marin grense | 13 |
| 2.3 | Berggrunn | 14 |
| 3 | Grunn- og grunnvannsforhold | 16 |
| 3.1 | Geotekniske grunnundersøkelser | 16 |
| 3.2 | Grunnforhold | 16 |
| 3.3 | Grunnvannsforhold | 20 |
| 3.4 | Geotekniske parametere | 21 |
| 4 | Naturpåkjenning | 25 |
| 4.1 | Flom, stormflo | 25 |
| 4.2 | Skred i bratt terreng, snø og steinsprang samt jord og flomskred. | 26 |
| 4.3 | Områdestabilitet | 26 |
| 5 | Seismisitet | 27 |
| 5.1 | Seismisk klasse og berggrunnens akselerasjon | 27 |
| 5.2 | Forsterkningsfaktor og seismisitet | 29 |
| 6 | Frostfri dybde | 30 |
| 7 | Prosjekteringsforutsetninger | 32 |
| 7.1 | Geotekniske oppgaver | 32 |
| 7.2 | Regelverk | 32 |

| | | |
|-----|---|----|
| 7.3 | Geoteknisk kategori | 33 |
| 7.4 | Konsekvensklasse/pålitelighetsklasse (CC/RC) | 33 |
| 7.5 | Prosjekteringskontroll | 34 |
| 7.6 | Tiltaksklasse | 35 |
| 7.7 | Utførelseskontroll | 35 |
| 7.8 | Partial- og korrelasjonsfaktorer | 36 |
| 8 | Geoteknisk prosjektering | 39 |
| 8.1 | Utgraving for landkar og trau - stabilitet | 39 |
| 8.2 | Prosjektering av stålkjernepeler | 46 |
| 8.3 | Prosjektering av fylling/fundament for mobilkran | 46 |
| 9 | Prosjektgjennomføring | 50 |
| 9.1 | Vann i gravegropes | 50 |
| 9.2 | Utgraving for landkar og trau | 50 |
| 9.3 | Installasjon av stålkjernepeler | 50 |
| 9.4 | Etablering av fundament for mobilkran | 51 |
| 10 | Punkter som må kontrolleres under utførelsen | 52 |
| 11 | Referanser | 53 |

Vedlegg

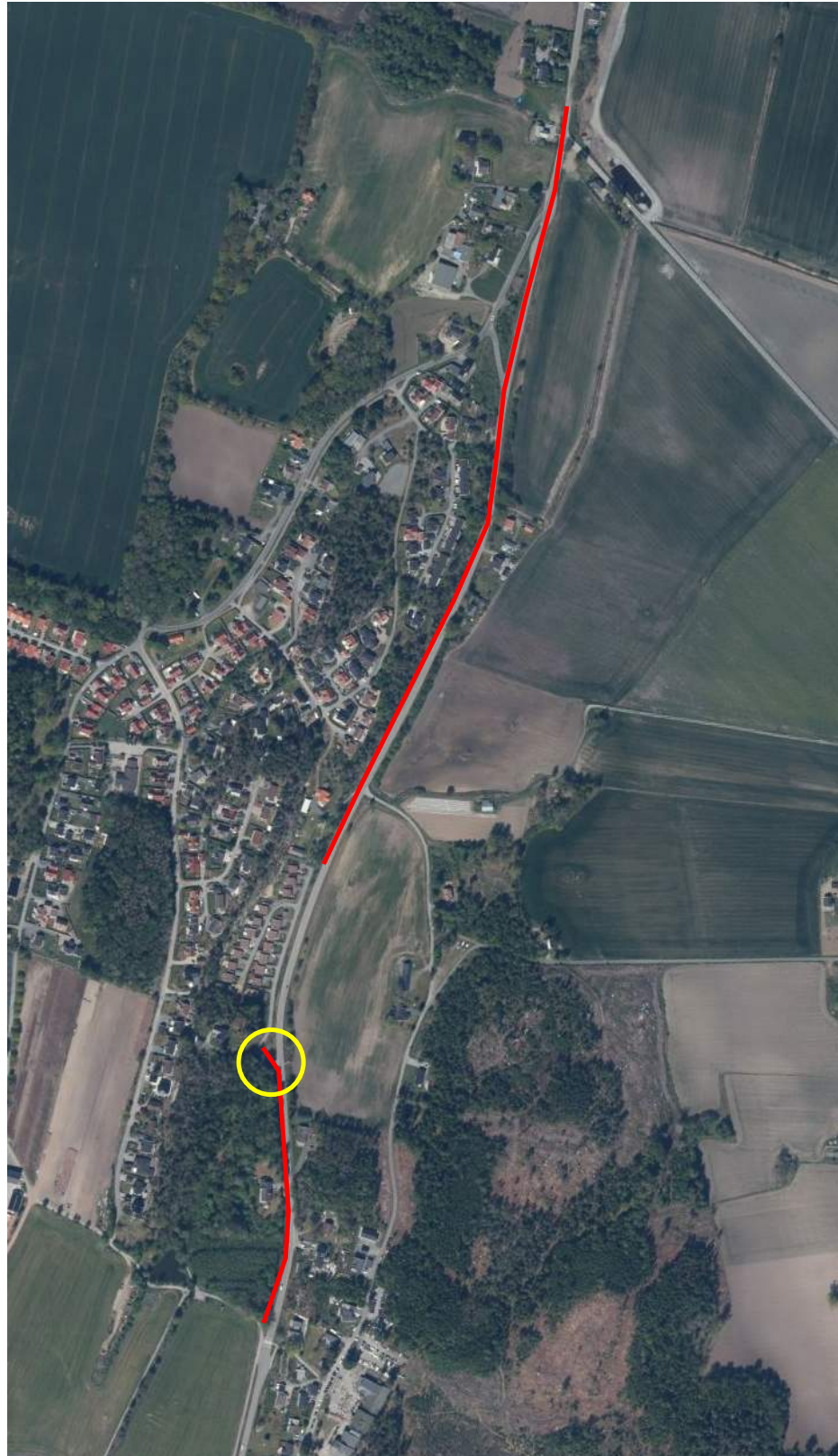
| | |
|---|-----------|
| Tolkning av trykksondering CPTu | Vedlegg 1 |
| Beregning av knekklast | Vedlegg 2 |
| Bæreevneberegning kranfundament | Vedlegg 3 |
| Beregning av setning ved overgang bru og GS-vei | Vedlegg 4 |
| Stabilitetsberegninger | Vedlegg 5 |

1 Innledning

COWI er engasjert av Østfold fylkeskommune som geoteknisk rådgiver i forbindelse med utarbeidelse av forprosjekt for ny GS-bru over ørretbekken Evjeåa. Forprosjektet er en del av arbeidet med reguleringsplan «GS-veg Dilling-Vang», hvor det planlegges ca. 1,5 km GS-veg fra Dilling til Vang i Moss kommune.

Foreliggende rapport presenterer vurdering av gjennomførte geotekniske grunnundersøkelser, samt geotekniske vurderinger av forhold som må ivaretas, herunder bla.:

- Fundamentering av landkar/betongtrau for ny GS bru
- Fundamentering av kran for løft av bruelementer
- Utgraving for landkar/betongtrau
- Vurdering av lokalstabilitet



Figur 1: Utklipp fra Norgeibilder.no som viser prosjektområdet angitt med rød strek. Gul sirkel viser plassering av GS-bru

1.1 Plannivå

Prosjektet er i reguleringsplanfasen, men vurderinger og tiltak i foreliggende rapport tilsvarer en detaljprosjekteringsfase.

Det skal være tilstrekkelig sikkerhet mot områdeskred i henhold til kravene i plan- og bygningsloven § 28-1, § 29-5 [1] og byggeteknisk forskrift kap. 7 [2]. Sikkerhet mot områdeskred utredes i samsvar med NVEs veileder 1/2019 [3]. Foreliggende rapport omhandler ikke områdestabilitet. Områdestabiliteten er behandlet i egen rapport A116326-RAP-RIG-005.

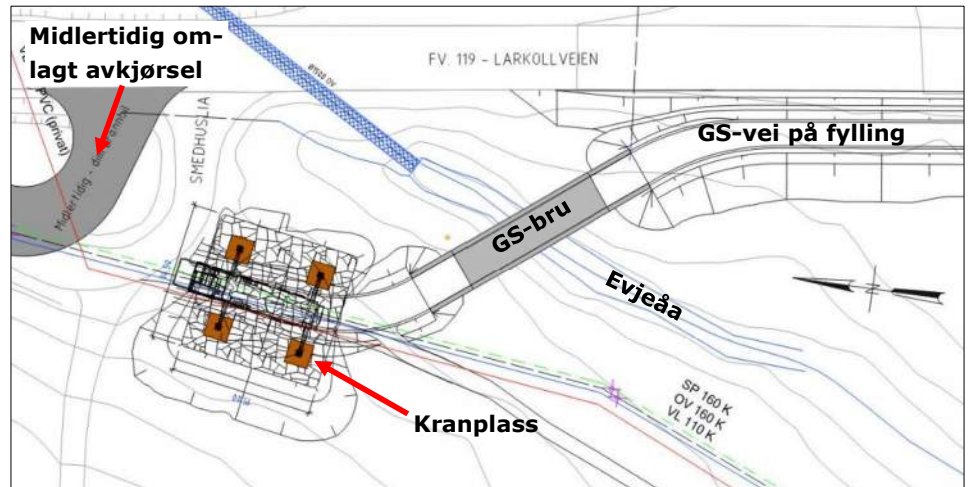
Foreliggende rapport tar ikke for seg vurdering omkring forurenset grunn.

1.2 Prosjektbeskrivelse

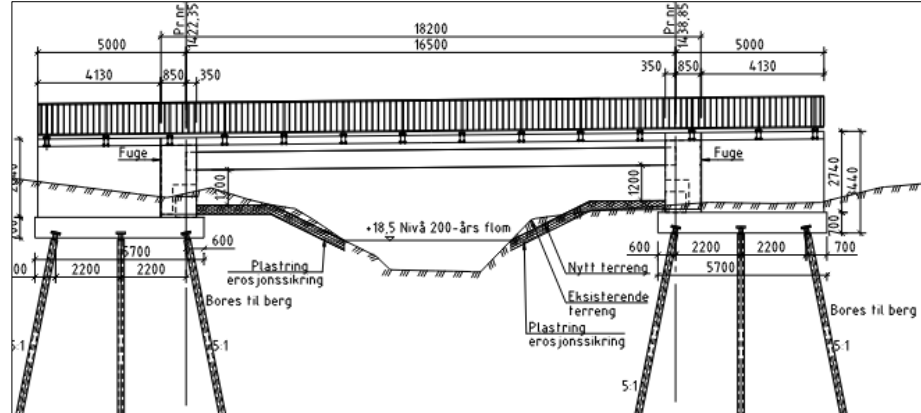
Forprosjektet omfatter planlegging og etablering av ny GS-bru over ørretbekken Evjeåa.

Bruas landkar og bakenforliggende betongtrau fundamentaleres på stålkjernepele ført til berg. Ved etablering av landkar og betongtrau må det graves ut lokalt.

Deler av bruа må løftes inn med stor mobilkran, og det er nødvendig å etablere en oppstillingsplass for kran.

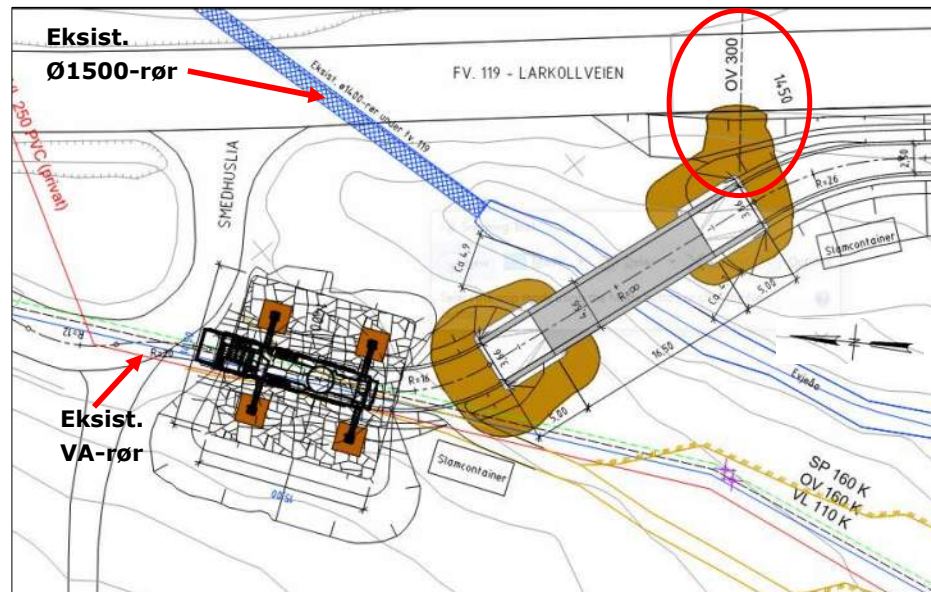


Figur 2: Oversikt over området for ny GS-bru.



Figur 3: Oppriss av GS-bru over Evjeåa. Øst mot høyre.

Ved etablering av bruas østlige landkar og betongtrau vil utløp for eksisterende Ø300 OV-ledning være i konflikt med gravearbeider og permanent brukonstruksjon. Eksisterende VA-rør på vestsiden må hensyntas ifm. etablering av kranplass og gravegrop.



Figur 4: Oversikt som viser plassering av eksisterende Ø300 mm overvannsledning, markert med rød sirkel. Brun farge viser gravegropene for bruas landkar / betongtrau.

1.3 Underlag

Vurderinger i dette notat bygger på følgende materiale:

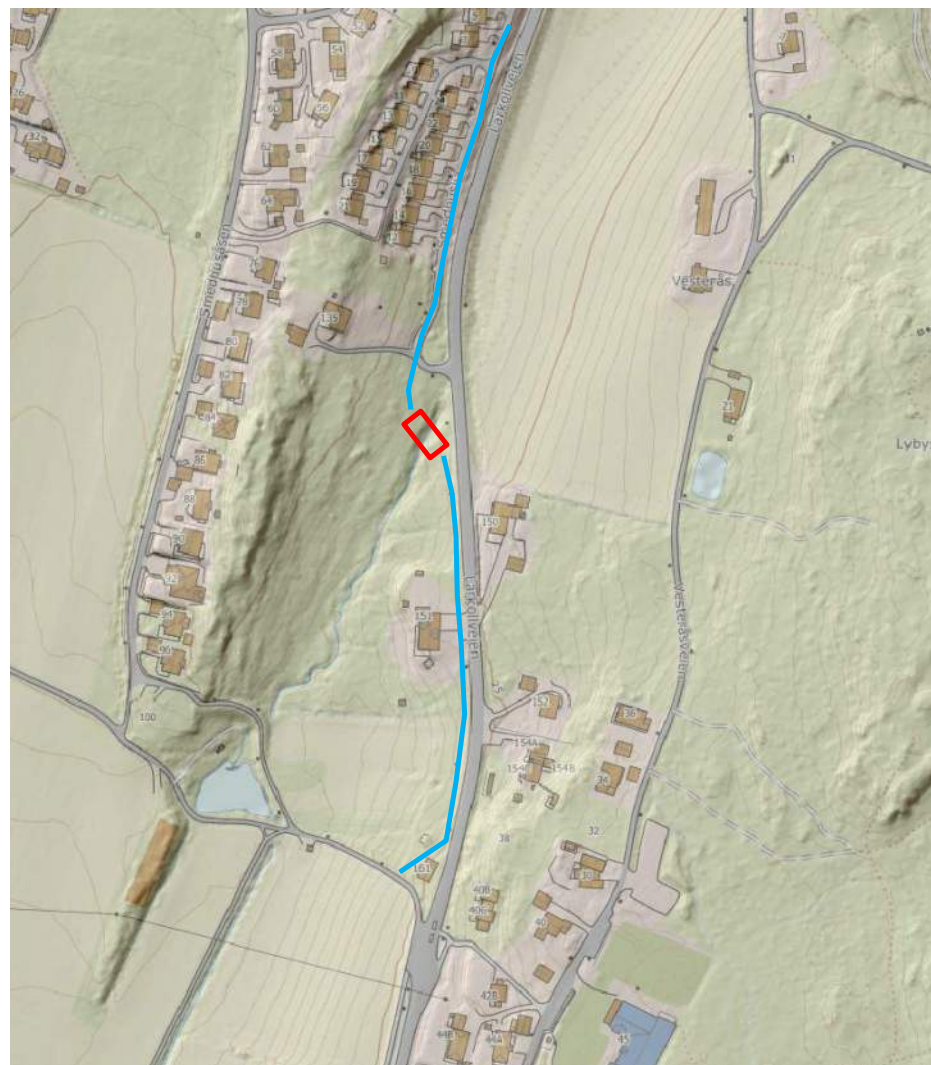
- Geoteknisk datarapport:
Fv. 119 GS-veg Dilling-Vang
B11501-GEOT-1 (Statens vegvesen, 24.03.2020). /7/
- Veglaboratoriet geoteknisk avdeling: Geoteknisk undersøkelse for FV 119 ved Jokum bru (1961) ref. /8/.
- Geoteknisk datarapport:
FV 119 GS-VEG Dilling-Vang supplerende GU.
Dok.nr. A228076-RAP-RIG-001, ver 2.0 (11.04.2022)
- Geoteknisk datarapport:
Dilling Bru GU.
Dok.nr. A268914-RAP-RIG-001, ver. 1.0 (27.11.2023)

2 Topografi og kvartærgeologi

En generell gjennomgang av topografi og grunnforhold for området er nødvendig for å kunne vurdere prosjekteringsforutsetninger i forhold til utførelses- og sikkerhetskrav som må overholdes i forbindelse med prosjektet.

2.1 Topografi

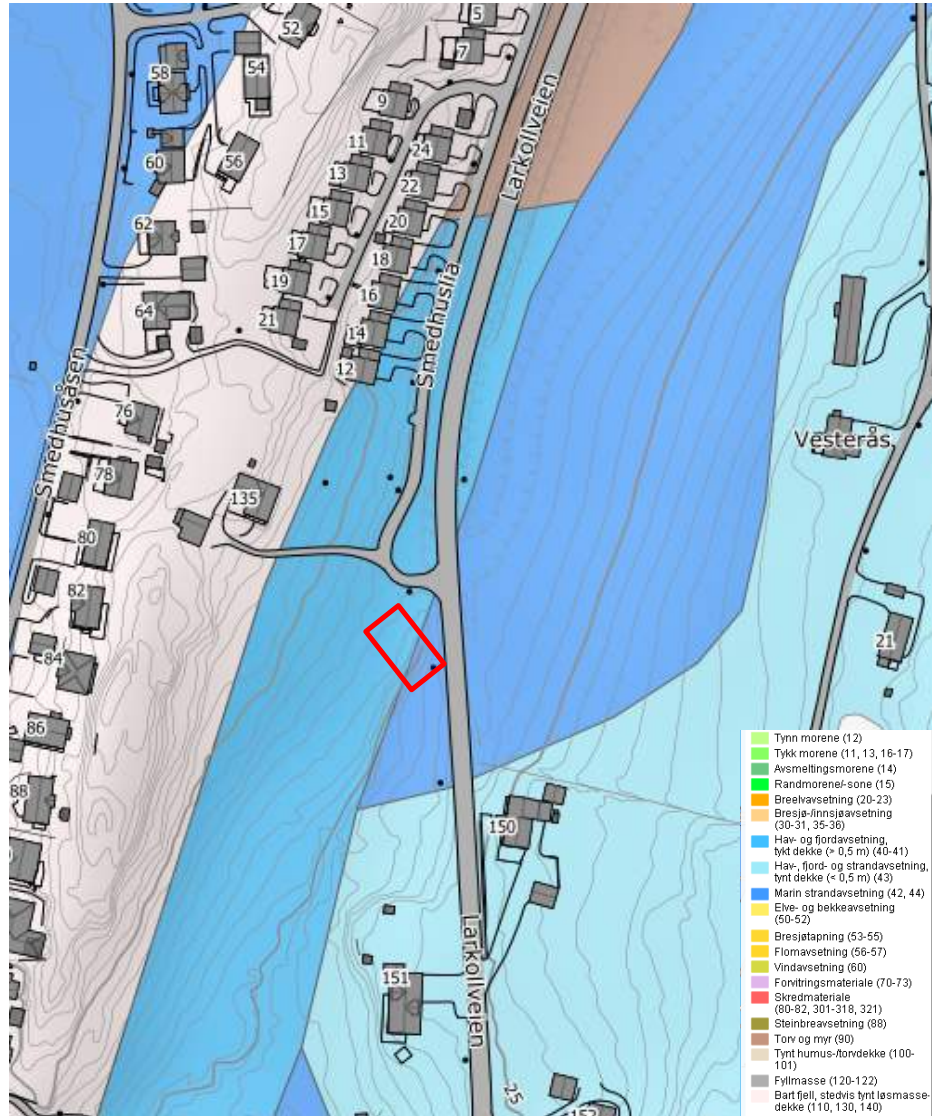
Utklipp fra Høydedata.no som viser helningen av terrenget ved og omkring den nye bruas plassering.



Figur 5: Utklipp fra høydedata.no som viser terrenget i og ved ny GS bru. Plassering av brua er skissert med rød ramme. GS-vei er markert med blå strek.

2.2 Kvartærgeologi og marin grense

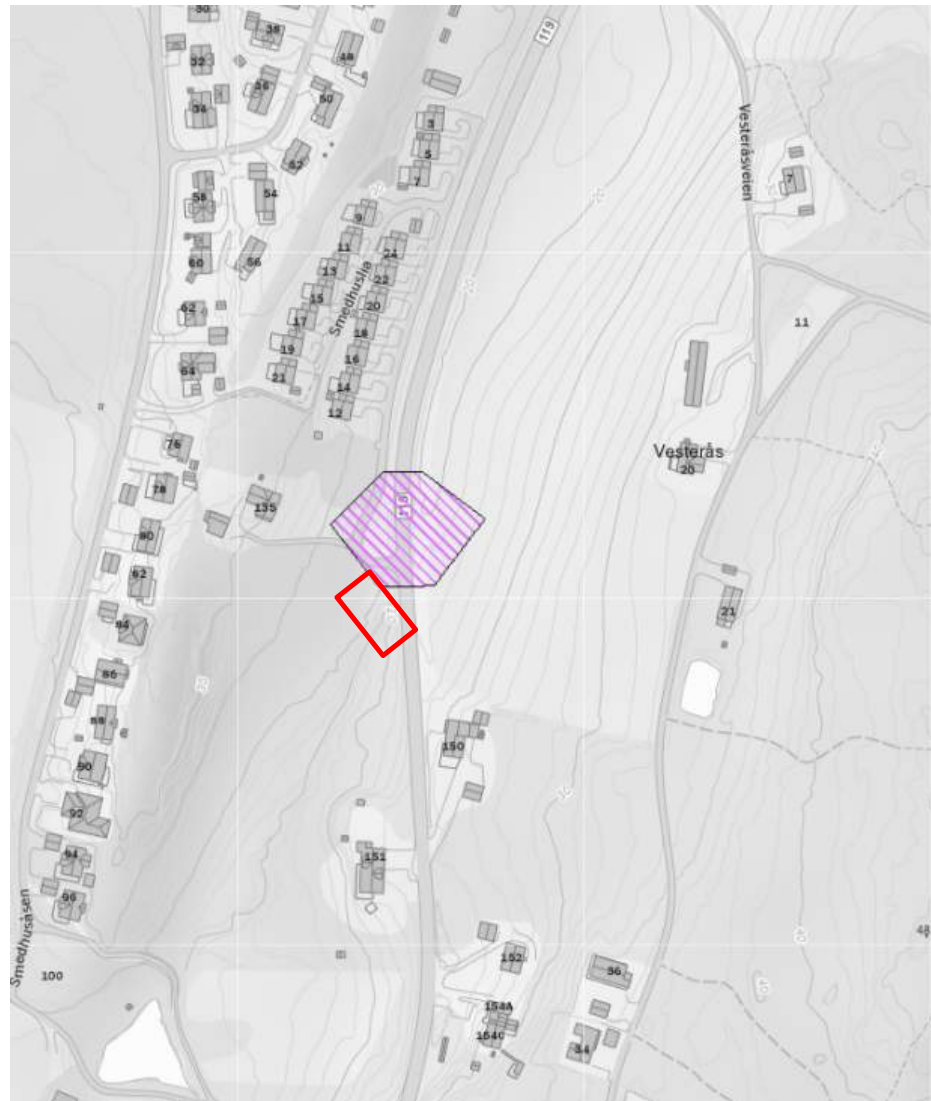
Kvartærgeologisk kart fra Norges Geologiske Undersøkelser (NGU) viser at det forventes hav- og fjordavsetninger samt marine strand-avsetninger rett ved prosjektområdet.



Figur 6: Utklipp fra NGU løsmassekart som viser de forventede terregnære løsmasser. Prosjektområdet er angitt med rød ramme.

Hele prosjektområdet ligger under den marine grense, hvor det per definisjon er risiko for å treffen marin leire og kvikkleire/sprøbruddmateriale.

Rett nord for prosjektområdet har det tidligere (1960/1961) skjedd to mindre utglidninger av veien mot øst (Figur 7). Her registrerte Statens vegvesen kvikkleire/sprøbruddmateriale.



Figur 7: Utklipp fra NVE atlas som viser området hvor det er registeret sprøbruddsmateriale og hvor det tidligere er skjedd en mindre utglidning på jorde mot øst.

2.3 Berggrunn

Bergarten ved Dilling består av antatt *Granittisk Gneis med mikkrolin-megakrystaller*, i henhold til NGU sitt berggrunnskart, angitt som rosa farge på Figur 8.

Uforvitret massiv-berg av type Granittisk gneis har middel til høy trykkstyrke. Trykkfasthet av bergmassen vil være avhengig av oppsprekking, sprekkenes ruhet, sprekkebelegg samt eventuell forvitring.



Figur 8: Utklipp som viser forventet berggrunn ved prosjektområdet, rosa farge viser til hovedbergart 430 Granittisk Gneis

3 Grunn- og grunnvannsforhold

3.1 Geotekniske grunnundersøkelser

Det er i regi av Statens Vegvesen utført en geoteknisk grunnundersøkelse for dette prosjektet, det henvises til *Geoteknisk datarapport Fv. 119 GS-veg Dilling – Vang, B11501-GEOT-1, datert 23.03.2020, ref. /7/*.

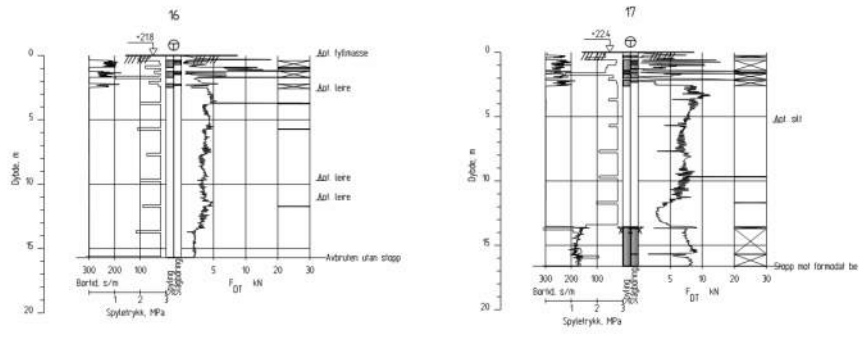
Veglaboratoriet geoteknisk avdeling har d. 24. april 1961 utført en geoteknisk undersøkelse for Fv.119 ved «Jokums bru», i forbindelse med to mindre skred som gikk 26.12.1960 og 04.01.1961. Det er utført 26 dreiesonderinger til antatt fjell, en vingeboring samt tatt opp en prøveserie, ref. /8/

Det er etterfølgende gjort supplerende grunnundersøkelser av COWI, det henvises til geoteknisk datarapport FV 119 GS-veg Dilling-Vang supplerende GU, Dok. nr. A228076-RAP-RIG-001, datert 11.04.2022.

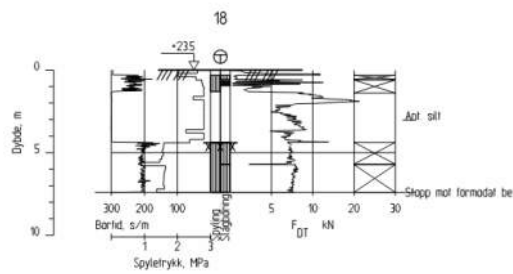
Det er i forbindelse med planleggingen av ny GS-bru gjort supplerende grunnundersøkelser i området hvor brua skal fundamenteres, det henvises til geoteknisk datarapport. Dilling bru GU, Dok. nr. A268914-RAP-RIG-001, datert 27.11.2023.

3.2 Grunnforhold

De utførte grunnundersøkelser fra \7\ viser (se Figur 12 og Figur 15) at det i boring 16, 17 og 18 treffes et øvre fastere lag, ca. 3 m, og under det treffes siltig leire. Boringene er utført tett ved eksisterende FV 119.

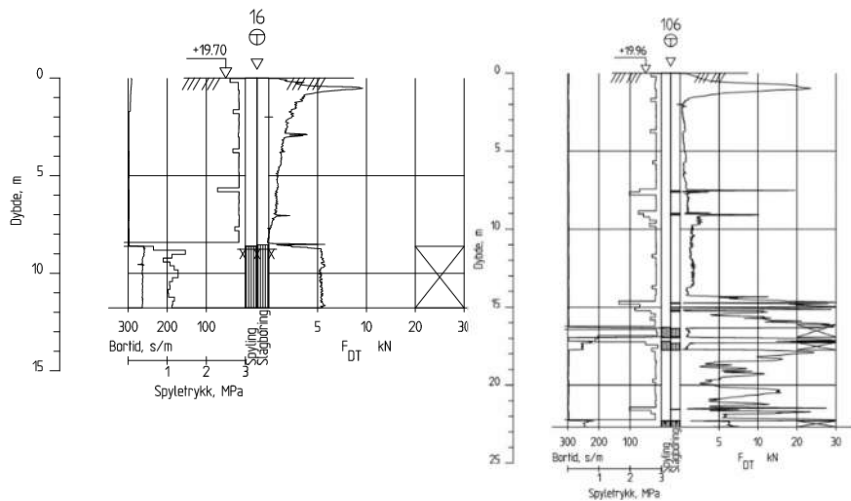


Figur 9: Utklipp som viser totalsondering 16 og 17

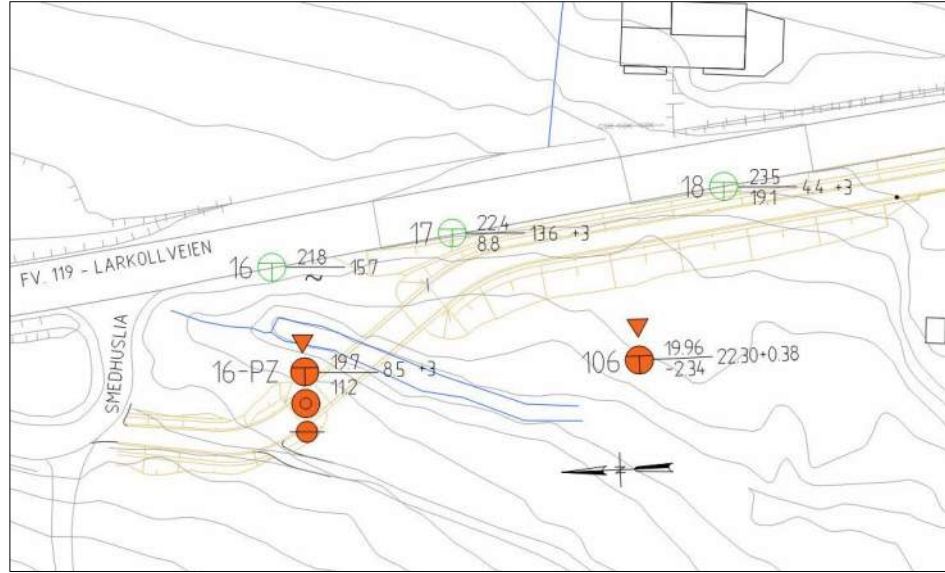


Figur 10: Utklipp som viser boring 18

Boringene 16-PZ viser at det treffes et øvre lag av leire til ca. 3 meters dybde og herunder kvikkleire til overside berg ca. 8,8 meter under terrenget. Boring 106 viser et øvre fastere lag på ca. 2 meter og herunder bløt leire, som ikke vurderes kvikk, men muligens sprøtt til ca. 10 meter under terrenget. Fra 10-15 meter treffes siltig leire. Fra 15 meter til overside berg, antatt 22,5 m under terrenget, treffes antatt sandige/grusige løsmasser.



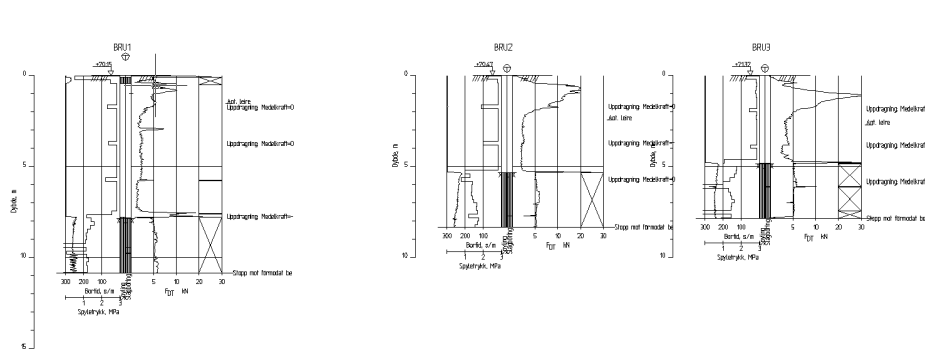
Figur 11: Utklipp som viser totalsondering nr. 16 og 106



Figur 12: Plassering av boring 16,17 og 18 samt 16-PZ og 106. Ny GS-trasé vist med beige farge.

I forbindelse med bruprosjektet er det gjort 3 supplerende geotekniske borer på hver side av bekken (se Figur 15). Vest for bekken er borerne BRU 1-3 gjennomført, og mot øst, borerne BRU 4-6.

Borerne BRU 1-3 viser at det treffes et øvre fastere lag på ca. 3 meter av sand og leire, og herunder leire som i boring BRU2 er karakterisert som sprøtt fra 3 meter gående over til kvikkleire i 4 meter dybde. Totalsonderingene i BRU 1 og 3 indikerer at det også i disse borerne må forventes å treffe sprøbruddsmateriale.

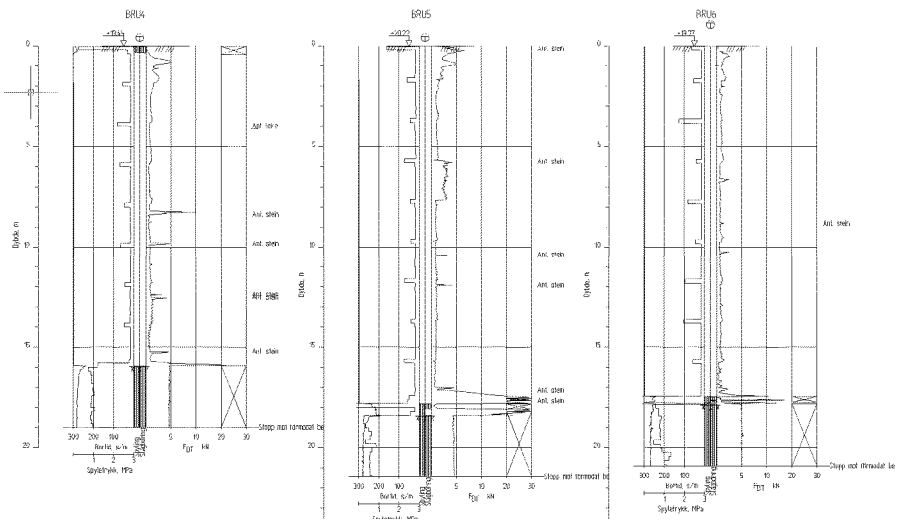


Figur 13: Utklipp fra datarapport som viser totalsonderingene Bru1-3

Berg er i de tre borerne truffet henholdsvis 7,8 m, 5,2 m og 4,9 m under terrenget. Overside berg stiger mot vest.

Borerne BRU 4-6 viser også at det her treffes et øvre fastere lag av sand og sandig siltig leire, og herunder kvikkleire til nesten overside berg. I boring BRU6 viser prøvene at det treffes kvikkleire fra 3 meter under terrenget til bunn

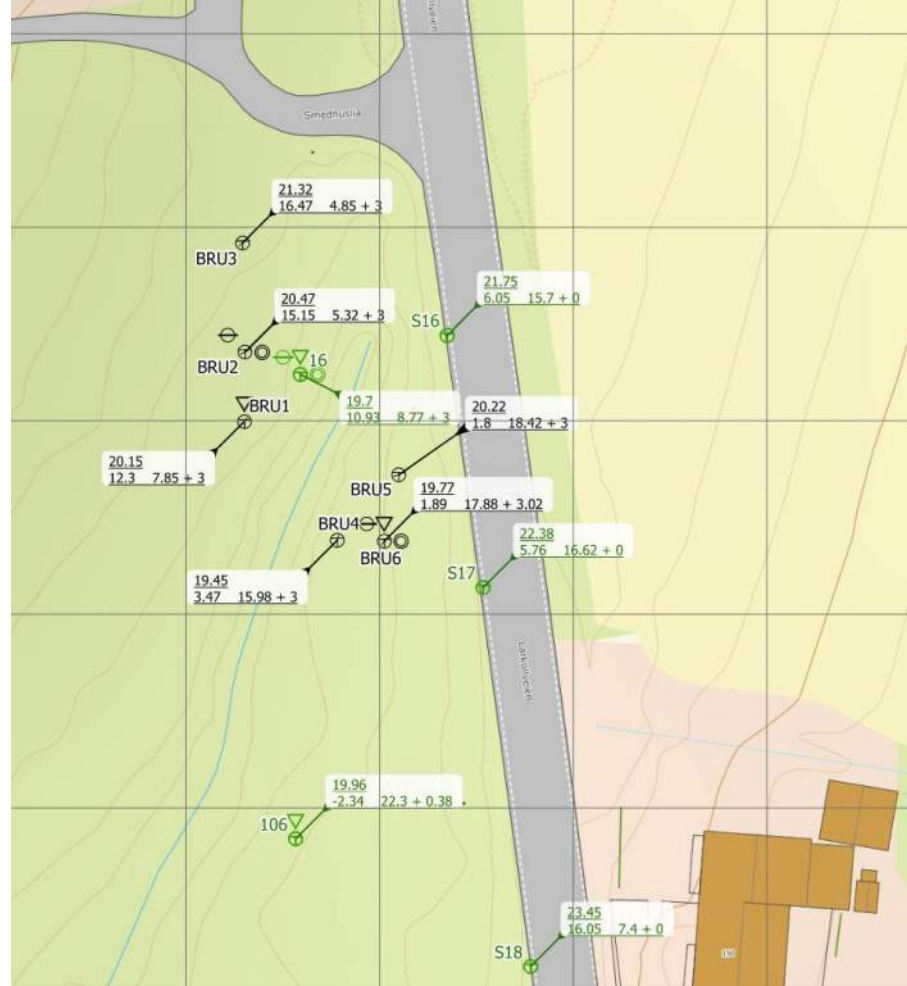
av boring. Totalsonderingene i boringene BRU 4 og 5 indikerer at det i også trefes kvikkleire/sprøbruddmateriale til bunn av boringene.



Figur 14: Utklipp fra datarapport som viser totalsonderingene BRU4-6

NGUs løsmassekart viser at det forventes hav og fjordavsetninger, se Figur 6, hvilket stemmer bra overens med de gjennomførte grunnundersøkelser.

Berg er i de tre boringer truffet henholdsvis 16 m, 18,3 m og 17,5 m under terren. Berg stiger svakt mot øst i boring 16 og 17, men brattere mot sørøst mot boring 18.



Figur 15: Utklipp fra datarapport som viser den innbyrdes plassering av de utførte boringene for bruken over bekken

3.3 Grunnvannsforhold

Det er installert elektrisk piezometer i boring 16 som viser at det her er poreovertrykk i de nedre lag. Poretrykket er ca. 0,5 m over terrenget se Figur 16.



Figur 16: Utklipp fra datarapporten som vise registrert poretrykk i boring 16

De hydrauliske piezometer installert boringene BRU 2 og BRU6 viser at i boring BRU2 treffes et vannspeil ca. 1,6 meter under terreng. Boring BRU6 var fryst.

Det antas at hvor det er dypest til berg er det et poreovertrykk på ca. 2 m, på grunn av det hellende terreng, og at det i boringene BRU 4-6 er registrert et mere gruset lag rett over berg. Dette vurderes å ikke ha noen konsekvens for anleggsarbeidene og den permanente situasjon.

3.4 Geotekniske parametere

I forbindelse med den geoteknisk grunnundersøkelse er det utført totalsonderinger, trykksonderinger (CPTu) og tatt opp prøveserier. Geoteknisk laboratorium har utført rutineanalyser på samtlige prøver.

Verdier for c_u fra rutineundersøkelser på opptatte prøver er antatt å gi verdier for direkte skjærfasthet, c_{uD} .

Den udrenerte skjærfastheten basert på CPTu-forsøkene, c_u , er bestemt i henhold til NGI, på basis av N_{kt} .

Styrke- og deformasjonsparameter er basert på felt og laboratorieforsøkene samt erfaringstall gitt i SVV-håndbok V220.

De tolkede trykksonderinger CPTu er vedlagt som vedlegg 1.

Tabell 1: Styrke og deformasjonsparameter for de trufne avsetninger ved ny GS-bru på den østlige side av bekken

| Materiale | Dybde (m) | γ/γ' (kN/m ³) | ϕ' (°) | C_{uD} (kPa) | C_{uA} (kPa) | a (kPa) | c' (kPa) |
|-------------------------------|-----------|---------------------------------------|-------------|----------------|----------------|-----------|------------|
| Sprengstein | | 19/9 | 42 | - | - | 5,5 | 5 |
| Lettfylling | | 4/0,1 | 42 | - | - | 0 | 0 |
| Leire | 0-3 | 18/8 | 25 | C-profil | C-profil | 5 | 3 |
| Leire, siltet kvikk og sprødd | 3-17 | 18/8 | 29 | C-profil | C-profil | 9 | 5 |

- C-profilet er basert på tolket trykksonderinger CPTu

Tabell 2: Styrke og deformasjonsparameter for de trufne avsetninger ved ny GS-bru på den vestlige side av bekken

| Materiale | Dybde (m) | γ/γ' (kN/m ³) | ϕ' (°) | C_{uD} (kPa) | C_{uA} (kPa) | a (kPa) | c' (kPa) |
|-------------------------------|-----------|---------------------------------------|-------------|----------------|----------------|-----------|------------|
| Sprengstein | | 19/9 | 42 | - | - | 5,5 | 5 |
| Leire | 0-3 | 18/8 | 25 | C-profil | C-profil | 5 | 3 |
| Leire, siltet kvikk og sprødd | 3-17 | 18/8 | 29 | C-profil | C-profil | 9 | 5 |

- C-profilet er basert på tolket trykksonderinger CPTu

3.4.1 ADP forhold

Det er gjort bestemmelse av plastisitetsindekset I_p for vurdering av ADP faktorer.

I henhold til anbefalingene i NIFS rapport 14/2014 anbefales følgende formler for bestemmelse av ADP faktorene basser på I_p .

| I_p | c_{uD}/c_{uC} | c_{uE}/c_{uC} |
|-----------------|-------------------------------|-------------------------------|
| $I_p \leq 10\%$ | 0,63 | 0,35 |
| $I_p > 10\%$ | $0,63 + 0,00425 * (I_p - 10)$ | $0,35 + 0,00375 * (I_p - 10)$ |

Tabell 1: Omforent anbefaling av anisotropifaktorer (ADP – faktorer).

OBS: I_p er i % i formlene.

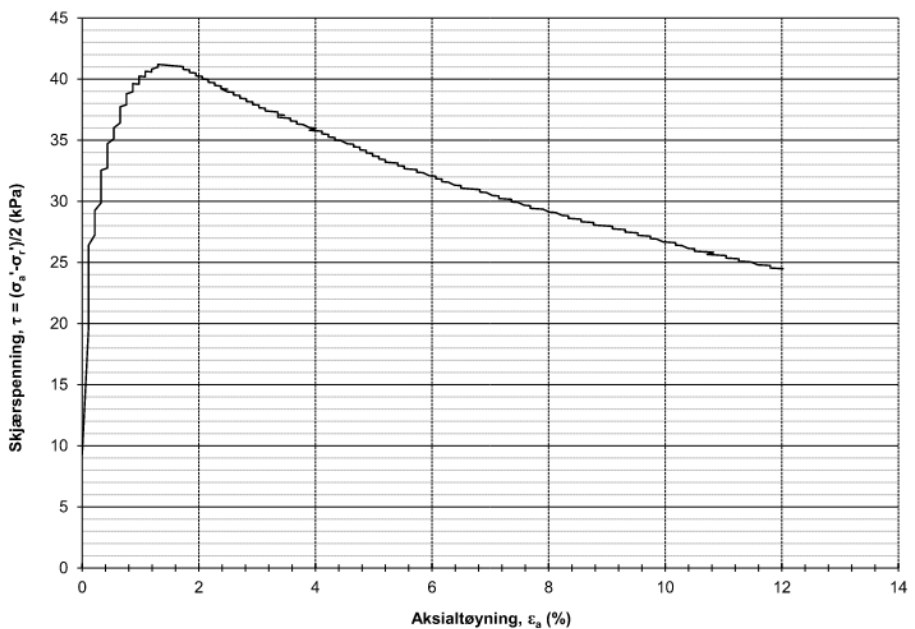
Tabell 3: Tabell med beregnet ADP faktorer

| Boring nr. | Avleiring | Dybde (m) | I_p (%) | C_{uD}/C_{uC} | C_{uE}/C_{uC} |
|------------|------------|-----------|-----------|-----------------|-----------------|
| BRU2 | Kvikkleire | 2,4 | 13,9 | 0,64 | 0,36 |
| BRU2 | Kvikkleire | 4,6 | 12,4 | 0,64 | 0,36 |
| BRU6 | Kvikkleire | 8,7 | 2,5 | 0,63 | 0,35 |
| BRU6 | Kvikkleire | 14,3 | 10 | 0,63 | 0,35 |

3.4.2 Tolkning av triaksialforsøk

Det er i boring BRU6 tatt ut en prøve for gjennomføring av triaksialforsøk. Prøven er tatt ut i dybde 8,45 m under terrenget.

Triaksialforsøket er klassifisert som et godt forsøk, da utpresset porevolum er ca. 1,5 %.



Figur 17: Utklipp fra datarapport som viser den aksiale tøyning i forhold til Skjærspenningen.

Tolkning av triaksialforsøket er skissert her under:

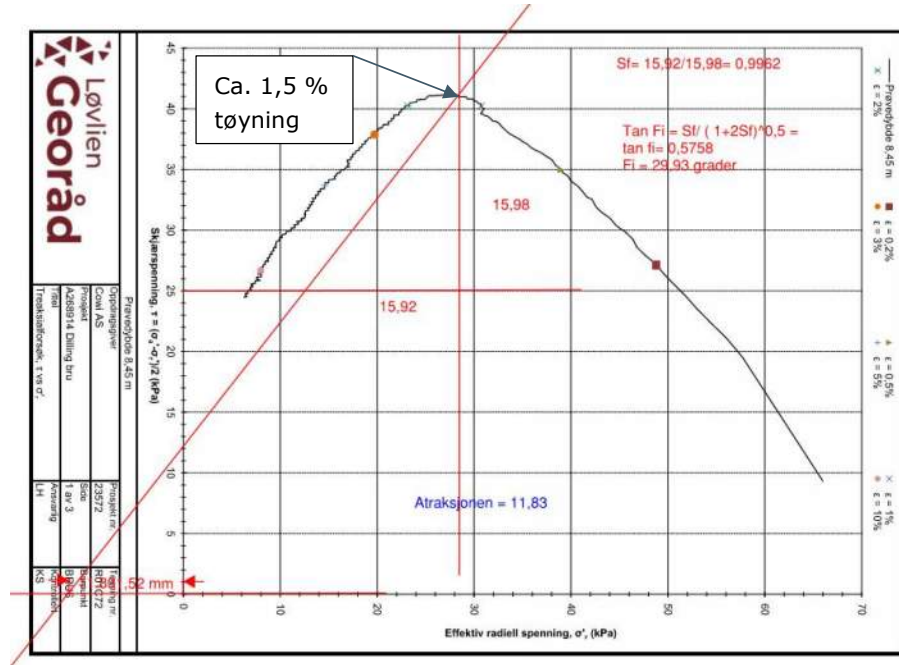
Kvikkleiren er tolket til en friksjonsvinkel $\phi_k = 29^\circ$ og attraksjoner er vurdert til 11 kPa.

For den videre prosjektering at det antatt en litt mer konservativ tilgang i forhold til strykeparameterne, dette for å kunne kompensere for at det kun er

utført ett triaksial forsøk. Det anvendes derfor følgende styrkeparameter for kvikkleiren i området:

$$\Phi_k = 29^\circ$$

$$a = 9 \text{ kPa}$$



Figur 18: Utklipp som viser tolkningen at det utførte triaksialforsøk.

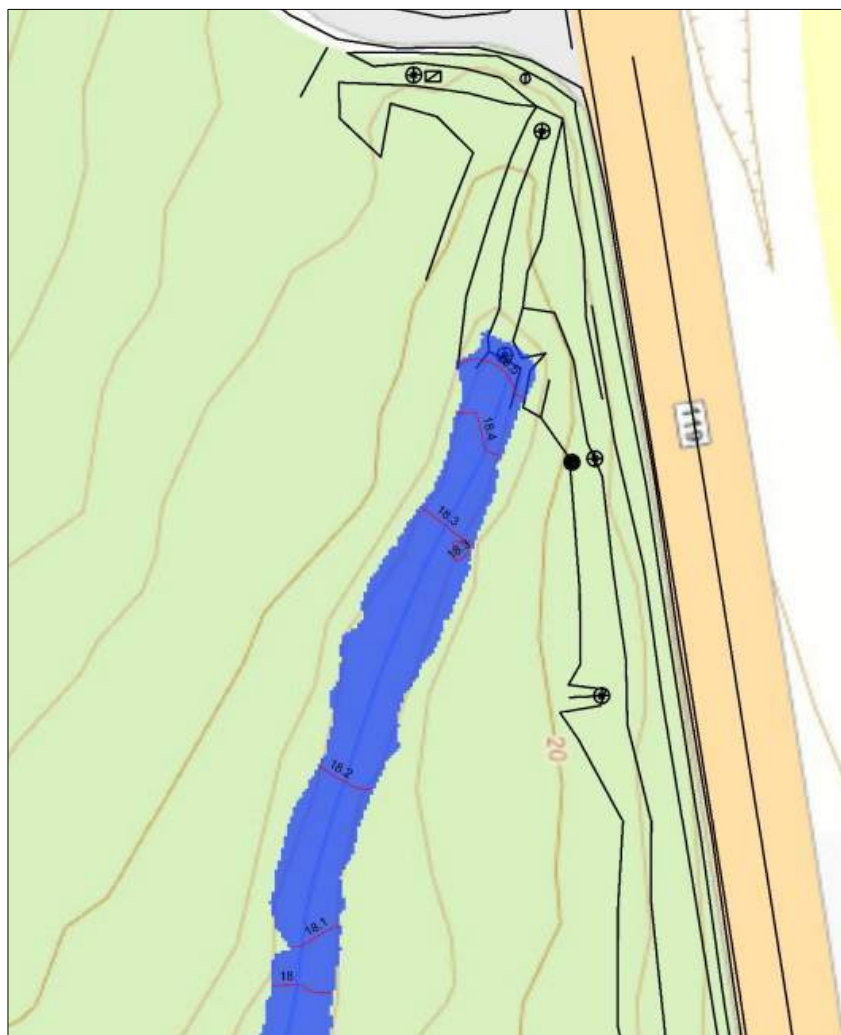
4 Naturpåkjenning

I henhold til byggeteknisk forskrift kap. 7. [2] skal naturpåkjenning for ethvert prosjekt ivaretas, herunder også områdestabilitet.

NVE atlas aktsomhetskart er kun basert på terrengdata og ikke felt observasjoner, og fanger dermed ikke opp mindre brattkanter og løse blokker. Det kan derfor være forskjell på NVE sine aktsomhetsområder og egentlige vurderinger av faresoner basert på feltobservasjoner.

4.1 Flom, stormflo

Det er utarbeidet en hydrologi-rapport med flomberegninger. Rapporten viser at den maksimale vannstigning ved 200 års flom vil svare til ca. kote +18,5 m ved utløp av kulvert, [4].



Figur 19: Utklipp fra flomberegnings rapport som viser flomsone ved utløp av kulvert
I henhold til NVE atlas er prosjektområdet ikke aktsomhetsområde for stormflo.

4.2 Skred i bratt terreng, snø og steinsprang samt jord og flomskred.

I henhold til NVE atlas er prosjektområdet ikke et aktsomhetsområde for skred i bratt terreng, snø og steinsprang samt jord og flomskred. Det er heller ikke registrert noen former for skred i og omkring prosjektområdet.

4.3 Områdestabilitet

Områdestabilitet er behandlet i egen rapport, det henvises til A116326-RAP-RIG-005.

5 Seismisitet

For seismisk prosjektering av relevante konstruksjoner er det nødvendig å gjøre vurdering av den aktuelle grunntypen iht. NS-EN 1998-1:2004+A1+NA [5].

For ny GS-bru velges grunntype S₂ da det er truffet sensitiv leire og det er dypere enn 5 meter til fjell.

Tabell NA.3.1 – Grunntyper ¹⁾

| Grunn-type | Beskrivelse av stratigrafisk profil | Parametere ^{2) 3)} | | |
|----------------|--|-----------------------------|-----------------------|-------------|
| | | $v_{s,30}$ (m/s) | N_{SPT} (slag/30cm) | c_u (kPa) |
| A | Fjell eller fjell-lignende geologisk formasjon, medregnet høyst 5 m svakere materiale på overflaten. | > 800 | – | – |
| B | Avleiringer av svært fast sand eller grus eller svært stiv leire, med en tykkelse på flere talltals meter, kjennetegnet ved en gradvis økning av mekaniske egenskaper med dybden. | 360 – 800 | > 50 | > 250 |
| C | Dype avleiringer av fast eller middels fast sand eller grus eller stiv leire med en tykkelse fra et talltals meter til flere hundre meter. | 180 – 360 | 15 - 50 | 70 - 250 |
| D | Avleiringer i løs til middels fast kohesjonsløs jord (med eller uten enkelte myke kohesjonslag) eller av hovedsakelig myk til fast kohesjonsjord. | 120 – 180 | 10 – 15 | 30 – 70 |
| E | Et grunnprofil som består av et alluviumlag i overflaten med v_s -verdier av type C eller D og en tykkelse som varierer mellom ca. 5 m og 20 m, over et stivere materiale med $v_s > 800$ m/s. | | | |
| S ₁ | Avleiringer som består av eller inneholder et lag med en tykkelse på minst 10 m av blott leire/silt med høy plastisitetsindeks (PI > 40) og høyt vanninnhold. | < 100 (antydert) | – | 10 - 20 |
| S ₂ | Avleiringer av jord som kan gå over i flytefase (liquefaction), sensitiv leire eller annen grunnprofil som ikke er med i typene A – E eller S ₁ . | | | |

¹⁾ Hvis minst 75 % av konstruksjonen står på fjell og resten på løsmasser, og konstruksjonen står på ett kontinuerlig fundament (platefundament), kan grunntype A benyttes.
²⁾ Valget av grunntype kan være basert på enten $v_{s,30}$, N_{SPT} eller c_u . $v_{s,30}$ anses som den mest aktuelle parameteren å benytte.
³⁾ Der det er tvil om hvilken jordtype som skal velges, velges den mest ugunstige.

Figur 20: Utklipp fra NS-EN 1998 som viser tabell med mulig valg av grunntyper

5.1 Seismisk klasse og berggrunnens akselerasjon

For GS-bru for lette trafikanter velges seismisk klasse 1 i henhold til NS-EN1998-2 tabell NA.2(901), [6]

Tabell NA.2(901) Veiledende tabell ved valg av seismisk klasse for vegbruer

| Seismisk klasse | Veiledende eksempler for klassifisering av vegbruer |
|--|---|
| I | Gang- og sykkelvegbruer |
| II | Alle vegbruer, unntatt de som er plassert i seismisk klasse III og IV |
| III | Bruer med $L_{tot} > 200$ m og Bruer med $L_{tot} > 50$ m som samtidig har $\overline{ADT} > 8000$ |
| IV | Bruer med $L_{tot} > 600$ m og Bruer med $L_{tot} > 200$ m som samtidig har $\overline{ADT} > 8000$ og Samfunnsmessig viktige bruer ^{a)} |
| <p>L_{tot} er total lengde mellom bruas landkar. \overline{ADT} er gjennomsnittlig antall kjøretøyer per døgn i løpet av et år.</p> <p>^{a)} Dette er for eksempel bruer som er lokalisert på hovedatkomstveger til geografiske regioner eller til sykehus eller brannvesen i større byer. Klassen omfatter også bruer som ligger i tettbygde strøk, og hvor det får særlig store konsekvenser om bruene ødelegges.</p> | |

Figur 21: Utklipp fra NS-EN 1998 som viser tabell over seismiske klasser for forskjellig bru typer

Den seismiske faktor er gitt i henhold til tabell NA.2(903) og avhenger av valgt seismisk klasse. Den seismiske faktor er valgt til $\gamma_I = 0,7$.

Tabell NA.2(903) Seismisk faktor for bruer

| Seismisk klasse | Seismisk faktor γ_I |
|-----------------|----------------------------|
| I | 0,7 |
| II | 1,0 |
| III | 1,4 |
| IV | 2,0 |

Figur 22: Utklipp fra NS-EN 1998 som viser tabell med seismisk faktor for bruer

Ut fra tabell NA.3.2(901) spissverdier for berggrunnens akselerasjon a_{gr} (PGA) med en returperiode på 475 år for Østfold, fås for Moss kommune $a_{gr} = 0,25$ m/s².

Kombinert med seismisk klasse I gir dette

$$a_g = \gamma_I \cdot a_{gr} = 0,7 \cdot 0,25 \text{ m/s}^2 = 0,175 \text{ m/s}^2 \quad \text{for } \gamma_I = 0,7$$

5.2 Forsterkningsfaktor og seismisitet

Tabell NA.3.3 [7] viser til verdier for parametere som beskriver elastisk responspekterne for grunntype S_1 og S_2

Tabell NA.3.3 — Verdier for parametere som beskriver elastiske responsspekturene for grunntype S_1 og S_2

| Dybde til berg | S | T_B (s) | T_C (s) | T_D (s) |
|----------------|-----|-----------|-----------|-----------|
| 6 - 20 m | 2,0 | 0,10 | 0,40 | 1,4 |
| 20 - 35 m | 1,9 | 0,15 | 0,50 | 1,5 |
| 35 - 60 m | 1,8 | 0,20 | 0,60 | 1,6 |

Figur 23: Tabell med elastisk responsspekturene for grunntype S_1 og S_2 [7]

Med bakgrunn i foretatte grunnundersøkelser og Figur 23 velges forsterkningsfaktor lik $S = 1,7$ for området.

Seismisk faktor $a_g \cdot S$ styre seismisiteten for konstruksjoner med basis i grunnens akselerasjon og forsterkningsfaktor.

For seismisk klasse I (Grunntype S_2) oppnås følgende:

$$a_g \cdot S = 0,175 \text{ m/s}^2 \cdot 1,7 = 0,2975 \text{ m/s}^2$$

I henhold til NS-EN 1998-1 kan påvisning av motstand mot seismisk påvirkning utelates for konstruksjoner i seismisk klasse I-III_a såfremt ett av følgende kriterier er oppfylt:

1. Konstruksjoner i seismisk klasse I
2. Konstruksjoner der grunntype er A-E og med beliggenhet der grunnakselerasjon inklusiv grunnforstrekning tilfredsstiller formelen $a_g S \leq 0,50 \text{ m/s}^2$
3. Konstruksjoner der grunntype er A-E med beliggenhet der grunnakselerasjon tilfredsstiller formelen $a_g \leq 0,30 \text{ m/s}^2$
4. Konstruksjoner der grunntype er A-e med en dimensjonerende brukstid mindre eller lik 2 år
5. Konstruksjoner med dimensjonerende akselerasjon $S_d \leq 0,50 \text{ m/s}^2$ beregnet med a) konstruksjonsfaktor $q \leq 1,5$, b) ingen reduksjon av stivhetsegenskapene etter 4.3.1 (7) og c) med en konservativ antakelse av stivhet i grunn

I dette er tilfellet er kriterium 1 oppfylt - påvisning av motstand mot seismisk påvirkning kan utelates.

6 Frostfri dybde

I henhold til håndbok N400 [8], punkt 11.1.2 skal all fundamentering og tilbakefylling inntil fundamenter eller andre konstruksjonselementer være i frostsikker utførelse. Det skal dimensjoneres for en frostmengde minst svarende 100 års returperiode.

Ved fundamenter av konstruksjoner i telefarlige masser, må konstruksjonen forstsikres. Det kan enten foretas masseutskifting med velgradert stein/pukk til frostfri dybde eller isoleres ved bruk av XPS-plater.

Frostfri dybde beregnes etter håndbok N200 kap 3.2 [9]

Følgende parameter er brukt som grunnlag for dimensjonering:

- Frostmengde $F_{100} = 19026 \text{ h}^{\circ}\text{C}$ etter www.vegvesen.no/kart/visning/frostsonekart
- Årsmiddeltemperatur for strekningen er $6,93^{\circ}\text{C}$ etter www.vegvesen.no/kart/visning/arsmiddeltemperatur

Beregnet frostfridybde i området er mellom 1,85 og 2,5m ved årsmiddeltemperatur på 4° , se Figur 25, avhengig av hvilke materialer som benyttes ved innbygging omkring konstruksjonene.

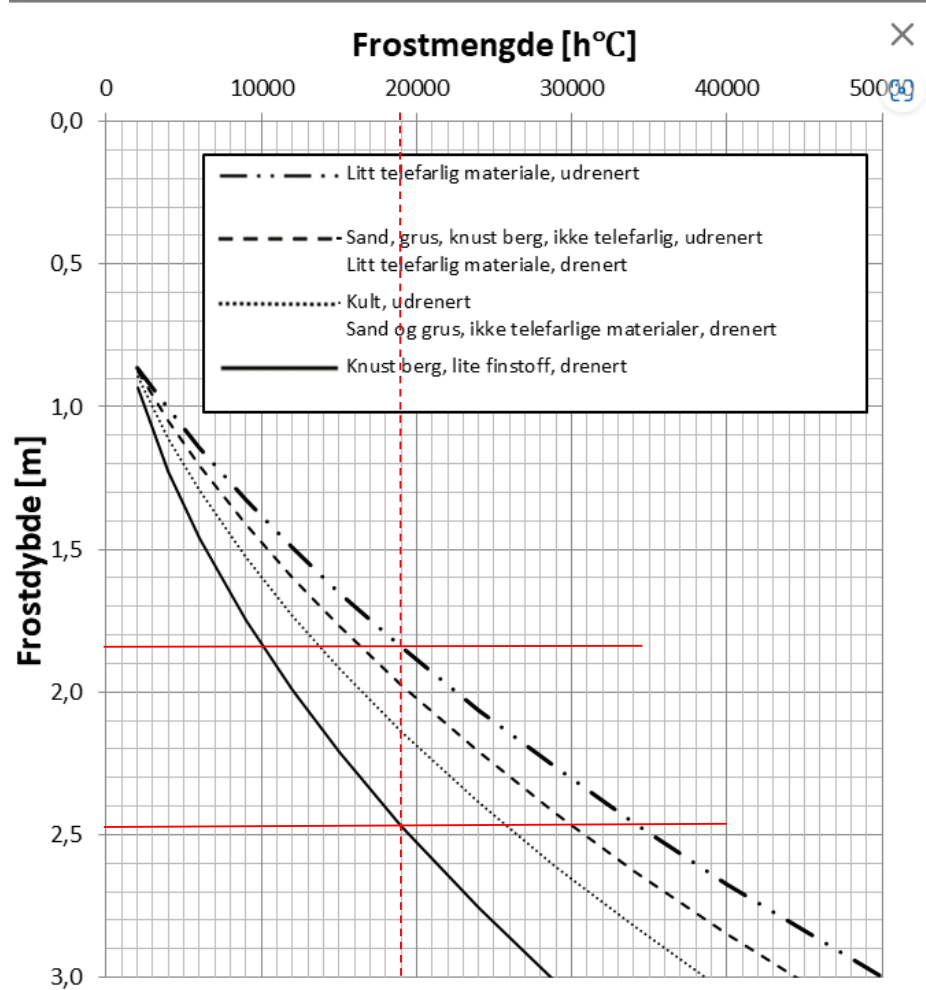
Da årsmiddeltemperaturen er $6,93$ grader og ikke 4 grader kan den frostfri dybde korrigeres med en faktor i henhold til tabell 3.2.2 i N200.

Tabell 3.2.2—1 — Korreksjon av frostdybde ved frostsikring med steinmaterialer

| Frostsikringslag | Antatt vanninnhold i frostsikringslag [%] | Årsmiddeltemperatur [$^{\circ}\text{C}$] | | | | | |
|---|---|--|------|------|------|------|------|
| | | -2 | 0 | 2 | 4 | 6 | 8 |
| Knust berg; lite finstoff, drenert | 2,0 | 1,92 | 1,40 | 1,15 | 1,00 | 0,90 | 0,82 |
| Kult; udrenert | 4,0 | 1,43 | 1,23 | 1,10 | 1,00 | 0,92 | 0,86 |
| Sand, grus, knust berg; ikke telefarlig, drenert | | | | | | | |
| Sand, grus, knust berg; ikke telefarlig, udrenert | 6,0 | 1,29 | 1,17 | 1,08 | 1,00 | 0,94 | 0,89 |
| Litt telefarlig materiale, drenert | | | | | | | |
| Litt telefarlig materiale, udrenert | 8,0 | 1,22 | 1,13 | 1,06 | 1,00 | 0,95 | 0,90 |

Figur 24: Utklipp fra SVV N200 som viser korreksjon faktor ved middeltemperatur forskjellig fra 4 grader.

Den frostfrie dybde kan redusere med en faktor $0,86$ for knust berg og $0,925$ for litt telefarlig materiale, udrenert, hvilket svarer til $1,85 * 0,925 = 1,71 \text{ m}$ og $2,5 * 0,86 = 2,15 \text{ m}$.



Figur 25: Frostdybd ved frostsikring med knust berg, sand eller grus ved årsmiddeltemperatur $4^{\circ}C$

Hvis konstruksjonen ikke fundamenteres i frostfri dybde, må konstruksjonen frostsikres med isolering.

7 Prosjekteringsforutsetninger

Følgende avsnitt inneholder generelle prosjekteringsforutsetninger for alle geotekniske vurderinger gjort i forbindelse med etablering av ny GS-bru samt etablering av fundament for mobilkran.

Hensikten er å oppsummere de viktigste geotekniske dimensjonerings-forutsetninger og myndighetskrav som er aktuelt for dette tiltak.

Det samlede omfanget av grunnundersøkelser er vurdert som tilrestrekkelig til å foreta geotekniske vurderinger omtalt i avsnitt 2.1.

7.1 Geotekniske oppgaver

Geotekniske vurderinger som utføres i forbindelse med utgraving og fundamentering av ny GS-bru over Evjeåa:

- Vurdering av styrke- og deformasjonsparametere
- Prosjektering av stålkjernepeler for fundamentering av landkar og bakenforliggende betongtrau
- Prosjektering av utgraving for landkar og bakenforliggende betongtrau
- Prosjektering av fundament for mobilkran

7.2 Regelverk

Følgende regelverk, standarder og veiledere ligger til grunn for prosjekteringen:

- PBL: Plan og bygningsloven av 27. juni 2008 nr. 71 [10]
- Tek 17: Byggeteknisk forskrift 2017 [2]
- SAK 10, Byggesaksforskrifter [11]
- NS-EN 1997-1:2004+A1:2013+NA:2020: Geoteknisk prosjektering Del 1: Allmenne regler (Eurokode 7) [12]
- NS-EN 1990:2002+A1:2005+NA:2016 Grunnlag for prosjektering av konstruksjoner (Eurokode 0) [13]
- NS-EN 1998-1:2004+A1:2013 + NA:2021: Prosjektering av konstruksjoner for seismisk påvirkning Del: Allmenne regler, seismiske laster og regler for bygninger [5]
- Håndbok N200 Veibygging, Statens vegvesen, 2022 [9]

I tillegg, i den grad det er relevant, er følgende veiledninger benyttet:

- Statens vegvesen (SVV), Håndbok V220 Geoteknikk i vegbygging [14]
- Statens vegvesen (SVV), Håndbok V221 Grunnforsterkning, fyllinger og skråninger [15]

7.3 Geoteknisk kategori

NS-EN 1997-1:2004+A1:2013+NA:2020 [16] stiller krav til prosjektering ut fra ulike geotekniske kategorier. Valg av kategori gjøres ut fra standardens punkt 2.1 «Krav til prosjektering».

Dette prosjektet innebærer prosjektering av stålkernekuler og utgraving for landkar/trau til ca. 2m under terrenget.

Utgraving skal overveiende utføres i det øvre lag av leire. Grunnvannsspeilet vurderes å stå ca. 1 meter under terrenget. Dog er det registeret et poreovertrykk på 0,5 m i løsmassene rett over berg. Vannspeilet og poreovertrykket vil variere med årstiden og mengden av nedbør.

Det skal ikke graves i nærheten av eksisterende bygninger, men tett på FV 119 (Larkollveien).

På bakgrunn av ovenstående vurdering og at tiltaket innebærer konvensjonelle konstruksjoner uten unormale risiki, hvor det graves under registrert grunnvannsspeil og hvor det treffes kvikkleire tett på fylkesvei, velges krav til prosjektering i henhold til **geoteknisk kategori 3**. Valg av geoteknisk kategori er også i henhold til anbefalinger i SVV-håndbok N200.

7.4 Konsekvensklasse/pålitelighetsklasse (CC/RC)

Da prosjektet innebærer utgraving tett på fylkesvei som må være åpen i forbindelse med gravearbeidet, må konsekvens- og pålitelighetsklasse vurderes i henhold til SVV sine regler.

FV 119 Larkollveien har en ÅDT på 3400 (NVDB/2022) og fornuftige omkjøringsmuligheter.

Det er dårlige grunnforhold, men begrenset bruddkonsekvens da det er fornuftig omkjøringsmuligheter ved evt. brudd på FV 119.

For geoteknisk prosjektering av utgraving for landkar, og fundamentering med stålkernekuler av landkar og trau, er det valgt konsekvensklassen **CC3**, da konsekvens av et brudd er kritisk for FV 119.

Pålitelighetsklassen **RC3** knyttes til konsekvensklassen **CC3**, jf. NS-EN 1990:2002+A1:2005+NA:2016 [13]

Tabell 0-1 Definisjon av konsekvensklasser etter Eurokode 0 [9], tillagt kommentarer relatert til vegbygging med veiledende kriterier for valg av konsekvensklasse (lyseblå kolonne)

| Konsekvens-klasse | Beskrivelse | Eksempel på bygg og anlegg | Veilegende kriterier for vegbygging |
|-------------------|---|---|--|
| CC3 | Stor konsekvens i form av tap av menneskeliv, eller svært store økonomiske, sosiale eller miljømessige konsekvenser | Tribuner, offentlige bygninger der konsekvensene av brudd er store (f.eks. en konserthall) | ÅDT>8000*, eller svært viktig veg uten (eller med svært dårlig) omkjøringsmulighet. Nær trafikkert jernbane**. Fundamenteringsarbeider eller andre geotekniske tiltak med stor bruddkonsekvens. |
| CC2 | Middels stor konsekvens i form av tap av menneskeliv, betydelige økonomiske, sosiale eller miljømessige konsekvenser | Boliger og kontorbygg, offentlige bygninger der konsekvensene av brudd er betydelige (f.eks. et kontorbygg) | 1500<ÅDT<8000*, eller mindre trafikkert viktig veg med vanskelig/dårlig omkjøring. Fundamenteringsarbeider eller andre geotekniske tiltak med begrenset bruddkonsekvens og god evne til å tåle deformasjoner. |
| CC1 | Liten konsekvens i form av tap av menneskeliv, og små eller uvesentlige økonomiske, sosiale eller miljømessige konsekvenser | Landbruksbygninger der mennesker vanligvis ikke oppholder seg (f.eks. lagerbygninger), drivhus | ÅDT<1500*. God omkjøringsmuligheter. Konstruksjoner med liten skadekonsekvens og god mulighet for reparasjon eller gjenoppbygging. |

ÅDT = årsdøgntrafikk; Det totale antall kjøretøy, i begge retninger, som passerer et snitt på en veg i løpet av ett år, dividert med 365.

*) I byggefasesen gjelder grensen for trafikkmengde på veg i nærheten som vil bli berørt ved en eventuell bruddsituasjon. For beregningssituasjoner relevante etter vegåpning gjelder dimensjonerende trafikkmengde for ferdig veg.

**) Se Bane NORs tekniske regelverk [2] og teknisk designbasis for InterCity-strekningene [1].

Figur 26: Utklipp fra SVV N200 som viser forslag til valg av konsekvensklasse for veiprosjekter eller prosjekter nær eksisterende vei.

7.4.1 Kvalitetssystem

For prosjektering av konstruksjoner i pålitelighetsklasse 2, 3 og 4 skal et kvalitetssystem være tilgjengelig, og dette systemet skal tilfredsstille NS-EN ISO 9000-serien for pålitelighetsklasse 4. COWIs system tilfredsstiller sistnevnte, og kravet er da ivaretatt for pålitelighetsklasse 2.

7.5 Prosjekteringskontroll

SVV-håndbok N200 følger NS-EN 1990 ved valg av prosjekteringskontroll-klasse.

NS-EN 1990:2002+A1:2005+NA:2016 [13] gir videre føringer for krav til omfang av prosjekteringskontroll avhengig av pålitelighetsklasse. I henhold til tabell NA.A1 (902) innebærer dette at prosjekteringskontroll av geotekniske arbeider settes til kontrollklasse **PKK3**.

Prosjekteringskontrollklasse **PKK3** innebærer at det skal utføres egenkontroll og intern systematisk kontroll med faste rutiner, samt utvidet kontroll.

Utvidet kontroll i **PKK3** bør, i tillegg til en kontroll av at egenkontroll og intern systematisk kontroll er gjennomført og dokumentert av det prosjekterende foretak, minst omfatte kontroll av de samme punktene som er angitt i egenkontrollen, og være i et omfang som gir tillit til at prosjekteringen er tilfredsstillende. Kontroll kan begrenses til konstruksjonens hovedbæresystem eller stabiliteten ved geoteknisk prosjektering.

Utvidet kontroll utføres i regi av byggherren, enten av byggherrens egen organisasjon, eller av annet foretak som er uavhengig av foretaket som utførte arbeidene.

Tabell 4: Prosjekteringskontroll etter Eurokode 0 (Tabell NA.A1(902)). Prosjektets innpllassering er angitt med rød ramme.

Tabell NA.A1(902) – Valg av prosjekteringskontrollklasse og krav til kontrollform ved prosjektering

| Valg av prosjekterings-kontrollklasse | | Krav til kontrollform | | |
|---------------------------------------|--------------------------------------|------------------------------------|---|--|
| Pålitelighets-klasse | Minste prosjekterings-kontrollklasse | Egenkontroll (DSL 1) ¹⁾ | Intern systematisk kontroll (DSL 2) ¹⁾ | Utvidet kontroll (DSL 3) ¹⁾ |
| 1 | PKK1 ²⁾ | kreves | kreves ikke | kreves ikke |
| 2 | PKK2 ²⁾ | kreves | kreves | kreves |
| 3 | PKK3 | kreves | kreves | kreves |
| 4 | Skal spesifiseres | kreves | kreves | kreves |

¹⁾ Se punkt B4 (informativt tillegg B) for betegnelsen DSL.
²⁾ Det kan velges høyere prosjekteringskontrollklasse.

7.6 Tiltaksklasse

SAK10 krever at byggasen inndeles i tiltaksklasser, ref. §9-3 "Fastsettelse av tiltaksklasser".

Da dette prosjekt er et GS-vegprosjekt med utgangspunkt i SVVs regelverk er det ikke behov for å plassere prosjektet i tiltaksklasse.

7.7 Utførelseskontroll

SVVs håndbok N200 følger NS-EN 1990 ved valg av utførelseskontrollklasse.

NS-EN 1990:2002+A1:2005+NA:2016 [13] krever at ved prosjektering av konstruksjoner i pålitelighetsklasse PKK3 skal minste utførelseskontrollklasse være **UKK3**.

Utførelseskontrollklasse **UKK3** innebærer en kontroll som bekrefter at egenkontroll og internsystematisk kontroll er gjennomført og dokumentert av det utførende foretak. Det utførte arbeide skal i tillegg kontrolleres tilstrekkelig til å gi tillit til at arbeidet er tilfredsstillende. Kontrollen kan være basert på stikkprøver og skal være tilpasset de funn som blir gjort. Spesielt viktige og kritiske områder av betydning for byggverkets sikkerhet skal kontrolleres. Den utvidede kontrollen skal utføres parallelt med utførelsen der dette er hensiktsmessig, og det skal legges til rette for gjennomføringen. Utførelse kontrollen utføres i byggherrens regi. Dersom byggherrenes egen organisasjon er delaktig i utførelse skal det utvidet kontrollen utføres av annet firma (Uavhengig foretak)

Tabell 5: Utførelseskontrollklasse etter Eurokode 0 (Tabell NA.A1(903)). Prosjektets innplassering er angitt med rød ramme

Tabell NA.A1(903) – Valg av utførelseskontrollklasse og krav til kontrollform ved utførelse

| Valg av utførelses-kontrollklasse | | Krav til kontrollform | | |
|-----------------------------------|--|--------------------------------------|---|--|
| Pålitelighets-klasse | Minste utførelses-kontrollklasse | Egenkontroll (IL 1) ¹⁾ | Intern systematisk kontroll (IL 2) ¹⁾ | Utvidet kontroll (IL 3) ¹⁾ |
| 1 | UKK1 ²⁾ | kreves | kreves ikke | kreves ikke |
| 2 | UKK2 ²⁾ | kreves | kreves | kreves |
| 3 | UKK3 | kreves | kreves | kreves |
| 4 | UKK3, eventuelt med tilleggsbestemmelser | kreves | kreves | kreves |

¹⁾ Se punkt B5 (informativt tillegg B) for betegnelse IL.
²⁾ Det kan velges høyere utførelseskontrollklasse.

7.8 Partial- og korrelasjonsfaktorer

For dimensjonering av utgravingene kreves en materialfaktor på $\gamma_M = 1,40$ for totalspenningsanalyse og $\gamma_M = 1,25$ effektivspenningsanalyse, jf. NS-EN 1997-1:2004+A1:2013+NA:2020. [16]

Tabell 1: Materialefaktorer γ_m ved geoteknisk prosjektering i drenert og udrenert situasjon.

Tabell NA.A.4 – Partialfaktorer for jordparametere (γ_m)^d

| Jordparameter | Symbol | Sett^{b,c} | |
|-------------------------------|---------------|---------------------------|-----------|
| | | M1 | M2 |
| Friksjonsvinkele ^a | γ_ϕ | 1,0 | 1,25 |
| Effektiv kohesjon | γ_c | 1,0 | 1,25 |
| Udrenert skjærfasthet | γ_{cu} | 1,0 | 1,4 |
| Enaksial fasthet | γ_{qu} | 1,0 | 1,4 |
| Tyngdetethet | γ | 1,0 | 1,0 |

^a Denne partialfaktoren gjelder for tan ϕ .
^b Der det er mer ugunstig, skal karakteristisk styrke av jord multipliseres med partialfaktoren.
^c Partialfaktoren økes ut over ovenstående verdier når faren for progressiv bruddutvikling i sprøbruddsmaterialer anses å være til stede.
^d Ved stabilitetsanalyse av en skråning uten prosjektert tiltak vil det være tilfeller der en for større områder kan ha en lavere beregnet sikkerhetsfaktor enn partialfaktoren i tabellen. Med større områder menes et område som kan rase ut, som er større enn området det planlagte tiltaket dekker, hvis det går et initialskred. Dersom sikringstiltak for å oppnå stabilitet i henhold til verdier i tabellen ikke er praktisk gjennomførbar eller utlöser uforholdsmessige inngrep, kan det vurderes om det er forsvarlig å legge til grunn et prinsipp om prosentvis forbedring for området i stedet for krav til gjeldende partialfaktor.

En slik vurdering skal minst inneholde dokumentasjon av følgende:

- omfang av sikringstiltak;
- robusthet mot uventet lastendring;
- robusthet som ivaretar modellusikkerhet;
- mulige konsekvenser av brudd;
- mulige samfunnsmessige konsekvenser av at et planlagt tiltak ikke blir gjennomført.

Vurderingen skal kontrolleres av et uavhengig foretak før videre prosjektering av tiltaket utføres.

Hvis vurderingen tilsier at prosentvis forbedring kan brukes for et større område, skal det gjennomføres utvidet kontroll av prosjekteringen (PKK3) og utførelse (UKK3) i henhold til pålitelighetsklasse 3 (se nasjonalt tillegg til NS-EN 1990).

Forut for en slik vurdering forutsettes det at

- topografi er godt kartlagt og dokumentert;
- grunnforholdene og fasthetsegenskapene er tilstrekkelig kartlagt og dokumentert med hensyn til eventuell variasjon;
- det prosjekterte tiltakets anleggstekniske gjennomførbarhet er vurdert og dokumentert.

Prosentvis forbedring av stabilitet skal kun gjøres med topografiske tiltak, eventuelt kombinert med masseutskifting til lettere masser.

I bruddgrensetilstand er partialfaktor for lastene $\gamma_Q = 1,35$ for trafikklast og $\gamma_G = 1,0$ for permanente laster i henhold til NS/EN 1990:2002+NA:2016 tabell NA.A2.4(C), [13]. I henhold til SVV sitt regelverk så er partialfaktoren for trafiklast $\gamma_Q = 1,30$.

For utgravinger nær eksisterende FV må det benyttes partial- og korrelasjonsfaktorer i henhold til SVVs regelverk i forbindelse med fastleggelse av sikkerhetsnivået ved lokalstabilitet.

Tabell 1.8 — Partialfaktorer for $\gamma_{M,\phi'}$ og $\gamma_{M,c'}$ ved effektivspenningsanalyser

| Konsekvensklasse | Bruddmekanisme | | |
|---------------------|--------------------------|----------------|------------------------------|
| | Seigt, dilatant brudd | Nøytralt brudd | Sprøtt, kontraktant brudd |
| CC1 Mindre alvorlig | 1,25 | 1,3 | 1,4 |
| CC2 Alvorlig | 1,3 | 1,4 | 1,5 |
| CC3 Meget alvorlig | 1,4 | 1,5 | 1,6 |

Figur 27: Utklipp fra SVV N200, som viser partialfaktorer ved effektivspenningsanalyser, valgt kategori er markert med rød ramme**Tabell 1.9 — Partialfaktorer for $\gamma_{M,Cu}$ ved totalspenningsanalyser**

| Konsekvensklasse | Bruddmekanisme | | |
|---------------------|--------------------------|----------------|------------------------------|
| | Seigt, dilatant brudd | Nøytralt brudd | Sprøtt, kontraktant brudd |
| CC1 Mindre alvorlig | 1,4 a | 1,4 a | 1,4 |
| CC2 Alvorlig | 1,4 a | 1,4 | 1,5 |
| CC3 Meget alvorlig | 1,4 | 1,5 | 1,6 |

Figur 28: Utklipp fra SVV N200, som viser partialfaktorer ved totalspenningsanalyser, valgt kategori er markert med rød ramme

I midlertidig situasjon hvor det graves ut på henholdsvis den østlige og vestlige side av bekken, og hvor trafikken begrenses til ett kjørefelt på den østlig side, vurderes det som tilstrekkelig å anvende sikkerhetsfaktorer svarende til konsekvensklasse 2 - altså $\gamma_{M,\phi'}$ og $\gamma_{M,Cu} = 1,5$. I permanent situasjon anvendes det sikkerhetsfaktorer svarende til konsekvensklasse 3 - altså $\gamma_{M,\phi'}$ og $\gamma_{M,Cu} = 1,6$.

7.8.1 Stålkjernepeler

I forbindelse med dimensjonering av stålkjernepeler er det benyttet følgende materialfaktorer:

Materialfaktor stål $\gamma_{m0} = 1,05$

Reduksjonsfaktor stålkjernepeler, $f_a = 0,9$

Partialfaktorer for knekkning $\gamma_t = 1,10$

Korrelasjonsfaktor $\xi_4 = 1,45$

8 Geoteknisk prosjektering

Prosjektet er beskrevet i avsnitt 1.3 *Prosjekt*

I forbindelse med utgraving for landkar og trau er det gjort en vurdering av hvilket grøfteutslag som kan benyttes, eller om det vil bli nødvendig å anvende støttende tiltak. Det er også vurdert maksimale anleggslaster for området.

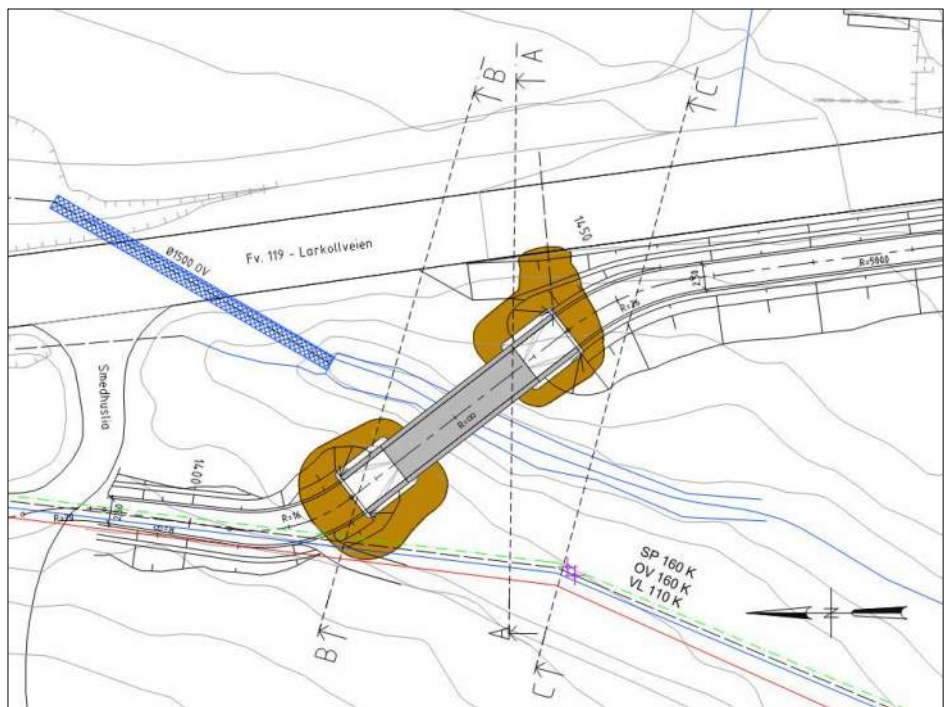
I henhold til NS-EN 1997 Geoteknikk [16] skal det i forbindelse med gjennomføring av den geoteknisk prosjektering av utgravinger legges til et overgravingstillegg på 10% til gravedybden, maksimalt 0,5 m.

8.1 Utgraving for landkar og trau - stabilitet

I forbindelse med utgraving for landkar og trau er det gjort en stabilitetsberegnning av nåværende terrengoverflate og situasjon med utgraving.

Stabilitetsberegningene er gjort i Geosuite stability, versjon 24.0.8.0.

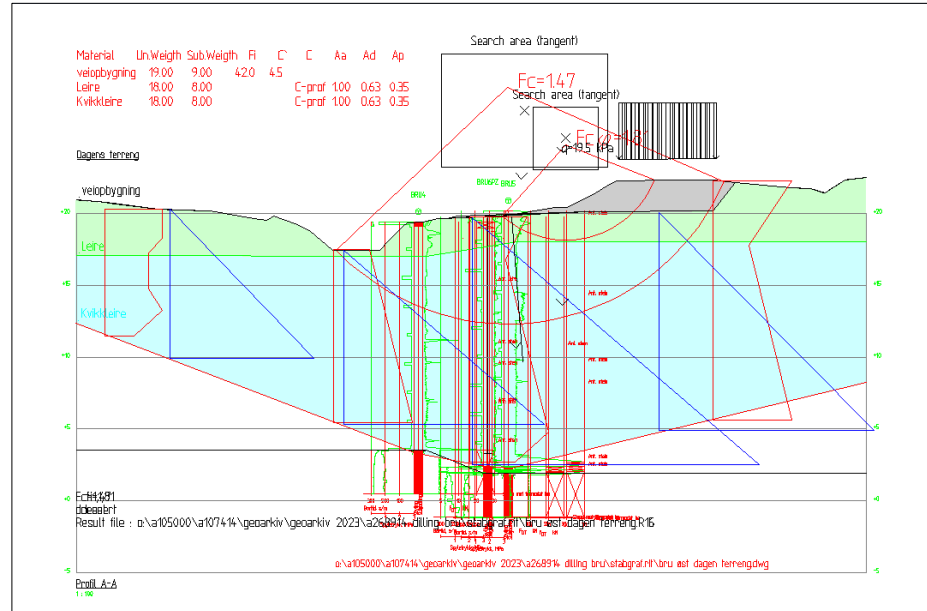
Det er i beregningene inkludert trafikklast på 19,5 kPa for fylkesveien (15kPa *1,30).



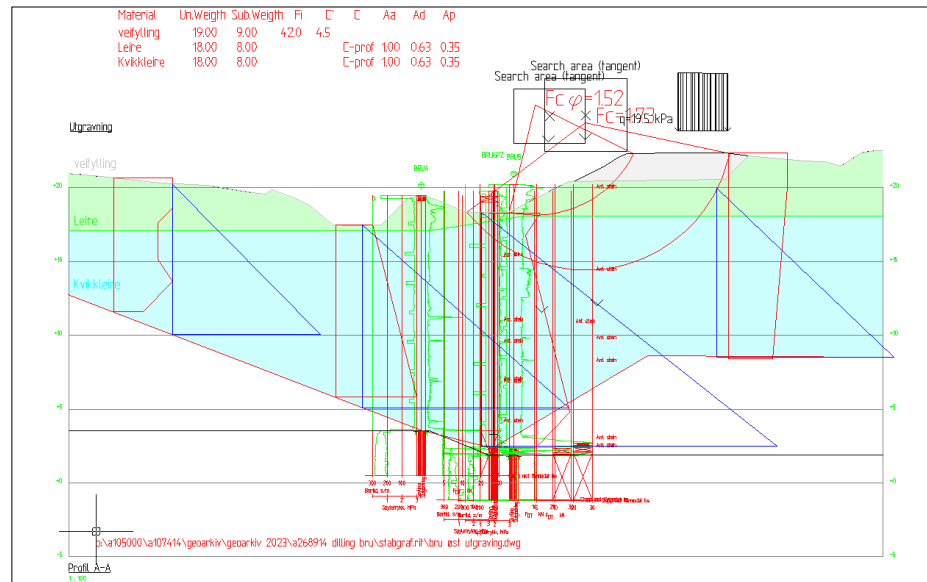
Figur 29: Skisse som viser utgraving for landkar og trau på vestlig og østlig side av bekk. Det er utført stabilitetsberegninger i snitt A, B og C.

Figur 30 til Figur 32 viser de utførte stabilitetsberegninger for den østlige side av bekken, snitt A-A og Snitt C-C. Figur 33 og Figur 34 viser de utførte stabilitetsberegninger for den vestlige side av bekken Snitt B-B.

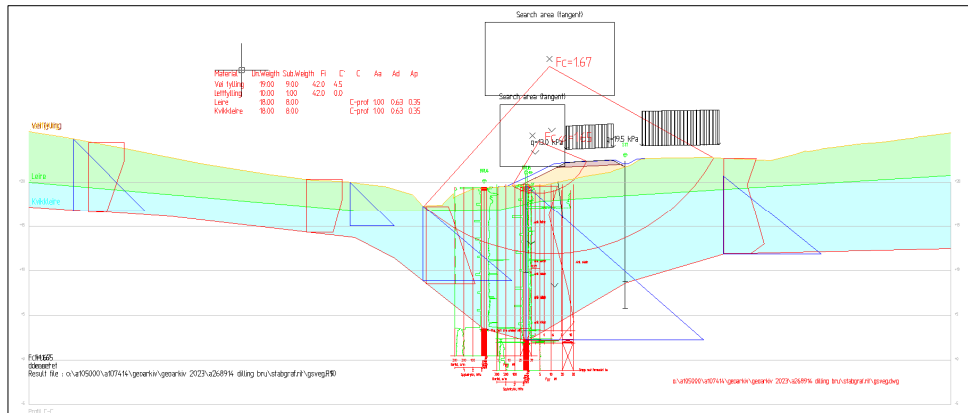
Vedlegg 5 viser stabilitetsberegningene/snittene i større gjengivelse.



Figur 30: Snitt A-A, Stabilitetsberegning eksisterende terregn østlig side av bekk.



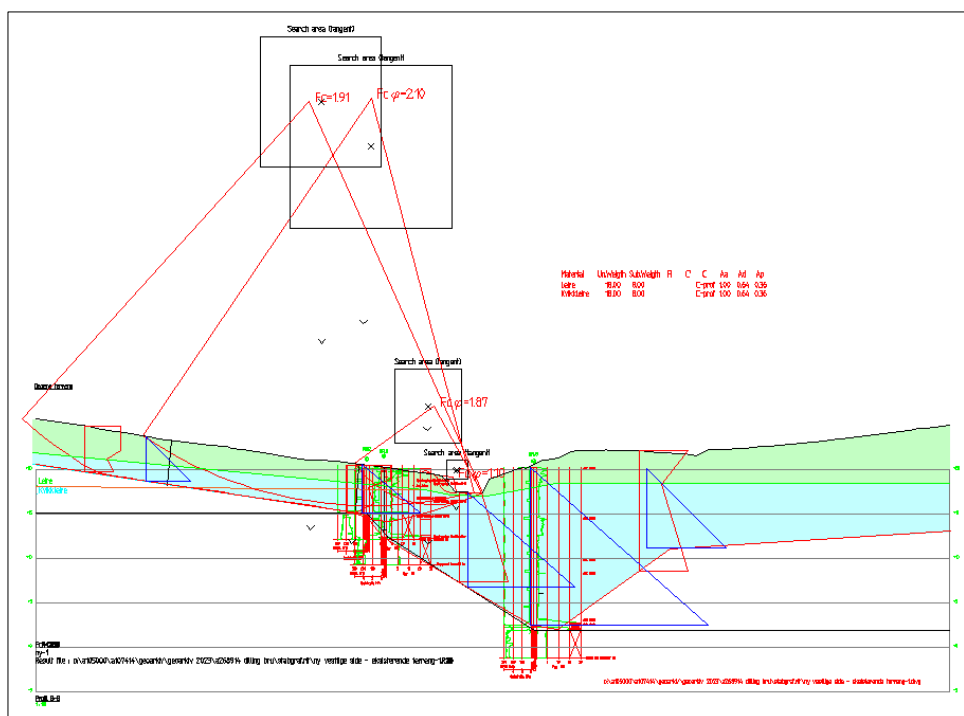
Figur 31: Snitt A-A, Stabilitetsberegning utgravet terregn østlig side av bekk. Kun trafikklast på ett kjørefelt.



Figur 32: Snitt C-C, Stabilitetsberegning med ny GS vei, østlig side av bekke rett utenfor landkar og trau på ny GS bru.

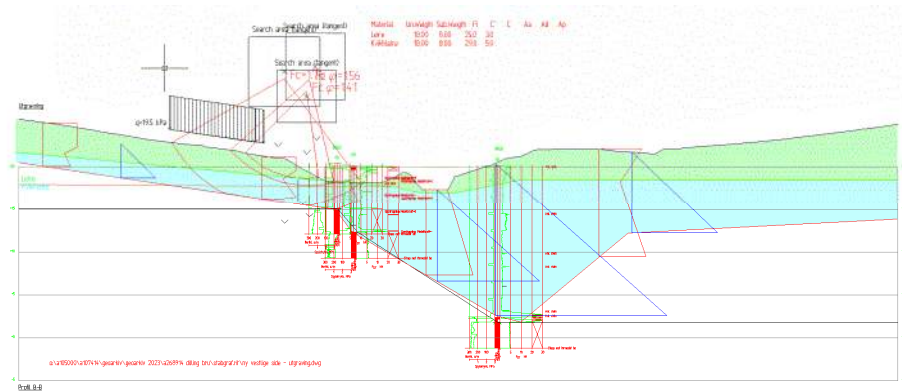
Når det graves ut for landkar og trau på den østlige side av bekken må det sikres at veibanan nærmest utgravingen sperres, så det kun kjører trafikk i én veibane. Utgravingen kan da gjennomføres med helning 1:1,5 på grøftesidene.

I anleggsfasen må det ikke benyttes en anleggslast over 20 kPa, når det graves ut og installeres peler for østsiden.



Figur 33: Snitt B-B, Stabilitetsberegning eksisterende terrenge vestlig side av bekke

Den drenerte beregning viser at skråningen ned i bekken står med en sikkerhet $Y_m, \varphi_c = 1,10$, hvilket ikke er tilstrekkelig i henhold SVV's regelverk eller eurocode 7, geoteknikk. Det vurderes dog ikke å ha innflytelse på utgravingen for landkar og trau.



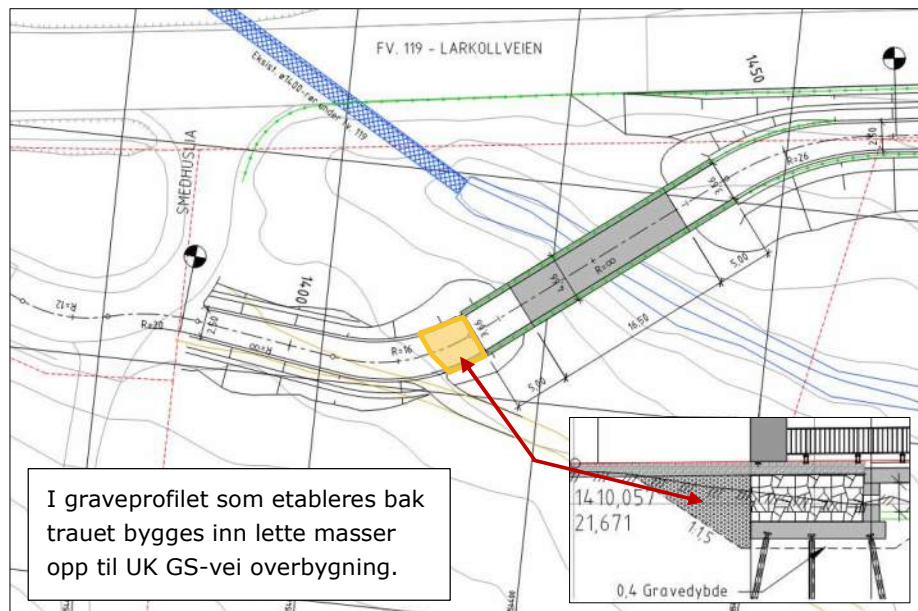
Figur 34: Snitt B-B, Stabilitetsberegning ved utgravet terregn vestlig side av bekk

På den vestlige side er det vurdert at det i forbindelse med utgraving for landkar og trau kan antas konsekvensklasse CC2, siden det er en midlertidig situasjon. For bruddsirkel som går gjennom leire som ikke er sprø, antas det nøytralt brudd og dermed $Y_{m,cu} = 1,4$ og $Y_{m,fc} = 1,4$, som sikkerhetsfaktorer. For bruddsirkel som går ned gjennom kvikkleire antas det sprøtt brudd og dermed $Y_{m,cu} = 1,5$ og $Y_{m,fc} = 1,5$ som sikkerhetsfaktorer.

På vestsiden er det ikke gjort stabilitetsberegninger for ny GS-vei siden den ligger rett bak trauet til bruа. Ved profil 1410 ligger GS-veien ca. i nivå med eksisterende terregn, og fra profil 1410 og mot betongtrauet fylles utgravingen opp med lette masser, så her vil det ikke komme noen ekstra belastning på terrenget som vil kunne forverre stabiliteten (se Figur 35).

Stabilitetsberegningene viser at man kan benytte graveskråninger med helning på 1:1,5.

I anleggsfasen på den vestlige side av bekken kan det benyttes anleggslast på 15 kN/m² når det graves ut, og en anleggslast på 20kN/m² når det installeres peler ned fra utgravingens bunn.



Figur 35: Utklipp som viser plassering av GS-vei ved vestlig side av bru

De utførte stabilitetsberegninger viser følgende sikkerheter:

| Beregning | Krav til sikkerhet | Sikkerhets faktor Udrenert beregning | Sikkerhets faktor drenert beregning |
|--|--|---|--|
| Østlig side av bekken | | | |
| Eksisterende terrenge, full trafikklast. | $Y_{m,cu} =$ $Y_{m,\phi c} =$ | 1,47 | 1,81 |
| Utgravet terrenge halv trafikklast | $Y_{m,cu} = 1,5$ $Y_{m,\phi c} = 1,5$ | 1,73 | 1,52 |
| Ny GS vei | $Y_{m,cu} = 1,6$ $Y_{m,\phi c} = 1,6$ | 1,67* | 1,65* |
| Vestlig side av bekken | | | |
| Eksisterende terrenge | $Y_{m,cu} =$ $Y_{m,\phi c} =$ | 1,6 | 1,10** 1,87*** |

| Beregning | Krav til sikkerhet | Sikkerhets faktor Udrenert beregning | Sikkerhets faktor drenert beregning |
|-----------------|--|---|--|
| | | | 2,10*** |
| Utgravet terren | CC2 Sprøtt brud $\gamma_{m,cu} = 1,50$ $\gamma_{m,\phi c} = 1,50$ CC 2 nøytral brud $\gamma_{m,cu} = 1,40$ $\gamma_{m,\phi c} = 1,40$ | 1,76 | 1,56**** 1:41 **** |

- * Beregning gjennomført med en romvekt for lettfyllingen på 10 KN/m³, hvilket gjør at en del av lettfylling skiftes ut med tunge masser så den gjennomsnittlige romvekt blir ca. 10 kN/m³. Det skal benyttes skumglass-granulat 10-60 mm
- ** Beregning viser lav sikkerhet i skråningen ned i bekken
- *** Beregning gjennomført hvor det er lagt til restrict shear surface
- **** Det er gjort en beregning hvor bruddsirkelen går gjennom vanlig leire og en beregning hvor bruddsirkelen går ned i kvikkleire

8.1.1 Anleggslaster

I forbindelse med utgraving for landkar og trau, borttransport av oppgravet jord samt ved installasjon av stålkjernerpele er det gjort beregninger for å vurdere hvilke anleggslaster som kan tillates. Beregningene viser at det kan benyttes følgende anleggslaster:

Østlig side: Anleggslast =20 kPa for all aktivitet

Vestlig side: Anleggslast =15 kPa på terren ovenfor utgraving
Anleggslast = 20 kPa ved installasjon av peler

Det kan bli aktuelt å etablere fundament, stålplater/stokkmatter, for anleggsma-skinene for å sikre at anleggslasten ikke overskrides. Anleggslast skal i tillegg ikke nærmere enn 1 meter på kant av utgraving.

8.1.2 Vurdering av setninger ved overgang fra landkar/trau og til GS-vei.

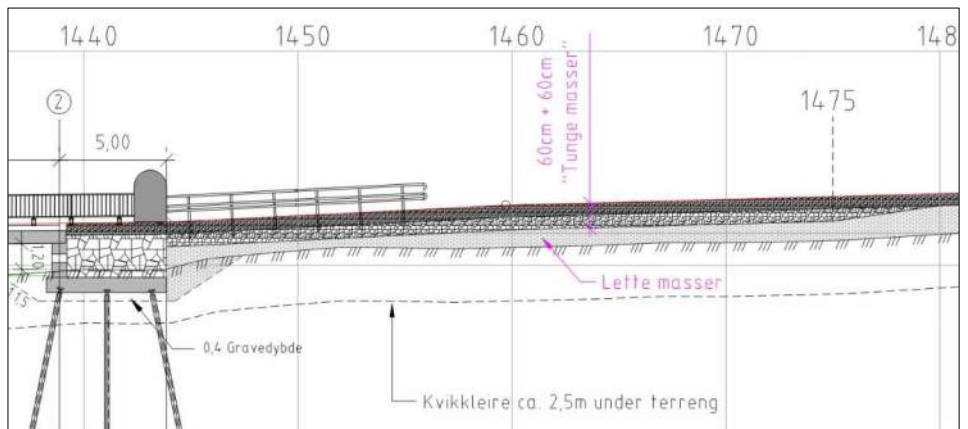
Det er gjort en vurdering av forventede setninger ved overgangen fra landkar/trau til GS-vei.

Beregning gjennomført på østsiden av bruva viser at det kan oppstå setninger i størrelsesordenen 5-7 cm ved innbygning av tunge masser, og 2-4 cm om det benyttes lette masser i fyllingen. Se vedlegg 4 for utførte beregninger.

Stabilitetsberegningene viser at det må benyttes middelstunge masser i stedet for lette masser på første del av strekningen etter trauet på østsiden. Massene må ha en egenvekt på gjennomsnittlig 10 kN/m^3 . Massene skal bestå av et tykkere lag av tunge masser og et mindre lag av lette masser. Det skal benyttes middelstunge masser mellom profil 1445 og profil 1475 – deretter kan det benyttes lette masser i hele fyllingen under GS-veioppbygningen.

Mellan profil 1445 og profil 1475 varierer fyllingshøyden under GS-vei overbygningen mellom 1,1 og 1,6 m. For å oppnå en gjennomsnittlig romvekt på 10 kN/m^3 for massene som bygges inn, er det av hensyn til praktisk gjennomføring valgt et gjennomgående 0,6m tykt lag med tunge masser under GS-overbygningen, med den resterende del som lette masser. Prinsippet er skissert i Figur 36.

For jevne ut differansesetninger i overgang trau på peler til GS-vei på fylling legges geonett under de to 60cm-lagene. Utstrekning og type geonett bestemmes i byggeplanen.



Figur 36: Skisse som viser oppbygning fra overside GS-vei til eksist. terrenge på østsiden av bru. Oppbygningen består av 60 cm overbygning for GS-vei over 60 cm sprengstein/kult og deretter lette masser mot eksist. terrenge.

Beregning gjennomført på vestlig side av bekken viser at det kan oppstå setninger i størrelsesordenen 4-6 cm ved innbygning av tunge masser, og 2-4 cm hvis det benyttes lette masser i fyllingen over terrenget. Se vedlegg 4 for utførte beregninger.

Lettfyllinger skal bestå av skumglassgranulat 10-60 mm.

8.2 Prosjektering av stålkjernepeler

Det er vurdert at landkar og trau til den ny GS-bru må fundamenteres på stålkjernepeler.

Det er gjort en vurdering av pelekapasiteten for 4 ulike dimensjoner av stålkjernepeler. Kapasitet er vurdert mhp. knekking i henhold til beregningsmåten angitt i peleveiledingen.

Det er i beregningen ikke tatt med bidrag fra foringsrøret, da det antas at foringsrøret tar opp eventuelle påhengslaster.

Tabell 6: Tabell med beregnet knekklaster for ulike peledimensjoner.

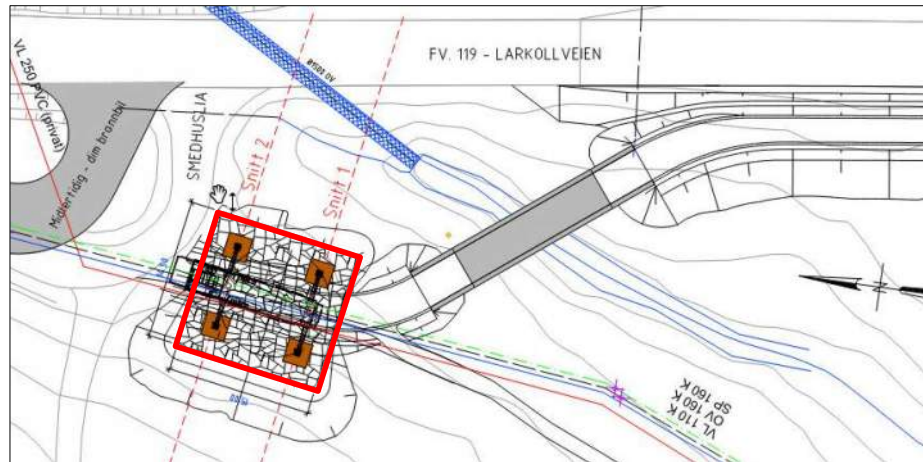
| Diameter stålkjerner- pel Ø [mm] | Foringsrør dimensjon [mm] | Borehul uten for- ingsrør | Installert kapasitet kun kjerne, $N_{c,i}$ [kN] | Knekk-kapa- sitet lang- tidslaster, $R_{k,d}$ [kN] | Knekk-kapa- sitet kort- tidslaster, $R_{k,d}$ [kN] |
|---|---------------------------------|---------------------------------|--|--|--|
| 90 | 168,3 x 4,0 | 140 | 1718 | 1244 | 2301 |
| 100 | 168,3 x 4,0 | 140 | 2121 | 1350 | 2482 |
| 120 | 193,7 x 5,0 | 165 | 2860 | 1825 | 3309 |
| 150 | 219,1 x 5,0 | 190 | 4468 | 2558 | 4536 |

Ved vurdering av knekkapasiteten er det antatt en forhåndsutbøyning tilsvarende 1:600. Det forutsetter at det ikke er skjøt innfor knekk lengden.

Det vises til vedlegg 2 som viser beregning av knekklaster for de enkelte pelediameterer.

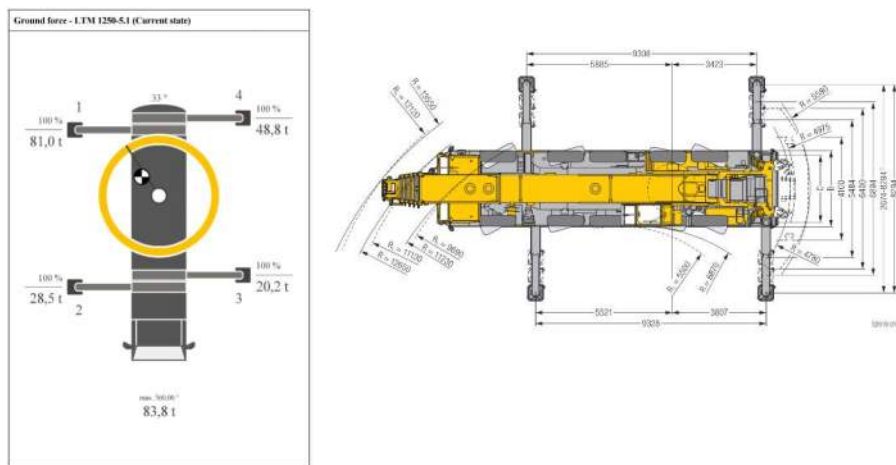
8.3 Prosjektering av fylling/fundament for mobilkran

Det må stilles opp en mobilkran for å kunne løfte inn delelementer for den nye bru. I beregninger er det benyttet data for mobilkran av typen LTM1250. Type mobilkran er vurdert i samråd med Nordic Crane.



Figur 37: Utklipp som viser til plassering av mobilkran. Markert med rød ramme.

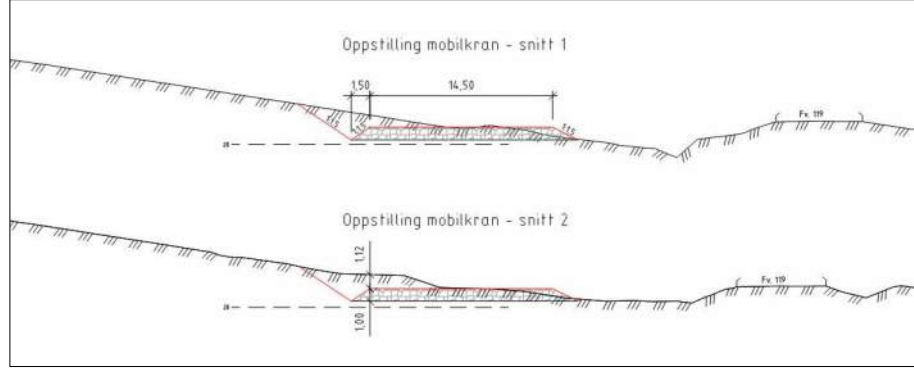
Det er opplyst fra Nordic Crane at innløfting av nødvendige brubjelker på ca. 17 tonn vil gi et marktrykk på 81 tonn for verste labb, hvilket tilsvarer ca. 810 kN. For de geotekniske beregninger må det legges til partialfaktor tilsvarende $\gamma_Q = 1,35$ - hvilket gir en last på 1093,5 kN.



Figur 38: Skisse som viser maksimal belastning på enkeltlabb, og dimensjon av oppstilt kran.

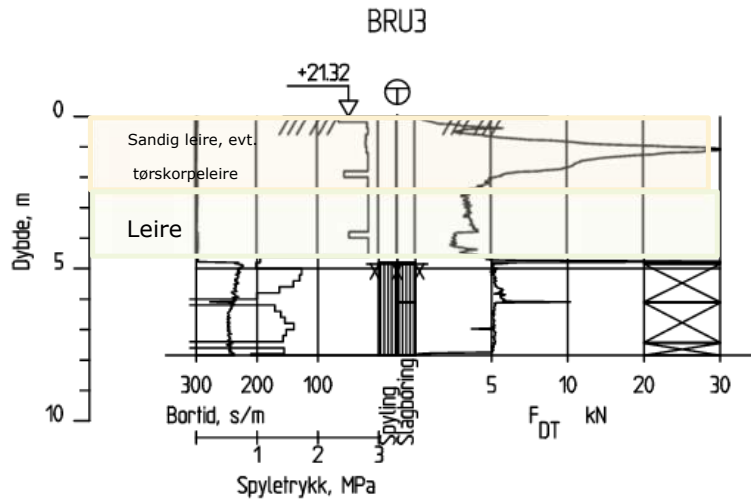
For å kunne stille opp mobilkranen må det etableres et fundament med tilstrekkelig bæreevne.

For ikke å grave ut for mye eksisterende masser eller bygge opp en høy fylling er det gjort en vurdering på et snitt i terrenget slik belastning på terrenget fra kranfundamentet er mest mulig nøytral. Det medfører at det graves inn i terrenget mot vest og fylles på terrenget ned mot bekken, se prinsippet i Figur 39.



Figur 39: Skisse som viser snitt i terrenget hvor kranfundamenet bygges opp, rød strek viser til overside fundament. Plasseringen av snittene er vist på Figur 37

Det er gjort en boring (BRU3) der kranen skal plasseres i forbindelse med den seneste grunnundersøkelsen. Boringen viser et øvre lag ca. 2,5 m bestående av sandig leire, og under dette leire til overside berg som treffes knappe 5 m under terrenget.



Figur 40: Utklipp fra den geoteknisk datarapport som viser totalsondering utført hvor mobilkran skal plasseres.

For å sikre tilstrekkelig bæreevne anbefales det å masseutskifte ca. 1 m med sprengstein/kult. Labbene på kranen/fordelingsplate må da ha en bredde og lengde på 1,5x1,5 m for å sikre tilstrekkelig bæreevne gjennom sprengsteinsfyllingen. Bæreevneberegring er gjengitt i vedlegg 3.

Det kan bli en gjennomlokking til det underliggende lag av leire, så bæreevne av laget under sprengsteinsputen må også kontrolleres.

Det er i det udrenerte tilfelle benyttet følgende parameter $c_{u,d} = 40 \text{ kPa}$. Det er ingen horisontal last, derfor $r_b = 0$. Bæreevne på overside av leirelaget viser

$$\sigma'_v = N_c \cdot \tau_d + p_v = 6 * \frac{40}{1,4} + 0 = 171 \frac{kN}{m^2}$$

For å kunne ta opp en last på 1093,5 kN må fundamentet på overside av leire ha et areal på minimum $1093\text{kN}/171\text{kN/m}^2 = 6,39\text{ m}^2$ - dvs.en bredde og lengde på $2,52*2,52\text{ m}$.

Med trykkfordeling ned gjennom spregsteinlaget på 1:1, vil fotavtrykket på overside leire svare til $3,5*3,5\text{ m}$ hvilket er vesentlig større enn minimumskravet.

I drenert tilfelle oppnås det tilstrekkelig bæreevne på overside leire, under spregsteins fyllingen, for et fotavtrykk med en bredde og lengde på $3,6*3,6\text{ m}$, se vedlegg 3 for gjennomført bæreevneberegnung.

8.3.1 Konklusjon - fundament mobilkran

Det må masseutskiftes 1 m og bygges inn spregsteins-/kultfylling der mobilkranen skal stilles opp. Under fyllingen må legges ut separasjonsduk.

Under hver labb på mobilkranen må etableres et trykkfordelingsfundament / plate på $1,6\text{ m} * 1,6\text{ m}$ for å sikre tilstrekkelig spredning gjennom spregsteins-fylling til det underliggende lag av leire.

Det ligger imidlertid en privat vannledning Ø250 PVC samt kommunale ledninger vann Ø110 / overvann Ø160 / spillvann Ø110 der kranen skal stilles opp, se Figur 37. Det tillates kun et marktrykk svarende til ca. 128 kN/m^2 over ledningene, med en minimums overdekningen på 1,5 m. Med en last på 810 kN betyr det at under hver labb skal plasseres et fundament/plate på $2,5*2,5\text{ m}$ – som tilsvarer et marktrykk på $129,6\text{ kN}$.

Det medfører at fyllingsflaten som minimum må ha en bredde og lengde på $14*15\text{m}$.

9 Prosjektgjennomføring

I forbindelse med etablering av ny GS vei langs fv. 119 Larkollveien skal det etableres en GS-bru over bekken Evjeåa.

GS-brua fundamenteres på stålkjernepeler som føres til berg.

I forbindelse med etablering av bru skal det graves ut til landkar og betongtrau til mellom 2 og 3 meter under terreng.

9.1 Vann i gravegropene

Ved etablering av bruas østlige landkar og betongtrau vil utløp for eksisterende Ø300 OV-ledning være i konflikt med gravearbeider og permanent konstruksjon, se Figur 3. Ledningen må tettes/stenges før anleggsarbeidene kan starte. Dette må gjøres i god tid før anleggsstart, slik at terrenget ved utløpet får tørket opp.

Videre forventes det ikke innsig av større mengder vann på øst- eller vestsiden. Det anbefales likevel å etablere en bunn av pukk, minimum 200 mm, for å sikre mulighet for å holde gravegropene tørre, og sikre at utgravingsplanum ikke blir oppbløtt.

Ny OV-ledning på østsiden etableres enten under veien og gjennom GS-vei fylling noe lenger syd, eller så ledes vannet forbi tettet ledning og nordover til eksist. Ø1500-rør. Gjennomføring av evt. omlagt/boret ny Ø300-ledning beskrives i eget notat.

9.2 Utgraving for landkar og trau

Utgraving for landkar og trau kan utføres som frie utgravinger med skråningshellinger på 1:1,5.

Anleggslasten i forbindelse med utgraving for landkar og trau og bortkjøring av masser er satt til 20 kPa på den østlige side og 15kPa på den vestlige side.

På den østlige side av bekken skal det graves tett opp mot eksisterende FV 119 - her må trafikken legges om så det ikke går trafikk i veibanen nærmest utgravingen. Grøftesiden opp mot FV må midlertidig sikres mot erosjon med presenning eller tilsvarende.

9.3 Installasjon av stålkjernepeler

Det skal graves ut til 1m under terreng før det installeres stålkjernepeler. Når pelene er etablert, kan det graves ut til endelig nivå for kapping av peler og etablering av landkar og betongtrau.

De generelle krav til utførelse er gitt i NS-EN14199, NS 3420-G og prosesskode 2 og peleveiledingen 2019.

Stålforingsrøret må innbores minimum 1 m i godt berg, stålkjernepelen underbores 0,5 m under underkant foringsrør i henhold til anbefalinger i peleveiledningen 2019.

Alle skjøtene utføres med gjengeskjøt eller sveiseskjøt. Ved gjengeskjøt skal skjøten punktsveisnes og gjenget skjøt skal ha full kontakt på ikke gjenget areal. Sveiseskjøt utføres med minimum sveisedybde på 30 mm og utføres i henhold til bestemmelse i NS-EN 1090-2, utførelsesklasse EXC2.

Det må minimum være 20 mm overdekning ved omstøpning av stålkjernepelen, i henhold til prosesskode 2 og peleveiledningen 2019.

Gysemørtel må ha en bestandighetsklasse M40 og et vann-/sementforhold lik 0,44 eller mindre, i henhold til peleveiledningen 2019.

Ved installasjon av stålkjernepeler må poretrykket måles slik det ikke skjer en uhensiktsmessig oppbygging av poretrykket. Dette må vurderes i forbindelse med byggeplan.

9.4 Etablering av fundament for mobilkran

Ved etablering av fundament for mobilkran må det masseutskiftes ca. 1 meter med sprengstein/kult for å sikre tilstrekkelig bæreevne.

Det anbefales at masseutskifting gjøres i seksjoner på ca. 20 m².

Masser som graves ut kan ikke lagres på plassen, men må kjøres bort.

9.4.1 Drenering av kranfundamentet

Det forventes ikke mye innsig av vann i masseutskiftingen/kranfyllingen fra omkringliggende terren, men det må sikres at det vann som kommer (f.eks. ved nedbør) kan renne ut av fyllingen igjen. Dette sikres ved å etablere drenskanal/-ledning ved fyllingens laveste punkt og ut mot eksisterende bekke.

10 Punkter som må kontrolleres under utførelsen

I forbindelse med gjennomføring av utgraving for landkar og trau samt etablering av stålkjernepeler skal følgende som minimum kontrolleres.

- 1 At det innen igangsettelse utarbeides arbeidsbeskrivelse, graveplan, snitt og SJA-plan.
- 2 At det graves til riktig dybde med riktig bredde og helning på graveskråningene.
- 3 At grunnforholdene er som beskrevet i denne rapport
- 4 At utgravingene holdes fri for vann når de står åpne
- 5 At det sikres at det er satt opp riktig avsperring så omlagt trafikk ikke kan kjøre i nærmeste kjørefelt mot utgravingen
- 6 At det sikres at eventuell anleggstrafikk holdes minimum 1 meter fra kanten av utgraving, og at det ikke legges opp gravemasser på siden av utgravingene, men at disse kjøres bort.
- 7 At det tilbakefylles med masser i henhold til prosjekttegninger
- 8 At det maksimalt graves av 1 m før installasjon av stålkjernepeler
- 9 At installerte stålkjernepeler har riktig dimensjon og lengde. At peler og foringsrør installeres til korrekt dybde. At det gyses med riktig mørtel med korrekt styrke.
- 10 At det installeres poretrykkmålere for å overvåke poretrykk under installasjon av stålkjernepeler.
- 11 At det sikres at det føres logg og det fylles ut sjekklisten, eller tilsvarende egenkontroll iht. entreprenørens kvalitetssikringssystem
- 12 At maksimum tillatte anleggslaster etterfølges
Østlig side: Anleggslast = 20 kPa for all aktivitet
Vestlig side: Anleggslast = 15 kPa på terrenget ovenfor utgraving
Anleggslast = 20 kPa ved installasjon av peler

11 Referanser

- [1] Direktoratet for byggkvalitet, Byggesaksforskriften (SAK10) med veiledning, 2011.
- [2] Direktoratet for byggkvalitet, Byggteknisk forskrift (TEK17) med veiledning, 2017.
- [3] Norges vassdrags- og energidirektorat, Sikkerhet mot kvikkleireskred, 2019.
- [4] COWI, Flomberegning for FV 119 GS-Veg Dilling-Vang kulvert. A116326-RAP-HYD-001 (08.02.2021).
- [5] NS-EN 1998-1:2004+A1:2013+NA:2021, Prosjektering av konstruksjoner for seismisk påvirkning.
- [6] NS-EN 1998-2:2005+AC+A2+NA, Prosjektering av konstruksjoner for seismisk påvirkning, del 2 bruver.
- [7] NS-EN1998-1:2004+A1:2013+NA, Prosjektering av konstruksjoner for seismisk påvirkning.
- [8] SVV håndbok N400 Bruprojektering, 2023.
- [9] SVV håndbok N200 Vegbygging, 2022.
- [10] Kommunal-moderniseringsdepartementet, PBL, Plan og bygningsloven.
- [11] Byggesaksforskrift (SAK10). Direktoratet for byggekvalitet.
- [12] NS/EN 1997-1:2004+NA:2020, geotekniskprosjekteringdel 1, Allmenne regler /Eurokode7) Norsk Standard, 2016.
- [13] NS-EN 1990:2002+A1:2005+NA:2016, Grunnlag for prosjektering av konstruksjoner.
- [14] SVV håndbok V220 Geoteknikk i vegbygging, 2023.
- [15] SVV håndbok V221 Grunnforsterkning, fyllinger og skråninger, 2014
- [16] NS-EN 1997-1:2004+A1:2013+NA:2020: Geoteknisk prosjektering Allmenne regler.

Tolkning av trykksonderinger CPTu

CPTu Bru6

CPTu 16

Sonde og utførelse

| | | | |
|------------------|--------------|---------------------------|------|
| Sonenummer | 4554 | Boreleder | AAVA |
| Type sonde | Nova | Temperaturendring (°C) | 2 |
| Kalibreringsdato | 29-04-2023 | Maks helning (°) | 12,2 |
| Dato sondering | 24-10-2023 | Maks avstand målinger (m) | 0,02 |
| Filtertype | Spaltefilter | | |

Kalibreringsdata

| | Spissmotstand | Sidefriksjon | Poretrykk |
|--------------------------------------|---------------|--------------|-----------|
| Maksimal last (MPa) | 50 | 0,5 | 2 |
| Måleområde (MPa) | 50 | 0,5 | 2 |
| Skaleringsfaktor | 1587 | 3671 | 2397 |
| Oppløsning 2 ¹² bit (kPa) | - | - | - |
| Oppløsning 2 ¹⁸ bit (kPa) | 0,4807 | 0,0104 | 0,0318 |
| Arealforhold | 0,8500 | 0,0020 | |
| Maks ubelastet temp. effekt (kPa) | 36,035 | 0,56 | 1,304 |
| Temperaturområde (°C) | 35 | | |

Nullpunktsskontroll

| | NA | NB | NC |
|----------------------------------|--------|-------|-------|
| Registrert før sondering (kPa) | 5908,2 | 128,6 | 387,9 |
| Registrert etter sondering (kPa) | -31,7 | 0,0 | -2,2 |
| Avvik under sondering(kPa) | 31,7 | 0,0 | 2,2 |
| Maksimal temperatureffekt (kPa) | 2,1 | 0,0 | 0,1 |
| Maksverdi under sondering (kPa) | 7841,8 | 121,4 | 757,8 |

Vurdering av anvendelsesklasse ihht. ISO 22476-1:2012

| | Spissmotstand | Sidefriksjon | Poretrykk | |
|---------------------------------|---------------|--------------|------------|------------|
| | (kPa) | (%) | (kPa) | (%) |
| Samlet nøyaktighet (kPa) | 34,2 | 0,4 | 0,0 | 0,0 |
| Tillatt nøyaktighet klasse 1 | 35 | 5 | 5 | 10 |
| Tillatt nøyaktighet klasse 2 | 100 | 5 | 15 | 15 |
| Tillatt nøyaktighet klasse 3 | 200 | 5 | 25 | 15 |
| Tillatt nøyaktighet klasse 4 | 500 | 5 | 50 | 20 |
| Anvendelsesklasse | 1 | 1 | 1 | 1 |
| Anvendelsesklasse måleintervall | 1 | | | |
| Anvendelsesklasse | 1 | | | |

Måleverdier under kapasitet/krav

| Spissmotstand | Sidefriksjon | Poretrykk | Helning | Temperatur |
|---------------|--------------|-----------|---------|------------|
| OK | OK | OK | OK | OK |

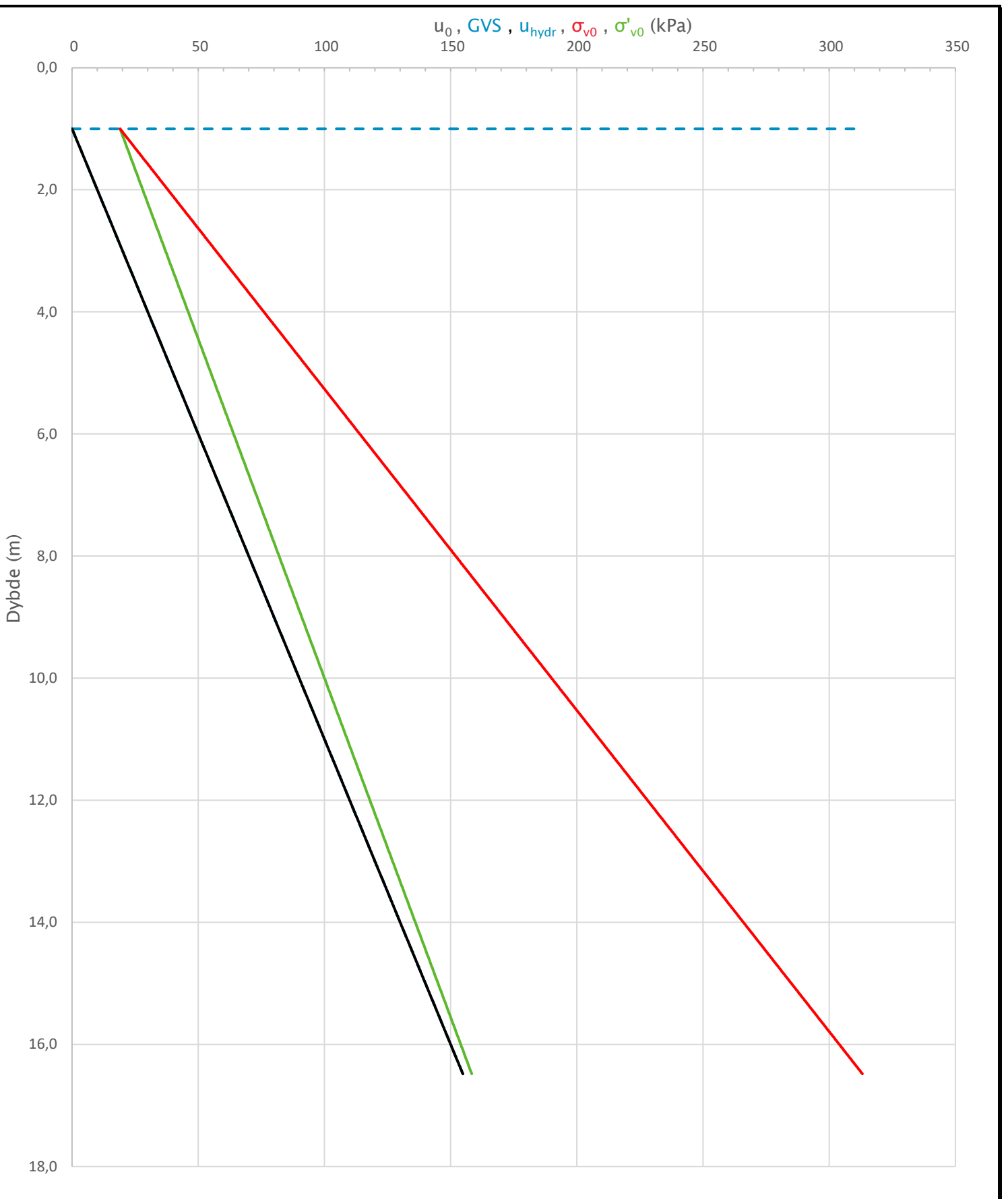
Kommentarer:

| | | |
|---------------------------------|-------------------------|------------------------|
| Prosjekt Dilling-Vang | Prosjektnummer: A268914 | Borhull Bru6 |
|---------------------------------|-------------------------|------------------------|

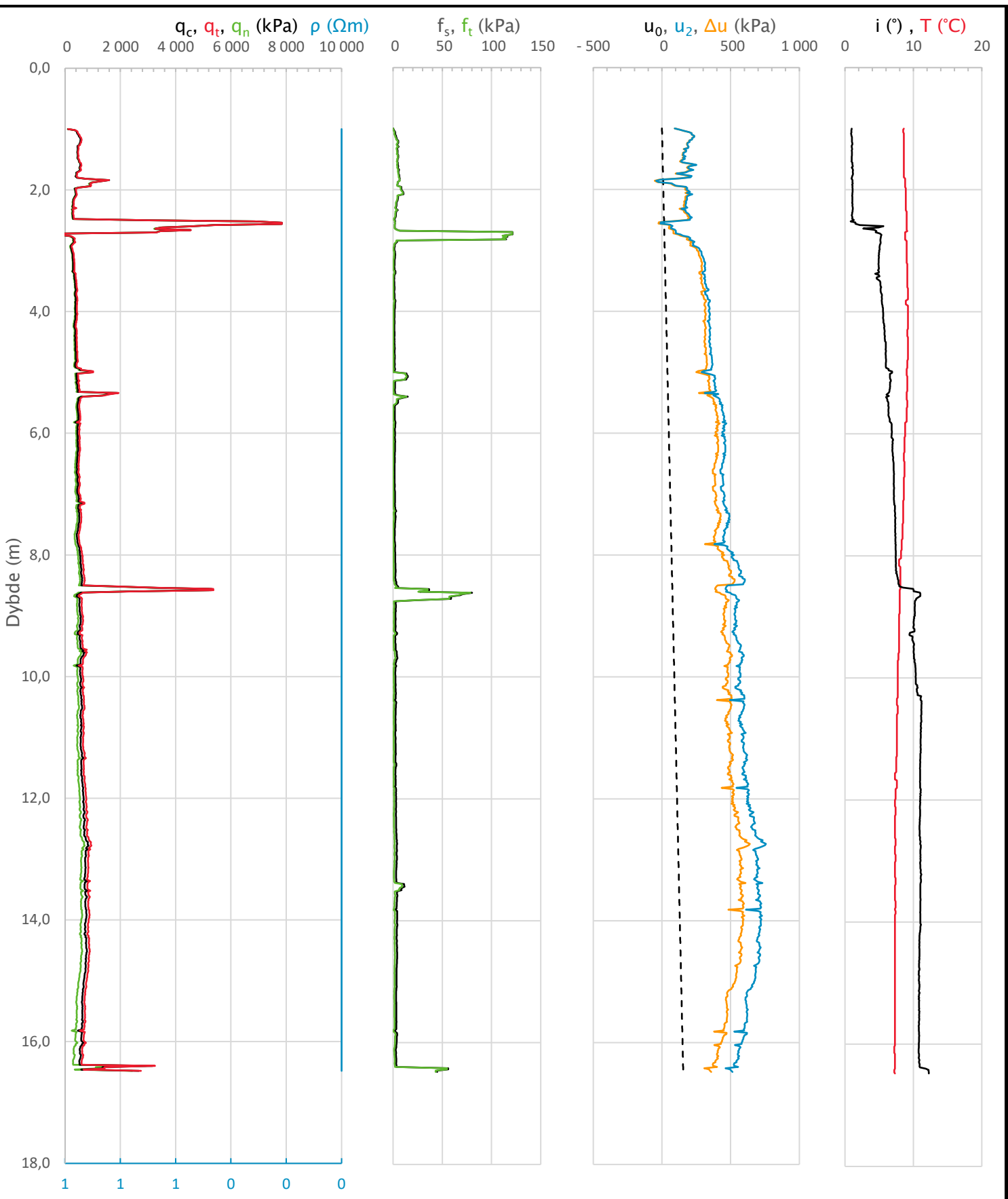
| | |
|---------|------------|
| Innhold | Sonenummer |
|---------|------------|

| | |
|--|------|
| Dokumentasjon av utstyr og målenøyaktighet | 4554 |
|--|------|

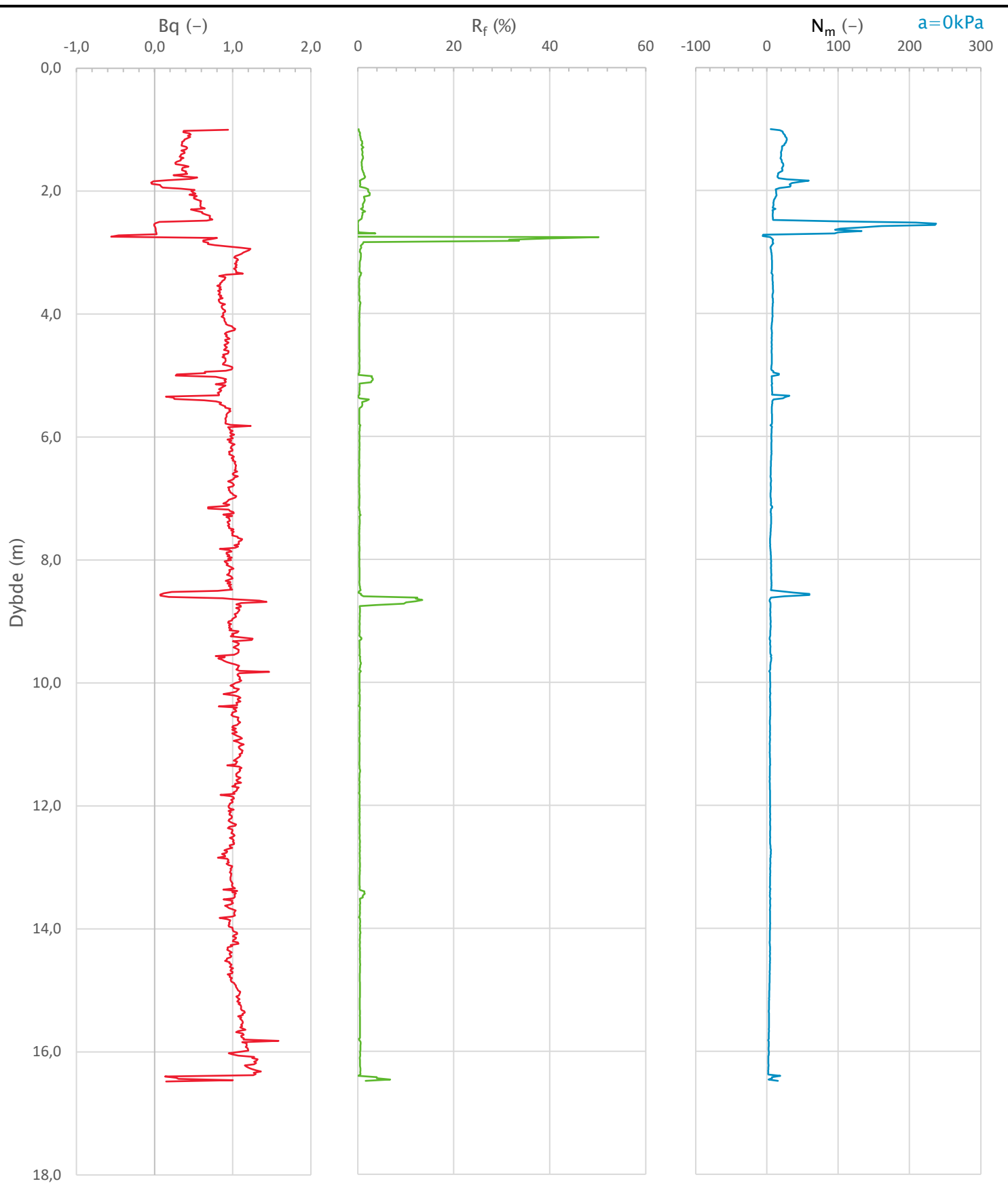
| | | | | |
|-------------|-------------------------------|------------------------------|-----------------------|--------------------|
| COWI | Utført CBNI | Kontrollert MDMR | Godkjent CBNI | Anvend.klasse 1 |
| | Divisjon Ekstern konsulent | Dato sondering 24-10-2023 | Revisjon Rev. dato | Figur 1 |



| | | | | |
|---|-------------------------------|------------------------------|-----------------------|----------------------------|
| Prosjekt Dilling-Vang | Prosjektnummer: A268914 | | | Borhull Bru6 |
| Innhold In-situ poretrykk, total- og effektiv vertikalspenning i beregninger | | | | Sondenummer 4554 |
| COWI | Utført CBNI | Kontrollert MDMR | Godkjent CBNI | Anvend.klasse 1 |
| | Divisjon Ekstern konsulent | Dato sondering 24-10-2023 | Revisjon Rev. dato | Figur 2 |



| | | |
|------------------------------------|-------------------------------|----------------------------|
| Prosjekt Dilling-Vang | Prosjektnummer: A268914 | Borhull Bru6 |
| Innhold | | Sondenummer 4554 |
| Måledata og korrigerte måleverdier | | |
| COWI | Utført CBNI | Kontrollert MDMR |
| | Divisjon Ekstern konsulent | Godkjent CBNI |
| | | Anvend.klasse 1 |
| | Date sondering 24-10-2023 | Revisjon Rev. dato |
| | | Figur 3 |



| | | |
|---|------------------------------|----------------------------|
| Prosjekt Dilling-Vang | Prosjektnummer: A268914 | Borhull Bru6 |
| Innhold Avleddede dimensjonsløse forhold | | Sondenummer 4554 |
| COWI | Utført CBNI | Kontrollert MDMR |
| Ekstern konsulent | Date sondering 24-10-2023 | Godkjent CBNI |
| | | Anvend.klasse 1 |
| | | Figur 4 |

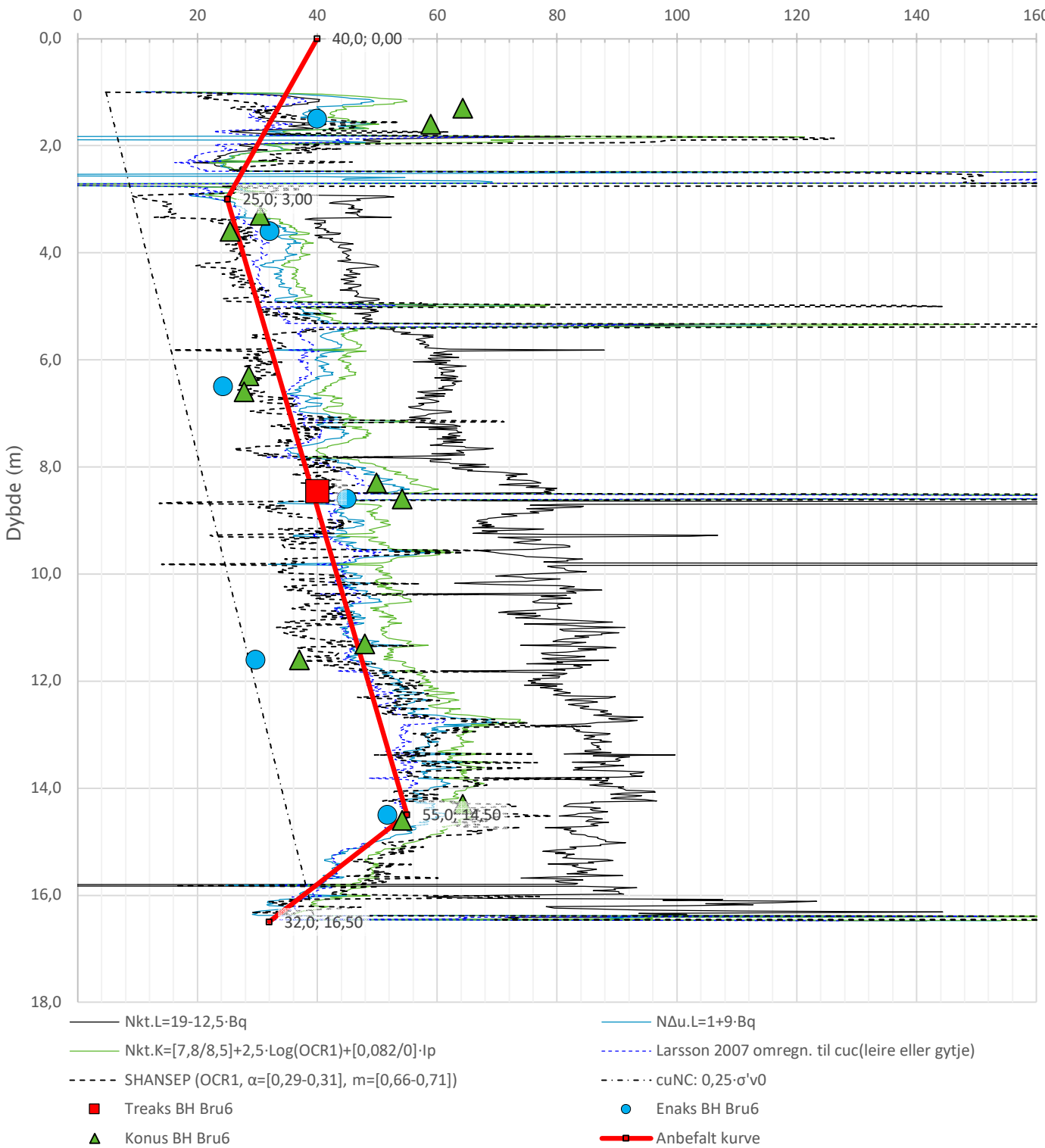
Anisotropiforhold i figur:

Treaks BH Bru6: $c_{uC}/c_{uCPTU} = 1,000$

Enaks BH Bru6: $c_{uUC}/c_{uCPTU} = 0,630$

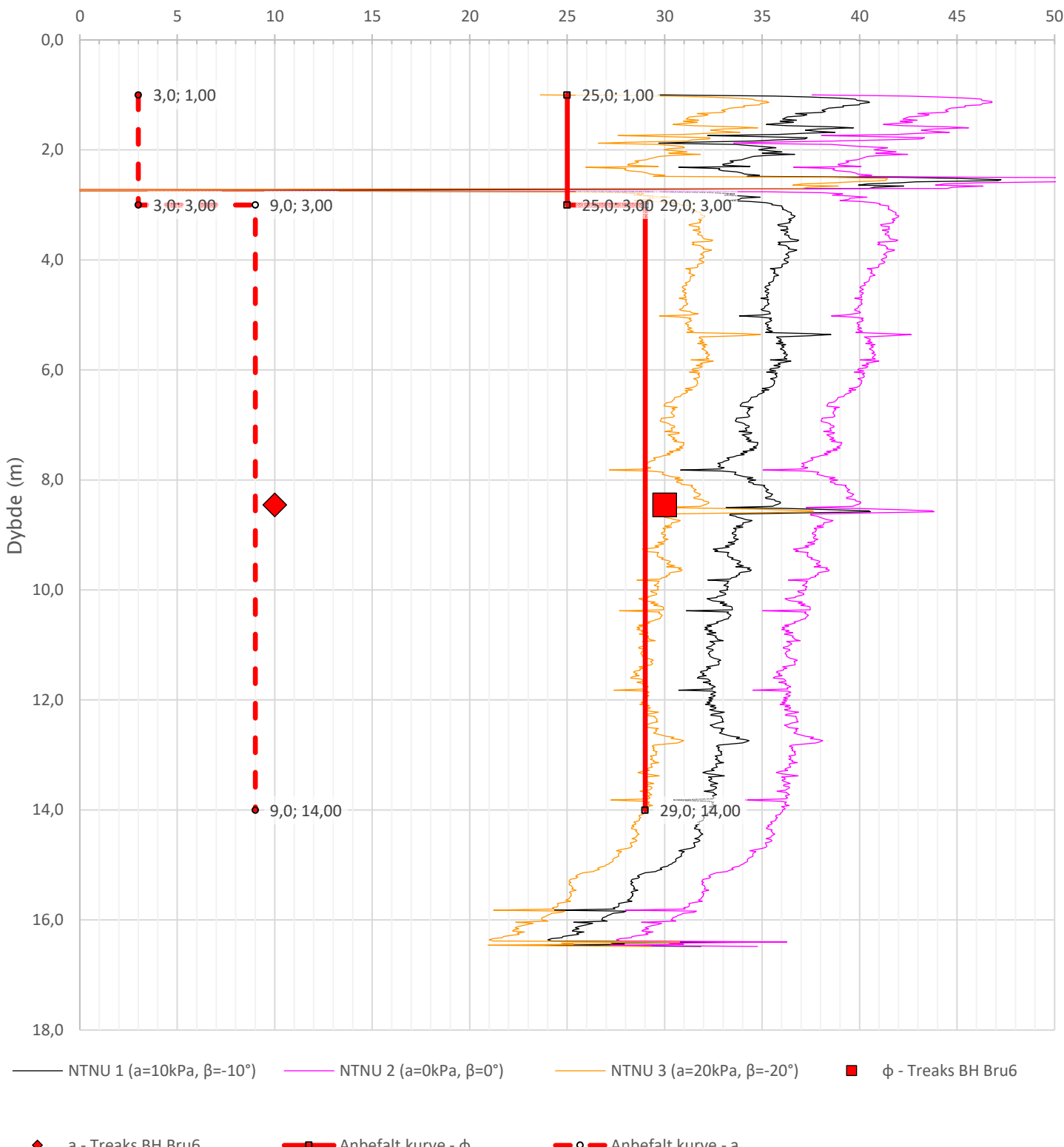
Konus BH Bru6: $c_{uFC}/c_{uCPTU} = 0,630$

Udrenert aktiv skjærfasthet, c_{uCPTU} (kPa)

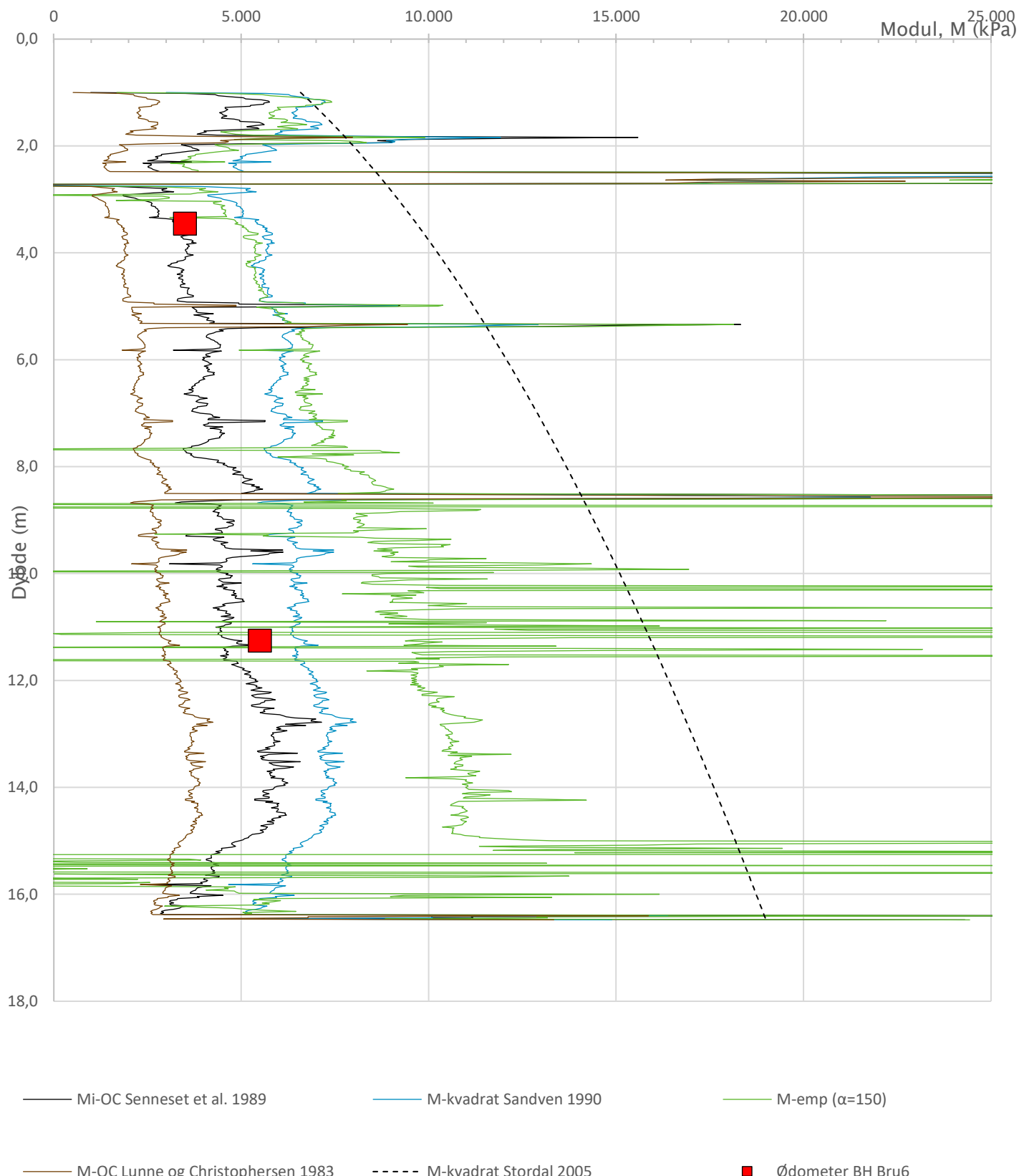


| Prosjekt | Prosjektnummer: | Borhull | | |
|---|---|---|---|----------------------------------|
| Dilling-Vang | A268914 | Bru6 | | |
| Innhold | Sondenummer | | | |
| Tolkning av udrenert aktiv skjærfasthet | 4554 | | | |
| COWI | Utført CBNI Divisjon Ekstern konsulent | Kontrollert MDMR Dato sondering 24-10-2023 | Godkjent CBNI Revisjon Rev. dato | Anvend.klasse 1 Figur 5 |

Friksjonsvinkel, ϕ ($^{\circ}$)
attraksjon, a (kPa)

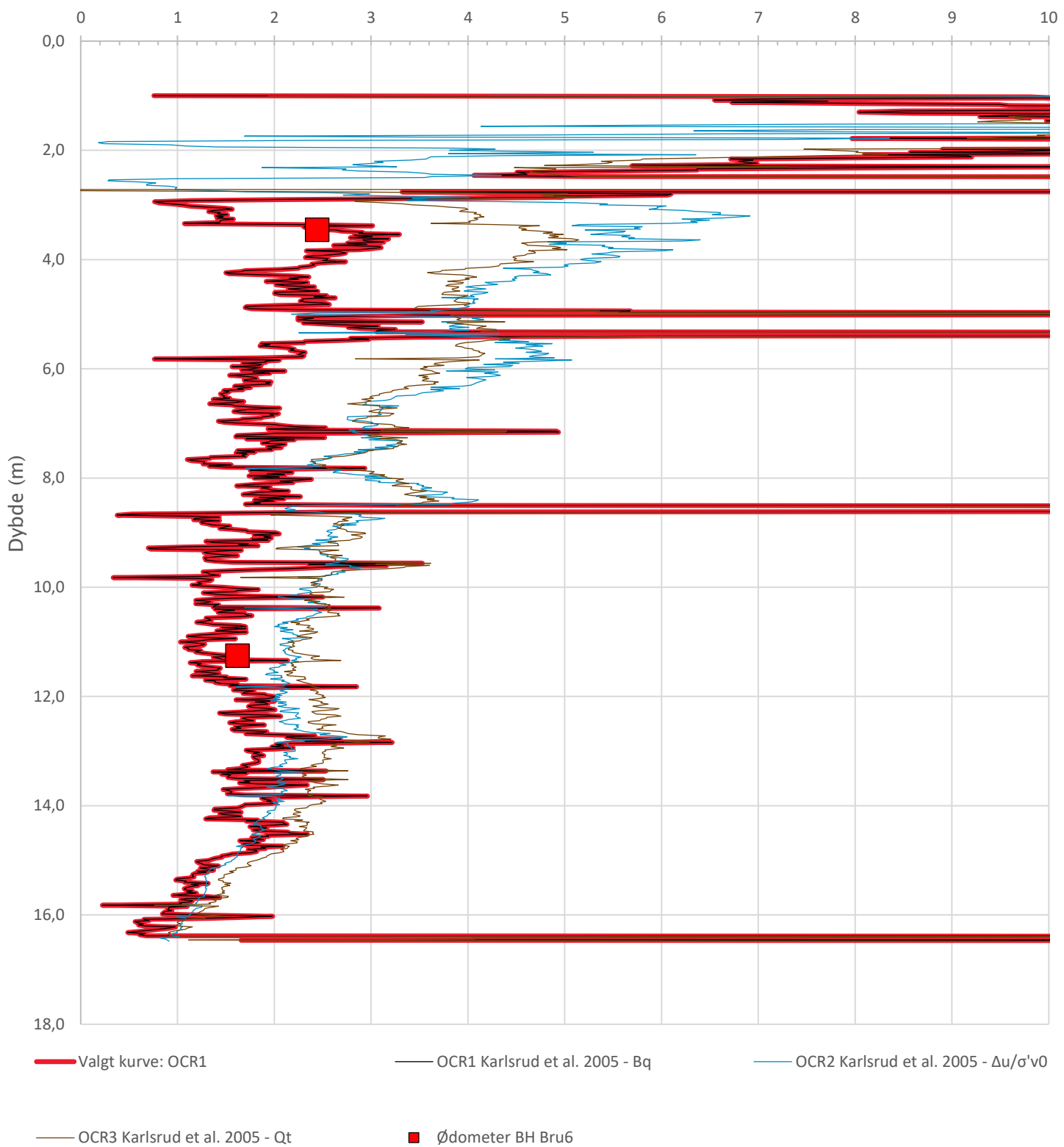


| | | |
|---|------------------------------|----------------------------|
| Prosjekt Dilling-Vang | Prosjektnummer: A268914 | Borhull Bru6 |
| Innhold | | Sondenummer 4554 |
| Tolkning av friksjonsvinkel og attraksjon | | |
| COWI | Utført CBNI | Kontrollert MDMR |
| Ekstern konsulent | Date sondering 24-10-2023 | Godkjent CBNI |
| | Revisjon | Anvend.klasse 1 |
| | Rev. dato | Figur 6 |



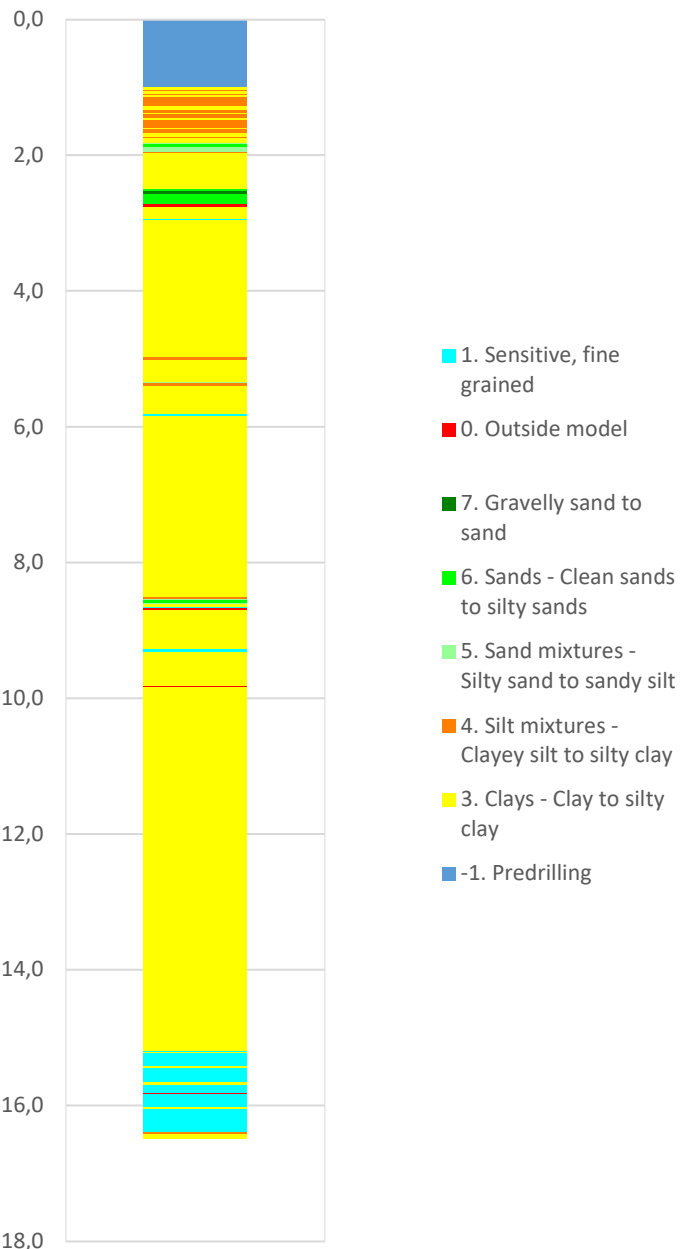
| | | |
|---------------------------------|------------------------------|----------------------------|
| Prosjekt Dilling-Vang | Prosjektnummer: A268914 | Borhull Bru6 |
| Innhold | | Sondenummer 4554 |
| Tolkning av modul | | |
| COWI | Utført CBNI | Kontrollert MDMR |
| Ekstern konsulent | Date sondering 24-10-2023 | Godkjent CBNI |
| | Revisjon Rev. dato | Anvend.klasse 1 |
| | | Figur 7 |

Overkonsolideringsgrad, OCR (-)

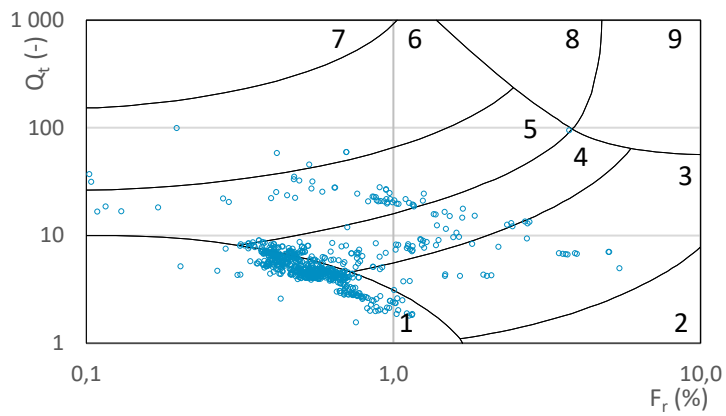
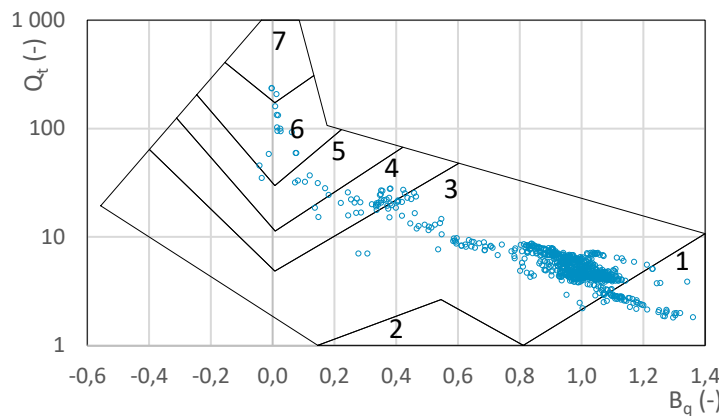
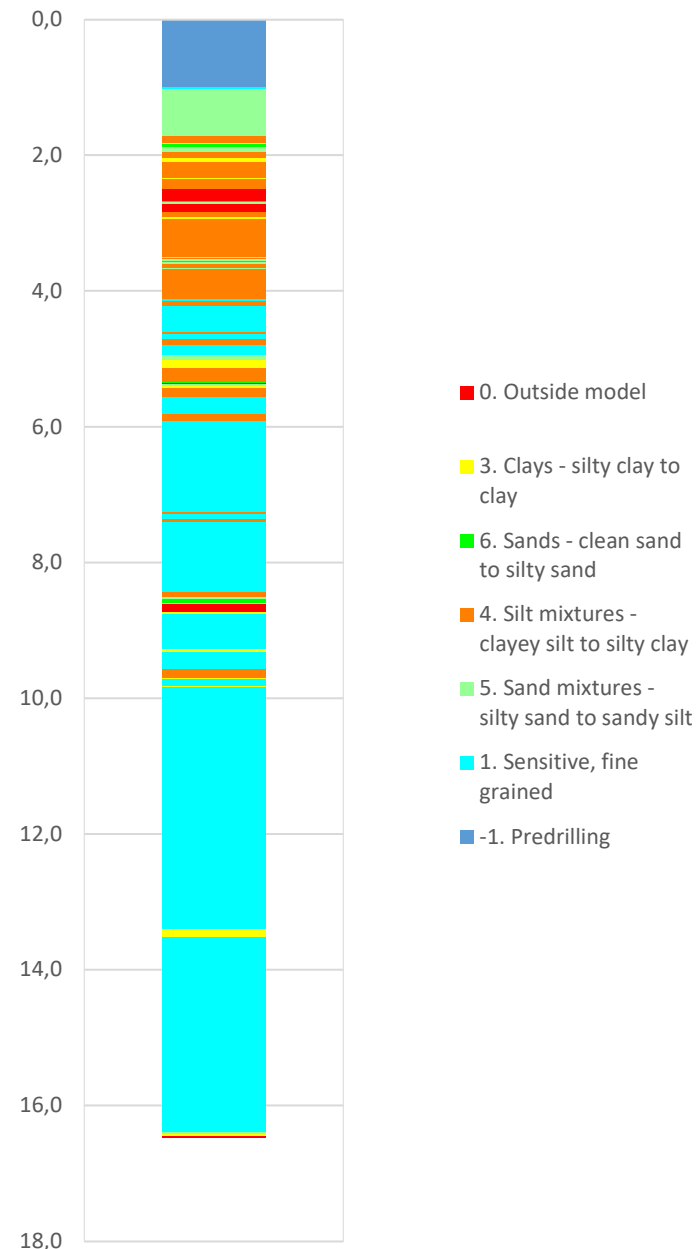


| | | | | |
|--|-------------------------------|------------------------------|-----------------------|----------------------------|
| Prosjekt Dilling-Vang | Prosjektnummer: A268914 | | | Borhull Bru6 |
| Innhold Overkonsolideringsgrad, OCR | | | | Sondenummer 4554 |
| COWI | Utført CBNI | Kontrollert MDMR | Godkjent CBNI | Anvend.klasse 1 |
| | Divisjon Ekstern konsulent | Dato sondering 24-10-2023 | Revisjon Rev. dato | Figur 8 |

Robertson 1990 (Bq-Qt)



Robertson 1990 (Fr-Qt)



Prosjekt

Dilling-Vang

Prosjektnummer: A268914

Borhull

Bru6

Innhold

Jordartsklassifisering etter Robertsson 1990

Sondenummer

4554

COWI

Utført
CBNI

Kontrollert
MDMR

Godkjent
CBNI

Anvend.klasse
1

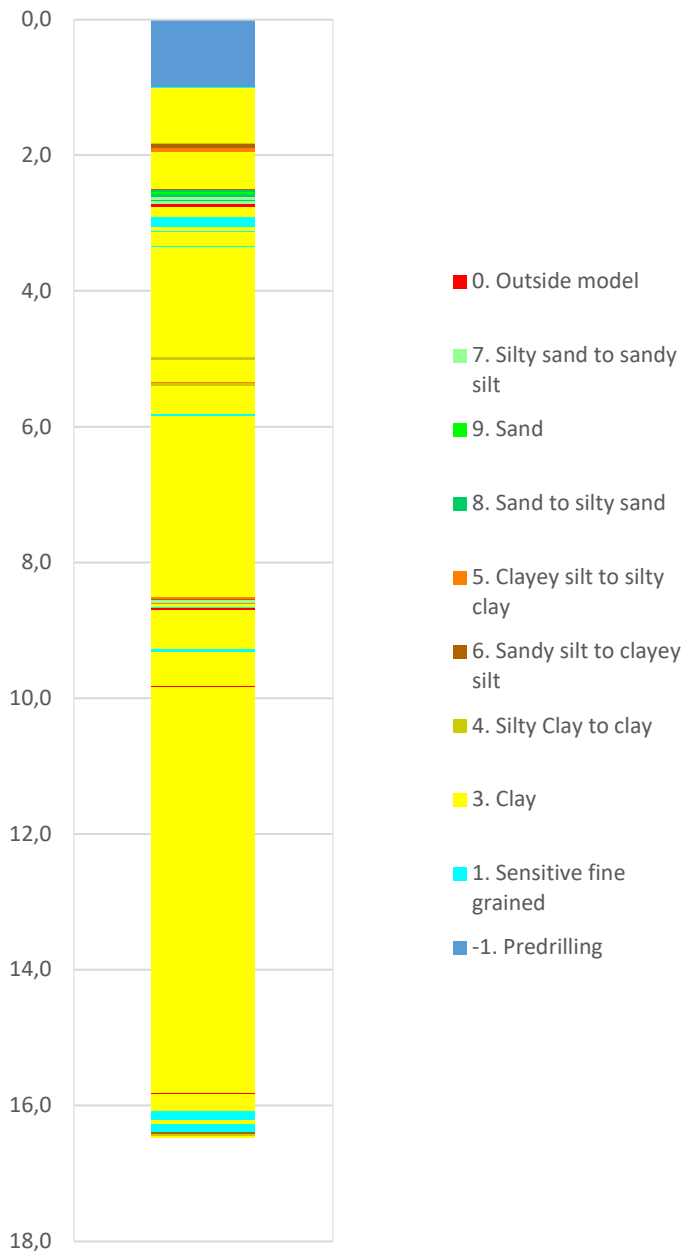
Divisjon
Ekstern konsulent

Dato sondering
24-10-2023

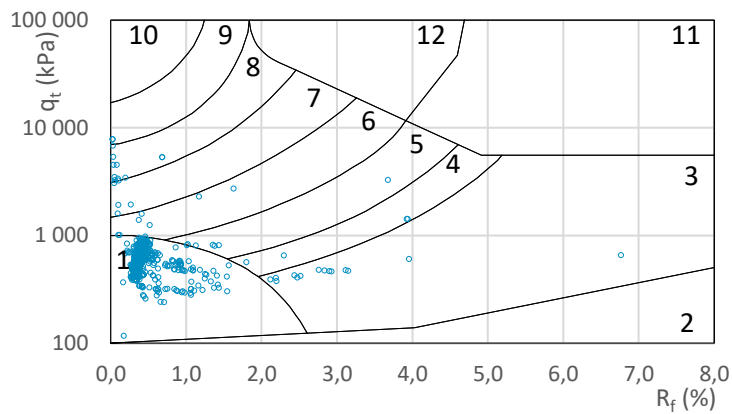
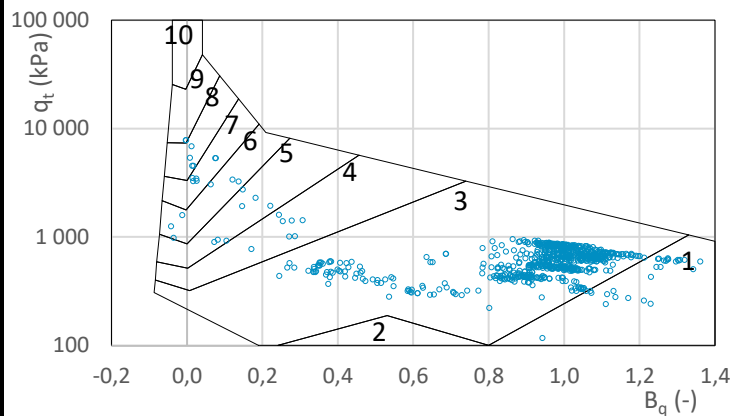
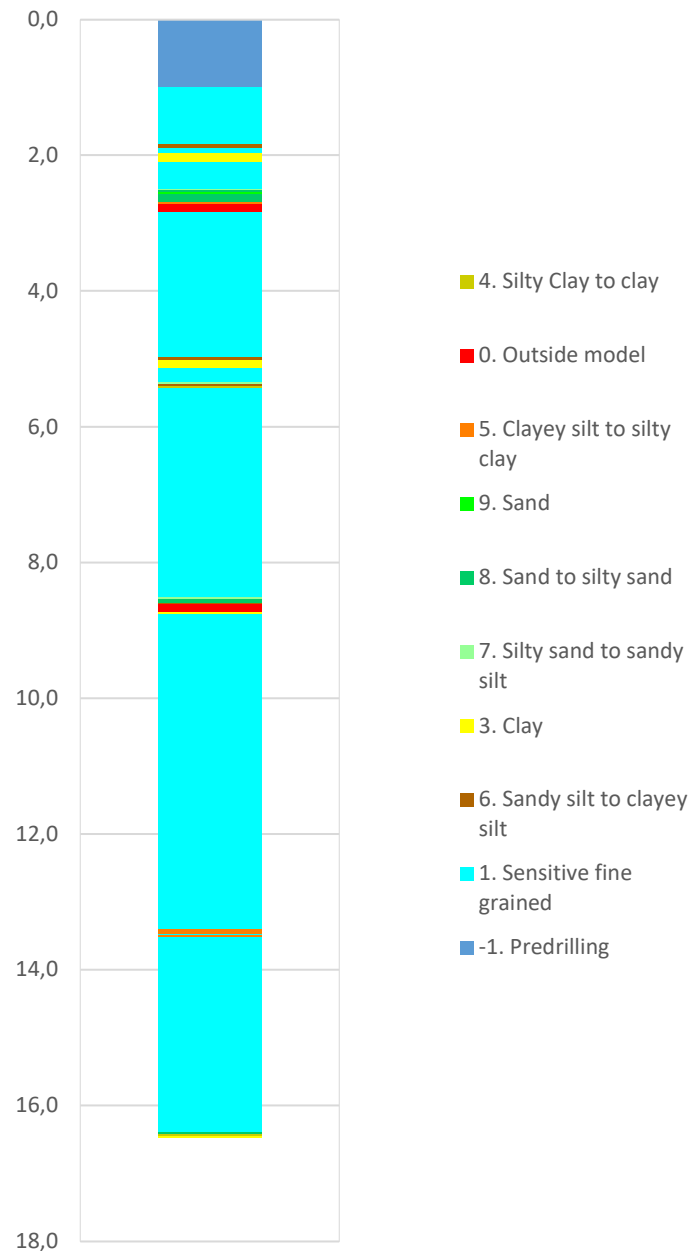
Revisjon
Rev. dato

Figur
16

Robertson et al. 1986 (Bq-qt)



Robertson et al. 1986 (Rf-qt)



Prosjekt

Dilling-Vang

Prosjektnummer: A268914

Borhull

Bru6

Innhold

Jordartsklassifisering etter Robertson et al. 1986

Sondenummer

4554

COWI

Utført
CBNI

Kontrollert
MDMR

Godkjent
CBNI

Anvend.klasse
1

Divisjon
Ekstern konsulent

Dato sondering
24-10-2023

Revisjon
Rev. dato

Figur
17

Sonde og utførelse

| | | | |
|------------------|---------------|---------------------------|------|
| Sonenummer | 4534 | Boreleder | ADKM |
| Type sonde | Nova | Temperaturendring (°C) | 3,5 |
| Kalibreringsdato | 08-04-2021 | Maks helning (°) | 2,8 |
| Dato sondering | 25-05-2021 | Maks avstand målinger (m) | 0,02 |
| Filtertype | Porøst filter | | |

Kalibreringsdata

| | Spissmotstand | Sidefriksjon | Poretrykk |
|--------------------------------------|---------------|--------------|-----------|
| Maksimal last (MPa) | 50 | 0,5 | 2 |
| Måleområde (MPa) | 50 | 0,5 | 2 |
| Skaleringsfaktor | 1674 | 3676 | 3665 |
| Oppløsning 2 ¹² bit (kPa) | - | - | - |
| Oppløsning 2 ¹⁸ bit (kPa) | 0,4563 | 0,0104 | 0,0208 |
| Arealforhold | 0,8580 | 0,0020 | |
| Maks ubelastet temp. effekt (kPa) | 15,505 | 0,321 | 1,81 |
| Temperaturområde (°C) | 35 | | |

Nullpunktsskontroll

| | NA | NB | NC |
|----------------------------------|--------|-------|-------|
| Registrert før sondering (kPa) | 5628,9 | 127,0 | 253,9 |
| Registrert etter sondering (kPa) | 3,7 | 0,1 | -0,9 |
| Avvik under sondering(kPa) | 3,7 | 0,1 | 0,9 |
| Maksimal temperatureffekt (kPa) | 1,6 | 0,0 | 0,2 |
| Maksverdi under sondering (kPa) | 2132,0 | 37,0 | 445,1 |

Vurdering av anvendelsesklasse ihht. ISO 22476-1:2012

| | Spissmotstand | | Sidefriksjon | | Poretrykk | |
|---------------------------------|---------------|------------|--------------|------------|------------|------------|
| | (kPa) | (%) | (kPa) | (%) | (kPa) | (%) |
| Samlet nøyaktighet (kPa) | 5,7 | 0,3 | 0,1 | 0,4 | 1,1 | 0,2 |
| Tillatt nøyaktighet klasse 1 | 35 | 5 | 5 | 10 | 10 | 2 |
| Tillatt nøyaktighet klasse 2 | 100 | 5 | 15 | 15 | 25 | 3 |
| Tillatt nøyaktighet klasse 3 | 200 | 5 | 25 | 15 | 50 | 5 |
| Tillatt nøyaktighet klasse 4 | 500 | 5 | 50 | 20 | | |
| Anvendelsesklasse | 1 | 1 | 1 | 1 | 1 | 1 |
| Anvendelsesklasse måleintervall | 1 | | | | | |
| Anvendelsesklasse | 1 | | | | | |

Måleverdier under kapasitet/krav

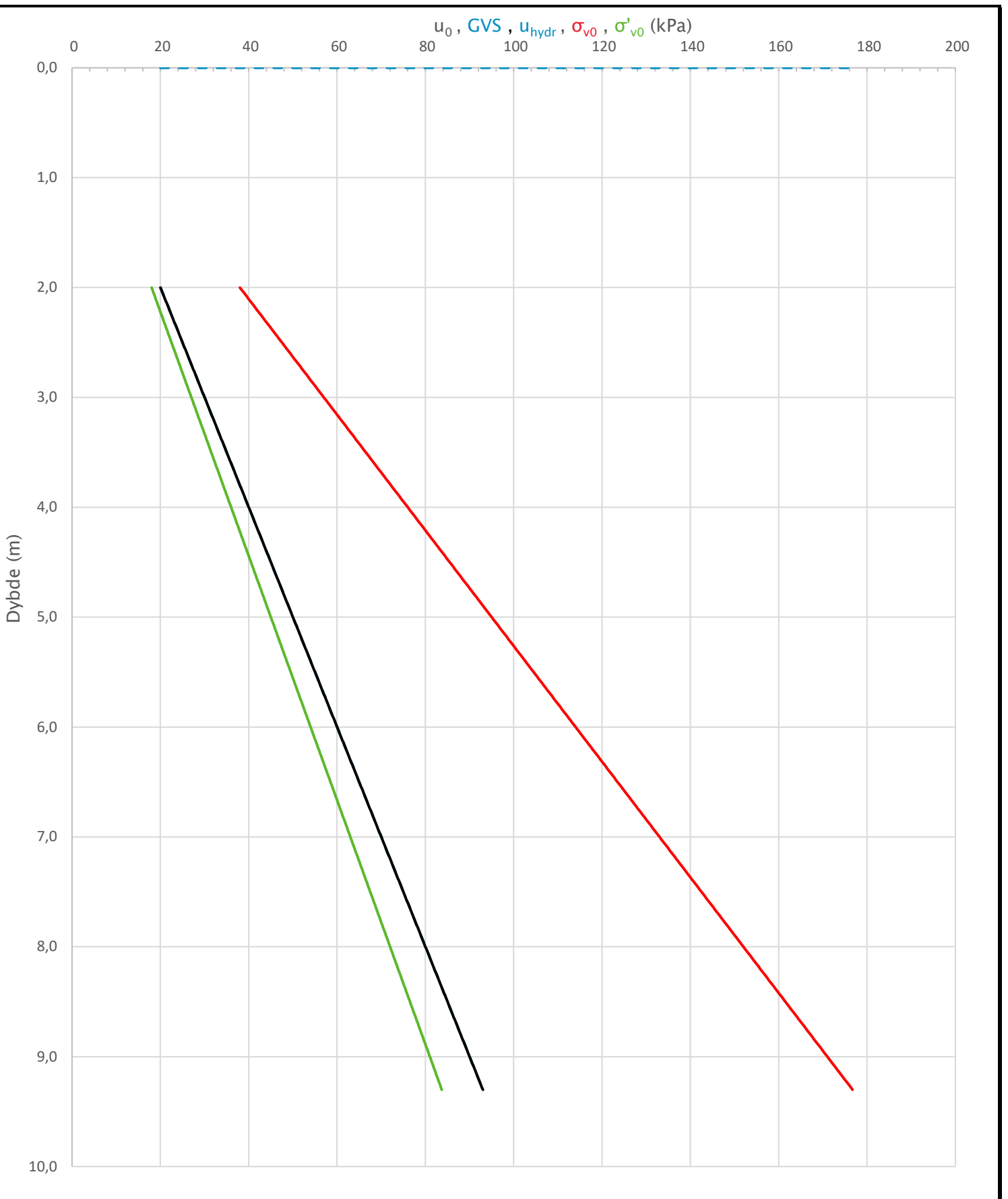
| Spissmotstand | Sidefriksjon | Poretrykk | Helning | Temperatur |
|---------------|--------------|-----------|---------|------------|
| OK | OK | OK | OK | OK |

Kommentarer:

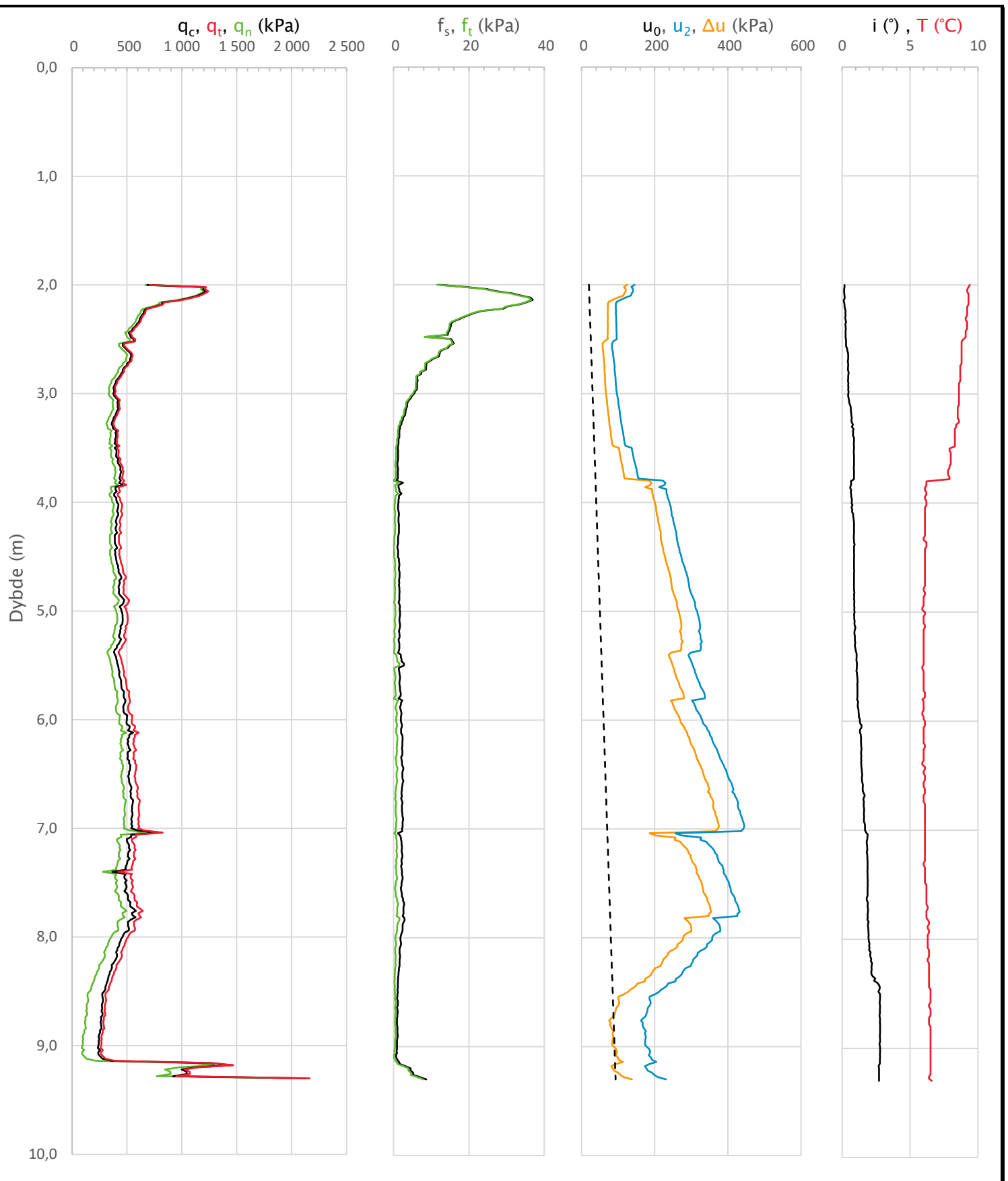
| | | |
|--|-------------------------|------------------------|
| Prosjekt FV119 GS-veg Dilling-Vang | Prosjektnummer: A228076 | Borhull BH16 |
|--|-------------------------|------------------------|

| | |
|---|---------------------------|
| Innhold Dokumentasjon av utstyr og målenøyaktighet | Sonenummer 4534 |
|---|---------------------------|

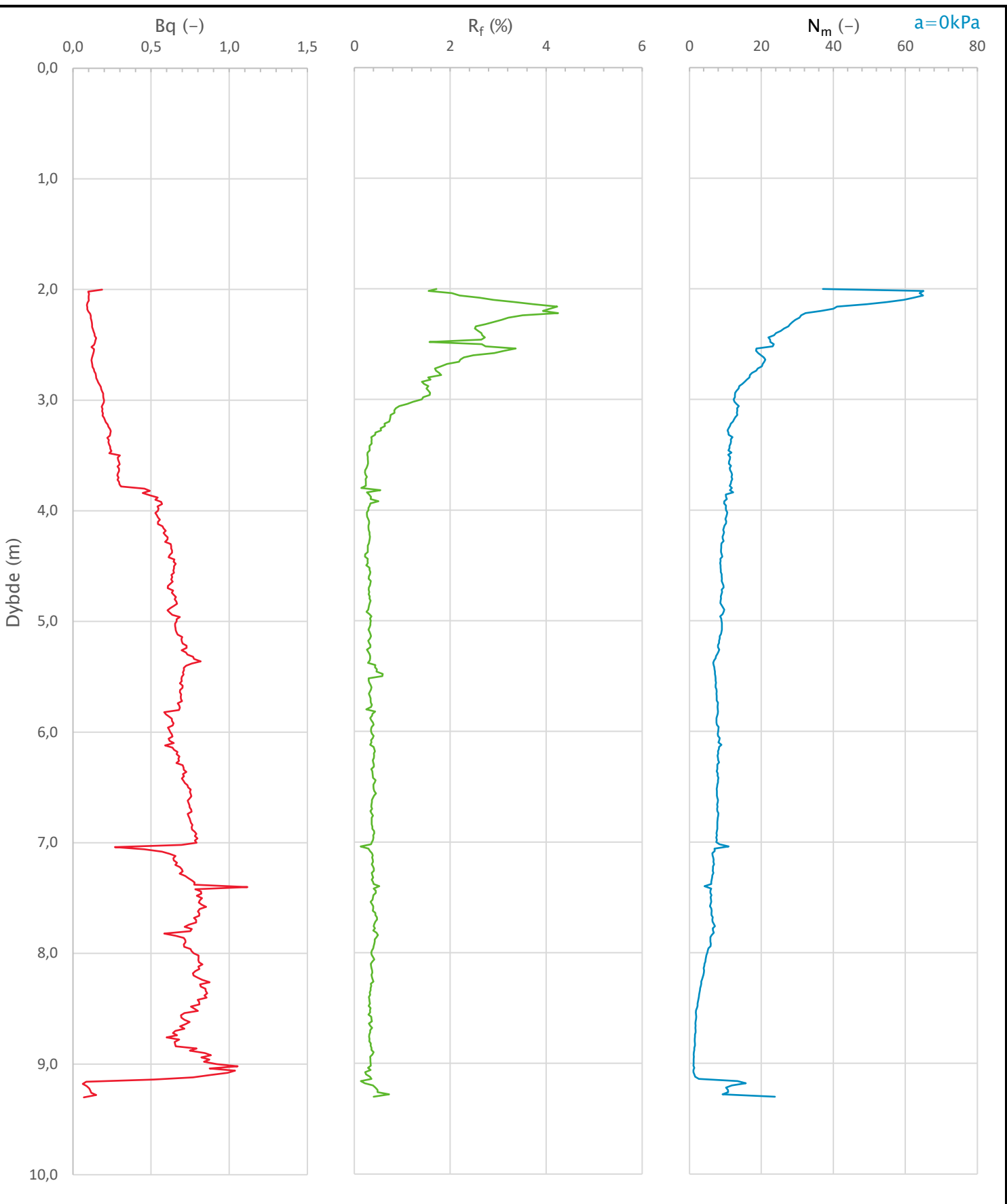
| | | | | |
|-------------|-------------------------------|------------------------------|-----------------------|--------------------|
| COWI | Utført CBNI | Kontrollert MDMR | Godkjent MDMR | Anvend.klasse 1 |
| | Divisjon Ekstern konsulent | Dato sondering 25-05-2021 | Revisjon Rev. dato | Figur 1 |



| | | |
|---|-------------------------------|----------------------------|
| Prosjekt FV119 GS-veg Dilling-Vang | Prosjektnummer: A228076 | Borhull BH16 |
| Innhold In-situ poretrykk, total- og effektiv vertikalspenning i beregninger | | Sondenummer 4534 |
| COWI | Utført CBNI | Kontrollert MDMR |
| Ekstern konsulent | Date sondering 25-05-2021 | Godkjent MDMR |
| | | Anvend.klasse 1 |
| | Divisjon Ekstern konsulent | Revisjon Rev. dato |
| | | Figur 2 |



| | | |
|---|-------------------------------|----------------------------|
| Prosjekt FV119 GS-veg Dilling-Vang | Prosjektnummer: A228076 | Borhull BH16 |
| Innhold Måledata og korrigerte måleverdier | | Sondenummer 4534 |
| COWI | Utført CBNI | Kontrollert MDMR |
| Ekstern konsulent | Date sondering 25-05-2021 | Godkjent MDMR |
| | | Anvend.klasse 1 |
| | Divisjon Ekstern konsulent | Revisjon Rev. dato |
| | | Figur 3 |



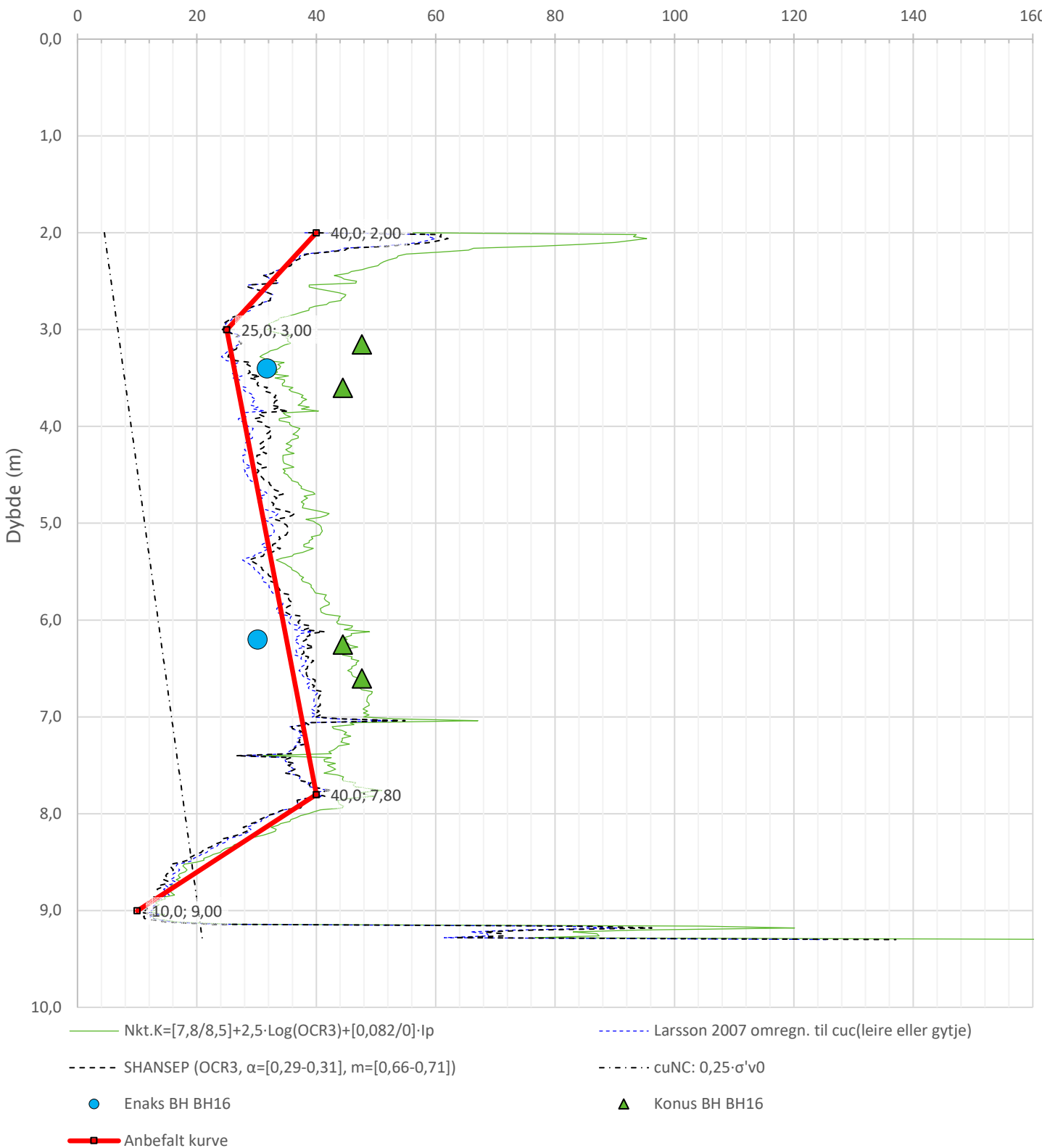
| | | | | |
|--|---|---|---|--|
| Prosjekt FV119 GS-veg Dilling-Vang | Prosjektnummer: A228076 | Borhull BH16 | | |
| Innhold Avleddede dimensjonsløse forhold | | Sondenummer 4534 | | |
| COWI | Utført CBNI Divisjon Ekstern konsulent | Kontrollert MDMR Data sondering 25-05-2021 | Godkjent MDMR Revisjon Rev. dato | Anvend.klasse 1 Figur 4 |

Anisotropiforhold i figur:

Enaks BH BH16: cuuc/cucptu = 0,630

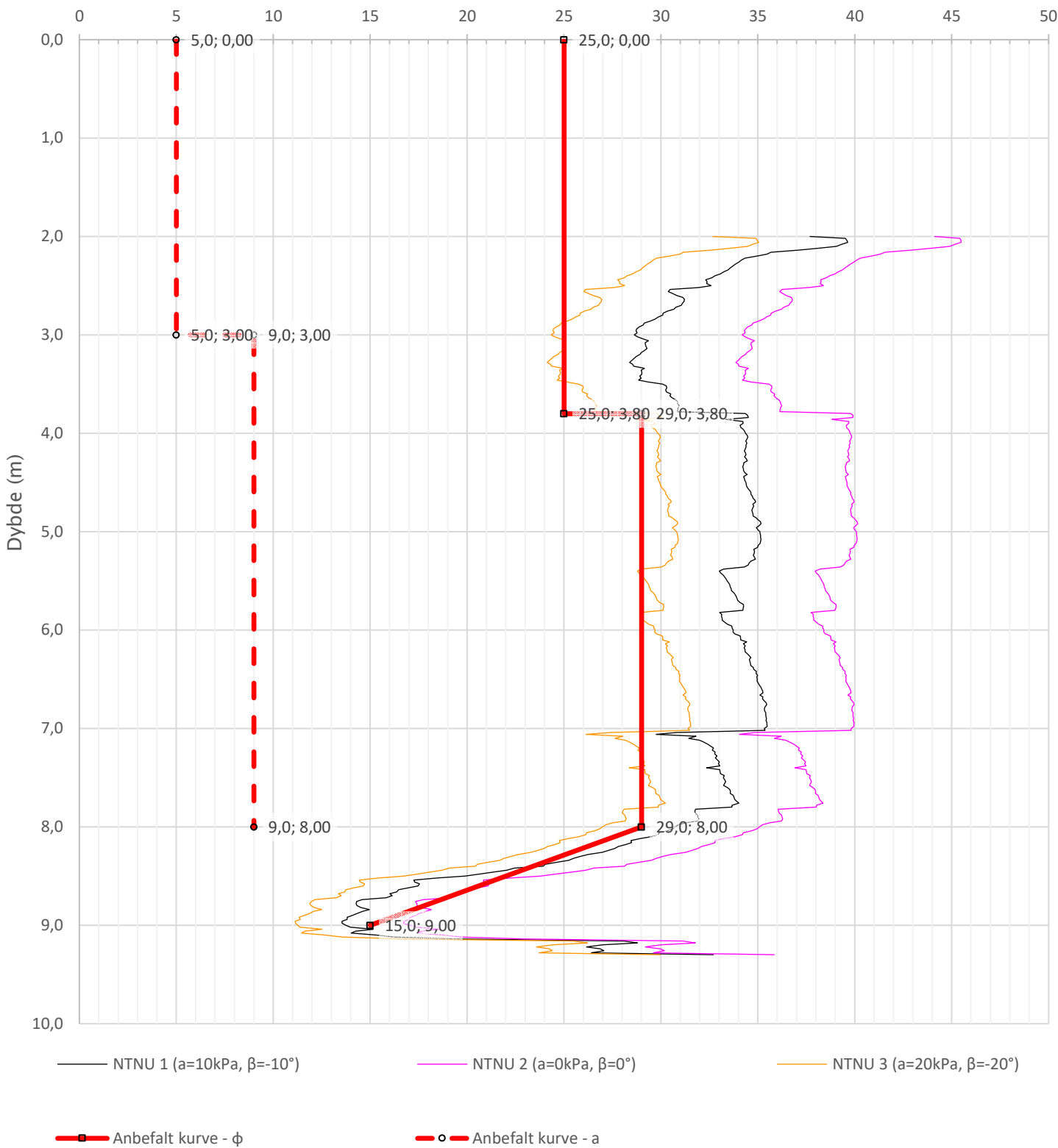
Konus BH BH16: cufc/cucptu = 0,630

Udrenert aktiv skjærfasthet, c_{ucptu} (kPa)

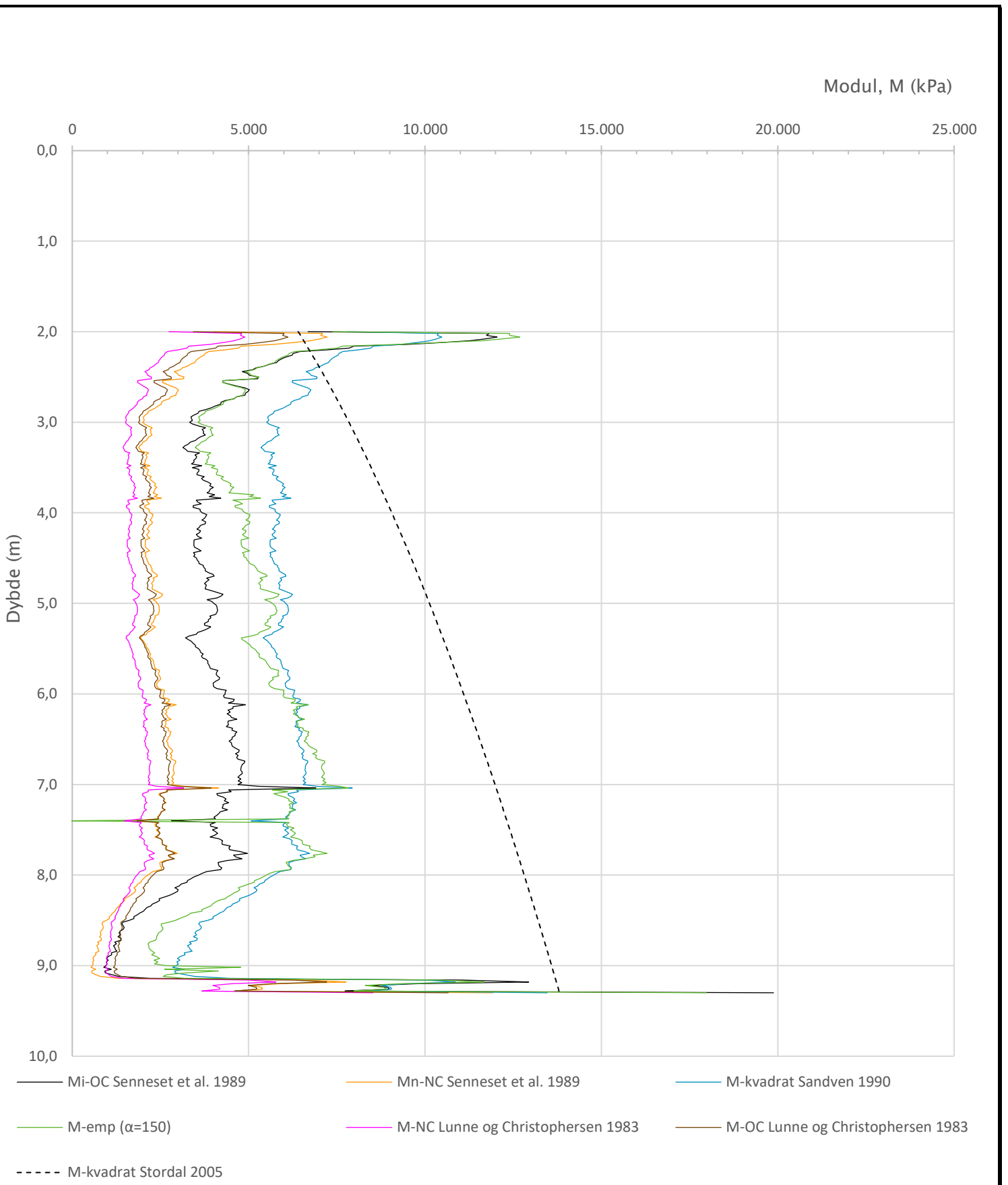


| Prosjekt | Prosjektnummer: A228076 | | | Borhull |
|---|-------------------------------|------------------------------|-----------------------|--------------------|
| FV119 GS-veg Dilling-Vang | | | | BH16 |
| Innhold | | | | Sondenummer |
| Tolkning av udrenert aktiv skjærfasthet | | | | 4534 |
| COWI | Utført CBNI | Kontrollert MDMR | Godkjent MDMR | Anvend.klasse 1 |
| | Divisjon Ekstern konsulent | Dato sondering 25-05-2021 | Revisjon Rev. dato | Figur 5 |

Friksjonsvinkel, ϕ ($^{\circ}$)
attraksjon, a (kPa)

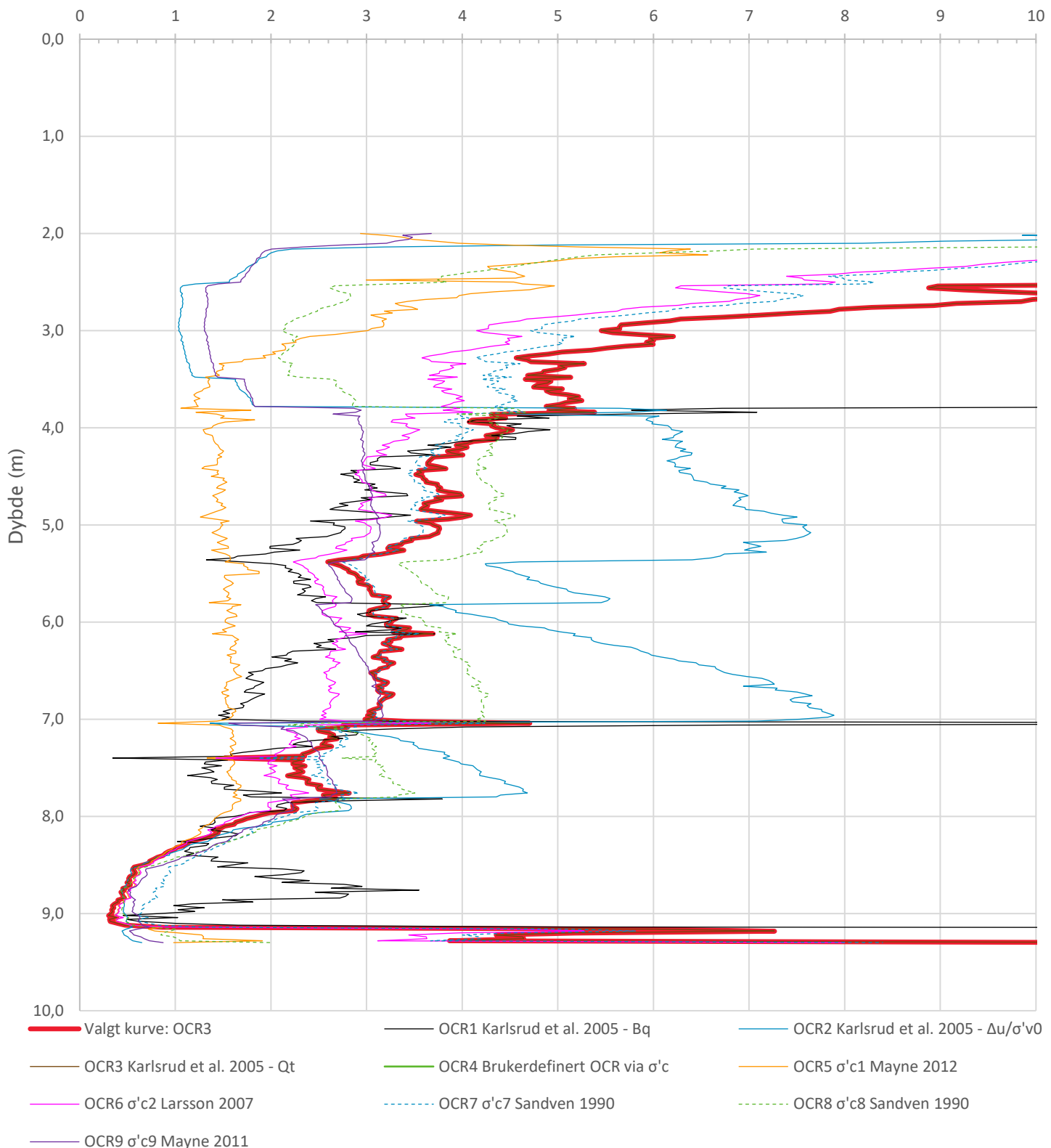


| | | |
|--|------------------------------|----------------------------|
| Prosjekt FV119 GS-veg Dilling-Vang | Prosjektnummer: A228076 | Borhull BH16 |
| Innhold | | Sondenummer 4534 |
| Tolkning av friksjonsvinkel og attraksjon | | |
| COWI | Utført CBNI | Kontrollert MDMR |
| Ekstern konsulent | Date sondering 25-05-2021 | Godkjent MDMR |
| | Revisjon | Anvend.klasse 1 |
| | Rev. dato | Figur 6 |



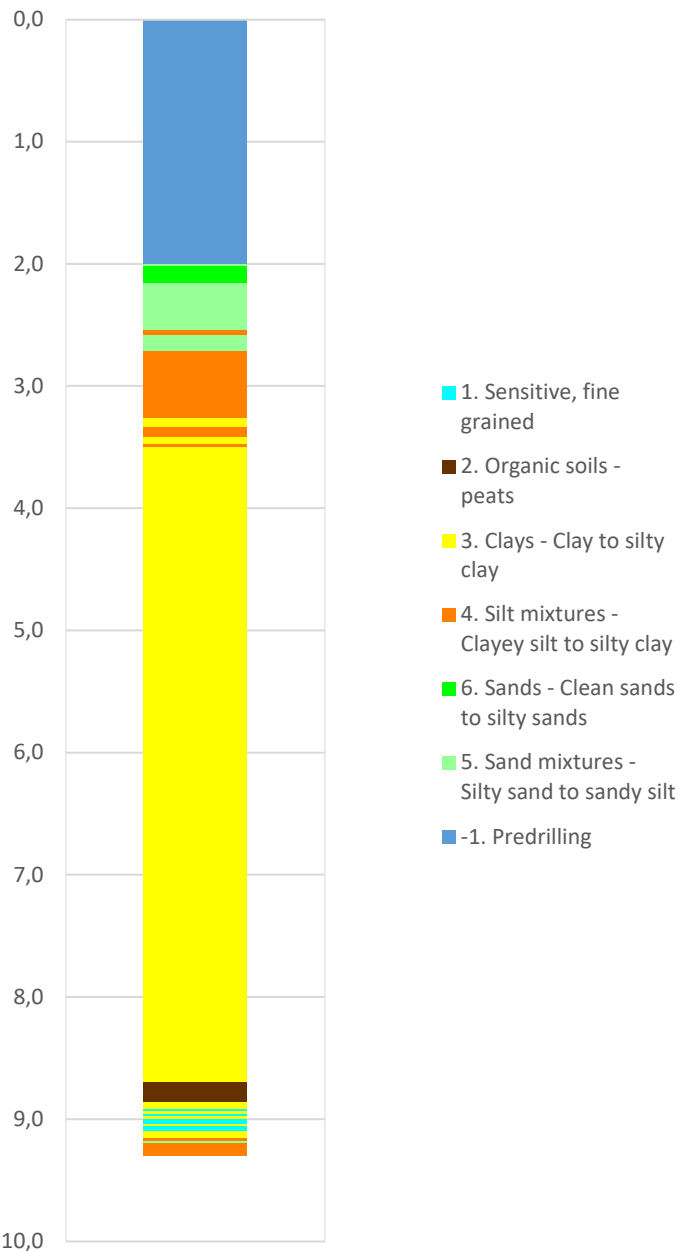
| | | |
|--|-------------------------------|----------------------------|
| Prosjekt FV119 GS-veg Dilling-Vang | Prosjektnummer: A228076 | Borhull BH16 |
| Innhold | | Sondenummer 4534 |
| Tolkning av modul | | |
| COWI | Utført CBNI | Kontrollert MDMR |
| Ekstern konsulent | Date sondering 25-05-2021 | Godkjent MDMR |
| | | Anvend.klasse 1 |
| | Divisjon Ekstern konsulent | Revisjon Rev. dato |
| | | Figur 7 |

Overkonsolideringsgrad, OCR (-)

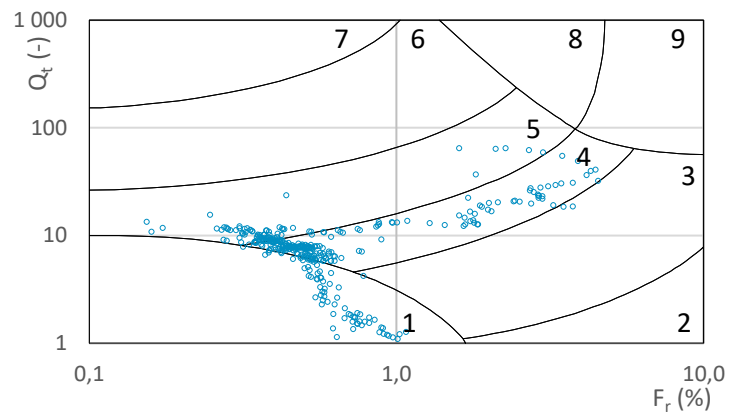
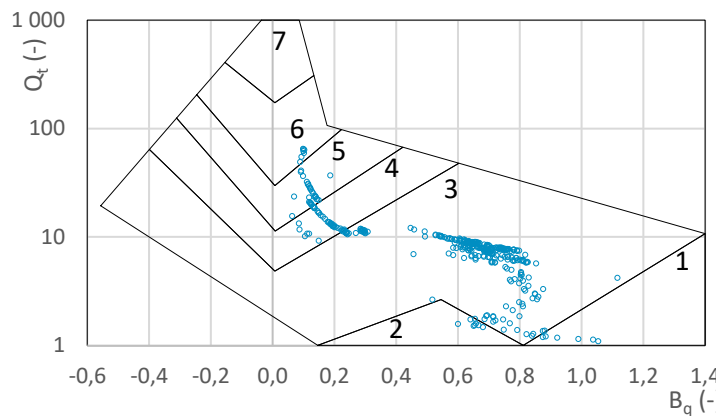
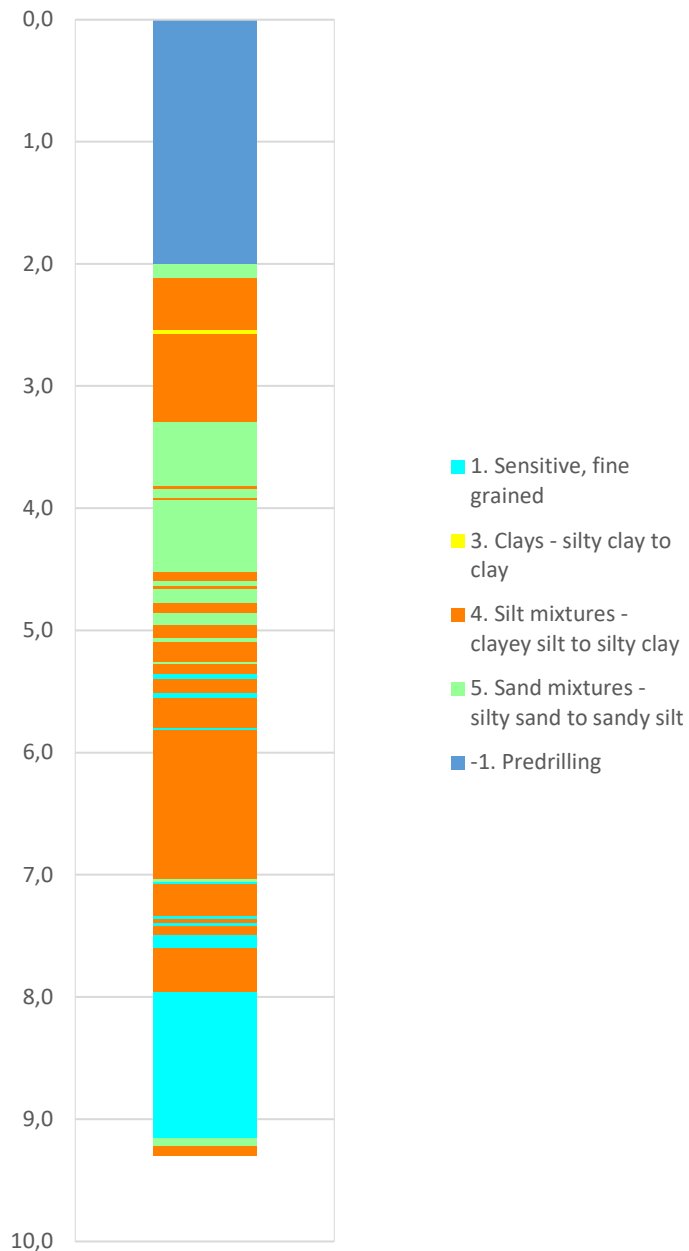


| | | | | |
|----------------------------------|-------------------------------|------------------------------|-----------------------|---------------------------|
| Prosjekt | Prosjektnummer: A228076 | | | Borhull |
| FV119 GS-veg Dilling-Vang | | | BH16 | |
| Innhold | | | | Sondenummer |
| Overkonsolideringsgrad, OCR | | | | 4534 |
| COWI | Utført CBNI | Kontrollert MDMR | Godkjent MDMR | Anvend.klasse 1 |
| | Divisjon Ekstern konsulent | Date sondering 25-05-2021 | Revisjon Rev. dato | Figur 8 |

Robertson 1990 (Bq-Qt)



Robertson 1990 (Fr-Qt)



Prosjekt

FV119 GS-veg Dilling-Vang

Prosjektnummer: A228076

Borhull

BH16

Innhold

Jordartsklassifisering etter Robertsson 1990

Sondenummer

4534

COWI

Utført
CBNI

Kontrollert
MDMR

Godkjent
MDMR

Anvend.klasse

1

Divisjon
Ekstern konsulent

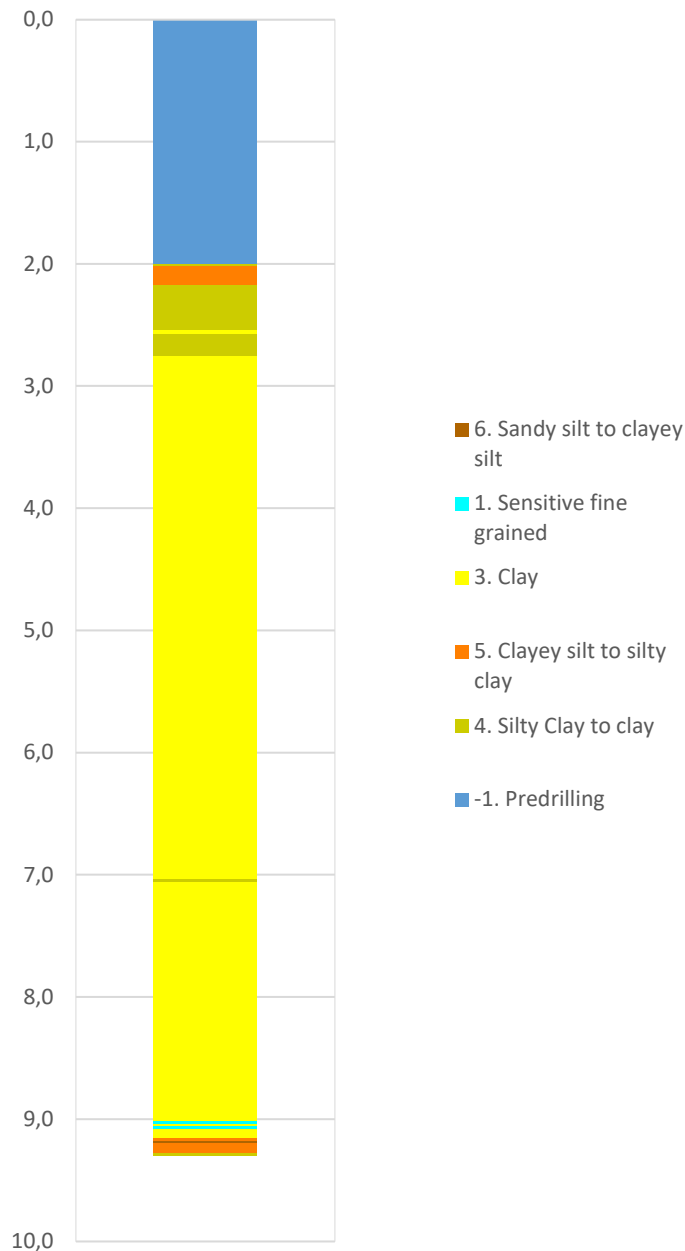
Dato sondering
25-05-2021

Revisjon
Rev. dato

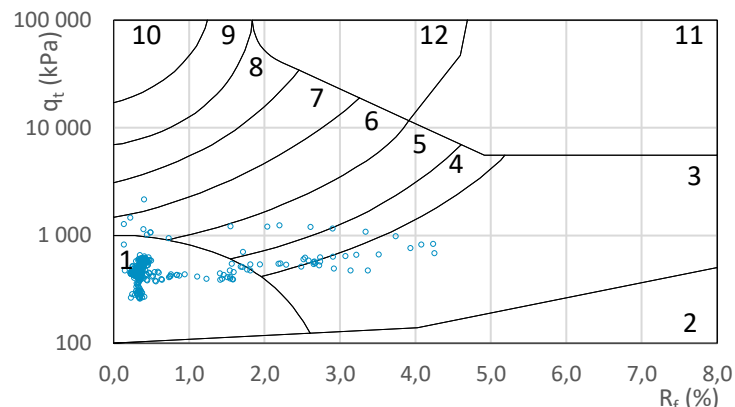
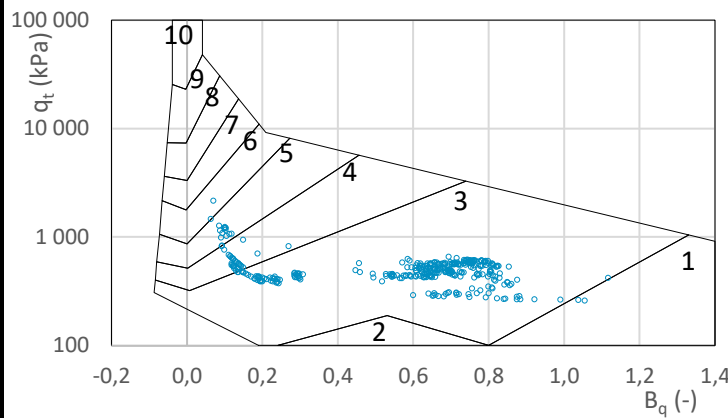
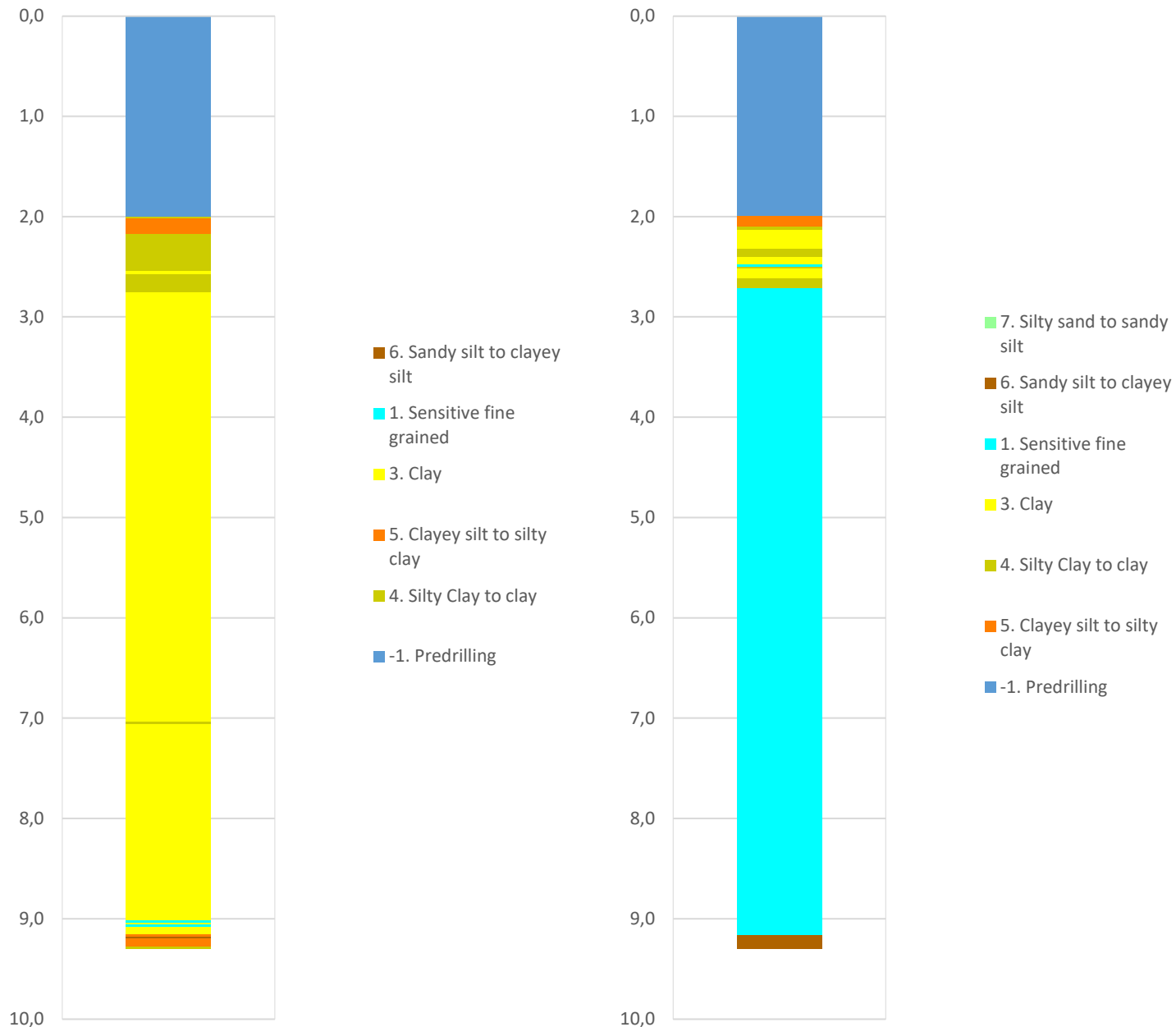
Figur

16

Robertson et al. 1986 (Bq-qt)



Robertson et al. 1986 (Rf-qt)



Prosjekt

FV119 GS-veg Dilling-Vang

Prosjektnummer: A228076

Borhull

BH16

Innhold

Jordartsklassifisering etter Robertson et al. 1986

Sondenummer

4534**COWI**Utført
CBNIKontrollert
MDMRGodkjent
MDMR

Anvend.klasse

1Divisjon
Ekstern konsulentDato sondering
25-05-2021Revisjon
Rev. dato

Figur

17

Beregning av kneklast stålkernekuler

Ø90 mm

Ø100 mm

Ø120 mm

Ø150mm

| Peleparametere | | | | | |
|------------------------------------|-------------------------|---------------------|-------------------|---------------------|---|
| Diameter, stålkjernepel | | D_s | | 0,090 [m] | |
| Ytre diameter, forringsrør | | D_f | | 0,168 [m] | |
| Tykkelse, forringsrør | | t_f | | 0,0040 [m] | |
| Korrosjon | | t_{kor} | | 0,0040 [m] | |
| Pelelengde | | L | | 18 [m] | |
| Karakteristisk E-modul, stål | | E_s | | 210 [GPa] | |
| Karakteristisk E-modul, gysning | | E_c | | 30 [GPa] | |
| Initialkrumming | | R_0 | | 600 [m] | |
| Jordparametere | | | | | |
| Udrenert skjærfasthet | | $C_{u,D}$ | | 15 [kPa] | |
| Korrelasjonsfaktor | | ξ | | 1,45 [-] | |
| Partialfaktor for total motstand | | γ_t | | 1,1 [-] | |
| Beregnehede parametere | | | | | |
| Arealtreghetsmoment, stålkjernepel | | I_s | | 3,221E-06 [m^4] | |
| Arealtreghetsmoment, forringsrør | | I_f | | 0 [m^4] | |
| Arealtreghetsmoment, gysning | | I_g | | 2,92E-05 [m^4] | |
| Kombinert bøyningsstivhet av pel | | EI | | 1,55 [MNm 2] | |
| Korttids-knekklast | | | | | |
| Korttids-reaksjonsmodul | | C_k | | 3000 [kN/m 2] | |
| Kritisk tillegsutbøyning | | $\Delta\delta_c$ | | 0,008 [m] | |
| Lengde av halvbølge | | L_k | | 2,664 [m] | |
| Forhåndsutbøyning | | y_0 | | 0,001 [m] | |
| Beregnet knekklast | | $R_{K,cal}$ | | 4316 [kN] | |
| Karakteristisk knekklast | | $R_{K,k}$ | | 2976 [kN] | |
| Maksimal karakteristisk knekklast | | $R_{K,k,max}$ | | 2531 [kN] | |
| Regningsmessig knekklast | | $R_{K,d}$ | | 2301 [kN] | |
| Langtids-knekklast | | | | | |
| Langtids-reaksjonsmodul | | C_l | | 750 [kN/m 2] | |
| Kritisk tillegsutbøyning | | $\Delta\delta_c$ | | 0,034 [m] | |
| Lengde av halvbølge | | L_k | | 3,768 [m] | |
| Forhåndsutbøyning | | y_0 | | 0,003 [m] | |
| Beregnet knekklast | | $R_{K,cal}$ | | 2158 [kN] | |
| Karakteristisk knekklast | | $R_{K,k}$ | | 1488 [kN] | |
| Maksimal karakteristisk knekklast | | $R_{K,k,max}$ | | 1368 [kN] | |
| Regningsmessig knekklast | | $R_{K,d}$ | | 1244 [kN] | |
| Oppdrag: A116326 | | | | | |
| Dilling-Vang, Bru over bek | | | | | |
| Stålkjernepeler ø90 mm | | | | | |
| | | | | | |
| COWI AS | Dato: 05-01-2024 | Utarbeiter: CBNI | Kontroll: MDMR | Godkjent: CBNI | |
| | Oppdrag nr.: A116326 | Vedlegg nr.: 2 | Versjon | Side 1 av 1 |  |

| Peleparametere | | | | | |
|------------------------------------|-------------------------|---------------------|-------------------|---------------------|---|
| Diameter, stålkjernepel | | D_s | | 0,100 [m] | |
| Ytre diameter, forringsrør | | D_f | | 0,168 [m] | |
| Tykkelse, forringsrør | | t_f | | 0,0040 [m] | |
| Korrosjon | | t_{kor} | | 0,0040 [m] | |
| Pelelengde | | L | | 18 [m] | |
| Karakteristisk E-modul, stål | | E_s | | 210 [GPa] | |
| Karakteristisk E-modul, gysning | | E_c | | 30 [GPa] | |
| Initialkrumming | | R_0 | | 600 [m] | |
| Jordparametere | | | | | |
| Udrenert skjærfasthet | | $C_{u,D}$ | | 15 [kPa] | |
| Korrelasjonsfaktor | | ξ | | 1,45 [-] | |
| Partialfaktor for total motstand | | γ_t | | 1,1 [-] | |
| Beregnehede parametere | | | | | |
| Arealtreghetsmoment, stålkjernepel | | I_s | | 4,909E-06 [m^4] | |
| Arealtreghetsmoment, forringsrør | | I_f | | 0 [m^4] | |
| Arealtreghetsmoment, gysning | | I_g | | 2,75E-05 [m^4] | |
| Kombinert bøyningsstivhet av pel | | EI | | 1,86 [MNm 2] | |
| Korttids-knekklast | | | | | |
| Korttids-reaksjonsmodul | | C_k | | 3000 [kN/m 2] | |
| Kritisk tillegsutbøyning | | $\Delta\delta_c$ | | 0,008 [m] | |
| Lengde av halvbølge | | L_k | | 2,786 [m] | |
| Forhåndsutbøyning | | y_0 | | 0,002 [m] | |
| Beregnet knekklast | | $R_{K,cal}$ | | 4719 [kN] | |
| Karakteristisk knekklast | | $R_{K,k}$ | | 3255 [kN] | |
| Maksimal karakteristisk knekklast | | $R_{K,k,max}$ | | 2730 [kN] | |
| Regningsmessig knekklast | | $R_{K,d}$ | | 2482 [kN] | |
| Langtids-knekklast | | | | | |
| Langtids-reaksjonsmodul | | C_l | | 750 [kN/m 2] | |
| Kritisk tillegsutbøyning | | $\Delta\delta_c$ | | 0,034 [m] | |
| Lengde av halvbølge | | L_k | | 3,940 [m] | |
| Forhåndsutbøyning | | y_0 | | 0,003 [m] | |
| Beregnet knekklast | | $R_{K,cal}$ | | 2360 [kN] | |
| Karakteristisk knekklast | | $R_{K,k}$ | | 1627 [kN] | |
| Maksimal karakteristisk knekklast | | $R_{K,k,max}$ | | 1485 [kN] | |
| Regningsmessig knekklast | | $R_{K,d}$ | | 1350 [kN] | |
| Oppdrag: A116326 | | | | | |
| Dilling-Vang, Bru over bek | | | | | |
| Stålkjernepeler ø100 mm | | | | | |
| | | | | | |
| COWI AS | Dato: 05-01-2024 | Utarbeiter: CBNI | Kontroll: MDMR | Godkjent: CBNI | |
| | Oppdrag nr.: A116326 | Vedlegg nr.: 2 | Versjon | Side 1 av 1 |  |

| Peleparametere | | | | | |
|------------------------------------|-------------------------|-----------------------------|-------------------|-------------------|---|
| Diameter, stålkjernepel | D_s | 0,120 [m] | | | |
| Ytre diameter, forringsrør | D_f | 0,194 [m] | | | |
| Tykkelse, forringsrør | t_f | 0,0050 [m] | | | |
| Korrosjon | t_{kor} | 0,0050 [m] | | | |
| Pelelengde | L | 18 [m] | | | |
| Karakteristisk E-modul, stål | E_s | 210 [GPa] | | | |
| Karakteristisk E-modul, gysning | E_c | 30 [GPa] | | | |
| Initialkrumming | R_0 | 600 [m] | | | |
| Jordparametere | | | | | |
| Udrenert skjærfasthet | $C_{u,D}$ | 15 [kPa] | | | |
| Korrelasjonsfaktor | ξ | 1,45 [-] | | | |
| Partialfaktor for total motstand | γ_t | 1,1 [-] | | | |
| Beregnehede parametere | | | | | |
| Arealtreghetsmoment, stålkjernepel | I_s | 1,018E-05 [m ⁴] | | | |
| Arealtreghetsmoment, forringsrør | I_f | 0 [m ⁴] | | | |
| Arealtreghetsmoment, gysning | I_g | 4,57E-05 [m ⁴] | | | |
| Kombinert bøyningsstivhet av pel | EI | 3,51 [MNm ²] | | | |
| Korttids-knekklast | | | | | |
| Korttids-reaksjonsmodul | C_k | 3000 [kN/m ²] | | | |
| Kritisk tillegsutbøyning | $\Delta\delta_c$ | 0,010 [m] | | | |
| Lengde av halvbølge | L_k | 3,267 [m] | | | |
| Forhåndsutbøyning | γ_0 | 0,002 [m] | | | |
| Beregnet knekklast | $R_{K,cal}$ | 6489 [kN] | | | |
| Karakteristisk knekklast | $R_{K,k}$ | 4475 [kN] | | | |
| Maksimal karakteristisk knekklast | $R_{K,k,max}$ | 3640 [kN] | | | |
| Regningsmessig knekklast | $R_{K,d}$ | 3309 [kN] | | | |
| Langtids-knekklast | | | | | |
| Langtids-reaksjonsmodul | C_l | 750 [kN/m ²] | | | |
| Kritisk tillegsutbøyning | $\Delta\delta_c$ | 0,039 [m] | | | |
| Lengde av halvbølge | L_k | 4,620 [m] | | | |
| Forhåndsutbøyning | γ_0 | 0,004 [m] | | | |
| Beregnet knekklast | $R_{K,cal}$ | 3245 [kN] | | | |
| Karakteristisk knekklast | $R_{K,k}$ | 2238 [kN] | | | |
| Maksimal karakteristisk knekklast | $R_{K,k,max}$ | 2007 [kN] | | | |
| Regningsmessig knekklast | $R_{K,d}$ | 1825 [kN] | | | |
| Oppdrag: A116326 | | | | | |
| Dilling-Vang, Bru over bek | | | | | |
| Stålkjernepeler ø120 mm | | | | | |
| | | | | | |
| COWI AS | Dato: 05-01-2024 | Utarbeiter: CBNI | Kontroll: MDMR | Godkjent: CBNI | |
| | Oppdrag nr.: A116326 | Vedlegg nr.: 2 | Versjon | Side 1 av 1 |  |

| Peleparametere | | | | | |
|------------------------------------|-------------------------|-----------------------------|-------------------|-------------------|---|
| Diameter, stålkjernepel | D_s | 0,150 [m] | | | |
| Ytre diameter, forringsrør | D_f | 0,219 [m] | | | |
| Tykkelse, forringsrør | t_f | 0,0050 [m] | | | |
| Korrosjon | t_{kor} | 0,0050 [m] | | | |
| Pelelengde | L | 18 [m] | | | |
| Karakteristisk E-modul, stål | E_s | 210 [GPa] | | | |
| Karakteristisk E-modul, gysning | E_c | 30 [GPa] | | | |
| Initialkrumming | R_0 | 600 [m] | | | |
| Jordparametere | | | | | |
| Udrenert skjærfasthet | $C_{u,D}$ | 15 [kPa] | | | |
| Korrelasjonsfaktor | ξ | 1,45 [-] | | | |
| Partialfaktor for total motstand | γ_t | 1,1 [-] | | | |
| Beregnehede parametere | | | | | |
| Arealtreghetsmoment, stålkjernepel | I_s | 2,485E-05 [m ⁴] | | | |
| Arealtreghetsmoment, forringsrør | I_f | 0 [m ⁴] | | | |
| Arealtreghetsmoment, gysning | I_g | 6,90E-05 [m ⁴] | | | |
| Kombinert bøyningsstivhet av pel | EI | 7,29 [MNm ²] | | | |
| Korttids-knekklast | | | | | |
| Korttids-reaksjonsmodul | C_k | 3000 [kN/m ²] | | | |
| Kritisk tillegsutbøyning | $\Delta\delta_c$ | 0,011 [m] | | | |
| Lengde av halvbølge | L_k | 3,922 [m] | | | |
| Forhåndsutbøyning | γ_0 | 0,003 [m] | | | |
| Beregnet knekklast | $R_{K,cal}$ | 9352 [kN] | | | |
| Karakteristisk knekklast | $R_{K,k}$ | 6450 [kN] | | | |
| Maksimal karakteristisk knekklast | $R_{K,k,max}$ | 4990 [kN] | | | |
| Regningsmessig knekklast | $R_{K,d}$ | 4536 [kN] | | | |
| Langtids-knekklast | | | | | |
| Langtids-reaksjonsmodul | C_l | 750 [kN/m ²] | | | |
| Kritisk tillegsutbøyning | $\Delta\delta_c$ | 0,044 [m] | | | |
| Lengde av halvbølge | L_k | 5,547 [m] | | | |
| Forhåndsutbøyning | γ_0 | 0,006 [m] | | | |
| Beregnet knekklast | $R_{K,cal}$ | 4676 [kN] | | | |
| Karakteristisk knekklast | $R_{K,k}$ | 3225 [kN] | | | |
| Maksimal karakteristisk knekklast | $R_{K,k,max}$ | 2813 [kN] | | | |
| Regningsmessig knekklast | $R_{K,d}$ | 2558 [kN] | | | |
| Oppdrag: A116326 | | | | | |
| Dilling-Vang, Bru over bek | | | | | |
| Stålkjernepeler ø150 mm | | | | | |
| | | | | | |
| COWI AS | Dato: 05-01-2024 | Utarbeiter: CBNI | Kontroll: MDMR | Godkjent: CBNI |  |
| | Oppdrag nr.: A116326 | Vedlegg nr.: 2 | Versjon | Side 1 av 1 | |

Beregning av bæreevne for fundament til mobilkran

Overside spengstein drenert beregning

Overside leire drenert beregning

- Forutsetninger:**
- Bæreevne i henhold til SVV Håndbok V220 Kapittel 6.2
 - Bæreevne av punktfundament er ekskl. formfaktorer på N_g og N_q
 - Setninger av fundament (Bruksgrensetilstand) må vurderes separat
 - Fundamentslaster skal angis i fundamentsunderkant
 - Delvis udrenert situasjon tas ikke i betraktnsing - det antas 100% drenert tilstand.
 - Stabilitet av eventuell skrånning må vurderes separat

Krav:
ruhet iht. V220 Figur 6.3
 $e \leq B/3$
 $\sigma_v > q_v$

Designlaster:

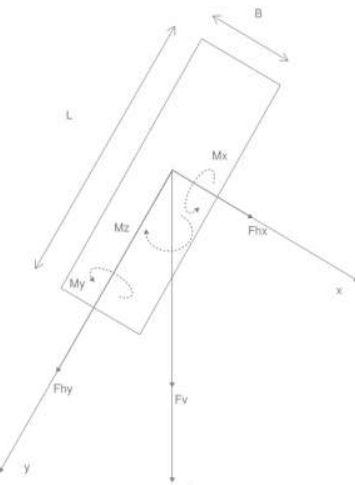
- Vertikal design last
- Horizontal design last - x-retning
- Horizontal design last - y-retning
- Design moment om x-akse
- Design moment om y-akse

| | |
|------------|---------|
| $F_{v,d}$ | 1093 kN |
| $F_{Hx,d}$ | 0 kN |
| $F_{Hy,d}$ | 0 kN |
| $M_{x,d}$ | 0 kNm |
| $M_{y,d}$ | 0 kNm |

Geometri:

- Fundamentsbredde
- Fundamentslengde
- Fundamentsdybde

| | |
|---|-------|
| B | 1,5 m |
| L | 1,5 m |
| D | 0 m |

**Design parametere - jord:**

- Karakteristisk friksjonsvinkel ϕ_k
- Karakteristisk attraksjon a
- Effektiv tyngdetetthet - over FUK γ'_overFUK
- Effektiv tyngdetetthet - under FUK γ'_underFUK

| |
|-----------|
| 42 grader |
| 5 kPa |
| 19 kN/m³ |
| 9 kN/m³ |

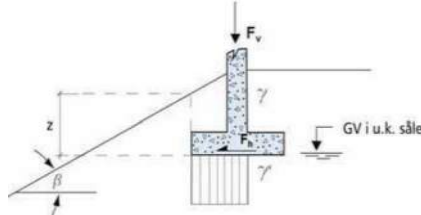
Terrengforhold:

- Helning, bredde (x)-retning β_x
- Helning, lengde (y)-retning β_y

| |
|------------|
| 0,0 grader |
| 0,0 grader |

Vertikal: Horisontal

- 1: Inf
1: Inf

**Bæreevne beregninger:**

- Dimensjonerende friksjonsvinkel ϕ_d
- Overlagringstrykk p'
- Eksentrisitet e
- Effektiv fundamentsbredde/lengde B_0, L_0
- ruhet r_b
- Bæreevnefaktor, overlagringstrykk N_q
- Bæreevnefaktor, egenvekt N_γ
- Reduksjonsfaktor, overlagringstrykk f_{sq}
- Reduksjonsfaktor, attraksjon f_{sa}
- Midlere vertikal bæreevne σ_v
- Vertikaltrykk, FUK q_v

| | x-retning | y-retning |
|------------------------------|-----------|-----------|
| 35,8 grader | | |
| 0 kPa | | |
| f_{sq} | | |
| 1,00 | 0,0 m | 0,0 m |
| f_{sa} | | |
| 1,00 | 1,5 m | 1,5 m |
| σ_v | | |
| 542 kPa | 0,00 | 0,00 |
| q_v | | |
| 485,8 kPa | 36,7 | 36,7 |
| | 53,9 | 53,9 |
| | 1,00 | 1,00 |
| | 1,00 | 1,00 |
| | 542 kPa | 542 kPa |
| | 485,8 kPa | 485,8 kPa |

Kontrol

- Ruhet, bredde-retning
- Eksentrisitet, bredde-retning
- Loddret bæreevne, bredde-retning
- Ruhet, lengde-retning
- Eksentrisitet, lengde-retning
- Loddret bæreevne, lengde-retning

Tilstrekkelig
Tilstrekkelig
Tilstrekkelig
Tilstrekkelig
Tilstrekkelig
Tilstrekkelig

Oppdrag:**Oppdragsnavn** FV 119 GS veg Dilling -vang

Tilleggsbemerkning Forprosjekt for GS bru over bekke. Fundamnet for mobilkran

Lastkombinasjon

| | | | | |
|-------------------------|-------------------|--------------|----------------|-------------|
| Dato: 05-01-2024 | Utarbeider: | Kontroll: | Godkjent: | |
| Oppdrag nr.: A116326 | Vedlegg nr.: 3 | Versjon 1 | Side 1 av 1 | COWI |

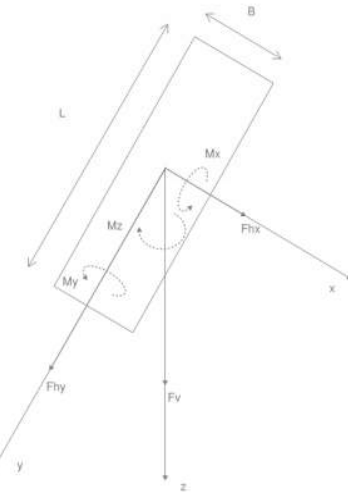
- Forutsetninger:**
- Bæreevne i henhold til SVV Håndbok V220 Kapittel 6.2
 - Bæreevne av punktfundament er ekskl. formfaktorer på N_g og N_q
 - Setninger av fundament (Bruksgrensetilstand) må vurderes separat
 - Fundamentslaster skal angis i fundamentsunderkant
 - Delvis udrenert situasjon tas ikke i betraktnsing - det antas 100% drenert tilstand.
 - Stabilitet av eventuell skrånning må vurderes separat

Krav:
ruhet iht. V220 Figur 6.3
 $e \leq B/3$
 $\sigma_v > q_v$

Designlaster:

- Vertikal design last
- Horizontal design last - x-retning
- Horizontal design last - y-retning
- Design moment om x-akse
- Design moment om y-akse

| | |
|------------|---------|
| $F_{v,d}$ | 1093 kN |
| $F_{Hx,d}$ | 0 kN |
| $F_{Hy,d}$ | 0 kN |
| $M_{x,d}$ | 0 kNm |
| $M_{y,d}$ | 0 kNm |

**Geometri:**

- Fundamentsbredde
- Fundamentslengde
- Fundamentsdybde

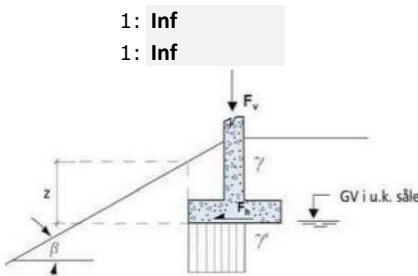
| | |
|---|-------|
| B | 3,6 m |
| L | 3,6 m |
| D | 0 m |

Design parametere - jord:

- Karakteristisk friksjonsvinkel ϕ_k
- Karakteristisk attraksjon a
- Effektiv tyngdetetthet - over FUK γ'_{overFUK}
- Effektiv tyngdetetthet - under FUK $\gamma'_{\text{underFUK}}$

| | |
|-----------------------------|-----------|
| ϕ_k | 25 grader |
| a | 3 kPa |
| γ'_{overFUK} | 18 kN/m³ |
| $\gamma'_{\text{underFUK}}$ | 8 kN/m³ |

Vertikal: Horisontal

**Terrengforhold:**

- Helning, bredde (x)-retning
- Helning, lengde (y)-retning

| | |
|-----------|------------|
| β_x | 0,0 grader |
| β_y | 0,0 grader |

1: Inf
1: Inf**Krav til sikkerhet:**

- materialefaktor
- krav til ruhet

| | |
|------------|------|
| γ_M | 1,25 |
| r_b | 0,8 |

Bæreevne beregninger:

| | ϕ_d | p' | 20,5 grader | 0 kPa | x-retning | y-retning |
|---------------------------------------|------------|------|-------------|-------|-----------|-----------|
| - Dimensjonerende friksjonsvinkel | | | | | | |
| - Overlagringstrykk | | | | | | |
| - Eksentrisitet | e | | 0,0 m | | 0,0 m | |
| - Effektiv fundamentsbredde/lengde | B_0, L_0 | | 3,6 m | | 3,6 m | |
| - ruhet | r_b | | 0,00 | | 0,00 | |
| - Bæreevnefaktor, overlagringstrykk | N_q | | 6,7 | | 6,7 | |
| - Bæreevnefaktor, egenvekt | N_γ | | 4,8 | | 4,8 | |
| - Reduksjonsfaktor, overlagringstrykk | f_{sq} | | 1,00 | | 1,00 | |
| - Reduksjonsfaktor, attraksjon | f_{sa} | | 1,00 | | 1,00 | |
| - Midlere vertikal bæreevne | σ_v | | 87 kPa | | 87 kPa | |
| - Vertikaltrykk, FUK | q_v | | 84,3 kPa | | 84,3 kPa | |

Kontrol

| | |
|------------------------------------|---------------|
| - Ruhet, bredde-retning | Tilstrekkelig |
| - Eksentrisitet, bredde-retning | Tilstrekkelig |
| - Loddret bæreevne, bredde-retning | Tilstrekkelig |
| - Ruhet, lengde-retning | Tilstrekkelig |
| - Eksentrisitet, lengde-retning | Tilstrekkelig |
| - Loddret bæreevne, lengde-retning | Tilstrekkelig |

Oppdrag:**Oppdragsnavn** FV 119 GS veg Dilling -vang

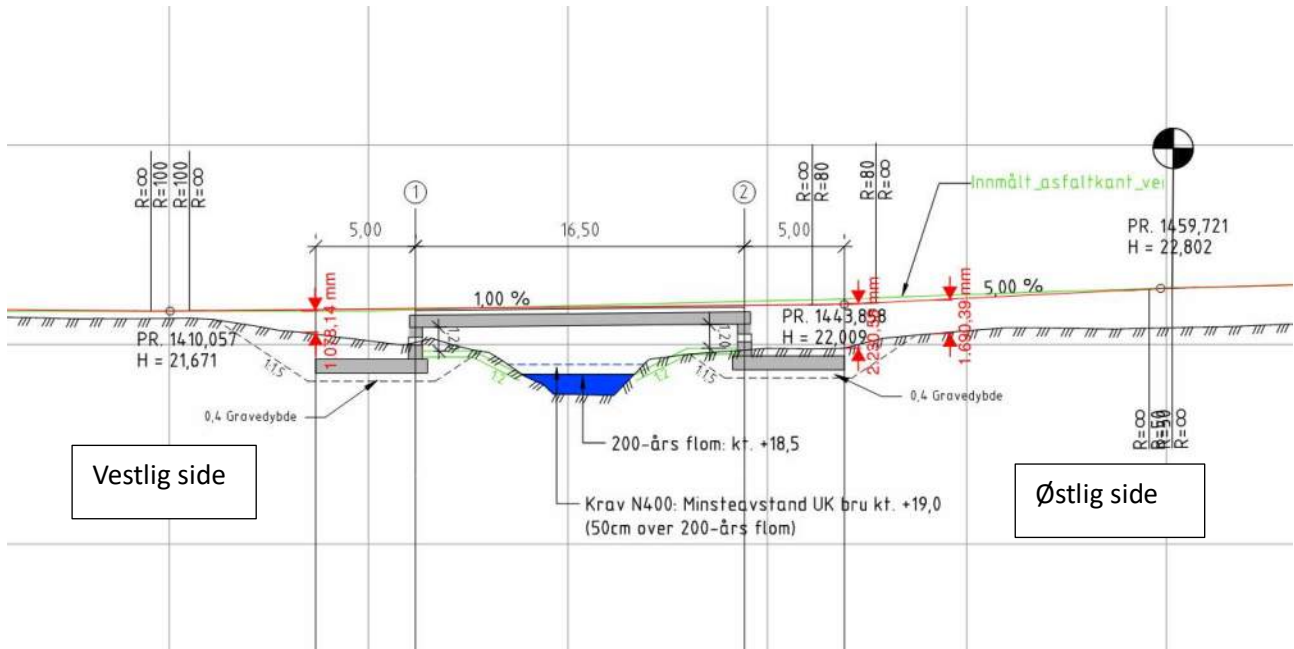
Tilleggsbemerkning Forprosjekt for GS bru over bekke. Fundamnet for mobilkran gjennomlokning til leire

Lastkombinasjon

| | | | | |
|-------------------------|-------------------|--------------|----------------|-------------|
| Dato: 05-01-2024 | Utarbeider: | Kontroll: | Godkjent: | |
| Oppdrag nr.: A116326 | Vedlegg nr.: 3 | Versjon 1 | Side 1 av 1 | COWI |

Setningsberegning ved etablering av GS veg ved den østlig og vestlige ende av den nye GS-bru det etableres over bekken ved Dilling Vang

Figur 1 herunder viser til plan snitt gjennom GS veg og bru



På den østlige side regnes det på området lige utenfor endevederlaget av bruene hvor det kommer den største oppfylling på det eksisterende terrenget. Tykkelse av oppfylling er satt til 1,2 m, de 0,6 m er selve oppbygging av GS veien.

På den vestlige side regnes det også området lige uten for endevederlaget. Tykkelsen av oppfyllingen er her satt til 2,25 m, de 0,6 m er selve oppbygningen av GS-veien.

Belastning på de underliggende løsmasser vil da bli

Vestlig side

$$0,6 \text{ m GS-vei oppbygging, egenvekt } 19 \text{ kN/m}^3 = 11,4 \text{ kN/m}^2$$

$$0,6 \text{ m opfylling tunge masser, egenvekt } 19 \text{ kN/m}^3 = 11,4 \text{ kN/m}^2$$

$$\text{Total} = 22,8 \text{ kN/m}^2$$

Østlig side

$$0,6 \text{ m GS-vei oppbygging, egenvekt } 19 \text{ kN/m}^3 = 11,4 \text{ kN/m}^2$$

$$1,65 \text{ m opfylling tunge masser, egenvekt } 19 \text{ kN/m}^3 = 31,35 \text{ kN/m}^2$$

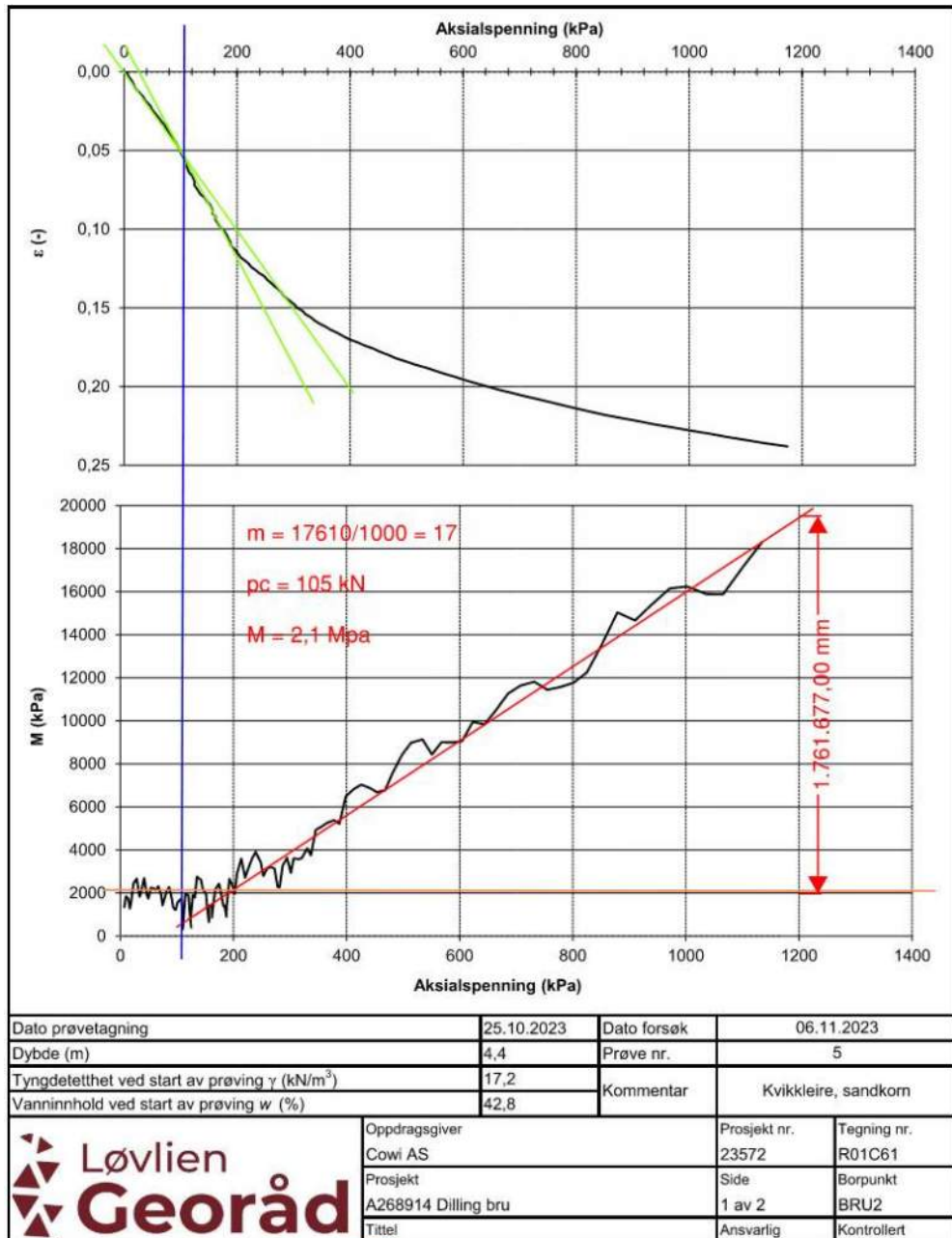
$$\text{Total} = 42,75 \text{ kN/m}^2$$

Grunnforhold

Den utførte grunnundersøkelse viser at det overveiende treffer leire i området, med mindre innslag av sand i de øvre avsetninger. På den østlige side av bekken er det truffet kvikkleire fra 4 meter under terrenget i boring BRU2 og på den vestlige side fra 3 meter under terrenget i boring BRU6.

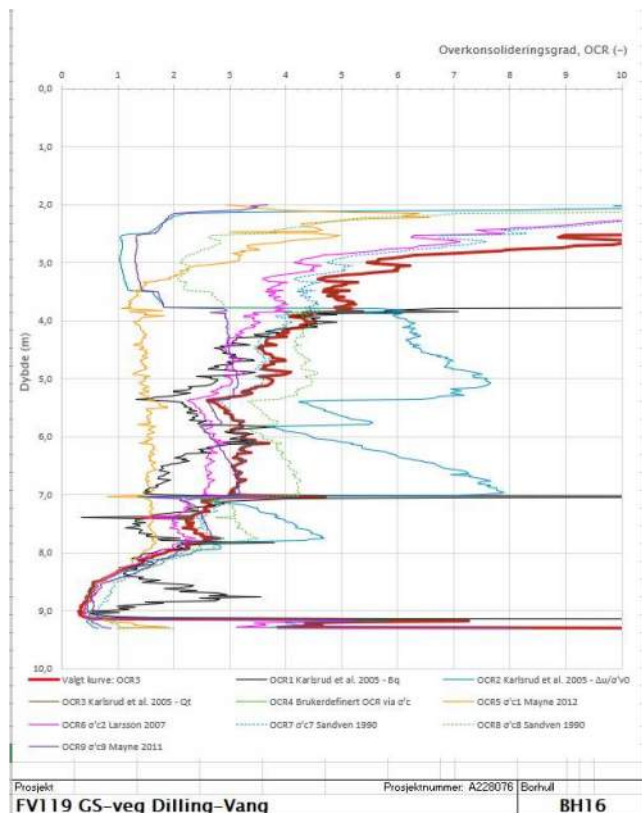
Grunnundersøkelsen viser at på den østlige side av bekken treffes overside berg maksimalt 8 meter under terrenget i boring 16. dybde til overside berg avtar mot øst. På den vestlige side av bekken er overside berg registeret mellom 15,89 og 18,42 meter under terrenget

Det er gjennomført et ødometerforsøk på en prøve uttatt 4,4 meter under terrenget i boring BRU 2. Se Figur 1 for tolkning av ødometerforsøk.



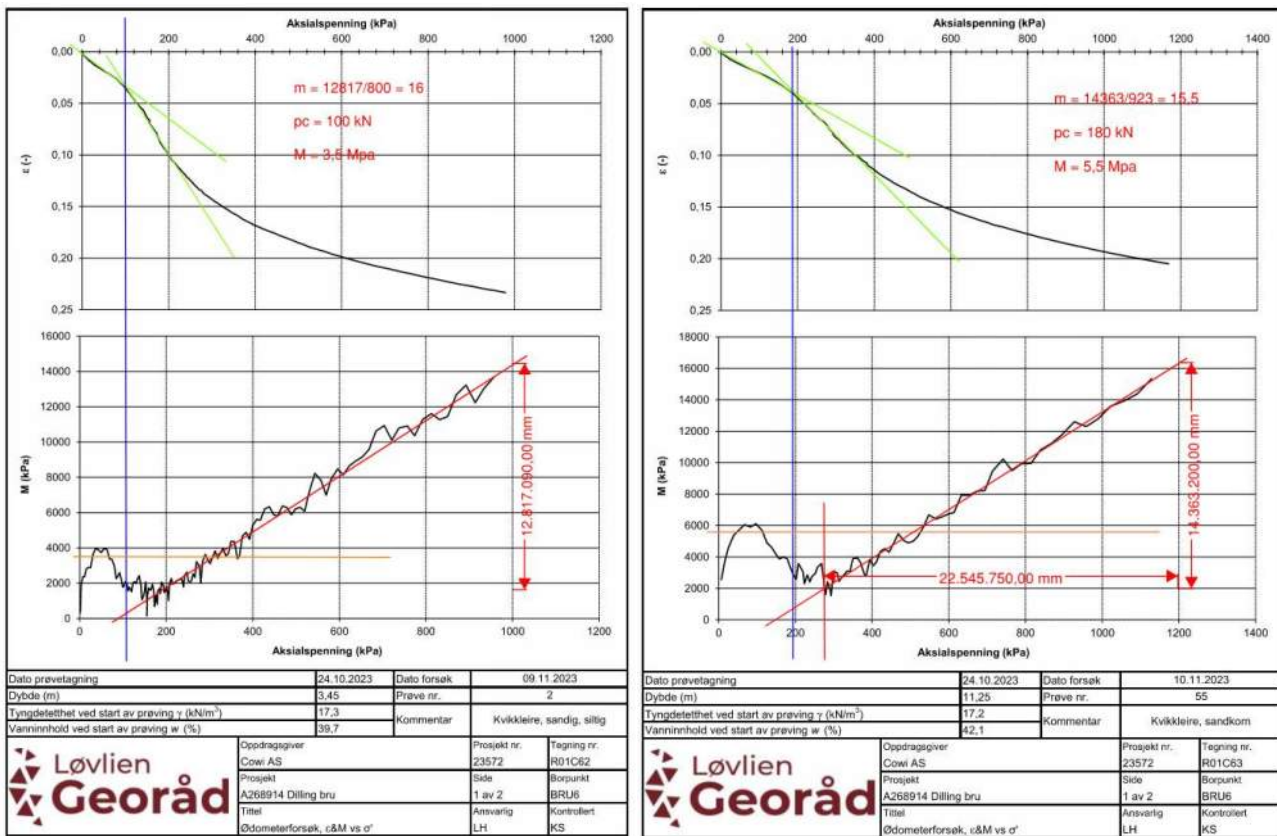
Figur 1: Utklipp fra Datarapporten som viser tolkning av ødometerforsøket fra boring BRU2

Fra den utførte trykksondering i boring 16 fås at avsetningene kan antas overkonsolidert inntil den siste meter over berg.



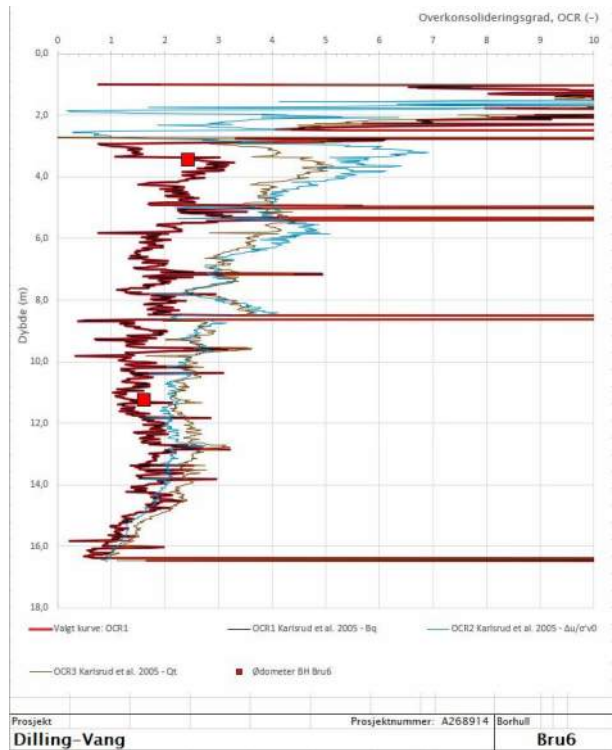
Figur 2: Utklipp fra tolkning av CPTu BH16, som viser Overkonsolideringsgraden OCR av avsetningene på den østlige side av bekken

Fra prøveserien i boring BRU6 er det utført ødometerforsøk på 2 prøver fra henholdsvis 3,45 m dybde og 11,25 m dybde.



Figur 3: Utklipp fra datarapporten som viser tolkning av ødometerforsøkene fra boring BRU 6

Det er ligeledes utført en Trykksondering CPTu i boring BRU6 som viser at avsetningen er overkonsolidert til den siste meter ovre berg.



Figur 4. Utklipp fra tolkning av CPTu BH16, som viser Overkonsolideringsgraden OCR av avsetningene på den vestlige side av bekken

Beregning av setninger på den østlige side av bekken.

Ved beregning av setning på den østlige side av bekken er det benyttet følgende deformasjonsmodul

$M = 2100$ fra 0-8 meter under terrenget. Det er i setningsberegningene ikke tatt hensyn til at den nederste meter av profiler er normalkonsolidert. Det er kun regnet med overkonsolidert leire

Beregning av setninger i overkonsolidert leire gjøres etter følgende formel

$$\varepsilon_{oc} = \frac{\Delta P}{M}$$

Det er regnet med 4 meter bred fylling

For laget 0-2 meter under terrenget

$$Z/B = 1/4 = 0,25 \rightarrow \Delta P/q_v = 0,9 \rightarrow \Delta P = 22,8 \text{ kN/m}^2 \cdot 0,9 = 20,52 \text{ kN/m}^2$$

$$\varepsilon_{oc} = \frac{20,5}{2100} \cdot 200 \text{ cm} = 1,954 \text{ cm}$$

For laget 2-4 m under terrenget

$$Z/B = 3/4 = 0,75 \rightarrow \Delta P/q_v = 0,65 \rightarrow \Delta P = 20,52 \text{ N/m}^2 \cdot 0,65 = 14,85 \text{ kN/m}^2$$

$$\varepsilon_{oc} = \frac{14,85}{2100} \cdot 200 \text{ cm} = 1,411 \text{ cm}$$

For laget 4-6 m under terreng

$$Z/B = 5/4 = 1,25 \rightarrow \Delta P/q_v = 0,45 \rightarrow \Delta P = 20,52 \text{ N/m}^2 \cdot 0,45 = 9,11 \text{ kN/m}^2$$

$$\varepsilon_{oc} = \frac{9,11}{2100} \cdot 200 \text{ cm} = 0,867 \text{ cm}$$

For laget 6-8 m under terreng,

$$Z/B = 7/4 = 1,75 \rightarrow \Delta P/q_v = 0,25 \rightarrow \Delta P = 20,52 \text{ N/m}^2 \cdot 0,25 = 5,06 \text{ kN/m}^2$$

$$\varepsilon_{oc} = \frac{5,06}{2100} \cdot 200 \text{ cm} = 0,482 \text{ cm}$$

Den samlede totalsetning blir da $1,95 + 1,41 + 0,87 + 0,48 = 4,71 \text{ cm}$, svarende til mellom 4 og 6 cm.

Hvis det bygges inn 0,6 m lette masser frem for tunge masser da vil setningene bli:

Lasten på terrenget er da $0,6 \text{ m} \cdot 19 \text{ kN/m}^3 + 0,6 \cdot 4 \text{ kN/m}^3 = 13,8 \text{ kN/m}^2$

- | | | |
|---------|---|---------|
| 1. Lag: | $0,9 \cdot 13,8 = 12,42 \text{ kN/m}^2$ | 1,18 cm |
| 2. Lag | $0,65 \cdot 13,8 = 8,97 \text{ kN/m}^2$ | 0,85 cm |
| 3. Lag | $0,45 \cdot 13,8 = 6,21 \text{ kN/m}^2$ | 0,59 cm |
| 4. Lag | $0,25 \cdot 13,8 = 3,45 \text{ kN/m}^2$ | 0,32 cm |

Den samlede totalsetning blir da $1,8 + 0,85 + 0,59 + 0,32 = 2,94 \text{ cm}$, svarende til 2-4 cm

Beregning av setninger på den vestlige side av bekken.

Ved beregning av setning på den vestlige side av bekken er det benytte følgende deformasjonsmodul

$M = 3500$ fra 0-6 meter under terreng

$M = 4000$ fra 6-10 meter under terreng

$M = 5500$ fra 10-12 meter under terreng

Beregning av setninger i overkonsolidert leire gjøres etter følgende formel

$$\varepsilon_{oc} = \frac{\Delta P}{M}$$

Det er regnet med 4 meter bred fylling

For laget 0-2 meter under terreng

$$Z/B = 1/4 = 0,25 \rightarrow \Delta P/q_v = 0,9 \rightarrow \Delta P = 42,75 \text{ kN/m}^2 \cdot 0,9 = 38,48 \text{ kN/m}^2$$

$$\varepsilon_{oc} = \frac{38,48}{3500} \cdot 200 \text{ cm} = 2,198 \text{ cm}$$

For laget 2-4 m under terreng

$$Z/B = 3/4 = 0,75 \rightarrow \Delta P/q_v = 0,65 \rightarrow \Delta P = 42,75 \text{ N/m}^2 \cdot 0,65 = 27,87 \text{ kN/m}^2$$

$$\varepsilon_{oc} = \frac{27,87}{3500} \cdot 200 \text{ cm} = 1,587 \text{ cm}$$

For laget 4-6 m under terreng

$$Z/B = 5/4 = 1,25 \rightarrow \Delta P/q_v = 0,45 \rightarrow \Delta P = 42,75 \text{ N/m}^2 \cdot 0,45 = 19,23 \text{ kN/m}^2$$

$$\varepsilon_{oc} = \frac{19,23}{3500} \cdot 200 \text{ cm} = 1,099 \text{ cm}$$

For laget 6-8 m under terreng

$$Z/B = 7/4 = 1,75 \rightarrow \Delta P/q_v = 0,25 \rightarrow \Delta P = 42,75 \text{ N/m}^2 \cdot 0,25 = 10,68 \text{ kN/m}^2$$

$$\varepsilon_{oc} = \frac{10,68}{4000} \cdot 200 \text{ cm} = 0,534 \text{ cm}$$

For laget 8-10 m under terreng

$$Z/B = 9/4 = 2,25 \rightarrow \Delta P/q_v = 0,14 \rightarrow \Delta P = 42,75 \text{ N/m}^2 \cdot 0,14 = 5,98 \text{ kN/m}^2$$

$$\varepsilon_{oc} = \frac{5,98}{4000} \cdot 200 \text{ cm} = 0,299 \text{ cm}$$

For laget 10-12 m under terreng

$$Z/B = 11/4 = 2,75 \rightarrow \Delta P/q_v = 0,05 \rightarrow \Delta P = 42,75 \text{ N/m}^2 \cdot 0,05 = 2,13 \text{ kN/m}^2$$

$$\varepsilon_{oc} = \frac{2,13}{5500} \cdot 200 \text{ cm} = 0,077 \text{ cm}$$

Den samlede totalsetning blir da $2,20 + 1,59 + 1,10 + 0,53 + 0,30 + 0,08 = 5,8 \text{ cm}$, svarende til mellom 5 og 7 cm.

Hvis det bygges inn 1,65 m lette masser frem for tunge masser da vil setningene bli:

Lasten på terrenget er da $0,6 \text{ m} \cdot 19 \text{ kN/m}^3 + 1,65 \cdot 4 \text{ kN/m}^3 = 15,8 \text{ kN/m}^2$

- | | | |
|---------|---------------------------------------|---------|
| 1. Lag: | $0,9 \cdot 18 = 16,2 \text{ kN/m}^2$ | 0,93 cm |
| 2. Lag | $0,65 \cdot 18 = 11,7 \text{ kN/m}^2$ | 0,67 cm |

| | | |
|--------|---------------------------------------|---------|
| 3. Lag | $0,45 \cdot 18 = 8,1 \text{ kN/m}^2$ | 0,46 cm |
| 4. Lag | $0,25 \cdot 18 = 4,5 \text{ kN/m}^2$ | 0,23 cm |
| 5. Lag | $0,14 \cdot 18 = 2,52 \text{ kN/m}^2$ | 0,13 cm |
| 6. Lag | $0,05 \cdot 18 = 0,9 \text{ kN/m}^2$ | 0,03 cm |

Den samlede totalsetning blir da $0,93 + 0,67 + 0,46 + 0,23 + 0,13 + 0,03 = 2,45 \text{ cm}$, svarende til 2-4 cm

Hvis det graves av 0,5 meter ekstra av terrenget og legges ut lette masser da vil setningene bli:

Lasten på terrenget er da $0,6 \text{ m} \cdot 19 \text{ kN/m}^3 + 1,65 \cdot 4 \text{kN/m}^3 - 0,5 \cdot (18 \text{ kn/m}^3 - 4 \text{kN/m}^3) = 11 \text{ kN/m}^2$

| | | |
|---------|---------------------------------------|---------|
| 1. Lag: | $0,9 \cdot 11 = 9,9 \text{ kN/m}^2$ | 0,57 cm |
| 2. Lag | $0,65 \cdot 11 = 7,15 \text{ kN/m}^2$ | 0,41 cm |
| 3. Lag | $0,45 \cdot 11 = 4,95 \text{ kN/m}^2$ | 0,28 cm |
| 4. Lag | $0,25 \cdot 11 = 2,75 \text{ kN/m}^2$ | 0,14 cm |
| 5. Lag | $0,14 \cdot 11 = 1,54 \text{ kN/m}^2$ | 0,08 cm |
| 6. Lag | $0,05 \cdot 11 = 0,55 \text{ kN/m}^2$ | 0,02 cm |

Den samlede totalsetning blir da $0,57 + 0,41 + 0,28 + 0,14 + 0,08 + 0,02 = 1,5 \text{ cm}$, svarende til 1-3 cm.

Stabilitetsberegninger

Østlig side, eksisterende terren

Østlig side, utgraving landkar og trau

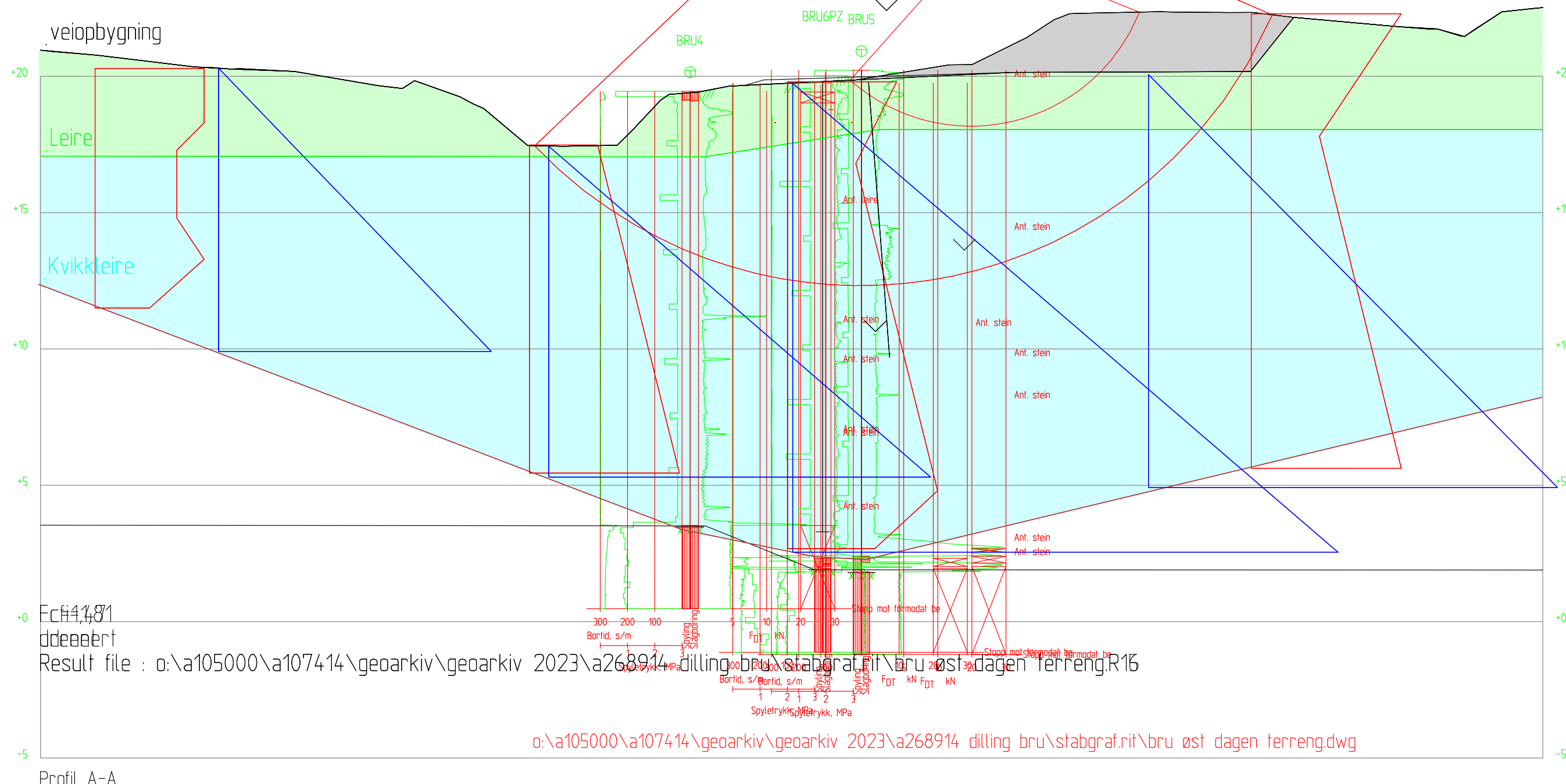
Østlig side, GS-veg

Vestlig side, eksisterende terren

Vestlig side utgraving landkar og trau

| Material | Un.Weigth | Sub.Weigth | Fi | C' | C | Aa | Ad | Ap |
|--------------|-----------|------------|------|-----|--------|------|------|------|
| veiopbygning | 19.00 | 9.00 | 42.0 | 4.5 | | | | |
| Leire | 18.00 | 8.00 | | | C-prof | 1.00 | 0.63 | 0.35 |
| Kvikkleire | 18.00 | 8.00 | | | C-prof | 1.00 | 0.63 | 0.35 |

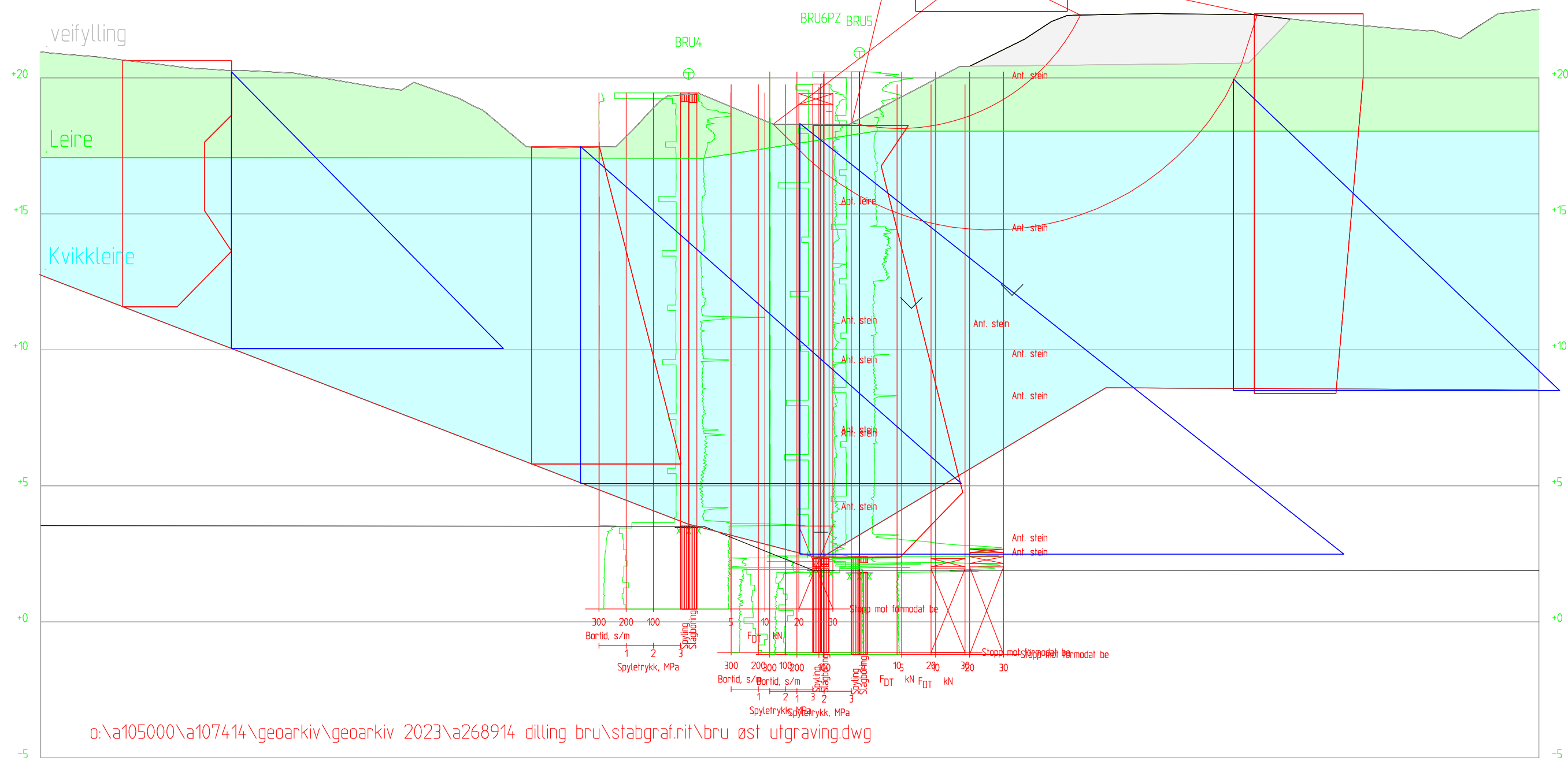
Dagens terrenge



Profil A-A
1 : 100

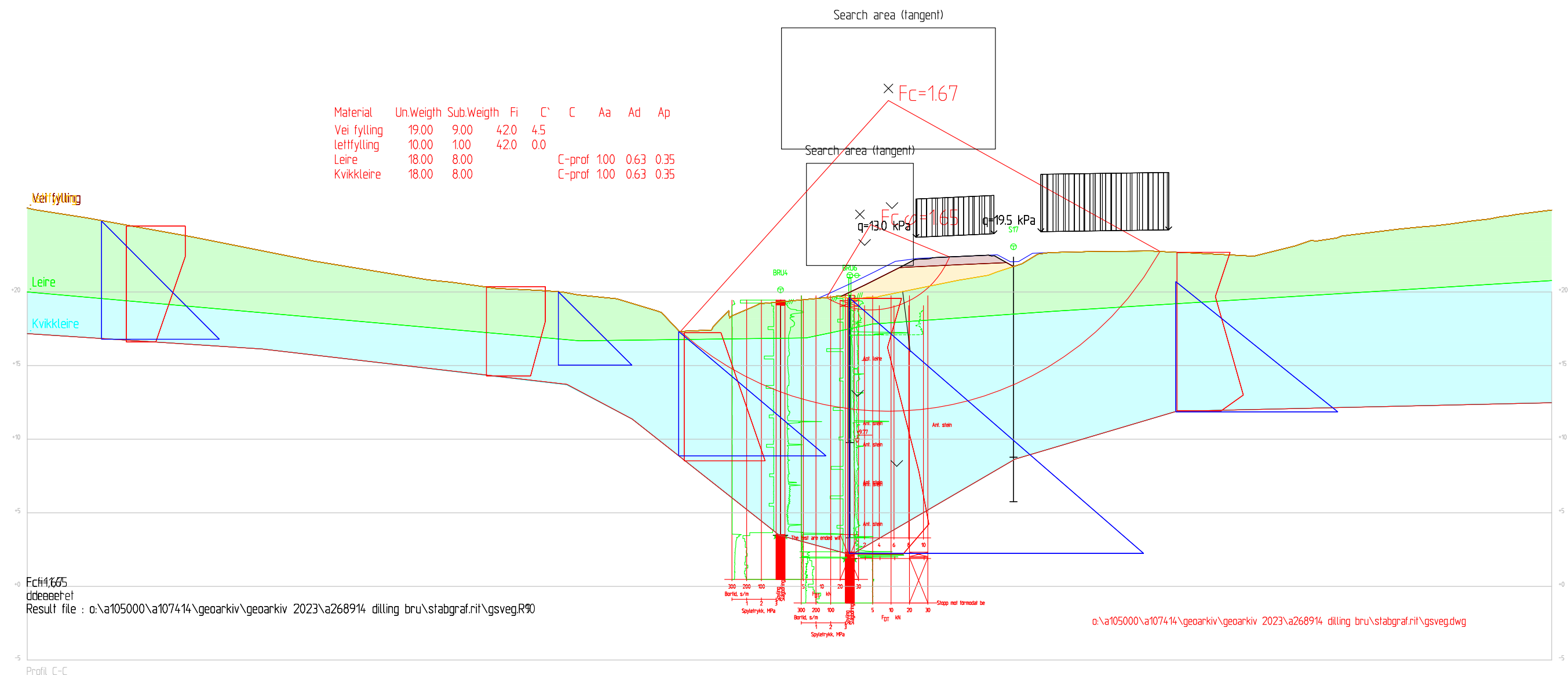
| Material | Un.Weigth | Sub.Weigth | Fi | C' | C | Aa | Ad | Ap |
|------------|-----------|------------|------|-----|--------|------|------|------|
| veifylling | 19.00 | 9.00 | 42.0 | 4.5 | | | | |
| Leire | 18.00 | 8.00 | | | C-prof | 1.00 | 0.63 | 0.35 |
| Kvikkleire | 18.00 | 8.00 | | | C-prof | 1.00 | 0.63 | 0.35 |

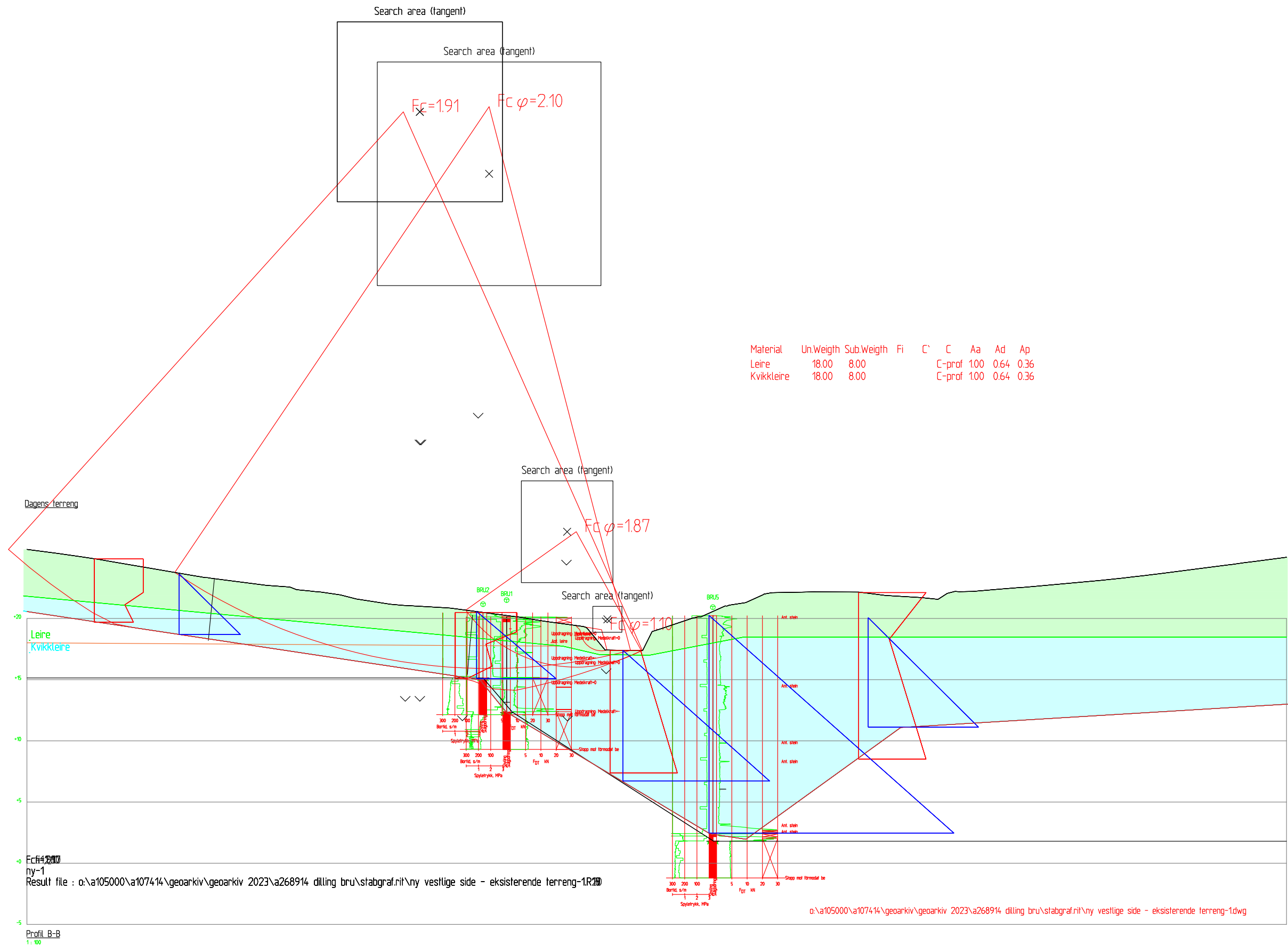
Utgavning

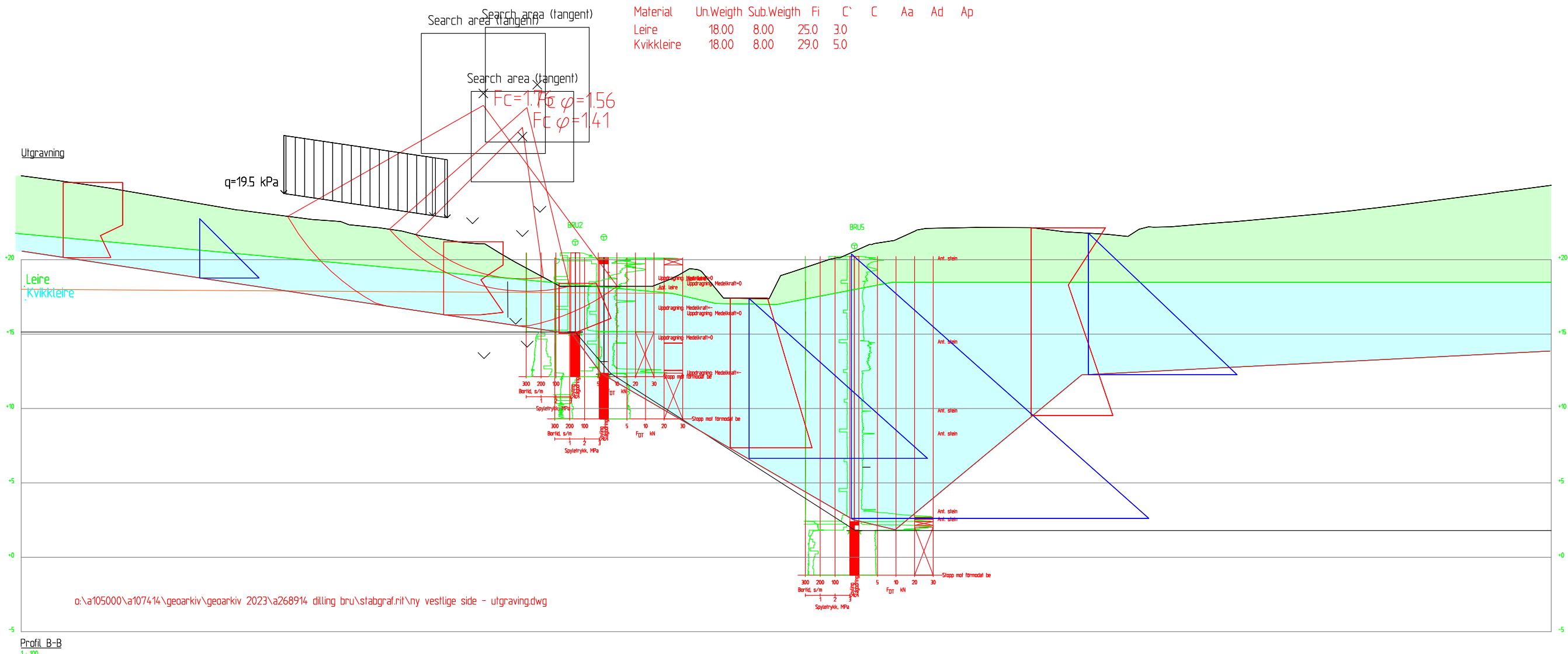


Profil A-A

1 : 100







VEDLEGG 4

BRUALTERNATIV - DILLING

Kostnadsvurdering for standardisert prefabrikkert bjelkebru iht. Statens vegvesen håndbok 426

| Prosess | Beskrivelse | Enhet | 05.09.2023 | | Merknader |
|---|---|----------------|------------|-----------|---|
| | | | Mengde | Enh.pris | |
| Hp1 | Forberedende tiltak og generelle kostnader | | | | |
| 11 | Stikning, oppmåling, teknisk kontroll, sluttddok | 5 % | | 228 089 | |
| 12 | Rigg | 12 % | | 547 414 | Brakke, vinterkost, miljøtiltak |
| 13 | Oppfylling anleggsarealer, midlertidig kommunalveg, oppstillingsplass for mobilkran | RS | | 200 000 | Bl.a. masseutskifting til kult /sprengstein |
| | Grunnundersøkelser | RS | | 250 000 | |
| | Rigg mobilkran | RS | | 80 000 | |
| Hp8 | Bruer og kaier | | | | |
| Forenklet | | | | | |
| | Bru inkl. landkar og stålkjernepele, ekskl. betongtrau på begge sider | m ² | 86,4 | 29 303 | Bruplate L=18 m, B=4,8 m (2 midtbljelker+2 kantbjelker) |
| | Betonograu inkl. stålkjernepele ekskl. fylling i trauene | RS | | 1 500 000 | To betongtrau med lengde 5 m, 10 m totalt |
| | | | | | Gjennomsnittlig pelelengde er antatt 15 m |
| | | | | | Antar 10 peler pr. bruende totalt 20 peler. |
| KOMMENTAR/BAKGRUNN: | | | | | |
| Brukostnaden er beregnet ut fra bruflatet inkl. kantbjelker ganger en erfaringsbasert m ² pris. M ² prisen er vesentlig basert på prisen på Vadbrua i Trøndelag. Vadbrua er en standard prefab.-bru med platelengde 31,2 og bredde inkl. kantradere på 7,58 m ferdigstilt våren 2023. | | | | | |
| Entreprisekostnaden er ca. 6 mill. Bruflatet er 236,5 m ² . Det gir en m ² pris på 25 370,-. | | | | | |
| Justerer m ² -prisen for ett års prisstigning anslått til 5%: 25 370 * 1,05 = 26 639. | | | | | |
| Korrigerer m ² -prisen for vanskelig adkomst og en bru som er smalere enn vadbrua: Antar 10%. 26 639 * 1,10 = 29303,- | | | | | |
| Sum 1 | | | | 5 337 282 | |
| Uforutsett | | 20 % | | 1 067 456 | |
| Sum 2: Entreprisekostnad ekskl mva | | | | 6 404 738 | |
| Mva | | 25 % | | 1 601 184 | |
| Sum 3: Entreprisekostnad inkl mva | | | | 8 005 922 | |
| Prosjektering, oppfølging i byggetiden, asbuilt inkl mva | | 10 % | | 800 592 | |
| Byggeledelse, kontrollingenør bru inkl mva | | 4 % | | 320 237 | |
| Grunnerverv | | | | | Grunnerverv ikke medtatt |
| Sum 4. Prosjektkostnad inkl mva | | | | 9 126 752 | |

Grunnlag for beregning av brukostnad: Vadbrua

